

**Comparaison des traits de reproduction de deux espèces
phylogéniquement soeurs du groupe des
Ostéoglossomorphes : Heterotis niloticus en Afrique et
Arapaima gigas en Amérique du Sud**

N Zi Daniel Koua

► **To cite this version:**

N Zi Daniel Koua. Comparaison des traits de reproduction de deux espèces phylogéniquement soeurs du groupe des Ostéoglossomorphes : Heterotis niloticus en Afrique et Arapaima gigas en Amérique du Sud. Biologie animale. Normandie Université, 2019. Français. NNT : 2019NORMC260 . tel-02520009v2

HAL Id: tel-02520009

<https://tel.archives-ouvertes.fr/tel-02520009v2>

Submitted on 27 Mar 2020

HAL is a multi-disciplinary open access archive for the deposit and dissemination of scientific research documents, whether they are published or not. The documents may come from teaching and research institutions in France or abroad, or from public or private research centers.

L'archive ouverte pluridisciplinaire **HAL**, est destinée au dépôt et à la diffusion de documents scientifiques de niveau recherche, publiés ou non, émanant des établissements d'enseignement et de recherche français ou étrangers, des laboratoires publics ou privés.



Normandie Université

THÈSE

Pour obtenir le diplôme de doctorat

**Spécialité PHYSIOLOGIE ET BIOLOGIE DES ORGANISMES - POPULATIONS -
INTERACTIONS**

Préparée au sein de l'Université de Caen Normandie

**Comparaison des traits de reproduction de deux espèces
phylogéniquement soeurs du groupe des Ostéoglossomorphes :
Heterotis niloticus en Afrique et Arapaima gigas en Amérique du
Sud.**

**Présentée et soutenue par
N Zi Daniel KOUA**

**Thèse soutenue publiquement le 17/12/2019
devant le jury composé de**

Mme CATHERINE BENETAU-PELISSERO	Professeur des universités, Université de Bordeaux	Rapporteur du jury
M. PATRICK KESTEMONT	Professeur, Université de Namur	Rapporteur du jury
Mme MARIE-LAURE BEGOUT	Maître de conférences HDR, IFREMER	Membre du jury
Mme VALERIE CORNET	Docteur, Université de Namur	Membre du jury
M. JÉSUS NUNEZ- RODRIGUEZ	Chargé de recherche, IRD	Membre du jury
Mme CELINE ZATYLNKY - GAUDIN	Maître de conférences HDR, Université Caen Normandie	Président du jury

**Thèse dirigée par JOEL HENRY et JEAN-FRANCOIS RENNO, Biologie des organismes
et écosystèmes aquatiques (Caen)**



UNIVERSITÉ
CAEN
NORMANDIE



Normandie de Biologie Intégrative,
Santé, Environnement



A mon Père Dibi Koua et à ma grande sœur Edith Koua qui ont été arrachés à mon affection pendant que j'étais en France et en Bolivie dans le cadre de cette thèse.

Votre soutien et vos encouragements n'ont pas été vains.

Ces travaux de recherche ont été réalisés au sein de l'École Doctorale Normande de Biologie Intégrative, Santé et Environnement (EdNBISE) dans l'unité de recherche Biologie des ORGANISMES et Ecosystèmes Aquatiques (FRE BOREA, MNHN, CNRS 7208, Sorbonne Université, IRD 207, UCN, UA) à l'Université de Caen Normandie.



Cette thèse a été financée sur le fond du projet C2D de rénovation pédagogique et institutionnelle de l'Ecole Supérieure d'Agronomie (ESA) de l'Institut National Polytechnique Félix HOUPHOUËT BOIGNY (INP-HB) de Yamoussoukro avec Montpellier SupAgro comme établissement coordonnateur. Un appui financier de l'Institut de Recherche pour le Développement (IRD) à travers le Laboratoire Mixte International, Evolution et Domestication de l'Ichtyofaune Amazonienne (LMI EDIA) a été également obtenu. La Universidad Autónoma Gabriel René Moreno (UAGRM) de Santa Cruz (Bolivie) a mis à notre disposition le laboratoire PROVETSUR de la Facultad de Ciencias Veterinarias (FCV) pour la réalisation d'une partie des analyses génétiques.



Avant-propos

Je tiens à remercier les trois "J" comme j'ai eu l'occasion de les appeler aux Journées Scientifiques BOREA de juillet 2016. J'ai nommé Joël Henry, Professeur à l'Université de Caen, Jean-François Renno, Directeur de recherche à l'Institut de Recherche pour le Développement (IRD) et Jésus Núñez, Chargé de recherche à l'IRD, tous les 3 membres du Laboratoire Mixte Internationale, Evolution et Domestication de l'Ichtyofaune Amazonnienne (LMI EDIA). J'ai bénéficié de votre confiance pour réaliser cette thèse dans de meilleures conditions d'encadrement scientifiques, d'échanges et de partage mutuel. Pendant mes séjours en France et en Bolivie, votre soutien a été au delà du simple cadre académique. Les conditions souvent difficiles dans lesquelles vous avez effectué des missions d'encadrement en Côte d'Ivoire ne vous ont pas freiné dans l'atteinte des objectifs fixés. Je salue votre amitié durant toutes ces années passées ensemble.

Je remercie le Professeur Catherine Benetau-Pelissero et le Professeur Patrick Kestemont d'avoir accepté de rapporter ce travail. Je remercie également le Docteur Céline Zatylny-Gaudin, Maître de Conférences à l'Université de Caen Normandie et actuelle Directrice du site Caennais de BOREA, le Docteur Marie-Laure Begout et le Docteur Valérie Cornet d'avoir accepté d'examiner mon travail.

J'adresse mes remerciements au Docteur N'Guessan Koffi, Directeur Général de l'Institut National Polytechnique Félix Houphouët Boigny (INP-HB) de Yamoussoukro, au Docteur Siaka Koné, Directeur de l'Ecole Supérieure d'Agronomie (ESA) de l'INP-HB et au Colonel Bob Kouadio, Directeur de Département Eaux, Forêts et Environnement (FOREN) de l'INP-HB qui ont tout mis en œuvre pour me permettre d'obtenir la bourse de thèse, aménagé mon temps de travail d'enseignant-chercheur dans ledit institut pour réaliser cette thèse sans contrainte. Sans vous, je n'aurais pas eu les autorisations de sortir du territoire ivoirien pour me rendre en France et en Bolivie.

Je me dois de remercier les équipes de Montpellier SupAgro et de l'ESA de Yamoussoukro qui ont assuré la gestion des fonds destinés à ma thèse dans le cadre du projet de Renovation pédagogique et institutionnelle de l'ESA. J'adresse une mention spéciale à Christine Moretti qui a œuvré d'arrache-pied pour trouver les solutions face aux difficultés sans cesse rencontrées. Je n'oublie pas non plus Djinan, Sinan, Corinne Pickett et Gisèle André qui ont été toujours disponibles et prompts à répondre à mes sollicitations. Grace à vous, mes

déplacements en Bolivie et en France ont été fluides et ma prise en charge financière a été assurée régulièrement.

Je remercie l'IRD et ses représentations de Bondy (France) et de la Paz (Bolivie) pour l'appui financier complémentaire à la bourse de thèse. Grand merci à Sébastien pour sa compréhension et la relance d'achat des billets d'avion lorsque l'obtention de mon visa a été retardée.

Je tiens à remercier le Professeur Pascal Sourdain pour m'avoir accueilli au sein du laboratoire Caennais de BOREA lorsque je démarrais ma thèse.

Je tiens à exprimer mes remerciements à Fabrice Duponchelle, Chargé de recherche à l'IRD, pour m'avoir accueilli au sein des équipes 2 puis 7 puis D mais finalement C de l'UMR BOREA.

Je veux aussi remercier l'ensemble des membres du laboratoire BOREA, professeurs, maîtres de conférences ainsi que le personnel technique et administratif pour ces années passées parmi vous. Je remercie très sincèrement Marie-Pierre qui malgré ses nombreuses sollicitations, n'a pas hésité une seconde à me prêter main forte pour réaliser des PCR. Merci également à Christophe Roger pour ses chaleureuses poignées de main lorsqu'on se rencontre dans les couloirs du labo et à Catherine pour les démarches entreprises pour l'obtention de mon logement au Crous lors de mes séjours en France.

Je remercie Thomas Knigge, Jean-Yves Toullec, Céline Ollivaux et Antoine Drieu qui ont accepté d'être membres de mon Comité de Suivi Individuel (CSI). Vos encouragements et vos conseils avisés m'ont été d'une grande utilité.

J'adresse également des remerciements aux doctorants, particulièrement à mon ami Alex. Tu te souviens de ma valise que tu trainais en courant avec moi pour ne pas que je manque mon bus lorsque je me rendais à Paris avant de prendre mon vol pour la Côte d'Ivoire ! Julie et Floriane je ne vous oublie pas, c'est grâce à vous qu'on était au bon moment au RU pour le déjeuner.

Je remercie Benoît Bernay et Julien Pontin de la plateforme PROTEOGEN de l'Université de Caen pour les longues heures passées sur mes échantillons. Le projet "Hormonotis", comme vous avez baptisé la partie protéomique de ma thèse, n'est pas prêt de finir ; il y a encore beaucoup de choses à découvrir sur le « bonytongue » africain.

Je remercie également tous mes collègues du département FOREN de l'INP-HB pour leurs encouragements et leur soutien, en particulier, je remercie le Docteur/Colonel Danhoué Goué pour avoir assuré mes modules d'enseignement lorsque j'étais absent de Côte d'Ivoire. J'ai pu me consacrer presque à 100% à mes travaux de thèse grâce à vous.

J'adresse mes sincères remerciements à tous les pisciculteurs, pêcheurs et acteurs du domaine piscicole qui m'ont permis de collecter les échantillons de *H. niloticus* nécessaires à la réalisation de cette thèse. Ce sont Affif et Jacques de Yamoussoukro, Drissa, Sinan, Mamadou et Kouassi de Sinfra, Ballo de Yopohué, Soro de l'association des pisciculteurs de Gnanagonfla, Maurice de Grégbeu, Mahan de Man, Millan d'Aboisso, Boko et Kamagaté d'Abengourou, Théodore et Djeneba de l'Association des pisciculteurs de Côte d'Ivoire, Soro Drissa, Roger, Raoul de l'APDRA-CI de Daloa, Moser du service de pêche de Guessabo, Marc Oswald de l'APDRA de France ainsi que le personnel des équipes projet de Côte d'Ivoire (Timothée), de la Guinée (Mansa, Augustin et Jean-Philippe) et du Cameroun (Guillaume, Thomas et David).

A tout le personnel du laboratoire PROVETSUR de la Facultad de Ciencias Veterinarias de la Universidad Autónoma Gabriel René Moreno de Santa Cruz (Bolivie), j'exprime ma profonde gratitude pour l'accueil qui m'a été réservé durant mes différents séjours. Muchas gracias por todo Ariel ! Ton ouverture et tes conseils m'ont permis d'aborder sereinement l'aspect génétique de ma thèse. Merci également à Ericka qui aménageait son temps pour rendre disponibles les locaux et équipements nécessaires à la réalisation des tests ELISA.

Je ne manque pas de remercier Gladys Carolina Herbes (sous contrat IRD) pour le temps passé à m'aider à obtenir les amplifications de séquences, à nettoyer et à aligner les séquences et à les analyser. Carolina, je te tire mon chapeau car tu as été la seule à accepter d'aller jusqu'au bout.

Je veux aussi remercier tous les étudiants qui m'ont aidé sur la partie génétique de ma thèse. Il s'agit de Grégoire pour la collecte d'échantillons en Côte d'Ivoire, Claudia, Laura et Luz pour les extractions d'ADN au laboratoire PROVETSUR.

Je remercie vivement mes deux Mamans, Suzanne et Rose ainsi que tous mes frères et sœurs biologiques qui ont cru en moi et n'ont cessé de me soutenir. Le docteur que la famille attendait est finalement là, ouf !

Merci également à tous les frères et sœurs de l'Eglise du Christ de Yamoussoukro et de Santa Cruz pour vos prières. J'ai livré le bon combat, désormais la couronne de docteur m'appartient.

Je remercie tous mes amis qui m'ont souvent appelé quel que soit le pays où je me trouvais pour m'exprimer leur attachement.

Enfin, la palme d'or revient à ma charmante épouse Sophie que j'appelle affectueusement "Mon BB" et à mes enfants Evane et Catalya. Mon BB, tu as supporté tous ces moments de longue absence et tu n'as cessé de m'encourager et de me dire de tenir bon. Je serai désormais plus souvent à tes côtés en attendant de nouveaux challenges.

Table des matières

Table des figures	13
Table des tableaux.....	16
Table des annexes	17
Abréviations.....	18
Première partie : Introduction générale	21
1. Contexte et problématique	23
1.1 Proximité phylogénétique de l' <i>Heterotis</i> et de l' <i>Arapaima</i> : intérêt pour comprendre l'évolution des téléostéens et la biologie de la reproduction	23
1.2 <i>Heterotis</i> et <i>Arapaima</i> , des poissons d'un grand intérêt pour la pêche et l'aquaculture	26
1.2.1 Pêche et aquaculture de <i>H. niloticus</i>	26
1.2.2 Pêche et aquaculture de <i>A. gigas</i>	27
1.3 Défis liés à la reproduction et à la génétique des populations d' <i>Heterotis</i> et <i>Arapaima</i>	30
2. Descriptions des deux modèles d'étude : <i>Arapaima gigas</i> et <i>Heterotis niloticus</i>	33
2.1 Systématique et morphologie	33
2.2 Particularités anatomiques des <i>Arapaimidae</i>	38
2.2.1 Le système nerveux	38
2.2.2 Gonades	38
2.2.3 Organe suprabranchial ou épibranchie	40
2.2.4 Vessie gazeuse.....	41
2.3 Régime alimentaire	41
2.3.1 <i>H. niloticus</i> , un poisson benthophage et microphage	41
2.3.2 <i>A. gigas</i> , un poisson carnivore.....	42
3. Les populations de <i>A. gigas</i> et de <i>H. niloticus</i>	44
3.1 Habitat	44
3.2 Zones de distribution des <i>Arapaimidae</i>	45
3.2.1 Les populations de <i>A. gigas</i>	45
3.2.2 Les populations de <i>H. niloticus</i>	48

3.3. Génétique des populations de <i>A. gigas</i> et <i>H. niloticus</i>	53
3.3.1 Génétique des populations et reproduction des espèces	53
3.3.2 Les différents types de marqueurs pour l'étude de la génétique des populations ...	53
3.3.3 Structure génétique et conservation des populations de <i>H. niloticus</i> et de <i>A. gigas</i>	59
4 L'organisation séquentielle et les principales étapes du cycle de reproduction des <i>Arapaimidae</i>	61
4.1 Maturité sexuelle	61
4.1.1 Stades de maturation des gonades	61
4.1.2 Taille et âge des poissons à la première maturité sexuelle	65
4.2 Période de reproduction et formation des couples	66
4.3 Construction ou réaménagement de nid	68
4.4 Ponte et fécondation des œufs	70
4.5 Soins parentaux et différents stades de développement du poisson.....	72
5. La régulation neuroendocrinienne de la reproduction chez les poissons téléostéens : hormones, gamétogenèse et comportement reproducteur.....	74
5.1 Le Rôle de l'axe hypothalamo-hypophyso-gonadique	74
5.2 Les hormones stéroïdiennes	75
5.2.1 Synthèse et rôle des hormones stéroïdiennes dans la fonction de reproduction.....	75
5.2.2 Les récepteurs œstrogéniques	76
5.3 La vitellogénine.....	80
5.3.1 Rôle et distribution tissulaire de la vitellogénine chez les téléostéens	80
5.3.2 Domaines et variantes de la vitellogénine	82
5.3.3 Les familles de récepteurs à la vitellogénine	85
5.4 La choriogénine.....	89
6. Objectifs de la thèse	92
 Deuxième partie : Matériel et méthodes	95
1. Etude de la variabilité génétique des popula-tions de <i>H. niloticus</i>	97
1.1 Les échantillons de <i>H. niloticus</i> utilisés	97
1.2 Extraction, amplification et séquençage d'ADN.....	99
1.2.1 Extraction de l'ADN génomique	99
1.2.2 Choix des marqueurs moléculaires et PCR	100
1.2.3 Séquençage	102

1.3 Analyse des données	104
1.3.1 Alignement des séquences	104
1.3.2 Biogéographie des haplotypes	104
1.3.3 Diversité nucléotidique et haplotypique	104
1.3.4 Relation phylogéographique entre les haplotypes	105
1.3.5 Analyse de variance moléculaire (AMOVA)	105
2. Approches transcriptomiques et protéomiques	106
2.1 Echantillonnage et prélèvements tissulaires	106
2.2 Approches transcriptomiques	107
2.2.1 Extraction des ARN	107
2.2.2 Séquençage et traitement bioinformatique	107
2.3 Approches protéomiques ciblée sur la recherche de Vtg	109
2.3.1 Préparation d'échantillons pour analyse par spectrométrie de masse	109
2.3.2 NanoLC – MS/MS	109
2.3.3 Séquençage des peptides et identification des protéines	110
2.4 Approches fonctionnelles	110
3. Sexage des individus mâtures de <i>H. niloticus</i> et étude du comportement reproducteur de <i>A. gigas</i>	112
3.1 Sexage des individus matures de <i>H. niloticus</i>	112
3.1.1 Test du kit de sexage de <i>A. gigas</i>	112
3.1.2 Test de l'anti corps anti Vtg de <i>A. gigas</i> et <i>O. bicirrhosum</i>	114
3.1.3 Mise au point d'un anticorps anti-Vtg spécifique de <i>H. niloticus</i>	115
3.1.4 Détection de la Vtg par MS/MS et sexage des individus matures	116
3.2 Suivi télémétrique pour l'étude du comportement reproducteur	117
3.2.1 Site expérimentale et poissons utilisés	117
3.2.2 Système de suivi des <i>Arapaima</i>	118
3.2.3 Pose des émetteurs ultrasoniques sur les poissons	118
3.2.4 Disposition des hydrophones dans l'étang expérimental	118

Troisième partie : Première approche de la caractérisation de la ressource génétique d'*Heterotis* en Côte d'Ivoire, par comparaison du polymorphisme haplotypique de l'ADNmt (Cytb et NADH) selon l'origine géographique des échantillons sauvages (capturés dans la nature) ou cultivés (élevés en pisciculture) 121

1. Introduction.....	123
2 Démarche expérimentale	125
3. Caractérisation de la ressource génétique en Côte d'Ivoire.....	127
3.1 Variation de séquences des gènes mitochondriaux de <i>H. niloticus</i>	127
3.1.1 Matrice concaténée des marqueurs mitochondriaux	127
3.1.2 Gène Cyt b.....	129
3.1.3 Segment NADH1.....	130
3.2 Phylogéographie des haplotypes	132
3.3 Origine géographique des bonytongues de Côte d'Ivoire.....	134
3.4 Comparaison de distribution géographique des haplotypes entre populations sauvages et stock d'élevage de la Côte d'Ivoire et du Cameroun	136
3.5 Comparaison de distribution des haplotypes entre populations sauvages selon les bassins versants de Côte d'Ivoire	138
3.6 Comparaison de distribution des haplotypes entre stocks d'élevage selon les piscicultures de Côte d'Ivoire	141
3.7 Lien entre piscicultures et populations sauvages d'un même bassin versant.....	144
3.8 Discussion et conclusion	146

Quatrième partie : La vitellogenèse et sa régulation chez *H. niloticus* et *A. gigas* : Identification et caractérisation structurale des acteurs moléculaires 151

La vitellogenèse et sa régulation chez <i>H. niloticus</i> et <i>A. gigas</i> : Identification et caractérisation structurale des acteurs moléculaires	151
1. Introduction.....	153
2. Démarche expérimentale	155
2.1 Approche transcriptomique.....	156
2.2 Approche protéomique.....	156
3. Les acteurs impliqués dans la vitellogenèse et sa régulation chez <i>Heterotis niloticus</i>	157
<i>Article 1</i> : Identification et caractérisation des acteurs impliqués dans la vitellogenèse et sa régulation chez l'Osteoglossiforme africain d'intérêt aquacole, <i>Heterotis niloticus</i> (Cuvier, 1829)	158

4 Proximité phylogénétique de <i>A. gigas</i> et <i>H. niloticus</i> basée sur les aspects moléculaires de la vitellogénèse et sa régulation	218
4.1 Les séquences utilisées.....	218
4.2 Identification des acteurs moléculaires chez <i>A. gigas</i> et comparaison avec <i>H. niloticus</i>	219
4.2.1 Les vitellogénines et leur récepteur	219
4.2.2 Récepteurs du 17 β -estradiol	219
4.2.3 La Prolactine et son récepteur	223
4.2.4 Les Gonadotropines et leurs récepteurs.....	225
4.3 Phylogénie des acteurs impliqués dans la vitellogénèse et sa régulation chez <i>H. niloticus</i> et <i>A. gigas</i>	226
4.3.1 Sous unité commune α de la LH et la FSH (GP α).....	227
4.3.2 Sous unité β de la LH	228
4.3.3 Sous unité β de la FSH	229
4.3.4 Récepteur de la FSH.....	230
4.3.5 Récepteur de la LH.....	231
4.3.6 Prolactine	232
4.3.7 Récepteur de la PRL	233
4.3.8 Récepteur du 17 β -estradiol.....	234
4.3.9 Vitellogénine	235
4.3.10 Récepteur de la Vtg	236
4.4 Discussion	237
5. Conclusion	239

Cinquième partie : Sexage des individus matures de *H. niloticus* et suivi télémétrique du comportement reproducteur de *A. gigas*241

1. Introduction.....	243
2. Démarche expérimentale	244
3. Utilisation d'un réseau de télémétrie acoustique pour suivre le comportement reproducteur de <i>A. gigas</i> en captivité	246
<i>Article 2 : Use of an acoustic telemetry array for fine scale fish behaviour assessment of captive Paiche, <i>Arapaima gigas</i>, breeders</i>	249

4. Sexage de reproducteurs de <i>H. niloticus</i> pour suivre leur comportement reproducteur en étang de pisciculture	258
4.1 Résultats avec le test du kit de sexage de <i>A. gigas</i>	258
4.2 Résultats avec l'anticorps anti Vtg de <i>A. gigas</i> et de <i>O. bicirrhosum</i>	259
4.3 Résultats avec l'anticorps anti Vtg de <i>H. niloticus</i>	260
4.3.1 Purification de la Vtg et production d'anticorps anti Vtg de <i>H. niloticus</i>	260
4.3.2 Test de l'anticorps anti Vtg de <i>H. niloticus</i>	261
4.4 Résultats de l'analyse en spectrométrie de masse	262
4.5 Discussion	265
5. Conclusion	268
Sixième partie : Conclusion générale et perspectives	269
1. <i>H. niloticus</i> en Côte d'Ivoire, un poisson d'origine « camerounaise » à faible variabilité génétique ?	272
2. Caractérisation et identification des acteurs moléculaires de la vitellogenèse, une étape pour comprendre la physiologie de la reproduction des <i>Arapaimidae</i>	273
3. Trois méthodes pour sexer <i>H. niloticus</i> , un poisson dépourvu de dimorphisme sexuel....	276
4. Comprendre le comportement reproducteur des <i>Arapaimidae</i> en étang de pisciculture, c'est désormais possible	278
Septième partie : Références bibliographiques	279
Annexes	323

Table des figures

Figure 1 : Fragmentation et divergence de certaines espèces d'Osteoglossomorphes.	24
Figure 2 : Arbre phylogénétique montrant la divergence entre <i>Heterotis</i> - <i>Arapaima</i>	25
Figure 3 : Capture de la pêche et production aquacole de <i>A. gigas</i>	29
Figure 4 : Principaux pays ayant importé <i>A. gigas</i> vivant.	30
Figure 5 : Coloration de <i>A. gigas</i> mâle et femelle mûres durant la période reproduction. ...	31
Figure 6 : <i>Heterotis niloticus</i> adulte.....	33
Figure 7 : <i>Arapaima gigas</i> adulte.....	33
Figure 8 : Position systématique de <i>A. gigas</i> et de <i>H. niloticus</i>	34
Figure 9 : Variation de forme de la cavité préoperculaire d' <i>Arapaima sp</i>	35
Figure 10 : Squelette de la tête d' <i>Heterotis niloticus</i> et d' <i>Arapaima gigas</i>	37
Figure 11 : Morphologie du cerveau de <i>H niloticus</i>	38
Figure 12 : Position des gonades chez les <i>Arapaimidae</i>	39
Figure 13 : Position schématique de l'organe suprabranchial de <i>H. niloticus</i>	40
Figure 14 : Distribution géographique des populations natives et introduites de <i>A. gigas</i>	47
Figure 15 : Distribution géographique de <i>H. niloticus</i>	49
Figure 16 : Bassins versants des cours d'eau principaux de la Côte d'Ivoire.....	51
Figure 17 : Carte du génome mitochondrial de <i>A. gigas</i>	56
Figure 18 : Evolution de la maturation des ovaires et ovocytes des <i>Arapaimidae</i>	63
Figure 19 : Schéma d'une coupe testiculaire de poisson et stades de maturation de testicule de <i>A. gigas</i>	64
Figure 20 : Œufs observés dans la bouche d'une femelle de <i>H. niloticus</i>	68
Figure 21 : Nid de <i>H. niloticus</i> dans un étang piscicole	69
Figure 22 : Représentation schématique de l'axe hypothalamo-hypophysaire-gonadique	74
Figure 23 : Niveau d'expression des ERs chez les femelles de <i>Micropterus salmoides</i> e.	77
Figure 24 : Structure des récepteurs d'estrogène.	78
Figure 25 : Séquences du noyau des DBD des récepteurs œstrogéniques alpha, beta et gamma de <i>Micropterus salmoides</i>	79
Figure 26 : Régulation de la vitellogenèse et de la choriogenèse chez les Salmonidae	81

Figure 27 : Représentation de la structure des VtgA, VtgB et VtgC.....	83
Figure 28 : Nomenclature de la Vtg chez divers espèces de téléostéens	85
Figure 29 : Arbre phylogénétique présentant les récepteurs de la superfamille des LDLR	86
Figure 30 : Représentation schématique de la structure d'un récepteur de vitellogénine.	87
Figure 31 : LRP1, LRP1B et LRP2 re-annotés LRP13	89
Figure 32 : Schématisation du chorion ovarien de <i>Acipenser transmontanus</i>	90
Figure 33 : Structure de la choriogénine H de certains téléostéens	91
Figure 34 : Etat des lieux des études de génétique des populations de <i>H. niloticus</i> et objectif de la thèse.....	993
Figure 35 : Sites de collecte d'échantillons de <i>H. niloticus</i> en Côte d'Ivoire, en Guinée et au Cameroun.....	98
Figure 36 : Membrane mini Array du kit de sexage de <i>A. gigas</i>	113
Figure 37 : Membrane Mini Array montrant la détection de la Vtg.....	113
Figure 38 : <i>A. gigas</i> équipé d'un émetteur ultrasonique.	119
Figure 39 : Echantillonnage et analyse de génétique de populations de <i>H. niloticus</i>	126
Figure 40 : Arbre phylogénétique des haplotypes du gène Cyt b de <i>H. niloticus</i>	133
Figure 41 : Carte de distribution des haplotypes des gènes Cyt b de <i>H. niloticus</i> et réseau d'haplotypes.....	135
Figure 42 : Approche mise en œuvre pour caractériser les acteurs impliqués dans la vitellogenèse et sa régulation chez <i>H. niloticus</i> et <i>A. gigas</i>	155
Figure 43 : Séquences nucléotidiques et séquences protéiques déduites des récepteurs œstrogéniques de <i>A. gigas</i>	220
Figure 44 : Alignement des séquences protéiques déduites des deux récepteurs œstrogéniques bêta de <i>A. gigas</i> et comparaison d avec <i>H. niloticus</i>	221
Figure 45 : Structure en hélice α des LBD des récepteurs œstrogéniques beta de <i>A. gigas</i> . ..	222
Figure 46 : Séquence nucléotidique et séquence protéique déduite (de la prolactine de <i>A. gigas</i> , structure tertiaire et alignement avec <i>H. niloticus</i>	223
Figure 47 : Séquence nucléotidique partielle et séquence protéique déduite du récepteur à la prolactine de <i>A. gigas</i> et alignement <i>H. niloticus</i>	224
Figure 48 : Alignement des séquences protéiques déduites des GP α , LH β et FSH β de <i>H. niloticus</i> et <i>A. gigas</i>	225
Figure 49 : Comparaison des structures secondaires de la PRL, GP α , FSH β , LH β et des ER β de <i>H. niloticus</i> et <i>A. gigas</i>	226
Figure 50 : Arbre phylogénétique des GP α	227
Figure 51 : Arbre phylogénétique des LH β	228

Figure 52 : Arbre phylogénétique des FSH β	229
Figure 53 : Arbre phylogénétique des FSHR.....	230
Figure 54 : Arbre phylogénétique des LHR.....	231
Figure 55 : Arbre phylogénétique des PRL	232
Figure 56 : Arbre phylogénétique des PRLR.....	233
Figure 57 : Arbre phylogénétique des ER β et ER γ	234
Figure 58 : Arbre phylogénétique des Vtg.....	235
Figure 59 : Arbre phylogénétique des VtgR ou VLDLR.....	236
Figure 60 : Démarche suivie pour mettre au point une méthode de sexage de <i>H. niloticus</i> et réaliser une étude des interactions mâle-femelle de <i>A. gigas</i> par télémétrie ultrasonique. ...	245
Figure 61 : Méthodologie de télémétrie Lotek utilisée pour étudier le comportement reproducteur de <i>A. gigas</i>	248
Figure 62 : Test du kit de sexage de <i>A. gigas</i>	258
Figure 63 : Révélation de la série de dilution de plasmas mâles et femelles de <i>A. gigas</i> et <i>H. niloticus</i> incubés avec l'anticorps anti Vtg1 de <i>A. gigas</i>	259
Figure 64 : Révélation de la série de dilutions de plasmas mâles et femelles de <i>A. gigas</i> et <i>H. niloticus</i> incubés avec l'anticorps anti Vtg de <i>O. bicirrhosum</i>	260
Figure 65 : SDS-PAGE de plasma de <i>H. niloticus</i> d'individus avant induction et induits au 17 β -estradiol	261
Figure 66 : Révélation de la série de dilution de plasmas mâles et femelles de <i>A. gigas</i> et <i>H. niloticus</i> incubés avec l'anticorps anti Vtg de <i>H. niloticus</i>	262
Figure 67 : Niveau de détection de la Vtg ou ses produits de clivages par spectrométrie de masse dans le mucus d'individus mâles et femelles de <i>H. niloticus</i> en vitellogenèse.....	263
Figure 68 : Détermination du sexe par analyse en spectrométrie de masse de deux lots de reproducteurs de <i>H. niloticus</i>	264
Figure 69 : Etudes réalisées au cours de cette thèse qui contribuent à la domestication de <i>H. niloticus</i> et <i>A. gigas</i>	271

Table des tableaux

Tableau 1 : Noms attribués à <i>Heterotis niloticus</i> dans plusieurs pays d’Afrique.....	36
Tableau 2 : Quelques introductions de <i>H. niloticus</i> dans les pays africains	50
Tableau 3 : Quelques caractéristiques de l’ADN mitochondrial	55
Tableau 4 : Organisation des gènes du génome mitochondrial de <i>A. gigas</i>	56
Tableau 5 : Stades de maturation et caractéristiques morphologiques des ovaires des <i>Arapaimidae</i>	62
Tableau 6 : Stades de maturation et caractéristiques du testicule des <i>Arapaimidae</i>	65
Tableau 7 : Taille minimale de première maturité sexuelle des <i>Arapaimidae</i> suivant la longueur standard , l’âge ou le poids	66
Tableau 8 : Période de reproduction de <i>H. niloticus</i> dans différentes régions de l’Afrique....	67
Tableau 9 : Taille et fécondité chez <i>H. niloticus</i>	71
Tableau 10 : Masses moléculaires de divers types de vitellogénine chez les téléostéens	84
Tableau 11 : Amorces utilisées pour la PCR du gène Cyt b et du segment NADH1 de <i>H. niloticus</i>	102
Tableau 12 : Provenance et nombre d’échantillons collectés et séquencés pour les gènes Cyt b et NADH1 de <i>H. niloticus</i>	103
Tableau 13 : Organes prélevés sur les individus mâles et femelles pour le transcriptome et le protéome	106
Tableau 14 : Solutions stocks utilisés pour les tests ELISA	114
Tableau 15 : Fréquences absolues des haplotypes concaténés de l’ADNmt de <i>H. niloticus</i> .127	
Tableau 16 : Indice de diversité génétique du gène concaténé de l’ADNmt de <i>H. niloticus</i> 128	
Tableau 17 : Fréquences absolues des haplotypes du Cyt b de <i>H. niloticus</i>	129
Tableau 18 : Indice de diversité génétique du Cyt b de <i>H. niloticus</i>	130
Tableau 19 : Fréquences absolues des haplotypes du segment NADH1 de <i>H. niloticus</i>	131
Tableau 20 : Indice de diversité génétique du segment NADH1 dt de <i>H. niloticus</i>	132
Tableau 21 : Fréquences absolues des haplotypes de la matrice concaténée, du Cyt b et du segment NADH1 de populations sauvages (PS) et stocks d’élevage (SE) de <i>H. niloticus</i> de Côte d’Ivoire et du Cameroun.....	136
Tableau 22 : Test exact de Fisher entre PS et SE de <i>H. niloticus</i> de Côte d’Ivoire et du Cameroun.....	137
Tableau 23 : Analyse moléculaire de variance (AMOVA) des PS et SE de <i>H. niloticus</i> de Côte d’Ivoire et du Cameroun.....	138
Tableau 24 : Fréquences absolues des haplotypes de la matrice concaténée, du Cyt b et du segment NADH1 de PS de <i>H. niloticus</i> de quatre bassins versants (BV) de Côte d’Ivoire.139	
Tableau 25 : Test exact de Fisher entre PS de <i>H. niloticus</i> de quatre BV de Côte d’Ivoire. .139	

Tableau 26 : AMOVA des PS de <i>H. niloticus</i> de quatre BV de Côte d'Ivoire.....	140
Tableau 27 : Fréquences absolues des haplotypes de la matrice concaténée, du Cyt b et du segment NADH1 des SE de <i>H. niloticus</i> de quatre BV de Côte d'Ivoire.....	141
Tableau 28 : Test exact de Fisher entre SE de <i>H. niloticus</i> de quatre BV de Côte d'Ivoire..	142
Tableau 29 : AMOVA des SE de <i>H. niloticus</i> de quatre BV de Côte d'Ivoire.	143
Tableau 30 : Fréquences absolues des haplotypes de la matrice concaténée, du Cyt b et du segment NADH1 des PS et SE de <i>H. niloticus</i> de quatre BV de Côte d'Ivoire	144
Tableau 31 : Test exact de Fisher entre PS et SE de <i>H. niloticus</i> d'un même BV de Côte d'Ivoire.....	144
Tableau 32 : AMOVA des PS et SE de <i>H. niloticus</i> dans un même BV de Côte d'Ivoire....	145
Tableau 33 : Acteurs moléculaires de la vitellogenèse et sa régulation identifiés chez <i>H. niloticus</i> et <i>A. gigas</i>	274

Table des annexes

Annexe 1 : Amorces microsatellites développées pour <i>H. niloticus</i>	325
Annexe 2 : Panels microsatellites définis pour <i>H. niloticus</i>	326
Annexe 3 : Amorces mitochondriales développées pour <i>A. gigas</i>	327
Annexe 4 : Alignement des séquences nucléotidiques des haplotypes de la matrice concaténée des gènes mitochondriaux de <i>H. niloticus</i>	328
Annexe 5 : Alignement des séquences nucléotidiques des haplotypes d'un fragment du gène Cyt b de <i>H. niloticus</i>	329
Annexe 6 : Alignement des séquences nucléotidiques des haplotypes du segment NADH1 de <i>H. niloticus</i>	330
Annexe 7 : Séquences nucléotidiques et séquences protéiques déduites des ERRs de <i>H. niloticus</i>	332

Abréviations

ADNmt : Acide désoxyribonucléique mitochondrial

AF-1 : Première fonction d'activation

AF-2 : Deuxième fonction d'activation

AMOVA : Analyse Moléculaire de la Variance

ARNm : Acide ribonucléique messenger

BV : Bassin Versant

CITES : Convention International Trade of Endangered Species of Wild Fauna and Flora

CT : Extrémité C-terminale

CTAB : Bromure de Cétrimonium

CTE : Extension COOH-terminale

Cyt b : Cytochrome b

DBD : Domaine de liaison à l'ADN

DTT : Dithiothréitol

E2 : 17 β -estradiol

EDTA : Éthylènediaminetétraacétique

EGF : Facteur de croissance épidermique

ELISA : Dosage d'immunoabsorption par enzyme liée

ER : Récepteur oestrogénique

ERR : Récepteur apparenté aux récepteurs oestrogéniques

FCFA : Franc de la Communauté Financière d'Afrique

FPKM : Fragments Per Kilobase of exon per Million fragments mapped

FSH : Hormone folliculo-stimulante

FSHR : Récepteur de l'hormone folliculo-stimulante

Fst : Index de fixation

IGS : Indice Gonado-somatique

IRD : Institut de Recherche pour le Développement

JTT : Modèle Jones-Taylor-Thornton

kDa : kilo Dalton

LBD : Domaine de liaison au ligand

LBR : Répétitions se liant au ligand

LDLR : Récepteur de lipoprotéines de basse densité

LH : Hormone lutéinisante

LHR : Récepteur de l'hormone lutéinisante

LMI EDIA : Laboratoire Mixte International Evolution et Domestication de l'Ichtyofaune Amazonienne

LR8+ : VLDLR avec 8 LBR et le domaine O-glycosylation

LR8- : VLDLR avec 8 LBR et dépourvu du domaine O-glycosylation

LRP : Protéine liée au LDLR

LS : Longueur Standard

LT : Longueur Totale

Lv : Lipovitelline

MS/MS : Spectrométrie de masse

NADH1 : Nicotinamide Adénine dinucléotide sous unité 1

NPS : Sérum de porc

Pb : Paires de bases

PBS : Tampon phosphate salin

PCR : Réaction de polymérisation en chaîne

PMSF : Fluorure de phénylméthylsulfonyl

PRL : Prolactine

PRLR : Récepteur de la prolactine

PS : Population sauvage

Pv : Phosvitine

SE : Stock d'élevage

UICN : Union Internationale pour la Conservation de la Nature

VLDLR : Récepteur de lipoprotéines de très basse densité

Vtg : Vitellogénine

VtgR : Récepteur de la vitellogénine

Première partie

Introduction générale

1. Contexte et problématique

1.1 Proximité phylogénétique de l'*Heterotis* et de l'*Arapaima* : intérêt pour comprendre l'évolution des téléostéens et la biologie de la reproduction

Le super ordre des Ostéoglossomorphes constitue l'un des groupes de téléostéens les plus primitifs présents sur le Gondwana (Bauchot et al., 1993 ; Hilton, 2003). Ce clade a un rôle essentiel dans la compréhension de la phylogénie des téléostéens (Hilton, 2003), raison pour laquelle il fait ainsi partie de l'un des clades les plus étudiés au sein des Poissons. Les différents auteurs se sont intéressés particulièrement à la biogéographie en raison de la répartition intercontinentales des espèces que renferme ce groupe (Nelson, 1969). Il est présent dans presque toutes les parties du globe en dehors de l'antarctique. Les Ostéoglossomorphes présentent un grand nombre d'espèces fossiles datant du proche crétacé dont une douzaine de genres identifiés proviennent de sédiments d'eau douce et marins (Lavoué, 2016). Il est composé de deux ordres : les Ostéoglossiformes largement distribués dans la zone tropicale et les Hiodontiformes de la zone tempérée nord-américaine (Betancur-R et al., 2017 ; Lavoué, 2016). L'ordre des Ostéoglossiformes est composé de la famille des *Gymnarchidae*, *Mormyridae*, *Notopteridae*, *Osteoglossidae* (y compris les *Arapaimidae*) et *Pantodontidae*. Cette classification est basée entre autres sur des données moléculaires et génomiques (Betancur-R et al., 2017).

Arapaima gigas (Schinz, 1822), *Heterotis niloticus* (Cuvier, 1829), *Scleropages sp* et *Osteoglossum sp* sont des espèces appartenant au clade des Ostéoglossomorphes.

De -150 à -30 millions d'années, la fragmentation du Gondwana, a permis d'isoler l'Afrique, l'Inde, Madagascar, l'Amérique du Sud, l'Australie, l'Antarctique et la nouvelle Zélande. Cette dissociation est reconnue comme une cause majeure de la divergence des espèces terrestres et d'eau douce par le mécanisme de la vicariance (Cox, 1974). La divergence entre *Arapaima* et *Heterotis* serait intervenue lors de la séparation de l'Amérique du Sud et de l'Afrique il y a environ 105 millions d'années (Nelson, 1969). La séparation de l'Inde-Madagascar et l'Afrique a été la cause de la divergence des *Notopteridae* africains et asiatiques il y a 135 millions

d'années (Inoue et al., 2009). La fragmentation de l'Australie et de l'Antarctique-Amérique du Sud a été la cause de la divergence des *Scleropages* australiens-sud asiatiques et des *Osteoglossum* sud-américain (*bicirrhosum* et *ferreirai*) il y a 60 millions d'années (Nelson, 1969) (**Figure 1**).

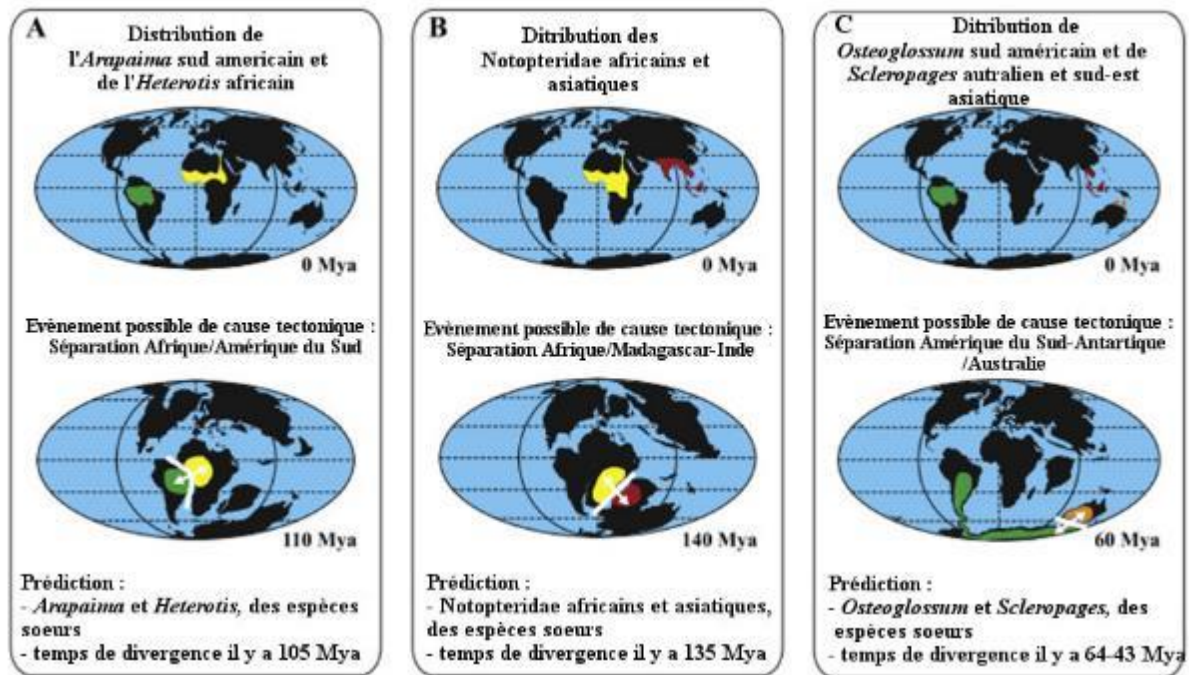


Figure 1 : Fragmentation et divergence de certaines espèces d'Ostéoglossomorphes, d'après Lavoué (2016).

(A) *Arapaima* et *Heterotis*, (B) Notopteridae africains et asiatiques, et (C) *Scleropages* et *Osteoglossum*, Mya : millions d'années.

Des études plus récentes (Lavoué, 2016) indiquent qu'il est probable que la fragmentation du Gondwana n'ait pas provoqué la divergence entre *Arapaima* et *Heterotis* ou entre les Notopteridae asiatiques et africains. L'analyse des données combinées des taxons fossiles et vivants, des caractères moléculaires et morphologiques, situe les temps de divergences après la fragmentation du Gondwana (**Figure 2**).

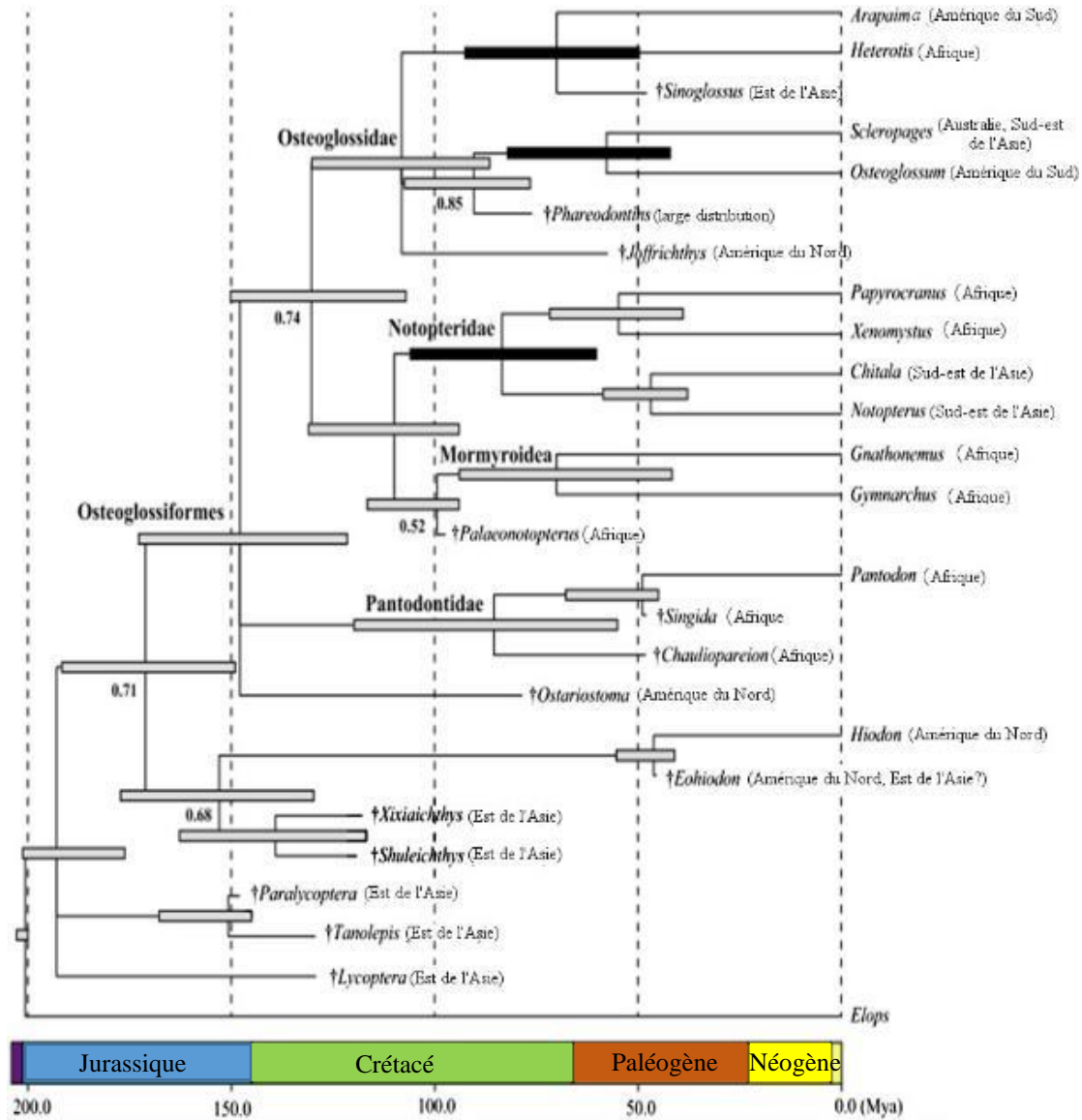


Figure 2 : Arbre phylogénétique situant la période de divergence entre *Heterotis* - *Arapaima* après la séparation de l'Afrique et de l'Amérique du Sud, d'après Lavoué (2016)
 Les barres horizontales noires (pour les nœuds focaux) et grises (pour les autres nœuds) correspondent à des intervalles de confiance de 95%. Les nombres en gras aux nœuds sont des probabilités bayésiennes postérieures <0,9. Les genres fossiles sont précédés d'une croix, Mya : millions d'années.

Plusieurs études ont permis de montrer la proximité phylogénétique entre *H. niloticus* du bassin hydrographique africain et *A. gigas* du bassin amazonien (Betancur-R et al., 2017 ; Guo-Qing & Wilson, 1996 ; Hilton, 2001, 2003 ; Lavoué, 2016 ; Lavoué & Sullivan, 2004 ; Nelson, 1968, 1969). Ces études sont basées entre autres sur l'analyse de caractères squelettiques, la dentition, les approches bayésiennes de données morphologiques, fossiles et moléculaires, la structure des arcs branchiaux et les os infra orbitaux. Cette proximité phylogénétique se traduit à la fois par une similitude de traits de vie entre les deux espèces sœurs et quelques évolutions (comportement, cycle de reproduction, croissance). L'étude de ces aspects à une échelle transcontinentale se révèle particulièrement intéressante dans le domaine de la biologie de la reproduction et pour la compréhension de l'évolution des téléostéens.

1.2 *Heterotis* et *Arapaima*, des poissons d'un grand intérêt pour la pêche et l'aquaculture

1.2.1 Pêche et aquaculture de *H. niloticus*

H. niloticus est une espèce importante pour la pêche continentale en Afrique (Adite et al., 2006 ; Moreau, 1982 ; Odo et al., 2009). C'est la principale espèce visée pendant les périodes de crue car les individus adultes se dispersent dans les plaines inondées (Adite et al., 2006). Au Bénin, 742 tonnes d'*Heterotis* étaient pêchés annuellement (Adite et al., 2006). Cette espèce qui représentait avec *Oreochromis niloticus* plus de 60% de la production de la pêche commerciale artisanale en Côte d'Ivoire (Bernacsek & Powles, 1992) connaît une surexploitation de ses pêcheries. En 2016, la production halieutique de *H. niloticus* était estimée à 874 tonnes en Côte d'Ivoire (DAP, 2016a, 2016b, 2016c, 2016d), soit moins de 3% des captures de pêche. Dans certains cours d'eau de sa zone de distribution, les alevins sont souvent pêchés volontairement en même temps que les géniteurs ; ce qui constitue une menace pour les populations sauvages de cette espèce (Bauchot et al., 1993 ; Oladosu et al., 2007).

La pisciculture africaine est axée principalement sur l'élevage de *O. niloticus* (Brummett et al., 2008). Les efforts en matière d'élevage d'*Heterotis* ont été réalisés dès 1955 avec les premiers essais couronnés de succès en Centrafrique (Tillon, 1959). En Côte d'Ivoire, c'est la deuxième espèce piscicole (Yao et al., 2017). *Heterotis* est généralement élevé en polyculture avec *O.*

niloticus qui constitue l'espèce principale (Kimou et al., 2016 ; Yao et al., 2017). Les élevages en monoculture sont assez rares (Bard, 1973 ; Kimou et al., 2016 ; Reizer, 1964 ; Tillon, 1959).

H. niloticus est généralement très prisé par les populations locales ; ce qui induit une exploitation régulière des pêcheries et une commercialisation facilitée dans ces zones (Depierre & Vivien, 1977 ; Kouakou et al., 2016). Dans certaines régions de la Côte d'Ivoire (Lazard, 1990), du Gabon (Depierre & Vivien, 1977) et du Nigeria (Ekanem et al., 2010), il est impopulaire à cause de son goût diversement apprécié. Cependant, lorsqu'il est salé et fumé, son acceptation par le consommateur est très élevée (Akinneye et al., 2007 ; Ekanem et al., 2010). C'est une importante source d'acides aminés indispensables (Monentcham et al., 2010), de protéines et de sel minéraux (Akinneye et al., 2007).

En Côte d'Ivoire, l'association de l'élevage de *H. niloticus* et de la culture du riz dans un même étang est un axe important de la sécurité alimentaire dans les communautés villageoises (Bony et al., 2015). Ce poisson joue un rôle socioculturel chez les peuples Ibo du Nigeria (Odo et al., 2009) et procure dans sa zone de distribution un revenu substantiel aux pêcheurs et aux pisciculteurs (Depierre & Vivien, 1977). Le rendement de filetage de *H. niloticus* représente plus de 59% du poids total du poisson (Adeyemo, 2013). Toutes les parties du poisson éviscéré sont en général consommées. Les poissons sont vendus lorsqu'ils ont atteint un poids supérieur à 2 kg contrairement à *O. niloticus* qui dépasse rarement les 500 g à la vente. Le prix du kilogramme se négocie en Afrique de l'Ouest sensiblement au même prix que *O. niloticus* entre 1 500 et 2 500 FCFA suivant la taille du poisson.

1.2.2 Pêche et aquaculture de *A. gigas*

A. gigas fait partie de l'une des espèces les plus exploitées en pêche et commence à être produite en aquaculture en Amérique du Sud. C'est une source importante de protéines animales utilisée par les populations du bassin amazonien. Il a longtemps fait partie de l'alimentation des amérindiens vivant pour la plupart à proximité des rivières et des fleuves. A partir du XVIII^e siècle, avec l'arrivée des colonisateurs espagnols, il a été utilisé comme substitut de la morue et fortement exploité. Ainsi, la pêche commerciale d'*Arapaima* s'est développée à partir de cette période (Farias et al., 2003). De 1885 à 1893, 11 540 tonnes d'*Arapaima* séché et salé sont exportées de Belém (environ 1282 tonnes/an). Cette exploitation a connu une croissance entre 1919 et 1921 pour atteindre 1920 tonnes/an. De 1918 à 1924,

6 775 tonnes d'*Arapaima* sont exportées de l'Etat d'Amazonas (968 tonnes/an). A partir de 1970, l'espèce a commencé à se faire rare. Dès 1980, son exploitation à des fins commerciales n'était plus viable économiquement. L'épuisement des stocks naturels a conduit l'espèce à disparaître dans certaines régions. Depuis 1975, *A. gigas* figure dans l'Annexe II de la liste CITES (Convention International Trade of Endangered Species of Wild Fauna and Flora) (CITES, 2018) avec une population estimée entre 50 000 à 100 000 individus dans le bassin amazonien (Schaefer et al., 2012). Cependant, il est classé sur la liste rouge de l'Union Internationale pour la Conservation de la Nature (UICN) comme espèce ne disposant pas de données suffisantes pour établir clairement son statut et donc son degré de de vulnérabilité et de risque d'extinction (IUCN, 2017).

Le statut CITES n'a pas empêché la poursuite de son exploitation illégale. En 2001, le gouvernement brésilien a interdit toute activité de pêche d'*Arapaima* dans ses cours d'eau (Hrbek et al., 2005). Cependant, il ne fait pas partie de la liste nationale des espèces en danger (Castello et al., 2015). La saison favorable de pêche d'*Arapaima* se situe de Septembre à Janvier pendant la baisse du niveau des cours d'eau (Castello, 2008b).

Les populations naturelles d'*Arapaima* continuent leur déclin dans la majorité des eaux amazoniennes en raison de la forte exploitation des pêcheries. Il ressort d'une étude récente (Castello et al., 2015) que *A. gigas* a disparu dans 19% des localités dans la zone basse de l'Amazonie. Compte tenu de son importance économique et culturelle, la pisciculture de cette espèce s'est développée (Castello et al., 2015) pour répondre aux besoins sans cesse croissants des consommateurs (Schaefer et al., 2012). Son statut CITES a suscité dès les années 2004, un grand intérêt pour son élevage (**Figure 3**). En plus, tout comme *H. niloticus* (Reizer, 1964), les caractéristiques exceptionnelles de *A. gigas* font de ce poisson, un excellent candidat pour la pisciculture (Santos et al., 2014 ; Schaefer et al., 2012). Il possède :

- un taux de croissance élevé (10 à 15 kg/an) ;
- une excellente utilisation de sa carcasse ;
- une maturité sexuelle tardive, ce qui permet une bonne croissance des mâles et des femelles ;
- une résistance aux manipulations et au transport ;
- une tolérance à des faibles teneurs d'oxygène dissous dans l'eau grâce à l'existence d'une double respiration, branchiale et aérienne.

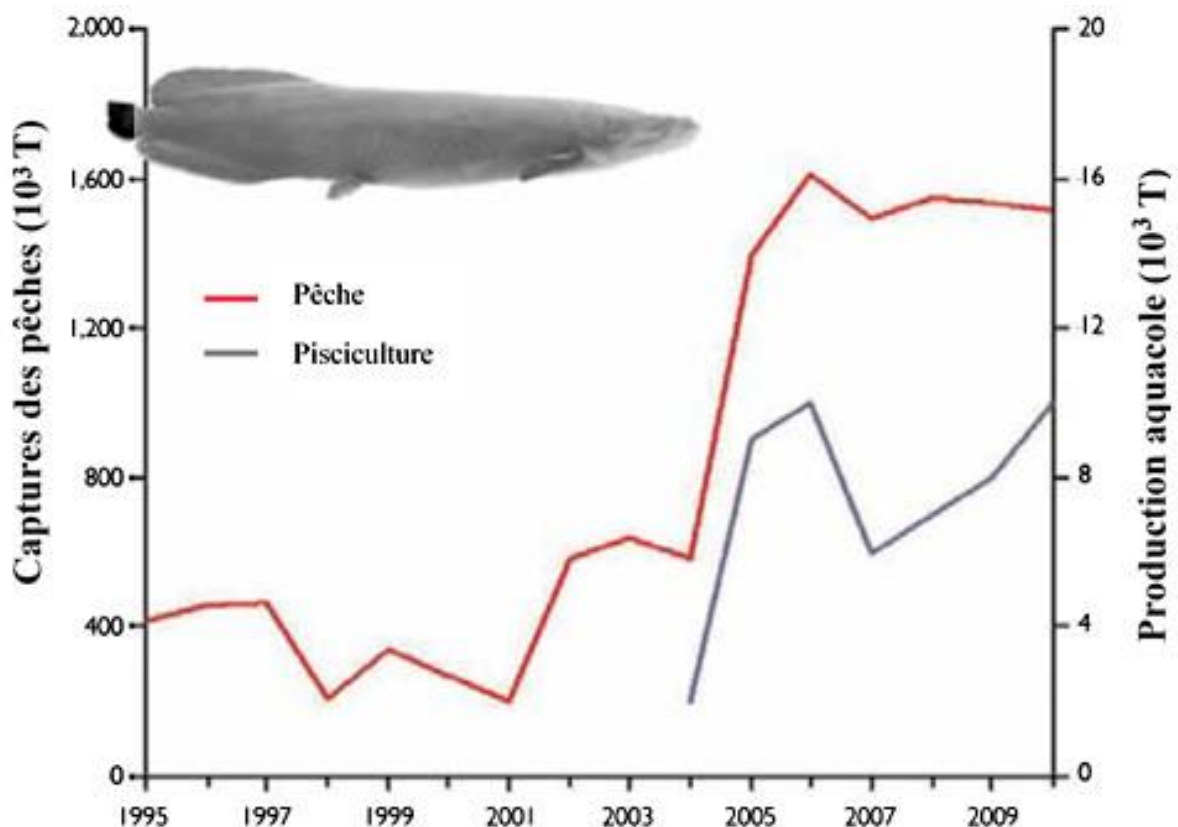


Figure 3 : Capture de la pêche et production aquacole de *A. gigas* de 1995 à 2010, d'après Schaefer et al. (2012). T : tonne.

L'aquaculture commerciale d'*Arapaima* est une activité récente. Sa production est limitée principalement à la région amazonienne en particulier au Pérou et au Brésil. Les conditions environnementales y sont favorables (Valladão et al., 2016). Le suivi de la reproduction en captivité a débuté au Pérou en 2007 (Nuñez et al., 2011). En élevage intensif, les poissons sont élevés à très faible densité : 1 à 2 kg/m² avec des températures d'eau variant entre 28 et 30°C (Marre, 2011). La taille commerciale des *Arapaima* d'élevage qui offrirait un optimum de goût est comprise entre 10 et 12 kg (Marre, 2011). L'aquaculture ornementale de *A. gigas* est une activité en plein essor. Elle se développe en raison de la demande de pays comme les Etats Unis, le Japon, la Thaïlande et Hong Kong (**Figure 4**). Des juvéniles sont exportés et se retrouvent dans des aquariums ou servent à empoissonner des lacs en vue de la pêche sportive (Schaefer et al., 2012).

Arapaima offre une couleur et une texture de chair attrayantes, un faible contenu en matières grasses (environ 1%) et des niveaux élevés de protéines (20% des tissus musculaires) et

d'acides gras polyinsaturés (oméga 3 et 6). Sa chair est ferme et ne présente pas d'arrêtes intramusculaires (Schaefer et al., 2012). Il présente une belle épaisseur de filet qui facilite les préparations culinaires. De ce fait, il est apprécié par les grands chefs cuisiniers américains et japonais. Le filet sans peau représente 42% du poids total du poisson. Sur le marché international, il est vendu entre 20-25 USD / kg aux États-Unis et 12-15 USD / kg dans les villes sud-américaines. Les filets vendus en France pèsent en moyenne 2 kg et coûtent 18 euros/kg (Marre, 2011). Sur les marchés locaux, en Amazonie, le prix du filet varie de 3 - 3,75 USD / kg. Le produit salé et séché est compris entre 5 - 6,25 USD / kg (Valladão et al., 2016).

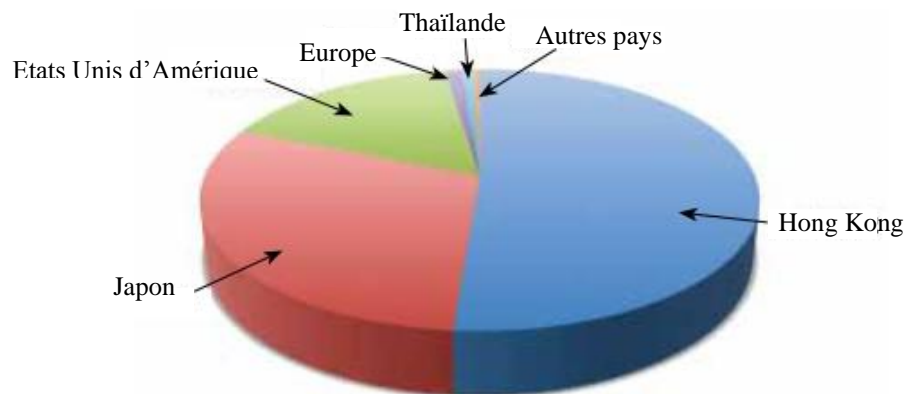


Figure 4 : Principaux pays ayant importé *A. gigas* vivant de 2000 à 2010. D'après Schaefer et al. (2012).

1.3 Défis liés à la reproduction et à la génétique des populations d'*Heterotis* et *Arapaima*

Malgré leurs caractéristiques biologiques étonnantes, la production croissante et les efforts de marketing pour leur commercialisation, l'élevage de *A. gigas* et *H. niloticus* se heurte à des difficultés techniques au niveau de la reproduction (Adite et al., 2006 ; Kouakou et al., 2016 ; Valladão et al., 2016) et de la génétique des populations (Hrbek et al., 2005 ; Hurtado et al., 2013).

La maîtrise de l'élevage de l'*Arapaima* et de l'*Heterotis* est difficile en raison de particularités comportementales et physiologiques communes : induction artificielle de la ponte impossible

pour l'instant, parade nuptiale, confection d'un nid, soins parentaux (Reizer, 1964 ; Valladão et al., 2016). De plus, l'identification morphologique des sexes des reproducteurs est impossible en dehors de la période de reproduction au cours de laquelle quelques traits distinctifs sont parfois visibles chez *A. gigas* (**Figure 5**) (Carreiro et al., 2011 ; Chu-Koo et al., 2009 ; IRD, 2008 ; Oladosu et al., 2007). En conséquence, obtenir des reproductions en captivité demeure l'une des principales difficultés de la pisciculture de ces deux espèces (Carreiro et al., 2011 ; Chu-Koo et al., 2009 ; IRD, 2008 ; Monentcham et al., 2009). L'absence de dimorphisme sexuel chez les deux espèces est un frein à l'optimisation de la reproduction en captivité (Nuñez, 2008).

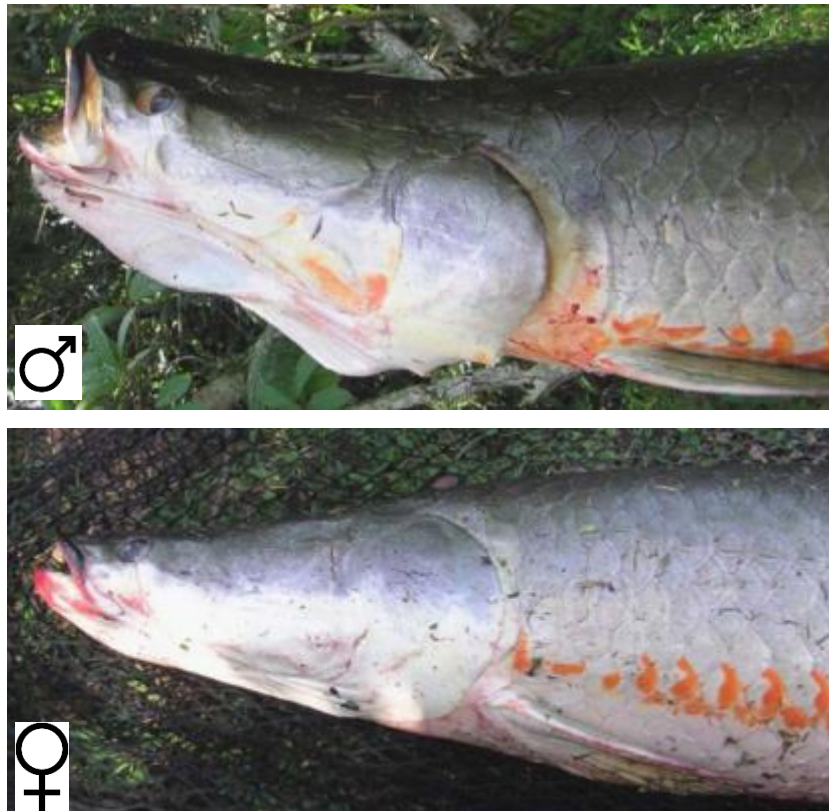


Figure 5 : Coloration de *A. gigas* mâle et femelle mûres durant la période de reproduction (Chu-Koo et al., 2009). Chez le mâle, une coloration rouge-orangée est observée latéralement de manière continue de la nageoire caudale jusqu'au niveau de l'opercule. Chez la femelle, la coloration s'arrête avant l'opercule.

Une gestion adéquate des géniteurs passe nécessairement par leur sexage. Chez *A. gigas*, une technique d'analyse immuno-enzymatique a permis de développer un kit de sexage (Chu-Koo

et al., 2009 ; Dugué et al., 2008 ; Núñez & Duponchelle, 2009 ; Nuñez et al., 2011). Le sexage a été rendu possible aussi par l'utilisation d'endoscope (Carreiro et al., 2011). Cela a permis une production importante d'alevins au Pérou, où ces alevins sont utilisés à la fois pour la pisciculture et pour l'ornement. Cependant, la compréhension du comportement reproducteur de *A. gigas* demeure encore assez limitée. Les facteurs environnementaux et sociaux qui conduisent à la formation des couples et au succès reproducteur ne sont pas encore connus.

Aucune technique de sexage fiable n'existe pour *Heterotis* (Oladosu et al., 2007). Les pisciculteurs comptent généralement sur la loi des grands nombres en introduisant dans un étang plusieurs géniteurs d'*Heterotis* (Reizer, 1964). La difficulté de contrôler la reproduction conduit aussi certains pisciculteurs à prélever des alevins dans les cours d'eau naturels pour les élever en étang de pisciculture (Bauchot et al., 1993).

Les études relatives à la génétique des populations sauvages de *A. gigas* et *H. niloticus* sont récentes (Hrbek et al., 2005 ; Hurtado et al., 2013). Le statut de nombreuses populations et de sous-populations naturelles et piscicoles de ces espèces n'est pas encore complètement établi. Cette insuffisance de données pourrait affecter la gestion des stocks de reproducteurs de *A. gigas* et de *H. niloticus* dans les pêcheries et les fermes piscicoles.

2. Descriptions des deux modèles d'étude :

Arapaima gigas et *Heterotis niloticus*



Figure 6 : *Heterotis niloticus* adulte, environ 1 m de longueur totale maximale et 10 kg de poids maximal.



Figure 7 : *Arapaima gigas* adulte, environ 3 m de longueur totale maximale et 200 kg de poids maximal.

2.1 Systématique et morphologie

La famille des *Osteoglossidae* comprend outre *H. niloticus* et *A. gigas*, les arrowanas sud-américains (*Osteoglossum bicirrhosum* (Cuvier, 1829), *O. ferreirai* (Kanazawa, 1966)), australiens (*Scleropages jardinii* et *S. leichardti*) et asiatiques (*Scleropages formosus*) (Bard,

1973 ; Hilton, 2003 ; Kottelat, 2013 ; Lavoué & Sullivan, 2004 ; Lévêque & Paugy, 1999, 2006 ; Nelson, 1968). *Heterotis* et *Arapaima* sont classés dans la famille des *Arapaimidae* ou *Arapaimatidae* (**Figure 8**) par certains auteurs (Adite et al., 2006; Miranda-Chumacero et al., 2012). D'autres auteurs les classent dans la famille des *Osteoglossidae* (Betancur-R et al., 2017) et dans la sous famille des *Heterotidinae* ou *Heterotinae* (Guo-Qing & Wilson, 1996 ; Hilton, 2003). *Heterotis niloticus* est la seule espèce connue du genre *Heterotis* (Adite et al., 2005 ; Moreau, 1982). Son synonyme valable est *Clupisudis niloticus* (Cuvier, 1829). Considéré comme un genre monotypique (Hrbek et al., 2005), des études ont rapporté que le genre *Arapaima* comporterait au moins cinq espèces encore vivantes (Stewart, 2013). Il s'agit de *A. gigas*, *A. arapaima*, *A. mapae*, *A. agassizii* et *A. leptosoma*.

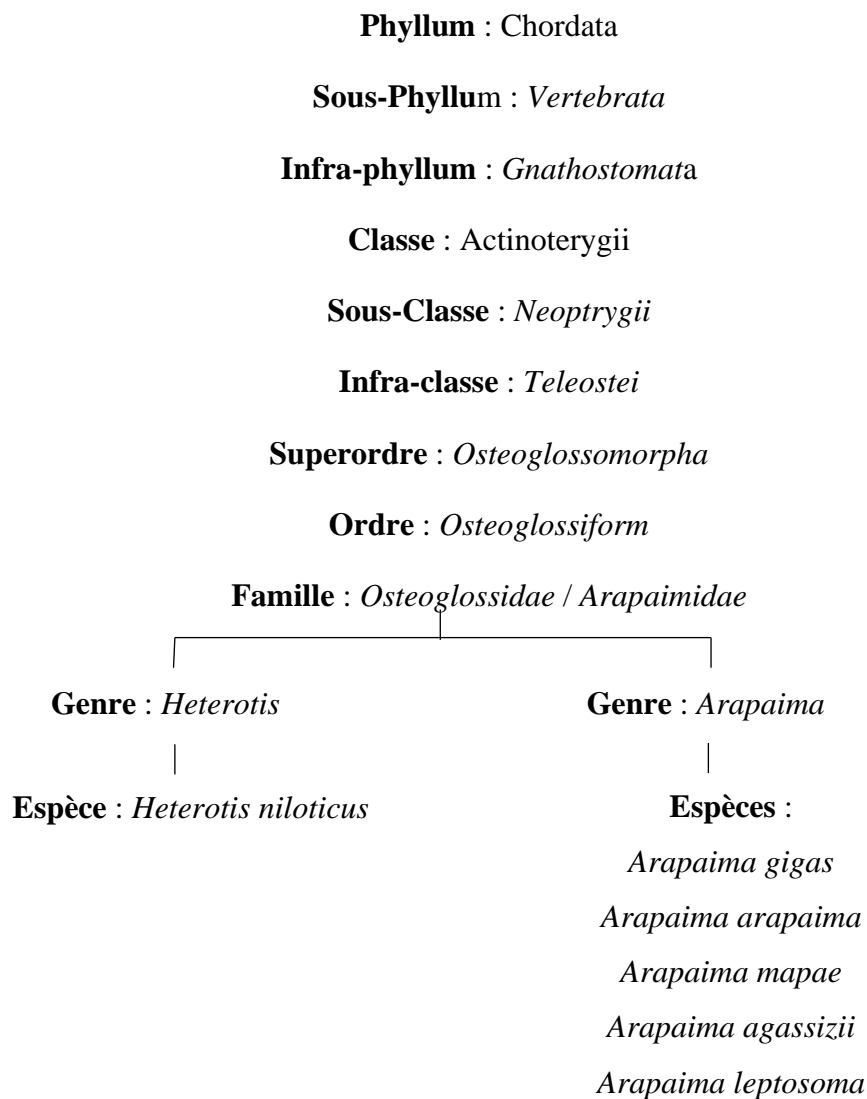


Figure 8 : Position systématique de *A. gigas* et de *H. niloticus*

L'un des caractères qui permet de distinguer les cinq espèces d'*Arapaima* est la forme de la cavité dorsale la plus latérale sur le pré opercule (**Figure 9**).

A. gigas est connu sous le nom de Pirarucu au Brésil et en Colombie, Paiche au Pérou, Equateur, Venezuela et en Bolivie, Arapaima en Guyana. Le nom Pirarucu signifie dans la langue des indiens d'Amazonie « Poisson rouge » en référence à la couleur rouge du bord postérieur des écailles. Il est l'un des plus grands poissons d'eau douce. C'est une espèce emblématique du bassin amazonien. Il peut mesurer jusqu'à 3 m de long (Bard, 1973) et peser plus de 200 kg (Arantes et al., 2010 ; Hrbek et al., 2005 ; Schaefer et al., 2012). Sa durée de vie se situe entre 15 et 20 ans.

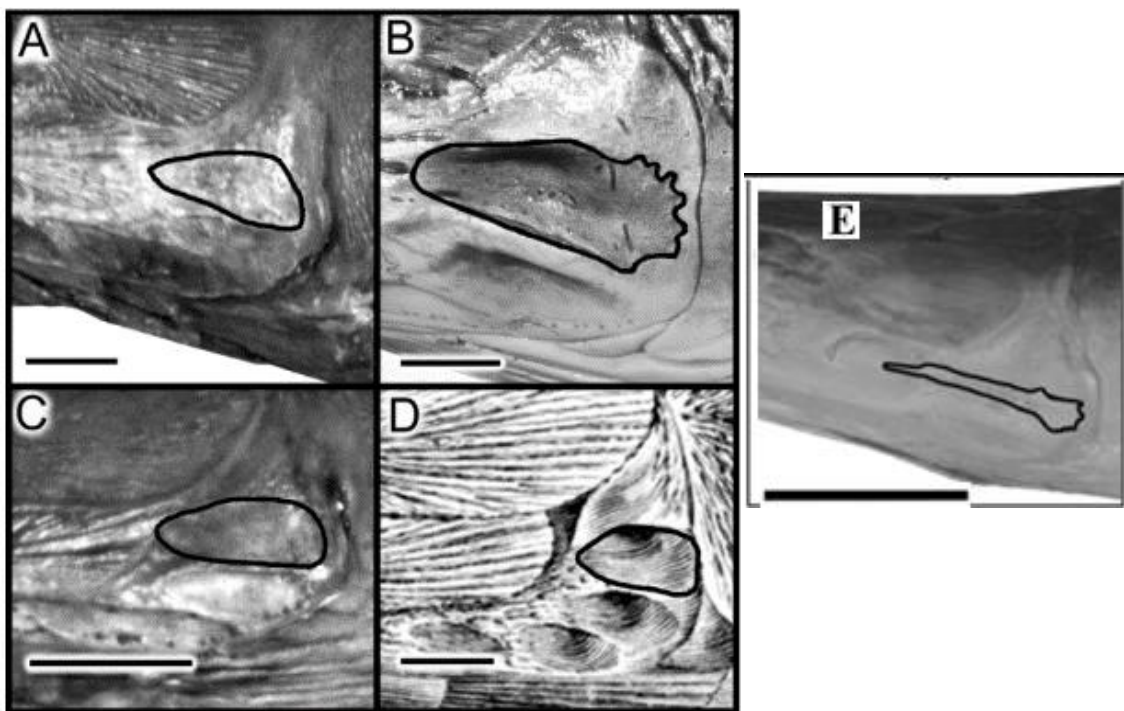


Figure 9 : Variation de forme de la cavité préoperculaire de *Arapaima sp* (Stewart, 2013)
 (A) *A. gigas* (Schinz, 1822), holotype ; (B) *A. arapaima* (Valenciennes, 1847), topotype ; (C) *A. mapae* (Valenciennes, 1847), holotype ; (D) *A. Agassizii* (Valenciennes, 1847), holotype ; (E) *A. leptosoma*, holotype.

Plusieurs noms en langue locale sont utilisés pour désigner *H. niloticus* en Afrique (**Tableau 1**). *H. niloticus* est de taille plus modeste que *A. gigas*. Dans la rivière Nun au Nigeria, il peut atteindre 105,5 cm LT et peser 10,6 kg (Ezekiel & Abowei, 2013). Comme chez la plupart des espèces tropicales, la longévité de *H. niloticus* est courte. Elle se situe entre 5 et 10 ans (Moreau, 1982).

H. niloticus et *A. gigas* ont le corps couvert d'écailles épaisses et osseuses avec une consistance cornée. Ces énormes écailles constituent un système de protection très efficace pour *A. gigas*. Elles le protégeraient particulièrement contre les sévères morsures de Piranha ou d'autres animaux aquatiques qui partagent son écosystème. Les nageoires pectorales et pelviennes de *A. gigas* et *H. niloticus* sont très éloignées les unes des autres. La nageoire dorsale et la nageoire anale sont souvent subégales et opposées. Elles sont très rapprochées de la nageoire caudale qui est de forme arrondie (Bard & Imbiriba, 1985 ; Moreau, 1982).

Tableau 1 : Noms attribués à *Heterotis niloticus* dans plusieurs pays d'Afrique.

Pays	Nom attribué localement à <i>H. niloticus</i>
Gabon	Poisson sans nom
Cameroun	Kanga, Tergal, Bambté, Balli, Bargi, Lareo, Noussa, Penge, Riki, Tou
Madagascar	Toundro'ny Presida (poisson du président), Rotivita, Fataoroti, Hataonoti, Biby lava (bête longue)
Côte d'Ivoire	Poisson Cameroun, Fanan, Ahoussou Koffi
Nigeria	Afo, Aika, Bahli, Bonytongue
Sénégal	Bakata, Bala, Balde, Dugande, N'Diaguel
RDC	Congo Ya sika, Muzalazala
Kenya	Dese
Ghana	Fa
Burkina Faso	Fana, Rakoko
Mali	Fana, Kondo
Benin	Hwa, Kouala, Kpote
Tchad	Kani, Kawi, Ngol, Ngôlô
Soudan	Katakpi, Lek, Nauk

La coloration de *A. gigas*, de type marron clair à verdâtre, est plus foncée chez les juvéniles et change chez le mâle en devenant beaucoup plus rouge en période de reproduction (Bard & Imbiriba, 1985). Chez *H. niloticus*, la coloration est uniforme, grisâtre, brunâtre ou olivâtre pendant la période de repos sexuel. Elle devient beaucoup plus foncée (noirâtre) à l'approche de la reproduction (Moreau, 1982 ; Tillon, 1959).

La tête de *H. niloticus* est courte (**Figure 10a**), épaisse et arrondie. La longueur du corps est 3,7 à 4,7 fois celle de la tête qui est 1,6 à 1,7 fois plus longue que large. La longueur standard (LS) est 3,9 à 4,6 fois la hauteur du corps (Guo-Qing & Wilson, 1996 ; Moreau, 1982). Chez *A. gigas*, la tête (**Figure 10b**) et le corps sont de forme allongée, avec une section circulaire et ellipsoïdale (Bard & Imbiriba, 1986).

La bouche de ces deux espèces est équipée d'une langue osseuse ; ce qui leur vaut l'appellation de bonytongues en anglais (Bard & Imbiriba, 1985). *A. gigas* dispose de deux à deux rangées et demie de dents. Au sud du Brésil, dans la rivière Grande, une seule rangée de dents a été observée chez certains *Arapaima* (Carvalho et al., 2015). *H. niloticus* possède seulement une rangée de dents linguales et de forme conique (Moreau, 1982).

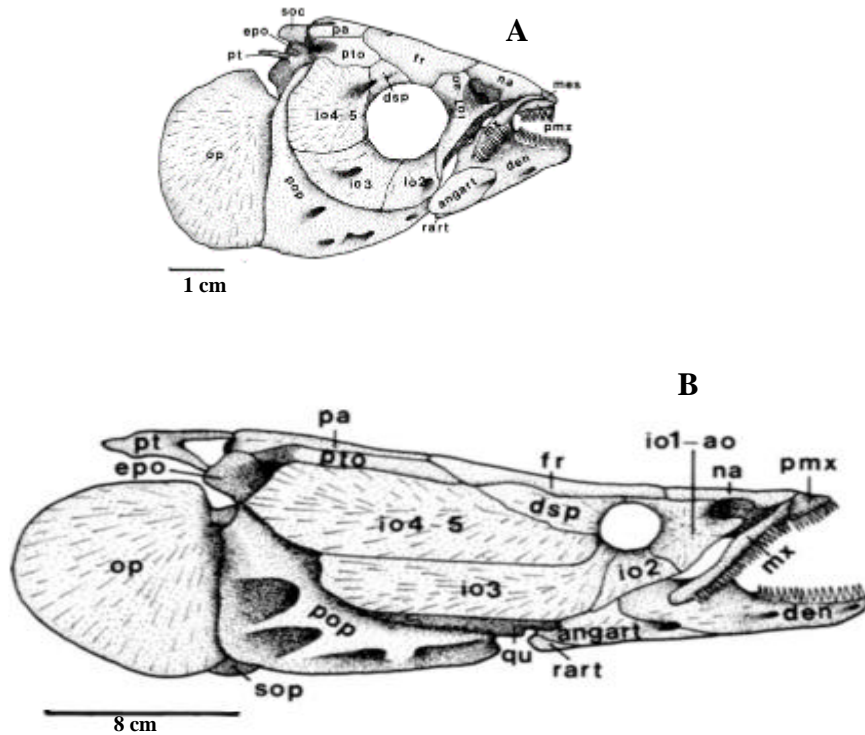


Figure 10 : Squelette de la tête de *Heterotis niloticus* (A) et de *Arapaima gigas* (B) (Guo-Qing & Wilson, 1996).

Angart : angulo-articulaire, br : branchiostegals, ch : ceratohyal, den : dentaire, dsp : dermosphénotique, enp : endopyterygoïd, eoc : exoccipital, ep : epural, epo : épiotique, fr : frontal, hh : hypohyal, hl, 1^{er} hypural, h2 : 2^{ème} hypural, h6 : 6^e hypural, iol-ao : antorbital fusionné et 1^{er} infraorbital, io2 : 2^e infra-orbitaire, io3 : 3^e infraorbital, io4-5, 4^{ème} et 5^{ème} infraorbitales fusionnés, iop : interopercule, mes : mesethmoïde, mx : maxillaire, na : nasale, npu2 : épine(s) neurale(s) sur la 2^{ème} preurale, op : opercle, pa : pariétal, pas : parasphenoïde, ph : parypypique, pmx : prémaxillaire, pop : pré-opercule, pt : post-temporale, pto : dermopterotique, pul : 1^{er} centrum preurale, pu2, 2^{ème} centrum preurale, qu : quadrata, rart : rétroarticulaire, sm : symplectique, soc : supraoccipital, sop, subopercule, ul : 1^{er} centrum ural, u2 : 2^{ème} centrum ural.

2.2 Particularités anatomiques des *Arapaimidae*

2.2.1 Le système nerveux

La forme du cerveau de *A. gigas* et de *H. niloticus* (**Figure 11**) rappelle celui de la plupart des téléostéens. Le cerveau d'*Heterotis* est plus encéphalisé que celui d'*Arapaima*, d'*Osteoglossum* ou de *Scleropages*. Les vues dorsales et latérales du cerveau de l'*Heterotis* montrent des lobes vagues bilatéraux postérieurs au cervelet. Sa forme étrange est semblable au chou-fleur (Bauchot et al., 1993). Le cerveau est protégé par une plaque osseuse dure. L'hypophyse se trouve comme très classiquement en position ventrale enveloppée dans une petite cavité appelée selle turcique.

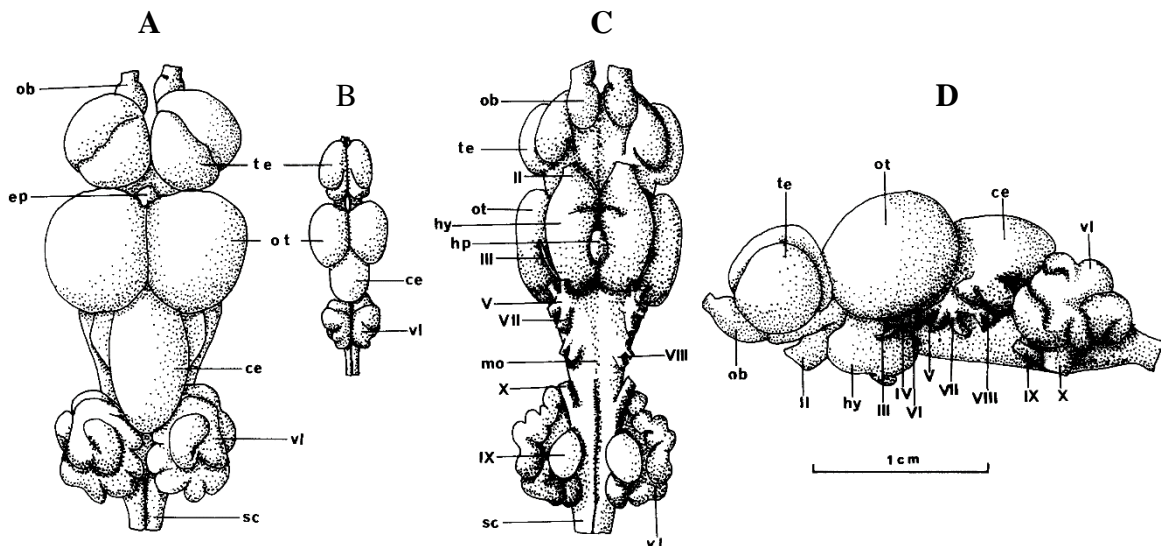


Figure 11 : Morphologie du cerveau de *H. niloticus* (Bauchot et al., 1993).

Vue dorsale (A), vue dorsale chez un spécimen juvénile (B), vue ventrale (C) et vue latérale (D), ce : cervelet, ep : épiphyse, hy : hypothalamus, hp : hypophyse, mo : moelle allongée, ob : bulbe olfactif, ot : tectum optique, sc : moelle épinière, te : télencéphale, vl : lobe vagal, II : nerf optique, III : nerf oculomoteur commun, V : nerf trigeminal, VI : nerf abducens, VII : nerf facial, VIII : nerf auditif, IX : nerf glossopharyngien, X : nerf vagal.

2.2.2 Gonades

L'aspect des gonades de *H. niloticus* et de *A. gigas* est similaire à celles des Ostéoglossomorphes. La plupart des espèces de poissons possèdent deux gonades fonctionnelles chez les deux sexes. Chez les *Arapaimidae*, il n'existe qu'un seul ovaire et qu'un seul testicule fonctionnel qui sont situés sur le flanc gauche (**Figure 12**). Les lamelles

ovariennes sont "nues" et directement exposées dans la cavité générale du corps (Adite et al., 2006 ; Bard & Imbiriba, 1986 ; Chu-Koo et al., 2009 ; Godinho et al., 2005 ; Moreau, 1982 ; Oladosu et al., 2007). Chez *A. gigas* un ovaire atrophié situé sur le flanc droit a été observé chez certains individus. Il est dans ce cas toujours non fonctionnel (Godinho et al., 2005). Compte tenu de ces particularités anatomiques, la canulation ovarienne est rendue difficile chez ces deux espèces. Récemment, à l'aide d'un endoscope, elle a été réalisée chez *A. gigas* (Carreiro et al., 2011).

Le testicule de *H. niloticus* peut atteindre 7 cm et peser 3 à 4 g. L'indice gonado-somatique (IGS) demeure inférieur à 1% même en période de reproduction. Le testicule est rattaché dorsalement par un tissu conjonctif. L'ovaire des individus matures pèse 70 à 90 g et peut représenter jusqu'à 5% du poids du poisson (Moreau, 1982).

Chez *A. gigas*, l'ovaire est rattaché à la paroi de la cavité du corps par une couche basale. Un ovaire gravide d'une femelle prête à frayer peut atteindre une longueur de 780 mm, une largeur de 240 mm et un poids de 2800 g (Flores, 1980). Des ovaires immatures et matures peuvent peser respectivement 4,8 g et 728,7 g. On enregistre des IGS variant entre 0,04% (immatures) et 0,65% (matures). Le testicule est allongé et son diamètre peut atteindre 1,5 cm. Il peut peser entre 0,8 g (immatures) et 11,4 g (matures) avec un IGS de 0,011% (matures) à 0,012% (immatures) (Godinho et al., 2005).

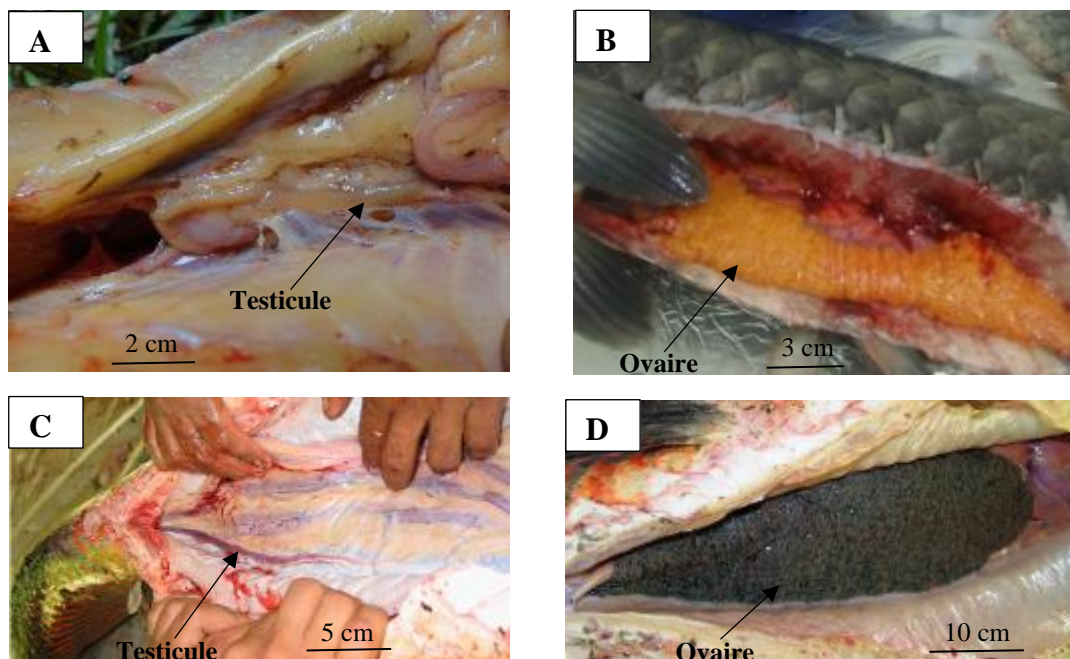


Figure 12 : Position des gonades chez les *Arapaimidae*. Testicule (A) et ovaire (B) de *H. niloticus*, testicule (C) et ovaire (D) de *A. gigas*.

2.2.3 Organe suprabranchial ou épibranchie

Chez *H. niloticus*, une paire de diverticules tubulaires plus ou moins enroulés en spirale est visible lorsque l'on ouvre les opercules (**Figure 13**). Leur forme rappelle celle de la coquille d'escargot (Braford, 1986 ; Moreau, 1982). Cet organe est appelé organe suprabranchial ou épibranchie (Bauchot et al., 1993 ; Braford, 1986 ; Moreau, 1982). *H. niloticus* est le seul Ostéoglossiformes à disposer de cet organe. Il est présent chez trois autres groupes de téléostéens : les Clupeiformes, les Gonorynchiformes et les Charachiformes. Cependant, il n'a pas une structure similaire à celle de l'*Heterotis* (Braford, 1986). Le nombre de spires croît avec l'âge du poisson pour atteindre 7 chez les adultes. L'épibranchie est tapissée de bourgeons gustatifs (Bauchot et al., 1993 ; Braford, 1986).

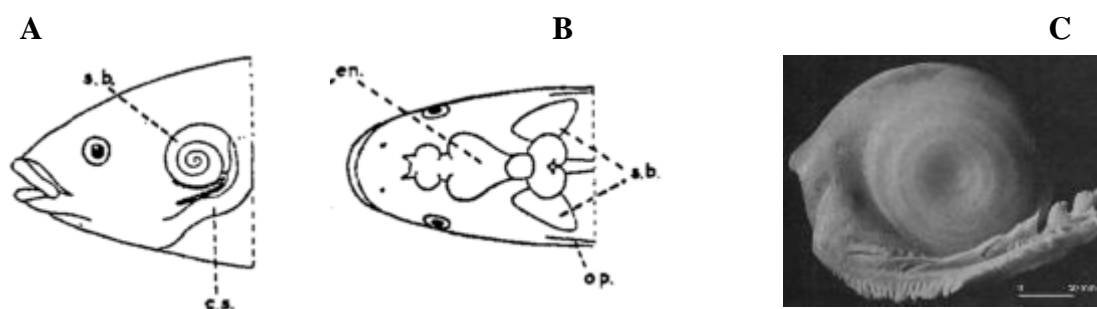


Figure 13 : Position schématique de l'organe suprabranchial (s.b.) de *H. niloticus* (Braford, 1986 ; Moreau, 1982).

Vue latérale gauche (A), vue dorsale (B). Vue externe latérale de l'épibranchie droite (C), en : encéphale, op : opercule, cs : ceinture scapulaire.

L'épibranchie joue un rôle dans l'alimentation en servant à filtrer des microparticules alimentaires contenues dans l'eau (Bauchot et al., 1993 ; Braford, 1986). Précédemment, des fonctions respiratoires et auditives ont été attribuées à l'arc supra-branchial respectivement par Hirtl en 1854 et par D'Aubenton et Daget en 1961 (Moreau, 1982). Le nom *Heterotis* qui signifie « autre oreille » provient du rôle auditif joué.

En Côte d'Ivoire, certains pêcheurs pensent que la présence de l'épibranchie après la mort du poisson affecte négativement la qualité et le goût de sa chair. Elle est de ce fait immédiatement

extraite du poisson après les pêches. Cette pratique de retirer les branchies a également cours en Amazonie pour l'*Arapaima*, sans que l'on puisse vraiment confirmer une action négative sur les qualités gustatives de leur chair.

2.2.4 Vessie gazeuse

Les espèces de la famille des *Arapaimidae* ont une double respiration : branchiale et aérienne (Brauner et al., 2004 ; Depierre & Vivien, 1977 ; Galdames-portus et al., 1978). Ils disposent d'un organe adapté à la respiration aérienne qui fonctionne comme un véritable poumon. Il s'agit d'une vessie natatoire modifiée (Bard & Imbiriba, 1986 ; Bard, 1973 ; Lévêque & Paugy, 1999) semblable à celle d'un autre Ostéoglossiformes, *Gymnarchus niloticus*. Chez *Heterotis*, la vessie natatoire est tripartite et communique avec le pharynx par un sphincter. La partie antérieure de la vessie, dans la région voisine de ce sphincter, est peu vascularisée. La deuxième partie est très vascularisée et la troisième partie accolée aux reins forme une masse spongieuse vascularisée par l'artère pulmonaire et les veines cardinales postérieures (Moreau, 1982).

La respiration aérienne obligatoire permet à *A. gigas* et *H. niloticus* de peupler les cours d'eau relativement pauvres en oxygène (Moreau, 1982). Ils remontent tous les 5 à 15 min. en surface pour respirer (Bard, 1973). En s'appuyant sur ce comportement respiratoire, une technique a été développée pour dénombrer les populations naturelles de *A. gigas* au moment où les poissons émergent. Dans les pêcheries, ce comportement respiratoire les expose aussi aux spécialistes de la pêche au harpon (Arantes et al., 2010 ; Castello, 2008a ; Castello, 2004). Face au danger, ce temps peut être prolongé jusqu'à 40 min (Bard, 1973)

2.3 Régime alimentaire

2.3.1 *H. niloticus*, un poisson benthophage et microphage

H. niloticus est un omnivore à tendance benthophage et microphage (Adite et al., 2005 ; Depierre & Vivien, 1977 ; Edoghotu & Hart, 2014 ; Kouakou et al., 2016). Il a une grande plasticité alimentaire qui varie avec l'âge et la taille du poisson (Depierre & Vivien, 1977 ; Odo et al., 2009 ; Ugwumba, 1993). Il consomme principalement les invertébrés benthiques et des

micro crustacés (Adite et al., 2005 ; Kouakou et al., 2016 ; Lévêque & Paugy, 1999 ; Odo et al., 2009). Son régime alimentaire se compose également d'insectes, de rotifères, d'arachnides, de nématodes, de mollusques et de graines. En général, ces aliments sont riches en protéines (Ugwumba, 1996). A partir de 100 à 200 mm de LS, les individus consomment des graines et des détritiques. Malgré la quantité de consommation de détritiques, *H. niloticus* n'est pas considéré comme un détritivore spécifique (Adite et al., 2005 ; Edoghotu & Hart, 2014). Les juvéniles d'*Heterotis* se nourrissent aussi de zooplancton et de phytoplancton.

La partie moyenne de l'intestin de *H. niloticus* rappelle la forme du gésier des oiseaux (Moreau, 1982). Il contient également des grains de sable qui facilitent la digestion des aliments consommés (Adite et al., 2005). Cet organe n'est pas très développé chez les individus jeunes (LS < 400 mm).

En captivité, *H. niloticus* qui est élevé en polyculture avec *Oreochromis niloticus*, n'a pas une alimentation spécifique. Il partage les aliments distribués aux Tilapias sans rentrer en concurrence directe avec ceux-ci (Kimou et al., 2016). Une étude réalisée par Monentcham et al. (2010) a montré que sur le plan protéique, les besoins nutritionnels des juvéniles (3-62 g) se situent entre 310 et 345 g de protéines/kg d'aliment respectivement pour la croissance optimale et maximale. Les besoins spécifiques en acides aminés indispensables, excepté pour le tryptophane et l'histidine, des juvéniles de *H. niloticus* sont similaires à ceux d'autres poissons tropicaux omnivores.

2.3.2 A. *gigas*, un poisson carnivore

En milieu naturel, les adultes de *A. gigas* sont essentiellement piscivores (Schaefer et al., 2012). Leur tube digestif est court comme pour la plupart des carnivores. Ils chassent de nuit et attrapent leurs proies par une forte succion de la bouche (Bard, 1973). L'eau, absorbée en même temps que l'aliment, est rejetée à travers les opercules. Les alevins se nourrissent d'insectes et de petits gastéropodes (De Oliveira et al., 2005).

Compte tenu de son régime piscivore, en captivité, *A. gigas* est nourri avec une variété d'aliments riches en protéines animales. Dans le milieu naturel, le régime alimentaire se compose de poissons vivants ou de différents animaux morts. En élevage, les aliments industriels distribués à l'*Arapaima* sont riches en farine de poisson (40 à 45%) et peu riche en huile (8%) (Marre, 2011 ; Nuñez et al., 2011). L'alimentation nécessaire pour les reproducteurs

en captivité représente 2% de biomasse par jour 5 à 6 jours par semaine (Nuñez et al., 2011). Les juvéniles (26 cm et 119 g en moyenne) peuvent consommer efficacement plus de 8% de leur biomasse par jour (Padilla et al., 2004).

3. Les populations de *A. gigas* et de *H. niloticus*

3.1 Habitat

Les *Arapaimidae* sont des poissons d'eau douce qui préfèrent les zones lenticules ($<0,12$ m / s), des cours d'eau peu profonds (<3 m) et fuient les eaux boueuses (Adite et al., 2006 ; Bard, 1973 ; Bard & Imbiriba, 1985 ; Moreau, 1982). L'une des principales raisons qui élimine *H. niloticus* des eaux à courant moyen et rapide est son régime alimentaire microphage (Reizer, 1964).

A. gigas et *H. niloticus* sont couverts d'une mucosité abondante qui leur permet de se mouvoir dans très peu d'eau (Bard, 1973). Des Pirarucus de plus de 1,5 m de longueur ont été observés nageant dans des eaux très peu profondes de 0,5 m (Castello, 2008a). La plupart des *Arapaima* habitent les lacs et les chenaux pendant les périodes de basses eaux, de septembre à janvier (Castello & Stewart, 2010). Les eaux désoxygénées (0,4 à 4,5 mg/l) leur conviennent en raison de leur capacité à respirer l'oxygène de l'air (Adite et al., 2006 ; Arantes et al., 2013 ; Depierre & Vivien, 1977 ; Moreau, 1982). Ils sont présents aussi bien en zone pélagique que littorale. Pendant les périodes de fraie, les géniteurs fréquentent les plaines inondées. La végétation qui s'y trouve est nécessaire à leur reproduction. Les plaines inondées offrent également une variété d'aliments (Lévêque & Paugy, 1999). Les larves et les juvéniles de *H. niloticus* vivent dans les endroits marécageux parmi la végétation aquatique (Adite et al., 2006 ; Moreau, 1982).

A. gigas et *H. niloticus* ont un mode de vie pratiquement identique. Ils nagent généralement à mi profondeur. Ils réalisent des sauts importants à la surface de l'eau et se laissent tomber latéralement en faisant un bruit de battoir (Bard, 1973). *H. niloticus* peut ainsi passer d'un étang piscicole à un autre (Reizer, 1964) et ses sauts peuvent atteindre 12 m de long en cas de danger (Bard, 1973).

Grace à ses caractéristiques biologiques, *H. niloticus* a une grande capacité pour s'adapter à différents habitats (Odo et al., 2009). C'est une espèce nilo-soudanienne qui a colonisé suite à des introductions, la zone forestière guinéenne. Sa présence ne semble pas modifier l'équilibre faunique des zones colonisées (Lévêque & Paugy, 1999 ; Welcomme, 1992). *H. niloticus* peut tolérer des températures basses jusqu'à 15 °C et élevées dépassant les 35°C (Adite et al., 2006 ; Moreau, 1982).

A. gigas est un poisson inféodé aux forêts équatoriales de l'Amazonie (Bard, 1973). Il supporte des variations de température de 24 à 31°C (Bard & Imbiriba, 1986 ; Bard & Imbiriba, 1985).

3.2 Zones de distribution des *Arapaimidae*

La distribution des poissons est influencée par plusieurs facteurs du milieu : le type d'habitat, les zones climatiques, l'altitude, la végétation et les précipitations. L'histoire climatique et les événements géologiques qui ont modelé le réseau hydrographique jouent également un rôle essentiel dans cette distribution. Ces phénomènes ont rendu possible les interconnexions entre bassins ou ont favorisé l'isolement temporaire ou définitif de certains systèmes aquatiques (Lévêque & Paugy, 2006 ; Stiassny et al., 2007).

3.2.1 Les populations de *A. gigas*

a) Populations natives

A. gigas est une espèce originaire de l'Amazonie centrale. Sa zone de distribution inclut le Brésil, le Pérou, la Colombie et le Venezuela. Sa présence est aussi signalée au Guyana sans pénétrer dans le bassin de l'Orénoque (Bard, 1973 ; Bard & Imbiriba, 1985). Il est démontré et clairement acquis que *A. gigas* n'a jamais été présent dans les eaux de Guyane (Balland & Roux, 2005) même si plusieurs communications le mentionnent. La plus grande partie de son aire naturelle se trouve en Amazonie brésilienne et péruvienne (Castello, 2008a ; Rojas Ríos, 2003). Les populations les plus abondantes se trouvent dans la rivière Solimões dans l'État d'Amazonas au Brésil (Réserve de Mamirauá). Les distributions marginales de *A. gigas* se situent :

- près d'Iquitos au Pérou ;
- dans la rivière Leticia en Colombie ;
- dans la rivière Tabatinga, à Belém à l'embouchure du fleuve Amazone, dans la région de l'Amapá au Brésil et au Guyana ;
- dans les rivières Cuyabeno, Aguarico, Napo et Tiputuini en Équateur.

Les rapides ou petites cascades du Rio Madera sont apparemment une barrière naturelle à sa dispersion plus au sud. *Arapaima* a été empêché naturellement d'atteindre les zones en amont

comme la Bolivie jusqu'à son introduction accidentelle dans les années 1970 (Miranda-Chumacero et al., 2012).

b) Populations issues des introductions

L'aire de distribution de *A. gigas* s'est étendue durant ces dernières années (Castello, 2008a ; Miranda-Chumacero et al., 2012). Des observations ont confirmé la présence du Pirarucu en dehors de sa zone de répartition géographique originelle. En 2014, *A. gigas* est observé dans le Rio Grande au Sud-est du Brésil (Carvalho et al., 2015). Des populations de *A. gigas* sont aussi signalées dans la haute région de Parnaíba au nord-est du Brésil et en amont du Rio Madera (Ramos et al., 2014). L'aire de distribution de *A. gigas* s'étend aux cours inférieurs de l'Amazonie et au bassin de l'Orénoque (Carvajal-Vallejos et al., 2011 ; Castello, 2008a ; Miranda-Chumacero et al., 2012). *Arapaima* effectue de courtes migrations saisonnières successives pour coloniser de nouveaux habitats (Castello, 2008a, 2008b). Lorsque le niveau d'eau augmente, il migre vers les plaines inondées. A travers les canaux de communication, il regagne les lacs où les eaux sont plus calmes et parfois peu profondes.

Au Brésil et au Pérou, une forte baisse des populations naturelles d'*Arapaima* est survenue en raison de la surpêche (Hrbek et al., 2007). Dans certaines régions de ces deux pays, l'espèce est localement éteinte (Castello et al., 2015). En réponse à cette extinction, des initiatives de réintroduction ont eu lieu au Pérou, lesquelles sont facilitées par le développement de la pisciculture dans l'aire de distribution originelle (Rojas Ríos, 2003). En Asie, certains pays comme la Thaïlande ont introduit l'*Arapaima* dans des lacs pour développer la pêche sportive (Ford, 2017).

Cas de l'introduction de *A. gigas* en Bolivie

Environ 1 000 alevins d'*Arapaima* provenant de populations naturelles ont été introduits en 1979 dans les lagunes Sandoval et Valencia. Ces plans d'eau font partie du bassin du Madre de Dios au Pérou. A la faveur des inondations du Madre de Dios, les eaux ont atteint les lagunes et des poissons se sont échappés et ont gagné le cours du fleuve en direction de la Bolivie où leur présence a été signalée dès 1970 dans le Beni, un fleuve situé en Bolivie qui communique avec le Madre de Dios. C'est ainsi que l'espèce est signalée pour la première fois dans les eaux boliviennes où son aire de distribution continue de s'étendre (Miranda-Chumacero et al., 2012).

Les observations de *A. gigas* dans les eaux boliviennes sont de plus en plus fréquentes. Sa présence est confirmée dans 70 points. Il est observé dans des ruisseaux, de petites rivières et des lagunes reliées aux principaux bassins fluviaux du Madre de Dios et du Beni. Les départements concernés sont le Pando avec 21 points couvrant une grande partie du département de La Paz dans sa partie extrême nord avec 44 points et le Beni dans sa partie centre-nord avec 5 points (**Figure 14**). Au Pando, *A. gigas* est observé dans les rios Tahuamanu, Orthon, Manuripi, Negro et Abuná. Dans le département de La Paz, il se trouve dans les rios Madre de Dios, Beni et Heath, ainsi que dans les rios Moa, Toromonas, Asunta, El Tigre, Madidi et Undumo. Dans le département du Beni, l'espèce se trouve près de Riberalta, en particulier dans le Florida et l'Ivón (et surtout le Yata), le lac Tumichucua et le rio Negro bolivien (Miranda-Chumacero et al., 2012).

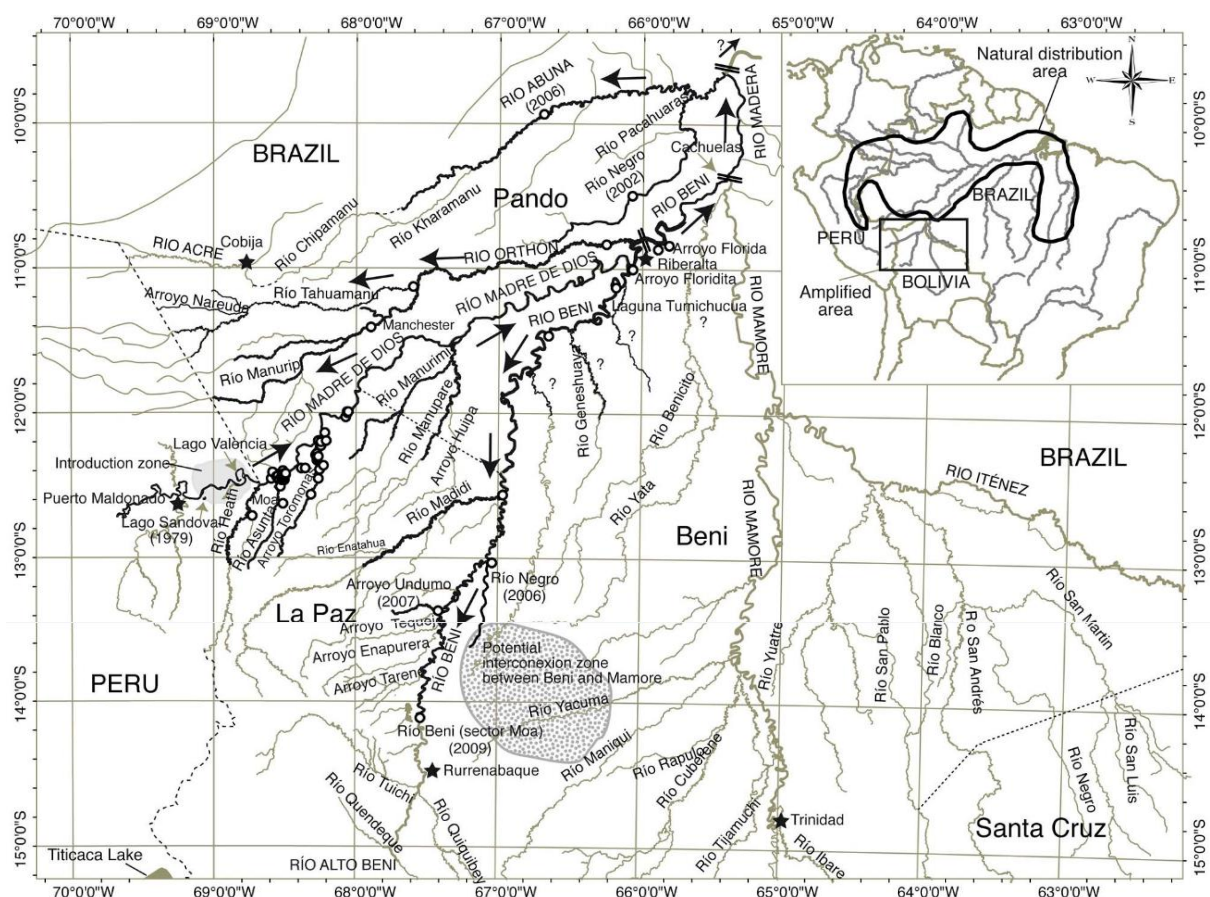


Figure 14 : Distribution géographique des populations natives et introduites de *A. gigas* D'après Miranda-Chumacero et al. (2012).

Les flèches le long des rivières et ruisseaux indiquent la direction du mouvement de l'*Arapaima*.

La répartition géographique actuelle représente environ le quart des lacs de plaine d'inondation dans la partie inférieure de l'Amazonie bolivienne (Van Damme et al., 2015).

Les populations locales signalent que l'introduction de l'*Arapaima* a eu de graves conséquences sur l'environnement. Dans le nord de la Bolivie, cela pourrait entraîner une réduction des populations de poissons indigènes, y compris des poissons de haute valeur commerciale (Macnaughton et al., 2015).

3.2.2 Les populations de *H. niloticus*

a) Populations natives

H. niloticus est une espèce native de la province nilo-soudanienne à l'exception des sous-provinces éburnéo-ghanéenne et abyssinienne (Bard, 1973 ; Lemasson, 1957 ; Lévêque & Paugy, 2006 ; Lévêque et al., 1990 ; Moreau & Moreau, 1982 ; Reizer, 1964 ; Stiassny et al., 2007) (**Figure 15**). Les bassins hydrographiques concernés sont situés au nord de l'équateur. Ce sont :

- les cours moyens et inférieurs des grands fleuves comme le Nil, le Niger, le Sénégal, la Volta, la Gambie, le Corubal ;
- les fleuves côtiers de la Guinée Bissau, du Bénin, du Togo ;
- le lac de Guiers, le lac Tchad, le lac Turkana, le lac Omo et le lac Albert.

b) Populations issues des introductions

L'aire de distribution de *H. niloticus* s'étend désormais à d'autres provinces dont il n'est pas natif (**Figure 15**). Ce sont, le bassin du Congo (Lemasson, 1957), les sous-provinces éburnéo-ghanéenne et abyssinienne (Lévêque & Paugy, 2006), la haute et la basse Guinée (Stiassny et al., 2007).

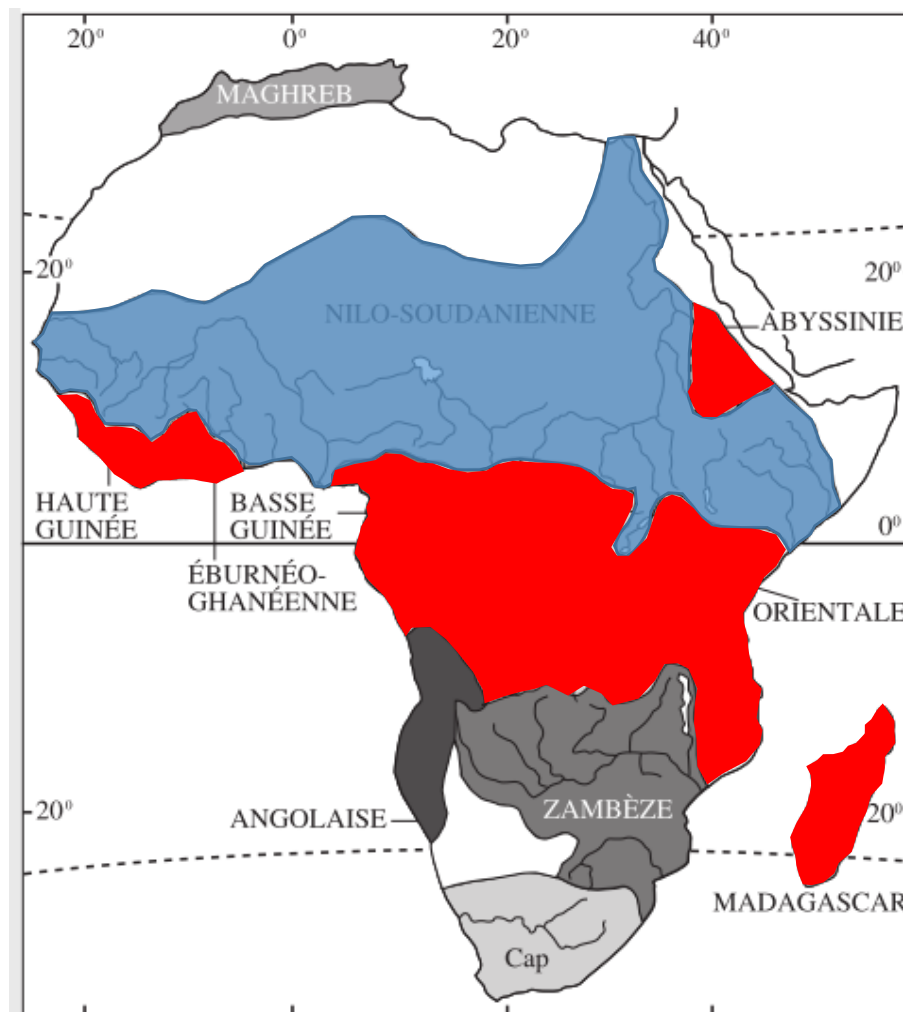


Figure 15 : Distribution géographique de *H. niloticus*.

Modifiée d'après Lévêque & Paugy (2006). En bleu : la zone de distribution native correspondant à la province ichthyologique Nilo-soudanienne sans les sous-provinces éburnéo-ghanéenne et abyssinienne, en rouge : zone de distribution après introduction. Les couleurs grises représentent les provinces ichthyologiques où la présence de *H. niloticus* n'est pas signalée, les traits noirs à l'intérieur de chaque zone colorée représentent les cours d'eau principaux.

En raison de son intérêt économique et de ses performances zootechniques, *H. niloticus* a été introduit dans plusieurs stations piscicoles (**Tableau 2**) en Côte d'Ivoire, au Gabon, en Centrafrique, au Congo, au Cameroun, à Madagascar, en République Démocratique du Congo (Moreau & Moreau, 1982). Les premiers essais d'introduction d'*Heterotis* ont eu lieu à Bangui en Centrafrique en 1955 avec 37 alevins (Tillon, 1959). Dans les pays de son aire d'origine, *H. niloticus* a fait l'objet d'introductions et de réintroductions (Stiassny et al., 2007). L'espèce

s'adapte aux différents milieux dans lesquels ils ont été introduits et son élevage en étang connaît un succès réel. Finalement, il sert à l'empoissonnement des cours d'eaux naturels et artificiels pour développer les activités halieutiques (Lazard, 1990 ; Moreau, 1982). De façon accidentelle, il s'est échappé des étangs piscicoles pour se répandre dans des cours d'eau dont il était absent (Basin du Nyong, Cross, Sanaga, Ogoué, Oubangui, Kasai et du Congo), entraînant l'expansion de son aire d'introduction (Bard, 1973 ; Depierre & Vivien, 1977 ; Moreau, 1982 ; Moreau et al., 1995 ; Stiassny et al., 2007).

Tableau 2 : Quelques introductions de *H. niloticus* dans les pays africains.

Pays d'origine	Lieu d'introduction	Date	Références
Cameroun	Madagascar	1964	(Moreau, 1982)
Lac Tchad	Centrafrique (pisciculture et fleuve Obangui)	1955	(Tillon, 1959)
Nord du Cameroun	Sud Cameroun (Nyong)	1958 1962	(Depierre & Vivien, 1977 ; Moreau, 1982)
Yaoundé (Cameroun)	Côte d'Ivoire (Station recherche Bouaké)	1957 1959	(Lazard, 1990) (Reizer, 1964)
Bérégadougou (Burkina Faso)	Côte d'Ivoire (Station recherche Bouaké)	1960	(Reizer, 1964)
Côte d'Ivoire (Station recherche Bouaké)	Côte d'Ivoire (Lac Ayamé, Kossou)	1962 1971	(Moreau, 1982)
	Côte d'Ivoire (Lac de Buyo)	1980	(Lazard, 1990)
Cameroun	Nigeria (Cross river)	-	(Ezekiel & Abowei, 2013)
Congo	République démocratique du Congo (fleuve Congo et lac Toumba)	1966 à 1969	(Moreau, 1982)
Soudan	République démocratique du Congo	1960	(Stiassny et al., 2007)

La présence de *H. niloticus* en zone forestière a été rendue possible par l'intervention de l'homme. La communication des cours d'eau en période de crue permet à cette espèce de coloniser les espaces où sa présence n'avait pas été signalée et où il n'y a pas eu d'introduction par l'homme. Ce poisson se laisse entraîner par le courant. Il n'y aurait pas eu d'impacts signalés sur la faune autochtone du fait de l'introduction de *H. niloticus* (Lévêque & Paugy, 1999 ; Welcomme, 1992).

En considérant les zones d'introduction et natives, *H. niloticus* fait désormais partie de l'ichtyofaune de 26 pays africains.

Cas de l'introduction de *H niloticus* en Côte d'Ivoire,

Le réseau hydrographique (**Figure 16**) de la Côte d'Ivoire (DCH, 1979 ; Girard et al., 1970) comprend :

- quatre bassins principaux : le Cavally, le Sassandra, le Bandama et la Comoé ;
- des petits fleuves côtiers : le Tabou, le San Pedro, le Niouniourou, le Boubo ; l'Agnéby, la Mé, et la Bia ;
- des affluents du Niger : le Baoulé, la Bagoé et le Gbanhala ;
- un affluent de la Volta noire : le Kouloua.

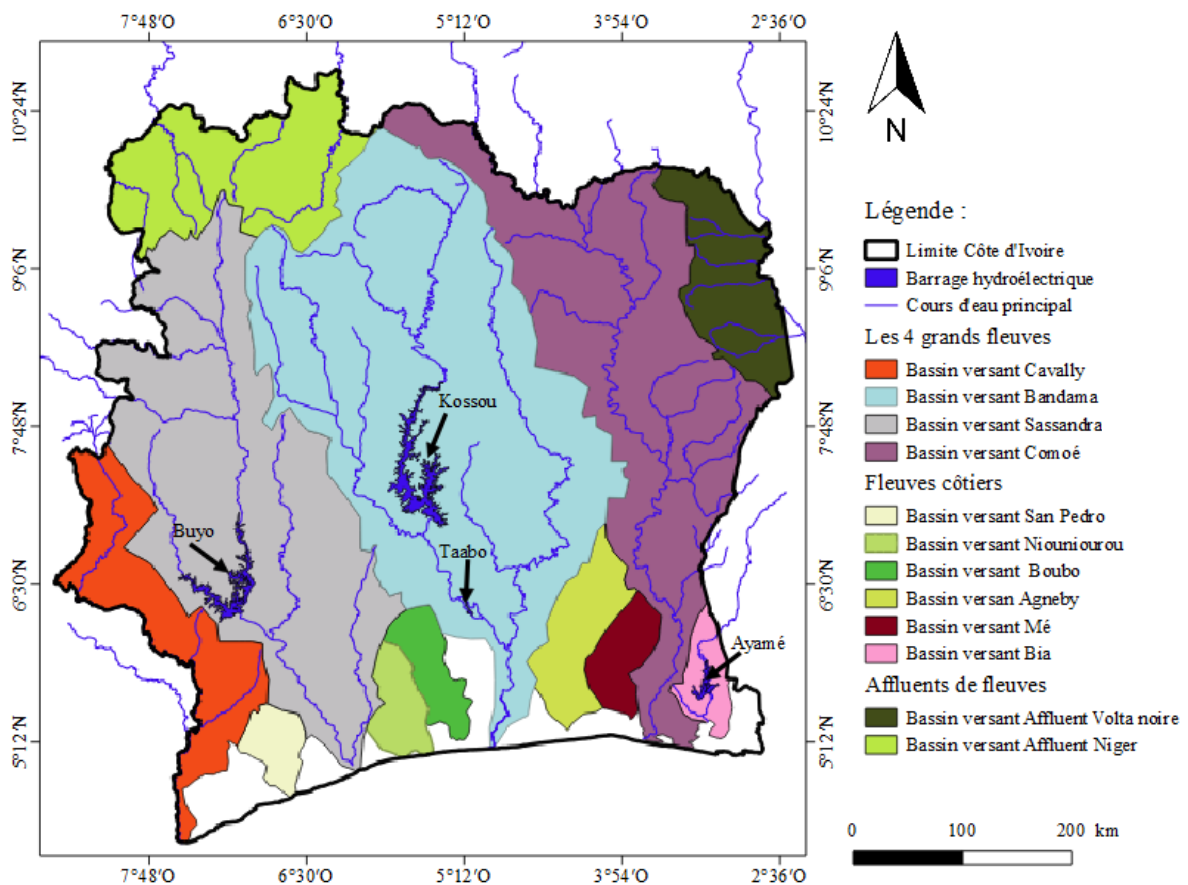


Figure 16 : Bassins versants des cours d'eau principaux de la Côte d'Ivoire.

Malgré l'inclusion d'une partie des bassins versants de cours d'eau où *H. niloticus* est natif, cette espèce est initialement méconnue du bassin hydrographique de la Côte d'Ivoire (Gourène et al., 1995).

H. niloticus a été introduit pour la première fois en Côte d'Ivoire entre 1957 et 1959. Des alevins provenant d'une pisciculture de Yaoundé au Cameroun sont mis à l'essai à la station de recherche piscicole de Bouaké, une ville située au centre de la Côte d'Ivoire (Lazard, 1990 ; Reizer, 1964). En 1960. L'effectif de *H. niloticus* de la station est ensuite renforcé avec des alevins provenant du Burkina Faso, précisément de la localité de Bérégadougou (Reizer, 1964). Des reproductions ont été enregistrées. Les alevins obtenus ont servi à enrichir la faune de certains lacs et cours d'eau environnants. C'est ainsi qu'est intervenu l'empoissonnement du lac d'Ayamé (sur le fleuve Bia) de 1962 à 1965 et celui de Kossou (sur le fleuve Bandama) de 1971 à 1972 (Bernacsek & Powles, 1992 ; Doudet, 1979 ; Moreau, 1982). En 1980, le lac de Buyo (sur le fleuve Sassandra) enregistre à son tour un empoissonnement avec *H. niloticus* (Lazard, 1990).

A partir de 1985, *H. niloticus* est introduit dans des barrages agropastoraux (Sambakaha, Gboyo, Korokara et Kiémou) construits sur des affluents secondaires du fleuve Bandama au nord de la Côte d'Ivoire dans les départements de Korhogo et Ferkessédougou (Da Costa et al., 1998 ; Tito De Morais et al., 2007).

Aujourd'hui *H. niloticus* est pratiquement présent dans tous les bassins versants de la Côte d'Ivoire. Il fait même partie des principales espèces pêchées (Da Costa et al., 2000 ; Kouakou et al., 2016 ; Tah et al., 2009).

La pisciculture de *H. niloticus* s'est aussi développée en Côte d'Ivoire. Elle est pratiquée dans des étangs ou dans de petits barrages (Kimou et al., 2016).

3.3. Génétique des populations de *A. gigas* et *H. niloticus*

3.3.1 Génétique des populations et reproduction des espèces

La génétique des populations est une discipline scientifique qui étudie les différentes forces (mutations, sélection, dérive et migration) agissant sur les changements évolutifs des espèces et de leurs populations. C'est une discipline transversale entre écologie, systématique, histoire naturelle, conservation, biologie évolutive, amélioration agronomique (horticulture, sylviculture, pisciculture, élevage) (Hartl & Clark, 2007).

Plusieurs études ont permis de déterminer la structure génétique des populations de nombreuses espèces de poissons qu'elles soient à l'état sauvage ou issues d'élevage (An et al., 2010 ; de Oliveira et al., 2017 ; Santos et al., 2014 ; Sánchez et al., 2012 ; Shen et al., 2009). La connaissance de cette variabilité génétique oriente le choix des reproducteurs. Pour faire face aux problèmes de consanguinité, des pratiques, consistant à capturer des poissons à l'état sauvage, généralement contenus dans des cours d'eau avoisinantes, pour les utiliser comme reproducteurs dans les fermes aquacoles, sont mises en œuvre pour maintenir la diversité génétique (de Oliveira et al., 2017).

3.3.2 Les différents types de marqueurs pour l'étude de la génétique des populations

Les cellules des eucaryotes contiennent plusieurs génomes : non seulement le génome nucléaire, mais également des génomes plus petits, dans les chloroplastes pour les plantes et les mitochondries pour les plantes et les animaux (Birky et al., 1983 ; Boursot & Bonhomme, 1986). Il existe une large gamme de marqueurs moléculaires au sein de ces génomes qui peuvent être utilisés pour étudier la structure génétique des populations (Castellanos-Gell, 2012). Les marqueurs génétiques peuvent fournir des preuves solides que les populations sont fermées ou ouvertes parce que la différenciation génétique est très sensible à la migration. Cependant, les inférences fondées sur des données génétiques doivent nécessairement être basées sur des modèles qui supposent l'hérédité, la variabilité, la neutralité versus la valeur sélective des marqueurs et l'équilibre entre la dérive génétique, la migration et la mutation pour différencier les populations et les individus (Hellberg et al., 2002).

a) L'ADN Mitochondrial

Plusieurs études se sont focalisées sur l'analyse de l'ADN mitochondrial (ADNmt) exclusivement ou associée à d'autres marqueurs moléculaires (Avisé et al., 2008 ; Castellanos-Gell, 2012 ; Honeycutt et al., 2012 ; Papetti et al., 2007 ; Sekino et al., 2002 ; Vigilant et al., 1989 ; Yue et al., 2006).

L'ADNmt joue un rôle essentiel en écologie moléculaire et en reconstruction phylogénétique des espèces animales (Hrbek & Farias, 2008). Il a permis depuis plusieurs années, de retracer l'histoire évolutive et démographique des populations et des espèces (Baillard & Whitlock, 2004).

Le taux de mutations de l'ADNmt est supérieur à celui observé au niveau de l'ADN nucléaire (Birky et al., 1983 ; Birky et al., 1989 ; Boursot & Bonhomme, 1986). Mais le rapport entre la variation de l'un et l'autre n'est pas constant et dépend des gènes étudiés (Baillard & Whitlock, 2004).

L'intérêt de l'ADNmt repose sur sa taille de population efficace qui est quatre fois plus petite que celle de l'ADN nucléaire dans une population de sexe ratio 1 :1 (Hartl & Clark, 2007). Cette taille représente le nombre d'individus d'une population idéale pour lequel on aurait une fluctuation du polymorphisme ou un degré de dérive génétique équivalent à celui de la population effective (Boursot & Bonhomme, 1986 ; Hare et al., 2011). Ainsi, dans une population donnée, la dérive pouvant conduire à la fixation d'un nouvel allèle va être 4 fois plus rapide pour le génome mitochondrial que pour le génome nucléaire.

Le temps requis pour que tous les allèles, sauf un (qui est fixé), soient perdus à cause d'une dérive est en effet inversement proportionnel à la taille de population efficace. Reconnu pour son absence de recombinaison chez la grande majorité des espèces, l'ADNmt d'une espèce de moule a montré que ce marqueur moléculaire peut parfois se recombiner (Ladoukakis & Zouros, 2001). Les avantages, les limites et les causes du taux d'évolution élevé de l'ADNmt sont présentés dans le **Tableau 3**.

Tableau 3 : Quelques caractéristiques de l'ADN mitochondrial.

Avantages (Boursot & Bonhomme, 1986 ; Castellanos-Gell, 2012)	<ul style="list-style-type: none"> - Molécule à hérédité maternelle : possibilité de suivre les lignées maternelles au cours du temps - Présent dans la cellule en copies multiples : possibilité de travailler avec du matériel dégradé. - Evolution relativement rapide de la séquence : justification de son utilisation à l'échelle micro évolutive - Homoplasmie (un seul haplotype par individu bien que l'hétéroplasmie puisse exister) - Molécule haploïde avec absence de recombinaison
Limites (Avisé, 2010 ; Baillard & Whitlock, 2004 ; Castellanos-Gell, 2012)	<ul style="list-style-type: none"> - L'absence de recombinaison implique que toute la molécule à la même histoire : la généalogie construite à partir de l'ADNmt pouvant ne pas refléter la totalité de l'histoire de l'espèce - L'hérédité maternelle implique une information limitée lorsque la dispersion est liée au sexe - L'emploi de la coalescence a montré l'importance de l'associer à d'autres marqueurs moléculaires
Causes du taux d'évolution élevé (Avisé, 2009)	<ul style="list-style-type: none"> - Mécanismes relativement inefficaces de réparation de l'ADN - Molécules d'ADNmt exposé à un environnement riche en oxygène - ADNmt nu et non associé à des protéines histones

Le génome mitochondrial des animaux est formé par une petite molécule unique d'ADN circulaire double brin dont le brin H est externe et le brin L se situe à l'intérieur (Boursot & Bonhomme, 1986 ; Hrbek & Farias, 2008). L'ordre des gènes représentés sur la **Figure 17** est le plus fréquent chez tous les téléostéens (Dettai et al., 2012 ; Hrbek & Farias, 2008 ; Pereira, 2000). Il peut y avoir plusieurs milliers de mitochondries dans une seule cellule (Dettai et al., 2012). Sa taille varie entre 8 et 40 kb chez les eucaryotes (Hellberg et al., 2002). Chez les vertébrés, il se situe dans une gamme assez étroite : 16-20 kb (Avisé et al., 1987). Le génome mitochondrial des vertébrés code pour 37 gènes dont 24 assurent le système traductionnel de la molécule elle-même (pour 22 ARNt et 2 ARNr). Les 13 autres gènes codent pour des sous-unités de la chaîne de transport d'électrons où les glucides et les graisses sont oxydés pour générer du dioxyde de carbone, de l'eau et de l'ATP (Baillard & Whitlock, 2004).

Le génome mitochondrial est composé d'une mosaïque de sections (**Tableau 4** et **Figure 17**) très conservées et très variables chez plusieurs espèces animales (Aquadro & Greenberg, 1983 ; Boursot & Bonhomme, 1986 ; Honeycutt et al., 1995 ; Hrbek & Farias, 2008 ; Pereira, 2000). A raison de pressions sélectives plus faibles, quelques positions dans la séquence de l'ADNmt sont susceptibles d'évoluer plus que d'autres (Honeycutt et al., 1995). Cette caractéristique facilite grandement le choix de régions génomiques informatives appropriées pour des questions particulières.

Tableau 4 : Organisation des gènes du génome mitochondrial de *A. gigas*.

Gene/élément	Brin	Position	Taill	Début	Fin
<i>trnF</i>	H	1..68	69	-	-
<i>rrnS</i>	H	69..1022	954	-	-
<i>trnV</i>	H	1023..1093	71	-	-
<i>rrnL</i>	H	1094..2779	168	-	-
<i>trnL</i> (TAA)	H	2780..2853	74	-	-
<i>nad1</i>	H	2858..3829	972	ATG	TA
<i>trnI</i>	H	3831..3902	72	-	-
<i>trnQ</i>	L	3903..3972	70	-	-
<i>trnM</i>	H	3972..4040	69	-	-
<i>nad2</i>	H	4041..5085	104	ATG	T*
<i>trnW</i>	H	5086..5154	69	-	-
<i>trnA</i>	L	5156..5224	69	-	-
<i>trnN</i>	L	5226..5298	73	-	-
OL	L	5299..5334	36	-	-
<i>trnC</i>	L	5335..5401	67	-	-
<i>trnY</i>	L	5402..5472	71	-	-
<i>cox1</i>	H	5474..7030	155	GTG	AG
<i>trnS</i> (TGA)	L	7026..7097	72	-	-
<i>trnD</i>	H	7101..7172	72	-	-
<i>cox2</i>	H	7177..7867	691	ATG	T*
<i>trnK</i>	H	7868..7941	74	-	-
<i>atp8</i>	H	7943..8110	168	ATG	TA
<i>atp6</i>	H	8101..8784	684	ATG	TA
<i>cox3</i>	H	8784..9568	785	ATG	T*
<i>trnG</i>	H	9569..9639	71	-	-
<i>nad3</i>	H	9640..9988	349	ATG	T*
<i>trnR</i>	H	9989..10058	70	-	-
<i>nad4L</i>	H	10059..10355	297	ATG	TA
<i>nad4</i>	H	10349..11738	139	ATG	T*
<i>trnH</i>	H	11739..11807	69	-	-
<i>trnS</i> (GCT)	H	11808..11875	68	-	-
<i>trnL</i> (TAG)	H	11876..11948	73	-	-
<i>nad5</i>	H	11949..13790	184	ATG	TA
<i>nad6</i>	L	13787..14317	531	ATG	TA
<i>trnE</i>	L	14318..14385	68	-	-
<i>cob</i>	H	14390..15530	114	ATG	T*
<i>trnT</i>	H	15531..15602	72	-	-
<i>trnP</i>	L	15603..15666	64	-	-
OH (control région)	H	15667..16433	767	-	-

D'après Hrbek & Farias (2008).

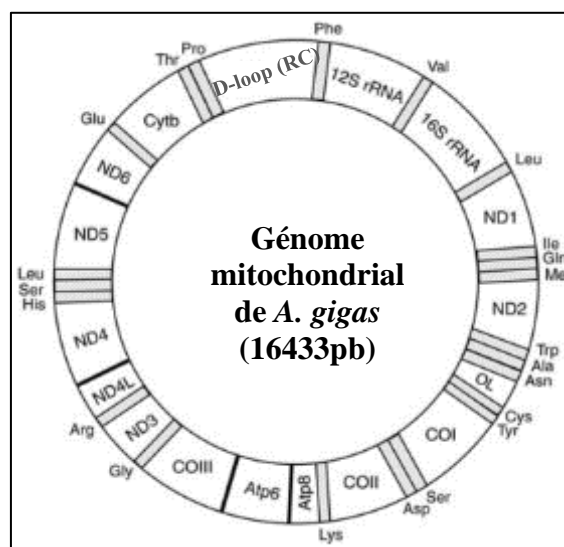


Figure 17 : Carte du génome mitochondrial de *A. gigas* (Hrbek & Farias, 2008).

Diverses parties du génome mitochondrial sont employées pour comprendre l'histoire et la démographie des espèces vivantes ainsi que pour la conception d'amorces (Hrbek & Farias, 2008).

L'ADNmt contient une région dite de contrôle (non codante) d'environ 0,8 kb appelée D-loop chez les vertébrés (Avisé et al., 1987). Elle est située entre les gènes ARNt-Pro et ARNt-Phe (Hrbek & Farias, 2008). Cette région régule les processus de réplication et de transcription de l'ADNmt (Avisé et al., 1987 ; Chang & Clayton, 1986). Elle est particulièrement utile pour les analyses phylogéographiques à des échelles évolutives de quelques milliers ou quelques dizaines de milliers d'années (Ward et al., 1993). Le rôle fonctionnel réduit, et donc les faibles pressions sélectives sur cette séquence, font que quelques fragments de cette séquence évoluent plus vite que la moyenne de la molécule. Ils présentent alors un rythme exceptionnellement rapide de substitutions nucléotidiques et un niveau élevé de polymorphisme intraspécifique (McMillan & Palumbi, 1997 ; Pomacentridae et al., 2004). Certains auteurs (Aquadro & Greenberg, 1983 ; Vigilant et al., 1989) suggèrent que le rythme de l'horloge moléculaire de l'ensemble de la région de contrôle peut être de trois à cinq fois plus grand que celui du reste du génome mitochondrial. Néanmoins, même à l'intérieur de cette région quelque espèces de vertébrés ont montré une variabilité faible, voire nulle (Baker et al., 1994 ; Walker et al., 1998). Des petits fragments non codants sont aussi présents dans l'ADNmt. Leur rôle régulateur n'est pas clairement compris (Boore, 1999).

b) ADN microsatellites

A l'instar de l'ADNmt, les microsatellites ont été beaucoup utilisés dans les études d'écologie moléculaire et de génétique des populations (Duvernell et al., 2008 ; Edwards et al., 2008 ; Godinho et al., 2008 ; Schiffer et al., 2007 ; Schultz et al., 2008 ; Väli et al., 2008).

Les microsatellites sont des séquences d'ADN polymorphes contenant des répétitions en tandem de motifs nucléotidiques (DeWoody & Avisé, 2000) de 2 à 10 paires de bases (Hellberg et al., 2002 ; Treangen & Salzberg, 2013). Selon la longueur de la base répétée, on parle de microsatellites mono-, di-, tri-, tétra-, penta- et hexa- nucléotides. La structure des répétitions permet de distinguer trois types de microsatellites : (i) ceux qui contiennent un seul type d'unité répétée, (ii) ceux qui sont constitués d'au moins deux unités répétées différentes et (iii) ceux qui contiennent plusieurs interruptions à l'intérieur de la séquence (Urquhart et al., 1994). On les classe alors respectivement comme microsatellites "parfaits", "composés" et "imparfaits".

Les microsatellites se rencontrent de manière abondante dans tout l'organisme des procaryotes et des eucaryotes (Treangen & Salzberg, 2013). Chez le nématode *Pristionchus pacificus*, ils

peuvent représenter jusqu'à 3,83% de tout le génome (Molnar et al., 2012). La plupart des microsatellites sont situés dans les régions non codantes (introns) (Li et al., 2017) avec toutefois une localisation possible dans les régions codantes. Chez l'anguille des marais (*Monopterus albus*), 1% des microsatellites sont localisés dans les régions codantes (exons) (Li et al., 2017). Les microsatellites ont un taux élevé de mutation spontanée qui chez l'homme est en moyenne de $1,2 \times 10^{-3}$ par locus, par gamète et par génération (Weber & Wong, 1993). Ils constituent une source importante de polymorphisme génétique (DeWoody & Avise, 2000 ; Kashi et al., 1997).

En génétique des populations, la plupart des microsatellites sont considérés comme des fragments d'ADN où les mutations sont neutres (Watkins, 2007). Ces marqueurs moléculaires peuvent être des éléments codants et de régulation de l'expression de gènes (Koshi & King, 2006).

De nombreux facteurs agissent sur la dynamique évolutive des microsatellites. Il s'agit entre autres du nombre de répétitions, la séquence du motif répété, la longueur de l'unité répétée, les séquences flanquantes, la présence d'imperfections, le taux de recombinaison et de transcription, l'efficacité du système de réparation et l'âge des individus (Castellanos-Gell, 2012).

Les microsatellites sont de petits fragments d'ADN qui s'amplifient facilement par PCR. Leur abondance, leur co-dominance, leur polymorphisme élevé et généralement neutre sont autant d'atouts qui justifient sa grande utilisation dans les études de génétique des populations. Ils jouent un rôle essentiel dans la reconstitution de l'histoire des migrations et de l'évolution des espèces. Ils permettent d'évaluer la diversité biologique à différents niveaux d'organisation (Edwards et al., 1992). Ces marqueurs moléculaires ont montré leur efficacité dans la détermination de la capacité dispersive des espèces à divers échelles géographiques (Araripe et al., 2013). Ils sont relativement faciles à développer et peuvent être analysés pour un coût modéré (Castellanos-Gell, 2012). Malgré le nombre élevé de microsatellites dans l'organisme, il a été montré que des individus peuvent être correctement identifiés avec huit loci et que la structure principale d'une population est visible avec deux loci hautement polymorphes (Arthofer et al., 2018).

3.3.3 Structure génétique et conservation des populations de *H. niloticus* et de *A. gigas*

Les génomes mitochondriaux de la plupart des espèces d'Ostéoglossiformes sont complètement séquencés (Hrbek & Farias, 2008 ; Lavoué et al., 2011 ; Yue et al., 2006). Le génome mitochondrial complet de *A. gigas* est composé de 16 433 pb (GenBank EF523611) et celui de *H. niloticus* compte 16 551 pb (Genbank AP009498). Récemment, le génome complet de *A. gigas* a été séquencé (Vialle et al., 2018). Le séquençage de ces génomes ouvre la voie aux études moléculaires des populations de *A. gigas* et de *H. niloticus* (Hrbek & Farias, 2008 ; Vialle et al., 2018). La carte du génome mitochondrial d'*Arapaima* est présentée dans la **Figure 17** selon Hrbek et Farias (2008).

L'une des rares études ciblant la génétique des populations naturelles de *H. niloticus* a été réalisée au Bénin (Hurtado et al., 2013). Huit microsatellites ont été utilisés. Des différenciations génétiques marquées ont pu être observées entre populations de différents bassins. Les obstacles à la dispersion semblent avoir isolé efficacement les populations de *H. niloticus* entre les trois bassins étudiés. Les cours d'eau qui communiquent lors des périodes de crue, ont présenté de faible différenciation génétique entre leurs populations. L'inondation semble donc faciliter le flux génétique entre les cours d'eau (Hurtado et al., 2013).

Contrairement à *H. niloticus*, la génétique des populations de *A. gigas* a fait l'objet de plusieurs études dans une grande partie de son aire de distribution. Des marqueurs microsatellites et mitochondriaux ont été utilisés séparément ou les deux de façon associée (Garcia-Davila et al., 2011 ; Hrbek et al., 2007, 2005 ; Santos et al., 2014 ; Vitorino et al., 2015). Les premières études de génétique des populations d'*Arapaima* ont été réalisées entre Iquitos (Pérou) et l'Etat du Macapà (Brésil) à partir de marqueurs mitochondriaux (ATPase et NADH). Sur un échantillon de 139 individus, 34 haplotypes des deux marqueurs concaténés séparés par 44 sites de ségrégation ont été identifiés et la variabilité génétique des populations semble être attribuée à des facteurs anthropogéniques comme la surexploitation (Hrbek et al., 2005). Une étude, qui utilise des marqueurs microsatellites (Araripe et al., 2013), a montré un isolement génétique par la distance : plus les populations d'*Arapaima* sont éloignées, plus la différenciation génétique est grande entre elles. Le flux génétique entre populations séparées par de petites distances est donc important. Un système de génotypage multiplex de marqueurs microsatellites a permis d'étudier la variabilité génétique des populations naturelles

d'*Arapaima* dans la basse Amazonie dans le lac Sauaçu au Brésil. Une valeur d'hétérozygotie élevée (0,69) a été obtenue avec le nombre d'allèles par locus allant de 4 (AgCTm5) à 13 (AgCAm2). La moyenne est de 8 allèles. Aucun des loci n'a présenté d'écarts significatifs à l'équilibre Hardy-Weiberg. Il n'y avait aucune paire de loci avec un déséquilibre de liaison significatif (Hamoy et al., 2008). A partir de 19 microsatellites, la variabilité génétique de populations sauvages et d'élevage d'*Arapaima* du Brésil révèle 146 allèles avec une moyenne de 7,68 allèles par locus et les populations sauvages présentent une plus grande diversité génétiques que les populations en captivité (Santos et al., 2014).

4 L'organisation séquentielle et les principales étapes du cycle de reproduction des *Arapaimidae*

4.1 Maturité sexuelle

4.1.1 Stades de maturation des gonades

Les stades de maturation des gonades chez les *Arapaimidae* sont similaires à celles des autres téléostéens (Moreau, 1982 ; Núñez & Duponchelle, 2009). L'indice gonado-somatique (IGS) est souvent utilisé pour estimer la saison de reproduction des poissons. Il ne convient pas pour des reproducteurs multiples comme *A. gigas* et *H. niloticus* (Núñez & Duponchelle, 2009).

L'évolution de la gamétogenèse est cyclique chez les deux sexes (Moreau & Moreau, 1982 ; Núñez & Duponchelle, 2009) mais avec une période de reproduction assez étendue. La période de repos sexuel est caractérisée par la réduction importante du volume des gonades. Chez *H. niloticus*, la période de repos sexuel peut durer 4 mois. La spermiation et l'oviposition ne sont généralement possibles que 4 mois dans l'année (Moreau & Moreau, 1982).

a) Chez la femelle : l'ovogenèse

En fonction de leurs stratégies de ponte, les femelles de poisson sont classées en reproducteurs uniques annuels (exemple, certaines espèces Amazoniennes comme *Pseudoplatystoma*, *Colossoma*, *Piaractus*) ou en reproducteurs annuels multiples (comme dans le cas de *Pygocentrus*, *Cichla*, *Arapaima*, *Osteoglossum*, *Heterotis*) (Núñez & Duponchelle, 2009).

Chez *A. gigas* et *H. niloticus*, les dynamiques ovariennes comportent cinq stades numérotés de 1 à 5 (**Tableau 5** et **Figure 18**) (Adite et al., 2006 ; Núñez & Duponchelle, 2009). Le développement des ovocytes comprend quatre stades numérotés de I à IV (**Figure 18**) (Núñez & Duponchelle, 2009). Les individus, n'ayant pas encore atteint l'âge de la première maturité sexuelle, ont des ovaires immatures (stade 1) contenant uniquement des ovogonies qui évoluent en ovocytes en prévitellogénèse (stade I) au moment de la première maturité sexuelle. Par la suite, les ovaires passent successivement par différents stades de maturation : stades 2, 3 et 4

correspondant respectivement à des ovocytes en début de vitellogenèse (stade II), en vitellogenèse avancée (stade III) et en fin de vitellogenèse prêt à être expulsés (stade IV). Les ovocytes en prévitellogenèse sont présents à tous les stades ovariens. On a un développement synchrone de lots d'ovocytes chez des femelles matures (Moreau & Moreau, 1982 ; Núñez & Duponchelle, 2009). Après la période de fraie, les ovaires deviennent flasques (stade 5) et contiennent encore des ovocytes aux stades II et III. Le passage des ovaires du stade 5 au stade 2 marque le début d'un nouveau cycle de reproduction (Núñez & Duponchelle, 2009).

Le développement des ovocytes et la croissance ovarienne des *Arapaimidae* sont similaires à ceux des reproducteurs uniques jusqu'aux stades III et 3 (Núñez & Duponchelle, 2009).

Tableau 5 : Stades de maturation et caractéristiques morphologiques des ovaires des *Arapaimidae*.

Stade de l'ovaire	<i>A. gigas</i> (Arantes et al., 2010 ; Flores, 1980 ; Núñez & Duponchelle, 2009)	<i>H. niloticus</i> (Adite et al., 2006)
1	Petit ovaire laminaire et immature, de couleur rose, fortement attaché au péritoine, les ovocytes ne sont pas visibles ou sont vus comme de petits points blanchâtres dispersés dans l'ovaire	Ovaire immature (juvénile) de couleur rose avec des ovocytes invisibles à l'œil nu
2	Ovaire un peu plus développé que les précédents, de petits ovocytes blanchâtres occupent la totalité de la gonade, couleur rose blanchâtre ou rose pâle	Pré maturation – ovaire de couleur jaune pâle avec des ovocytes visibles à l'œil nu
3	Ovaire développé, ovocytes ronds et turgescents, vert clair dans la région postérieure et rose blanchâtre dans la partie antérieure	Maturation avancée – ovaire très développé avec des ovocytes de couleur jaune orange
4	Ovaire complètement développé, couleur vert foncé, gros ovocytes ronds et turgescents, vert foncé viables et de petits ovocytes en vitellogenèse, quelques petits ovocytes avortés jaune, rougeâtre et blanchâtre	Ovaire mature avec des œufs au stade post vitellogenèse (diamètre 2,5–3 mm) expulsables par pression abdominale
5	Ovaire flasque, sanglant, vert pâle à grossille, il y a peu d'ovocytes viables et avortés intercalés dans un nouveau lot d'ovocytes en vitellogenèse.	Stade post fraie, l'ovaire devient flasque et ne contient presque plus d'ovocytes matures

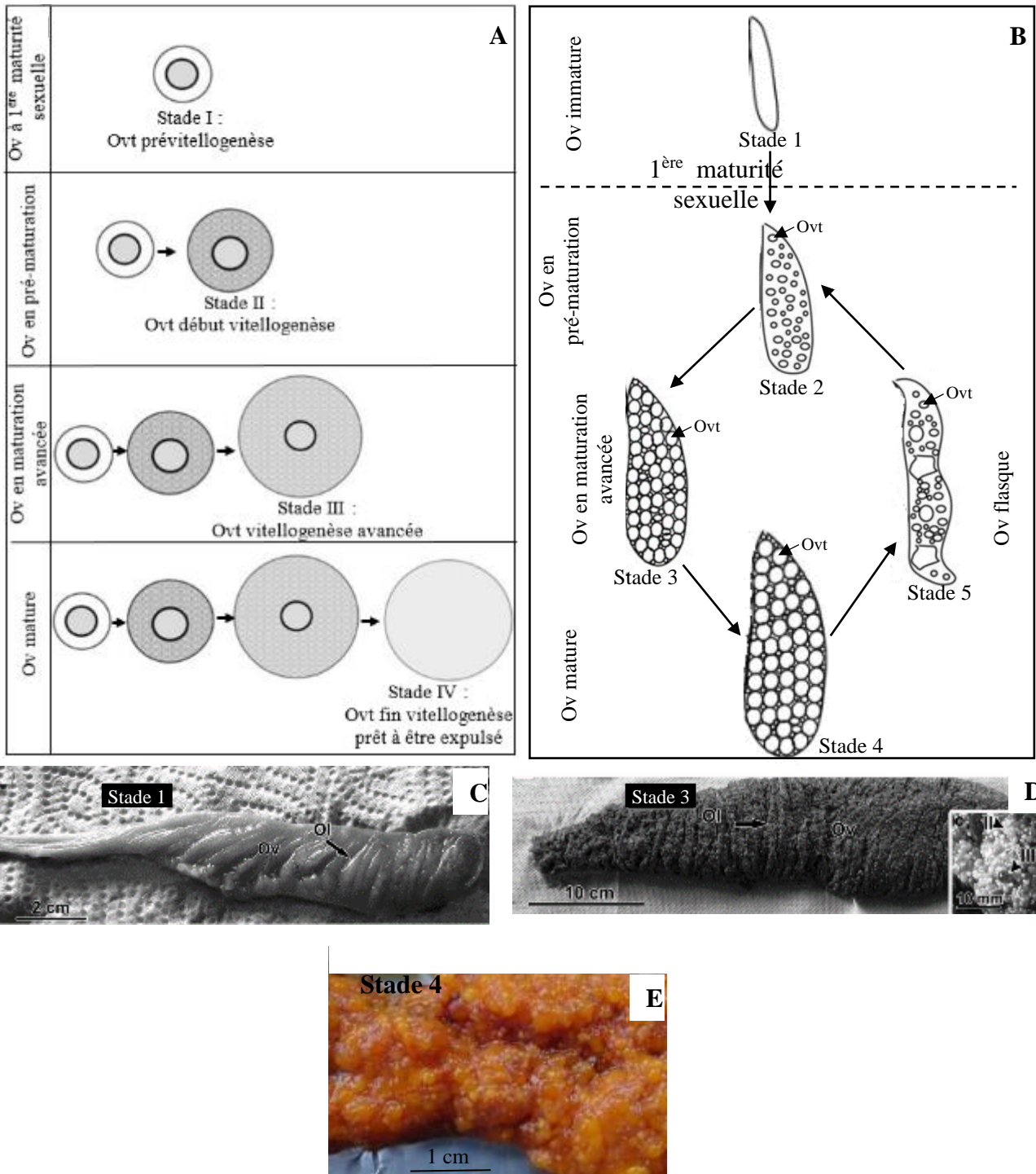


Figure 18 : Evolution de la maturation des ovaires et ovocytes des *Arapaimidae*.

Modifiée d'après Núñez & Duponchelle (2009).

Il est considéré quatre stades de développement des ovocytes (A) et cinq stades ovariens (B). Ovaire d'*Arapaima* (C et D) et d'*Heterotis* (E). Ov : ovaire, Ovt : ovocyte, Ol : lamelle ovarienne. Des ovocytes à différents stades sont présents et continuent leur processus de maturation dans l'ovaire des femelles matures (A).

b) Chez le mâle : la spermatogénèse

La spermatogénèse chez les poissons (**Figure 19**) est caractérisée par la production des spermatogonies primaires et secondaires, les spermatocytes, les spermatides et les spermatozoïdes (Moreau, 1982 ; Núñez & Duponchelle, 2009 ; Schulz et al., 2010). Tous ces stades de développement (**Tableau 6**) sont présents à la fois dans le testicule de *H. niloticus* que quelques semaines par an (Moreau, 1982).

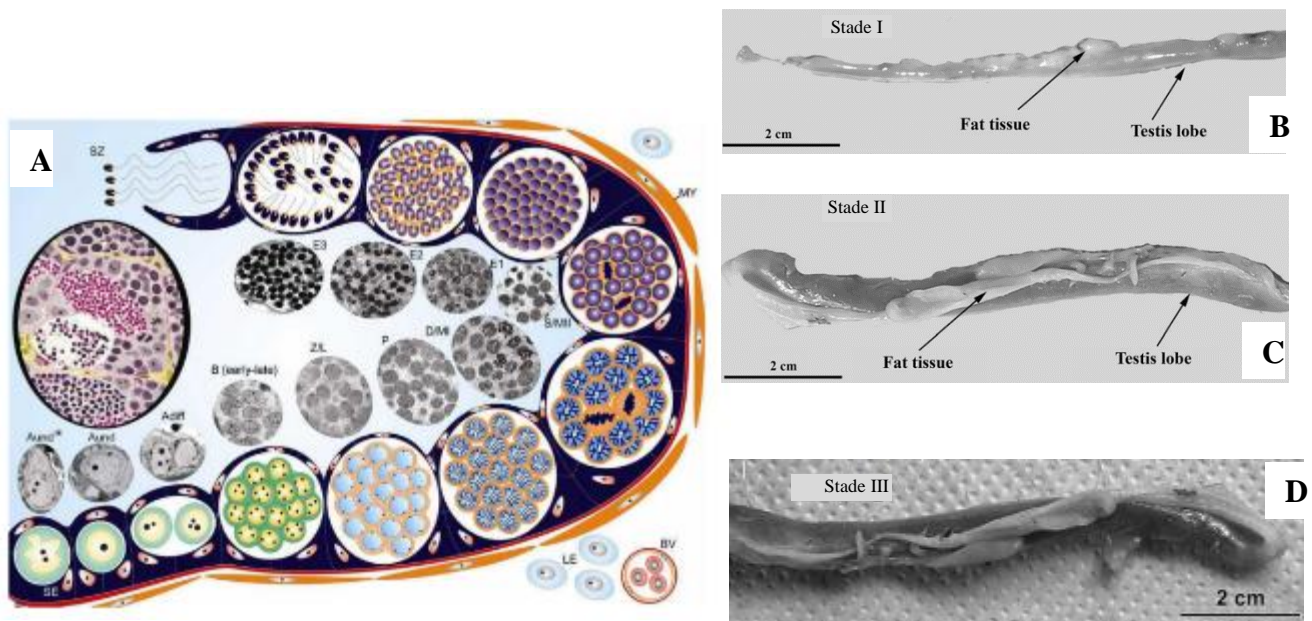


Figure 19 : Schéma d'une coupe testiculaire de poisson (A) (Schulz et al., 2010) et stades de maturation de testicule de *A. gigas* (B, C et D) (Chu-Koo et al., 2009 ; Núñez & Duponchelle, 2009).

L'épithélium germinal contient les cellules de Sertoli (SE) et les cellules germinales, délimitées par la lame basale (BL) et les cellules myoïdes pérítubulaires (MY). Les cellules interstitielles de Leydig (LE) et les vaisseaux sanguins (BV) sont montrés. Spermatogonies de type A indifférenciées (Aund *, cellules souches), spermatogonies de type A indifférenciées (Aund), spermatogonies de type A différenciées (Adiff), spermatogonies de type B, spermatocytes primaires leptonique/zygoténique (L/Z), spermatocytes primaires pachyténique (P), spermatocytes diploténique /métaphase I (D/MI), spermatocytes secondaires /métaphase II (S/MII), spermatides précoces (E1), intermédiaires (E2) et finales (E3), spermatozoïdes (SZ).

Tableau 6 : Stades de maturation et caractéristiques du testicule des *Arapaimidae*.

Stade du testicule	<i>A. gigas</i>	<i>H. niloticus</i>
	(Núñez & Duponchelle, 2009)	(Adite et al., 2006)
I	Immature : les testicules sont comme deux fils argentés ou translucides, plus minces et plus longs que les ovaires de stade 1	Immature (juvénile) : testicule non développé consistant en un filament translucide
II	Maturation : les testicules sont plus longs, plus larges, souvent de section triangulaire ou circulaire et de couleur blanche à rosée. Les adultes au repos sont généralement à ce stade	Maturation précoce : testicules de taille intermédiaire ayant une couleur jaune ou beige très claire
		Maturation avancée : grand testicule, couleur blanche opaque ou beige clair avec de nombreuses petites taches noires
III	Mûr : les testicules sont plus gros, plus pleins et complètement blancs. Sperme émis avec une légère pression sur l'abdomen	Mûr : testicules complètement développés, expulsés par pression abdominale, couleur blanc laiteux
IV	Testicules encore grands comme au stade III, mais flasques et comme vides	Testicules post-fraie : flasques sans laitance

4.1.2 Taille et âge des poissons à la première maturité sexuelle

Chez *H. niloticus*, la taille de première maturité sexuelle observée chez certains poissons en Côte d'Ivoire est de 330 mm de LS chez la femelle et de 300 mm de LS chez le mâle (Kouakou et al., 2016). Au Bénin, les femelles arrivent à maturité à partir de 499 mm de LS et un poids de 1,77 kg. Les mâles sexuellement matures pèsent 1,49 kg et ont 515 mm LS (Adite et al., 2006). On a également décrit des *Heterotis* ayant atteint la maturité sexuelle à un poids compris entre 0,8 et 1 kg dans la rivière Kan en Côte d'Ivoire (Moreau, 1982) et d'autres se sont reproduits pour la première fois à des poids beaucoup plus importants (4 kg) en Centrafrique (Tillon, 1959). L'acquisition de la maturité est assez longue chez certains *Heterotis* (19 à 20 mois) (Reizer, 1964; Tillon, 1959). A Madagascar, des *Heterotis* se sont reproduits pour la première fois à un âge compris entre 2 et 2,5 ans (Moreau, 1982). La maturité sexuelle semble intervenir plus tardivement en étang de pisciculture que dans le milieu naturel (Moreau, 1982). L'augmentation de la photopériode, l'installation de la saison des pluies et la diminution du pH accélèrent la maturation des gonades (Moreau, 1982).

L'âge de première maturité sexuelle chez les femelles et mâles de *A. gigas* se situe généralement à partir de 5 ans (Chu-Koo et al., 2009 ; Flores, 1980). La maturité sexuelle est précoce (à partir de 3 ans) lorsque les densités de *A. gigas* dépassent 32,3 individus/km². A basse densité (4,45 individus/km²), la reproduction n'intervient pas avant 4 ou 5 ans (Arantes et al., 2010). Les poissons mûres ont un poids supérieur à 40 kg (Bard & Imbiriba, 1986). Dans la rivière Solimoes (État d'Amazonas au Brésil), la taille de première maturité des femelles est comprise entre 157 et 164 cm LT (Arantes et al., 2010). Les femelles d'*Arapaima* dans le bassin de la rivière Tocantins au Brésil ont atteint la maturité sexuelle pour une taille plus faible (145-154 cm LS). Les mâles de cette population ont acquis la maturité à des tailles réduites, 115 à 124 cm LS (Godinho et al., 2005). Des tailles plus importantes ont été enregistrées chez les femelles à la réserve de Pacaya Samira au Pérou; 160 à 170 cm LS pour la première maturation sexuelle et 180 à 190 cm LS pour la taille de la première fraie (Flores, 1980).

Un résumé de la taille minimale de première maturité sexuelle des *Arapaimidae* est présenté dans le **Tableau 7**.

Tableau 7 : Taille minimale de première maturité sexuelle des *Arapaimidae* suivant la longueur standard (LS), l'âge ou le poids.

Espèce	Sexe	LS (cm)	Age (mois)	Poids (kg)
<i>A. gigas</i>	Mâle	115	36	40
	Femelle	145		
<i>H. niloticus</i>	Mâle	30	19	0,8
	Femelle	33		

D'après Bard & Imbiriba (1986) ; Godinho et al. (2008) ; Kouakou et al. (2016) ; Moreau (1982) ; Reizer (1964).

4.2 Période de reproduction et formation des couples

En milieu naturel et en étang de pisciculture, la période de reproduction des *Arapaimidae* se situe généralement pendant les périodes de crue où les pluies sont abondantes (Depierre & Vivien, 1977 ; Nuñez et al., 2011 ; Reizer, 1964). Face aux effets du changement climatique

qui entraîne des variations saisonnières, les périodes de reproduction sont susceptibles de varier d'une année à l'autre (Meisner & Shuter, 1992).

Les périodes de reproduction de *H. niloticus* (**Tableau 8**) ont été déterminées à partir de l'analyse de l'IGS (Adite et al., 2006 ; Kouakou et al., 2016) ou sur la base d'observations directes (Depierre & Vivien, 1977 ; Moreau, 1982 ; Tillon, 1959). La saison de reproduction dure environ de 4 à 5 mois (Moreau, 1982).

Tableau 8 : Période de reproduction de *H. niloticus* dans différentes régions de l'Afrique

Pays	Période de reproduction	Références
Centrafrique (Pisciculture)	Mai à Septembre	(Tillon, 1959)
Côte d'Ivoire (Fleuve Agnéby)	Juin à Août Novembre à Décembre	(Kouakou et al., 2016)
Bénin (Rivière Sô)	Mai à Août	(Adite et al., 2006)
Cameroun (Fleuve Nyong)	Avril à Juin Septembre à Octobre	(Depierre & Vivien, 1977)

Chez *Arapaima*, les reproductions continues sont observées en captivité avec une saisonnalité bien marquée (Flores, 1980 ; Nuñez et al., 2011). Dans le milieu naturel, la reproduction se produit essentiellement pendant la saison des pluies, à la photopériode la plus courte et à une température élevée. Au Pérou, un même couple de *A. gigas* s'est reproduit plusieurs fois au cours d'une année entre septembre et avril avec un maximum de décembre à avril au cœur de la saison des pluies. En saison sèche, les conditions environnementales sont favorables mais pas optimales à la survie des larves et des alevins. Une faible activité reproductive est observée d'avril à septembre où la photopériode est plus longue et la température plus basse (Nuñez et al., 2011).

Les *Arapaimidae* sont considérés depuis longtemps comme une famille monogame qui forme des couples stables en période de reproduction (Castello & Stewart, 2010 ; Chu-Koo et al., 2009 ; Moreau, 1982 ; Nuñez et al., 2011 ; Reizer, 1964 ; Tillon, 1959). Les mouvements des couples formés sont généralement synchronisés et on observe une absence de parade nuptiale avant l'accouplement (Reizer, 1964 ; Valladão et al., 2016). La possibilité de sexer *Arapaima* à partir d'un kit, mis au point sur la base de la détection de vitellogénine plasmatique (Chu-Koo et al., 2009 ; Nuñez et al., 2011), permet d'isoler des couples dans de grands bassins

(>1000 m²) pour assurer naturellement la reproduction en captivité (Marre, 2011). L'absence de méthode de sexage fiable chez *H. niloticus* amène les pisciculteurs à utiliser un grand nombre de poissons matures dans les étangs de reproduction (Tillon, 1959). Trois cas de figure se présentent dans ces conditions pendant la période de reproduction : (i) tous les individus se reproduisent (Tillon, 1959), ce cas est rarement observé, (ii) aucune reproduction ne se produit, ce cas a été signalé par des pisciculteurs au centre-ouest de la Côte d'Ivoire ou (iii) certains poissons s'accouplent et d'autres qui n'ont pu s'accoupler restent isolés (Reizer, 1964).

Il n'est pas exclu que les femelles de *A. gigas* soient polyandres (Dabbadie, 2002) puisque des tests de paternité réalisés à partir de marqueurs microsatellites sur des alevins produits par une femelle au cours d'une ponte ont révélé la présence d'allèles ne provenant pas uniquement du couple formé (Farias et al., 2015). Ces allèles supplémentaires sont non compatibles avec la monogamie chez cette espèce.

4.3 Construction ou réaménagement de nid

Arapaima et *Heterotis* ne sont pas des incubateurs buccaux contrairement aux autres espèces d'Ostéoglossiformes. Ils gardent leurs œufs dans un nid (Adite et al., 2006 ; IRD, 2008 ; Lévêque & Paugy, 1999 ; Rojas, 2005) dont la construction est annonciatrice d'une reproduction prochaine (Moreau & Moreau, 1982). Toutefois, pour des raisons inconnues, les œufs sont parfois portés à la bouche par des femelles de *H. niloticus* (**Figure 20**). Ces observations ont été faites chez plusieurs femelles d'*Heterotis* dans deux fermes piscicoles du centre et du centre-ouest de la Côte d'Ivoire.

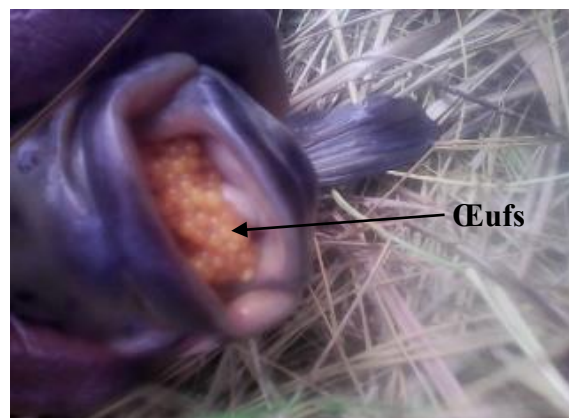


Figure 20 : Oeufs observés dans la bouche d'une femelle de *H. niloticus* dans une ferme piscicole du Centre de la Côte d'Ivoire.

Les nids sont construits pendant la saison de fraie qui correspond à la saison des pluies (Adite et al., 2005). En milieu naturel, les zones favorables sont les plaines inondées à de faibles profondeurs (15-30 cm) pour les besoins d'oxygénation des alevins après éclosion des œufs (Moreau, 1982 ; Nuñez et al., 2011). Les rives à pente raide et profonde ne conviennent pas à la confection des nids (Tillon, 1959). Le matériau utilisé par les reproducteurs pour réaliser les nids est composé essentiellement de la végétation arrachée dans le plan d'eau (Adite et al., 2005 ; Depierre & Vivien, 1977 ; Lévêque & Paugy, 1999). La paroi du nid est en terre. Elle est munie d'une ouverture servant de passage aux géniteurs (Moreau, 1982).

Les reproductions en étang sont obtenues en se rapprochant des conditions du milieu naturel. Pour ce faire, les pisciculteurs maintiennent, sur les bords des étangs, une présence permanente de la végétation (Reizer, 1964). Il est cependant constaté que la présence de végétation n'est pas une condition indispensable pour la confection des nids puisque des reproductions sont observées dans des étangs sans végétation (Nuñez et al., 2011 ; Tillon, 1959). Les reproducteurs utilisent les débris végétaux qu'ils trouvent dans le plan d'eau pour construire leur nid (Adite et al., 2006 ; Tillon, 1959) situé sur les limites des étangs. Ce sont des dépressions circulaires aménagées comparables à de petites cuvettes (**Figure 21**) (Lévêque & Paugy, 1999). Chez *H. niloticus*, le diamètre du nid varie généralement entre 100 et 150 cm et la profondeur de 30 à 50 cm (Lévêque & Paugy, 1999 ; Moreau, 1982). Au Bénin, des nids de 77 et 165 cm de diamètre et de profondeur comprise entre 40 et 86 cm sont observés (Adite et al., 2006). Chez *A. gigas*, les nids ont 40 à 50 cm de diamètre et une profondeur de 15 à 20 cm (Chu-Koo et al., 2009 ; Rebaza Alfaro et al., 2003).



Figure 21 : Nid de *H. niloticus* dans un étang piscicole au centre ouest de la Côte d'Ivoire
On observe les débris végétaux utilisés pour la construction du nid de forme circulaire.

Des étangs de 2 ares avec une densité de 0,08 géniteurs/m² sont suffisants pour obtenir des reproductions chez *H. niloticus* (Reizer, 1964 ; Tillon, 1959).

Le nombre de nids actifs peut atteindre 51/hectare/mois en milieu naturel chez *H. niloticus* (Adite et al., 2006). En pisciculture, dans un étang de 2 ares contenant 9 reproducteurs d'*Heterotis* de sexe inconnu, 5 nids actifs ont été observés au même moment (Tillon, 1959).

Les nids sont utilisés en étangs par les couples d'*Heterotis* deux à trois fois pendant trois ou quatre semaines d'intervalle. Avant d'être réutilisés, les nids sont réaménagés par les deux congénères (Moreau, 1982 ; Reizer, 1964). La sortie du nid pour regagner le centre de l'étang se fait presque toujours par le même chemin. Ce parcours est bien marqué en milieu naturel. Le trajet suivi par les reproducteurs d'*Heterotis* pour regagner les eaux profondes se remarque par le froissement de la végétation (Reizer, 1964).

Chez les *Arapaimidae*, le nid est construit par les deux géniteurs (Moreau, 1982 ; Nuñez et al., 2011). Il arrive que chez un couple de *H. niloticus*, l'un des reproducteurs soit plus actif que l'autre (Reizer, 1964). La surveillance du nid peut durer un à deux jours avant que se réalise l'accouplement et la fécondation. Les géniteurs se relayent à tour de rôle à l'intérieur du nid (Moreau, 1982).

4.4 Ponte et fécondation des œufs

La ponte des œufs peut intervenir immédiatement après la confection des nids (Moreau & Moreau, 1982). Elle peut se produire un peu plus tard entre 5 à 45 jours après la confection du nid. Certains nids sont construits puis abandonnés sans que des œufs y soient déposés (Tillon, 1959).

Une succession de ponte est observée pendant la saison de reproduction chez *H. niloticus* et *A. gigas*. Une femelle de *H. niloticus* peut pondre 2 à 7 fois. L'Intervalle entre les pontes est de 20 à 33 jours (Moreau, 1982). La femelle de *A. gigas* peut pondre 4 à 5 fois par an (Lüling, 1964). Il a été montré que l'alimentation joue un rôle important dans la fraie de *A. gigas* en captivité (Nuñez et al., 2011).

La fécondité absolue qui est le nombre d'ovocytes matures dans l'ovaire est très faible chez les *Arapaimidae* (Adite et al., 2006 ; Kouakou et al., 2016; Moreau, 1982 ; Nuñez et al., 2011). Le **Tableau 9** montre qu'elle est comprise entre 2 300 et 27 508 ovocytes chez *H. niloticus*. Dans 1 g d'ovaire, on compte 81 à 149 ovocytes (Moreau, 1982). La fécondité absolue maximale de *A. gigas* a été observée en milieu naturel au Brésil. Elle varie entre 58 000 et 86 000 ovocytes (Bard & Imbiriba, 1986).

Tableau 9 : Taille et fécondité chez *H. niloticus*

Pays	Plan d'eau	Valeurs minimales			Valeurs maximales			Références
		LS (mm)	Poids (g)	Fécondité absolue	LS (mm)	Poids (g)	Fécondité absolue	
Bénin	-	500	1 330	2 697	815	4 650	27 508	(Adite et al., 2006)
Côte d'Ivoire	Fleuve Agnéby	595	-	5 424	780	-	25 591	(Kouakou et al., 2016)
	Lac Kan	480	1 000	2 300	570	1 650	5 700	
	Lac Ayamé	550	1 500	4 200	790	4 700	12 000	
Centrafrique	-	560	1 705	3 572	820	5 280	15 246	(Moreau, 1982)
Madagascar	Lac Ivakoina Pangalanes	450	750	3500	660	2400	8600	

Chez les *Arapaimidae*, la fécondation des œufs est externe. Elle est réalisée par le mâle après la ponte dans le nid (Marre, 2011 ; Moreau, 1982 ; Reizer, 1964).

Après la fécondation, l'un des géniteurs reste constamment près du nid ou se place à l'intérieur. Sa présence et ses mouvements permettent de protéger les œufs et de garantir leur fertilité (Moreau, 1982). Cette phase dure 2 à 3 jours chez *H. niloticus* (Reizer, 1964). A la vue d'un danger, le géniteur s'éloigne du nid mais revient rapidement avec précaution.

La taille des œufs varie entre 2,5 et 3 mm (Adite et al., 2006 ; Lévêque & Paugy, 1999 ; Moreau, 1982).

Les œufs de *H. niloticus* éclosent 2 jours après la ponte (Lévêque & Paugy, 1999). Le nombre d'alevins par ponte est d'environ 3 000 (Moreau, 1982).

Au Pérou, pour l'espèce *A. gigas*, des fermes ont enregistré entre 100 et 5 000 alevins par couple au cours d'une ponte (Marre, 2011), entre 26 à 1063 alevins par femelle par an et un nombre maximal d'alevins (3941) pour une seule reproduction (Nuñez et al., 2011). Un

maximum de 11 000 alevins ont été obtenus en une ponte par une femelle dans les conditions d'élevage au Brésil (Bard & Imbiriba, 1986).

4.5 Soins parentaux et différents stades de développement du poisson

Un à deux jours après l'éclosion des œufs, les alevins d'*Heterotis* présents au fond du nid montent régulièrement à sa surface (Moreau, 1982 ; Reizer, 1964). Les alevins sortent du nid pour se promener à partir du 5^e ou 6^e jour en forme d'essaim de 30 cm de diamètre sous la protection des parents qui tournent autour d'eux soit en couple ou de façon isolée (Lévêque & Paugy, 1999 ; Moreau, 1982 ; Reizer, 1964; Tillon, 1959). Ces sorties promenades durent 3 à 5 jours avant l'abandon définitif du nid. Face aux prédateurs ou aux intrus dans la zone de promenade, les parents se montrent agressifs (Reizer, 1964). Ils aident aussi les alevins à rechercher de la nourriture. Le groupe ne s'éloigne que de 2 à 3 m du nid. Le temps passé hors du nid augmente au fur et à mesure. Il est rare de voir deux essaims d'alevins se côtoyer (Reizer, 1964). L'essaim d'alevins est animé d'un mouvement désordonné. Après la sortie définitive du nid, les alevins sont abandonnés. Dès ce moment et jusqu'à l'âge de 2 mois, ils sont très vulnérables, leur mortalité est très élevée et peut atteindre 100% (Moreau, 1982). En conditions expérimentales, le taux de survie des alevins peut se situer entre 77 et 82% (Monentcham et al., 2010). Lorsque les alevins sont déplacés dans un autre étang, ils peuvent former plusieurs petits essaims et cela augmente leur survie (Reizer, 1964). Il semble que *H. niloticus* défende un territoire depuis la confection du nid jusqu'à l'abandon des alevins (Reizer, 1964).

Chez *A. gigas*, la garde des alevins dure 20 jours en étang. Elle est assurée par les deux parents qui les aident à venir en surface pour respirer et les protègent des prédateurs (Bard & Imbiriba, 1986 ; Chu-Koo et al., 2009). Dans le milieu naturel, les mâles protègent les alevins en restant près d'eux pendant environ 3 mois, se nourrissant dans l'environnement riche en nourriture des forêts inondées. Les adultes se séparent des juvéniles lorsque les niveaux d'eau diminuent. Ils regagnent tous les habitats plus bas des forêts inondées puis les canaux et les lacs de liaison (Castello & Stewart, 2010). Au stade larvaire, *A. gigas* est sensible à la prédation. La survie est voisine de 50% en élevage. Une fois ce stade franchi, l'espèce devient rustique (Marre, 2011).

Le taux de croissance des *Arapaimidae* compte parmi les plus élevés des poissons de pisciculture. Il varie entre 10 à 15kg/an pour *A. gigas* et peut atteindre 10g/j chez *H. niloticus* (Tillon, 1959). En étang de pisciculture, la croissance est continue chez *H. niloticus*, alors qu'en milieu naturel, elle est plus faible en période de basses eaux à cause de l'inaccessibilité des plaines inondées qui offrent une variété d'aliments plus importante. Le mâle croît plus vite que la femelle en pisciculture (Tillon, 1959). *H. niloticus* présente une croissance allométrique (Ezekiel & Abowei, 2013) et l'embonpoint diminue avec l'âge (Moreau, 1982).

Chez *H. niloticus*, le poisson est considéré comme juvénile lorsque sa longueur est < 300 mm, entre 300-500 mm il est subadulte et pour une longueur > 500mm, il est adulte (Adite et al., 2005). Les individus adultes sont difficiles à manipuler (Tillon, 1959).

5. La régulation neuroendocrinienne de la reproduction chez les poissons téléostéens : hormones, gamétogenèse et comportement reproducteur

5.1 Le Rôle de l'axe hypothalamo-hypophysio-gonadique

Chez les poissons, les fonctions de reproduction, de la gamétogenèse au comportement sexuel, sont pour la plupart contrôlées par l'axe hypothalamo-hypophysio-gonadique (Labadie, 2004 ; Maruska & Fernald, 2011 ; Takahashi et al., 2016) (**Figure 22**).

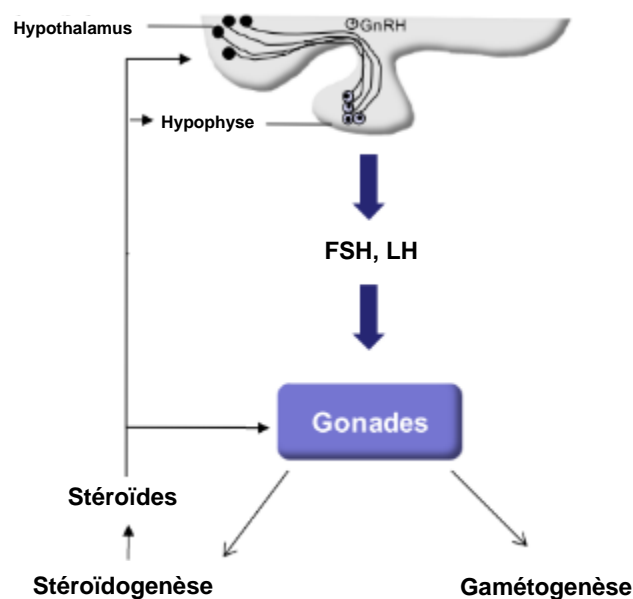


Figure 22 : Représentation schématique de l'axe hypothalamo-hypophysio-gonadique. Modifiée d'après Baudiffier (2012).

GnRH : Gonadotropin-Releasing Hormone (gonadolibérine), FSH : hormone folliculo-stimulante, LH : hormone lutéinisante.

Sous l'effet des stimuli sensoriels tels que les facteurs environnementaux (Plant, 2015 ; Yang et al., 2017) et sociaux (K. P. Maruska & Fernald, 2011), l'hypothalamus est stimulé pour produire des neurohormones et des neurotransmetteurs. Les gonadolibérines (GnRH) produites par l'hypothalamus stimulent au niveau de l'hypophyse la synthèse de l'hormone lutéinisante (LH) et de l'hormone folliculo-stimulante (FSH) (Zohar et al., 2010). Ces deux gonadotropines vont, selon le sexe, stimuler la production de stéroïdes hormonaux dans les testicules ou les ovaires pour assurer la régulation de la gamétogenèse et stimuler la stéroïdogénèse. Un contrôle rétroactif des stéroïdes hormonaux est exercé sur les gonades ainsi que sur l'hypothalamus et l'hypophyse (Baudiffier, 2012 ; Labadie, 2004 ; Plant, 2015).

5.2 Les hormones stéroïdiennes

5.2.1 Synthèse et rôle des hormones stéroïdiennes dans la fonction de reproduction

La stéroïdogénèse est un processus relativement conservé chez les vertébrés qui conduit à la biosynthèse des hormones stéroïdiennes à partir d'un précurseur commun, le cholestérol, par une série de réactions enzymatiques catalysées principalement par plusieurs cytochromes P450 ainsi que par des hydroxystéroïde-déshydrogénases (HSDs). Chez les poissons, comme chez les autres vertébrés, elle se déroule principalement dans les gonades (testicules et ovaires), mais aussi dans le cerveau et les glandes inter-rénales (Baudiffier, 2012).

Les principaux stéroïdes produits chez les poissons, la 11-kétotestostérone ou 11KT : 17 β -hydroxy-4-androstène-11,17-dione, la testostérone ou T : 17 β -hydroxy-4-androstène-3-one et la 17 β -estradiol ou E2 : 1,3,5,(10)-estratriène-3,17 β -diol, jouent un rôle critique dans la différenciation sexuelle (Baudiffier, 2012 ; Devlin & Nagahama, 2002 ; Taranger et al., 2010 ; Zohar et al., 2010). Les hormones stéroïdiennes régulent le développement de types distincts de gonades (testicule ou ovaire), le cycle reproducteur (gamétogenèse, caractères sexuels secondaires, comportement sexuel) et la croissance (Baudiffier, 2012 ; Devlin & Nagahama, 2002 ; Taranger et al., 2010 ; Zohar et al., 2010). Elles participent également à l'homéostasie générale de l'organisme des poissons (Baudiffier, 2012).

L'estradiol est la principale hormone sexuelle qui stimule, chez les femelles, l'ovogenèse, la synthèse de la vitellogénine (Vtg) et de la choriogénine dans le foie (Hara et al., 2016 ; Nelson & Habibi, 2013). Cette hormone stéroïdienne est synthétisée par les cellules folliculaires des ovocytes en développement au début de la vitellogenèse sous le contrôle de la FSH libérée dans le sang par l'hypophyse (Hara et al., 2016 ; Norris & Lopez, 2011).

5.2.2 Les récepteurs œstrogéniques

a) Rôle et différentes variantes des récepteurs œstrogéniques

Les œstrogènes, hormones stéroïdiennes qui interviennent de manière critique dans les processus de reproduction des vertébrés, sont signalés principalement par l'intermédiaire de leurs récepteurs œstrogéniques intracellulaires (ERs). Les ERs appartiennent à une superfamille de récepteurs nucléaires qui agissent comme facteurs de transcription inductibles par un ligand. Les œstrogènes se lient aux récepteurs œstrogéniques intracellulaires et les activent. En l'absence de ligand, les ERs sont présents dans le cytoplasme (Nelson & Habibi, 2013).

Chez les espèces ovipares, les ERs sont principalement synthétisés dans le foie. (Nelson & Habibi, 2013 ; Unal et al., 2014).

Plusieurs auteurs s'accordent sur l'existence de trois sous types distincts de ERs chez les poissons avec des nomenclatures assez variées (Choi & Habibi, 2003 ; Hawkins et al., 2000 ; Hawkins & Thomas, 2004 ; Marlatt et al., 2008 ; Métivier et al., 2002 ; Nelson & Habibi, 2013 ; Nelson & Habibi, 2010 ; Norris & Lopez, 2011 ; Sabo-Attwood et al., 2004). Ce sont :

- ESR1= ER = ESR = ESRA = ESTRR = Era = NR3A1 = ER α appelé ER alpha ;
- ESR2a = ER β -I = ER β a = ER β 1 = ER γ appelé ER gamma ou ER bêta 1 ;
- ESR2b = ER β -II = ER β b = ER β 2= NR3A2 = ER β appelé ER bêta ou ER bêta 2.

Chez la truite arc-en-ciel (*Oncorhynchus mykiss*), une deuxième forme d'ER α (ER α -2) a été décrite et existe probablement chez d'autres espèces (Nagler et al., 2007). Une seule forme d'ER β a été mise en évidence chez les mammifères (Couse et al., 1997).

ER α est homologue chez les vertébrés. Chez les poissons, ER β partage une plus grande similarité avec les ER β des mammifères. Les ER γ de poissons qui sont probablement issus de

la duplication de gènes, présentent plusieurs changements importants d'acides aminés et n'ont pas d'homologue chez les mammifères (Hawkins et al., 2000 ; Hawkins & Thomas, 2004).

Les ERs ont une régulation spécifique suivant le sexe, le stade de la gamétogenèse, l'espèce et le type de tissu (Nelson, Wiehler, Cole, & Habibi, 2007). Par exemple, chez des femelles matures de *Micropterus salmoides* en période de vitellogenèse (**Figure 23**), l'expression de ER α prédomine dans le foie, les expressions de ER γ et ER β prédominent dans l'ovaire (Sabo-Attwood et al., 2004). Chez les mammifères, ER α est assez largement exprimé dans l'ensemble de l'organisme, tandis que ER β présente la plus forte valeur d'expression dans les ovaires, les poumons et la prostate (Couse et al., 1997). L'une des raisons de la différence observée entre les sexes peut être due à des niveaux d'expression différents des sous-types d'ERs. En effet, l'expression des ER α est plus élevée chez les femelles que chez les mâles, alors que l'expression des ER β -I et des ER β -II est similaire entre les deux sexes (Nelson & Habibi, 2010). De plus, l'expression des ER α fluctue chez les femelles, étant plus élevée chez les femelles en vitellogenèse avancée que chez les femelles en début de vitellogenèse. L'ER α est induit par l'estradiol et son augmentation chez les femelles correspond à une période d'augmentation de l'estradiol circulant (Nelson et al., 2007). Les formes ER β ont une plus grande affinité pour l'estradiol que les formes ER α . Il est probable que les formes ER γ et ER β agissent comme des capteurs de l'E2. Ainsi, à mesure que les taux d'E2 augmentent, on a une induction de l'expression de l'ER α et de la Vtg (Genovese et al., 2014 ; Nelson & Habibi, 2013). Il existe de ce fait, une relation étroite entre la régulation positive de ER α et l'induction de la synthèse de Vtg chez les poissons (Choi & Habibi, 2003 ; Marlatt et al., 2008 ; Nelson et al., 2007).

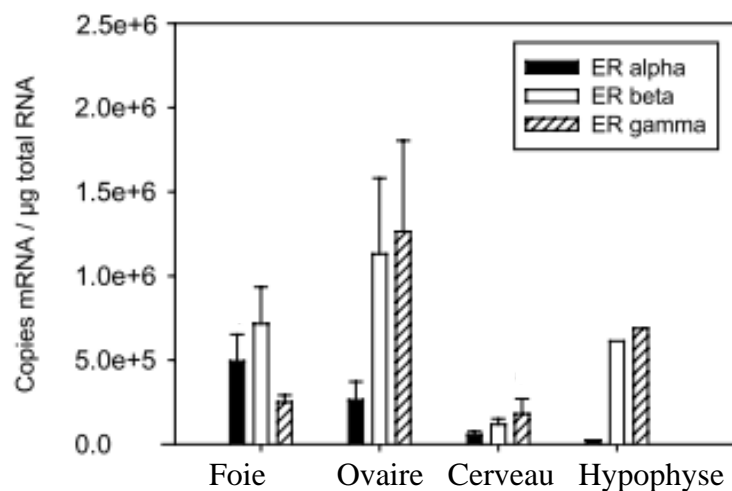


Figure 23 : Niveau d'expression des ERs chez les femelles de *Micropterus salmoides* en début de vitellogenèse. D'après Sabo-Attwood et al., (2004).

b) Structure et domaines des récepteurs œstrogéniques

Les ERs, comme la plupart des récepteurs nucléaires, contiennent cinq domaines avec des fonctions distinctes (Aranda & Pascual, 2001 ; Nelson & Habibi, 2013 ; Sabo-Attwood et al., 2004) (**Figure 24**).

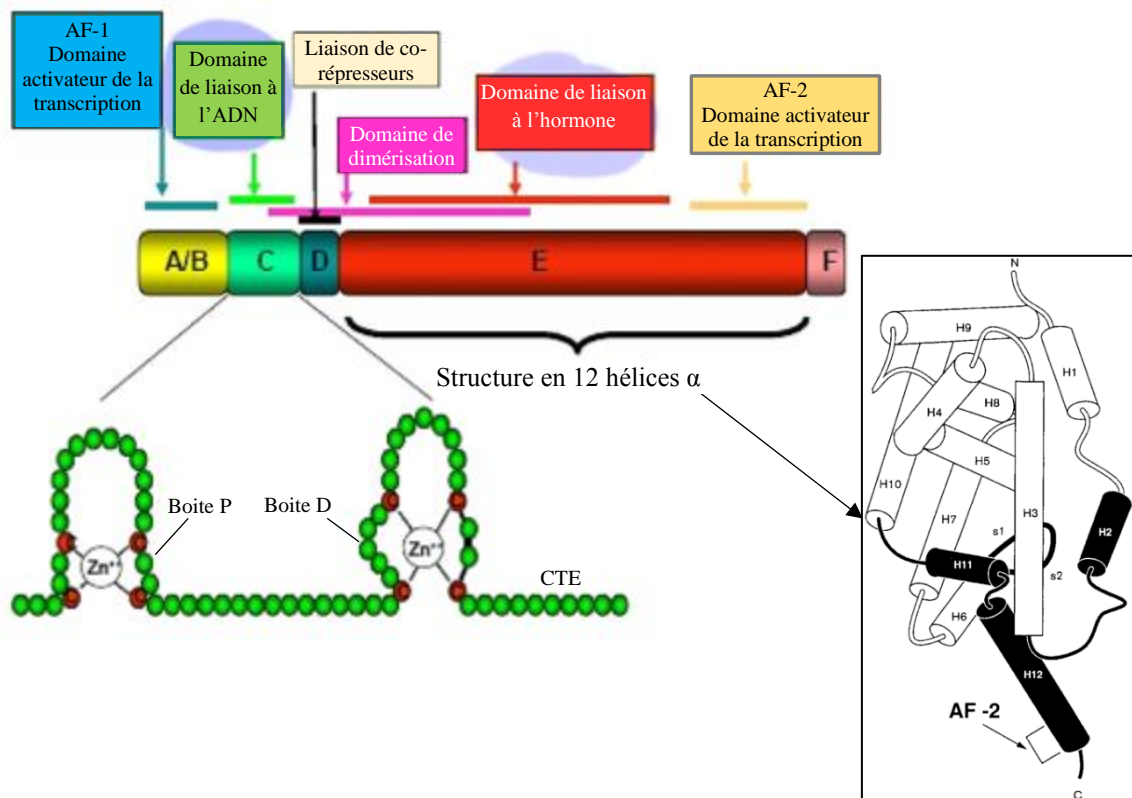


Figure 24 : Structure des récepteurs d'estrogène.

Le domaine A/B contient la 1^{ère} fonction d'activation (AF-1), DBD ou domaine C est le domaine de liaison à l'ADN avec la « boîte P » à la base du premier « doigt de zinc », la « boîte D » à la base du second « doigt de zinc » et une extension COOH-terminale (CTE), le domaine D constitue un site d'interaction avec des protéines co-répresseurs et favorise la rotation du DBD, le domaine E ou domaine de liaison au ligand (LBD) avec 12 hélices α se lie à l'estradiol (E2) et contient la 2^e fonction d'activation (AF-2), le début du domaine F marque la fin de la 2^e fonction d'activation.

Modifiée d'après (Aranda & Pascual, 2001).

La région N-terminale des ERs (A/B) est la région la plus variable entre les différents ERs. Cette région permet de générer plusieurs isoformes d'ERs à partir d'un même gène. Il contient la première fonction d'activation (AF1) et contribue à une action spécifique des isoformes (Aranda & Pascual, 2001). La région A/B peut être phosphorylée par la protéine kinase activée par un mitogène (MAPK) sur des résidus sérine (Kato et al., 1995).

Le domaine C de l'ER est également connu sous le nom de domaine de liaison à l'ADN (DBD). Cette région est le domaine le plus conservé entre les ERs de différentes espèces avec 9 cystéines (**Figure 25**) (Aranda & Pascual, 2001 ; Sabo-Attwood et al., 2004). Ce domaine comprend deux « doigts de zinc » couvrant 60 à 70 acides aminés et une extension COOH-terminale (CTE) contenant les boîtes dites T et A (**Figure 24**). La reconnaissance de l'ADN est obtenue au niveau de la « boîte P » du DBD à la base du premier « doigt de zinc » et la « boîte D », un domaine à la base second « doigt de zinc », est impliquée dans la dimérisation des récepteurs (Aranda & Pascual, 2001). ER α et ER β (Cowley et al., 1997) ou différentes isoformes de ER β (Leung et al., 2006) sont capables de former des hétérodimères fonctionnels sur l'ADN.

alpha	CAVCS	SDYASGYHYGVWS	CEGCK	AFFKRSIQGHNDYMC	<u>PATNQ</u>	CTIDRNRKSC	QACRLRKC	YEVGM	253
gamma	CAVCQ	DYASGYHYGVWS	CEGCK	AFFKRSIQRHNDYIC	<u>PATNQ</u>	CTIDKNRRKSC	QACRLRKC	NEVGM	223
beta	CAVCH	DYASGYHYGVWS	CEGCK	AFFKRSIQGHNDYIC	<u>PATNQ</u>	CTIDKNRRKSC	QACRLRKC	YEVGM	246

Figure 25 : Séquences du noyau des DBD des récepteurs œstrogéniques alpha, beta et gamma de *Micropterus salmoides*. D'après Sabo-Attwood et al. (2004).

Les 9 cystéines de chaque domaine de liaison à l'ADN (DBD) sont en gris, la boîte P impliquée dans la reconnaissance de l'ADN est en soulignement simple, la boîte D impliquée dans la dimérisation du récepteur est doublement soulignée, les chiffres indiquent la position de l'acide aminé terminal de la DBD dans le récepteur.

La séquence flanquante D mal conservée confère souvent des signaux de localisation nucléaire. Cette région favorise la rotation du DBD (Aranda & Pascual, 2001 ; Giguère, 1999) et constitue un site d'interaction avec des protéines co-répresseurs (Kumar et al., 2011).

C'est dans la région E désignée comme région de ligand (LBD) que le ligand (E2) se lie pour induire la seconde fonction d'activation (AF-2) située dans la partie C-terminale de cette région (Aranda & Pascual, 2001 ; Kato et al., 1995). AF-2 est un domaine bien conservé. La LBD est composée de douze hélices α (H1 à H12) liées par un demi-tour entre H5 et H6 (Aranda & Pascual, 2001).

Les ERs contrairement à d'autres récepteurs nucléaires contiennent une région C-terminal désignée par F qui commence à la fin de l'AF-2. Aucune fonction spécifique n'a encore été attribuée à cette région chez les poissons (Aranda & Pascual, 2001 ; Nelson & Habibi, 2013). Chez l'homme, il a été montré que le domaine F de l'ER α module sélectivement son activité

et ses interactions avec d'autres protéines (Koide et al., 2007) et intervient dans la dimérisation des récepteurs (Arao & Korach, 2008).

5.3 La vitellogénine

5.3.1 Rôle et distribution tissulaire de la vitellogénine chez les téléostéens

La vitellogénine (Vtg) est un précurseur des protéines du jaune de l'œuf (vitellus) chez les femelles de presque toutes les espèces ovipares, y compris les poissons, les amphibiens, les reptiles, les oiseaux, la plupart des invertébrés et l'ornithorynque (Wallace et al., 1990 ; Zhang et al., 2015). C'est une phospholipoglycoprotéine de 200 à 700 kDa généralement (Wang et al., 2010) homologue fonctionnel des apolipoprotéines (Avarre et al., 2007 ; Li et al., 2003) qui joue un rôle essentiel dans le développement de l'embryon et la survie des larves.

Même si la Vtg est la protéine associée à la reproduction des femelles (Zhang et al., 2015), les substances mimétiques des œstrogènes naturels, appelés xénoestrogènes (nonylphenol, génistéine), peuvent activer son expression chez les mâles, en induisant une perturbation endocrinienne (Arukwe & Røe, 2008 ; Bennetau-Pelissero et al., 2004 ; Dugué et al., 2008 ; Genovese et al., 2014 ; Gontier-Latonnelle et al., 2007 ; Ndiaye et al., 2006). Ainsi, pour suivre les pollutions du milieu aquatique à l'estradiol, la Vtg est recherchée chez les mâles de vertébrés ovipares qui y vivent.

En somme, les caractéristiques générales de la Vtg chez les vertébrés ovipares (Hara et al., 2016) peuvent être résumées de la manière suivante :

- c'est une protéine spécialement exprimée par les femelles durant la vitellogenèse ;
- l'administration d'estrogènes aux mâles ou aux juvéniles des deux sexes conduit à l'expression de la Vtg ;
- c'est une macromolécule complexe composée d'acides aminés, de glucides, de lipides et de phosphore avec des éléments de liaison comme le calcium, le fer et le zinc ;
- c'est un précurseur des protéines du jaune d'œuf ou plus généralement du vitellus.

Chez les vertébrés, les Vtg sont synthétisées et secrétées principalement par le foie sous le contrôle du 17β -estradiol. Transportées par le sang, elles sont absorbées dans les ovocytes par endocytose médiée par des récepteurs (Dominguez et al., 2012 ; Hara et al., 2016 ; Prat et al., 1998 ; Ndiaye et al., 2006). Une fois dans l’ovaire, les Vtg sont clivées en protéines vitellines nécessaires au développement embryonnaire (Avarre et al., 2007 ; Hara et al., 2016 ; Prat et al., 1998) (**Figure 26**).

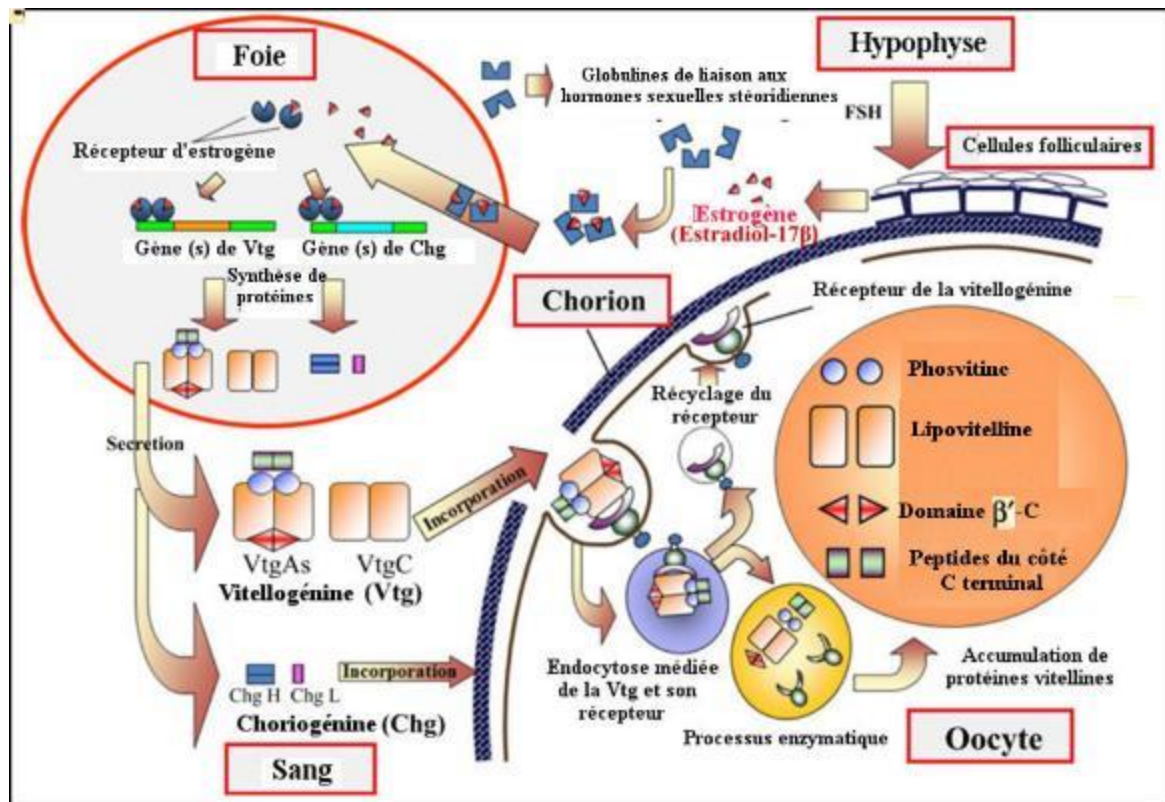


Figure 26 : Régulation de la vitellogenèse et de la choriogénèse chez les *Salmonidae*. D'après Hara et al. (2016). FSH : hormone folliculo-stimulante.

La synthèse de la Vtg dans le foie de poisson fournit un critère d'évaluation physiologiquement pertinent de l'activation de l'ER (Nelson & Habibi, 2013). Le dosage de sa concentration dans le sang permet de connaître le stade de maturité des gonades (Baumann et al., 2013 ; Chatakondi & Kelly, 2013). Des méthodes basées sur la détection de Vtg plasmatique chez les individus adultes ayant acquis la maturité sexuelle permettent de sexer des poissons, particulièrement ceux ne présentant pas de dimorphisme sexuel. Un anticorps anti Vtg de *A. gigas* a été mis au point par une équipe de l'IRD pour réaliser le sexage de cette espèce. Un kit de sexage a été développé à cet effet (Nuñez, 2008 ; Chu-Koo et al., 2009).

Les Vtgs permettent de donner des propriétés « pélagiques » ou « benthiques » aux œufs par un mécanisme faisant appel à l'osmorégulation (Finn & Kristoffersen, 2007) qui modifie leur densité. Elles jouent également un rôle dans la défense immunitaire des femelles matures et des embryons. En effet, certains auteurs (Wang et al., 2011 ; Zhang et al., 2015) ont montré que les peptides provenant du clivage des protéines vitellines possédaient une activité antimicrobienne.

La concentration sanguine en Vtg augmente dès la prévitellogenèse et atteint des niveaux élevés durant la vitellogenèse (Xu, 2016). Elle est principalement exprimée dans le foie (Zhong et al., 2014) mais on la détecte également dans des tissus non hépatiques avec des niveaux inférieurs à 10% de celui du foie (Wang et al., 2005). On retrouve la Vtg dans le sang (Chu-Koo et al., 2009 ; Ndiaye et al., 2006 ; Nuñez, 2008), dans l'ovaire (Kong et al., 2014 ; Wang et al., 2005 ; Wang et al., 2010), le mucus (Arukwe & Røe, 2008 ; Genovese et al., 2014 ; Meucci & Arukwe, 2005 ; Moncaut et al., 2003), dans le cœur, le rein, la rate, la peau, les muscles, les branchies, les yeux, le cerveau et les nageoires (Zhong et al., 2014).

5.3.2 Domaines et variantes de la vitellogénine

Un taux élevé (pouvant atteindre 79%) de domaines de la Vtg est conservé chez les téléostéens. Les alignements réalisés entre les séquences de Vtg de téléostéens et les autres vertébrés se révèlent le plus souvent faibles (Wang et al., 2010). Le génome des poissons peut contenir jusqu'à 20 copies de gènes codant des vitellogénines comme c'est le cas chez *Oncorhynchus mykiss* (Trichet et al., 2000).

D'une manière générale, la Vtg de poisson consiste de façon successive, en un peptide signal, une chaîne lourde de lipovitelline (LvH ou LvI), un domaine phosvitine riche en sérine phosphorylée (Pv), une chaîne légère de lipovitelline (LvL ou LvII), une composante β '-C et une région codante C-terminale (CT) (Hara et al., 2016 ; Hiramatsu et al., 2006 ; Zhang et al., 2015).

La Lv est le principal produit de dégradation de la Vtg, que contient le jaune d'œuf et sa teneur en lipides avoisine les 20% de sa masse. C'est un dimère constitué de deux polypeptides LvH et LvL. La Lv est riche en divers types d'acides aminés et de lipides, sources nutritionnelles essentielles pour l'embryon (Hara et al., 2016). Le domaine Lv de la Vtg sert de site de liaison aux récepteurs (Li et al., 2003).

La Pv est une phosphoprotéine riche en phosphosérine (Wang et al., 2005 ; Wang et al., 2010) avec environ 10% de phosphore et la sérine représente environ 50% des acides aminés (Hara et al., 2016). Cette composition particulière rend les Vtg solubles dans le plasma et leur structure demeure stable (Finn, 2007 ; Yilmaz et al., 2015). La Pv fournit l'essentiel des éléments minéraux nécessaires au développement osseux (Hiramatsu et al., 2006) et jouerait un rôle critique dans l'immunité des embryons du poisson zèbre en inactivant certains microbes auxquels elle se lie (Wang et al., 2011).

Le domaine β' -C et CT sont riches en cystéines qui forment des ponts disulfures, ce qui peut stabiliser le repliement et la dimérisation des Vtg, évitant ainsi des protéolyses inappropriées ou prématurées (Williams et al., 2014 ; Xu, 2016).

Trois formes de Vtg sont identifiées chez de nombreuses espèces (Schilling et al., 2015 ; Williams et al., 2014 ; Yilmaz et al., 2015). Elles sont réparties en deux groupes : l'une complète et l'autre incomplète (**Figure 27**). La Vtg complète comprend les cinq domaines à savoir la LvH, Pv, LvL, β' -C et CT. Elle compte deux variantes, la VtgA et la VtgB qui ont des poids moléculaires plus ou moins proches. La Vtg incomplète désignée par VtgC ne possède pas de Pv, de domaines β' -C et CT (Hara et al., 2016 ; Hiramatsu et al., 2006 ; Yilmaz et al., 2015).

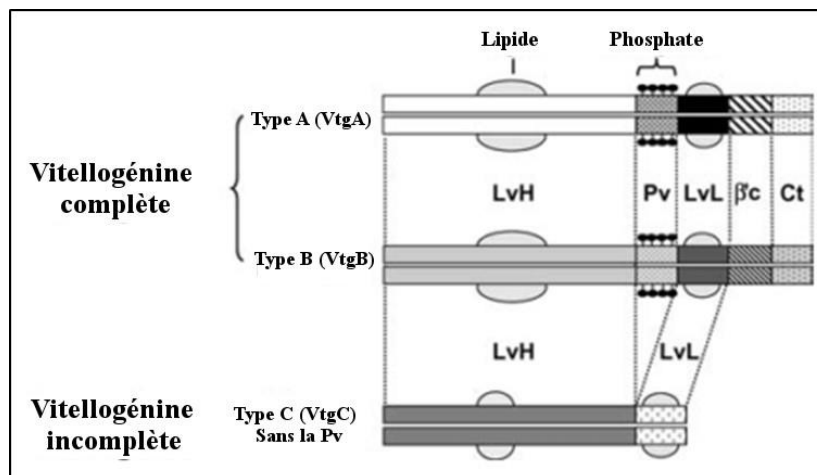


Figure 27 : Représentation de la structure des VtgA, VtgB et VtgC, d'après Hara et al. (2016) ; Hiramatsu et al. (2006). Les deux formes de Lipovitelline (LvH et LvL) sont présentes dans toutes les formes de Vtg. La phosvitine (Pv), la composante β' -C et la région non codante C-terminale (CT) sont absents dans la VtgC.

Ces trois formes de Vtg n'ont pas été détectées chez toutes les espèces (Finn & Kristoffersen, 2007 ; Hara et al., 2016 ; Williams et al., 2014) (**Tableau 10**). Chez *A. gigas* par exemple, deux Vtg ont été purifiées par une méthode immuno enzymatique (Vtg1 de 184 kDa et Vtg2 de 112 kDa). La Vtg1 de *A. gigas* qui a un taux plus élevé dans le sang que la Vtg2 (Chu-Koo et al., 2009 ; Dugué et al., 2008) a été utilisée pour développer un anticorps spécifique anti Vtg d'*Arapaima* dans le but de sexer des femelles matures.

Tableau 10 : Masses moléculaires de divers types de vitellogénine chez les téléostéens.

Espèces de poisson	VtgA	VtgB	VtgC
<i>Verasper moseri</i>	500 – 520 kDa	520 – 550 kDa	-
<i>Pagrus major</i>	610 kDa	610 kDa	340 kDa
<i>Acanthogobius flavimanus</i>	530 kDa	-	320 kDa
<i>Gambusia affinis</i>	600 kDa	600 kDa	400 kDa
<i>Oryzias latipes</i>	570 kDa	-	410 kDa
<i>Morone americana</i>	532 kDa	532 kDa	426 kDa
<i>Mugil cephalus</i>	570 kDa	580 kDa	335 kDa

D'après Hara et al. (2016)

La nomenclature pour désigner les différentes variantes de Vtg est assez diversifiée (**Figure 28**) et a connu des évolutions (Finn & Kristoffersen, 2007 ; Hara et al., 2016 ; Williams et al., 2014 ; Yilmaz et al., 2016). Les correspondances entre nomenclatures largement adoptées actuellement sur la Vtg (Yilmaz et al., 2016) sont :

- vtgAa = VtgAa = vtg1 = vtgI = vga = Vtg1 = VtgI = VtgA ;
- vtgAb = VtgAb = vtg2 = vtgII = vgb = Vtg2 = VtgII = VtgB ;
- VtgC.

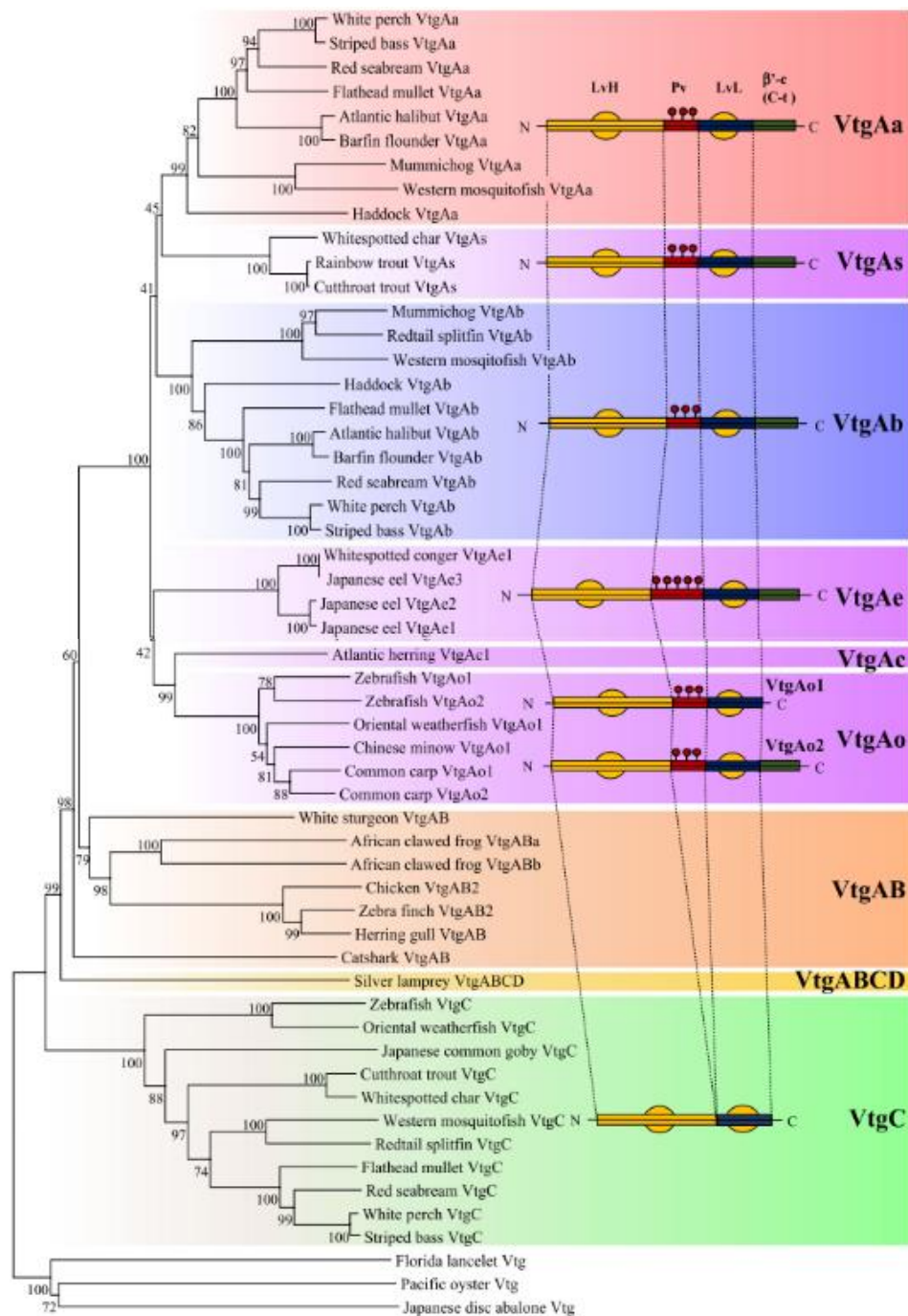


Figure 28 : Nomenclature de la Vtg chez divers espèces de téléostéens (Hara et al., 2016). LvH et LvL : Lipovitelline H et L, Pv : phosvitine, la composante β'C et la région non codante C terminale (CT).

5.3.3 Les familles de récepteurs à la vitellogénine

Les récepteurs de la vitellogénine (VtgR) des téléostéens, situés sur la membrane des ovocytes, d'environ 100 kDa, se classent parmi les récepteurs de lipoprotéines de très basse densité (VLDLR) appartenant à la superfamille des récepteurs de lipoprotéines de basse densité

(LDLR) (Li et al., 2003 ; Mizuta et al., 2013 ; Pousis et al., 2012 ; Xu, 2016). Les membres de la superfamille des LDLR (**Figure 29**) se lient à divers ligands et sont impliqués dans le métabolisme des lipides chez les vertébrés et les invertébrés (Mushirobira et al., 2015 ; Reading et al., 2014 ; Wang et al., 2017).

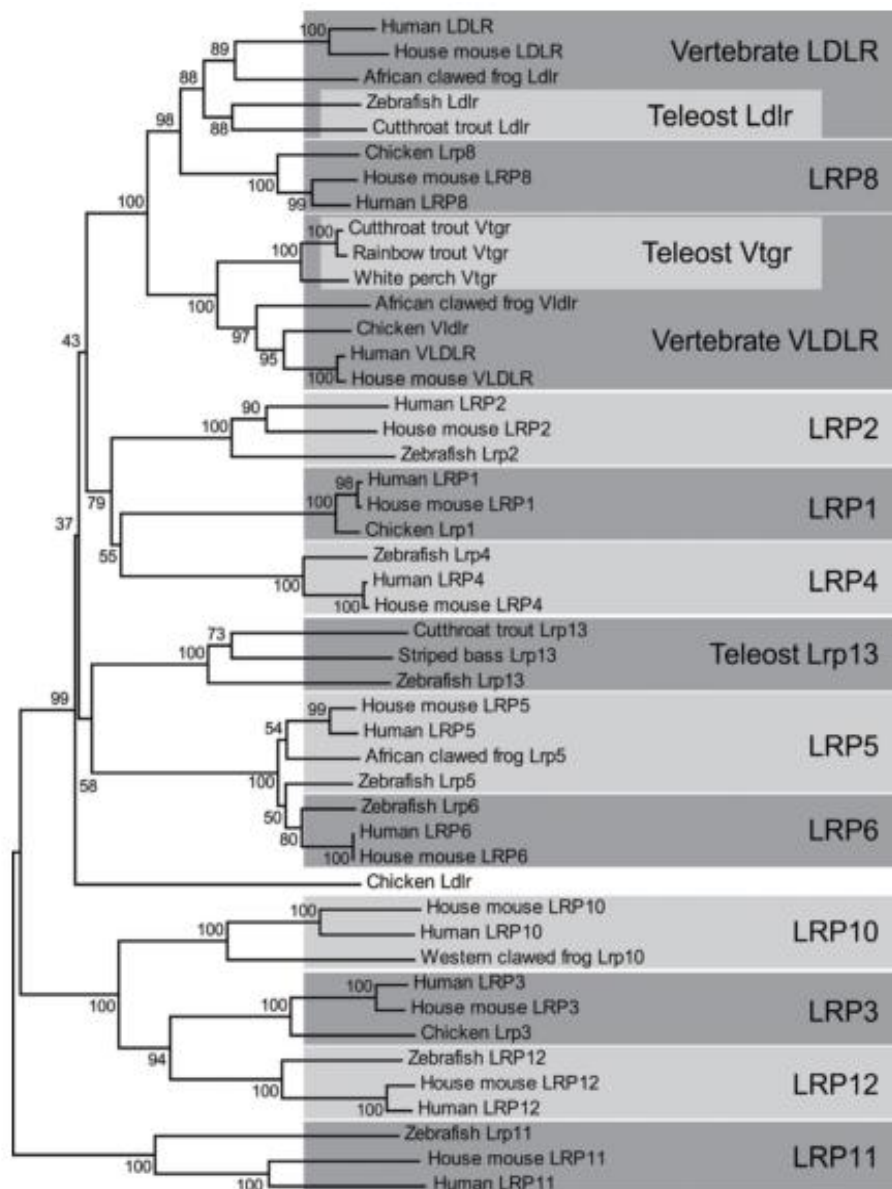


Figure 29 : Arbre phylogénétique présentant les récepteurs de la superfamille des LDLR (Mushirobira et al., 2015).

LDLR : récepteur de lipoprotéines de basse densité, VLDLR : récepteur de lipoprotéines de très basse densité, LRP : protéine liée au LDLR, Vtg : vitellogénine, VtgR : récepteur de la Vtg.

Les VtgR jouent un rôle important dans la reproduction des poissons. Ce récepteur a pour fonction de permettre l'incorporation de la Vtg dans les ovocytes par endocytose médiée (Dominguez et al., 2014 ; Hara et al., 2016 ; Hiramatsu et al., 2006). A la suite de l'endocytose, les VtgR sont recyclés (Hara et al., 2016 ; Hiramatsu et al., 2006). C'est le domaine lipovitelline des Vtg qui sert de site de liaison aux récepteurs (Hiramatsu et al., 2001).

Les récepteurs de la vitellogénine sont conservés au niveau structural chez de nombreuses espèces (Dominguez et al., 2012 ; Li et al., 2003 ; Pousis et al., 2012 ; Prat et al., 1998 ; Xu, 2016). Ils ont un peptide signal suivi de huit domaines (**Figure 30**) : (i) les domaines de liaison du ligand ou LBD, (ii) les domaines précurseurs du facteur de croissance épidermique (EGF) avec trois répétitions EGF1 (A), EGF2 (B) et EGF3 (C) riches en cystéines, (iii) cinq motifs de quatre acides aminés de type YWTD (exemple de *Micropterus salmoides*) entre EGF2 et EGF3, (iv) le domaine de O-glycosylation riche en Sérine et Thréonine, (v) le domaine transmembranaire ou T et (vi) le domaine cytoplasmique. Le domaine O-glycosylation qui permet une stabilité des VtgR à la surface de la cellule (Magrané et al., 1999) n'est pas toujours présent dans tous les récepteurs de Vtg (Mizuta et al., 2013 ; Pousis et al., 2012).

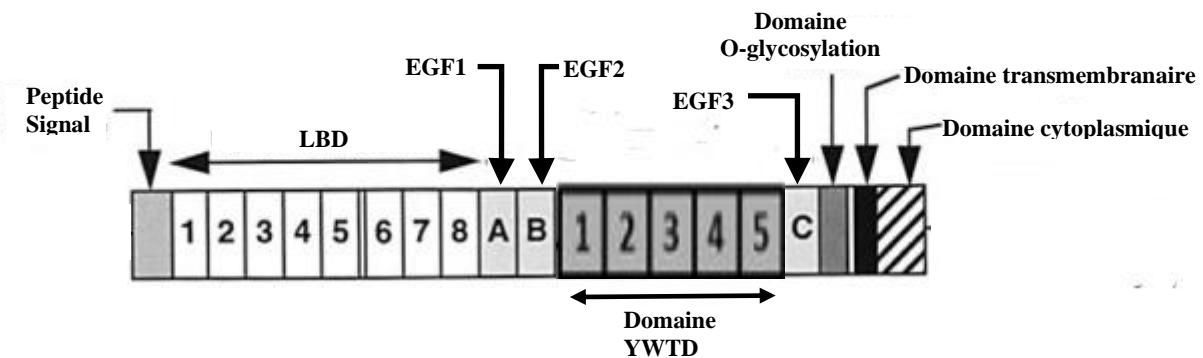


Figure 30 : Représentation schématique de la structure d'un récepteur de vitellogénine, Modifiée d'après Dominguez et al. (2012) ; Prat et al. (1998).
EGF : facteur de croissance épidermique, LBD : Domaine de liaison au ligand.

Le Ligand Binding Domain (LBD), qui contrôle les interactions entre le récepteur et le domaine Lv de la Vtg, est composé de plusieurs répétitions se liant au ligand (LBR) riche en cystéines. Différentes formes de Lv impliquent différentes affinités pour les LBD. Par exemple, chez *Oreochromis aureus*, où la LBD compte 8 LBR, LBR 5 se lie à l'apolipoprotéine E (apoE), LBR 2-7 se lient à apoB et LBR 1-3 se lient à la Vtg (Li et al., 2003). Chaque LBR compte

environ 40 acides aminés (Li et al., 2003) dont 6 cystéines (Li et al., 2003 ; Luo et al., 2013). Le nombre de LBR varie selon les différents récepteurs. Le LDLR des poissons téléostéens comme chez *Oncorhynchus clarki* contient sept LBR (Luo et al., 2013), alors que le récepteur des lipoprotéines de très basse densité (VLDLR) ou VtgR chez les vertébrés ont huit LBR (Dominguez et al., 2012 ; Li et al., 2003 ; Mizuta et al., 2013 ; Prat et al., 1998 ; Xu, 2016). Certains LDLR ont plus de 30 LBR (Li et al., 2003).

Des espèces de poisson peuvent posséder jusqu'à quatre VtgR comme c'est le cas chez *Morone americana*. Les VtgR de cette espèce, situés sur la membrane des ovocytes, se lient à la VtgA et la VtgB et non à la VtgC (Reading et al., 2011).

La LR8, avec 8 LBR, a été longtemps considérée comme la seule VLDLR capable de se lier aux Vtg au niveau de la membrane des ovocytes des vertébrés (Reading et al., 2014). Ce récepteur compte deux sous types issus d'un épissage alternatif (Chen et al., 2016) : un sous type avec la présence du domaine O-glycosylation (LR8+) et l'autre sans le domaine O-glycosylation (LR8-).

Depuis quelques années, un nouveau VtgR appelé LRP13 ou LR13+1 a été identifié chez plusieurs espèces de téléostéens comme *Morone saxatilis*, *M. americana*, *Cynoglossus semilaevis*, *Oryzias latipes* et *Oncorhynchus clarki* (Mushirobira et al., 2015 ; Reading et al., 2014 ; Wang et al., 2017) avec 13 LBR dans le LBD au niveau de l'extrémité N-terminale et un LBR dans la LBD au niveau de l'extrémité C-terminale (Hiramatsu et al., 2013). Deux gènes de LRP13 ont été observés chez *Cynoglossus semilaevis* (Wang et al., 2017). Des LRP d'espèces initialement annotés LRP1, LRP1B et LRP2 ont été reannotés LRP13 dans la base de données NCBI au regard de leur séquence en acides aminés et de leur expression (**Figure 31**) (Wang et al., 2017).

Les VtgR sont exprimés de façon prédominante dans l'ovaire et de façon modérée dans les tissus non ovariens comme le cerveau, l'intestin et les branchies (Mizuta et al., 2013 ; Xu, 2016). LR8+ est exprimé fortement dans les tissus somatiques et LR8- est exprimé principalement dans l'ovaire (Mizuta et al., 2013 ; Pousis et al., 2012). LRP13 est exclusivement exprimé dans l'ovaire (Wang et al., 2017). Le taux de VtgR est élevé dans les ovocytes au cours de la prévitellogenèse, suivi d'une diminution progressive dans les ovocytes en vitellogenèse (Li et al., 2003 ; Luo et al., 2013 ; Mushirobira et al., 2015 ; Pousis et al., 2012 ; Xu, 2016). En fin de vitellogenèse, les VtgR deviennent à peine détectables (Mizuta et al., 2013) et les niveaux de E2 et Vtg augmentent (Pousis et al., 2012).

<i>Bos taurus</i> comme-LRP1 (Genbank XP_00358806.2)	}	LRP13
<i>Mus musculus</i> comme-LRPB isoforme X2 (Genbank XP_006509298.1)		
<i>Gallus</i> comme-LRP1 isoforme X4 (Genbank XP_427861.4)		
<i>Salmo salar</i> comme-LRP1B (Genbank XP_014002482.1)		
<i>Danio rerio</i> LRP2 (Genbank XP_707254.3)		
<i>Takifugu rubripes</i> comme-LRP (Genbank XP_01161374.1)		
<i>Cynoglossus semilaevis</i> comme-LRP2 (Genbank XP_008333985.1)		
<i>Oryzias latipes</i> LRP1B (Genbank XP_011478083.1)		
<i>Larimichthys crocea</i> comme-LRP isoforme X4 (Genbank XP_010736794.1)		

Figure 31 : LRP1, LRP1B et LRP2 re-annotés LRP13, d'après (Wang et al., 2017)
LRP : protéine liée au LDLR.

5.4 La choriogénine

L'enveloppe vitelline des téléostéens est composée de deux couches (**Figure 32**) : une couche externe (Zre) et une couche interne (Zri). La couche interne encore appelée chorion est formée de quatre sous couches L1, L2, L3 et L4 (Murata et al., 2014).

La Choriogénine (Chg) est une glycoprotéine (Lee et al., 2002) identifiée comme un nouveau précurseur (Hara et al., 2016) des glycoprotéines du chorion (ChG). Les composantes majeures de la ChG (ChG1, ChG2 et ChG4) jouent un rôle interactif important avec le sperme pendant la fécondation (Murata et al., 2014).

La Chg a été purifiée chez plusieurs espèces de poissons, entre autres, *Oryzias latipes* (Ishibashi et al., 2016 ; Lee et al., 2015 ; Yu et al., 2006), *Salmo salar* (Celius & Walther, 1998), *Oncorhynchus masou* (Fujita et al., 2002), *Gadus morhua* (Fujita et al., 2009) et *Menidia beryllina* (Brander et al., 2012). Elle comprend trois sous types : la ChgH de poids moléculaire beaucoup plus importante que la ChgL (Fujita et al., 2002 ; Yu et al., 2006) et la ChgH-minor (Ishibashi et al., 2016 ; Kawaguchi et al., 2010 ; Yamaguchi et al., 2015). ChgH et ChgH-minor sont les précurseurs de ChG1 et ChG2. ChgL est le précurseur de ChG4 (Yamaguchi et al.,

2015). La Chg est l'homologue de la protéine de la zone pellucide des mammifères (Fujita et al., 2002 ; Yu et al., 2006).

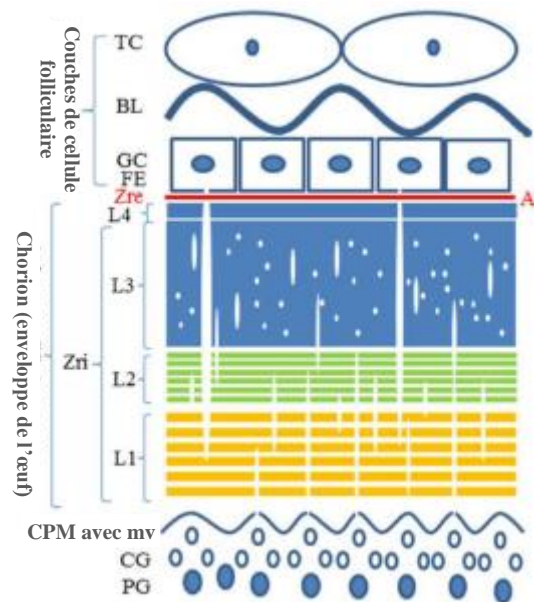


Figure 32 : Schématisation du chorion ovarien de *Acipenser transmontanus*, d'après Murata et al. (2014).

Zre : couche externe du chorion, Zri : couche interne du chorion, Al : couche adhésive probablement équivalente à Zre, TC : cellules de thèque, BL : lame basale, GC : cellules de la granulosa, FE : épithélium folliculaire, CPM : membrane cytoplasmique, mv : microvillosités, CG : granules corticaux, PG : granules de pigment.

Comme la Vtg, la Chg est synthétisée et sécrétée par le foie en réponse à la stimulation par l'E2. Elle est transportée dans le sang jusqu'à l'ovaire pour y être incorporée (comme indiqué précédemment dans la **Figure 26**) et former l'enveloppe interne des œufs (Hara et al., 2016 ; Yu et al., 2006). Il a été découvert chez *Acipenser transmontanus* que les glycoprotéines du chorion sont exprimées à la fois dans le foie, les ovocytes et les cellules folliculaires de l'ovaire (Murata et al., 2014).

Non seulement, la Chg joue un rôle clé dans le processus d'ovogenèse, mais au même titre que la Vtg elle est également utilisée comme biomarqueur de l'exposition aux estrogènes (Brander et al., 2012 ; Hara et al., 2016 ; Ishibashi et al., 2016). On détecte plus facilement la Chg que la Vtg chez des poissons mâles induits avec de faibles doses d'estradiol (Celius & Walther, 1998 ; Lee et al., 2002 ; Yu et al., 2006).

Les Chg possèdent un peptide signal, un domaine répétitif de séquence d'acides aminés et un domaine non répétitif (**Figure 33**). La ChgH de certaines espèces ne possède que le domaine non répétitif ; c'est le cas de *Danio rerio* et *Salmo salar* (Lee et al., 2002).

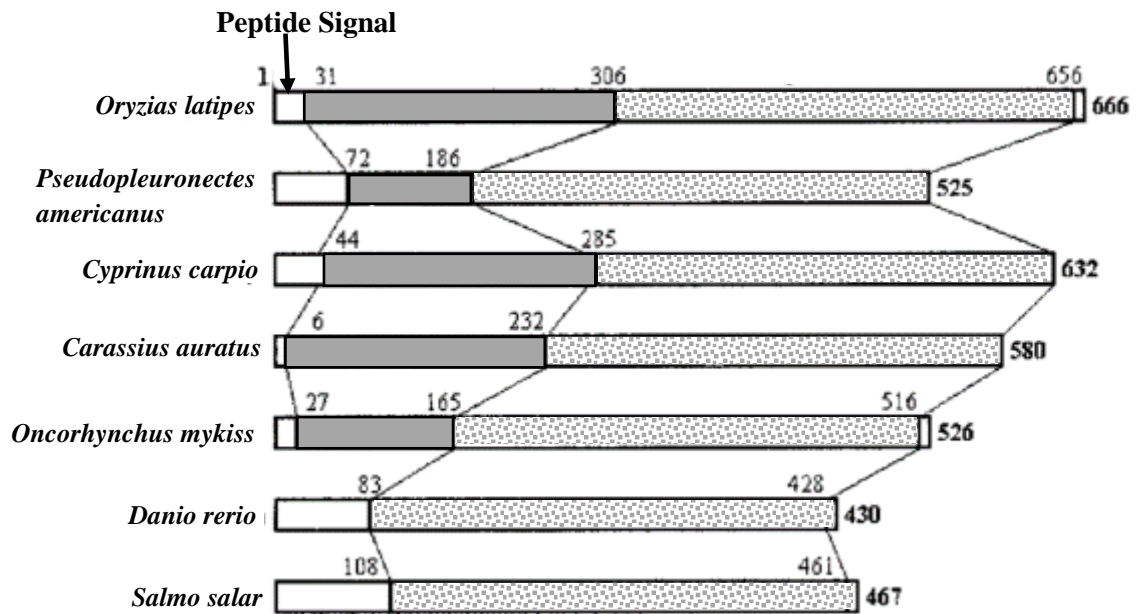


Figure 33 : Structure de la choriogénine H de certains téléostéens, d'après Lee et al. (2002). Les chiffres représentent la position des acides aminés. La choriogénine comprend deux domaines qui sont le domaine répétitif (en gris) et le domaine non répétitif (motifs en pointillés). Aucun domaine répétitif n'est observé chez le poisson zèbre (*Danio rerio*) ou le saumon de l'Atlantique (*Salmo salar*)

6. Objectifs de la thèse

A. gigas (Schinz, 1822), dont la distribution est limitée au bassin amazonien, et *H. niloticus* (Cuvier, 1829), dont la distribution est limitée aux bassins hydrographiques d'Afrique tropicale, sont deux espèces phylogénétiquement sœurs à l'intérieur du clade des Ostéoglossomorphes. Ces deux espèces présentent un grand intérêt à la fois pour la compréhension de l'évolution des téléostéens, pour la pêche et la pisciculture. Depuis quelques années, les pêcheries de *A. gigas* et *H. niloticus* sont surexploitées et ces deux espèces se raréfient dans le milieu naturel. L'élevage en étang de ces deux espèces, à fort potentiel aquacole, apparaît donc comme la meilleure alternative pour leur permettre de continuer à contribuer à la sécurité alimentaire et économique des populations humaines dans leurs différentes aires de distribution.

Alors que la plupart des espèces de poissons d'élevage présentent un dimorphisme sexuel qui facilite leur gestion, aucune caractéristique externe n'est disponible pour distinguer le sexe de *A. gigas* et *H. niloticus* en dehors de la saison de reproduction. Par ailleurs, la variabilité génétique de leurs populations natives ou introduites est insuffisamment connue surtout pour *Heterotis*. Les pisciculteurs de ces deux espèces sont donc face à un défi : celui de mettre en place des cycles de reproduction en captivité alors que le sexage est compliqué, que la formation de couples de reproducteurs est difficile, sans oublier le choix de reproducteurs à fort potentiel génétique pour lequel les données sont absentes. Les verrous qui limitent la maîtrise de l'élevage de *A. gigas* et de *H. niloticus* seront probablement levés lorsqu'on aura mieux compris les stratégies de reproduction de ces deux espèces.

Dans le cadre de cette thèse, il s'agit de mieux connaître la ressource génétique *Heterotis* et de comparer ses traits de reproduction avec *A. gigas* en situation expérimentale, afin d'identifier les caractéristiques génétiques, physiologiques et comportementales partagées ou différenciées entre les deux espèces sœurs et d'utiliser ces caractéristiques pour une meilleure maîtrise de leur reproduction et de leur élevage.

Une partie de ce travail vise à déterminer la structure génétique des populations de *H. niloticus* pour laquelle très peu de données sont disponibles. En effet, l'une des rares études réalisées par Hurtado et al. (2013) avec comme marqueur moléculaire les microsatellites a permis de caractériser les populations sauvages de trois bassins versants du Bénin. Alors que cette espèce

a fait l'objet de nombreuses introductions dans diverses zones de l'Afrique, aucune étude ne s'est intéressée à la génétique des populations introduites, en particulier celle du Sud de la Guinée, de la Côte d'Ivoire et du Sud du Cameroun. Il n'existe pas de données de génétique des populations sur les stocks d'élevage et utilisant comme marqueur l'ADN mitochondrial qui est une molécule à hérédité maternelle et qui se révèle intéressant pour étudier l'histoire démographique des populations. *H. niloticus* ayant été introduit en Côte d'Ivoire (Afrique de l'ouest), une comparaison avec les populations provenant d'autres pays (Guinée et Cameroun) permet de déterminer l'origine géographique des Heterotis de Côte d'Ivoire. L'échantillonnage de populations sauvages introduites et des stocks d'élevage de différents bassins versants est réalisé pour mieux appréhender la variabilité génétique (**Figure 34**).

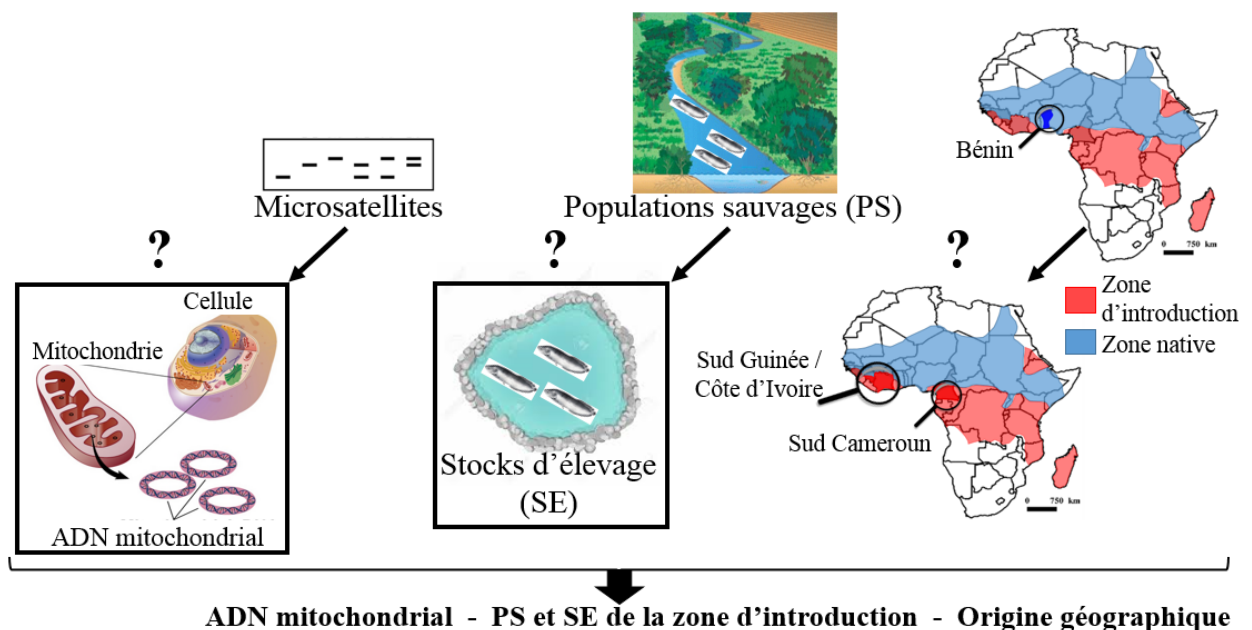


Figure 34 : Etat des lieux des études de génétiques des populations de *H. niloticus* et objectif de la thèse. Une des rares études réalisées par Hurtado et al. (2013) avec comme marqueur moléculaire les microsatellites a permis de caractériser les populations sauvages de trois bassins versants du Bénin (en bleu foncé). Les points d'interrogation indiquent qu'il n'existe aucune donnée sur la génétique des populations introduites (en particulier celle du Sud de la Guinée, de la Côte d'Ivoire et du Sud du Cameroun en rouge foncé) et les stocks d'élevage avec comme marqueur moléculaire l'ADN mitochondrial.

Les travaux de recherche s'intéressent aussi aux aspects de la reproduction de *A. gigas* et *H. niloticus* liés à la régulation endocrinienne et au comportement reproducteur. Il s'agit de réaliser des analyses transcriptomiques et protéomiques de différents organes et tissus qui visent principalement à identifier et caractériser la structure des vitellogénines (Vtg) et d'autres acteurs neuroendocriniens impliqués dans la reproduction de *A. gigas* et *H. niloticus*. Cela permet d'ouvrir la voie à l'étude de leur expression chez ces deux espèces. Une technique de sexage de *H. niloticus* est également mise au point. En effet, c'est grâce à une méthode peu invasive, qui a été développée par des chercheurs de l'IRD et leur partenaire sud-américain du IIAP (Instituto de Investigaciones de la Amazonia Peruana) pour faire le sexage d'*Arapaima* à partir d'un prélèvement sanguin, qu'a été tenté le sexage de *H. niloticus*. Cette méthode se base sur la détection de Vtg plasmatique immunoréactive et n'est applicable que chez les individus adultes ayant acquis la maturité sexuelle. Il s'agit désormais de transférer cette méthode chez *Heterotis*. Le sexage va reposer aussi sur la détection de la Vtg dans le mucus qui est beaucoup plus facilement accessible que le sang. La compréhension du comportement reproducteur de *A. gigas*, pour lequel on dispose d'une méthode de sexage fiable, complète cet aspect de la thèse. Il s'agit de réaliser une étude en étang de pisciculture par l'utilisation d'un système de positionnement par émetteurs ultrasoniques afin d'identifier les mécanismes de formation des couples au sein d'un groupe de plusieurs reproducteurs de sexe connu.

Deuxième partie

Matériel et méthodes

1. Etude de la variabilité génétique des populations de *H. niloticus*

1.1 Les échantillons de *H. niloticus* utilisés

Nous avons échantillonné des individus matures de *H. niloticus* collectés dans quatre bassins versants (BV) et 9 fermes piscicoles de la Côte d'Ivoire (**Figure 35**). Il s'agit du lac Buyo du BV de Sassandra, du lac Kossou, des rivières Kan et Bardikeli du BV de Bandama, de la rivière Besselé du BV de la Comoé et du lac Ayamé du BV de la Bia. En collaboration avec l'ONG APDRA (Association Pisciculture et Développement Rural en Afrique Tropical humide) qui réalise des projets piscicoles en Afrique de l'Ouest et du Centre, nous avons obtenu des échantillons provenant de la zone d'introduction de *H. niloticus* de deux autres pays. Ce sont le Cameroun (BV du Nyong et une ferme piscicole) et la Guinée (7 fermes piscicoles) (**Figure 35**). Au total 406 individus issus aussi bien du milieu naturel (fleuves, rivières et lacs) que des étangs de pisciculture ont été échantillonnés dans le but de comparer les populations sauvages introduites et de pisciculture (Lundrigan et al., 2005 ; Sekino et al., 2002 ; Wang et al., 2012). Les échantillons ont été collectés auprès de pêcheurs et pisciculteurs de novembre 2015 à août 2017.

L'obtention d'échantillons natifs de l'aire de distribution de *H. niloticus* n'a pas été possible malgré les nombreuses sollicitations formulées auprès des acteurs locaux impliqués dans la gestion des ressources halieutiques des pays concernés (Cameroun, Guinée, Burkina). Ces échantillons auraient permis d'analyser des paramètres démographiques et l'histoire évolutive de cette espèce.

Aussitôt après capture, sur chaque individu, des échantillons de nageoires ou de muscles (environ 100 mg) ont été prélevés pour être conservés dans de l'éthanol à 95°C. Après 24 heures, l'éthanol a été renouvelé et les échantillons ont été conservés à -20°C avant l'extraction de l'ADN. Tous les poissons échantillonnés issus de la pisciculture étant vivant, après le prélèvement d'une partie de la nageoire anale, les poissons ont été relâchés dans les étangs.

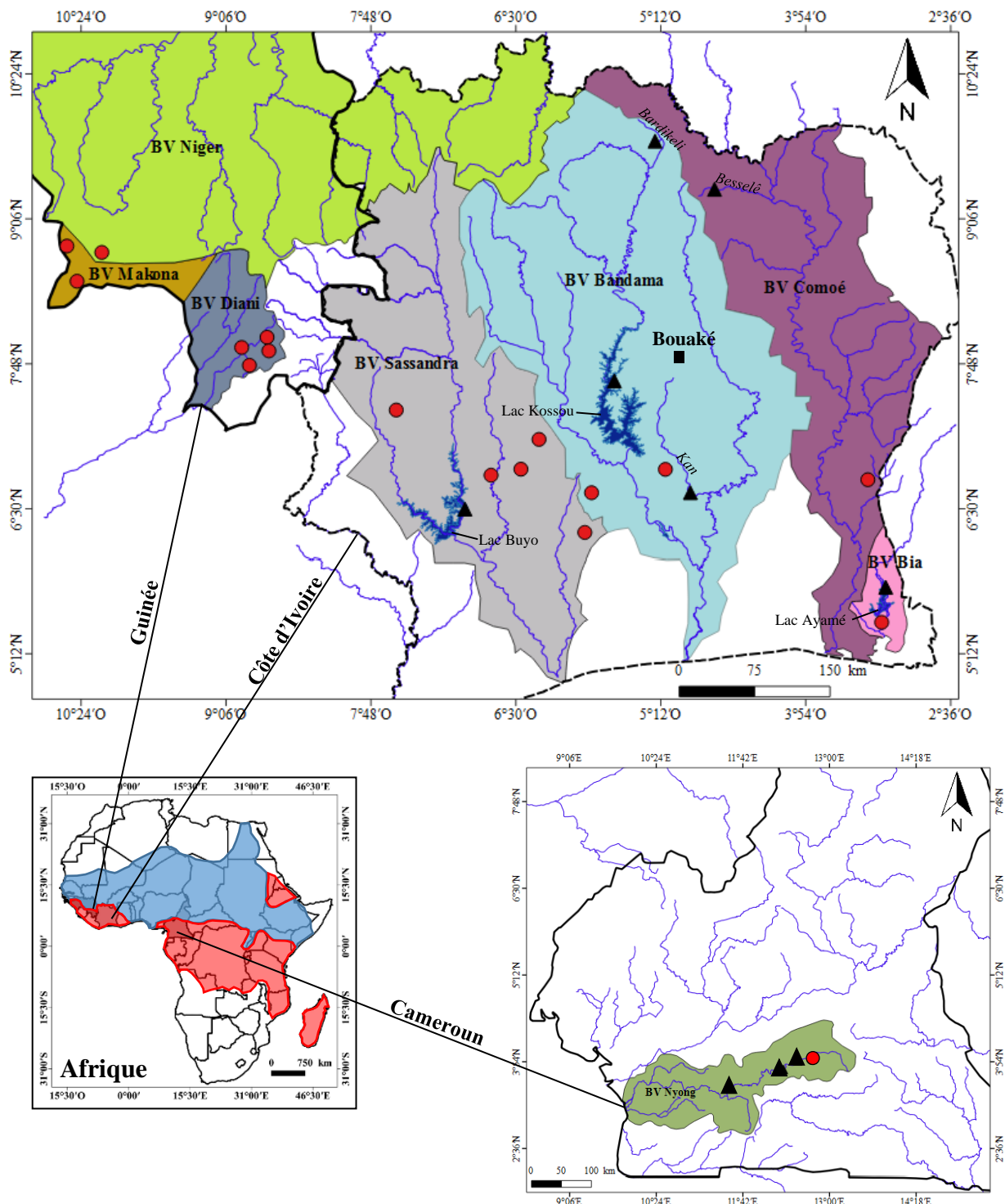


Figure 35 : Sites de collecte d'échantillons de *H. niloticus* en Côte d'Ivoire, en Guinée et au Cameroun. Les ronds rouges représentent les sites de collecte des poissons de pisciculture et les triangles noirs représentent ceux du milieu naturel dans quatre bassins versants (BV) de la Côte d'Ivoire et dans le bassin du Nyong au Cameroun. Les lignes bleues désignent les cours d'eau principaux et les zones bleu foncé sur la carte de la Côte d'Ivoire représentent les lacs de barrages hydroélectriques où *Heterotis* a fait l'objet d'introduction. Sur la carte de l'Afrique où figurent les limites des différents pays en trait noir, la couleur bleue représente les zones d'origine de *H. niloticus* et la couleur rouge représente les zones d'introduction.

1.2 Extraction, amplification et séquençage d'ADN

Les principales étapes au laboratoire en Bolivie ont concerné l'extraction de l'ADN et son amplification ; le séquençage a ensuite été réalisé par prestation de service par GenoScreen.

1.2.1 Extraction de l'ADN génomique

L'extraction de l'ADN a commencé avec le kit de purification de l'ADN génomique Wizard (Promega) et s'est poursuivie avec le protocole CTAB (Doyle & Doyle, 1987) qui après sa mise au point a nécessité moins de matériel biologique, soit 2 mg contre 25 mg avec le kit Wizard.

a) Avec le Kit Wizard

Concernant le kit Wizard, 25 mg de nageoire ou de muscle ont été découpés et mélangés à 144 µl d'EDTA (0,5 M pH 8), 600 µl de solution de lyse nucléaire et 17,5 µl de protéinase K (20 mg/ml). Le mélange obtenu est homogénéisé et incubé à 55°C pendant une nuit. Après ajout de 3 µl de RNase et une incubation à 37°C pendant 20 min., on laisse reposer pendant 5 min. à température ambiante. La précipitation des protéines est réalisée avec l'ajout de 200 µl de solution de précipitation de protéines. Le tout est homogénéisé, centrifugé à vitesse maximale pendant 20 s et passe 5 min. dans la glace avant d'être centrifugés à nouveau à 14000 g pendant 5 min. Les protéines précipitent et le surnageant qui contient de l'ADN est transféré dans un nouveau tube auquel on ajoute 600 µl d'isopropanol maintenu à température ambiante pour permettre à l'ADN de former une pelote. Après centrifugation à 14000 g pendant 1 min., l'ADN est précipité et le surnageant est éliminé. Un lavage avec 600 µl d'éthanol à 70% suivi d'une centrifugation à 14000 g pendant 1 min. sont répétés 3 fois. L'éthanol est éliminé et l'ADN est repris dans 100 µl de solution de réhydratation suivi d'une incubation à 65°C pendant une heure avant d'être conservé à -20°C.

b) Avec la méthode CTAB

Le tampon d'extraction est composé d'un mélange de CTAB 5%, de NaCl 5M, de EDTA 0,5 M pH 8 et de de Tris 1 M. Pour favoriser la lyse cellulaire, un volume de 500 µl de ce tampon

porté à 59°C et 5 µl de protéinase K (20 mg/ml) sont ajoutés à l'échantillon de nageoire ou de muscle et le tout est incubé dans un bain marie à 95°C pendant une nuit. En ajoutant 500 µl de Chloroforme et après avoir mélangé délicatement pendant 5 min., les tubes sont centrifugés pendant 5 min. à 8000 rpm. Au surnageant recueilli dans un nouveau tube Eppendorf, 600 µl d'isopropanol réfrigéré sont ajoutés, le tout est mélangé délicatement pendant 2 min. et conservé pendant une heure à -20°C. Il s'en suit une centrifugation à 14000 rpm pendant 15 min. L'observation d'un pellet au fond du tube présage que l'ADN est présent. L'isopropanol est éliminé délicatement du tube et deux séries de lavage/centrifugation du pellet sont réalisées avec 600µl d'éthanol 70% à 14000 rpm. L'ADN, obtenu après élimination de l'éthanol, est repris dans 100 à 150 µl d'eau MilliQ et conservé à -20°C.

Quelle que soit la méthode utilisée, l'efficacité de l'extraction d'ADN a été vérifiée au moyen d'un spectrophotomètre. L'intégrité a été mesurée par le ratio d'absorbance 260/230, la pureté par le ratio 260/280 et la concentration est exprimée en µg/g. Une électrophorèse en gel d'agarose 1% a été réalisée en utilisant du tampon TBE 1x et 4 µl SYBR (Invitrogen, 10 000 X concentré dans du DMSO) dont le rôle est de permettre la détection par fluorescence de l'ADN dans l'agarose. Un mélange de 4 µl d'extrait d'ADN et 1 µl de Loading buffer 10X est déposé dans les puits du gel. La migration a été réalisée à 100 V pendant 25 à 30 min. Le résultat a été observé avec un transilluminateur de lumière UV.

1.2.2 Choix des marqueurs moléculaires et PCR

a) Les gènes utilisés

Un marqueur génétique est considéré idéal pour faire de la phylogéographie lorsqu'il est polymorphe (variable entre individus), discriminant (différencie les individus ou populations apparentés), co-dominant (les hétérozygotes sont visibles), non épistatique (indépendant de l'expression des autres marqueurs) et varie de façon neutre (quel que soit l'allèle présent au locus, la valeur sélective de l'individu est la même), reproductible d'une expérience à l'autre, manipulable à grande échelle et économique (Nikolic, 2009).

Il existe plusieurs marqueurs moléculaires qui peuvent être utilisés pour déterminer la variabilité génétique des populations de *H. niloticus*. Les analyses réalisées ont porté principalement sur l'ADN mitochondrial (ADNmt). Faute de temps, les travaux concernant les microsatellites déjà définis pour cette espèce (**Annexe 1**) (Carrera et al., 2011 ; Hurtado et al., 2013), se sont limités dans cette thèse à la mise au point de panels (**Annexe 2**).

Diverses parties du génome mitochondrial sont employées pour comprendre l'histoire et la démographie des espèces vivantes (Hrbek & Farias, 2008). Les amorces mitochondriales développées pour *A. gigas* concernant les gènes Cyt b, ATPase et NADH1 (**Annexe 3**) ont été testées sans succès sur *H. niloticus*. Sur diverses régions de l'ADN mitochondrial de *H. niloticus* testées, deux ont permis d'obtenir correctement des amplifiats dans le cadre de cette étude. Il s'agit du gène cytochrome b (Cyt b) de 1141 paires de base (Genbank AB035240) et d'une région incluant le rRNA 16S, le tRNA-Leu, le NADH1 et le tRNA-Ile (segment NADH1) de 2813 paires de bases (Genbank NC_015081). Les gènes Cyt b et NADH1 ont été utilisés dans de nombreuses études (Buathong et al., 2015 ; Hrbek & Meyer, 2003 ; Hrbek et al., 2005 ; Kumazawa & Nishida, 2000 ; Lavoué & Sullivan, 2004 ; Page & Hughes, 2010 ; Skibinski, 2000) et ont permis d'établir les caractéristiques phylogéographiques de certaines espèces d'*Osteoglossidae* (Mu et al., 2012).

b) Amplification

Les PCR d'ADNmt ont été réalisées au laboratoire PROVETSUR de l'UAGRM en Bolivie, en utilisant le kit Qiagen pour obtenir un produit final de 25 µl à partir de 12,5 µl de Mix tag 2X, 2,5 µl de Q-solution, 3µl d'ADN, des volumes d'amorces et de H₂O pure respectivement de 0,62 µl et 5,76 µl pour le Cyt b, 1µl et 5 µl pour le segment NADH1. Les couples d'amorces utilisés sont présentés dans le **Tableau 11**. L'amplification de l'ADNmt a été réalisée dans un thermocycleur (Eppendorf) sous les conditions suivantes : première dénaturation à 95°C pendant 1 min. (Cyt b) et 3 min. (NADH1) suivie de 40 cycles à 94 °C en 30 s (2^e dénaturalisation), 54°C en 1 min. 30 s (Cyt b) et 50°C en 30 s (NADH1) pour l'hybridation, 72°C en 1 min. 30 s (Polymérisation), 72°C en 10 min. (renaturalisation) et 4°C pour l'extension finale. Pour valider l'efficacité de l'amplification, chaque produit a été examiné par électrophorèse sur gel d'agarose dans les mêmes conditions que l'ADN comme indiqué précédemment avec comme marqueur de taille du PBR 322. Les produits de PCR attendus sont

respectivement de 1027 et 1323 paires de bases respectivement pour le Cyt b et le segment NADH1.

Tableau 11 : Amorces utilisées pour la PCR du gène Cyt b et du segment NADH1 de *H. niloticus*.

Gènes ADNmt	Genbank	Taille du gène (pb)	Amorces	Produit PCR (pb)
Cyt b	AB035240	1141	F 5'-TCCACATGATGAAACTTTGG-3' R 5'-TTGTTAGTGGGGCGAGTAGG-3'	1027
Segment NADH1	NC_015081	2813	F 5'-GACCCTATGGCTTACTACAACC-3' R 5'-TCAGATGCTTTCTTGAGTGG-3'	1323

1.2.3 Séquençage

Les produits de PCR de Cyt b et du segment NADH1 de *H. niloticus* ont été séquencés en prestation par GenoScreen suivant la méthode Sanger également appelée « méthode de terminaison de chaîne » (Sanger et al., 1977). Cette méthode comprend trois étapes principales (<https://www.sigmaaldrich.com/>).

La première étape consiste à générer n fragments d'ADN de différentes longueurs, chacun terminé par un nucléotide marqué, où n est le nombre de bases de nucléotides dans la séquence d'ADN cible. Ceci est fait en combinant amorce ADN, nucléotides (dATP, dCTP, dGTP, dTTP), ADN polymérase, la séquence d'ADN d'intérêt et des di-désoxynucléotides marqués (ddATP, ddCTP, ddGTP, ddTTP). Les di-désoxynucléotides ne possédant pas le groupe 3'-OH nécessaire pour poursuivre la chaîne, aucun nucléotide ne peut être ajouté à la chaîne d'ADN une fois les di-désoxynucléotides incorporés, de sorte que chaque fragment se termine par un nucléotide marqué.

La deuxième étape consiste à séparer les n séquences d'ADN par la longueur en utilisant une électrophorèse sur gel capillaire. Les fragments les plus courts se déplacent plus rapidement

que les fragments les plus longs. Le résultat est que les fragments d'ADN sont introduits dans la troisième étape, de la séquence la plus courte à la plus longue.

Dans la troisième étape, un laser excite le marqueur sur le nucléotide à la fin de chaque séquence. Chaque base est marquée avec un marqueur différent, de sorte que la lumière émise par chaque nucléotide excité peut être liée à la base correcte. Le laser génère un chromatogramme montrant le pic fluorescent de chaque nucléotide. Le chromatogramme contient les nucléotides dans le bon ordre en raison de l'électrophorèse.

Le nombre d'échantillons collectés et séquencés selon le pays de provenance est présenté dans le **Tableau 12**. 106 individus ont pu être séquencés pour le Cyt b et 99 pour le segment NADH1. Certains individus n'ont pu être séquencés à la fois pour ces deux groupes de gènes. La matrice concaténée comporte donc 64 séquences complètes.

Tableau 12 : Provenance et nombre d'échantillons collectés et séquencés pour les gènes Cyt b et NADH1 de l'ADNmt de *H. niloticus*. Le nombre d'individus séquencés à la fois pour Cyt b et le segment NADH1 est indiqué entre parenthèses.

	Provenance des échantillons			
	Côte d'Ivoire	Cameroun	Guinée	Total
Echantillons populations sauvages	85	28	-	113
Cyt b	17	14	-	31
Segment NADH1	19 (8)	13 (7)	-	32 (15)
Echantillons stocks d'élevage	213	10	70	293
Cyt b	36	5	34	75
Segment NADH1	40 (22)	3 (3)	24 (24)	67 (49)
Total échantillons collectés	298	38	70	406
Total Cyt b	53	19	34	106
Total Segment NADH1	59 (30)	16 (10)	24 (24)	99 (64)

1.3 Analyse des données

1.3.1 Alignement des séquences

Pour l'édition de données de séquences d'ADN issues du séquençage, l'exploration de bases de données web, la réalisation d'alignements de séquence automatique et manuel, le logiciel Mega 7 a été utilisé (Kumar et al., 2016). Ces analyses ont permis de définir les différents haplotypes de Cyt b, du segment NADH1 et des deux gènes concaténés.

1.3.2 Biogéographie des haplotypes

Une cartographie des haplotypes par zone de collecte a été réalisée avec le logiciel QGIS 2.18 (Equipe de développement QGIS, 2016. Système d'information géographique QGIS. Projet Open Source Geospatial Foundation. [Http://www.qgis.org/](http://www.qgis.org/)).

Pour tester les hypothèses sur la distribution de fréquences des haplotypes, des tests exacts de Fisher ont été réalisés à l'aide du package R Commander (Fox, 2005) du logiciel R ver 3.5.3.

1.3.3 Diversité nucléotidique et haplotypique

Pour l'analyse du polymorphisme des séquences, la diversité nucléotidique (π) et la diversité haplotypique (Hd) ont été déterminées en utilisant le logiciel DnaSP v6.12.03 (Rozas et al., 2017). La diversité nucléotidique ($\pi = \frac{\text{moyenne}(\delta_{ij})}{L}$) est le nombre moyen de différence nucléotidique par site entre 2 séquences avec δ_{ij} représentant la différence nucléotidique entre deux séquences i et j , et L la longueur des séquences (Lynch & Crease, 1990). Les résultats attendus se présentent comme suit : $\pi = 0$, pas de divergence nucléotidique (mêmes haplotypes) ; $\pi \leq 0,05$, divergence faible ; à partir de $\pi > 0,10$, divergence forte ; $\pi = 1$, divergence maximal, aucun nucléotide en commun (Grant & Bowen, 1998). La diversité haplotypique ($Hd = 1 - \sum p_i^2$) avec p_i la probabilité de tirer l'haplotype de rang i (Nei, 1987). Les résultats attendus se présentent comme suit : $Hd = 0$, diversité la plus faible (1 seul haplotype) ; $Hd = 1$, diversité maximale (1 haplotype différent pour chaque séquence).

Le nombre de sites polymorphiques, le nombre de transitions, de transversions et d'insertions-délétions ont été décrites avec le logiciel Arlequin ver 3.5.2.2 (Excoffier & Lischer, 2010).

1.3.4 Relation phylogéographique entre les haplotypes

Pour aligner les séquences, pour estimer les distances génétiques et construire les phylogénies (Tamura et al., 2007), le logiciel Mega 7 a été utilisé (Kumar et al., 2016). Les séquences de Cyt b et du segment NADH1 ont été concaténées afin d'obtenir l'arbre de Maximum de vraisemblance (ML) phylogéographique le plus informatif et robuste possible. Puis, pour chaque marqueur un arbre ML avec le modèle Tamura-Nei a été réalisé afin de déceler les informations apportées par chacun d'eux. La robustesse des nœuds de chaque embranchement a été testée à l'aide de la méthode du bootstrap avec 1000 répliques.

Afin de mettre en évidence la généalogie d'haplotypes et son lien avec la géographie, des réseaux d'haplotypes ont été construits en utilisant la méthode de « Median Joining » (MJ) (Bandelt et al., 1999) suivi par un traitement de Maximum de Parcimonie implémentés dans le logiciel Network 5.0.1.1 (Fluxus Technology).

1.3.5 Analyse de variance moléculaire (AMOVA)

Le test exact de Fisher compare uniquement des distributions de fréquences d'haplotypes. Pour intégrer aussi les degrés de divergence nucléotidique entre haplotypes dans les comparaisons de distribution, l'analyse moléculaire de la variance (AMOVA) a été réalisée (Excoffier & Slatkin, 1995) avec le logiciel Arlequin ver 3.5.2.2. La différenciation entre les zones de distribution prises deux à deux a été estimée en utilisant la statistique de l'estimateur de F_{st} (Wright, 1978) avec le logiciel Arlequin ver 3.5.2.2 tenant compte aussi de la divergence nucléotidique. L'index de fixation F_{st} mesure la différenciation des populations à partir du polymorphisme génétique. Si le F_{st} est égal ou très proche de 0, cela signifie qu'il y a peu de différenciation génétique entre les populations comparées. A l'inverse, plus le F_{st} tend vers 1, plus la différenciation génétique entre les populations est forte.

2. Approches transcriptomiques et protéomiques

2.1 Echantillonnage et prélèvements tissulaires

Les tissus étudiés sont l'hypophyse, l'ovaire et le foie de *A. gigas* et *H. niloticus* pour les analyses transcriptomiques et pour les analyses protéomiques, ce sont le sang et le mucus de *H. niloticus* qui ont été prélevés (**Tableau 13**). Les échantillons de *H. niloticus* proviennent d'une ferme piscicole située au centre de la Côte d'Ivoire (5°08,713' W ; 6°50,929' N) à proximité de la capitale politique Yamoussoukro. Pour *A. gigas*, les échantillons ont été prélevés à la station expérimentale de l'Instituto de Investigaciones de la Amazonia Peruana (IIAP) située à Iquitos au Pérou. Les prélèvements tissulaires ont été réalisés sur des poissons anesthésiés dans de l'eau contenant de l'éthanol à 96° (dilution au 10°) (Bhanu & Philip, 2011). Les prélèvements ont été réalisés sur des individus mâles et femelles (sexe connu après dissection) en période de reproduction (mois de mai et juin).

Pour le séquençage en RNAseq du foie, de l'ovaire et de l'hypophyse, des pools d'échantillons prélevés sur trois femelles ont été conservés dans du RNAlater (Sigma) à 4°C. Pour les analyses protéomiques du sang et du mucus, le milieu d'extraction est composé de PBS 200 mM, EDTA 0,1 mM, DTT 1 mM et PMSF 400 mM et les échantillons sont conservés à -80°C en attendant l'extraction.

Tableau 13 : Organes prélevés chez *A. gigas* et *H. niloticus* pour le transcriptome et le protéome. Les tirets indiquent que l'organe n'a pas fait l'objet d'analyse.

Organes	Pour les transcrits	Pour les protéines
Hypophyse	♀	-
Ovaire	♀	-
Foie	♀	-
Mucus	-	♂♀
Sang	-	♂♀

2.2 Approches transcriptomiques

2.2.1 Extraction des ARN

Les ARN totaux de chaque pool de tissus sont extraits séparément. Les organes sont broyés dans de l'azote liquide et 50 à 100 mg de poudre de tissus sont mélangés à 1 ml de TRizol (Ambion, Life Technologies, Carlsbad, CA, USA) et l'extraction est réalisée selon les recommandations du fabricant. Les concentrations en ARN totaux sont déterminées au moyen d'un dosage spectrophotométrique (NanoDrop 2000, Thermo Fisher Scientific, Waltham, MA, USA). La qualité et l'intégrité des ARN totaux sont vérifiées respectivement à partir du ratio des absorbances A260/A280 et A260/A230. La concentration des ARN est ajustée à 50 ng/μl avec de l'eau stérile et 20 μl de cette solution (1μg) sont déposés dans des tubes RNA stable (Sigma) et séchés au speed vac.

2.2.2 Séquençage et traitement bioinformatique

a) Séquençage Illumina, assemblage et annotation

Les échantillons d'ARN ont été séquencés par la plateforme Génome Québec (<http://www.genomequebec.com/ressources-et-plateformes-technologiques.html>) sur un séquenceur Illumina HiSeq4000 en mode pairé 2 x 100pb.

Les lectures brutes ont été nettoyées et filtrées et les traces d'adaptateurs ont été éliminés à l'aide de Trimmomatic v.0.33 (<http://www.usadellab.org/cms/index.php?page=trimmomatic>). Les lectures ont été filtrées en utilisant un seuil de qualité de 30 et une taille minimale de 50 paires de bases. SortMeRNA v2.1 a été utilisé pour filtrer les ARN ribosomaux à partir des reads (Kopylova et al., 2012). Enfin, le processus de nettoyage a été vérifié à l'aide de fastQC v.0.11.5 (<https://www.bioinformatics.babraham.ac.uk/projects/fastqc/>).

Les lectures nettoyées provenant des différentes bibliothèques ont été par la suite assemblées conjointement en utilisant l'assembleur de transcriptomes *de novo* Trinity v.2.5.1 (Grabherr et al., 2011). Les abondances relatives ont été estimées à l'aide de kallisto v.0.43.1 (Bray et al., 2016). Pour obtenir la valeur d'expression (FPKM : Fragments Per Kilobase of exon per

Million fragments mapped) pour l'identification des contigs à faible couverture (FPKM <1) et des isoformes rares (<1%) exclus ultérieurement de l'analyse les deux logiciels ont été lancés via les scripts du package Trinity. La prédiction peptidique a été réalisée à l'aide de Transdecoder v.3.0.0 (Haas et al., 2013). Une recherche de similarité (blastx des transcrits assemblés et blastp des peptides prédits) a été effectuée contre la base de données uniprot-swissprot (version 09-2013). La prédiction des peptides signaux a été réalisée à l'aide de signalP v4.0 (Petersen et al., 2011). La détection des domaines transmembranaires a été réalisée en utilisant TMHMM v2.0c (Krogh et al., 2001). Enfin, l'annotation fonctionnelle du transcriptome a été réalisée à l'aide du pipeline Trinotate v.3.0.1 (<http://trinotate.github.io>) décrit par Bryant et al. (2017).

b) Prédiction des produits de gènes par analyse *in silico* des transcrits

Les analyses *in silico* des transcrits de foie, d'ovaire et d'hypophyse de *H. niloticus* issus de l'assemblage sont principalement réalisées avec le logiciel Peptraq développé en interne (Zatylny-Gaudin et al., 2016). Peptraq est un logiciel dédié à l'analyse de fichiers de séquences aux formats fasta ou txt. Il permet de traduire et de filtrer les transcrits et les précurseurs protéiques sur la base de l'annotation en utilisant des mots clés ou par l'utilisation de critères structuraux liés à la présence de subséquences particulières. Peptraq est aussi capable d'assigner le peptide signal, de le cliver pour passer de la preproprotéine à la proprotéine, de réaliser les clivages des convertases et de repérer les répétitions de séquences caractéristiques des neuropeptides.

Les domaines transmembranaires sont prédits par TMHMM v2.0 (www.cbs.dtu.dk/services/TMHMM). Les structures secondaires sont obtenues par alignement avec des protéines d'espèces dont les domaines sont connus ou en recherchant les domaines conservés sur le site de NCBI (<https://www.ncbi.nlm.nih.gov/Structure/cdd/wrpsb.cgi>). La modélisation des structures tertiaires est réalisée sous I-TASSER (<https://zhanglab.ccmb.med.umich.edu/I-TASSER/>). Les sites de N-glycosylation sont identifiés sous NetNGlyc 1.0 Server (<http://www.cbs.dtu.dk/services/NetNGlyc/>). Les séquences nucléiques et protéiques sont alignées sur Show translation (https://www.bioinformatics.org/sms/show_trans.html). Les alignements de séquences protéiques de différentes espèces sont réalisés sous CLC Sequence Viewer 7.6.1

(<http://www.clcbio.com>). Les identités en acides aminés entre séquences protéiques sont déterminées par Protein Blast (<https://blast.ncbi.nlm.nih.gov/Blast.cgi>).

2.3 Approches protéomiques ciblée sur la recherche de Vtg

2.3.1 Préparation d'échantillons pour analyse par spectrométrie de masse

Les échantillons soumis à l'analyse protéomique ont d'abord été décongelés dans l'eau glacée et centrifugés pendant plusieurs minutes. Les protéines sont précipitées à raison de 20 µl pour 120 µl d'acétone réfrigérée. Après une nuit à -20°C, les échantillons sont centrifugés à 20 000 g pendant 20 minutes. Le culot protéique est resuspendu dans un tampon bicarbonate d'ammonium (50 mM, pH 7). Les protéines sont digérées pendant une nuit à 37°C en utilisant 0,25 µg de trypsine porcine (Promega, Madison, USA). Les digestats sont dessalés et concentrés sur un ZipTip µC18 Omix (Agilent) avant analyse.

2.3.2 NanoLC – MS/MS

L'étape de chromatographie est réalisée sur un système de nano chromatographie à ultra-haute pression (NanoElute, Bruker Daltonics). Les peptides sont concentrés sur une précolonne C18 pepmap 100 (5 mm x 300 µm) (Thermo Scientific) et séparés à 50 °C sur une colonne en phase inverse Reprosil (25 cm x 75 µm, 1,6 µm, C18) (Ionopticks). Les phases mobiles sont constituées de 0,1% d'acide formique, 99,9% d'eau (v/v) (A) et 0,1% d'acide formique dans 99,9% d'ACN (v/v) (B). Le débit est fixé à 400 nl/min. et le profil de gradient est le suivant : de 2 à 15% de B en 60 min., suivi d'une augmentation à 25% de B en 30 min. et à 37% en 10 min., suivi d'une étape de lavage à 95% de B et d'un rééquilibrage à 2% de B.

Les analyses MS sont réalisées sur un spectromètre de masse TIMS-TOF (Bruker Daltonics) avec une source ionique de type nano electrospray (CaptiveSpray, Bruker Daltonics). Le système est étalonné chaque semaine et la précision de la mesure de masse est supérieure à 1 ppm. Une tension capillaire de 1400 volts est utilisée pour l'ionisation. Les spectres MS sont

acquis en mode positif dans la plage de masse de 100 à 1700 m/z. Dans les expériences décrites ici, le spectromètre de masse est utilisé en mode PASEF (Parallel Accumulation-Serial Fragmentation) (Meier et al., 2015), à l'exclusion des peptides monochargés. Dix balayages PASEF MS/MS sont réalisés en 1,25 seconde à partir de la plage de charge 2-5.

2.3.3 Séquençage des peptides et identification des protéines

Le spectre de fragmentation est utilisé pour déterminer la séquence du peptide. La recherche dans la base de données est effectuée à l'aide du programme Mascot 2.6.1 (Matrix Science). Deux bases de données locales de *H. niloticus* ont été utilisées : une base de données de protéines ovariennes (437 476 entrées) et une base de protéines hépatiques (244 234 entrées), l'une et l'autre construites à partir des transcriptomes correspondants grâce au logiciel Peptraq. Les modifications variables autorisées sont les suivantes : C-carbamidométhyle, K-acétylation, oxydation et di-oxydation de la méthionine. La «trypsine» a été sélectionnée avec un mode tolérant incluant deux sites de clivage manquants (Šlechtová et al., 2015). La précision de masse a été fixée à 20 ppm et 0,05 Da pour les modes MS et MS/MS respectivement. Les données de Mascot ont ensuite été transférées vers le logiciel de validation Proline (<http://www.profiroteomics.fr/proline/>) pour un filtrage des données selon un seuil de signification inférieur à 0,05 et l'élimination de la redondance des protéines.

2.4 Approches fonctionnelles

Une expérimentation visant à vérifier la capacité de la Vtg à diffuser dans l'eau à partir du mucus a été réalisée. La Vtg et ses produits de clivage ont été recherchés en MS. Le mucus de 5 femelles et 5 mâles matures en période de reproduction ont été collectés et centrifugés pendant 2 min. à 15000 g. Le culot d'impuretés est éliminé et deux aliquotes de 500 µl de mucus pour chaque poisson sont déposés dans des tubes Eppendorf 1.5 ml dans lesquels 1 ml de H₂O ultra pure est ajouté. Une centrifugation de 2 min. à 15000 g permet d'obtenir deux phases dans les tubes, une phase inférieure contenant le mucus et une phase supérieure contenant de l'eau. L'ensemble est incubé pendant 2h à 26°C ± 1°C dans un bain marie. 800 µl de surnageant par aliquote sont récupérés soit un total de 1,6 ml par poisson. Les surnageants

sont complétés et acidifiés par ajout de 3,4 ml d'acide acétique (HPLC) à 0,1 % pour obtenir une solution finale de 5 ml. Cette solution acidifiée a été concentrée sur des micro-colonnes C4 pour l'identification ultérieure des petites protéines et polypeptides et l'éluât a été ensuite concentré sur des micro-colonnes C18 pour l'identification des peptides. L'éluât final est préservé dans des tubes Eppendorf avec un mélange de 1 ml d'éluât et 1 ml d'une solution de TrisHCl EDTA pH 7,6 ; PMSF (400 mM), DTT (1 mM) et le tout est conservé à -20°C.

3. Sexage des individus mâtures de *H. niloticus* et étude du comportement reproducteur de *A. gigas*

3.1 Sexage des individus matures de *H. niloticus*

H. niloticus ne présente pas de dimorphisme sexuel. Ainsi, la possibilité de déterminer le sexe des poissons par des méthodes non invasives constitue la meilleure solution pour le développement de son aquaculture. Il a été testé sur *H. niloticus* le kit de sexage de *A. gigas*. Un croisement immunologique entre la Vtg d'*Heterotis* et les anticorps anti Vtg de *A. gigas* et de *O. bicirrhosum* a été également recherché en vue de l'utilisation pour le sexage d'*Heterotis* avant d'envisager une méthode plus spécifique.

3.1.1 Test du kit de sexage de *A. gigas*

Le kit commercial de détermination du sexe de *A. gigas* est basé sur la capacité d'un anticorps à se lier spécifiquement à l'antigène pour lequel il a été développé. Le test permet de détecter des concentrations faibles de Vtg dans le sang (0,04 mg/ml). Ce kit a été testé sur 24 individus matures de *H. niloticus* de plus de 2 kg en période de reproduction issus de quatre piscicultures du centre et de l'ouest de la Côte d'Ivoire. Les opérations qui se sont réalisés aux abords des étangs à température ambiante durent environ 2 heures 30.

Des prélèvements sanguins sont réalisés au niveau de la veine caudale de chaque poisson et conservés dans des tubes contenant de l'héparine. Les échantillons de sang sont dilués par ajout de 10 ml de tampon de dilution. 1 ml de sang dilué est déposé sur une membrane Mini Array (**Figure 36**) disposée délicatement à l'aide d'une pince dans un puit de microplaque. Durant toute l'opération, on évite de toucher avec les instruments utilisés la membrane Mini Array qui contient l'anticorps anti Vtg de *A. gigas*.

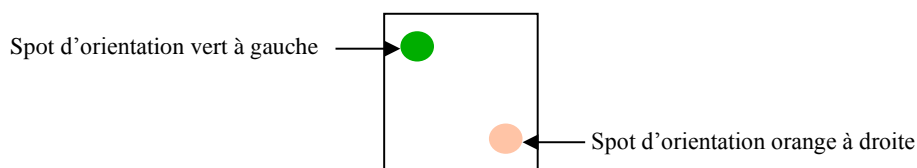


Figure 36 : Membrane mini Array du kit de sexage de *A. gigas*.

La plaque et son contenu sont incubés et agités manuellement de temps en temps pendant 1 h à température ambiante. Le sang contenu dans les puits est éliminé à l'aide d'une pipette en plastique. Entre deux puits, la pipette est rincée. Deux séries de lavage de la membrane sont réalisées avec 2 ml de tampon de lavage. Pour la révélation de l'anticorps, 1 ml de solution d'anticorps de révélation est ajouté sur la membrane suivi d'une deuxième incubation dans les mêmes conditions que la première. La solution d'anticorps de révélation est éliminée, deux séries de lavage sont réalisées comme précédemment et le tampon de lavage est éliminé.

Pour la détection de la Vtg par colorimétrie, la solution développeur est diluée dans le tampon de développement (1/135) et 1 ml est déposé dans chaque puit. Après 5 à 10 min., 1 ml de tampon d'arrêt est déposé dans chaque puits. Il apparait un spot de contrôle négatif de coloration noir-violet qui permet de valider le test et l'apparition du spot de contrôle positif de même coloration révèle la détection de la Vtg (**Figure 37**).

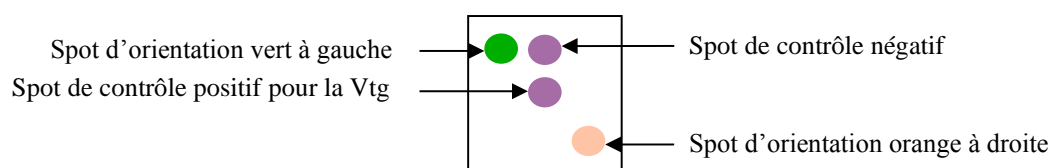


Figure 37 : Membrane Mini Array montrant la détection de la Vtg.

3.1.2 Test de l'anti corps anti Vtg de *A. gigas* et *O. bicirrhosum*

Les plasmas d'individus matures mâles et femelles de *H. niloticus* et *A. gigas* en période de reproduction ont été utilisés pour tester les anticorps anti Vtg de *A. gigas* et *O. bicirrhosum* suivant la méthode immuno-enzymatique (ELISA). Ces anticorps sont disponibles dans l'équipe IRD du LMI EDIA qui les a développés. Les solutions stocks utilisées sont présentées dans le **Tableau 14**.

Tableau 14 : Solutions stocks utilisés pour les tests ELISA.

Solution stock	Composition
Tampon carbonate (0,05 M ; pH 9,6)	Phosphate monobasique (0,05 M ; pH 4,8) + phosphate dibasique (0,05 M ; pH 8,9)
Tampon phosphate (0,01 M ; pH 7,4)	Carbonate (0,01 M ; pH 11,2) + Bicarbonate (0,01 M ; pH 8,5)
Tampon citrate (0,2 M ; pH 5)	Acide citrique (0,1 M ; pH 2) + Phosphate dibasique (0,2 M ; pH 8,9)
PBS-T	Tampon carbonate (0,05 M ; pH 9,6) + NaCl (154 mM) + 0,05 % Tween® 20 (Sigma Aldrich)
PBS-T-NPS	PBS-T + 5% de sérum de porc (NPS)

Les étapes décrites par Chu-Koo et al. (2009) ; Ndiaye et al. (2006) ont été réalisées au cours de cette expérimentation.

1. Greffage de l'Antigène

Une série de dilutions de plasma (1000^e, 5000^e, 10000^e, 20000^e, 40000^e, 80000^e et 160000^e) dans du tampon carbonate (0,05 M ; pH 9,6) est distribuée dans une plaque de 96 puits et incubée pendant une nuit à 4°C.

2. Saturation

100 µl de PBS-T-NPS est ajouté dans chaque puit et la plaque est incubée pendant 30 min. à 37°C. Le contenu de la paque est vidé et chaque puits est rincé trois fois avec 100 µl de PBS-T.

3. 1^{ère} Incubation de l'anticorps anti Vtg

Après avoir vidé le PBS-T, 100 µl d'une solution d'anticorps anti Vtg dilué au 10000^e dans du PBS-T-NPS sont ajoutés à chaque puits. La plaque est incubée pendant 90 min. à 37°C ou à température ambiante pendant 4 h, son contenu est vidé et chaque puits est rincé 3 fois avec 100 µl de PBS-T.

4. 2^e Incubation de l'anticorps anti Vtg

Après avoir vidé le PBS-T, 100 µl d'une solution de peroxydase dilué au 3000^e dans du PBS-T-NPS sont ajoutés à chaque puits. La plaque est incubée pendant 1 h à 37°C et chaque puits est rincé 3 fois avec 100 µl de PBS-T.

5. Révélation

L'activité du peroxydase est révélée à l'obscurité en ajoutant dans chaque puits 100 µl d'une solution contenant 20 ml de Tampon citrate (0,2 M ; pH 5) + 10 mg de o-PD (Thermo Fisher) + 30µl de H₂O₂. La réaction est stoppée après 30 min. en ajoutant dans chaque puits 50 µl de H₂SO₄ à 4M.

6. Mesure de l'absorbance

L'absorbance de chaque puits est mesuré à l'aide d'un lecteur de DO à 490 nm.

3.1.3 Mise au point d'un anticorps anti-Vtg spécifique de *H. niloticus*

Induction des poissons immatures à l'estradiol

Douze individus immatures de *H. niloticus* de 800 g environ ont été induits avec une solution contenant de l'estradiol (2 mg/ml), du PBS 20mM et de l'huile d'arachide 1%. Chaque poisson identifié à l'aide d'une puce électronique a reçu 7 injections (280 µl/injection) espacées de 48 h. 2 ml de sang ont été prélevés sur chaque poisson avant l'induction et 48 h après la 7^e injection. Le sang a été conservé dans des tubes contenant 25 µl d'héparine avant d'être centrifugés pendant 3 min. à vitesse maximale. Deux gouttes de PMSF (10 mM) ont été ajoutées au plasma recueilli et les échantillons ont été conservés à -20°C.

Purification de la Vtg

Une électrophorèse sur gel de polyacrylamide (SDS-PAGE) a été réalisée avec les 12 plasmas induits à l'estradiol à 80 V / 100 min. / TA / 0,75 mm d'épaisseur à 7,5 % + SDS 0,1%. Les bandes correspondant à la Vtg (environ 10 µg/bande) sont découpées, homogénéisées au potter à piston et conservées à -80°C par aliquote de 100 µg.

Production d'anticorps anti Vtg de *H. niloticus*

La production d'anticorps anti Vtg de *H. niloticus* a été réalisée au laboratoire PROVETSUR de l'UAGRM de Bolivie.

Deux lapins communs d'élevage ont été immunisés avec des solutions émulsifiées de Vtg (50% de Vtg à 200 mg / ml dans du NaCl à 9%, adjuvant complet de Freund (Sigma) à 50%). Chaque lapin a reçu une injection toutes les semaines pendant 4 semaines, puis deux injections de solutions de Vtg et d'adjuvant incomplet de Freund toutes les 2 semaines. Le sang a été prélevé avant l'immunisation et une semaine après chaque injection. Le sérum a été obtenu après 6 h de coagulation sanguine à 16°C et conservé à -20°C.

Test ELISA et sexage des individus matures

La présence d'anticorps anti-Vtg de *H. niloticus* dans les sérums recueillis sur les lapins immunisés a été testée par la méthode ELISA sur du sang d'individus mâles et femelles matures de *H. niloticus* et de *A. gigas* en période de reproduction dans les mêmes conditions que les tests des anticorps anti-Vtg de *A. gigas* et de *O. bicirrhosum* décrits précédemment.

3.1.4 Détection de la Vtg par MS/MS et sexage des individus matures

A partir de prélèvements sanguins d'individus matures de sexe inconnu de *H. niloticus* en période de reproduction, des extractions protéiques et des analyses en nanoLC et MS/MS ont été réalisées pour rechercher la protéine d'intérêt (la Vtg) ou ses produits de clivage.

3.2 Suivi télémétrique pour l'étude du comportement reproducteur

3.2.1 Site expérimentale et poissons utilisés

L'étude du comportement reproducteur s'est réalisée uniquement sur *A. gigas* à la station de l'IIAP à Pucallpa au Pérou. Prévue pour être réalisée également sur *H. niloticus* en Côte d'Ivoire, cette étude n'a pas pu se faire en raison des difficultés d'acquisition du matériel expérimental.

Plusieurs reproducteurs de *A. gigas* de sexe inconnu au départ (une trentaine environ) ont été capturés et mis ensemble dans un étang. Pour permettre leur identification permanente, une puce électronique de 11 mm a été implantée dans la partie médiane du muscle antérieur dorsal de chaque poisson à l'aide d'une seringue particulière.

L'étude du comportement reproducteur envisagé dans le cadre de cette étude nécessite une connaissance du sexe des individus utilisés. Ainsi, un échantillon de sang a été prélevé dans la veine caudale de chaque individu et conservé dans des tubes Eppendorf de 1,5 ml hépariné. Toutes les procédures de marquage et de prélèvement de sang ont duré environ 1,30 min. L'échantillon de sang a ensuite été centrifugé pendant 3 min à 10 000 g et le plasma surnageant a été collecté et conservé congelé jusqu'à son utilisation ultérieure pour la détermination du sexe.

Les *Arapaima* ont été sexés grâce à l'anticorps anti Vtg1 mis au point par l'équipe de l'IRD (Chu-Koo et al., 2009). A l'issue du sexage, un lot de 20 poissons dont 10 mâles et 10 femelles a été constitué.

Tous les reproducteurs utilisés dans le cadre de cette expérimentation sont mûres et mesurent entre 144 et 188 cm LT pour un poids compris entre 26 et 65 kg.

L'étang d'expérimentation a une superficie de 4500 m² (8°24,002" S – 74°38'026" W) et la profondeur est en moyenne de 1 m. Les pentes des berges ne sont pas raides et une végétation herbacée y est présente. Ce type d'étang correspond à ceux utilisés par les pisciculteurs de la zone de distribution de l'espèce pour assurer la reproduction en captivité.

3.2.2 Système de suivi des *Arapaima*

Le suivi du comportement reproducteur de *A. gigas* est réalisé suivant le système de télémétrie acoustique Lotek MAP (positionnement UMAP) qui utilise le code CDMA (code accès multiple par répartition) qui permet la détection simultanée et le décodage de plusieurs émetteurs co-localisés. Ce système combine la détection, la transmission du mouvement et des paramètres de l'eau (température, pression, etc.) au sein du même code. Les utilisateurs finaux sont capables de traiter les données brutes et calculer des trajets continus à partir de positions en deux dimensions d'animaux marqués sans assistance ou traitement chez Lotek.

3.2.3 Pose des émetteurs ultrasoniques sur les poissons

Des émetteurs (16 x 80 mm, 76 KHz) pesant 35 g (MM-M-16-50 PM, LOTEK Inc.) ont été fixés à l'extérieur des poissons sous la partie antérieure de la nageoire dorsale (**Figure 38a**) selon la technique décrite par Nuñez-Rodriguez et al. (2015) pour les émetteurs radio de taille et de poids similaires. En bref, un câble recouvert de plastique en acier inoxydable a été inséré à l'aide d'une aiguille adaptée près de la nageoire dorsale après une anesthésie locale avec 0,5% de lidocaïne (0,5 ml de chaque côté) et un émetteur a été fixé au câble à l'aide de colliers de serrage en plastique. Les aiguilles et les câbles étaient préalablement stérilisés avec 70% d'éthanol et une solution antibactérienne (10% de povidone) était appliquée sur les points d'injection. L'ensemble de la procédure de marquage a duré moins de 2 min. La manipulation n'a pas modifié le comportement des poissons, car ceux-ci ont retrouvé une nage normale et étaient calmes immédiatement après leur remise dans l'étang expérimental.

3.2.4 Disposition des hydrophones dans l'étang expérimental

Huit hydrophones (WHS 3250D, LOTEK Inc.) (**Figure 38b**) placés à environ tous les 25 m ont été immergés dans l'étang expérimental à 1 m du rivage. Pour les rendre immobiles, ils sont fixés sur des poteaux métalliques (de 3 cm de diamètre et de 2 m de long). La profondeur moyenne de l'étang variait de 0,8 m sur le rivage à 1,20 m dans la zone centrale avec un fond relativement lisse et boueux. Les antennes des hydrophones ont été placées à environ 50 cm

au-dessus du fond de l'étang et à 30–50 cm de la surface de l'eau, en fonction de la profondeur de l'eau à chaque endroit. Les coordonnées exactes de chaque hydrophone ont été déterminées à l'aide d'un GPS (Trimble GeoExplorer 6000 XH 3.5G) donnant une précision de position d'environ 30 cm selon les indications du fabricant.

(a)



(b)



Figure 38 : *A. gigas* équipé d'un émetteur ultrasonique (16 x 80 mm, 76 KHz) de 35 g (MM-M-16-50 PM, LOTEK Inc.) (a) et hydrophone (WHS 3250D, LOTEK Inc.) fixé sur un poteau métallique et immergé à la périphérie de l'étang expérimental (b).

Troisième partie

**Première approche de la caractérisation de la
ressource génétique d'*Heterotis* en Côte
d'Ivoire, par comparaison du polymorphisme
haplotypique de l'ADNmt (Cyt b et NADH)
selon l'origine géographique des échantillons
sauvages (capturés dans la nature) ou cultivés
(élevés en pisciculture)**

1. Introduction

Heterotis niloticus est une espèce d'Ostéoglossiformes native de la province ichtyologique nilo-soudanienne (figure 15 page 49) excepté les sous-provinces éburnéo-ghanéenne et abyssinienne (Bard, 1973 ; Lemasson, 1957 ; Lévêque & Paugy, 2006 ; Lévêque et al., 1990 ; Moreau & Moreau, 1982 ; Reizer, 1964 ; Stiassny et al., 2007). L'intérêt économique et les performances zootechniques de cette espèce (Adite et al., 2006 ; Ezekiel & Abowei, 2013 ; Moreau, 1982 ; Odo et al., 2009) ont favorisé l'étendue artificielle de son aire de distribution, à la suite d'introduction par l'Homme dans le bassin du Congo (Lemasson, 1957), les sous-provinces éburnéo-ghanéenne et abyssinienne (Lévêque & Paugy, 2006), la haute et à la basse Guinée (Stiassny et al., 2007). Son élevage en étang de pisciculture a démarré dans les années 1955 à Bangui en Centrafrique (Tillon, 1959) et depuis lors cette espèce est présente dans plusieurs stations piscicoles de pays africains (Moreau & Moreau, 1982 ; Stiassny et al., 2007).

H. niloticus, initialement méconnu des bassins hydrographiques de la Côte d'Ivoire (Gourène et al., 1995), a été mis en essai dans la station piscicole de Bouaké à partir de 1957 avec des alevins provenant d'une pisciculture de Yaoundé au Cameroun (Lazard, 1990 ; Reizer, 1964) et de la localité de Bérégadougou au Burkina Faso (Reizer, 1964). Les alevins obtenus à la suite des reproductions dans cette station ont servi à enrichir la faune de certains lacs et cours d'eau. Il s'agit entre autres du lac d'Ayamé (sur le fleuve Bia) de 1962 à 1965, du lac de Kossou (sur le fleuve Bandama) de 1971 à 1972 (Bernacsek & Powles, 1992 ; Doudet, 1979 ; Moreau, 1982), du lac de Buyo (sur le fleuve Sassandra) en 1980 (Lazard, 1990) et des barrages agropastoraux construits sur des affluents secondaires du fleuve Bandama au nord de la Côte d'Ivoire à partir de 1985 (Da Costa et al., 1998 ; Tito De Morais et al., 2007) (voir **Figure 35**).

H. niloticus est actuellement présent dans les principaux fleuves de la Côte d'Ivoire et fait partie des espèces principalement pêchées (Da Costa et al., 2000 ; Kouakou et al., 2016 ; Tah et al., 2009). Sa pisciculture s'est également développée et est pratiquée dans des étangs ou dans de petits barrages (Kimou et al., 2016).

A l'instar des autres espèces de poissons, l'avenir des pêcheries et des fermes piscicoles de *H. niloticus* dépend en grande partie de la gestion adéquate des ressources génétiques avec la mise en place d'un suivi génétique pour le maintien d'un niveau approprié de diversité génétique en

lien avec un effectif efficace suffisant pour garantir la disponibilité de poissons nécessaires à la consommation humaine (Santos et al., 2014).

Cependant, très peu d'études se sont intéressées à la génétique des populations de *H. niloticus* contrairement à l'espèce sœur *A. gigas*. Au Bénin par exemple où *H. niloticus* est natif, une étude a été réalisée uniquement sur des populations sauvages de trois bassins hydrographiques et s'est plutôt appuyée sur des microsatellites comme marqueurs moléculaires (Hurtado et al., 2013). Les résultats obtenus montrent que les individus de certains BV ont une diversité allélique et une hétérozygotie élevées (9,25 et 0,60 respectivement) et pour d'autres BV, les valeurs sont faibles (3,5 et 0,34 respectivement). Les études réalisées chez *A. gigas* avec les marqueurs microsatellites révèlent également que selon les zones de distribution de l'espèce, on observe une diversité allélique et une hétérozygotie élevées (8,54 et 0,72 respectivement) (Araripe et al., 2013) ou faibles (1,52 et 0,08 respectivement) (Watson et al., 2016).

Alors que le génome mitochondrial de *H. niloticus* est complètement séquencé (16 551 paires de bases, Genbank AP009498) (Lavoué et al., 2011), aucune donnée relative à l'utilisation de marqueurs mitochondriaux pour évaluer la variabilité génétique n'est encore disponible. La variabilité génétique de nombreuses populations et sous-populations naturelles et piscicoles de cette espèce n'est pas connue contrairement à *A. gigas* et d'autres espèces de poisson où plusieurs études de variabilité génétique ont été réalisées à la fois sur les populations sauvages et de pisciculture (An et al., 2010 ; Oliveira et al., 2017 ; Glover et al., 2011 ; Santos et al., 2014 ; Shen et al., 2009 ; Skaala et al., 2006).

La présente étude est la première à aborder la variabilité génétique de *H. niloticus* en Côte d'Ivoire depuis son introduction en utilisant des marqueurs mitochondriaux. Son objectif est d'évaluer la variation génétique de *H. niloticus* de populations transloquées par l'homme dans des bassins versants (populations sauvages) ou dans des stations de pisciculture (stocks d'élevage) et de comparer les résultats obtenus avec ceux de *A. gigas* disponibles dans la bibliographie. Il s'agit aussi d'essayer de fournir un état de référence pour un suivi ultérieur de la ressource génétique que constitue ces deux espèces et en particulier *H. niloticus* en Afrique de l'ouest.

2 Démarche expérimentale

Dans le but de caractériser la ressource génétique d'*Heterotis* en Côte d'Ivoire, notre étude s'est basée sur des marqueurs mitochondriaux du Cytochrome b (Cyt b) et une région incluant le 16S rRNA, tRNA-Leu, NADH1 et tRNA-Ile (segment NADH1). Les échantillons utilisés proviennent également d'autres zones géographiques que la Côte d'Ivoire où l'espèce a été introduite.

Les échantillons de Côte d'Ivoire sont issus de populations sauvages (populations introduites) et de stocks d'élevage de quatre bassins versants (Sassandra, Bandama, Comoé et Bia).

Des échantillons ont été collectés au sein de populations sauvages, là aussi introduites, et des stocks d'élevage du bassin du Nyong au Cameroun et de stocks d'élevage dans trois bassins versants de la Guinée. Nous n'avons pas pu obtenir d'échantillons de populations natives (non introduites).

Les protocoles d'extraction de l'ADN, d'amplification des fragments de gènes mitochondriaux (Cyt b et segment NADH1), de séquençage et d'analyse des séquences sont mentionnés dans le chapitre Matériel et Méthodes.

L'échantillonnage au sein de populations sauvages et de stocks d'élevage de différentes zones géographiques a pour but d'essayer de préciser l'origine géographique des bonytongues de Côte d'Ivoire et aussi de réaliser les comparaisons suivantes :

- populations sauvages et stocks d'élevage des zones d'introduction selon les pays échantillonnés ;
- populations sauvages selon les bassins versants de Côte d'ivoire ;
- stocks d'élevage selon les piscicultures de Côte d'ivoire ;
- populations sauvages et stocks d'élevage d'un même bassin versant de Côte d'Ivoire.

A partir des études antérieures réalisées sur *A. gigas* dont les résultats sont disponibles dans la bibliographie, il a été possible de comparer cette espèce avec *H niloticus* en ce qui concerne la diversité génétique ; qu'elle soit haplotypique ou nucléotidique et aussi concernant l'information portée par les phylogéographies. Les différentes étapes de ce travail sont schématisées dans la **Figure 39**.

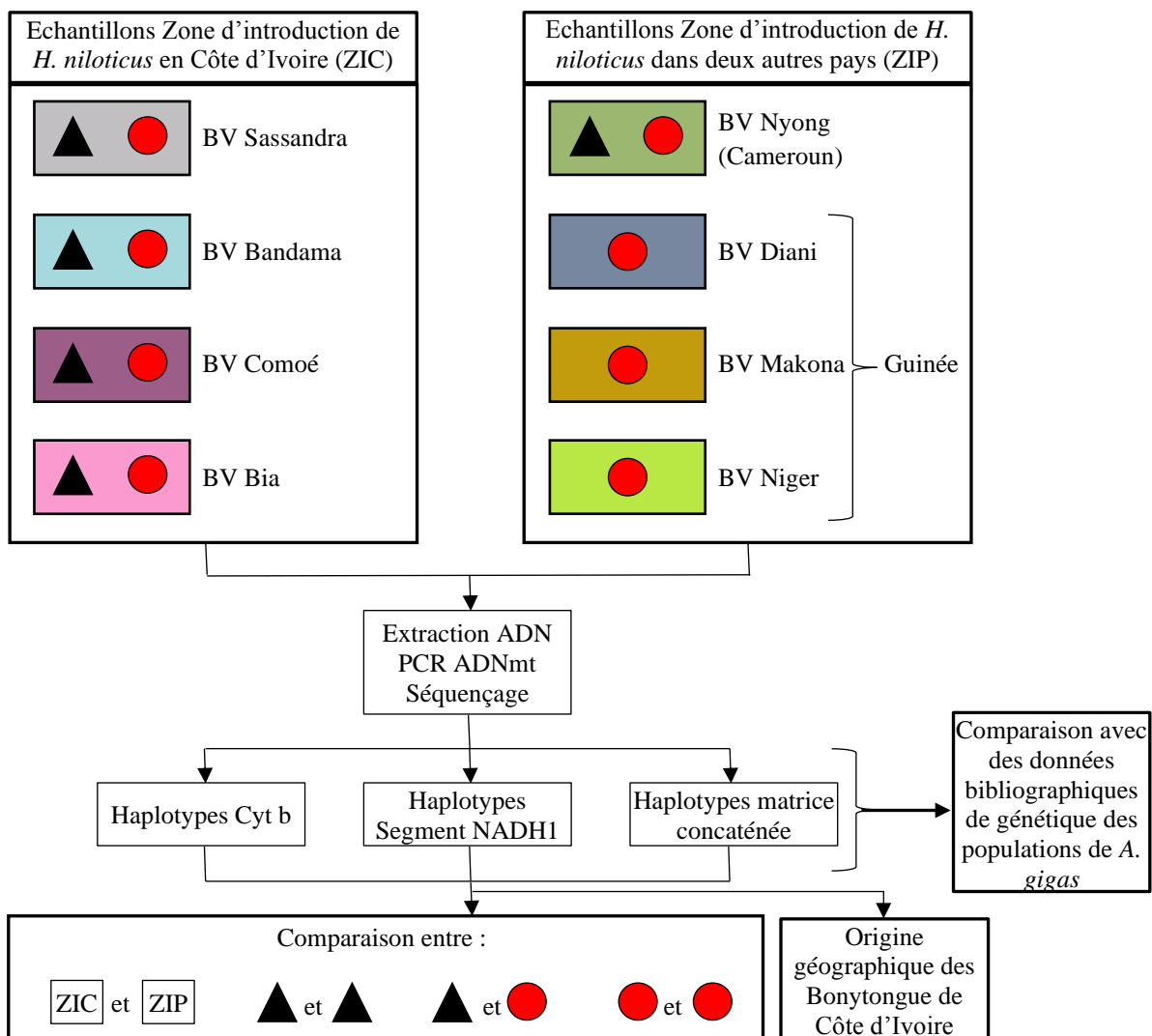
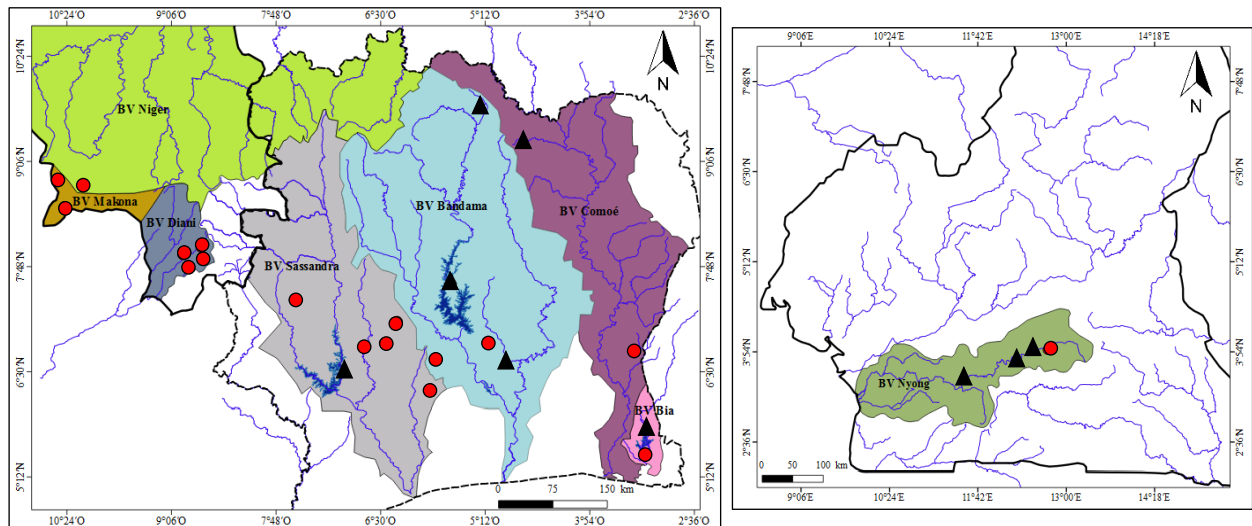


Figure 39 : Echantillonnage et analyse génétique de populations sauvages (triangle noir) et stocks d'élevage (rond rouge) dans la zone d'introduction de *H. niloticus* en Côte d'Ivoire (ZIC) et dans deux autres pays (ZIP). Les échantillons de Côte d'Ivoire, du Cameroun et de la Guinée sont issus de différents bassins versants (BV).

3. Caractérisation de la ressource génétique en Côte d'Ivoire

3.1 Variation de séquences des gènes mitochondriaux de *H. niloticus*

3.1.1 Matrice concaténée des marqueurs mitochondriaux

L'analyse des fragments de gènes mitochondriaux concaténés du segment NADH1 (16S rRNA + tRNA-Leu + NADH1 + tRNA-Ile) et du Cyt b de *H. niloticus* qui représentent chacun 2384 paires de bases (pb) a permis d'identifier quatre haplotypes pour 64 échantillons séquencés sur les 2 marqueurs avec les fréquences absolues présentées dans le **Tableau 15**. L'haplotype le plus fréquent HpA est présent en Côte d'Ivoire et en Guinée, l'haplotype HpB est observé uniquement au Cameroun où il est le seul dans cette région et l'haplotype HpD et l'haplotype rare HpC sont observés uniquement en Côte d'Ivoire.

Tableau 15 : Fréquences absolues des quatre haplotypes concaténés des gènes mitochondriaux NADH1 et Cyt b d'échantillons de *H. niloticus* collectés dans les populations sauvages (PS) et stocks d'élevage (SE) en Côte d'Ivoire, en Guinée et au Cameroun.

Haplotypes	Côte d'Ivoire			Guinée	Cameroun			Total		
	PS	SE	Total	SE	PS	SE	Total	PS	SE	Total
HpA	3	10	13	24	0	0	0	3	34	37
HpB	0	0	0	0	7	3	10	7	3	10
HpC	0	2	2	0	0	0	0	0	2	2
HpD	5	10	15	0	0	0	0	5	10	15
Total	8	22	30	24	7	3	10	15	49	64

L'alignement des séquences des haplotypes des gènes mitochondriaux concaténés présenté en **Annexe 4** met en relief une insertion-délétion (indel) et 13 sites polymorphiques dont 2 sites

pour le segment NADH1 et 11 sites pour Cyt b. La composition nucléotidique montre une dominance de A et T (~55%).

Les résultats des indices de diversité présentés dans le **Tableau 16** montrent que les petits échantillons du Cameroun et de la Guinée avec un seul haplotype identifié ne présentent pas de diversité haplotypique ou nucléotidique.

Pour les échantillons de la Côte d'Ivoire, tous les indices de diversité des stocks d'élevage (SE) sont plus élevés que ceux des populations sauvages (PS), la diversité haplotypique ($H_d=0,577$) est moyenne et la diversité nucléotidiques ($\pi=0,0019$) est faible. Les mutations sont constituées uniquement de transitions, qui sont les mutations les plus probables. La moyenne des différences nucléotidiques entre les haplotypes est $K = 4,61$ substitutions si l'on considère uniquement les échantillons provenant de la Côte d'Ivoire et $K = 3,52$ si l'on considère les échantillons collectés dans les trois pays. Toutefois aucune de ces variations n'est significative en raison de la petite taille de l'échantillonnage de séquences.

Tableau 16 : Indice de diversité génétique pour un fragment du gène concaténé de l'ADNmt de *H. niloticus* pour les échantillons collectés dans les populations sauvages (PS) et stocks d'élevage (SE) en Côte d'Ivoire, en Guinée et au Cameroun.

	Côte d'Ivoire			Cameroun	Guinée	Total
	PS	SE	Total	PS et SE	SE	
Nombre de séquences	13	17	30	10	24	64
Nombre d'haplotypes	2	3	3	1	1	4
Transitions	8	12	12	0	0	12
Transversions	0	0	0	0	0	0
Indel	1	1	1	0	0	1
Sites polymorphiques	9	13	13	0	0	13
Diversité haplotypique (H_d)	0,538	0,632	0,577	0	0	0,595
Diversité nucléotidique (π)	0,0020	0,0023	0,0021	0	0	0,0015
Différence nucléotidique (K)			4,61	0	0	3,52

3.1.2 Gène Cyt b

Le séquençage des produits de PCR du gène mitochondrial Cyt b a permis d'obtenir des fragments de 1061 pb. L'analyse de ces fragments a permis d'identifier 6 haplotypes pour 106 échantillons séquencés avec les fréquences absolues présentées dans le **Tableau 17**. L'haplotype Hp1 avec le plus grand nombre d'individus (66) est présent en Côte d'Ivoire et en Guinée. Il est le seul à être partagé entre deux régions. Les haplotypes Hp3 et Hp4 sont observés uniquement au Cameroun et les haplotypes Hp2, Hp5 et Hp6 sont observés uniquement en Côte d'Ivoire. Les haplotypes Hp2, Hp3 et Hp6 sont rares (1 à 2 individus).

Tableau 17 : Fréquences absolues des six haplotypes d'un fragment du gène mitochondrial Cyt b d'échantillons de *H. niloticus* collectés dans les populations sauvages (PS) et stocks d'élevage (SE) en Côte d'Ivoire, en Guinée et au Cameroun.

Haplotypes	Côte d'Ivoire			Guinée	Cameroun			Total		
	PS	SE	Total	SE	PS	SE	Total	PS	SE	Total
Hp1	8	24	32	34	0	0	0	8	58	66
Hp2	1	0	1	0	0	0	0	1	0	1
Hp3	0	0	0	0	1	0	1	1	0	1
Hp4	0	0	0	0	13	5	18	13	5	18
Hp5	8	10	18	0	0	0	0	8	10	18
Hp6	0	2	2	0	0	0	0	0	2	2
Total	17	36	53	34	14	5	19	31	75	106

L'alignement des séquences des haplotypes du gène Cyt b présenté en **Annexe 5** met en relief 14 sites polymorphiques avec une indel. La composition nucléotidique montre une dominance de A et T (~56%).

Les résultats des indices de diversité présentés dans le **Tableau 18** montrent que les échantillons de la Guinée avec un seul haplotype identifié ne présentent pas de diversité haplotypique ou nucléotidique. Les diversités haplotypiques et nucléotidiques des échantillons du Cameroun sont faibles ($H_d = 0,105$ et $\pi = 0,0002$). Les SE avec un seul haplotype ne présentent pas de diversité haplotypique ou nucléotidique.

Pour les échantillons de la Côte d'Ivoire, les PS et SE ont le même nombre d'haplotypes (3) avec un haplotype spécifique à chacun. Les SE présentent plus de mutations et de sites polymorphiques que les PS. Cependant, les diversités haplotypiques et nucléotidiques des PS sont plus élevées que celles des SE avec respectivement $Hd=0,588 / \pi=0,0038$ et $Hd=0,489 / \pi=0,0033$. La diversité haplotypique ($Hd=0,528$) est moyenne et la diversité nucléotidiques ($\pi=0,003$) est faible. La moyenne des différences nucléotidiques entre les haplotypes est $K = 3,18$ substitutions pour les échantillons provenant de la Côte d'Ivoire et $K = 2,33$ pour les échantillons provenant des trois pays. Là aussi ces différences ne sont pas significatives en raison de la faiblesse de l'échantillonnage.

Tableau 18 : Indice de diversité génétique pour un fragment du gène Cyt b de l'ADNmt d'échantillons de *H. niloticus* issus de populations sauvages (PS) et des stocks d'élevage (SE) de Côte d'Ivoire, du Cameroun et de Guinée.

	Côte d'Ivoire			Cameroun			Guinée	Total
	PS	SE	Total	PS	SE	Total	SE	
Nombre de séquences	17	36	53	14	5	19	34	106
Nombre d'haplotypes	3	3	4	2	1	2	1	6
Transitions	7	10	11	1	0	1	0	12
Transversions	1	0	1	1	0	1	0	2
Indel	1	1	1	1	0	1	0	1
Sites polymorphiques	9	11	13	3	0	3	0	14
Diversité haplotypique (Hd)	0,588	0,489	0,528	0,143	0	0,105	0	0,559
Diversité nucléotidique (π)	0,0038	0,0033	0,0035	0,0004	0	0,0003	0	0,0022
Différence nucléotidique (K)			3,18			0,21	0	2,33

3.1.3 Segment NADH1

Le séquençage des produits de PCR a permis d'obtenir 1323 pb d'un segment de l'ADNmt contenant un fragment du 16S rRNA (209 pb), la séquence complète de tRNA-Leu (74 pb), la séquence complète de NADH1 (972 pb) et un fragment de tRNA-Ile (68 pb). L'analyse de ce segment de l'ADNmt sur un échantillonnage de 99 individus beaucoup plus restreint que celui

de Cyt b qui en avait 106, a permis d'identifier seulement 2 haplotypes avec les fréquences absolues présentées dans le **Tableau 19**. L'haplotype HpI qui est le plus fréquent est partagé par les trois pays échantillonnés alors que l'haplotype HpII est observé uniquement en Côte d'Ivoire.

Tableau 19 : Fréquences absolues des haplotypes du segment NADH1 d'échantillons de *H. niloticus* collectés dans les populations sauvages (PS) et stocks d'élevage (SE) en Côte d'Ivoire, en Guinée et au Cameroun.

Haplotypes	Côte d'Ivoire			Guinée	Cameroun			Total		
	PS	SE	Total	SE	PS	SE	Total	PS	SE	Total
HpI	8	24	32	24	13	3	16	21	51	72
HpII	11	16	27	0	0	0	0	11	16	27
Total	19	40	59	24	0	3	16	32	67	99

L'alignement des séquences des haplotypes du segment NADH1 présenté en **Annexe 6** met en relief 2 sites polymorphiques sans aucune indel. La composition nucléotidique montre une dominance de A et T (>54%).

Les résultats des indices de diversité présentés dans le **Tableau 20** montrent que les échantillons de la Guinée et du Cameroun avec un seul haplotype identifié ne présentent pas de diversité haplotypique ou nucléotidique.

Pour les échantillons de la Côte d'Ivoire, les diversités haplotypique et nucléotidique des SE sont plus élevées que celles des PS. La diversité haplotypique ($H_d=0,505$) est moyenne et la diversité nucléotidiques ($\pi=0,0008$) est faible. La moyenne des différences nucléotidiques entre les haplotypes est $K = 1,01$ substitutions pour les échantillons provenant de la Côte d'ivoire et $K = 0,80$ pour tous les échantillons

Tableau 20 : Indice de diversité génétique du segment NADH1 de l'ADNmt de *H. niloticus* pour les échantillons issus de populations sauvages (PS) et des stocks d'élevage (SE) de Côte d'Ivoire, du Cameroun et de Guinée.

	Côte d'Ivoire			Cameroun	Guinée	Total
	PS	SE	Total	PS et SE	SE	
Nombre de séquences	40	19	59	16	24	99
Nombre d'haplotypes	2	2	2	1	1	2
Transitions	2	2	2	0	0	2
Transversions	0	0	0	0	0	0
Indel	0	0	0	0	0	0
Sites polymorphiques	2	2	2	0	0	2
Diversité haplotypique (Hd)	0,492	0,515	0,505	0	0	0,401
Diversité nucléotidique (π)	0,0007	0,0008	0,0008	0	0	0,0006
Différence nucléotidique (K)			1,01	0	0	0,80

3.2 Phylogéographie des haplotypes

Les gènes mitochondriaux concaténés ont permis d'identifier quatre haplotypes ; ce qui est inférieur au nombre d'haplotypes du Cyt b qui est de six. Cette faible diversité observée au niveau des gènes concaténés est due au fait qu'à l'issue du séquençage, les séquences de segment NADH1 n'étaient pas disponibles pour les individus ayant les haplotypes Hp2 et Hp3 (gène Cyt b). Ces deux haplotypes ne font pas partie de la matrice de gènes concaténés. Il s'agit donc d'une fausse baisse de la diversité en raison d'un biais d'échantillonnage. Par ailleurs, un haplotype de segment NADH1 est associé à un seul haplotype Cyt b pour former la matrice concaténée (HpA=HpI+Hp1, HpB=HpI+Hp4, HpC=HpII+Hp5 et HpD=HpII+Hp6). Les arbres phylogénétiques des haplotypes de la matrice concaténée et du segment NAD1 (avec 2 haplotypes seulement) ne sont donc pas présentés ici.

L'arbre phylogénétique des séquences des haplotypes du gène Cyt b construit selon la méthode du maximum de vraisemblance avec le modèle *Tamura-Nei* sélectionné selon le critère BIC a été enraciné sur les haplotypes des espèces *A. gigas* et *O. bicirrhosum* (**Figure 40**). Un clade fortement soutenu (bootstrap = 67%) se distingue avec les haplotypes Hp1, Hp2, Hp3 et Hp4 identifiés dans les trois pays échantillonnés. L'haplotype Hp3 est au nœud 56 et l'haplotype Hp4 est au nœud 67. L'haplotype Hp6 est observé uniquement en Côte d'Ivoire avec une longueur de branche plus importante et l'haplotype Hp5 également observé uniquement en Côte d'Ivoire se présente comme un haplotype frère des autres haplotypes.

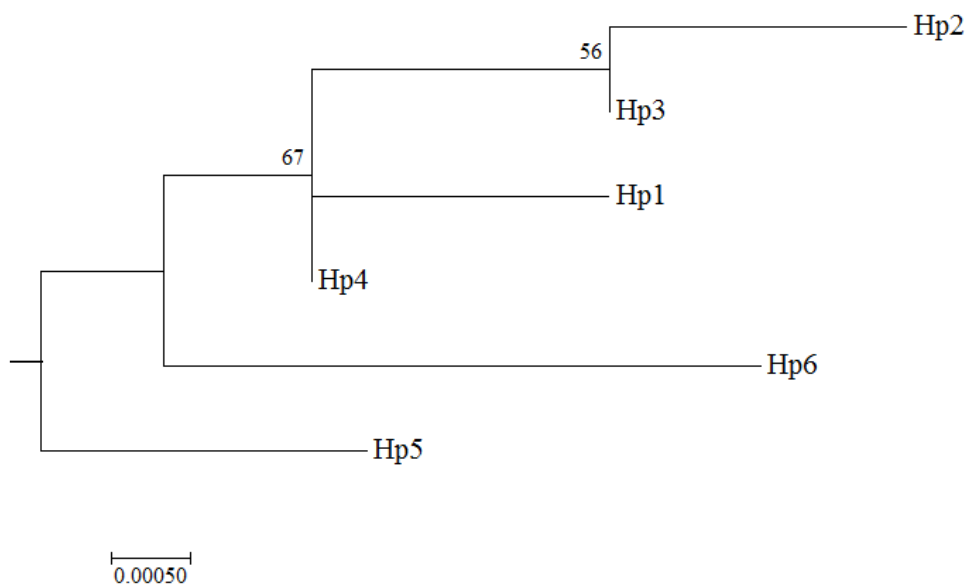


Figure 40 : Arbre phylogénétique des haplotypes du gène Cyt b de *H. niloticus* obtenu avec 2 espèces d'Ostéoglossiformes comme outgroup (*A. gigas* et *O. bicirrhosum*) construit avec Mega 7 en utilisant la méthode du maximum de vraisemblance basée sur le modèle Tamura-Nei (log-likelihood = -1522,84). Les chiffres indiquent la robustesse du bootstrap avec 1 000 répliques et la longueur des branches est mesurée en nombre de substitutions par site.

3.3 Origine géographique des bonytongues de Côte d'Ivoire

Les haplotypes du gène Cyt b des individus échantillonnées au Cameroun, en Côte d'Ivoire et en Guinée (**Figure 41a**) ont permis de construire un réseau d'haplotypes avec le gène Cyt b (**Figure 41b**) qui montre un positionnement de la racine entre mv3 et Hp5 avec à partir de mv3 un clade intégrant les haplotypes du Cameroun Hp3 et Hp4, desquels dérivent respectivement les haplotypes Hp2 de Côte d'Ivoire et Hp1 de Guinée et de Côte d'Ivoire par deux événements mutationnels. Un haplotype a été identifié par zone échantillonnée, sauf pour l'haplotype Hp1 partagé entre la Guinée et la Côte d'Ivoire.

Avec les échantillons de Côte d'Ivoire, le réseau d'haplotypes du gène Cyt b (**Figure 41c**) montre que les PS et SE du BV Comoé hébergent également des haplotypes différents (Hp1 et Hp2 pour les PS et Hp6 pour les SE) qui dérivent d'un ancêtre commun par 1 à 6 mutations. Pour les autres BV, les PS et SE hébergent dans certains cas le même haplotype (Hp1 pour BV Bandama et Hp5 pour BV Sassandra et Bia) et dans d'autres cas des haplotypes différents (Hp1 et Hp5 pour BV Bandama et Sassandra, Hp5 et Hp6 pour BV Bia) qui dérivent d'un ancêtre commun par 3 à 4 mutations.

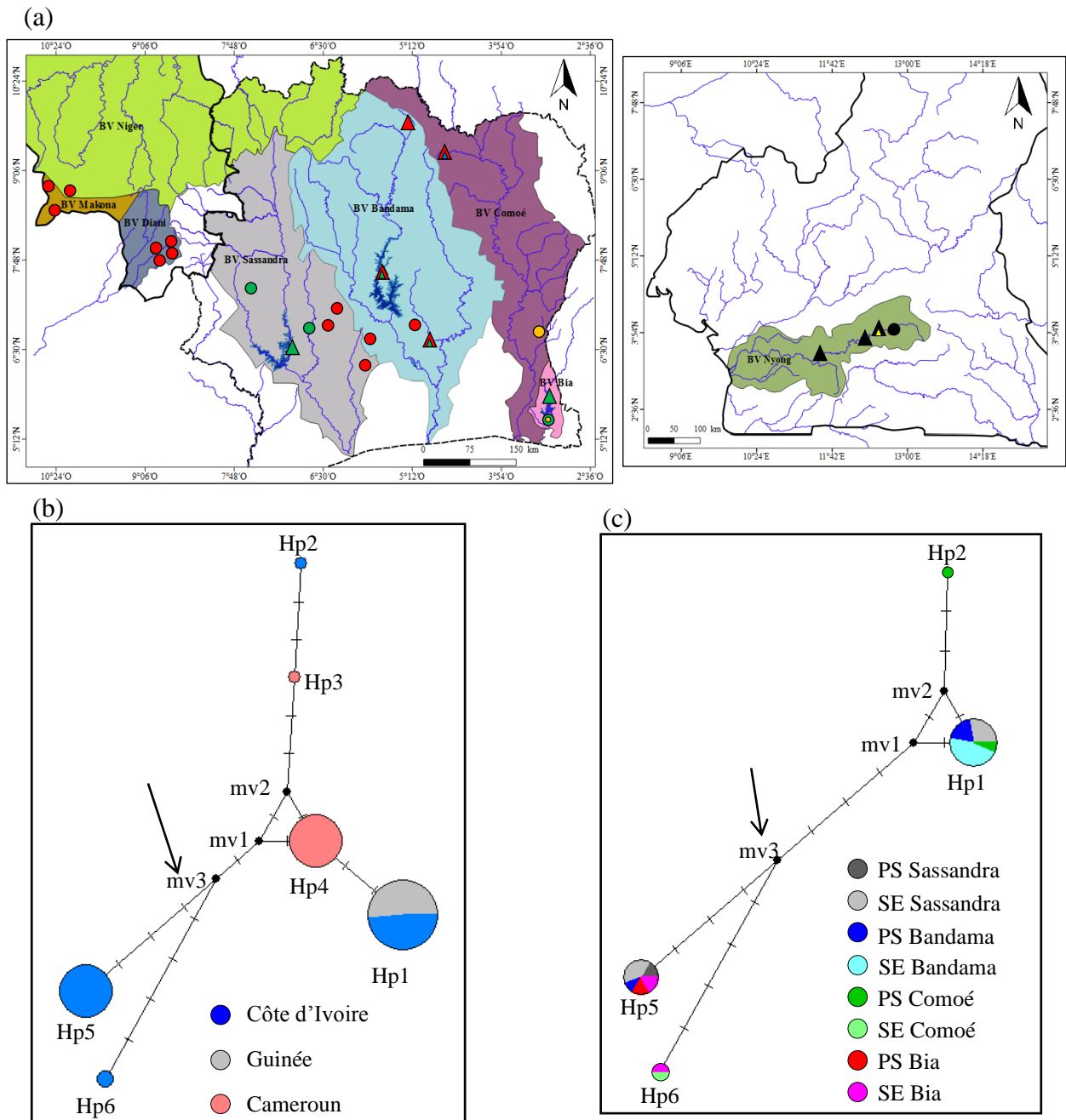


Figure 41 : Carte de distribution des haplotypes (a) des gènes Cyt b de *H. niloticus* échantillonnés dans des bassins versants (BV) de Côte d'Ivoire (BV Sassandra, Bandama, Comoé et Bia), de Guinée (BV Diani, Makona et Niger) et du Cameroun (BV Nyong) et réseau d'haplotypes des échantillons des trois pays (b) et des échantillons de Côte d'Ivoire uniquement selon les populations sauvages (PS) et stocks d'élevage (SE) de quatre bassins versants (c). Sur la carte de distribution des haplotypes, les triangles et les ronds désignent respectivement les haplotypes d'individus collectés au sein de PS et de SE avec l'haplotype Hp1 en rouge, l'haplotype Hp2 en bleu, l'haplotype Hp3 en jaune, l'haplotype Hp4 en noir, l'haplotype Hp5 en vert et l'haplotype Hp6 en orange. L'existence de deux haplotypes sur un site de collecte est indiquée par la juxtaposition de deux couleurs. Sur le réseau d'haplotypes, les vecteurs médians (mv) représentent les ancêtres potentiels. Les flèches indiquent le positionnement de la racine selon l'arbre ML réalisé précédemment. La longueur des segments reliant les haplotypes tient compte du nombre de mutations représentées par les barres transversales. La taille des nœuds est proportionnelle à la fréquence des haplotypes.

3.4 Comparaison de distribution géographique des haplotypes entre populations sauvages et stock d'élevage de la Côte d'Ivoire et du Cameroun

A partir des fréquences absolues des haplotypes de la matrice concaténée, du Cyt b et du segment NADH1 (**Tableau 21**), le test exact de Fisher (**Tableau 22**) n'a pas mis en évidence des différences significatives entre les populations sauvages (PS) et les stocks d'élevage (SE) de la Côte d'Ivoire et entre les PS et SE du Cameroun.

Tableau 21 : Fréquences absolues des haplotypes de la matrice concaténée, du Cyt b et du segment NADH1 d'échantillons de *H. niloticus* collectés au sein de populations sauvages (PS) et de stocks d'élevage (SE) en Côte d'Ivoire et au Cameroun.

		Côte d'Ivoire		Cameroun	
		PS	SE	PS	SE
Matrice concaténée (NADH1 et Cyt b)	HpA	7	8	0	0
	HpB	0	0	7	3
	HpC	0	2	0	0
	HpD	3	10	0	0
Cyt b	Hp1	8	24	0	0
	Hp2	1	0	0	0
	Hp3	0	0	1	0
	Hp4	0	0	13	5
	Hp5	8	10	0	0
	Hp6	0	2	0	0
Segment NADH	HpI	8	24	13	3
	HpII	11	16	0	0

Tableau 22 : Test exact de Fisher entre populations sauvages et stocks d'élevage de *H. niloticus* de Côte d'Ivoire et du Cameroun.

	Matrice concaténée	Cyt b	Segment NADH1
Côte d'Ivoire	0,319	0,164	0,266
Cameroun	1	1	1

L'analyse moléculaire de variance (AMOVA) (**Tableau 23**) révèle tout comme le test exact de Fisher des différences faibles ($F_{st} < 0,05$ et participation à la variance $< 3,31\%$) non significatives entre les PS et SE de *H. niloticus* de la Côte d'Ivoire. L'essentiel de la variation moléculaire est expliqué par la variation entre individus au sein des PS et SE ($> 96\%$) quel que soit le gène considéré.

Pour les échantillons du Cameroun, les résultats de l'AMOVA de la matrice concaténée et du segment NADH1 ne montrent aucune différenciation entre PS et SE et entre individus. Avec le gène Cyt b, les valeurs de F_{st} et de la participation à la variance entre PS et SE sont négatives, indiquant ainsi une absence de structure génétique entre PS et SE.

Tableau 23 : Analyse moléculaire de variance (AMOVA) pour les populations sauvages (PS) et stocks d'élevage (SE) de *H. niloticus* de Côte d'Ivoire et du Cameroun. La p-value du Fst est entre parenthèses.

		Matrice concaténée	Cyt b	Segment NADH1
Côte d'Ivoire	Pourcentage de variation expliquée entre PS et SE	3,31	1,6	2,47
	Pourcentage de variation expliquée au sein des PS et SE	96,69	98,4	97,53
	Fst	0,033	0,016 (0,213)	0,025 (0,254)
Cameroun	Pourcentage de variation expliquée entre PS et SE	0	-9,77	0
	Pourcentage de variation expliquée au sein des PS et SE	0	109,77	0
	Fst	0,000 (1)	-0,098 (1)	0,000 (1)

3.5 Comparaison de distribution des haplotypes entre populations sauvages selon les bassins versants de Côte d'Ivoire

A partir des fréquences absolues des haplotypes de la matrice concaténée, du Cyt b et du segment NADH1 (**Tableau 24**), le test exact de Fisher (**Tableau 25**) a mis en évidence une différence significative au seuil de 5% seulement entre les populations sauvages (PS) des bassins versants (BV) Sassandra et Comoé pour le segment NADH1.

Tableau 24 : Fréquences absolues des haplotypes de la matrice concaténée, du Cyt b et du segment NADH1 d'échantillons de *H. niloticus* collectés au sein de populations sauvages (PS) de quatre bassins versants de Côte d'Ivoire.

		Sassandra	Bandama	Comoé	Bia
Matrice concaténée (NADH1 et Cyt b)	HpA	0	1	2	0
	HpD	3	0	0	4
Cyt b	Hp1	0	6	2	0
	Hp2	0	0	1	0
	Hp5	3	2	0	3
Segment NADH	HpI	0	5	3	0
	HpII	6	3	0	2

Tableau 25 : Test exact de Fisher entre les populations sauvages de *H. niloticus* échantillonnées dans quatre bassins versants de Côte d'Ivoire.

	Matrice concaténée	Cyt b	Segment NADH1
Sassandra / Bandama	0,25	0,061	0,31
Sassandra / Comoé	0,1	0,1	0,012*
Sassandra / Bia	1	1	1
Bandama / Comoé	1	0,321	0,491
Bandama / Bia	0,333	0,061	0,444
Comoé / Bia	0,067	0,1	0,1

* : $P < 0,05$

L'AMOVA présentée dans le **Tableau 26** révèle tout comme le test exact de Fisher une forte différenciation ($F_{st} \sim 0,6$) significative pour le segment NADH1 expliquant $\sim 52\%$ de la variation moléculaire entre PS des BV Sassandra et Comoé. On note aussi une forte différenciation significative ($F_{st} = 1$ et participation à la variance = 100%) entre PS des BV Sassandra et Bandama pour ce même gène. Entre PS des BV Sassandra et Bia et entre PS des BV Bandama et Comoé, les résultats montrent une faible différenciation non significative avec des valeurs de F_{st} égales ou proches de 0 et une participation à la variance $< 9,77\%$. Entre les autres BV, on observe une forte différenciation ($F_{st} > 0,25$) expliquant l'essentiel de la variation moléculaire entre leurs PS sauf pour les BV Bandama et Bia où le segment NADH1 montre que l'essentiel de variation moléculaire est observé au sein des individus ($\sim 66\%$).

Tableau 26 : Analyse moléculaire de variance (AMOVA) pour l'ensemble des individus échantillonnés dans les populations sauvages (PS) de *H. niloticus* de quatre bassins versants de Côte d'Ivoire. La p-value du Fst est entre parenthèses.

		Matrice concaténée	Cyt b	Segment NADH1
Sassandra / Bandama	Pourcentage de variation expliquée entre PS	100	59,32	52,48
	Pourcentage de variation expliquée au sein des PS	0	40,68	47,52
	Fst	1 (0,233)	0,593 (0,070)	0,524 (0,027*)
Sassandra / Comoé	Pourcentage de variation expliquée entre PS	100	86,96	100
	Pourcentage de variation expliquée au sein des PS	0	13,04	0
	Fst	1 (0,099)	0,87 (0,092)	1 (0,017*)
Sassandra / Bia	Pourcentage de variation expliquée entre PS	0	0	0
	Pourcentage de variation expliquée au sein des PS	0	0	0
	Fst	0 (1)	0 (1)	0 (1)
Bandama / Comoé	Pourcentage de variation expliquée entre PS	0	1,8	9,77
	Pourcentage de variation expliquée au sein des PS	0	98,2	90,23
	Fst	0 (1)	0,018 (0,327)	0,098 (0,472)
Bandama / Bia	Pourcentage de variation expliquée entre PS	100	59,32	34,25
	Pourcentage de variation expliquée au sein des PS	0	40,68	65,75
	Fst	1 (0,196)	0,593 (0,065)	0,342 (0,459)
Comoé / Bia	Pourcentage de variation expliquée entre PS	100	86,96	100
	Pourcentage de variation expliquée au sein des PS	0	13,04	0
	Fst	1 (0,059)	0,87 (0,096)	1 (0,099)

* : P<0,05

3.6 Comparaison de distribution des haplotypes entre stocks d'élevage selon les piscicultures de Côte d'Ivoire

A partir des fréquences absolues des haplotypes de la matrice concaténée, du Cyt b et du segment NADH1 (**Tableau 27**), le test exact de Fisher (**Tableau 28**) n'a pas mis en évidence des différences significatives entre les stocks d'élevage (SE) des bassins versants (BV) Sassandra / Comoé et Comoé / Bia quels que soient les gènes considérés. Entre les BV Sassandra / Bandama et Bandama / Bia, les différences sont significatives pour tous les gènes considérés. Entre les BV Sassandra / Bia et Bandama / Comoé, les différences significatives se situent respectivement au niveau du Cyt b et du segment NADH1.

Tableau 27 : Fréquences absolues des haplotypes de la matrice concaténée, du Cyt b et du segment NADH1 d'échantillons de *H. niloticus* collectés au sein des stocks d'élevage de quatre bassins versants de Côte d'Ivoire.

		Sassandra	Bandama	Comoé	Bia
Matrice concaténée (NADH1 et Cyt b)	HpA	0	6	0	0
	HpC	0	0	1	1
	HpD	7	0	0	1
Cyt b	Hp1	9	15	0	0
	Hp5	7	0	0	3
	Hp6	0	0	1	1
Segment NADH	HpI	10	13	1	0
	HpII	8	0	4	4

Tableau 28 : Test exact de Fisher entre stocks d'élevage de *H. niloticus* échantillonnées dans quatre bassins versants de Côte d'Ivoire.

	Matrice concaténée	Cyt b	Segment NADH1
Sassandra / Bandama	0,000***	0,007**	0,009**
Sassandra / Comoé	0,125	0,059	0,317
Sassandra / Bia	0,222	0,042*	0,096
Bandama / Comoé	0,143	0,063	0,002**
Bandama / Bia	0,036*	0,000***	0,000***
Comoé / Bia	1	0,4	1

* : P<0,05 ; ** : P<0,01 ; *** : P<0,001

Les résultats de l'AMOVA présentés dans le **Tableau 29** montrent que seules les différenciations entre SE du BV Bandama et les autres BV sont significatives pour au moins l'un des gènes considérés conformément au test exact de Fisher. L'AMOVA n'a pas mis en évidence de différence significative entre SE des BV Sassandra et Bia contrairement au test exact de Fisher. Les valeurs de Fst montrent une forte différenciation ($F_{st} > 0,25$) pour au moins l'un des gènes considérés quels que soient les SE des BV comparés. La variation entre individus au sein des SE du BV Sassandra et des autres BV est essentiellement à la base des différenciations moléculaires. Quant aux BV Bandama / Comoé et Bandama / Bia, la différenciation est expliquée essentiellement par la variation entre SE. Les valeurs négatives du Fst et de la participation à la variance entre SE des BV Comoé et Bia pour les gènes concaténés et le segment NADH1 indiquent une absence de structure génétique.

Tableau 29 : Analyse moléculaire de variance (AMOVA) pour l'ensemble des individus échantillonnés dans les stocks d'élevage de *H. niloticus* de quatre bassins versants de Côte d'Ivoire. La p-value du Fst est entre parenthèses.

		Matrice concaténée	Cyt b	Segment NADH1
Sassandra / Bandama	Pourcentage de variation expliquée entre SE	51,56	39,03	36,64
	Pourcentage de variation expliquée au sein des SE	48,44	60,97	63,36
	Fst	0,516 (0,036*)	0,391 (0,005**)	0,366 (0,006**)
Sassandra / Comoé	Pourcentage de variation expliquée entre SE	43,37	51,4	11,14
	Pourcentage de variation expliquée au sein des SE	56,63	48,6	88,86
	Fst	0,433 (0,092)	0,514 (0,053)	0,111 (0,309)
Sassandra / Bia	Pourcentage de variation expliquée entre SE	8,23	25,36	35,14
	Pourcentage de variation expliquée au sein des SE	91,77	74,64	64,86
	Fst	0,082 (0,238)	0,254 (0,109)	0,351 (0,109)
Bandama / Comoé	Pourcentage de variation expliquée entre SE	100	100	86,23
	Pourcentage de variation expliquée au sein des SE	0	0	13,77
	Fst	1 (0,141)	1 (0,070)	0,862 (0,000***)
Bandama / Bia	Pourcentage de variation expliquée entre SE	86,32	90,43	100
	Pourcentage de variation expliquée au sein des SE	13,68	9,57	0
	Fst	0,863 (0,026*)	0,904 (0,000***)	1 (0,000***)
Comoé / Bia	Pourcentage de variation expliquée entre SE	-100	33,33	-5,26
	Pourcentage de variation expliquée au sein des SE	200	66,67	105,26
	Fst	-1 (1)	0,333 (0,424)	-0,053 (1)

* : P<0,05 ; ** : P<0,01 ; *** : P<0,001

3.7 Lien entre piscicultures et populations sauvages d'un même bassin versant

A partir des fréquences absolues des haplotypes de la matrice concaténée, du Cyt b et du segment NADH1 (**Tableau 30**), le test exact de Fisher (**Tableau 31**) n'a pas mis en évidence de différences significatives entre les PS et SE des différents BV pour les gènes concaténés et Cyt b. Pour le segment NADH1, seuls les BV Sassandra et Bandama présentent des différences significatives.

Tableau 30 : Fréquences absolues des haplotypes de la matrice concaténée, du Cyt b et du segment NADH1 d'échantillons de *H. niloticus* collectés au sein des populations sauvages (PS) et stocks d'élevage (SE) de quatre bassins versants de Côte d'Ivoire.

		Sassandra		Bandama		Comoé		Bia	
		PS	SE	PS	SE	PS	SE	PS	SE
Matrice concaténée (NADH1 et Cyt b)	HpA	0	0	1	6	2	0	0	0
	HpC	0	0	0	0	0	1	0	1
	HpD	3	7	0	0	0	0	4	1
Cyt b	Hp1	0	9	6	15	2	0	0	0
	Hp2	0	0	0	0	1	0	0	0
	Hp5	3	7	2	0	0	0	3	3
	Hp6	0	0	0	0	0	1	0	1
Segment NADH	HpI	0	10	5	13	3	1	0	0
	HpII	6	8	3	0	0	4	2	4

Tableau 31 : Test exact de Fisher entre les populations sauvages et stocks d'élevage de *H. niloticus* d'un même bassin versant de Côte d'Ivoire.

	Matrice concaténée	Cyt b	Segment NADH1
Sassandra	1	0,211	0,024*
Bandama	1	0,111	0,042*
Comoé	0,333	0,5	0,143
Bia	0,333	1	1

* : P<0,05

L'AMOVA présentée dans le **Tableau 32** montre tout comme le test Exact de Fisher des différenciations fortes ($F_{st} > 0,25$) significatives pour le segment NADH1 expliquant plus de 60% de variation entre individus au sein des PS et SE des BV Sassandra et Bandama. Seul le BV Comoé présente une différenciation basée essentiellement sur la variation moléculaire entre PS et SE. Les valeurs négatives de F_{st} et de la participation de la variance entre PS et SE du BV Bia pour le gène Cyt b indiquent une absence de structure génétique.

Tableau 32 : Analyse moléculaire de variance (AMOVA) pour l'ensemble des individus échantillonnés dans les populations sauvages et stocks d'élevage de *H. niloticus* dans un même bassin versant de Côte d'Ivoire. La p-value du F_{st} est entre parenthèses.

		Matrice Concaténée	Cyt b	Segment NADH1
Sassandra	Pourcentage de variation expliquée entre PS et SE	9,06	32,67	39,5
	Pourcentage de variation expliquée au sein des PS et SE	90,94	67,33	60,5
	F_{st}	0,09	0,327 (0,203)	0,395 (0,048*)
Bandama	Pourcentage de variation expliquée entre PS et SE	0	25,47	37,95
	Pourcentage de variation expliquée au sein des PS et SE	0	74,53	62,05
	F_{st}	0 (1)	0,255 (0,113)	0,379 (0,042*)
Comoé	Pourcentage de variation expliquée entre PS et SE	100	76,92	68,09
	Pourcentage variation expliquée au sein des PS et SE	0	23,08	31,91
	F_{st}	1 (0,312)	0,769 (0,252)	0,681 (0,129)
Bia	Pourcentage de variation expliquée entre PS et SE	38,48	-9,09	0
	Pourcentage de variation expliquée au sein des PS et SE	61,54	109,09	0
	F_{st}	0,384	-0,09 (1)	0 (1)

* : $P < 0,05$

3.8 Discussion et conclusion

Pour la première fois, une l'exquise d'analyse de la ressource génétique *Heterotis* a été réalisée en Côte d'Ivoire à partir de l'analyse de séquences de gènes mitochondriaux. Cette étude s'est intéressée aux échantillons de populations sauvages introduites (PS) et de stocks d'élevage (SE) de ce pays mais également des échantillons provenant de la zone d'introduction de deux autres pays (Guinée et Cameroun).

Le séquençage des produits de PCR a permis d'identifier pour le fragment de gène Cyt b et le segment NADH1 (16S rRNA, tRNA-Leu, NADH1, tRNA-Ile) de *H. niloticus* respectivement 6 et 2 haplotypes. Les poissons échantillonnés ont une diversité haplotypique moyenne ($0,401 < Hd < 0,595$) et une diversité nucléotidique faible ($0,0006 < \pi < 0,0022$) avec 2 et 14 sites polymorphiques respectivement pour le segment NADH1 et le Cyt b. La plupart des PS et SE avec un seul haplotype identifié ne présentent pas de diversité haplotypique ou nucléotidique. Cette absence de variation entre les séquences de plusieurs individus a été également observée pour le gène NADH1 chez des PS de *Salmo trutta caspius* (Rezaei, 2015) et pour le gène Cyt b chez des PS de *O. ferreirai* (Olivares et al., 2013). Cependant, une étude réalisée par Hrbek et al. (2005) a permis d'identifier chez *A. gigas* 25 haplotypes séparés par 27 sites polymorphiques avec le gène NADH1 comme marqueur tandis que chez *Acanthurus tractus*, une étude a permis d'observer jusqu'à 61 haplotypes pour le gène Cyt b (Castellanos-Gell et al., 2012). La faible variation de séquences du Cyt b et du segment NADH1 des *Heterotis* étudiés pourrait être liée à un échantillon trop réduit et peu significatifs des zones géographiques où l'espèce est présente (Hurtado et al., 2013). On ne peut pas néanmoins exclure que le petit nombre de reproducteurs utilisés (en moyenne 4) ait contribué à réduire la variation génétique des populations introduites dans les piscicultures et les cours d'eau (Shen et al., 2009).

Le réseau d'haplotype construit par la méthode de « median joining » montre que les haplotypes du Cameroun sont en position centrale, donc au plus près de l'ancêtre commun, avec ensuite les haplotypes de Côte d'Ivoire dérivés de 1 à 6 mutations de l'ancêtre commun. En effet, les haplotypes Hp1 et Hp2 du Cyt b dérivent respectivement des haplotypes Hp4 et Hp3 du Cameroun par 2 évènements mutationnels chacun. Ce lien peut être expliqué par l'introduction de *H. niloticus* en Côte d'Ivoire de 1957 à 1959 à partir d'alevins provenant d'une pisciculture située dans le BV du Nyong du Cameroun (Lazard, 1990 ; Reizer, 1964),

elle-même ayant été alimentée par des géniteurs prélevés sur l'aire de distribution de populations natives d'*Heterotis* (au nord du Cameroun). Ces résultats confortent l'histoire de la dispersion de l'espèce par l'homme à partir des bassins du nord du Cameroun, avec la mise en évidence de lignées génétiques de poissons présents en Côte d'Ivoire qui pourraient être originaires du Cameroun. Il manque cependant la preuve incontestable du partage de même haplotype entre le Cameroun et la Côte d'Ivoire.

La faiblesse de l'échantillonnage ne permet pas de discuter des différenciations de diversité haplotypique et nucléotidique. En revanche, considérant la distribution géographique des échantillons, les *Heterotis* de Côte d'Ivoire partagent plus d'haplotypes avec ceux de Guinée que ceux du Cameroun, contrairement à ce que laissait supposer l'histoire des translocations de cette espèce qui aurait sa source d'approvisionnement au Cameroun. De plus, des haplotypes ont été identifiés uniquement en Côte d'Ivoire sans lien direct avec ceux du Cameroun. Il s'agit des haplotypes HpC et HpD des gènes mitochondriaux concaténés et les haplotypes Hp5 et Hp6 du Cyt b. Cela pourrait suggérer que le trop faible échantillonnage réalisé au Cameroun n'a pas permis d'observer ces haplotypes dans ce pays ou que les *Heterotis* de Côte d'Ivoire sont d'origine géographique multiple. En effet, en 1960, des alevins provenant de la localité de Bérégadougou (Burkina Faso) sont venus compléter ceux du Cameroun arrivés quelques années plutôt. Il est donc possible qu'ils aient une « origine burkinabé ». De plus, ces haplotypes spécifiques de Côte d'Ivoire dans notre échantillonnage ont été identifiés dans des bassins versants (Sassandra, Comoé et Bia) dont les cours d'eau principaux prennent leur source dans les pays limitrophes de la Côte d'Ivoire (Guinée, Burkina Faso et Ghana) appartenant à la zone de distribution native de l'espèce.

La comparaison de distribution des haplotypes selon les fréquences (test exact de Fisher) et les divergences nucléotidiques (statistique F_{st} et AMOVA) n'a pas mis en évidence des différences significatives entre les poissons sauvages et de pisciculture de Côte d'Ivoire d'une part et entre ceux du Cameroun d'autre part. En considérant les échantillons de Côte d'Ivoire par bassin versant, les valeurs de F_{st} et le test exact de Fisher ont montré généralement des différences non significatives entre PS et SE. L'AMOVA indique en dehors du BV Comoé, une variation génétique faible entre PS et SE des autres BV. Ces résultats montrent que génétiquement dans un même bassin versant, la plupart des SE sont assez proches des PS. Pour les échantillons étudiés, certains poissons d'élevage pourraient donc provenir des populations sauvages prélevées dans les cours d'eau environnants et vis-versa. Cela confirme des informations rapportées par certains pisciculteurs sur la provenance des poissons élevés. Dans

d'autres cas certaines fermes achètent les alevins à d'autres pisciculteurs tandis que d'autres produisent leurs propres alevins. Chez plusieurs espèces comme *A. gigas* (Santos et al., 2014), *Brycon amazonicus* (Oliveira et al., 2017), *Gadus morhua* (Glover et al., 2011) et *Acanthopagrus schlegelii* (An et al., 2010), la statistique F_{st} a mis en évidence une faible différenciation génétique significative entre poissons d'aquaculture et poissons sauvages. Les populations sauvages représentent la principale source de variabilité génétique pour les stocks aquacoles (Alarcón et al., 2004) et de ce fait les efforts de sélection de poissons sauvages pour l'aquaculture entraîne le plus souvent une perte de diversité (An et al., 2010). Ainsi, pour l'espèce d'Ostéoglossiformes *H. niloticus* qui est en cours de domestication, si la faible variabilité génétique observée au sein des populations sauvages en Côte d'Ivoire est confirmée par un échantillonnage plus important, cela serait un handicap pour constituer une variance génétique additive afin d'améliorer les traits de vie des poissons d'élevage (Alarcón et al., 2004).

La comparaison des haplotypes des PS n'a pas mis en évidence des différences significatives entre les BV de Côte d'Ivoire excepté pour le segment NADH1 entre PS du BV Sassandra et les BV Bandama et Comoé. A travers une étude réalisée par Hurtado et al. (2013) au Bénin, les valeurs de F_{st} ont montré une différenciation significative entre PS de *H. niloticus* de trois bassins versants. Contrairement aux poissons sauvages, la statistique F_{st} a mis en évidence une forte différenciation significative entre les SE du BV Bandama et les autres BV. Le test exact de Fisher montre en plus une différence significative entre les SE des BV Sassandra et Bia pour le gène Cyt b uniquement. Chez une espèce de morue (Glover et al., 2010) et le poisson amazonien *Brycon amazonicus* (Oliveira et al., 2017), une différenciation génétique significative entre stocks d'élevage a été observée. Sur la base des niveaux de différenciation élevée et significative qui ont été observés entre certains BV de Côte d'Ivoire et la présence d'haplotypes rares, les PS et SE de *H. niloticus* de chaque BV concernés pourraient être considérés comme des unités de gestion et de conservation différentes (Hurtado et al., 2013). Ces informations doivent être prises en compte dans la politique de gestion de *H. niloticus* en Côte d'Ivoire, car la variabilité génétique est nécessaire pour la domestication et l'amélioration génétique (Alarcón et al., 2004).

Au regard des résultats obtenus dans cette étude, il existe un besoin de mieux connaître et préserver la ressource génétique *Heterotis* en Côte d'Ivoire. Des analyses génétiques étendues, comprenant un échantillon plus important des BV et des zones de distribution natives, sont nécessaires pour établir si la faible diversité génétique est une caractéristique de *H. niloticus*

en Côte d'Ivoire et dans d'autres pays de sa zone de distribution (Hurtado et al., 2013). L'identification d'actions permettant de maintenir des populations variables et génétiquement viables (Boettcher et al., 2010 ; Santos et al., 2014) mérite d'être considérée. Il est aussi possible d'envisager de poursuivre cette étude en utilisant les microsatellites pour lesquels des panels ont été déjà définis pour *H. niloticus* car leur combinaison avec l'ADN mitochondrial offrirait des informations complémentaires sur l'histoire et la démographie des populations. En plus, l'emploi de la coalescence a montré l'importance d'associer l'ADNmt à d'autres marqueurs moléculaires (Castellanos-Gell, 2012).

Quatrième partie

La vitellogenèse et sa régulation chez *H. niloticus* et *A. gigas* : Identification et caractérisation structurale des acteurs moléculaires

1. Introduction

H. niloticus et *A. gigas* sont d'excellents candidats pour la pisciculture en raison de leurs performances zootechniques et de leurs particularités anatomiques (Reizer, 1964 ; Santos et al., 2014; Schaefer et al., 2012). Cependant, ces deux espèces d'Ostéoglossiformes ne présentent pas de dimorphisme sexuel (Chu-Koo et al., 2009 ; Dugué et al., 2008 ; Carreiro et al., 2011 ; Oladosu et al., 2007) et leur reproduction en captivité demeure un défi majeur.

Leurs fonctions de reproduction (y compris la vitellogenèse et sa régulation) sont contrôlées par l'axe hypothalamo-hypophyso-gonadique comme chez la plupart des vertébrés (Maruska & Fernald, 2011 ; Takahashi et al., 2016). Ainsi, sous l'effet de stimuli sensoriels tels que les facteurs environnementaux (Plant, 2015 ; Yang et al., 2017) et sociaux (K. P. Maruska & Fernald, 2011), les gonadolibérines (GnRH) produites dans le cerveau stimulent au niveau de l'hypophyse l'expression et la synthèse de neurohormones telles que la prolactine (PRL), l'hormone lutéinisante (LH) et l'hormone folliculo-stimulante (FSH) (Zohar et al., 2010). La 17 β -estradiol (E2), signalée par l'intermédiaire de récepteurs œstrogéniques intracellulaires (ERs), est synthétisée par les cellules folliculaires des ovocytes sous le contrôle de la FSH (Hara et al., 2016 ; Norris & Lopez, 2011). L'E2 est la principale hormone stéroïdienne sexuelle qui stimule, chez les femelles, l'ovogenèse et la synthèse de la vitellogénine (Vtg) par le foie (Hara et al., 2016 ; Nelson & Habibi, 2013). La Vtg est une phospholipoglycoprotéine précurseur des protéines vitellines qui s'accumulent au cours de la vitellogenèse dans les ovocytes des femelles de presque toutes les espèces ovipares, y compris les poissons, les amphibiens, les reptiles, les oiseaux, la plupart des invertébrés et l'ornithorynque (Wallace et al., 1990 ; Zhang et al., 2015). Transportée par le sang, la Vtg est incorporée dans les ovocytes par endocytose médiée grâce à des récepteurs (VtgR) intégrés à la membrane des ovocytes (Dominguez & al., 2014; Le Menn, 1979; Mañanós&al., 2007; Stifani&al., 1990).

Certains acteurs moléculaires (PRL, LH et FSH) ont déjà été documentés chez *A. gigas* (Borella et al., 2009 ; Faria et al., 2013 ; Marcos & Adalberto, 2015 ; Sevilhano et al., 2017) alors que chez *H. niloticus*, aucune donnée n'est encore disponible sur la vitellogenèse.

On note également que la proximité phylogénétique de *H. niloticus* et *A. gigas*, soulignée par de nombreux auteurs (Betancur-R et al., 2017 ; Guo-Qing & Wilson, 1996 ; Hilton, 2001, 2003 ; Lavoué, 2016 ; Lavoué & Sullivan, 2004 ; Nelson, 1968, 1969) ne prend pas encore en compte

les marqueurs moléculaires liés à la reproduction. Elle est actuellement basée sur l'analyse de caractères squelettiques, la dentition, la structure des arcs branchiaux, les os infra orbitaux, les approches bayésiennes de données morphologiques, de fossiles et de marqueurs moléculaires mitochondriaux.

Cette étude vise donc à identifier et caractériser chez *H. niloticus* la ou les Vtg et leur récepteur ovarien, les hormones hypophysaires et leurs récepteurs ainsi que les récepteurs à l'E2, et à tester une méthode de sexage d'individus matures à partir de la Vtg dans le mucus et le sang. Chez *A. gigas*, il s'agit de rechercher les données moléculaires non encore décrites. La proximité phylogénétique des deux espèces est également analysée à partir des molécules ou leurs séquences identifiées dans cette étude.

2. Démarche expérimentale

Pour identifier et caractériser les acteurs impliqués dans la vitellogénèse et sa régulation chez les deux espèces d'Ostéoglossiformes, *H. niloticus* et *A. gigas*, une combinaison d'approches a été utilisée : transcriptomique et protéomique (**Figure 42**).

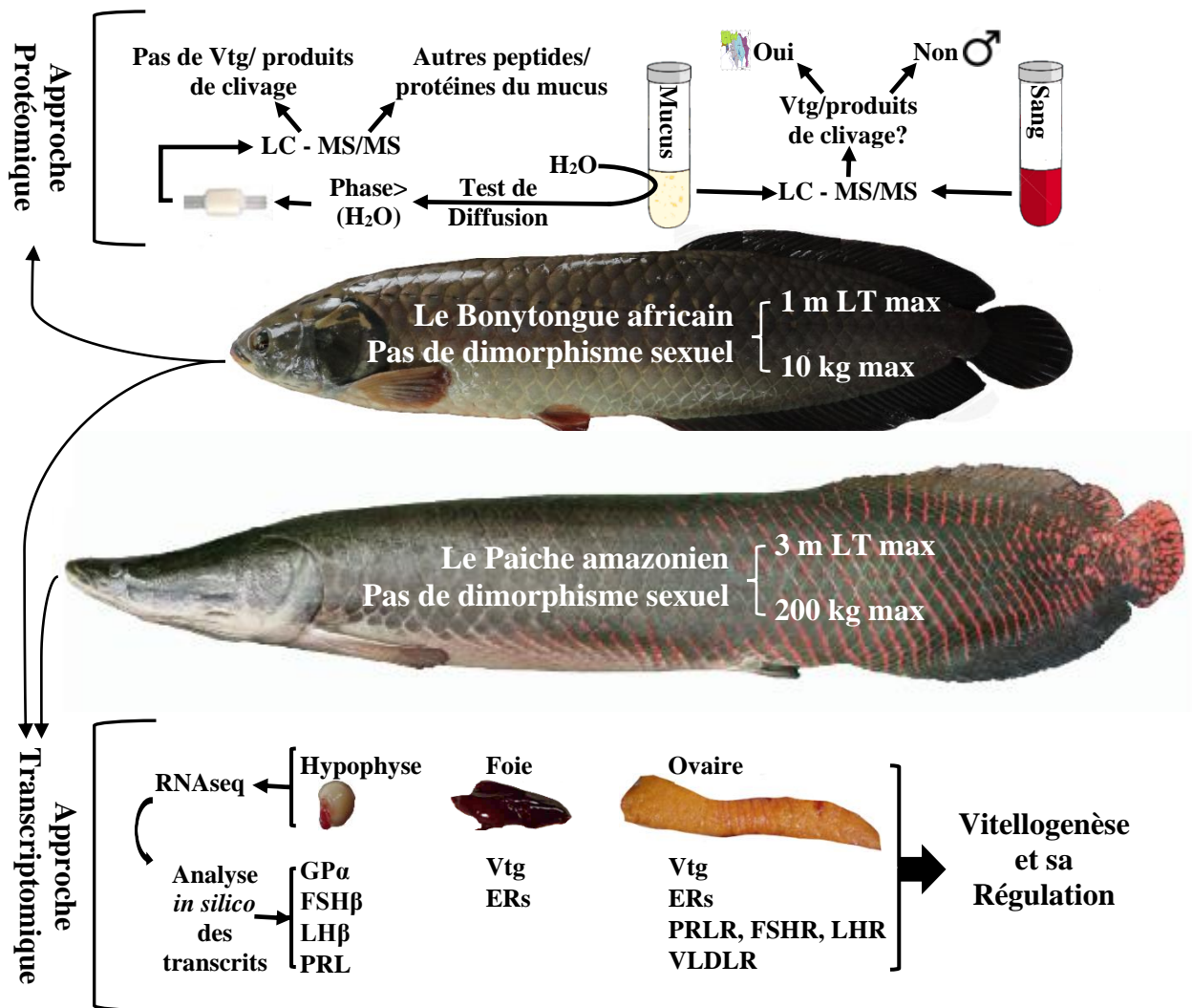


Figure 42 : Approche mise en œuvre pour caractériser les acteurs impliqués dans la vitellogénèse et sa régulation chez *H. niloticus* et *A. gigas*. Une approche protéomique réalisée uniquement chez *H. niloticus* permet de tester la capacité de la Vtg du mucus à diffuser dans le milieu aqueux et d'autre part d'utiliser la Vtg circulante et celle présente dans le mucus comme biomarqueur de sexage.

2.1 Approche transcriptomique

L'objectif de l'approche transcriptomique est d'identifier et caractériser les gènes exprimés dans le foie, l'ovaire et l'hypophyse de femelles matures, qui sont impliqués dans la vitellogenèse et sa régulation.

Après avoir prélevé les tissus et extrait les ARNm, l'étude transcriptomique comprend principalement :

- le séquençage en RNAseq réalisée par un séquenceur Illumina ;
- l'analyse bioinformatique qui a permis d'obtenir des banques de données transcriptomiques (transcrits de gènes) du foie, de l'ovaire et de l'hypophyse avec des annotations fonctionnelles ou non ;
- l'analyse *in silico* des transcrits avec des outils web et le logiciel Peptraq pour identifier et caractériser les gènes cibles dans les tissus échantillonnés.

2.2 Approche protéomique

L'approche protéomique a concerné uniquement *H. niloticus* pour lequel aucune méthode de sexage n'est encore disponible. Ainsi, la possibilité d'utiliser la Vtg du sang et du mucus comme biomarqueur de sexage a été testée. La Vtg ou ses produits de clivage ont été recherchés par spectrométrie de masse dans des extraits protéiques de sang et de mucus. Une approche fonctionnelle visant à vérifier la capacité de la Vtg du mucus à diffuser dans l'eau pour constituer un éventuel signal chimique pour les mâles a également été testée.

3. Les acteurs impliqués dans la vitellogenèse et sa régulation chez *Heterotis niloticus*

L'étude menée sur les acteurs impliqués dans la vitellogenèse et sa régulation chez *H. niloticus* a fait l'objet d'un article en cours de publication intitulé « Identification et caractérisation structurale des acteurs impliqués dans la vitellogenèse et sa régulation chez l'Ostéoglossiformes d'intérêt aquacole, *Heterotis niloticus* (Cuvier, 1829) ».

Ces travaux s'appuient sur l'utilisation d'une approche RNAseq de novo qui a permis la création de 3 transcriptomes : hypophyse, ovaire et foie de femelles en vitellogenèse. Ces transcriptomes ont été analysés *in silico* afin d'identifier :

- Des hormones hypophysaires telles que la prolactine (PRL), l'hormone lutéinisante (LH) et l'hormone folliculo-stimulante (FSH) ainsi que leurs récepteurs ovariens (PRLR, FSHR, LHR) ;
- quatre récepteurs œstrogéniques beta ($ER\beta$) issus d'un épissage alternatif et un récepteur gamma ($ER\gamma$) au niveau du foie et de l'ovaire ;
- les vitellogénines hépatiques (deux VtgB et une VtgC issues d'un épissage alternatif) et leurs récepteurs ovariens (VLDLR) ;
- un transcrit partiel d'une Vtg ovarienne.

Une approche protéomique réalisée à partir du mucus de *H. niloticus* révèle :

- la présence de l'une des Vtg exclusivement chez les femelles en vitellogenèse qui pourra donc être utilisée comme biomarqueur de sexage ;
- la non diffusion de la Vtg ou de ses produits de clivage dans le milieu aquatique pour jouer un rôle dans l'attraction chimique des mâles pour la formation des couples ayant été suspectés.

Identification et caractérisation structurale des acteurs impliqués dans la vitellogenèse et sa régulation chez l'Ostéoglossiformes africain d'intérêt aquacole, *Heterotis niloticus* (Cuvier, 1829)

N'Zi Daniel Koua, Jésus Núñez-Rodríguez, Julie Orjuela, Céline Zatylny-Gaudin, Marie-Pierre Dubos, Benoît Bernay, Julien Pontin, Erwan Corre et Joël Henry

RESUME

Le bonytongue africain, *Heterotis niloticus*, est un excellent candidat pour la pisciculture en raison de ses particularités biologiques et de ses performances zootechniques. Cependant, l'absence de dimorphisme sexuel ne favorise pas sa reproduction en captivité et la compréhension de son comportement reproducteur. De plus, aucune donnée moléculaire liée à sa reproduction n'est encore disponible. Cette étude porte donc sur l'identification structurale des différents acteurs moléculaires de la vitellogenèse exprimés par l'hypophyse, le foie et l'ovaire chez *H. niloticus*. Une approche transcriptomique basée sur un séquençage en RNAseq *de novo* de l'hypophyse, de l'ovaire et du foie de femelle en vitellogenèse a permis de créer trois transcriptomes. L'analyse *in silico* de ces transcriptomes a permis d'identifier la séquence des hormones hypophysaires telles que la prolactine (PRL), l'hormone lutéinisante (LH) et l'hormone folliculo-stimulante (FSH) ainsi que leurs récepteurs ovariens (PRLR, FSHR, LHR). Au niveau du foie et de l'ovaire, ce sont les récepteurs œstrogéniques (ER) beta et gamma, les vitellogénines hépatiques (VtgB et VtgC) et leurs récepteurs ovariens (VLDLR) qui ont été identifiés. Enfin le transcrite partiel d'une Vtg ovarienne, Vtg faiblement exprimée par rapport aux Vtg hépatiques, a été identifié sur des critères structuraux. Par ailleurs, une approche protéomique réalisée à partir du mucus a révélé la présence de l'une des Vtg exclusivement chez les femelles en vitellogenèse. Chez ce poisson téléostéen qui ne présente pas de dimorphisme sexuel, la Vtg du mucus pourrait être utilisée comme biomarqueur de sexage détectable par une technique non invasive, compatible avec la mise en œuvre de protocoles expérimentaux *in vivo*. Par contre, l'hypothèse de l'implication de la Vtg du mucus ou de ses produits de clivage, lipovitellines, phosvitine, domaines beta et C-terminal, comme signaux chimiques à destination des mâles permettant ainsi la formation de couples a pu être écartée puisque nous avons démontré expérimentalement que ces protéines ne diffusaient pas dans le milieu aquatique à des niveaux détectables et ne pouvaient donc sans doute à ce titre jouer un rôle dans l'attraction chimique du mâle.

Mots clés : *Heterotis niloticus*, Reproduction, Vitellogénine, Neurohormones, Hypophyse, Récepteurs à l'estradiol, Transcriptomes, Protéome.

1. INTRODUCTION

Chez les poissons téléostéens, comme chez tous les vertébrés, les fonctions de reproduction, depuis la gamétogenèse jusqu'au comportement sexuel lors de la formation des couples, sont pour la plupart contrôlées par l'axe hypothalamo-hypophyso-gonadique (Maruska & Fernald, 2011; Takahashi et al., 2016). Sous l'effet de stimuli sensoriels tels que les facteurs environnementaux (Plant, 2015 ; Yang et al., 2017) et sociaux (K. P. Maruska & Fernald, 2011), les gonadolibérines (GnRH) produites par le cerveau stimulent au niveau de l'hypophyse la synthèse de neurohormones telles que la prolactine (PRL), l'hormone lutéinisante (LH) et l'hormone folliculo-stimulante (FSH) (Zohar et al., 2010). La PRL participe à la régulation de plusieurs processus physiologiques incluant la croissance, la reproduction et l'osmorégulation (Bu et al., 2015 ; Freeman et al., 2000 ; Manzon, 2002 ; Whittington & Wilson, 2013). La LH et la FSH stimulent la production de stéroïdes qui jouent un rôle dans la différenciation sexuelle en régulant le développement des gonades des deux sexes, le cycle reproducteur (gamétogenèse, caractères sexuels secondaires, comportement sexuel) et la croissance (Devlin & Nagahama, 2002 ; Taranger et al., 2010 ; Zohar et al., 2010). Ces gonadotropines (GTHs) sont utilisées en aquaculture comme inducteurs pour améliorer la reproduction de certaines espèces de poissons (Mehdi & Ehsan, 2013 ; Mylonas et al., 2010). Le 17 β -estradiol (E2), synthétisé par les cellules folliculaires des ovocytes sous le contrôle de la FSH (Hara et al., 2016 ; Norris & Lopez, 2011), est la principale hormone sexuelle qui stimule, chez les femelles, l'ovogenèse et la synthèse de la vitellogénine (Vtg) par le foie (Hara et al., 2016 ; Nelson & Habibi, 2013). Cette hormone est signalée par l'intermédiaire de récepteurs œstrogéniques intracellulaires (ERs) principalement exprimés dans le foie (Nelson & Habibi, 2013 ; Unal et al., 2014).

La vitellogénine (Vtg) est une phospholipoglycoprotéine précurseur des protéines vitellines qui s'accumulent au cours de la vitellogenèse dans les ovocytes des femelles chez la majorité des espèces ovipares comme les poissons téléostéens, les amphibiens, les reptiles, les oiseaux, la plupart des invertébrés et l'ornithorynque (Wallace et al., 1990 ; Zhang et al., 2015). La Vtg est principalement exprimée dans le foie mais également dans des tissus non hépatiques (Zhong et al., 2014) où son niveau d'expression est alors beaucoup plus faible (Wang et al., 2005). D'une manière générale, la Vtg de poisson téléostéen comprend une chaîne lourde, la lipovitelline (LvH ou LvI), un domaine phosphatidylserine riche en sérines phosphorylées (Pv), une chaîne légère de lipovitelline (LvL ou LvII), une composante β '-C et une région codante C-terminale (CT) (Hara et al., 2016 ; Hiramatsu et al., 2006 ; Zhang et al., 2015). La Vtg joue un rôle essentiel dans le développement de l'embryon et la survie des larves. Des méthodes basées sur la

détection de Vtg plasmatique chez les individus adultes ayant acquis la maturité sexuelle permettent de sexer des poissons qui ne possèdent pas de dimorphisme sexuel.

Par exemple, chez *Arapaima gigas* de l'ordre des Ostéoglossiformes qui ne présente pas de dimorphisme sexuel (Chu-Koo et al., 2009; Dugué et al., 2008), l'utilisation de la Vtg comme marqueur de sexage a permis de constituer des couples de reproducteurs et d'optimiser leur reproduction en captivité (Carreiro et al., 2011 ; Chu-Koo et al., 2009 ; IRD, 2008 ; Nuñez, 2008). Transportée par le sang, la Vtg est incorporée dans les ovocytes par endocytose médiée grâce à des récepteurs (VtgR) intégrés à la membrane des ovocytes (Dominguez et al., 2014 ; Le Menn, 1979 ; Mañanós et al., 2007 ; Núñez-Rodríguez et al., 1996 ; Stifani et al., 1990). A la suite de l'endocytose, les VLDLR sont recyclés (Hara et al., 2016 ; Hiramatsu et al., 2006). L'espèce sur laquelle porte cette étude, *Heterotis niloticus*, a un intérêt économique car elle est importante pour la pêche continentale et l'aquaculture en Afrique. Elle présente une croissance exceptionnelle (Adite et al., 2006 ; Ezekiel & Abowei, 2013 ; Moreau, 1982 ; Odo et al., 2009). Plusieurs verrous techniques rendent actuellement difficile la mise en place d'un parcours zootechnique compatible avec une production de masse. L'absence de dimorphisme sexuel (Carreiro et al., 2011 ; Oladosu et al., 2007) observée également chez cette espèce d'Ostéoglossiformes proche phylogénétiquement de *A. gigas* (Betancur-R et al., 2017 ; Guo-Qing & Wilson, 1996 ; Hilton, 2001, 2003 ; Lavoué, 2016 ; Lavoué & Sullivan, 2004 ; Nelson, 1968, 1969) ne favorise pas les reproductions en captivité et la compréhension du comportement reproducteur. Contrairement à *A. gigas*, espèce chez laquelle on dispose d'informations sur la Vtg (Chu-Koo et al., 2009; Dugué et al., 2008) et dont on connaît la structure de la PRL (Borella et al., 2009; Marcos & Adalberto, 2015), la structure des sous unités α (Faria et al., 2013) et β (Sevilhano et al., 2017) des LH et FSH, chez *H. niloticus*, aucune donnée moléculaire n'est encore disponible sur la vitellogenèse et sa régulation.

L'objectif de cette étude vise donc à caractériser chez *H. niloticus* par la combinaison de plusieurs approches « omiques », le ou les Vtg et leur récepteur ovarien, les neurohormones hypophysaires et leurs récepteurs ainsi que les récepteurs à l'E2. Une méthode de sexage basée sur la présence de vitellogénine sera en outre testée à partir du mucus et du sang d'individus matures en utilisant une approche protéomique.

2. MATERIEL ET METHODES

2.1. Echantillonnage et prélèvements tissulaires

Les tissus étudiés sont l'hypophyse, l'ovaire, le foie, le sang et le mucus de *H. niloticus* prélevés sur des poissons d'une ferme piscicole située au centre de la Côte d'Ivoire (5°08,713' W ;

6°50,929' N) à proximité de la capitale politique Yamoussoukro. Cette espèce a été introduite pour la première fois dans ce pays en 1957 à partir de poissons provenant du Cameroun, (Lazard, 1990). Les prélèvements tissulaires ont été réalisés sur des poissons anesthésiés dans de l'eau contenant de l'éthanol à 96° (dilution au 10^e) (Bhanu & Philip, 2011). Les prélèvements ont été réalisés sur des individus mâles et femelles (sexe connu après dissection) en période de reproduction (mois de mai et juin).

Pour le séquençage en RNAseq du foie, de l'ovaire et de l'hypophyse, des pools d'échantillons prélevés sur trois femelles ont été conservés dans du RNAlater (Sigma) à 4°C. Pour les analyses protéomiques du sang et du mucus, le milieu d'extraction est composé de PBS 200 mM, EDTA 0,1 mM, DTT 1mM et PMSF 400mM et les échantillons sont conservés à -80°C en attendant l'extraction.

2.2. Extractions des ARN totaux

Les ARN totaux de chaque pool de tissus sont extraits séparément. Les organes sont broyés dans de l'azote liquide et 50 à 100 mg de poudre de tissus sont mélangés à 1 ml de TRizol (Ambion, Life Technologies, Carlsbad, CA, USA) et l'extraction est réalisée selon les recommandations du fabricant. Les concentrations en ARN totaux sont déterminées au moyen d'un dosage spectrophotométrique (NanoDrop 2000, Thermo Fisher Scientific, Waltham, MA, USA). La qualité et l'intégrité des ARN totaux sont vérifiées respectivement à partir du ratio des absorbances A260/A280 et A260/A230. La concentration des ARN est ajustée à 50 ng/μl avec de l'eau stérile et 20 μl de cette solution (1μg) sont déposés dans des tubes RNA stable (Sigma) et séchés au speed vac.

2.3. RNAseq et approche *in silico*

Séquençage Illumina, assemblage et annotation

Les échantillons d'ARN ont été séquencés par la plateforme Génome Québec (<http://www.genomequebec.com/ressources-et-plateformes-technologiques.html>) sur un séquenceur Illumina HiSeq4000 en mode pairé 2 x 100pb.

Les lectures brutes ont été nettoyées et filtrées et les traces d'adaptateurs ont été éliminés à l'aide de Trimmomatic v.0.33 (<http://www.usadellab.org/cms/index.php?page=trimmomatic>). Les lectures ont été filtrées en utilisant un seuil de qualité de 30 et une taille minimale de 50 paires de bases. SortMeRNA v2.1 a été utilisé pour filtrer les ARN ribosomaux à partir des

reads (Kopylova et al., 2012). Enfin, le processus de nettoyage a été vérifié à l'aide de fastQC v.0.11.5 (<https://www.bioinformatics.babraham.ac.uk/projects/fastqc/>).

Les lectures nettoyées provenant des différentes bibliothèques ont été par la suite assemblées conjointement en utilisant l'assembleur de transcriptomes *de novo* Trinity v.2.5.1 (Grabherr et al., 2011). Les abondances relatives ont été estimées à l'aide de kallisto v.0.43.1 (Bray et al., 2016). Pour obtenir la valeur d'expression (FPKM : Fragments Per Kilobase of exon per Million fragments mapped) pour l'identification des contigs à faible couverture (FPKM <1) et des isoformes rares (<1%) exclus ultérieurement de l'analyse les deux logiciels ont été lancés via les scripts du package Trinity. La prédiction peptidique a été réalisée à l'aide de Transdecoder v.3.0.0 (Haas et al., 2013). Une recherche de similarité (blastx des transcrits assemblés et blastp des peptides prédits) a été effectuée contre la base de données uniprot-swissprot (version 09-2013). La prédiction des peptides signaux a été réalisée à l'aide de signalP v4.0 (Petersen et al., 2011). La détection des domaines transmembranaires a été réalisée en utilisant TMHMM v2.0c (Krogh et al., 2001). Enfin, l'annotation fonctionnelle du transcriptome a été réalisée à l'aide du pipeline Trinotate v.3.0.1 (<http://trinotate.github.io>) décrit par Bryant et al. (2017).

Analyse *in silico* des transcrits

Les analyses *in silico* des transcrits de foie, d'ovaire et d'hypophyse de *H. niloticus* issus de l'assemblage sont principalement réalisées avec le logiciel Peptraq développé en interne (Zatylny-Gaudin et al., 2016). Peptraq est un logiciel dédié à l'analyse de fichiers de séquences aux formats fasta ou txt. Il permet de traduire et de filtrer les transcrits et les précurseurs protéiques sur la base de l'annotation en utilisant des mots clés ou par l'utilisation de critères structuraux liés à la présence de subséquences particulières. Peptraq est aussi capable d'assigner le peptide signal, de le cliver pour passer de la preproprotéine à la proprotéine, de réaliser les clivages des convertases et de repérer les répétitions de séquences caractéristiques des neuropeptides.

Les domaines transmembranaires sont prédits par TMHMM v2.0 (www.cbs.dtu.dk/services/TMHMM). Les structures secondaires sont obtenues par alignement avec des protéines d'espèces dont les domaines sont connus ou en recherchant les domaines conservés sur le site de NCBI (<https://www.ncbi.nlm.nih.gov/Structure/cdd/wrpsb.cgi>). La modélisation des structures tertiaires est réalisée sous I-TASSER

(<https://zhanglab.ccmb.med.umich.edu/I-TASSER/>). Les sites de N-glycosylation sont identifiés sous NetNGlyc 1.0 Server (<http://www.cbs.dtu.dk/services/NetNGlyc/>). Les séquences nucléiques et protéiques sont alignées sur Show translation (https://www.bioinformatics.org/sms/show_trans.html). Les alignements de séquences protéiques de différentes espèces sont réalisés sous CLC Sequence Viewer 7.6.1 (<http://www.clcbio.com>). Les identités en acides aminés entre séquences protéiques sont déterminées par Protein Blast (<https://blast.ncbi.nlm.nih.gov/Blast.cgi>).

2.4. Approche protéomique ciblée sur la recherche de Vtg

Préparation d'échantillons pour analyse en MS

Les échantillons soumis à l'analyse protéomique ont d'abord été décongelés dans l'eau glacée et centrifugés pendant plusieurs minutes. Les protéines sont précipitées à raison de 20 µl pour 120 µl d'acétone réfrigérée. Après une nuit à -20°C, les échantillons sont centrifugés à 20 000 g pendant 20 minutes. Le culot protéique est resuspendu dans un tampon bicarbonate d'ammonium (50 mM, pH 7). Les protéines sont digérées pendant une nuit à 37°C en utilisant 0,25 µg de trypsine porcine (Promega, Madison, USA). Les digestats sont dessalés et concentrés sur un ZipTip µC18 Omix (Agilent) avant analyse.

NanoLC – MS/MS

L'étape de chromatographie est réalisée sur un système de nano chromatographie à ultra-haute pression (NanoElute, Bruker Daltonics). Les peptides sont concentrés sur une précolonne C18 pepmap 100 (5 mm x 300 µm) (Thermo Scientific) et séparés à 50 °C sur une colonne en phase inverse Reprosil (25 cm x 75 µm, 1,6 µm, C18) (Ionopticks). Les phases mobiles sont constituées de 0,1% d'acide formique, 99,9% d'eau (v/v) (A) et 0,1% d'acide formique dans 99,9% d'ACN (v/v) (B). Le débit est fixé à 400 nl/min. et le profil de gradient est le suivant : de 2 à 15% de B en 60 min., suivi d'une augmentation à 25% de B en 30 min. et à 37% en 10 min., suivi d'une étape de lavage à 95% de B et d'un rééquilibrage à 2% de B.

Les analyses MS sont réalisées sur un spectromètre de masse TIMS-TOF (Bruker Daltonics) avec une source ionique de type nano electrospray (CaptiveSpray, Bruker Daltonics). Le système est étalonné chaque semaine et la précision de la mesure de masse est supérieure à 1 ppm. Une tension capillaire de 1400 volts est utilisée pour l'ionisation. Les spectres MS sont acquis en mode positif dans la plage de masse de 100 à 1700 m/z. Dans les expériences décrites

ici, le spectromètre de masse est utilisé en mode PASEF (Parallel Accumulation-Serial Fragmentation) (Meier et al., 2015), à l'exclusion des peptides monochargés. Dix balayages PASEF MS/MS sont réalisés en 1,25 seconde à partir de la plage de charge 2-5.

Séquençage des peptides et détection des vitellogénines

Le spectre de fragmentation est utilisé pour déterminer la séquence du peptide. La recherche dans la base de données est effectuée à l'aide du programme Mascot 2.6.1 (Matrix Science). Deux bases de données locales de *H. niloticus* ont été utilisées : une base de données de protéines ovariennes (437 476 entrées) et une base de protéines hépatiques (244 234 entrées), l'une et l'autre construites à partir des transcriptomes correspondants grâce au logiciel Peptraq. Les modifications variables autorisées sont les suivantes : C-carbamidométhyle, K-acétylation, oxydation et di-oxydation de la méthionine. La «trypsin» a été sélectionnée avec un mode tolérant incluant deux sites de clivage manquants (Šlechtová et al., 2015). La précision de masse a été fixée à 20 ppm et 0,05 Da pour les modes MS et MS/MS respectivement. Les données de Mascot ont ensuite été transférées vers le logiciel de validation Proline (<http://www.profiroteomics.fr/proline/>) pour un filtrage des données selon un seuil de signification inférieur à 0,05 et l'élimination de la redondance des protéines.

2.5. Approche fonctionnelle

Une expérimentation visant à vérifier la capacité de la Vtg à diffuser dans l'eau à partir du mucus a été réalisée. La Vtg et ses produits de clivage ont été recherchés en MS. Le mucus de 5 femelles et 5 mâles matures en période de reproduction ont été collectés et centrifugés pendant 2 min. à 15000 g. Le culot d'impuretés est éliminé et deux aliquotes de 500 µl de mucus pour chaque poisson sont déposés dans des tubes Eppendorf 1.5 ml dans lesquels 1 ml de H₂O ultra pure est ajouté. Une centrifugation de 2 min. à 15000 g permet d'obtenir deux phases dans les tubes, une phase inférieure contenant le mucus et une phase supérieure contenant de l'eau. L'ensemble est incubé pendant 2h à 26°C ± 1°C dans un bain marie. 800 µl de surnageant par aliquote sont récupérés soit un total de 1,6 ml par poisson. Les surnageants sont complétés et acidifiés par ajout de 3,4 ml d'acide acétique (HPLC) à 0,1 % pour obtenir une solution finale de 5 ml. Cette solution acidifiée a été concentrée sur des micro-colonnes C4 pour l'identification ultérieure des petites protéines et polypeptides et l'éluât a été ensuite concentré sur des micro-colonnes C18 pour l'identification des peptides. L'éluât final est

préservé dans des tubes Eppendorf avec un mélange de 1 ml d'éluât et 1 ml d'une solution de TrisHCl EDTA pH 7,6 ; PMSF (400 mM), DTT (1 mM) et le tout est conservé à -20°C.

3. RESULTATS

3.1. RNAseq et approche *in silico*

Un total de 1 003 989 936 lectures brutes pairées avec des longueurs de reads de 100 paires de bases ont été générés. Après le nettoyage des adaptateurs et des séquences de mauvaise qualité, 667 119 586 lectures pairées de haute qualité ont été utilisées pour générer un premier assemblage global de 257 484 transcrits (correspondant à 156 636 « gènes » Trinity). La longueur des transcrits varie entre 201 et 24 080 paires de bases, une longueur moyenne de 1008,5 paires de bases et une longueur médiane de 418 paires de bases. 90% des lectures nettoyées ont été pseudo-alignées avec succès sur le transcriptome complet global, indiquant un support puissant du transcriptome assemblé par les reads. Les transcrits faiblement exprimés (FPKM <1) et les isoformes rares (<1%) ont été exclus de l'assemblage initial, ce qui a abouti à un assemblage filtré de 62852 transcrits (correspondant à 40 302 « gènes » de Trinity), avec des longueurs comprises entre 201 et 18 966 paires de bases, une longueur moyenne de 1382,9 paires de bases et une longueur médiane de 807 paires de bases.

Vitellogénine (Vtg) hépatique et ovarienne

Trois Vtg hépatiques et une Vtg ovarienne ont été identifiées chez *H. niloticus*. Deux des Vtg exprimés dans le foie (HnVtg1 et HnVtg2) sont représentées par deux transcrits pour l'extrémité N-terminale de 3690 (N-ter1, **figure 1a**) et 3669 (N-ter2, **figure 1b**) paires de bases et par un transcrit en position C-terminale de 1518 paires de bases (C-ter, figure 1.c). Les séquences protéiques déduites montrent que N-ter1 (1230 acides aminés) et N-ter2 (1223 acides aminés) ont respectivement en fin de séquences 19 et 12 sérines représentées tous par le même codon AGC et correspondant au N-ter du domaine phosphatase (**figure 1a et 1b**). Le transcrit C-ter de 506 acides aminés présente en début de séquence 20 sérines provenant également du codon AGC (**figure 1c**). L'assemblage de transcrits au niveau du domaine phosphatase est donc irréalisable par Trinity dès lors que les codons correspondants au site polysérine sont identiques.

1 M K A A V F A L A L A L V A G ▼ Q Q N I L T P D F A A K K T Y V Y K Y E
1 **ATG**AAAGCAGCTGTTTTTGCACCTGGCTCTGGCCCTTGTTGGCTGGTCAGCAAAACACCTTCTAACACCTGACTTTGGCTGCTAAGAAGACCTATGTTACAGATGAA
36 A Q L H S E L P E E G L A K A G L K I A S K V L I S R A D Q N T Y L L
106 GCACAGCTCCATAGTGAACACCTGAGGAGGTCTGGCCAAAGGTGGACTGAAGATTGCCAGCAAAAGTTTCATCAGTCCGAGCTGACCAGAACACTTATTTACTC
71 K L K E P Q I F E Y S G I R P R D D F K P A A K L T Q A L A A Q L L I
211 AAGCTCAAGCACTCAGATCTTTGAGTACAGCGGAATACGGCCAGAGACGATTTCAAACCTGCTGCAAAACTCACCCAGGCCTGGCCGCTCAGCTTCTTATT
106 P V K F E Y I R G V V G K V F A P A A V S K T I L N L H R G I L N I L
316 CCAGTCAAGTTTGAATACATCAGGGTGTGGTGGGCAAGTGTTCGCCCTGCCGAGTCTCCAAAACACTATTCTCAACCTCCACAGAGGAATCTCAACATTCTC
141 H V N I K K T Q N V Y E L Q E A G S Q G V C K T D Y A I S E D T K A E
421 CATGTCAACATCAAAAAGACACAGAATGTTTACGAGTTGACGAGGCTGGATCCCAGGGAGTCTGCAAAACTGACTACGCAACTCAGTGAAGGATACCAAGGCTGAA
176 H I Y V T K S K D L G N C Q N R I M A D I G I A Y T E T C V Q C Q M R
526 CACATCTATGACCAAGTCCCAAGGATCGGCACTGCAAGCAAGGATCGGCAGACATTTGGAATAGCTTACACAGAGACTTGTGTCAGGCCAGATGAGGA
211 N K N L R G A A T Y S Y V M K P T E T G A L I T K A T V Q E V H Q F T
631 AACAGAATCTGAGAGACTGCGACCTACAGTACGCTCATGAAGCCACCAGAAACAGGTCTCTATCACAAGGCCACAGTCCAGGAGTTTATCAGTTCACT
246 P F H E L G R G A G Q V E T R Q E M T F V E T Q N D P V Q P A H A D Y V
736 CCTTCCACGAGTGTAGAGAGCGGGCCAGTAGAACAAGCAAGAGACTGCTTTGTGAAACCCAGAATGACCCAGTCGCACTGCACACCAGACTCAGTGC
281 A R G S L Q Y E F A S E L L Q T P L P L M K I T D I K T Q I E E I L N
841 GCACGTGATCCCTGAGTATGAATTTGCATCTGAGTCTTCCAGACACCCTGCTCTGATGAAAATCACTGATATCAAGACACAGATTTAAGAGATCTTGAAT
316 H L V K N N M G E V H E D A P L K F L Q L T Q L L R E A K Y E I M N G
946 CATCTGGTCAAAAACACATGGGTGAGGTTCCAGAAAGTCTCCGCTAAAATTTCTCAGCTGACTCAACTCCTGCGTGGGCCAAATATGAGATCATGAATGCC
351 I W T Q V K S K P V F R R W F L D T V P A V G N Q D A V R F I K E K F
1051 ATTTGGACTCAAGTCAAAATCAAAACCAAGTATTCAGACCTGGTCTCTGATACGGTTCTCCTGGATACGGTTCTCCTGCGTTGGAATCAAGACGCTGTGAGGTTCAAGAGGAAGTGT
386 I A G D I S A A E T A Q A L L V A L H L L E A N M D T V N L A G T L V
1156 ATAGCTGGTATATCTCTGCAAGCAAAACTGCCAGGCTCTACTGGTTGCACTGATCTGTAGAAAGTAAACATGGACACAGTCAACTTAGCTGGCCTCTGGTA
421 F H A K L Q S H P M L R E I A M L G Y G S L V F K L C T K Q C N C P A
1261 TTCCAGCCAAACTTCCAGTCCACCCCATGTACGTGAAATAGCCTGCTGTTTGGTTTGGTTCCTGCTGTTTCAAGTTGTGCACTAAACACAGACTGCCCCGCT
456 E V I K P V H D I A A E A I S K A N V E E I A L V L K V L G N A G H P
1366 GAAGTCAAAAACCTGTTCAAGTATTTGCATCTCAGAAAGCAATAGTAAAGCAAGTGGAAAGAGATTGCCCTGGTCTGAAAGTTCTGGGAATCAGGCCACCCG
491 A S I K P I M K V L P G F G S T A S S L T V K V H V D A V M A L R H I
1471 GCCAGCATCAAGCCGATCATGAAGTCTCCTGAGTTGGGTCTACAGCTCCTCCTACCTACAGTGAAGTCCAGCTTGTGCGTGGATGGCTTTGAGACACT
526 A K R E N H K V Q E V A L Q L F M N R D L H P E V R M V A C V V L F E
1576 GCCAAAAGGGAACCAAGTCCAGGAAGTTGCCCTGCACTGTTGATGAACAGAGATCTCCACCAGAAAGTCCGCAATGGTTCCTGTTGCTGTTGCTTTGAG
561 C K P I G L V A M I A G L A Q N E K S L Q V A S F A Y S H M K A L T
1681 TGCAAACTCCCATCGGTCTGGTAGCTATGATTGCAAGTGTCTTACAGAAGCAGAAAAGCCTGCAAGTGGCCAGCTTTCCTATTCTCATATGAAGCCCTTGACC
596 R S T A P E L A Q V A A A C N V A I K I L S P K L D R L S Y R F S K T
1786 AGGAGACCCGCCAAGTTGCCAAGTGTGAGCTGTGCAATGTGCAATGCAAGTGTGAGCTTGGAGCCCAAGTTAGATCGACTGAGCTTCCGTAAGCAAAAC
631 I H M D F F N Y H L M A G A A A T A H L I N D A A S I L P R A L V A K
1891 ATCCACATGGAATTTTTAATCATCACTGATGGCTGGCGCTGCAGCTACTGCCCCATTTGATCAATGACGCTGCCAGCATTTTCCCAAAGCCGCTTGGGCCAAA
666 I R A C M L G A A A D V L E F G V R T E G L Q E A L L K S P A A D P N
1996 ATCCGTGCTGATGCTTTGGGCGAGTGCAGATGTCTGGAGTTGGGTGAGAACTGAAGACTCCAGGAGGCTCTTTTGAAGTCCAGCTCGGATCCCTAAT
701 A D R L T R M W R V L N T L K N W K S L P A S Q P V A S A Y L K W F G
2101 GCTGACAGGCTCACCGGATGTGGGTGTTCTAAACACTCTGAAAACCTGGAAGTCACTACCCAGCAAGCAACCAAGTGGCTTCTGCTTACTTGAATGGTTGGC
736 Q E I A F A N I D R D I E K A V E F A T G A A A Q P A L L K N I L N
2206 CAAGAAATGCTTTTCCAAACATTGACAGGACATCATCGAAGAACCGTCGATTCGCCACAGGAGCTGCTGCAACAGCAGCAGCTTTGAAGAACCTTGAAT
771 M M Q S G I D I Q I A K P L M T S E V E R R I F P T S M G F P I E I S L
2311 ATGATGCAGTCTGGTATGATATCCAAATTGCCAACCAGCTGATGACCTCTGAGGTGGCTGGCATCTTCCCACGCTATATGGGTTCCCCATAGAGATCAGCCCTC
806 Y S A A V A A A I V K A K A I L N P K P S D N F R I A Q L M N T D I Q
2416 TACTCAGCTGCTGGCTGCAGCTATAGTTAAAGTAAAGCAATCTGAATCCAAAACCTTCCGACAACCTCAGGATTGCTCAGTTGATGAACCCGACATTCAG
841 L D T R V V P S I A V H K Y A V M G V N T A L I Q A A I E A K V K V Q
2521 TTGGACCCCGTGGTACCAAGCATAGCTGTACATAAATGCAAGTTATGGAGTAACAACACTGCACTCATTGAGGCTGCAATGAGGCCAAAGTCAAAGTTAG
876 K V L P L K F N A R I N I A Q G H Y K I E T V P I L H A Q E R I L D L H
2626 AAAGTCCCTCCTCAAGTTCAACGCAAGAATAAACATCGCTCAGGACACACTACAAGATCAGACTGTGCCTCTTATGCTCAGGAAACGATCTCGGATTTGAT
911 M E T V A V A N I E N L S E A K I T P V L P A R L A S Q S K E T F
2731 ATGAGACCGTTCCGTTGGCAAGAACATAGAGAACTTTTCTGAAGTAAAAATTACTCCTGCTGCCTGCCCGCTTGCATCCCAGCAGTCTAAGGAACATTT
946 A S A G S G S K S S E R I H E Q E S S S H P M Q H A V S A R T D R Q W
2836 GATCTGACAGATCCGGTCAAAGTGTGCAAGAAATTCATGAGCAAGAAAGCAAGCAGCAGCCATCCAATGACAGCTGCAGTTCTGCGCAACTGACAGCAATGG
981 C V T V A S L A D Q A C A K V T S Q N A G F I R N S P L Y K L I G E H
2941 TGTTGACCGTGGCAAGCTTACAGCATCAAGTTGTGTCAAGTCACTCCCAAAATGCTGGCTCATCAGAAACTCCCCTCTGTACAACACTGATGGAGAATC
1016 S V I A A V K P V S G E A V D K I E I E M H V G P D A A S K I V K T I
3046 TCAGTCTGCTGTGAAACCTGTTCCGTTGAGCCGTTGACAAGATAGAGATTGAAATGCTGTTGACCTGACGCGATCAAAAACTGTTAAAACCATC
1051 T V K D D N A K E G H A G H S P V V L K L R E I L E T E K K ▼ Q H S R N
3151 ACAGTGAAGACGACAATGCCAAGGAGGCGCATGCAGACACTCCCCTGTTGATTAATAACTGGCAGAAATCCTTGAAGTGAATAAAAAACAGCATTCAAGGAAC
1086 A T T S S S S S S S S S R R S G O K S
3256 GCCACCCTCCAGTCAAGCAGTTCTTACTAGCCGTCGCTCAGGCCAGAACGACGTTCTCAAGTTCTTCTTCCAGCTCCTCATCAGCTCTAGCAACAGC
1121 S K R S K K N I K K R S R R S R T E N V
3361 AGTAACCTAGCAAGAGAACATCAAGAGAGAGAGAGCAGTACGACAGCAGCAGCAGTGTGTAGTAGTAGCAGCAGCAGAGAGAGAGCAGCAGCCGAAATGTC
1156 L G G S
3466 TTGGGGGAAAGCAGTTCCAGCAGCAGTCTCCTTCCAGATCCCAAAACATCCAAAGGCGGCCATCTTTTCCAGAGTTTACACAGAAATCACATTATCAGCATGAAACC
1191 T R A A S S O K T S S S S S P S
3571 ACTAGAGCTGCCTTCCGAAAAGACCTCCTCCAGCCCAAGTACGACGAGCAGCAGCAACGACGAGCAGCAGCAGCAGCAGCAGCAGCAGCAGCAGCAGCAGCAGCAGCAGC

Figure 1b. Séquence nucléotidique et séquence protéique déduite de l’extrémité N-terminale de la Vtg2 identifiée dans le foie de *H. niloticus* (N-ter2 HnVtg2). Le codon d’initiation est en gras, le peptide signal est souligné, la lipovitelline I (Lvi) est délimitée par deux triangles noirs et la phosvitine (Pv) qui est partielle est doublement soulignée.

1 M R A V L L L A L T L A L L A A C **Q** Q D S L T P D F A N G K A Y M F K Y E
1 ATGAGAGCAGTCTCTTTCGACTGACTCTAGCCCTTGGCGGGTCAACAGGAGCAGTTTAAACACCTGACTTTGCCAATGGGAAGGCGCTACATGTTCAATATGAA
36 A E L L G G L P V E G L G K A G V K I V C K V L I S R V S Q N T Y L L
106 GCAGAGTACTGGGAGTGTGGCAGTGGAAAGTTGGCCAGGCTGGAGTGAAGATTGCTGTAAAGTTCTCATCGTCGAGTTTCCAGAGAACATCTGCTC
71 K L K E P Q I F E Y S G I R P R D D F K P A A K L T Q A L A A Q L L I
211 AAGTCAAGGAACCTCAGATCTTTGAGTACAGCGGAATACGGCCAGAGACGATTTCAACCTGCTGCAAACTCACCAGGCTTGGCCGCTCAGCTTCTATT
106 P V K F E Y I R G V V G K V F A P A A V S K T I L N L R H I L
316 CCAGTCAAGTTTGAATACATCAGGGGTGGTGGGAAGGTTGCCCCCGCCGAGTCTCAAAATATTCTCAACCTCCACAGGAAATTCTCAACATCTC
141 H V N I K K T Q N V Y E L Q E A G S Q G V C K T D Y A I S E D T K A E
211 N K N L R G A A T Y S Y V M K P T E T G A L I T K A T V Q E V H Q F T
631 AACAAGAACTGAGAGGAGTGGACCTACAGTACGTATGAAGCCCAAGCAAGGCTCTTATCACCAGGCCAGTCAGGAGGTTCTACAGTCTACT
246 P F H E L R G A G Q V E T R Q E M T F V E T Q N D P V Q P A H A D Y V
736 CCTTTCCAGAGCTGAGAGGCGGGCCAAGTAGAACAAGCAAGAGATGACTTTTGTGAACCCAGAATGACCCAGTCAACACGAGCAGTCTGGT
281 A R G S L Q Y E F A S E L L Q T P L P L M K I T D I K T Q I E E I L N
841 GCAGTGGATCCCTGAGTGAATTTGCACTGAGCTTCTCCAGACCCGCTCCCTGATGAAATCACTGATATCAAGACACAGATGAAGAGATCTGAAT
316 H L V K N N M G E V H E D A P L K F L Q L T Q L L R E A K Y E I M N G
946 CATGTCACATCAAAAACCAACATGGGTGAGGTTTCACGAAATGCTCCGTAAATTTCTTACAGTCACTCAACTCTGCGTGGGCAAAATGAGATCATGAATGGC
351 I W T Q V K S K P V F R W F L D T V P A V G N Q D A V R F I K E K F
1051 ATTTGGACTCAAGTCAAAATAAACCAGTATTTCAGACGCTGGTTCTGGATACGGTTCTGCGGTGGAATCAAGACGCTGTGAGGTTTCATCAAGGAGAAGTTT
386 I A G D I S A A E T A Q A L L V A L H L L E A N M D T V N L A G T L V
1156 ATAGCTGGTATATCTCTGAGCAGAACTGCCCCAGGCTCTACTGTCAGTGTACGTCGATAGAAGTAACTGACACACTACTTGTGCTTGGTCTGAGT
421 F H A K L Q S H P M L R E I A M L G Y G S L V F K L C T K Q Q N C P A
1261 TCCACGCCAACTTCAGTCCACCCCATGTTACGTAAGATAGCCATGCTTGGTATGGTTCCCTGGTTCAGGTTTGAAGTGAATGAAGAACGAGCTCCCGCCT
456 E V I K P V H D I A A E A I S K A N V E I A L V L K V L G N A G H P
1366 GAAGTCATAAAAACCTGTTCCAGATATTGCTGCAGAACAATTAGTAAGCGAATGTGAAGAGATTGCCCTGGTGTGAGGTTTGGGAATCGACGCCACCCG
491 A S I K P I M K V L P G F G S T A S S L T V K V H V D A V M A L R H I
1471 GCCAGTCAAGCCAGTCAAGGCTCCGCTGGATTTGGGTCTACAGCCCTTCTTACAGTGAAGTCCACGTTGATGGGTTGGATTTGACAGACATT
526 A K R E N H K V Q E V A L Q L F M N R D L H P E V R M V A C V V L F E
1576 GCAAAGGGGAAACCAAAAGTCCAGGAAGTTCGCTGCAAGTGTTCATGAACAGAGATCTCCACCCAGAAGTGGCAGTGGTGGCTGTGTTGTTGCTTTGAG
561 C K P P I G L V A M I A S A L Q N E K S L Q V A S F A Y S H M K L G
1681 TGCAACCTCCATCGTCTGGTACGTATGTTGCAAGTGTCTACAGAACGAGAAGCCCTGCAAGTGGCCAGCTTTGCTATTCATATGAAGCCCTGACC
596 R S T A P E L A Q V A A A C N V A I K I L S P K L D R L S Y R F S K T
1786 AGGAGCACCCGGCCAGAACTGCCCCAAGTTGCAAGTGTGCAATGTTGCCATCAAGATCTTGAGCCCAAGTTAGATCGACTGAGTATCGCTTCAGCAAAACC
631 I H M D F F N Y H L M A G A A A T A H L I N D A A S I L P R A L V A K
1891 ATCCACATGGATTTTTAACTATCACTGATGGCTGGCGCTCGAGCTACTGCCATTTGATCAATGAGCGTCCAGCATTTTGCCAAGAGCGCTTTGTGGCCAAA
666 I R A C M L G A A D V L E F G V R T E G L Q E A L L K S P A A D P N
1996 ATCCGTCCTGCTGCTTGGGGCAGTGCAGATGTGCTGGAGTGTGGTGTGAGAACGAAGGACTCCAGGAGGCTCTTTTGAAGCTCAGCTCGGGATCCTAAT
701 A D R L T R M W R V L N T L K N W K S L P A S Q P V A S A Y L K W F G
2101 GCTGACAGGCTCACCCGATGTGGCGTTTCTAAACACTTGAAAACTGGAAGTCACTACCCAGCAAGCCACAGTGGCTTCTGCTTACTTAAATGGTTGTC
736 G E I A F A N I D R D I E K A V E F A T G A A A Q P A L L K N I L N
2206 CAAGAAATGCTTTTGGCAACATTGACAGGGACATCATCGAAGAACCCGCTCGAGTTCCAGCAGGAGTGTGACAGCAGCAGTGTGCAAGAACCTCTGAAT
771 M M Q S G I D I Q I A K P L M T S E V R R I F P T S M G F P I E I S L
2311 ATGATGAGTCTGGTATTGATATCCAAATGCCCCAACCATGATGACCTCTAGGTTGGTGCATCTTCCCCAGCTTATGGGGTTCCCCATAGAGATCAGCCTC
806 Y S A A V A A A I V K A K A I L N P K P S D N F R I A A L P M N T D I Q
2416 TACTCAGTCTGCTGGTGCAGTATAGTTAAAGCTAAAGCAATTTGATCAAAACCTTCCGACACTCAGGATTGCTCAGTTGATGAACACCACATTCAG
841 L D T R V V P S I A V H K Y A V M G V N T A L I Q A A I E A K V K V Q K V L
2521 TTGGCAAGCTTAGCAGATCAAGCTTGTGTAAGGTCAACCTCCCAAAATGCTGGCTTATCAGAACTCCCTCTGTCAAACTGATTGGAGAACATTCAGTATT
876 K V L P L K F N A R I N I A Q G H Y K I E T V P L H A Q E R I L D L **Q**
2626 **AAAGTCTCTCTCAAGTTCACAGCAAGAATAAACCTGCCTCAGGGCACTACAAGATCGAGACTGTGCCTCTCATGCTCAGGAACGCATTCTGGATTGGCAA**
911 **I S C R C S Q E S R S] ***
2731 ATAAGCTGTGCTGTAGTCAGGAATGTAGAATACTTTCCGAGCTA

Figure 1d. Séquence nucléotidique et séquence protéique déduite de la Vtg3 identifiée dans le foie de *H. niloticus*. Le codon d'initiation et le codon stop sont indiqués en gras, le peptide signal est souligné, la lipovitelline I (Lvl) est délimitée par deux triangles noirs et la LvlII est située dans des encadrés.

I V R V V P S I A V V H K Y A V M G V N T A L I Q A A I E A K V K V Q K V L
1 CGTGTGTACCAAGCATAAGCTGACATAAAATATGCAATTTGGAGTAAACACTGCACTCATTGAGCTGCAATTGAGGCCAAAAGTCAAAGTTCCAGAAATCGCTT
36 P L K F N A R I N I A Q G H Y K I E T V P L H A Q E R I L D L H M E T
106 CCTCTCAAGTTCACGCAAGAATAAACATCGCTCAGGGACACTACAAGATCGAGACTGTGCCTTCTCATGCTCAGGAACGCAATTCGGATTGCTATAGGAGACC
71 V A V A R N I E N L S E A K I T P V L P A R L A S Q Q S K E T F A S A
211 GTTCCGCTGGCAAGAACAATAGAGAAATCTTCTGAACTAAATTACTCTGCTGGCTGGCCCGCTTGCATCCAGCAGTCAAGGAAACATTTGCATCTGCA
106 G S G S G S G S I H E Q S E I T S S H P M Q H A V S A R T D R Q W C V T
316 GGATCCGGGTCAAAGTGTGCAGAAGAATTCATGAGCAGGAAGCAGCAGCCATCCAATGCAGCATGCAAGTTCTGCCAGAACTGACAGGCAATGGTGTGTCCAG
141 V A S L A D Q A C A K V T S Q N A A G F I R N S P L Y K L I G E H S V I
421 TTGGCAAGCTTAGCAGATCAAGCTTGTGTAAGGTCAACCTCCCAAAATGCTGGCTTATCAGAACTCCCTCTGTCAAACTGATTGGAGAACATTCAGTATT
176 A A V K P V S G E A V D K I E I E M H V G P D A A S K I V K T I T V K
526 GCTGCTGAAACCTGTTCCCGTGAAGCCGTTGACAAATAGAGATTAAGTTCATGATGTTGGACCTGACCCAGCAGATCAAAAATCGTTAAAACATCACAGTGAAG
211 D D N A K E G H A G H S P V V L K L R E I L E T E K K **Q** **H S R N A T T**
631 GACGAAATGCAAGGAGGGCCATGACAGCACTCCCCGTTGTTAAATTCAGCAAGAACTTGAACACTGAAACTGAAAAAACAGCATTCAGGAAACGCCACCC
246 **S S S S S S S S R R S S G O K S N S S K R**
736 TCCAGTTCAAGCAGTCTTCTGACCGCTCGCTCAGGCCAGAGAGCATTCCTCAAGTCTCTTCTCTCCAGCTCTCAGCTCCTGATGCAACAGCAGTAAACGTT
281 **S K K N I K K R S S S S S S S S S S D E G P D D H P I K K T K**
841 AGCAAGAAGAACATCAAGAGGAGAAGCAGCAGTACAGCAGCAGCAGCTCAGATGAGGGTCTGATGACCACCTATAAAGAAGACAAA

Figure 1e. Séquence nucléotidique et séquence protéique déduite de la Vtg ovarienne partielle de *H. niloticus* (HnVtg4). La lipovitelline I (Lvl) est délimitée par deux triangles noirs et la phosphoviteline (Pv) est doublement soulignée.

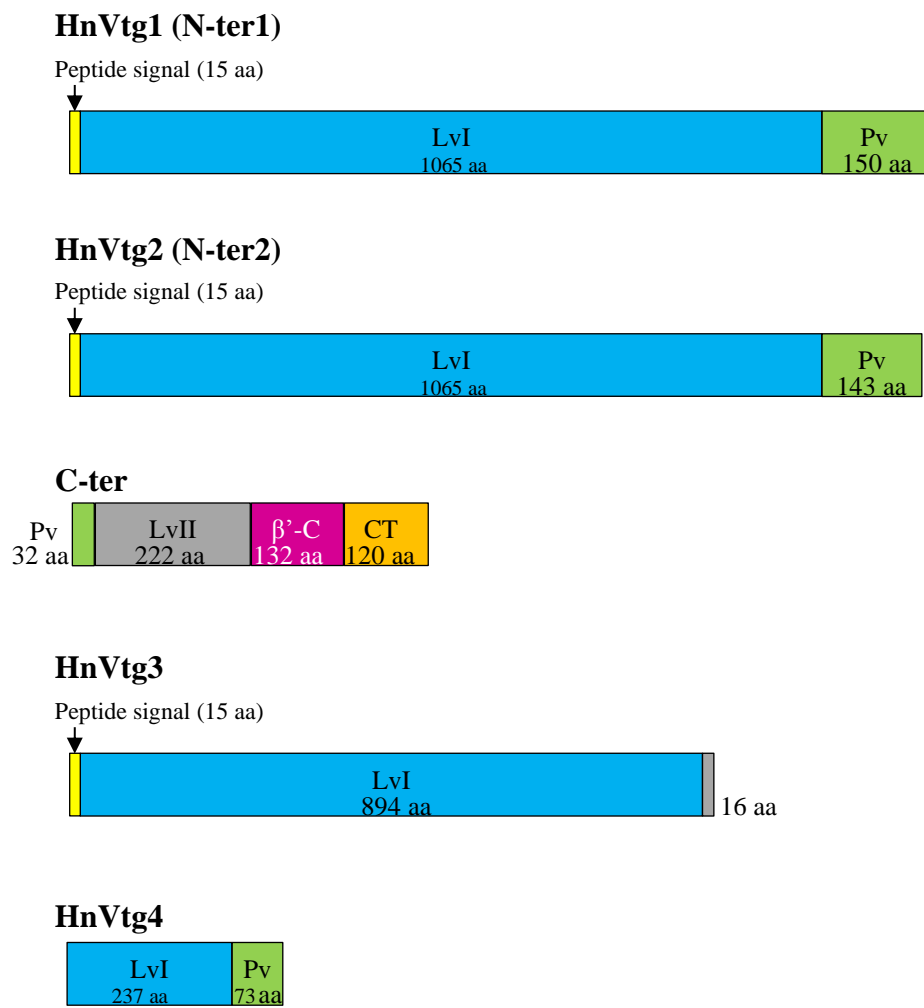


Figure 2. Constructions linéaires des différents domaines des Vtg de *H. niloticus* dont le nombre d'acides aminés (aa) est indiqué.

L'une des Vtg hépatiques (HnVtg3) a une séquence complète de 2775 paires de bases codant pour une protéine de 925 acides aminés (**figure 1d**). Quant à la Vtg de l'ovaire (HnVtg4), elle provient d'un transcrit partiel de 930 paires de bases codant pour 310 acides aminés (figure 1e). La structure secondaire des Vtg de *H. niloticus* (**figure 2**) montre que les Vtg hépatiques ont un peptide signal de 15 acides aminés suivi pour HnVtg3 des domaines lipovitellines uniquement (LvI et LvII) et pour HnVtg1 et HnVtg2 des domaines LvI, Pv, LvII, β -C et CT. La Vtg incomplète de l'ovaire comprend les domaines LvI et Pv.

Les alignements réalisés montrent que la divergence entre N-ter1 et N-ter2 se situe en début de séquence avec un domaine Pv plus complet chez la HnVtg1 (**figure 3a**). Les domaines Met¹ à Lys⁹⁰⁹ de HnVtg1 et HnVtg3 (correspondant au peptide signal et à la LvI de HnVtg3) sont identiques. Le domaine Arg¹ à Ser²⁹⁷ de la Vtg ovarienne incomplète (HnVtg4) est identique au domaine Arg⁸⁴⁴ à Ser¹¹⁴⁰ de N-ter1 et N-ter2 des Vtg hépatiques ; la divergence se situe en fin de séquence dans le domaine Pv (**figure 3b**).

```

HnVtg1 (N-ter1) MRAVLLALTLALAAGQOOSLTPDFANGKAYMFKYEAEELGGLPVEGLKAGVKIVCKVLSRVSQNTYLLKLLKEPQIFEYSGIRPRDDFK 90
HnVtg2 (N-ter2) MKAAVEALALALVAGQONILTPDFAAKKTYVYKYEAQLHSELPEEGLAKAGLKIASKVLISRADQNTYLLKLLKEPQIFEYSGIRPRDDFK 90
HnVtg1 (N-ter1) PAAKLQAALAAQLLIPVKFEYIRGVVGVVFAPAASVSKTILNLHRGILNILLHVNICKTONVYELQEAGSQGVCKTDYAISEDTKAEHIYVT 180
HnVtg2 (N-ter2) PAAKLQAALAAQLLIPVKFEYIRGVVGVVFAPAASVSKTILNLHRGILNILLHVNICKTONVYELQEAGSQGVCKTDYAISEDTKAEHIYVT 180
HnVtg1 (N-ter1) KSKDLGNQCQRNIMADIGIAYTETGVQCQMRNKNLGAATYSYVMKPTETGALITKATVQEVHGFPPFHELRGAGQVETROEMTFVETQND 270
HnVtg2 (N-ter2) KSKDLGNQCQRNIMADIGIAYTETGVQCQMRNKNLGAATYSYVMKPTETGALITKATVQEVHGFPPFHELRGAGQVETROEMTFVETQND 270
HnVtg1 (N-ter1) PVQPAHADYVARGSLQYEFASELLQTPPLPMKITDIKIQIEEILNLHVKNNMGEVHEDAPLKFLQLTQLLREAKYEMNGIWTQVKSFPV 360
HnVtg2 (N-ter2) PVQPAHADYVARGSLQYEFASELLQTPPLPMKITDIKIQIEEILNLHVKNNMGEVHEDAPLKFLQLTQLLREAKYEMNGIWTQVKSFPV 360
HnVtg1 (N-ter1) FRRWFLDTPVAVGNQDVRFIKEKFIAGDISAAETAQALLVALHLLLEANMDTVNLAGTLVFHAKLQSHPLREIAMLGYGSLVFKLCTKQ 450
HnVtg2 (N-ter2) FRRWFLDTPVAVGNQDVRFIKEKFIAGDISAAETAQALLVALHLLLEANMDTVNLAGTLVFHAKLQSHPLREIAMLGYGSLVFKLCTKQ 450
HnVtg1 (N-ter1) QNCPAEVVKPVHDAEAAISKANVEEIALVVLKVLGNAGHPASIKPIMKVLPGFGSTASSLTVKVHVDAVMALRHIAKRENHKVQEVALLQ 540
HnVtg2 (N-ter2) QNCPAEVVKPVHDAEAAISKANVEEIALVVLKVLGNAGHPASIKPIMKVLPGFGSTASSLTVKVHVDAVMALRHIAKRENHKVQEVALLQ 540
HnVtg1 (N-ter1) FMNRDLHPEVRMVACVVLFECKPPIGLVAMIASALQNEKSLQVASFAYSHMKALTRSTAPELAQVAAACNVAIKILSPKLDRLSYRFSKT 630
HnVtg2 (N-ter2) FMNRDLHPEVRMVACVVLFECKPPIGLVAMIASALQNEKSLQVASFAYSHMKALTRSTAPELAQVAAACNVAIKILSPKLDRLSYRFSKT 630
HnVtg1 (N-ter1) IHMDFFNYHLMAGAAATAHLINDAASILPRALVAKIRACMLGAAADVLEFGVREGLQEAALLKSPAADPNADRLTRMWRVNLTKLKNWKS 720
HnVtg2 (N-ter2) IHMDFFNYHLMAGAAATAHLINDAASILPRALVAKIRACMLGAAADVLEFGVREGLQEAALLKSPAADPNADRLTRMWRVNLTKLKNWKS 720
HnVtg1 (N-ter1) PASQPVASAYLKWFGQEIFANIDRDIIEKAVEFATGAAQAPALLKNI LNMMQSGIDIQIAKPLMTSEVRRIFPMTSMGFFIEISLYSAAV 810
HnVtg2 (N-ter2) PASQPVASAYLKWFGQEIFANIDRDIIEKAVEFATGAAQAPALLKNI LNMMQSGIDIQIAKPLMTSEVRRIFPMTSMGFFIEISLYSAAV 810
HnVtg1 (N-ter1) AAAIVKAKAILNPKPSDNFRIAQLMNTDIQLDTRVVPSIAVHKYAVMGNVNTALIQAAIEAKVKVQKVLPLKFNARINIAQGHYK IETVPL 900
HnVtg2 (N-ter2) AAAIVKAKAILNPKPSDNFRIAQLMNTDIQLDTRVVPSIAVHKYAVMGNVNTALIQAAIEAKVKVQKVLPLKFNARINIAQGHYK IETVPL 900
HnVtg1 (N-ter1) HAQERILDLHMETVAVARNIENLSEAKITPVLPARLASQOSKETFASAGSGSKSSERIEHQESSHPMOHAVSARTDROWCVTVASLADQ 990
HnVtg2 (N-ter2) HAQERILDLHMETVAVARNIENLSEAKITPVLPARLASQOSKETFASAGSGSKSSERIEHQESSHPMOHAVSARTDROWCVTVASLADQ 990
HnVtg1 (N-ter1) AC AKVTSQNA GFIRNSPL YKL IGEHSVIAAVKPVSGEAVDKIEIEMHVGPDAAASKIVKTI TVKDDNAKEGHAGHSPVVLKLREI ILET EKK 1080
HnVtg2 (N-ter2) AC AKVTSQNA GFIRNSPL YKL IGEHSVIAAVKPVSGEAVDKIEIEMHVGPDAAASKIVKTI TVKDDNAKEGHAGHSPVVLKLREI ILET EKK 1080
HnVtg1 (N-ter1) QHSRNATTS SSSSSSSRRSGQKSSSSSSSSSSSSSSSSSSSSSSSSSSSSSSSSSSSSSSSSSSSSSSSSSSSSSSSSSSSSSSSSSSSSSSSS 1170
HnVtg2 (N-ter2) QHSRNATTS SSSSSSSRRSGQKSSSSSSSSSSSSSSSSSSSSSSSSSSSSSSSSSSSSSSSSSSSSSSSSSSSSSSSSSSSSSSSSSSSSSSSS 1170
HnVtg1 (N-ter1) TSKAAIFORFTQNH I HQHETTRAASSQKTS SPS SSSSSSSSSSSSSSSSSSSSSSSSSSSSSSSSSSSSSSSSSSSSSSSSSSSSSSSSSSSSSSS 1230
HnVtg2 (N-ter2) TSKAAIFORFTQNH I HQHETTRAASSQKTS SPS SSSSSSSSSSSSSSSSSSSSSSSSSSSSSSSSSSSSSSSSSSSSSSSSSSSSSSSSSSSSSSS 1223

```

Figure 3a. Alignements des séquences protéiques déduites de l'extrémité N-terminale (N-ter) des Vtg hépatiques de *H. niloticus* (HnVtg1 et HnVtg2) avec les domaines peu conservés en gris.

```

HnVtg4 ---RVVPSI AVHKYAVMGVNTAL IQAAIEAKVKVQKVLPLKFNARINI AQQHYK IETVPLHAQER I LDLMHMETVAVARN IENLS 81
HnVtg1 (N-ter1) LDTRVVPSI AVHKYAVMGVNTAL IQAAIEAKVKVQKVLPLKFNARINI AQQHYK IETVPLHAQER I LDLMHMETVAVARN IENLS 924
HnVtg4 EAK ITPVL PARLASQSKETFASAGSGSKSSERIEHEQESSHPMQHAYSARTDRQWCVTVASLADQACAKVTSONAGFI RNSPL 165
HnVtg1 (N-ter1) EAK ITPVL PARLASQSKETFASAGSGSKSSERIEHEQESSHPMQHAYSARTDRQWCVTVASLADQACAKVTSONAGFI RNSPL 1008
HnVtg4 YKL IGEH SV IAAVKPVS GEAVDK I E IEMHVGPDAASK I VKT I TVKDDNAKEGHAGHSPVVLKRL E I LETEKKQHSRNATTSSSS 249
HnVtg1 (N-ter1) YKL IGEH SV IAAVKPVS GEAVDK I E IEMHVGPDAASK I VKT I TVKDDNAKEGHAGHSPVVLKRL E I LETEKKQHSRNATTSSSS 1092
HnVtg4 SSSSSRRSGQKSSSSSSSSSSSSSSSSSSSSSSSSSSSSSKSKKNIKKRSSSSSSSSSSSSSSSSSSSSSSSSSSSSSSSSSSSSSSSSSSSSSSS 310
HnVtg1 (N-ter1) SSSSSRRSGQKSSSSSSSSSSSSSSSSSSSSSSSSSSSSSKSKKNIKKRSSSSSSSSSSSSSSSSSSSSSSSSSSSSSSSSSSSSSSSSSSSSS 1176

```

Figure 3b. Alignements des séquences protéiques déduites de l’extrémité N-terminale (N-ter) de la Vtg hépatique (HnVtg1) et de la Vtg ovarienne partielle (HnVtg4) de *H. niloticus* avec les domaines peu conservés en gris.

Lorsqu’on aligne successivement la Vtg de *Scleropages formosus* de 1745 acides aminés (AWG47880) avec le N-ter1 (**figure 3c**) puis avec le C-ter (**figure 3d**) de *H. niloticus*, il n’y a qu’une sérine orpheline (**figure 3e**). L’analyse de l’homologie entre la VtgC de *H. niloticus* (HnVtg3) et les VtgC d’autres espèces de poissons téléostéens (**figure 3f**) montre une identité en acides aminés de 34,08% avec *O. mykiss* (BBA57869) et de 31,41% avec *O. niloticus* (XP_005459969).

```

HnVtg1 (N-ter1) MFAVLLALTLAL AAGQDLSLTPDFANGKAYMFKYEAELGGPLVEGLGKAGVKIVQKVLISRVSQNTYLLKKEPOLFEYSGIRPRDDFK 90
SfVtg (N-ter) MKAVLLALTLALVAGQDNLTPDFATGKTYVYQYEAELGGPLKEGLRAGVKIVQKVLISQVQNTYLLKKEPOLFEYSGIRPRDDFK 90
HnVtg1 (N-ter1) PAAKLQALAAQLLIPVKFEYRGGVVKVFAPAAVSKTILNLHRGILNLHVNIIKKTQNVYELQEAGSQGVCKTDYAISETDKAEHIYVT 180
SfVtg (N-ter) PAAKLQALAAQFRIPVKFEYRGGVVKLFAPAEVSETILNLHRGILNLHVNIIKKTQNVYELQEAGSQGVCKTDYAISETDKAEHIYVT 180
HnVtg1 (N-ter1) KSKDLGNCOQNRIMADIGIAYTETCVQCQMRNKNLNGAAATYSYVMKPTETGALITKATVQEVHQFPTPFHELFGAGQVETQEMTFFVETQND 270
SfVtg (N-ter) KSKDLGNCOQRVMADIGIAYTETCVQCQCKSKNLNGAAATYSYVMKPTDGGALIMEAAVOELHQFPTPFHELFGAAQMKARQLMTFFVETQND 270
HnVtg1 (N-ter1) PVQPAHADYVARGSLQYEFASELLQTPFLPLMKITDITKQIEEILNHLVKNNAGEVHEDAPLKFLLQLTQLLRQAEYETMNGIWTQVKSAPV 360
SfVtg (N-ter) PVQPMQADYVARGSLQYEFASELLQTPFLQQLKVTNAQAQIEEILNHLVKNNAGEVHEDAPLKFLLQLLQLLRQAEYETINKIWAQVKSAPV 360
HnVtg1 (N-ter1) FRRWFLDTPAVAGNQDARFIKEKFLAGDISAAETAQALLVALHLEANMDTVNLAGTLVFAKIQSHPLREIAMLGYSLVFKICTKQ 450
SfVtg (N-ter) FRRWFLDTPAVIGTQVALRFIKEKFLAGEVTVIETAQALLAHLHLEANLDTVNLAAASVVLNAKTQSHPIREIAMLGYSLVFKICTEH 450
HnVtg1 (N-ter1) QNCPAEV I K P V H D I A A E A I S K A N V E E I A L V L K V L N A G H P A S I K P I M K V L P G F G S T A S S L I V K V H V D A V M A L R H I A K R E N H K V Q E V A L Q L 540
SfVtg (N-ter) R N C P A D V I K P I H D E A A E A I S K A N V A E I A L A M K V L N A G H P A S I K P I M K L P G F G S T A A A L I V K V Q V D A V V A L R H I A K R E R R V O D I A L Q L 540
HnVtg1 (N-ter1) F M N R D L H P E V R M V A C V V L F E C K P P I G L V A M I A S A L O N E K S L Q V A S F A Y S H M K A L T R S T A P E L A Q V A A A C N V A I K I L S P K D L R L S Y R F S K T 630
SfVtg (N-ter) F L D R D L H P E L R M A A C V V L F K T K P S I G L V S T I A A A L O K E K S L Q V A S F T Y S H M K A L T R S T A P D L A Q V A A A C N V A I K I L S P K D R L S Y R F S K A 630
HnVtg1 (N-ter1) I H M D F F N Y H L M A G A A T A H L I N D A A S I L P R A I V A K I R A C M L G A A A D V E I E G V R T E G I Q E A L K S F A A D P N A D R L T M R R V I N L N W K S L 720
SfVtg (N-ter) I H L D F F H N R L M A G A A T T A Y F I N D A A T I L P R A V A K V R A M V G A A A D V E I E G V R T E G I Q E A L M K E R A A D A G A D R I S R M R R I L N A L I N W K R L 720
HnVtg1 (N-ter1) P A S Q P V A S A Y L K W F G Q E I A F A N I D R D I I E K A V E F A T G A A A Q P A L L K N I L N M M Q S G I D I Q I A K P L M T S E V R R I F P T S M G F P E I S L Y S A A V 810
SfVtg (N-ter) P I T S Q P L G S V Y L K L F G Q E I A F A N I D K D I I E R A L Q L A T G A A A Q H E L W K T V L N L Q S G A D F Q I S K S L T S E V R R I F P T S M G F P E L S Y S A A V 810
HnVtg1 (N-ter1) A A A I V K A K A I L N P K P S D N F R I A Q L M N T D I Q L D T R V V P S I A V H K Y A V M G V N T A L I Q A A I E A K V K V Q K V L P L K F N A R I N I A Q G H Y K I E T V P L 900
SfVtg (N-ter) A A A I V K A K A I L T P P R E N F Q L A Q L K N T D I Q L Q A H I A P S I A V H K Y A V M G V N T A I I Q A A I V A K A K V H N V L P L K F N A R V H I A Q G H F K I E A L P L 900
HnVtg1 (N-ter1) H A Q E R I L D L H M E T V A V A R N I E N L S E A K I T P V L P A R L A S Q S K E T F A S - - - - A G S G - S K S S E R I E H E Q E S S S - H P M O H A V S A R T D R Q W C V T 983
SfVtg (N-ter) Q A H G R L L D L Q M E A V A M S R N I E N L S G A K I T P V L P E R L A A Q L S E R F T S R A D A D A G S G L S K S S E R I Y E N V S D E K R P K O N D V S A R M D K K W C V T 990
HnVtg1 (N-ter1) V A S L A D Q A C A K V T S O N A G F I R N S P L Y K L I G E H S V I A A V K P V S G E A V D K I E I E M H V G P D A A S K I V K T I T V K D D N A K E G H A G H S P V V L K L R E 1073
SfVtg (N-ter) M A N L G Q Q A C A K I T S O N A G F V R N S P L Y K L I G E Y S V T L D V K P V S D E A V E K I E I E L Q V G N A A S K I V K R I T I K D D N T D K G N R R G G T P V V L K L K K 1080
HnVtg1 (N-ter1) I L E T E K K Q H S R N A T T S S S S S S S S S S S S S S S S S S S S S S S S S S S S S S S S S S S S S S S S S S S S S S S S S S S S S S S S S S S S S S S S S S S S S S S 1159
SfVtg (N-ter) I L E T E T Q N L R K S S N S S S S S S S S S S S S S S S S S S S S S S S S S S S S S S S S S S S S S S S S S S S S S S S S S S S S S S S S S S S S S S S S S S S S S S 1167
HnVtg1 (N-ter1) S S S S S S S S S S S S S S S S S S S S S S S S S S S S S S S S S S S S S S S S S S S S S S S S S S S S S S S S S S S S S S S S S S S S S S S S S S S S S S S S S 1230
SfVtg (N-ter) R S V S S S S S S S R I S K A H V F R F T K N H M H O H D D N R A T S O R K I S S S S S S S S S S S S S S S S S S S S S S S S S S S S S S S S S S S S S S S S S S S S S S S S 1238

```

Figure 3c. Alignement des séquences protéiques déduites des N-ter de la Vtg1 de *H. niloticus* (HnVtg1) et de la Vtg de *S. formosus* (SfVtg) avec les domaines peu conservés en gris.

```

HnVtg1 (C-ter) SSSSSSSSSSSSSSSSSSSSSSSASSFENIYKKSRLGDTVRPAAVIVRAVRGNERRRGGYQIAAYMDKANARVQVIISALADSDKWLQC 90
SfVtg (C-ter) SSSSSSSSSSSSSSSSSSSSSSSASSFENIYKKSRLGDSTVRPAAVIVRAVRGNDRRGGYQIAAYMDKADVRVQVIMAALAEENDNWKMC 1329
HnVtg1 (C-ter) ADG IQLSMHKVMKIRWGAEQCDYRAVIAETGLLGGHPAAQLKMYVWNTPRALKRYASMIYEPVGVALLAGFSEGRHRSGERQIKLTV 180
SfVtg (C-ter) ADG IQLSMHKVMKIRWGEQCDYATVIAETGLLGGHPAQMKNLWKKIPRAVKRYAMISEYIPGALMAGFSEGRHRSKRQIKLTV 1419
HnVtg1 (C-ter) AATSARTISILRTPWMTLYKLQGVIPIALPIGAAAAAAAEVEQFNANRINYMFAEANTAKIIVADDTVTTFNNRYSPEVPSCHQVLAQ 270
SfVtg (C-ter) ASTSARTLSVILKTPMTMYKLAQAPIALPEGAAAAAAAEVEQFNANRINYMFAEANTAKIIVADDTVTTFNNRYSPEVPSCHQVLAQ 1509
HnVtg1 (C-ter) DCTSKLKFVVLKRGDEEESHVIVKVIADIDVDLTAEHGNIQVKVNGRVVPIIQTQNYEHFTGTISI IKQKAGIISLQAPSHGLHEVYFNKN 360
SfVtg (C-ter) DCTTELKFIIVLMMKDEEIKPHIIVKVAQIDVDWSADDNGLHMKVNGMDVPTVKLREYHSTGSIIRONGDGLSLYAPGGLHEVYVDGN 1599
HnVtg1 (C-ter) ILTIQVDPWMKGNVCLGCKGADGVREIFCGPSGHHIEDAVSFHHSWVLAESCDAAKCOQVQLFLLKTEPVLLNDQDMKCGSTFPVLS 450
SfVtg (C-ter) ILRIEVDWMKGNVCLGCKGADGEVRCEIQAPSGRCIMSAVSFCHSWVLAESCDADASECRLOESVMLDKPVTLHGQASKCYSTEPVLO 1689
HnVtg1 (C-ter) CLPCCSPMKTTPVTVGFHCIPIDSNVNSWSIRKCKEDTRVTDAHMCNCGEECA 506
SfVtg (C-ter) CLPECKPKTTPVTVGFHCIPAGSRVNNLISMWEKTEDLRDTIDAHVSCRCTENCA 1745

```

Figure 3d. Alignement des séquences protéiques déduites des C-ter de la Vtg1 de *H. niloticus* (HnVtg1) et de la Vtg de *S. formosus* (SfVtg) avec les domaines peu conservés en gris.

Récepteur de la vitellogénine

Les récepteurs de la vitellogénine (VtgR) des téléostéens se classent parmi les récepteurs de lipoprotéines de très basse densité (VLDLR) appartenant à la superfamille des lipoprotéines de basse densité (LDLR) (Li et al., 2003; Mizuta et al., 2013; Pousis et al., 2012).

```

1 M V T S I L G F L I L P I C L Q Q C A Y V R G S Q A V E C D P S Q F Q C
1 ATGGTCACGTCTATTCTGGGCTTCTTATCCTGCCAATATGTCTTCAGCAGTGTGCCTATGTGCGGGATCCAGGCGGAATGTGATCCCTCTCAGTTCAGTGT
36 G N G R C I P S V W Q C D G D E D C S D G S D E N T C V V R K T C A E V
106 GGAAATGGCCGCTGTATCCCTCAGTGTGGCAGTGTGACGGTATGAAGACTGTTCTGATGGCAGTGTGAAAACACCTGTGTGAGGAAGACCTGCGCAGAAAGTG
71 D F V C R N G Q C V P K R W H C D G E P D C E D G S D E S S Q V C H M
211 GACTTTGTCTGCCCAATGGCCAGTGTGTCCCAAGAGGTGGCAGTGTGATGGCAGCCCGATTGTGAAGACGGGTCCGACGAAAGCTCCCAAGTCTGCCACATG
106 R T C R M N E F S C G A G T T Q C I P V F W K C D G E K D C D N G E D
316 CGGACCTGTCTATGAACGAGTTTCAGCTGTGGGGCAGGTACAACCCAGTGCATCCAGTTTTCTGGAAATGCGATGGAGAGAAGGACTGCGACAACGGGGAGGAT
141 E V N C V G N I T C A P L E F T C A S G R C V S Q N F V C N G E D D C G
421 GAGGTTAACTGTGGCAACATCACCTGCGCCCCCTTGGAGTTCACCTGTGCAAGCGGACGCTGTGTGTCTCAGAATTTTGTGTGCAATGGCAGGACGACTGCGGT
176 D G S D E L D C V E P S S C G P S Q F Q C G N A T C I P D S W V C D D D
526 GATGGCAGCGACGAGCTAGATTGTGAGCCCTCATCTCGGACCCAGCCAGTTCAGTGTGGCAATGCCACCTGTATCCCTGACAGCTGGGTATGTGATGATGAT
211 V D C Q D Q S D E S P Q R C V G R H P T P P A K C P S S E M R C G S G E
631 GTGGACTGCCAGGACGATGAGTACCACAGCGCTGTGGCCGCCACCTACACCTCCCGCAAGTGCCTTCCAGCGAGATGCGGTGTGGCTGCGGCGAG
246 C I H R K W R C D G D A D C K D G S D E D N C V P V R T C R P D Q F K C
736 TGCAATCCACCGCAAGTGGCGCTGCGATGGCGATGCGGACTGAAGGATGGCAGTACGAGGAGCAACTGCCCTGTCCGAACTGCAGACGACAGCCAGTTCAGTGT
281 N D G S C I H G S R Q C N G M R D C S D G S D E L N C V K N V S Q C S G
841 AATGATGGTAGCTGCATCCATGGCAGCCGGCAGTGCATGGGATGCGTACTGCTCAGATGGCAGTGTGAGCTCAACTGCAAAAATGTGTCCCAATGCAGTGGC
316 P D K F K C R S G E C I E M S K V C N K V R D C S D W S D E P L K E C V
946 CCAGATAAATCAAGTCCGCTAGCGGCGAGTGCATCGAGTAGAGCAAGTGTGCAACAAGTCCCGGACTGCTCAGACTGGAGCGATGAGCCCCCTCAAGAGTGC
351 N L N E C L Q N N G G C S H I C R D N I I G Y E C D C T P G L Q L I D
1051 AATCTGAATGAATGCCCTCAGAACAAATGGTGGCTGCTCCACATCTGTGCGGACACATCATTGGTTACGAATGCGACTGCACCTCCAGGCTCCAGCTCATTGAC
386 R K T C G D I N E C L N P G I C S Q I C I N L K G G Y K C E C H N G Y
1156 CGCAAGACTGTGGTATTAATGAGTGCCTAAACCTGGGATCTGTAGCCAGATCTGCATCAACTGAAGGGGGGTACAAGTGTGAGTGCACAAATGGTATC
421 Q M D P T T G V C K A V G K E P C L I F T N R R D I R K L T L E R R E
1261 CAGATGGATCCTACCACAGCGTGTGCAAAGCAGTGGGCAAGGAGCCATGCTGTATCACCACCCGGCGTGACATCCGCAAGCTGACCTGGAGCGGGGAG
456 Y T Q I V E Q L R N T V A L D A D F T Q Q M I F W A D L G Q K A I F S
1366 TACCCAGATTGTGGAGCAGTTCGCAACACTGTGCCCTAGATGCAGACTTCCACCAACAGATGATCTTCTGGGCTGATCTAGGCTCAAAAAGGCAATCTTCAGC
491 M S L D K R D E G S I T K V I E S V Q T P V G I A V D W I Y K N I Y W
1471 ATGTCACCTTGACAAGCGGGACGAAGGCAGTATCACAAAAGTGATTGAGAGTGTGCAGACTCCTGTGCGGATGTCAGTAGACTGGATTACAAGAATATATACTGG
526 S D L G T K T I S V A N F N G T K T K I L F S S G L K E P A S I A V D
1576 TCAGATTTGGGTACCAAGCAGATATCTGTAGCAAATCAATGGCCAGGACCAAAAATTTTGTTCAGCAGTGGGCTAAAGGAACCGGCTCCATTGCTGTGGAT
561 P L S G L L Y W S D W G E P A R I E K S G M N G V D R Q V L V E T D I
1681 CCTCTCTGGGTTTCTGTATTGGTTCAGACTGGGGTGAGCCAGCAGGATTTGAGAAGTCTGGCATGAATGGTGTAGATCGGCAGGTTCTGGTTGAGACGGACATT
596 Q W P N G I T L D L I K S R L Y W V D S K L H M L C S V D L N G D N R
1786 CAGTGGCCTAATGGGATCACTCTAGACTTGATTAAGCAGGCTCTACTGGGTGGACTCCAACTACACATGCTCTGCAGCGTGGATCTGAAACGGGGATAACCGG
631 R K V L Q S P D Y L A H P F A L T V F E D R V F W T D G E N E A I Y G
1891 CGGAAAGTTCAGTCTCCTGACTATCTCGCGCATCCTTTTGTCTCACGGTTTTTGGAGATCGAGTGTCTGGACAGATGGGGAAAACGAGGCCATCTATGGT
666 A N K F T G S D V I M L A S N L N E P Q D I I V Y H E L I Q L S G T N
1996 GCCAACAAATTCATGGGTGAGATGTGATTGCTTCCAGCACCTGATGAGCCACAGGACATCATTGTTTATCATGAGCTCATCCAGCTATCCGGAAACCAAT
701 W C T D K G D C A F L C L P A P Q I N K H S P K Y T C I C S Q G
2101 TGGTGCACGTGACAAAAGGGGACAATGGAGGCTGTGCCTTCTGTGCTTGCAGCACCACAGATCAACAAGCACTCTCCAAAGTACACCTGCATTTGCTCACAGGGG
736 M E L A A D G L N C R P A T I S A H P G D G K T L I H P T H A S E G N
2206 ATGGAGCTTGTCCGATGGCTTGAAGTGCAGACGACCCACCTTTCTGCACCCAGGAGATGGAAGACACTAATACACCCCACTCATGCTTACAGGGGGAAT
771 I S T S I H E V N S S A K G S A A A W A I L P V L L L A M A V A G G Y
2311 ATTAGTACCTCCATCCATGAGTGAAGTCTCAGCCAAAGGTCAGTGTGATGGCCATCCTCCCTGTCTTGTGCTGCGCATGGCTGTGGCAGGAGGCTAT
806 L M W R N W Q L K N K K S M N F D N P V Y L K T T E E D L N I D I S R
2416 CTAATGTGGCGCAACTGGCAGCTGAAGAACAAAAGAGCATGAACCTTGACAATCTGTGTATCTGAAGACCACCGAGGAGGACCTCAACATCGACATCAGCCGG
841 H G A S V G H T Y P A I S V V N T E D D L *
2521 CACGGTGCATCTGTGGCCACAGTACCTGCTATATCAGTTGTGAATACAGAAGTACTTGTAG

```

Figure 4a. Séquence nucléotidique et séquence protéique déduite du récepteur de la vitellogénine de *H. niloticus*. Le codon d'initiation et le codon stop sont indiqués en gras, le peptide signal est souligné, les huit répétitions se liant au ligand (LBR) sont délimitées par deux triangles noirs consécutifs, les trois domaines du facteur de croissance épidermique (EGF1, EGF2 et EGF3) sont successivement situés dans des encadrés, les séquences SDE, EDE, YWS(V)D, FWA(T)D et FDNPVY hautement conservées sont soulignées, le domaine O-glycosylé est doublement souligné, le domaine transmembranaire est délimité par deux ronds noirs et il est suivi du domaine cytoplasmique en position C-terminale.

Deux transcrits de 2583 et 2523 paires de bases codant pour deux VLDLR de 861 et 841 acides aminés ont été identifiés respectivement dans l’ovaire (**figure 4a**) et l’hypophyse. HnVLDLR comprend un peptide signal (Met¹-Arg²⁶) suivi de sept et huit domaines pour les formes hypophysaire et ovarienne respectivement (**figure 4b**). HnVLDLR exprimé dans l’ovaire possède un domaine O-glycosylé situé entre Ala⁷⁴⁸et Ser⁷⁶⁷ qui est absent de la forme hypophysaire. En dehors du domaine O-glycosylé, les autres domaines des deux formes de HnVLDLR ont des séquences en acides aminés identiques.

Le Ligand Binding Domain (LBD) est composé de huit Ligand Binding Repeats (LBR) de 39 à 44 acides aminés riches chacun de six cystéines et de motifs SDE (dans LBR1-2, 4-7) et EDE (LBR3). Les domaines précurseurs du facteur de croissance épidermique (EGF) avec trois répétitions EGF1 (Cys³⁵⁵-Cys³⁸⁹), EGF2 (Cys³⁹⁵ - Cys⁴²⁹) et EGF3 (Cys⁷⁰²-Cys⁷⁴⁵) comprennent chacun six cystéines.

Entre EGF2 et EGF3, il existe un domaine comprenant cinq séquences de quatre acides aminés de type YWS(V)D et FWA(T)D. Un unique domaine transmembranaire de 23 acides aminés (Ala⁷⁸⁶ à Trp⁸⁰⁸ pour la forme ovarienne) est présent et en position C-terminale, on rencontre un domaine cytoplasmique contenant la séquence FDNPVY.

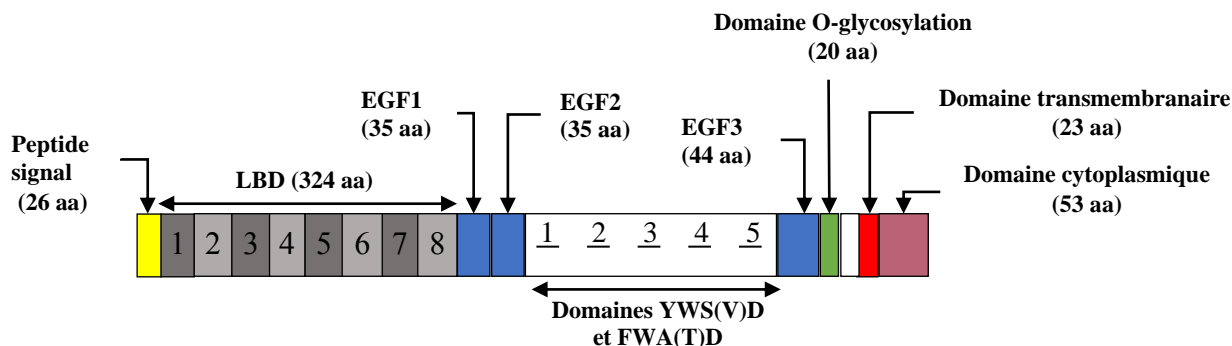


Figure 4b. Construction linéaire des différents domaines du récepteur de la Vtg de *H. niloticus*. Le nombre d’acides aminés (aa) est indiqué. EGF : Facteur de croissance épidermique.

L’analyse de l’homologie des séquences en acides aminés (**figure 4c**) montre qu’en dehors du domaine O-glycosylé qui est absent des VLDLR de certaines espèces, les séquences particulières (SDE, EDE, YWS(V)D, FWA(T)D et FDNPVY) sont hautement conservées et HnVLDLR partage une forte identité avec les VtgR ou VLDLR de *S. formosus*

(XP_018607358) (94%), *O. bicirrhosum* (AXN72824) (92%), *O. mykiss* (CAD10640) (88%), *C. carpio* (XP_018935318) (87%) et *O. aureus* (AAO27569) (85%).

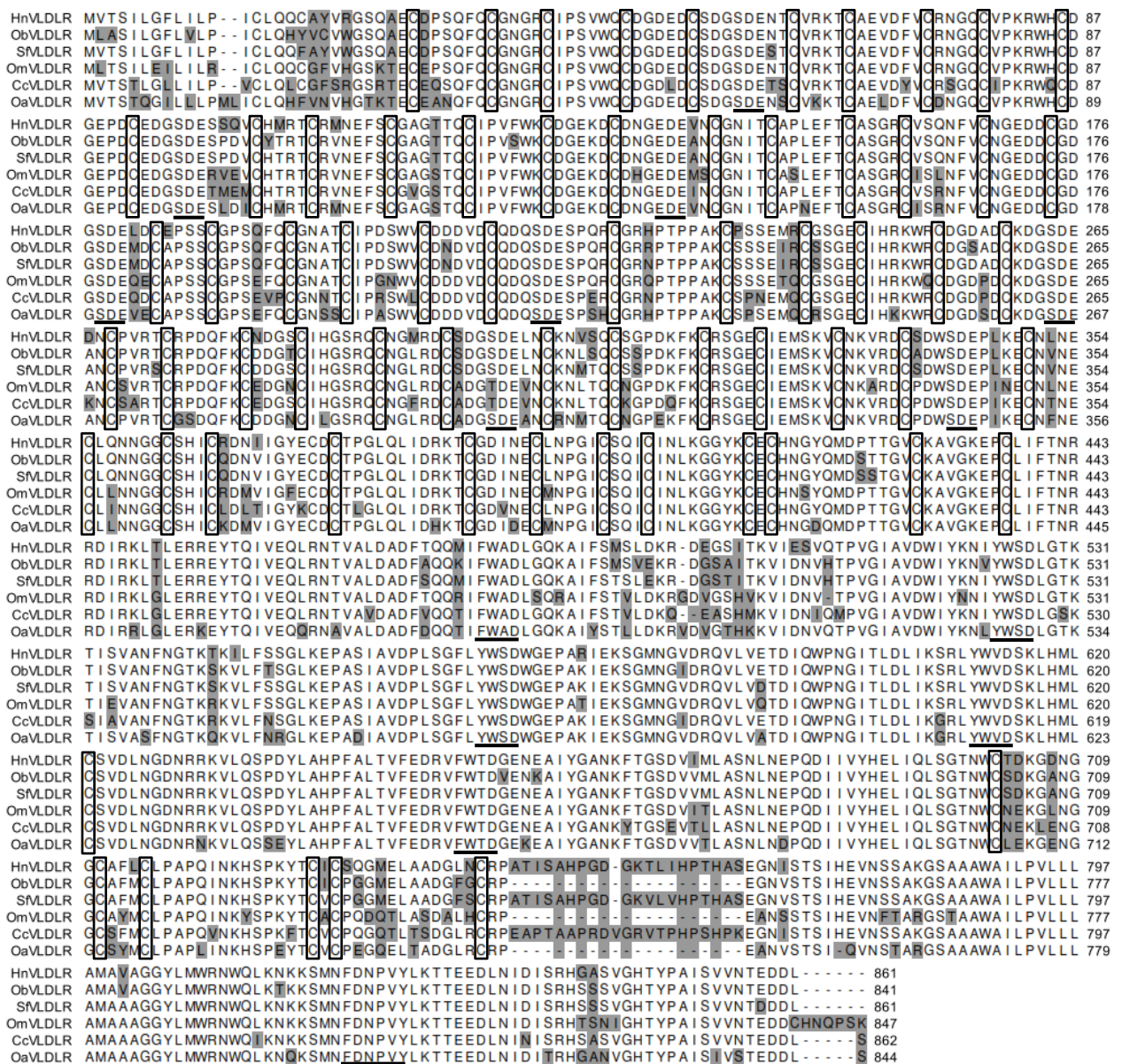


Figure 4c. Alignement des séquences protéiques déduites des récepteurs de la Vtg ou récepteur de lipoprotéine de très basse densité (VLDLR) de *H. niloticus* (HnVLDLR) avec les VLDLR de *O. bicirrhosum* (ObVLDLR), *S. formosus* (SfVLDLR), *O. mykiss* (OmVLDLR), *C. carpio* (CcVLDLR) et *O. aureus* (OaVLDLR). Les cystéines conservées entre espèces sont encadrées, les séquences SDE, EDE, YWS(V)D, FWA(T)D et FDNPVY hautement conservées sont soulignées, les domaines peu conservés sont en gris.

Récepteurs du 17 β -estradiol (ERs)

Dans cette étude, la nomenclature retenue pour les récepteurs du 17 β -estradiol est pour le sous type alpha (ER α), pour le sous type bêta ou bêta 2 (ER β) et pour le sous type gamma ou bêta 1 (ER γ).

L'analyse *in silico* a permis d'identifier les transcrits de quatre ER β et un ER γ : HnER β _X1 de 1674 paires de bases dans le foie et l'ovaire (**figure 5a**), HnER β _X2 de 1653 paires de bases et HnER β _X3 de 1281 paires de bases uniquement dans le foie (**figure 5b**) et HnER β _X4 de 1524 paires de bases et HnER γ de 1443 paires de bases uniquement dans l'ovaire (**figure 5c**). Aucun ER α n'a été identifié dans les tissus examinés.

```

1 M A S S P G S D L P L L Q F Q E V G S S K T G D R S S P G P L S G V Y
1 ATGGCTAGTTCCCCCAGGAAGTGACCTGCCACTTCTGCAGTTCCAGGAAGTGGGCTCCAGCAAGACAGGGGACCGCAGCTCCCCAGGACCCCTCTCTGGTGTCTAC
36 A G P V P G L A M E S R A V C I P S P Y A D S S H D Y T T L G F Y N P
106 GCTGGTCTCTGGCAGGTTAGCCATGGAGAGCCGAGCAGTGTGCATCCCTCGCCCTATGCAGATAGCAGCCACGACTACACCACTCTTGGCTTCTATAATCCC
71 S M L G Y P G S V P D S P S V R P P L S P A I Y W S P Q S H P S Q L P
211 TCCATGCTGGGTACCCGGGCTCTGTCCCTGACAGCCCTCTGTGCGGCCACCCCTAAGCCCTGCTATCTACTGGTACCACAGACCCATCTAGCCAGCTGCC
106 P L T L H C Q Q P L M Y G E P T R T P W V E P K A Q D H N L V E S S K
316 CCGTCCACTTGCATGTGAGCAGCCCTGATGTATGGTGGCCCTCGGACCCATGGGTGGAGCCCAAGGCCAGGACCACTTGGTTGAGAGCAGTAAA
141 L A G R R P L E G D E A L S S S A A C L T A K G D M H F C A V C H D Y
421 CTGGCGGGGGCAGGCCACTAGAAGGAGATGAGGCACTCAGCTCTTCTGCAGCTGCTTAACGGCAAAGGGCGATATGCATTCTGCGCTGTCTGCCACGACTAT
176 A S G Y H Y G V W S C E G C K A F F K R S I Q G H N D Y I C P A T N Q
526 GCCTCAGGTTATCACTATGGTGTCTGGTCTTGGCAGGGCTGCAAGGCCCTCTTTAAGAGGAGCATTCAAGGGCACATGACTACATTGCCCAGCGACCAACCAG
211 C T I D K N R R K S C Q A C R L R K C Y E V G M M K C G V R R E R C S
631 TGCACCATCGACAAGAACCGTCGCAAGAGCTGCCAGGCTGCCGCTCGCAAGTGTACGAAGTGGGCATGATGAAGTGGGAGTGAGACGTGAGCGCTGCAGC
246 Y R G V R H R R V P Q I R E V M L G S G S R T Q R R L E S S L P P T K
736 TACCGTGGGTGCGACACCGGCTGTACCACAGATCCGAGAAGTGTGTGGGTCAGGCTTAGGACCCAGAGGCGACTGGAGAGCAGCTCCCCCAACGAG
281 S F Q S L A L T P E Q L V L R I I E A E P P E I Y L M K D M K K P F T
841 AGTTCCAGTCCCTGGCCTGACCCCTGAACAGCTGTTGGCGATCATTGAGGAGAACCCCGAGATCTACTTGTATGAAGGACATGAAGAGCCATTTACC
316 E S S M M M S L T N L A D K E L V L M I S W A K K I P G F V E L N L S
946 GAGAGCAGCATGATGATGCTCTTACTAACCTGGCAGACAAGGAGTGGTCTCATGATCAGCTGGGCCAAAAAGATCCCAGGGTTTGTGGAGCTCAACTGTCA
351 D Q V H L L E C C W L E V L M L G L M W S V D H P G K L I F S P D L
1051 GATCAAGTGCACCTGCTGGAGTGTGGTGGCTGGAGTGTGATGCTGGGCTGATGTGGAGTCTGTTGACCATCTGGGAAGCTTATCTTCTCCCTGACCTC
386 K L N R D E G S C V E G I M E I F D M L L A A T A R F R E L K L Q R E
1156 AAGCTTAACAGGATGAGGGCAGCTGTGTGGAGGATCATGGAGATCTTTCATGTTGCTGGCAGTACCGCCGATTCGCGAAGTGAAGTGCAGAGGGAA
421 E Y V C L K A L I L L N S N M C V N S P E T P E E L E S R A K L L R L
1261 GAGTATGCTCTCAAGGCGTGTATCTGCTCAACTCCAACATGTGTGTAECTCCTCCAGAGACCTGAGGAGCTGGAGAGTCCGGCCAAAGTCTGCGGCTG
456 L D A V T D A L V W A I S R K G L T F Q Q Q S A R L A H L L M L L S H
1366 CTGGAGCCCTCACAGACGACTGGTGTGGGCACTCCAGGAAGGGCTCACCTTTCAGCAACAGTACGCTCGCCTCGCTCATCTACTGATGCTGCTGCACAC
491 I R H L S N K G M E B I S N M K M K N V V P L Y D L L L E M L D A N T
1471 ATCCGCCATCTCAGTAACAAGGATGGAGCACCTCCAACATGAAGATGAAGAATGTCGTGCCGCTGTACGATCTGCTCCTGGAGATGCTGGAGCAGCAACCC
526 M H S S R V H Q R P P P G D I N P Q E S S S H H T A E N K P L Q Q *
1576 ATGCACAGCTCCCGTGTGCATCAGCGCCCCCACCAGGGGACATCAATCCCCAGGAGTCTCGTCCACCCACACAGCAGAAAAACAGCCCTGAGCAGTAG

```

Figure 5a. Séquence nucléotidique et séquence protéique déduite du récepteur œstrogénique bêta (ER β _X1) identifié dans le foie et l'ovaire de *H. niloticus*. Le codon d'initiation et le codon stop sont indiqués en gras. La région A/B en position N-terminale est suivie du domaine de liaison à l'ADN (DBD) situé dans les encadrés et contenant la boîte P soulignée doublement et la boîte D en soulignement simple. Le domaine de liaison au ligand (LBD) est souligné simplement suivi du domaine F en position C-terminale. Les acides aminés impliqués dans la liaison avec l'estradiol sont encerclés.

Trois récepteurs apparentés aux récepteurs d'œstrogènes (ERRs) ont par ailleurs été identifiés : HnERR α de 1296 paires de bases dans le foie, HnERR γ _X1 de 1068 paires de bases et HnERR γ _X2 de 1101 paires de bases dans l'ovaire.

Les séquences protéiques déduites pour HnERβ_X1, HnERβ_X2, HnERβ_X3, HnERβ_X4, HnERγ, HnERRα, HnERRγ_X1 et HnERRγ_X2 comportent respectivement 558 aa, 551 aa, 427 aa, 508 aa, 481 aa, 432 aa, 356 aa et 367 aa.

(ERβ_X2)

```

1 M A S S P G S D L P L L Q F Q E V G S S K T G D R S S P G P L S G V Y
1 ATGGCTAGTTCCCCCAGGAAGTGACCTGCCACTTCTGCAGTTCCCAGGAAGTGGGCTCCAGCAAGACAGGGGACCGCAGCTCCCCAGGACCCCTCTGGTGTCTAC
36 A G P V P G L A M E S R A V C I P S P Y A D S S H D Y T T L G F Y N P
106 GCTGGTCTGTGCCAGGCTAGCCATGGAGAGCCGAGCAGTGGTGCATCCCCTCGCCCTATGCAGATAGCAGCCAGCACTACACCACTCTTGGCTTCTATAATCCC
71 S M L G Y P G S V P D S P S V R P P L S P A I Y W S P Q S H P S Q L P
211 TCCATGCTGGGTACCCGGGCTGTGCTGACAGCCCTCTGTGCGGCCACCCCTAAGCCCTGCTACTGTGTCACCCAGAGCCATCCTAGCCAGCTGCC
106 P L T L H C Q Q P L M Y G E P T R T P W V E P K A Q D H N L V E S S K
316 CCGCTCACCTTGCATGTGCAGCAGCTGTGATGTGGTGGCCCACTGGACCCATGGTGGAGCCCAAGGCCAGGACCAACTTGGTTGAGAGCAGTAAA
141 L A G R R P L E G D E A L S S S A A C L T A K E D M H F C A V C H D Y
421 CTGGCGGGCGCAGGCCACTAGAAGGAGATGAGGCACTCAGCTCTTCTGCAGCCTGCTTAACGGCAAAGGGCGATATGCATTTCTGCGCTGTCTGCCAGACTAT
176 A S G Y H Y G V W S C E G C K A F F K R S I Q G H N D Y I C P A T N Q
526 GCCTCAGGTTATCACTATGGTGTCTGGTCTTGGAGGGCTGCAAGGCCTTCTTTAAGAGGAGCATTCAAGGGCACATGACTACATTTGCCAGCGCAACACAG
211 C T I D K N R R K S C Q A C R L R K C Y E V G M M K C G V R R E R C S
631 TGACCCATGACAAAGCCGTGCAAGAGCTGCCAGGCTGCCAGGCTGCGAAAGTGTACGAAAGTGGGCATGATGAAGTGGGAGTGAGAGCTGAGCGCTGCCAGC
246 Y R G V R H R R V P Q I R E V M L G S G S R T Q R R L E S S L P P T K
736 TACCGTGGGTGCGACACCGGCTGTACCACAGATCCGAGAAGTGTGTTGGGTGAGCTTAGGACCCAGAGCGACTGGAGAGCAGCCCTCCCCCAACGAG
281 S F Q S L A L T P E Q L V L R I I E A E P P E I Y L M K D M K K P F T
841 AGTTCCAGTCCCTGGCCGACCCCTGAACAGCTGGTGTGGCATATTGAGGAGCAACCCAGAGATCTACTTGAAGGACATGAAGAGCCATTTACC
316 E S S M M M S L T N L A D K E L V L M I S W A K K I P G F V E L N L S
946 GAGAGCAGCATGATGTCTTACTAACCTGGCAGACAAGGATGGTCTCATGATCAGCTGGGCCAAAAAGATCCCGAGGTTTGTGGAGCTCAACCTGCA
351 D Q V H L L E C W L E V L M L G L M M W R S V D H P G K L I F S P D L
1051 GATCAAGTGCACCTGTGGATGTTGCTGGTGGAGGTTGTGATGCTGGGCTGATGTGGAGTCTGTTGACCATCCTGGGAAGCTTATCTTCCCCCTGACCTC
386 K L N R D E G S C V E G I M E I F D M L L A A T A R F R E L K L Q R E
1156 AAGCTTAACAGGATGAGGGCAGCTGTGTGGAGGGATCATGGAGATCTTTGACATGTTGCTGGCAGCTACCGCCGATTCGCGAAGCTGAAGCTGCAGAGGAA
421 E Y V C L K A L I L L N S K T P E E L E S R A K L L R L L D A V T D A
1261 GAGTATGCTGTCTCAAGGCGTGTCTGCTCACTCAAGACACCTGAGGAGCTGGAGAGTGGGCCAAGCTGTGCGGCTGTGGACGCGCTCACAGACGA
456 L V W A I S R K G L T F Q Q Q S A R L A H L L M L L S H I R H L S N K
1366 CTGGTGGGCCATCTCCAGGAAGGCCCTACCTTTCAGCAACAGCTGCGCTCGCTCATCTACTGATGCTGTGCACACATCCCGCTCAGTAAACAAA
491 G M E H L S N M K M K N V P L Y D L L E M L D A N T M H S S R V H
1471 GGAATGGAGCACCTCTCCAACATGAAGATGAAGAATGTCGTGCCGCTGACGATCTGCTCCTGGAGATGCTGGACGAAACACCATGCACAGCTCCCGTGTGCAT
1526 Q R P P P G D I N P Q E S S S H H T A E N K P L Q Q *
1576 CAGCGCCCCCACCAGGGGACATCAATCCCCAGGAGTCTCTGTCACACCACACAGCAGAAAACAAGCCCTGCAGCAGTAG

```

(ERβ_X3)

```

1 M H A S L C P S K L A G R R R P L E G D E A L S S S A A C L T A K G D M
1 ATGCATGCTTCCCTGTGCCAGTAAACTGGCGGGCAGCGCCACTAGAAGGAGATGAGGCACTCAGCTCTTCTGCAGCTGCTTAACGGCAAAGGGCGATATG
36 H F C A V C H D Y A A S G Y H Y G V W S C E G C K A F F K R S I Q G H N
106 CATTCTCGGCTGTGCCAGACTATGCCTCAGGTTATCACTATGGTGTCTGGTCTTGGAGGGCTGCAAGGCCTTCTTTAAGAGGAGCATTCAAGGGCACAAT
71 D Y I C P A T N Q C T I D K N R K S C Q A C R L R K C Y E V G M M K C G V R R E R C S
211 GACTACATTTGCCAGCGACCAACCAAGTGCACCATGCACAAGACCGTCCGAAGAGCTGCCAGGCTGCCGCTGCGAAAGTGTACGAAAGTGGCATGATGAAG
106 C G V R R E R C S Y R G V R H R R V P Q I R E V M L G S G S R T Q R R
316 TGCGGAGTGGAGCGTGGCGCTACCGTACCGTGGGTCGACACCGCGGTGTACCACAGATCCGAGAAGTGTGTTGGGTCAGGCTCTAGGACCCAGAGCGGA
141 L E A S S L P P T K S F Q S L A L T P E Q L V L R I I E A E P P E I Y L M K D M K K P F T
421 CTGGAGCAGCCTCCCGCAACGAAGATTTCCAGTCCCTGGCGCTGACCCCTGAACAGCTGGTGTGGCATCATTGAGGACAGCAACCCAGAGATCTACTTG
176 M K D M K K P F T E S S M M S L T N L A D K E L V L M I S W A K K I
526 ATGAAGGACATGAAGAGCCATTTACCAGAGCAGATGATGTCTTACTAACCTGGCAGACAAGGAGTGGTCTCATGATCAGCTGGGCCAAAAAGATC
211 P G F V E L E L N L S D Q V H L L E L E C C W L E V L M L G L M M W R S V D H P
631 CCAGGTTTGTGGAGCTCAACCTGTGATCAAGTGCACCTGCTGGAGTGTGCTGGTGGAGTGTGATGCTGGGCTGATGTGGAGTCTGTTGACCATCCT
246 G K L I F S P D L K L N R D E G S C V E G I M E I F D M L L A A T A R
736 GGAAGCTTATCTTCCCTCAAGCTTAAACAGGATGAGGGCAGCTGTGTGGAGGGATCATGGAGATCTTTGACATGTTGCTGGCAGCTACCGCCGCA
281 F R E L K L Q R E E Y V C L K A L I L L N S N M C V N S P E T P E E L
841 TCCCGAAGTGAAGCTGCAGAGGGAAGATGTCTGTCTCAAGGCGTGTGCTGCTCAACTCCAACATGTGTGAACTCTCCAGAGACCTGAGGAGCTG
316 E S R A K L L R L L D A V T D A L V W A I S R K G L T F Q Q S A R L
946 GAGATCGGGCCAAGCTGTGCGGCTGTGGACGCGCTCACAGACGCACTGGTGTGGCCATCTCCAGGAAGGGCCTCACCTTTTCAGCAACAGTCACTGCGCTC
351 A H L L M L L S H I R H L S N K G M E H L S N M K M K N V P L Y D L
1051 GCTCATCTACTGATGCTGCTGTACACATCCGCCATCTCAGTAAACAAAGGAATGGAGCACCTTCCAACATGAAGATGAAGAATGTCGTGGCGCTGTACGATCTG
386 L L E M L D A N T M H S S R V H Q R P P P G D I N P Q E S S S H H T A
1156 CTCTGGAGATGCTGGACGCAACACCATGCACAGCTCCCGTGTGCATCAGCGCCCCCACCAGGGGACATCAATCCCCAGGAGTCTCTGTCACACCACACAGCA
421 E N K P L Q Q *
1261 GAAAACAAGCCCTGCAGCAGTAG

```

Figure 5b. Séquences nucléotidiques et séquences protéiques déduites des récepteurs œstrogéniques bêta (ERβ_X2 et ERβ_X3) identifiés uniquement dans le foie de *H. niloticus*. Le codon d'initiation et le codon stop sont indiqués en gras. La région A/B en position N-terminale est suivie du domaine de liaison à l'ADN (DBD) situé dans les encadrés et contenant la boîte P soulignée doublement et la boîte D en soulignement simple. Le domaine de liaison au ligand (LBD) est souligné simplement suivi du domaine F en position C-terminale. Les acides aminés impliqués dans la liaison avec l'estradiol sont encerclés.

(ERβ_X4)

1 M A S S P G S D L P L L Q F Q E V G S S K T G D R S S P G P L S G V Y
1 **ATGG**CTAGTTCCTCCAGGAAGTGACCTGCCACTTCTGCAGTTCAGGAAGTGGGCTCCAGCAAGACAGGGGACCCAGCTCCCGAGGACCCCTCTCTGGTGTCTAC
36 A G P V P G L A M E S R A V C I P S P Y A D S S H D Y T T L G F Y N P
106 GCTGGTCTCTGCGAGGCTTAGCCATGGAGAGCCGAGCAGTGTGCATCCCTCGCCCTATGCAGATAGCAGCCAGCTACACCACTCTGGCTCTATAATCTCC
71 S M L G Y P G S V P D S P S V R P P L S P A I Y W S P Q S H P S Q L P
211 TCATGTCTGGGGTACCCGGGCTGTGCCTGACAGCCCTCTGTGGGCCACCCCTAAGCCCTGCTATCTACTGGTACCACAGAGCCATCCTAGCCAGCTGCC
106 P L T L H C Q Q P L M Y G E P T R T P W V E P K A Q D H N L V E S S K
316 CCCTCACCTTGCATGTTCAGCAGCCCTGTATGTATGGTGGCCACTCGGACCCATGGGTGGAGCCCAAGGCCAGGACCACAACCTGGTTGAGAGCAGTAA
141 L A G R R P L E G D E A L S S S A A C L T A K **G D M H F C A V C H D Y**
421 **CTGGCGGGGCGCCACTAGAAGGAGATGAGGCAGCTCCTTTCAGCCCTTACCGCAAAGGGCGATATGCATTCTCGCTGTCTGCCAGACTAT**
176 **A S G Y H Y G V W S C E G C K A F F K R S I Q G H N D Y I C P A T N Q**
526 **GCCTCAGGTTACTACTATGGTGTCTGGTCTTGGGAGGCTGCAAGGCCCTTTTAAGAGGAGCATTCAAGGGCACAACTGACTACATTTGCCAGCGCCACCCAG**
211 **C T I D K N R R K S C Q A C R L R K C Y E V G M M K C G V R R E R C S**
631 **TGACCATCGCAAGAACCTGCGAAGAGCTGCCAGGCTGCCCGCTCGAAGGTCTACGAAGTGGGCATGATGAAGTGGGAGTGAGACGTGAGCGCTGCGCTGCAGC**
246 Y R G V R H R R K S C Q I R E V M L G S G S R T Q R R R L E S S L P P T K
736 TACCGTGGGGTGGCAGCCGGCTGTACCACAGATCCGAGAAGTGTGTTGGGTCAGGCTCTAGGACCCAGAGGCGACTGGAGAGCAGCTCCCCCCAAGGAG
281 S F Q S L A L T P E Q L V L R I E A E P P E I Y L M K D M K K P F T
841 AGTTCCAGTCCCTGGCCTGACCCCTGAACAGCTGGTGTGGCATCATTTAGGCGAGAACCAGGATCTACTTGTATGAAGGACATGAAGAGCCATTTACC
316 **E S S M M M S L T N L A D K** **Ⓢ** **L V L M I S W A K K I P G F V E L N L S**
946 GAGACAGCATGATGATCTCTACTAACCCTGGCAGCAAGGATTTGGTCTCATGATCAGCTGGGCCAAAAGATCCCGAGGTTTGGAGCTCAACCTGTCA
351 **D Q V H L L E C W L E V L M L G L M W** **Ⓢ** **S V D H P G K L I F S P D L**
1051 **GATCAAGTGCACCTGCTGGAGTGTGCTGGCTGGAGTGTGATGCTGGCCGCTGATGAGGAGTCTGTTGACCATCTGGGAAGCTTATCTCTCCCTGACCTC**
386 **K L N R D E G S C V E G I M E I F D M L L A A T A R F R E L K L Q R E**
1156 **AAGCTTAACAGGATGAGGGCAGCTGTGGAGGGATCATGGAGATCTTTGACATGTTGCTGGCAGCTACCGCCGATTCGCGAATCCGCGAAGCAGGAA**
421 **E Y V C L K A L I L L N S N M C V N S P E T P E E L E S R A K L L R L**
1261 **GAGTATGCTGCTCAAGGCGTGTATCTGCTCAACTCCAACATGTTGTGAACCTCCAGAGACACCTGAGGAGCTGGAGAGTCCGGCCAAAGTGTCTGGCTG**
456 **L D A V T D A L V W A I S R K G L T F Q Q S A R L A H L L M L L S H**
1366 **CTGGAGCCCTCAGCAGCAGCTGGTGTGGCCATCTCCAGGAAGGCCCTCACCTTCAGCAACAGTCAGCTCCCTCGCTCATCTACTGATGCTGCTGCACAC**
491 **I R H L R V P V V W E F P V F P G H ***
1471 **ATCCGCCATCTCAGGGTCCGGGTCTGGGAATTCCTGTATTCCTGGGCATAA**

(ERγ)

1 M L L S L V Y S S A T P I N I P S P L M D N C Q D Y S V Q Q Y A C P G
1 **ATGT**TGCTGCTCCCTGGTCTACAGCTCTGCTACGCCCTAACAACATCCCATCTCCATTAATGGACAACCTGCCAAGATTAATCAGTACAGCAATATGCTTGGCTGGT
36 L S D S S F L D P P F D W K P D S C N F L S I V K K I T P P S S P L A E
106 CTACGTATCCAGCTTTTTGGACCCACCGTTTGGATTGGAAACCCGACAGCAATTTCTTGTCAATAGTCAAGAAAATTACACCCACCCAGCTCCTCTGGCTGAG
71 P E P Q Q S L F S T D K Q Q C Q R R K R K T N G M C R V K S L Q P F P G D
211 CCTGAGCCCAAGCTCTTTCTACTGATAAACAGCAGCAGAGAGAAGGAAAACGAATGGCATGTGCAGAGTGAATCACTGCAGCCCTTTCCAGGGGAT
106 E T **E K R L C F V C K D Y A S G Y H Y S V W S C E G C K A F F K R S I**
316 **GAGACAGAAAACGCTTGTGTTGTGTCAGGACTATGCTTACGGTACCACTACAGTGTGTGGTCTGTGAGGGCTGCAAGGCTTTTAAAGAGGATC**
141 **Q G P T D Y I C C P A N N Q C T I D K S R R R K S C Q A C R L R K C Y E V**
421 **CAAGGCCCTACTGATTATATCTGCTCCAGCAACCAACAGTGCACCATTTGAAGAGCCCGCAAAGCTGCCAGGCTTGTCTGCTTCCGCAAGTGTATGAAGT**
176 **G M V K N G V R R E R R P S Q E V Q G I R M C Q H L S V M G E E A S L**
526 **GGCATGGTCAAGAAATGGTGTCCGAGAGAAGCTGCTCCCTCCAGGAGGTGCAAGGCATACGTATGTGCCAGCACCTTTACGATAATGGGGGAAGAGCCAGTCTT**
211 **L S Q E K S H L S A S L E E T Q Q L L F S P K Q L I S R F L E V E P P**
631 **CTCTCACAGGAAGTCCACCTTTCTGCATCTTTGGAGGAGACCAACACTTGTGTCAGCCAAAGCAGCTCATTTCTCGCTTTCTGGAGTAGAACCTCCA**
246 **D I Y L M W D L K K P F T E V S M M T S L T H L A D K** **Ⓢ** **L F Y M I S W**
736 GACATTTACTTGTATGGGACCTGAAAAACCCCTTTACAGAGGTCAGCATGATGACATCACTCACTCACCTGGCAGACAAAAGCTCTTTTACATGATCAGCTGG
281 **A K K I P G F T E L G L S D Q V H L L D C C W L E V L M L G L I W** **Ⓢ**
841 **GCTAAAAGATCCAGGCTTCACTGAGCTCGGCTATCAGACAGGATCACTTACTAGACTGTTGCTGGCTGGAGGTGCTAATGCTGGGCTTGTATGGAGTCT**
316 **V D H P G K L I F S P D L I L S R D E G S C I E G I L E I F D M L L A**
946 **GTGGACCACCTGGAAGCTGATCTTCTCCCTGACCTCATCTTAGCAGGGATGAGGGCAGCTGCATTGAGGGGATTCTGGAGATCTTTGACATGCTGCTTGA**
351 **A T S R F R E L R L Q K E E Y V C L K A L V L L N S S I Y L Y T P N G**
1051 **GCAACTCTCGCTTCCGGAGCTGCGGCTACAAAAGGAGGAATATGTCTGCTGAGGCCCTGGTCTCTCAACTCTAGCATATACCTCTATACCCCAATGTT**
386 **G Y E H Q S R A K L Q Q L L N A V T D A L I W V I A K L G L S F Q Q Q**
1156 **GGGTATGAGCATCAGAGAGGGGCAAGCTACAACAGTGTGATGCTGTGACTGATGCACTTATATGGGTTATCGTAACTGGGACTGAGCTTCCAGCAGCAG**
421 **S A R L A H L I M L L S H I R H V S N K** **Ⓢ** **M D** **Ⓢ** **L H C** **Ⓢ** **K M K K V V P**
1261 **TCCGCCCAGTGGCCATCTCATGCTGTTGTGCACATCCGCCATGTCAGTACAAAGGAATGGACCCTGCACCTGATGAAGTGAAGAAAGTGTGCCA**
456 **F Y D L L L E M L D A H V M H N S R I L S P E P S G ***
1366 **TTCTATGATCTCCTCTTGGAAATGCTGGACGCCATGTTATGCACACAGCCGATTTCTAGTCTTGCAGCTTCCAGGATGA**

Figure 5c. Séquences nucléotidiques et séquences protéiques déduites des récepteurs œstrogéniques bêta (ERβ_X4) et gamma (ERγ) identifiés uniquement dans l’ovaire de *H. niloticus*. Le codon d’initiation et le codon stop sont indiqués en gras. La région A/B en position N-terminale est suivie du domaine de liaison à l’ADN (DBD) situé dans les encadrés et contenant la boîte P soulignée doublement et la boîte D en soulignement simple. Le domaine de liaison au ligand (LBD) est souligné simplement suivi du domaine F en position C-terminale. Les acides aminés impliqués dans la liaison avec l’estradiol sont encerclés.

HnERs (**figure 6**) et HnERRs ont une structure secondaire composée de cinq domaines. Il s’agit du domaine situé à l’extrémité N-terminale (A/B) qui contient la première fonction d’activation AF-1, du domaine de liaison à l’ADN (DBD), de la séquence flanquante D qui favorise la rotation du DBD (Aranda & Pascual, 2001) et constitue un site d’interaction avec des protéines

corépresseurs (R. Kumar et al., 2011), du domaine de liaison au ligand (LBD) où le 17 β -estradiol (E2) se lie à des acides aminés pour induire la seconde fonction d'activation AF-2 (Aranda & Pascual, 2001 ; Kato et al., 1995) et d'une région C-terminale F dont aucune fonction spécifique n'est encore connue chez les poissons (Aranda & Pascual, 2001 ; Nelson & Habibi, 2013).

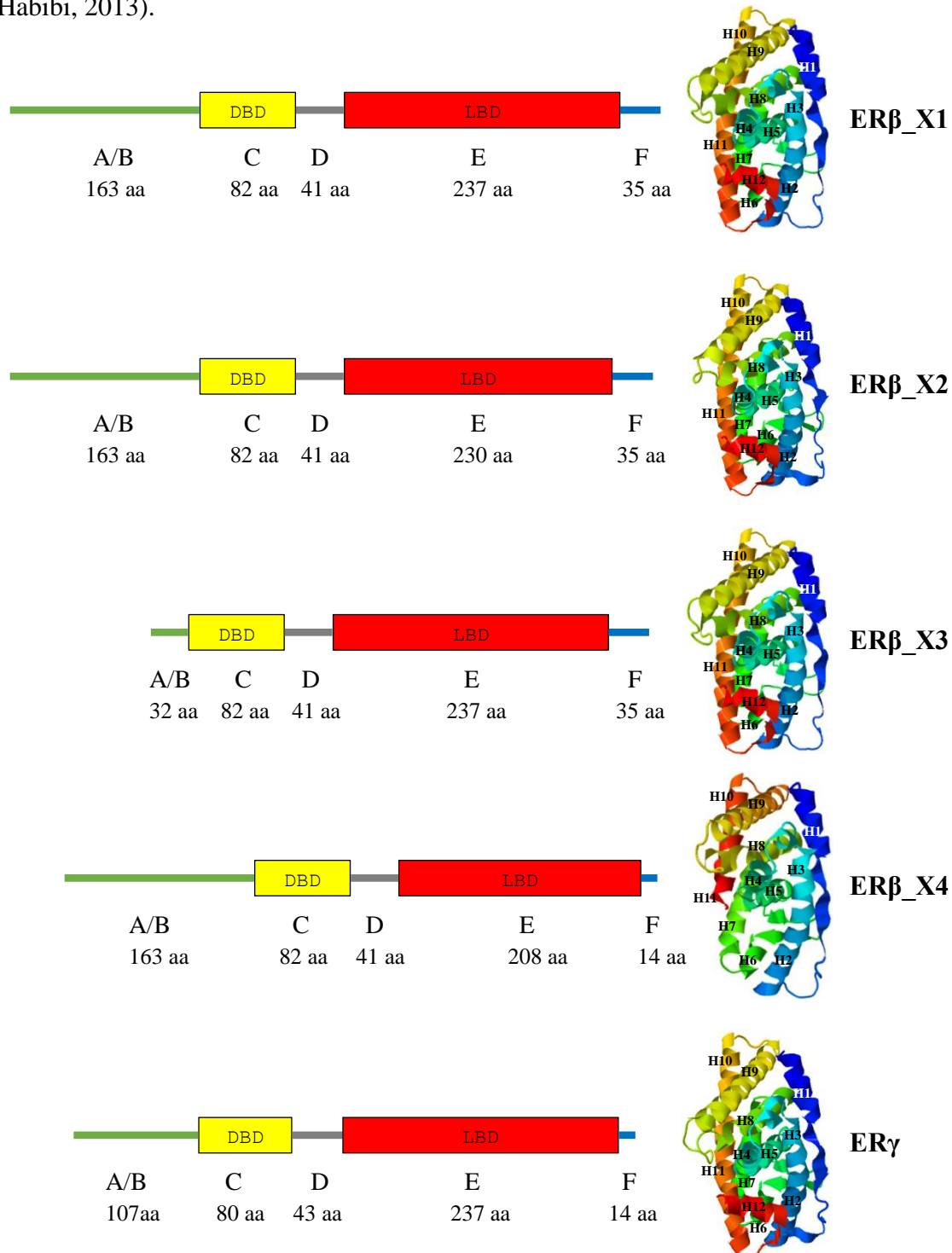


Figure 6. Structure secondaire des récepteurs œstrogéniques bêta (ER β _X1, ER β _X2, ER β _X3 et ER β _X4) et gamma (ER γ) de *Heterotis niloticus* avec les cinq domaines caractéristiques et le nombre d'acides aminés (aa) correspondant. La structure en hélice α des LBD obtenue avec I-TASSER (<https://zhanglab.ccmb.med.umich.edu/I-TASSER/>) montre que les 12 hélices (H1 à H12) sont conservées chez les formes ER β _X1, ER β _X2, ER β _X3 et ER γ , la forme ER β _X4 a une H11 réduite et H12 est absente.

Les quatre formes de HnERβ (**figure 7a**) ont les domaines DBD et D identiques. Le domaine A/B de HnERβ_X3a un nombre réduit d'acides aminés (32) peu conservés au niveau de l'extrémité N-terminale par rapport aux autres HnERβ qui ont un domaine A/B identique de 163 acides aminés. HnERβ_X1 et HnERβ_X3 ont un LBD identique alors que les LBD des formes HnERβ_X2 et HnERβ_X4 ne possèdent pas respectivement la séquence NMCVNSPE et la séquence située entre Ser⁴⁹⁴ et Ala⁵²³ de HnERβ_X1. Le domaine F de HnERβ_X4 de 14 acides aminés diffère des autres HnERβ qui ont un domaine F identique de 35 acides. HnERβ et HnERγ partagent 58 à 68% d'identité en acides aminés et n'ont aucun domaine en commun.

(a)

```

HnERβ_X1 MASSPGSDLPLLQFQEVGSSKTDGRSSPGPLSGVYAGVPVGLAMESRAVCI P SPYADSSHDYTTLGFYNPSMLGYPGSPVDPSPSVRPPPLSPA I Y 94
HnERβ_X2 MASSPGSDLPLLQFQEVGSSKTDGRSSPGPLSGVYAGVPVGLAMESRAVCI P SPYADSSHDYTTLGFYNPSMLGYPGSPVDPSPSVRPPPLSPA I Y 94
HnERβ_X3 M-----1
HnERβ_X4 MASSPGSDLPLLQFQEVGSSKTDGRSSPGPLSGVYAGVPVGLAMESRAVCI P SPYADSSHDYTTLGFYNPSMLGYPGSPVDPSPSVRPPPLSPA I Y 94
HnERβ_X1 WSPQSHPSQLPPLTLHCQQLMYGEPTRTPWVEPKAQDHNLVESKLAGRRPLEGDEALSSSAACLTAKGDMHFCAVCHDYASGYHYGVWSCEG 188
HnERβ_X2 WSPQSHPSQLPPLTLHCQQLMYGEPTRTPWVEPKAQDHNLVESKLAGRRPLEGDEALSSSAACLTAKGDMHFCAVCHDYASGYHYGVWSCEG 188
HnERβ_X3 -----HSLCP-----SKLAGRRPLEGDEALSSSAACLTAKGDMHFCAVCHDYASGYHYGVWSCEG 57
HnERβ_X4 WSPQSHPSQLPPLTLHCQQLMYGEPTRTPWVEPKAQDHNLVESKLAGRRPLEGDEALSSSAACLTAKGDMHFCAVCHDYASGYHYGVWSCEG 188
HnERβ_X1 CKAFFKRSIQGHNDYICPATNQCTIDKNRRKSCQACRLRKCYESVGMKCGVRRERCSYRGVRRHRVPQIREVMLGSGSRTOQRRESSLPTKSF 282
HnERβ_X2 CKAFFKRSIQGHNDYICPATNQCTIDKNRRKSCQACRLRKCYESVGMKCGVRRERCSYRGVRRHRVPQIREVMLGSGSRTOQRRESSLPTKSF 282
HnERβ_X3 CKAFFKRSIQGHNDYICPATNQCTIDKNRRKSCQACRLRKCYESVGMKCGVRRERCSYRGVRRHRVPQIREVMLGSGSRTOQRRESSLPTKSF 151
HnERβ_X4 CKAFFKRSIQGHNDYICPATNQCTIDKNRRKSCQACRLRKCYESVGMKCGVRRERCSYRGVRRHRVPQIREVMLGSGSRTOQRRESSLPTKSF 282
HnERβ_X1 QSLALTPPEQLVLR I I EAEPEPE I YLMKDMKKPFTESSMMMSLTNLADKELVLM I SWAKK I PGFVELNLS DQVHLL ECCCWLEVLMLGLMWRSDVDP 376
HnERβ_X2 QSLALTPPEQLVLR I I EAEPEPE I YLMKDMKKPFTESSMMMSLTNLADKELVLM I SWAKK I PGFVELNLS DQVHLL ECCCWLEVLMLGLMWRSDVDP 376
HnERβ_X3 QSLALTPPEQLVLR I I EAEPEPE I YLMKDMKKPFTESSMMMSLTNLADKELVLM I SWAKK I PGFVELNLS DQVHLL ECCCWLEVLMLGLMWRSDVDP 245
HnERβ_X4 QSLALTPPEQLVLR I I EAEPEPE I YLMKDMKKPFTESSMMMSLTNLADKELVLM I SWAKK I PGFVELNLS DQVHLL ECCCWLEVLMLGLMWRSDVDP 376
HnERβ_X1 GKLI FSPDLKLNREDEGSCVEGIME I FDMLLAATARFRELKLOREEYVCLKAL ILLNSNMCVNSPETPEELESRAKLLRLLDAVTDALVVAISRK 470
HnERβ_X2 GKLI FSPDLKLNREDEGSCVEGIME I FDMLLAATARFRELKLOREEYVCLKAL ILLNS-----KTPPELESRAKLLRLLDAVTDALVVAISRK 463
HnERβ_X3 GKLI FSPDLKLNREDEGSCVEGIME I FDMLLAATARFRELKLOREEYVCLKAL ILLNSNMCVNSPETPEELESRAKLLRLLDAVTDALVVAISRK 339
HnERβ_X4 GKLI FSPDLKLNREDEGSCVEGIME I FDMLLAATARFRELKLOREEYVCLKAL ILLNSNMCVNSPETPEELESRAKLLRLLDAVTDALVVAISRK 470
HnERβ_X1 GLTFQQQSARLAHLLMLLSH I RHL SNKGMEHLSNMKMKNVVPL YDLLLEMLDANTMHSSRVHQPPP - PGD I NPQESSSHHTAENKPLQQ 558
HnERβ_X2 GLTFQQQSARLAHLLMLLSH I RHL SNKGMEHLSNMKMKNVVPL YDLLLEMLDANTMHSSRVHQPPP - PGD I NPQESSSHHTAENKPLQQ 551
HnERβ_X3 GLTFQQQSARLAHLLMLLSH I RHL SNKGMEHLSNMKMKNVVPL YDLLLEMLDANTMHSSRVHQPPP - PGD I NPQESSSHHTAENKPLQQ 427
HnERβ_X4 GLTFQQQSARLAHLLMLLSH I RHL R-----VPV-----VWEFVFPG-----H 508

```

(b)

```

HnERRα TL PKRLCLVCGDVASGYHYGVASCEACKAFFKRTIQGNI EYSCPATNECE I TKRRRKSCQACRFMKCLVGM LKEGVRLDRVRGGROKYKRRPEVES 185
HnERRγ_X1 SLPKRLCLVCGDVASGYHYGVASCEACKAFFKRTIQGNI EYSCPATNECE I TKRRRKSCQACRFMKCLVGM LKEGVRLDRVRGGROKYKRRMDAEN 193
HnERRγ_X2 SMPKRLCLVCGDVASGYHYGVASCEACKAFFKRTIQGNI EYSCPATNECE I TKRRRKSCQACRFMKCLVGM LKEGVRLDRVRGGROKYKRRIDAEN 219
HnERβ_X1 G-DMHFCAVCHDYASGYHYGVWSCEGCKAFFKRSIQGHNDYICPATNQCTIDKNRRKSCQACRLRKCYESVGMKCGVRRERCS-----187
HnERγ -----EKRLCEVCKDYASGYHYGVWSCEGCKAFFKRSIQGPTDYICPATNQCTIDKNRRKSCQACRLRKCYESVGMKCGVRRERER-----245

```

Figure 7. Alignement des séquences protéiques déduites des récepteurs œstrogéniques (ER) béta (a) et des domaines de liaison à l'ADN (DBD) des ERs et ERRs (b) de *H. niloticus* (HnERβ_X1, HnERβ_X2, HnERβ_X3, HnERβ_X4, HnERRα, HnERRγ_X1 et HnERRγ_X2) Le noyau du domaine de liaison à l'ADN (DBD) est encadré, les acides aminés impliqués dans la liaison avec le 17β-estradiol sont indiqués par des triangles noirs. Les domaines peu conservés sont en gris.

Les HnERs partagent moins de 48% d'identité avec les HnERRs. Les HnERRγ partagent 78% d'identité entre eux et moins de 59% d'identité avec ERRα. Cependant, le noyau du DBD des différents récepteurs partagent une plus grande identité (**figure 7b**) : 89% entre ERβ et ERγ, 68 à 70% entre ERs et ERRs, 97% entre ERRγ_X1 et ERRγ_X2 et 94% entre ERRγ et ERRα.

Le noyau du DBD de tous les récepteurs (ERs et ERRs) de *H. niloticus* est composé de 66 acides aminés dont six cystéines suivies d'une extension COOH-terminale (CTE) comprenant entre 10 (pour HnER β) et 25 (pour tous les ERRs) acides aminés. Contrairement au noyau du DBD, le LBD est beaucoup plus variable, HnER β et HnER γ partagent 76 à 77% d'identité et HnERs partagent moins de 33% d'identité avec HnERRs.



Figure 7c. Aligment des séquences protéiques déduites des récepteurs œstrogéniques (ER) bêta de *H. niloticus* (HnER β _X1) avec les ER β de *S. formosus* (SfER β), *O. bicirrhosum* (ObER β), *O. mykiss* (OmER β et OmER γ), *O. aureus* (OaER β et OaER γ) et *C. carpio* (CcER β et CcER γ). Le noyau du domaine de liaison à l'ADN (DBD) est encadré, les acides aminés impliqués dans la liaison avec le 17 β -estradiol sont indiqués par des triangles noirs. Les domaines peu conservés sont en gris.

La comparaison des ER β de *H. niloticus* avec d'autres espèces de téléostéens (figure 7c) montre que le noyau du DBD de HnER β est identique à celui de ER β de *S. formosus* (XP_018583081.1) et de *O. bicirrhosum* (BAT68972.1) et partage 98% d'identité avec le noyau du DBD de ER β de *O. mykiss* (CAC06714), *O. aureus* (ACF75103) et *C. carpio* (BAF99814). Le LBD de HnER β _X1 partage une identité de 95% avec *S. formosus*, 93% avec *O. bicirrhosum* et 82% avec *O. mykiss*, *O. aureus* et *C. carpio*. La comparaison des séquences

du DBD/LBD (**figure 7d**) entre HnER γ et les ER γ d'autres espèces montre une identité de 89/74% pour *O. mykiss* (NP_001118042), 89/72% pour *O. aureus* (ACF75102.1) et 89/70% pour *C. carpio* (BAF99813.1). Les identités en acides aminés entre ER γ sont plus faibles qu'entre ER β .

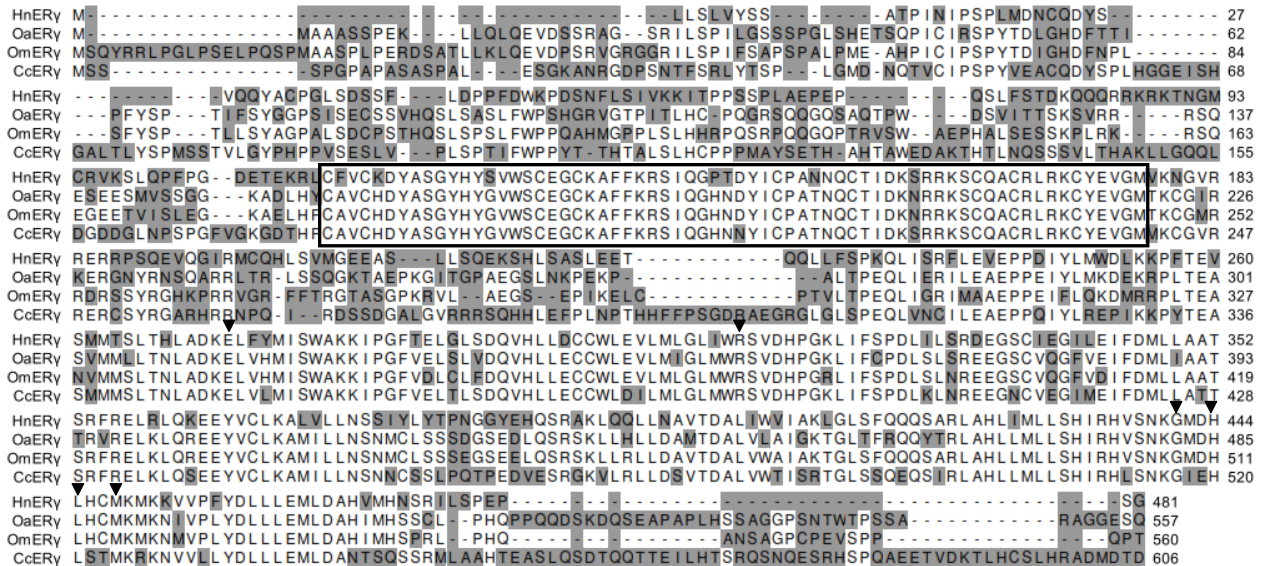


Figure 7d. Alignement des séquences protéiques déduites des récepteurs œstrogéniques (ER) gamma de *H. niloticus* (HnER γ) avec les ER γ de *O. mykiss* (OmER γ), *O. aureus* (OaER γ) et *C. carpio* (CcER γ). Le noyau du domaine de liaison à l'ADN (DBD) est encadré, les acides aminés impliqués dans la liaison avec le 17 β -estradiol sont indiqués par des triangles noirs. Les domaines peu conservés sont en gris.

La boîte P intervenant dans la reconnaissance de l'ADN au niveau de la DBD (Aranda & Pascual, 2001) est représentée par deux peptides : EGCKA au niveau des HnERs et EACKA au niveau des HnERRs. La boîte D qui est impliquée dans la dimérisation des récepteurs (Aranda & Pascual, 2001) est représentée par quatre peptides, PATNQ (HnER β), PANNQ (HnER γ), PASNE (HnERR α), et PATNE (HnERR γ).

Les six acides aminés impliqués dans la liaison avec E2 (Sabo-Attwood et al., 2004) sont présents chez HnER β _X1 (Glu³³⁰, Arg³⁷¹, Gly⁴⁹⁸, His⁵⁰¹, Leu⁵⁰² et Met⁵⁰⁵), HnER β _X2 (Glu³³⁰, Arg³⁷¹, Gly⁴⁹⁸, His⁵⁰¹, Leu⁵⁰² et Met⁵⁰⁵), HnER β _X3 (Glu³³⁰, Arg³⁷¹, Gly⁴⁹⁸, His⁵⁰¹, Leu⁵⁰² et Met⁵⁰⁵) et HnER γ (Glu²⁷³, Arg³¹⁴, Gly⁴⁴¹, His⁴⁴⁴, Leu⁴⁴⁵ et Met⁴⁴⁸) (**figure 5** et **figure 7**). HnER β _X2 ne conserve que deux acides aminés impliqués dans la liaison avec E2 (Glu³³⁰, Arg³⁷¹) et ils sont absents au niveau des HnERRs. Les LBD de HnER β _X1, HnER β _X2, HnER β _X3 et HnER γ (**figure 6**) ont une structure tertiaire composée de 12 hélices α avec l'hélice 12 située respectivement de Leu⁵¹³- Leu⁵²¹, Leu⁵⁰⁶ - Leu⁵¹⁴, Leu³⁸² - Leu³⁹⁰ et Tyr⁴⁵⁷ –

Asp⁴⁶⁵. Quant au LBD de HnERβ_X2, il est dépourvu de l'hélice 12 et possède une hélice 11 beaucoup plus réduite que les autres HnERβ.

Prolactine (PRL)

La prolactine (PRL) est une neurohormone polypeptidique multifonctionnelle dont la fonction de reproduction chez les poissons englobe le cycle et le développement reproducteur, la fraie et les soins parentaux (Whittington & Wilson, 2013).

L'expression de la prolactine de *H. niloticus* (HnPRL) dans l'hypophyse a été identifiée grâce à un transcrit de 627 paires de bases codant pour 209 acides aminés (**figure 8a**).

Le précurseur protéique de HnPRL possède un peptide signal de 25 acides aminés (Met¹-Cys²⁵), quatre hélices α majeures représentant 56% de l'ensemble de la protéine : hélice 1 (Phe²⁸-His⁵⁶), hélice 2 (Glu⁶⁹-Ser¹¹⁵), hélice 3 (Gln¹²²-Lys¹⁴⁹) et hélice 4 (Asp¹⁶⁹-Val²⁰¹) et deux courtes hélices α entre l'hélice 1 et l'hélice 2 : hélice 1' (Val⁶⁰-Lys⁶²) et hélice 1'' (Lys⁸¹-Ser⁸⁶) (**figure 8b**). La structure tertiaire de HnPRL (**figure 8c**) montre que les quatre hélices majeures forment deux paires antiparallèles, hélice 1 / hélice 4 et hélice 2 / hélice 3. HnPRL mature contient quatre cystéines dont une entre l'hélice 1' et l'hélice 1'' (Cys⁷⁰), deux dans l'hélice 4 (Cys¹⁸² et Cys¹⁹⁹) et une en fin de séquence (Cys²⁰⁹). A partir des alignements effectués (**figure 8d**), HnPRL montre une conservation des quatre cystéines mais des identités en acides aminés élevées ou moyennes avec les PRL de *S. formosus* (XP_018592416) (74%), *C. carpio* (CAA37063) (58%), *O. mykiss* (AAA49611) (53%) et *O. niloticus* (AAA53281) (49%).

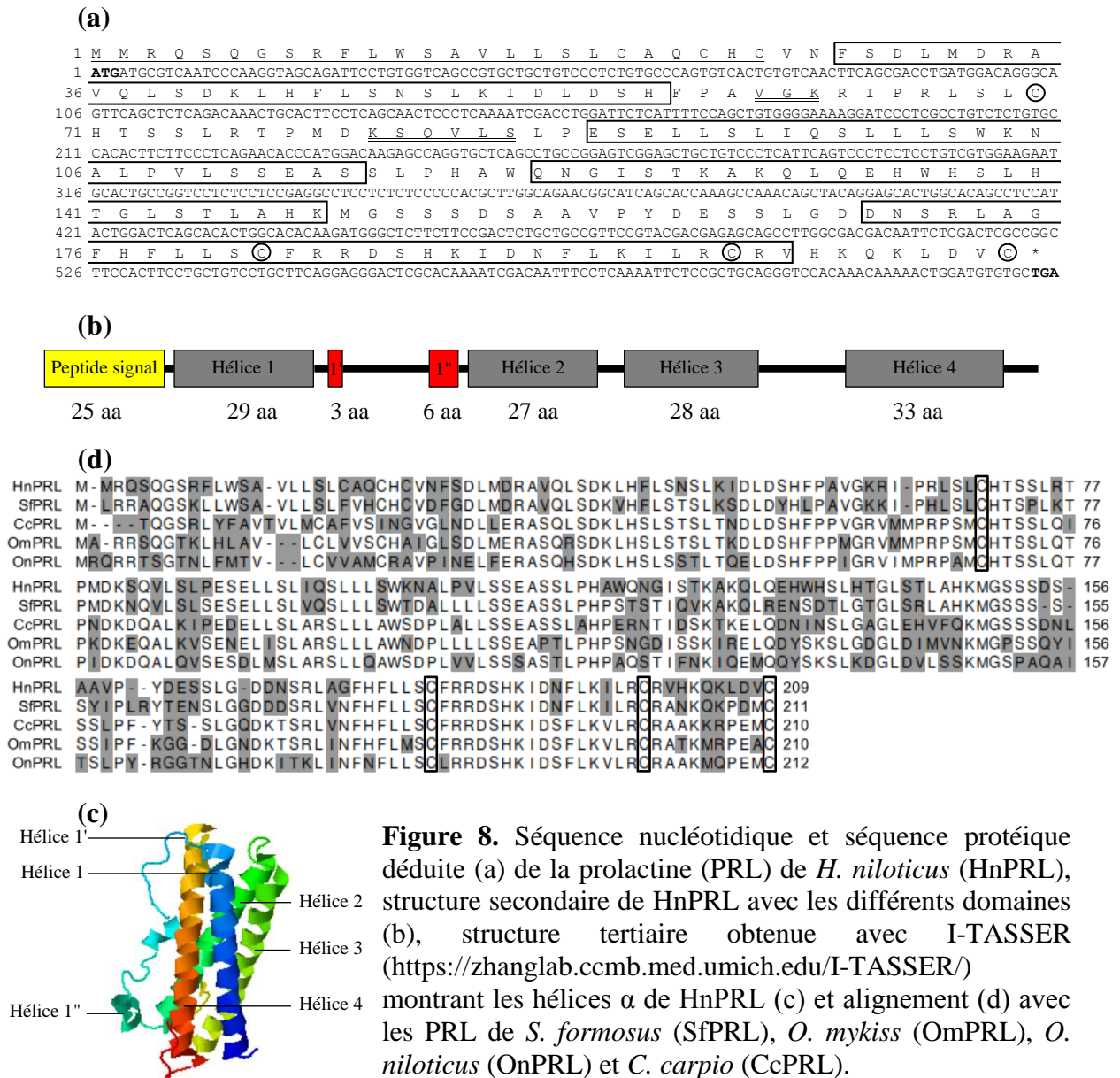


Figure 8. Séquence nucléotidique et séquence protéique déduite (a) de la prolactine (PRL) de *H. niloticus* (HnPRL), structure secondaire de HnPRL avec les différents domaines (b), structure tertiaire obtenue avec I-TASSER (<https://zhanglab.cmb.med.umich.edu/I-TASSER/>) montrant les hélices α de HnPRL (c) et alignement (d) avec les PRL de *S. formosus* (SfPRL), *O. mykiss* (OmPRL), *O. niloticus* (OnPRL) et *C. carpio* (CcPRL).

Dans la figure (a), le codon d'initiation et le codon stop sont indiqués en gras, le peptide signal est souligné simplement, les quatre hélices majeures (1, 2, 3 et 4) disposées de façon successive sont dans des encadrés et les courtes hélices 1' et 1'' sont doublement soulignées. Dans la figure (d), les quatre cystéines conservées sont dans des cercles, les tirets marquent un défaut d'alignement, les chiffres indiquent la position des acides aminés en fin de séquence, les domaines peu conservés sont en gris.

Récepteur de la prolactine (PRLR)

Le récepteur de HnPRL (HnPRLR) est exprimé dans l'ovaire des femelles en vitellogenèse et est représenté par un transcrite de 1767 paires de bases codant pour une protéine de 589 acides aminés (figure 9a). HnPRLR consiste en un peptide signal de 25 acides aminés (Met¹- Leu²⁵) suivi de trois domaines (figure 9b), un domaine extracellulaire (EC) de 207 acides aminés (Ser²⁶- Arg²³²), un domaine transmembranaire (TM) de 23 acides aminés (Ser²³³- Ile²⁵⁵) et un

domaine intracellulaire (IC) de 334 acides aminés (Asn²⁵⁶- Tyr⁵⁸⁹). L'alignement des séquences de HnPRLR avec les PRLR d'autres espèces de téléostéens (**figure 9c**) montre une identité en acides aminés de 85% avec *S. formosus* (XP_018604730), 57% avec *O. mykiss* (NP_001118071), 55% avec *C. carpio* (AAK95833) et 51% avec *O. niloticus* (NP_001266477).

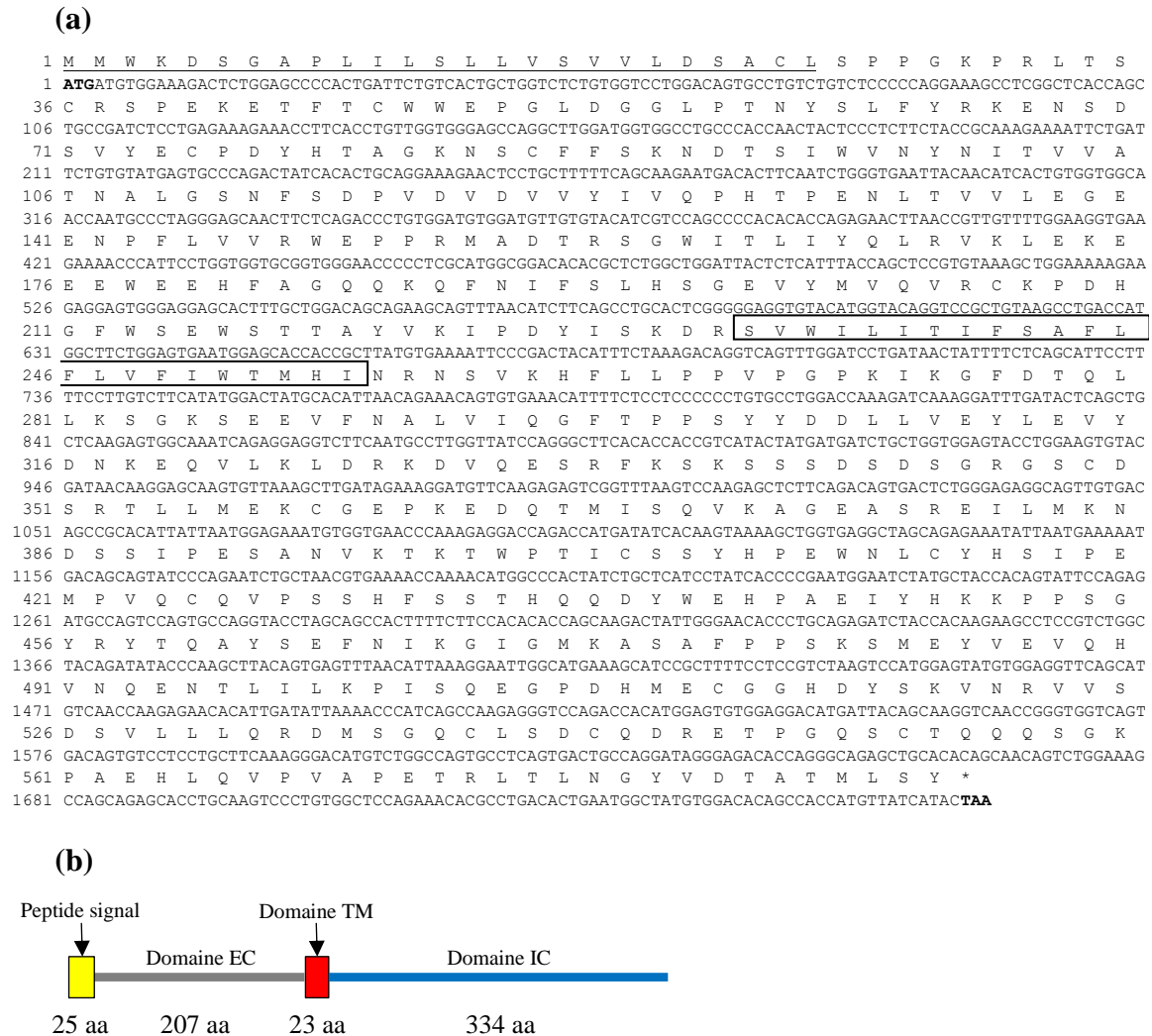


Figure 9. Séquence nucléotidique et séquence protéique déduite (a) et modélisation en boîtes avec les différents domaines (b) du récepteur de la prolactine (PRLR) de *H. niloticus* (HnPRLR). Dans la figure (a), le codon d'initiation et le codon stop sont indiqués en gras, le peptide signal est souligné simplement, le domaine transmembranaire (TM) situé dans des encadrés est entre le domaine extracellulaire (EC) au niveau de l'extrémité N-terminale et le domaine intracellulaire (IC) au niveau de l'extrémité C-terminale.

```

HnPRLR MMWKS DSGAFL ILSLLVSVV--LDSACLSPGKPRLTSCRSPEKETFTCWWEPLDGGGLPTNYSLFYRKENS DSVYEC PDYHTAGKNSCFF 88
SfPRLR MMSRDSGASL ILSLLI SAV--LDSGLSPGKPRLTSCRSPEKETFTCWWEPLDGGGLPTNYSLFYRKENS DTVYEC PDYHTAGKNSCFF 88
OmPRLR MMWRDVGVT ILSLLI PVV--AQRARHTPPGKPRLTSCRSPEKETFTCWWEAGSDGGHPTTYSLFYRKENS ETVYEC PDYHTAGKNSCFF 88
OnPRLR MMTK VGEVL LLLLP AFVPH TDGTHYS LPPGKPRTEIKCRSPEKETFTCWWEKPGSDGGGLPTTYALYRKEGSDVVECPDYHTAGKNSCFF 89
CcPRLR M--RNSGAVL I LFI V KLI--SQAAGVSA PGKPRLTSCRSPEKETFTCWWEPLDGGGLPTTYALYRKEGSDVVECPDYHTAGKNSCFF 86
HnPRLR SKNDTS IWVNYNITVVATNALGNSFSDPVDVDDVYIVQPHTPENLTV-VLEGEENPFLVVRWEPPRMADTRSGWITLIYQLRVKLEKEE- 176
SfPRLR SKNDTS IWVNYNITVVATNALGNSFSDPVDVDDVYIVQPHTPENLTV-VLEDEDNPFVVRWEPPRMADTRSGWITLIYQLRVKLEKEE- 176
OmPRLR NKNNTL IWVSYNITVVATNALGNSFSDPVDVDDVYIVQPHTPENLTVVLEDEDGPFVLRVSWEPKPRADTRSGWITLIYELRVKLEEEAE- 177
OnPRLR NKNNTL IWVSYNITVVATNALGNTYSDPQIDVYIVQPHPEKLEVTVMKDGQWFLRVSWEPKPRADTRSGWITLIYELRVKLEDEES 179
CcPRLR NKNNDTS IWVNYNITVVATNALGKNI SEPVVDVYIVQPHTPENLTVAVVDEDDGQFVLRVSWEKPRADTRSGWITLIYQLRVKQKDK- 175
HnPRLR EWEHFAGQOKQFN I FSLHSGEVYMQVRCKPDHGFSEWSTTAYVKVPDYISKDRS VWILITIFSAFLFLVFWITMHIINRNSVKHFLLP 266
SfPRLR EWEHFAGQOKQFN I FSLHSGEVYMQVRCKPDHGFSEWSTTAYVKVPDYISRERSI WILIAVFSFIFEFVFWITMHIINRNSVKHFLLP 266
OmPRLR EWEHFAGQOKMFN I FSLHSGGVYMQVRCKPDHGFSEWSTASVYKVPDYIPRERSI WILIAVFSAFIFLITLWITLNRNSVKHCLLP 267
OnPRLR EWEHAGQOKMFN I FSLHSGGTYL I QVRCKPDHGFSEWSTASVYKVPDYELHREKSVWILVLFVSAFILLLLTWTLIHMNSHSLKHCMLP 269
CcPRLR EWEENAGMOKYYN I FSLHPTDFEMVQVRCKPDHGFSEWSTQTTITKMPDYIPRQRSI WILITIFSVFIVLILTWTLNVKRNNSVKLCLLP 265
HnPRLR PVPGPKIKGFD TQLLKS GSKSEEVFNALV I QGFTPPSY YDDLVEYLEVYDNRKEQV LKLDKDVQELSRFKS-KSSSDSDSGRGS CDSFT 353
SfPRLR PVPGPKIKGFD TQLLKS GSKSEAVFSALV I QGYPPTS YDDLVEYLEVYDNRKEQV LMLDRKDLQELSLFKS-KSSSDSDSGRGS CDSHT 353
OmPRLR PVPGPKIKGFDQQLLKGKKEEVFNLSVOSFPPRSTYEDLLVEYLEVYVNEKQELMPEGKDLRDVGCLES-KSSSDSDSGRGS CDSHT 356
OnPRLR PVPGPKIKGFDQQLLKS GSKSEEVFNALVSDFPPTTSNYEDLLVEYLEVYVNEKQELMVD-KGKDHGCLKSTGSA SSSDSDSGRGS CDSN 358
CcPRLR PVPGPKIKGFDKEEVFNLSV I QGFPPT- IYDDLVEYLEVYDNEEQELVLDGKDLSED-CIKS-KSSSDSDSGRGS CDSK 352
HnPRLR LLMEKCG---EPKEDQTM I-SQVKAGEA I SREILMKNDS--S---IPESANVKTKTWPTIGS-SYHPEWNL CYHS IPEMPVOCQVP- 428
SfPRLR LLMEKCGV---EPKEDQTM I-PQVKDSEA I SRDLVMKNDS--N---IPESANVKTKTWPTIGS-SYHYDGNPCYHS IPEMPRQCQHTS- 428
OmPRLR LLMEKCGGV-E SKDESSYEPEL LQGQAGSWEI LRGDSOVV---TPDSSDARVKTWPLVFSPIHGSSDNHHYGLTLEMPKQHSITSEI 441
OnPRLR LLMDKSGAPKEEQQQNQEGDQ I GKETQGPKEAWEKEAMP CANEDVSPDASSEKVKTWPSVFS- VTPYSR LDPHNSLMEHKQHCLSN 447
CcPRLR LLLEKCMVGRKGS GSDQHYSQHGETSWASTE---SSECOGLEPVSPESSDGRVKTWPV VFS--SPOPHHYQAEITV KPVYHGVPEI 434
HnPRLR -----SSHF-SSHQDQYWEHPAE I-----YHKKPPSGYRY-----TQAYSEFN I KGIG-MKASA--FPASKSM EYVEVQHV 491
SfPRLR -----SNHF-ASTHQDQYWEHPAE I-----YHKKPPSGYRY-----AQAYSEFN I KGIA-LKEAT--FPASKSLE YVEVQHV 491
OmPRLR TYSVPDHLPTSTSF-PHHHPEYRDSLGEYSEYRHSRSPSTGVLYHWEAQHPQAHNFN I RNLEROK EATGFGLPPSRSM EYVEVQKV 530
OnPRLR QFPPGS---PSSDHY I KEALQSSYWE---VCFNNNQPYQT-----EVHPQLQAHSDFN I SAVNDRNAP TGLL LP-TRMTEYVEVQRV 523
CcPRLR LNHSSPHIMPTNYH---HLHQDI-----PQOQGRHGKPA CRHSQS YNHFNLDGLN---TPAPGVSPSRSL EYVEVQHV 502
HnPRLR NQENTL I LKPI SQEG- PD- HMECGGH DYSKVNRVVS DSVLLLQRDMS-GCLSDCQDRETPGQSC---TQQQ-----SGKPAEHLQV 567
SfPRLR NQENTL I LKPI SQEG- PDLFHA ACTGHDYS VNRVSDNVLELLQRDTS-GOCHSDCQEREAPVRS C---TQQQ-----PGKPADHLQV 569
OmPRLR NOINQLV LKPISSHG RGSQVQFGRAVVDYSKVNGVNDVLLQRDREMAEAGDYREKEGAEAEYRPTQQQKTTKDG PVA TQLO 618
OnPRLR NEENK VLLHP I PS GHSREKACPWVGQRDDYSKVGDVSDNGLLQREVV EESMEMAGAAESC YTS I AFTTPKQ-----TAQSPVAL 606
CcPRLR NPENML L LRP I SDPNREPEGS DYA- GEDYSKVKVETSNI I LLLLRDTS-----HHCVD DYSQASQC---TQQQPPHCKPVIYQNSGM 582
HnPRLR PVAPETRLTNGYVDTA-TMLSY- 589
SfPRLR PRVQETHLAPNGYVDTA-TMLSY- 591
OmPRLR ---ESTLITTSGYVDTVPTMPTF- 638
OnPRLR PVQDERVLA VSGYVDTATVFSVHT- 630
CcPRLR P-QEGRMVMNGYVDS TVLMPISY- 604

```

Figure 9c. Alignement des séquences protéiques déduites des récepteurs de la prolactine (PRLR) de *H. niloticus* (HnPRLR) avec les PRLR de *S. formosus* (SfPRLR), *O. mykiss* (OmPRLR), *O. niloticus* (OnPRLR) et *C. carpio* (CcPRLR). Les domaines peu conservés sont en gris.

Sous unité alpha de l'hormone glycoprotéique (GP α)

Une sous unité α de l'hormone glycoprotéique (GP α) commune à l'hormone lutéinisante (LH) et à l'hormone folliculo-stimulante (FSH) (Acharjee et al.,2015) a été caractérisée dans l'hypophyse de *H. niloticus*. La séquence nucléique de HnGP α comprend 345 paires de bases codant pour une protéine de 115 acides aminés (**figure 10a**). La structure secondaire (**figure 10b**) permet de distinguer un peptide signal de 24 acides aminés et trois domaines α loop respectivement de 25, 28 et 23 acides aminés. HnGP α compte dix cystéines (Cys¹ à Cys¹⁰) et l' α loop 1 est située entre les Cys¹et Cys⁴, l' α loop 2 entre les Cys⁵et Cys⁶ et l' α loop3 entre les Cys⁷et Cys⁸ (**figure 10a**). Deux sites de N-glycosylation ont été prédits dont un dans l' α loop 2 (NITS) et l'autre dans l' α loop 3 (NHTD).

Une comparaison de séquences (**figure 10c**) montre que HnGP α est identique à la GP α de *A. gigas* (AIG51239) et que certains domaines sont communs avec les GP α de *S. formosus* (XP_018588619.1) (82%), *C. carpio* (CAA39852) (74%), *O. niloticus* (AAP49577) (65%) et *O. mykiss* (BAB17685) (61%).

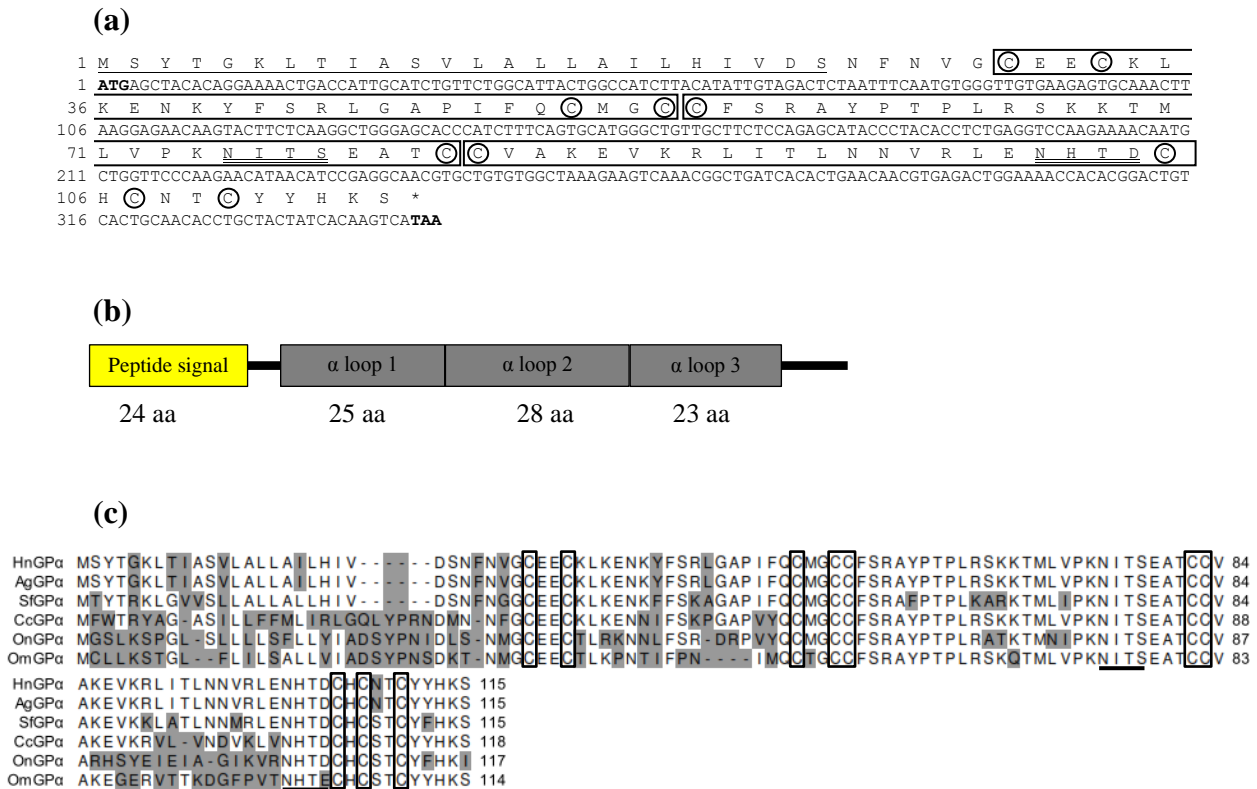


Figure 10. Séquence nucléotidique et séquence protéique déduite (a) de la sous unité alpha de l'hormone glycoprotéique (GP α) de *H. niloticus* (HnGP α), modélisation en boxes avec les différents domaines (b) et alignement (c) avec les GP α de *A. gigas* (AgGP α), *S. formosus* (SfGP α), *O. mykiss* (OmGP α), *O. niloticus* (OnGP α) et *C. carpio* (CcGP α). Dans la figure (a), le codon d'initiation et le codon stop sont indiqués en gras, le peptide signal est souligné simplement, les α loop 1, 2 et 3 disposées de façon successive sont dans des encadrés. Les sites prédits de N-glycosylation sont soulignés et les cystéines sont encadrées. Dans la figure (c), les cystéines conservées entre espèces sont dans des encadrés et les domaines peu conservés sont en gris.

Sous unité β de l'hormone folliculo-stimulante (FSH β)

Le transcrit de la sous unité β de l'hormone folliculo-stimulante de *H. niloticus* (HnFSH β) a une séquence de 381 paires de base et code pour une protéine de 127 acides aminés (**figure 11a**).

La structure secondaire de HnFSH β (**figure 11b**) permet de distinguer un peptide signal de 19 acides aminés, trois domaines β loop 1, 2 et 3 respectivement de 26, 20 et 17 acides aminés et un « seat-belt » loop de 18 acides aminés. HnFSH β mature compte 12 cystéines (Cys¹- Cys¹²). La β loop 1 est située entre Cys¹-Cys⁴, la β loop 2 entre Cys⁵-Cys⁶, la β loop3 entre Cys⁷-Cys⁸ et le « seat-belt » loop entre Cys¹⁰- Cys¹² (**figure 11a**). Un site probable de N-glycosylation (N^VSI) se trouve dans la β loop 1 entre Cys¹-Cys².

Une comparaison des séquences de FSH β (**figure 11c**) montre que HnFSH β partage une haute identité avec FSH β de *A. gigas* (AIA09918) (86%) et beaucoup moins avec *S. formosus* (KPP62167) (69%), *C. carpio* (O13050) (51%), *O. mykiss* (BAB17686) (44%) et *O. niloticus* (AAP49575) (37%).

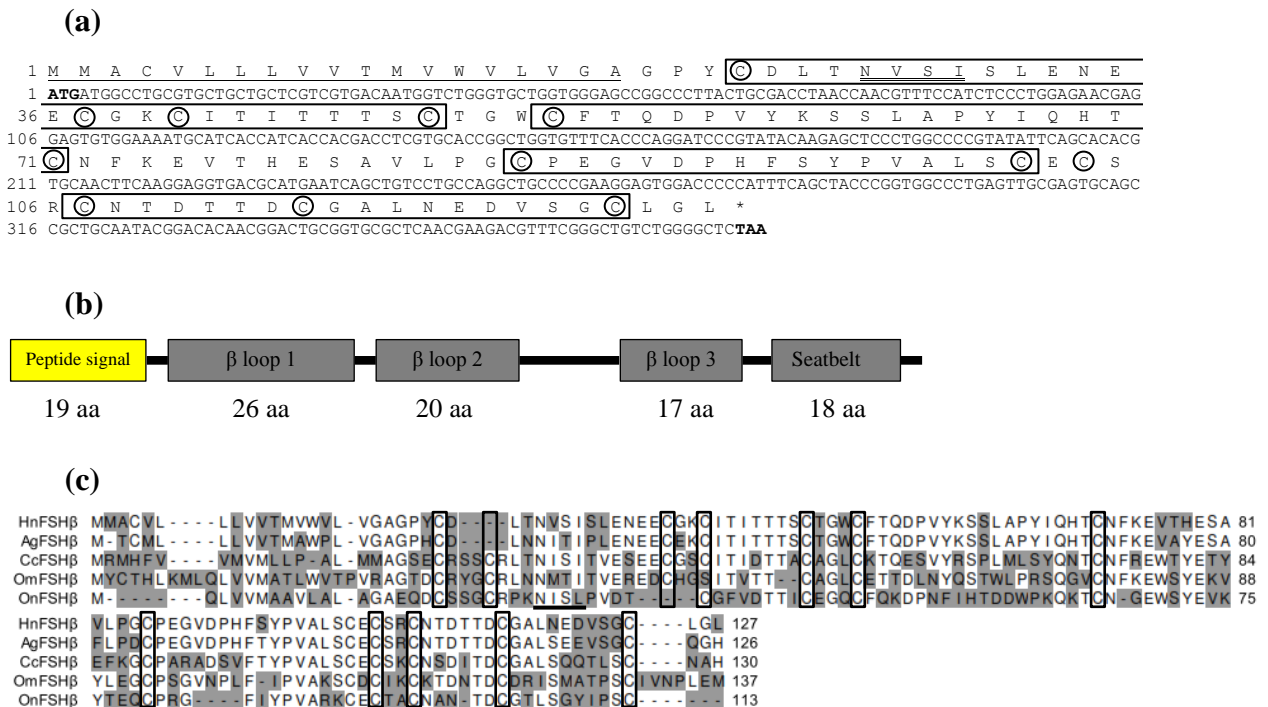


Figure 11. Séquence nucléotidique et séquence protéique déduite (a) de la sous unité bêta de l'hormone folliculo-stimulante (FSH β) de *H. niloticus* (HnFSH β), modélisation en boxes avec les différents domaines (b) de HnFSH β et alignement (c) avec les FSH β de *A. gigas* (AgFSH β), *O. mykiss* (OmFSH β), *O. niloticus* (OnFSH β) et *C. carpio* (CcFSH β). Dans la figure (a), le codon d'initiation et le codon stop sont indiqués en gras, le peptide signal est souligné simplement, les régions β loop 1, 2, 3 et le "Seatbelt" disposées de façon successive sont dans des encadrés. Le site prédit de N-glycosylation est doublement souligné et les cystéines sont dans des cercles. Dans la figure (c), les cystéines conservées entre espèces sont dans des encadrés et les domaines peu conservés sont en gris.

Récepteur de l'hormone folliculo-stimulante (FSHR)

Le récepteur de HnFSH (HnFSHR) est exprimé dans l'ovaire des femelles en vitellogenèse et correspond à un transcrit de 2037 paires de bases codant pour une protéine de 679 acides aminés (**figure 12a**). HnFSHR possède un peptide signal de 37 acides aminés (Met¹ - Ala³⁷) suivi de quatre domaines extracellulaires (EC) de 322 (EC1), 21 (EC2), 19 (EC3) et 9 (EC4) acides aminés, de sept domaines transmembranaires de 23 acides aminés chacun et quatre domaines intracellulaires (IC) de 8 (IC1), 20 (IC1), 24 (IC1) et 58 (IC1) acides aminés (**figure 12b**).

L'alignement des séquences de HnFSHR avec les FSHR d'autres espèces de téléostéens (**figure 12c**) montre une identité en acides aminés de 64,94 % avec *O. mykiss* (NP_001117799) et 71,23% avec *C. carpio* (XP_018940722).

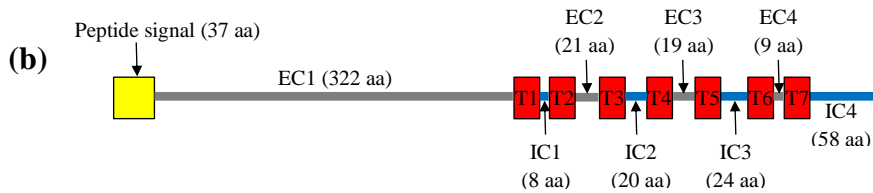
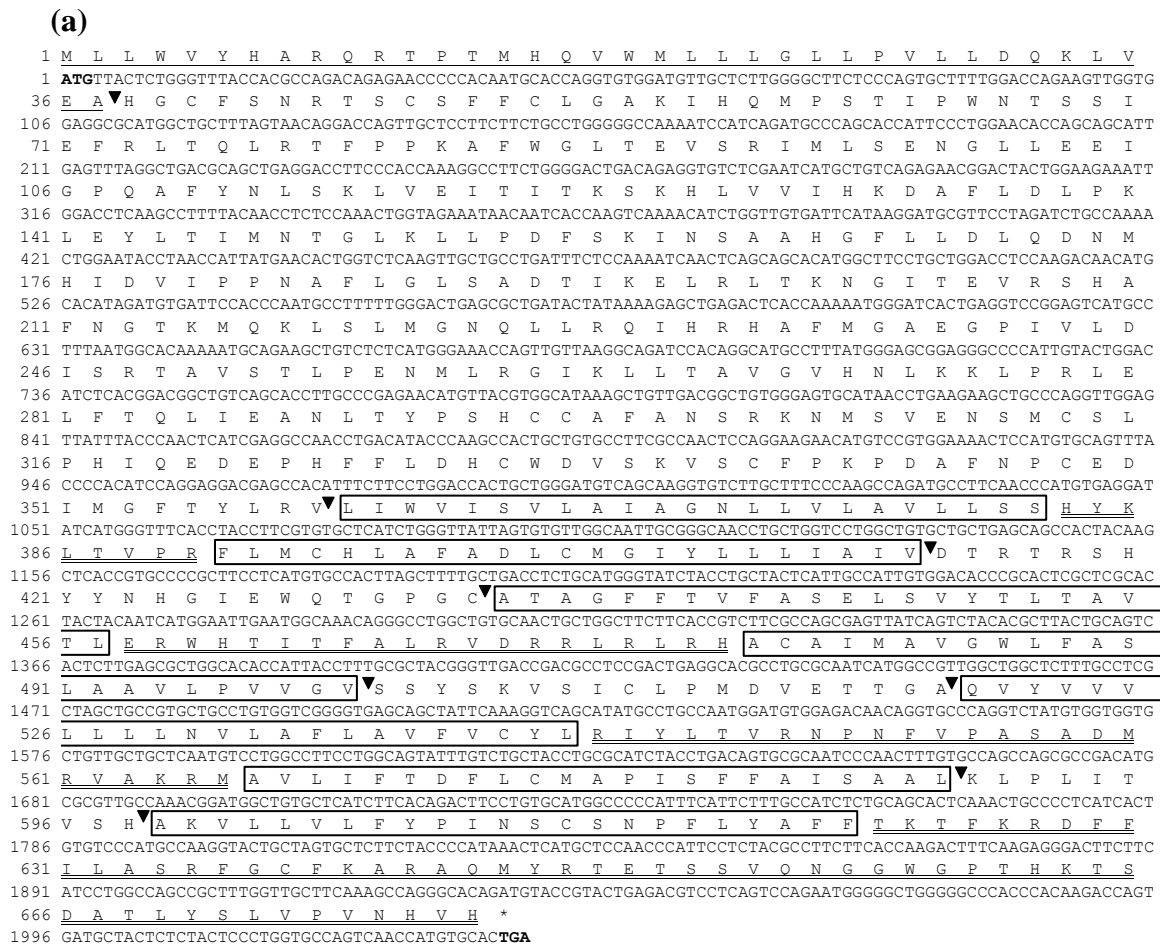


Figure 12. Séquence nucléotidique et séquence protéique déduite (a) du récepteur de l'hormone folliculo-stimulante (FSHR) de *H. niloticus* (HnFSHR) et modélisation en boxes (b) avec les différents domaines extracellulaires (EC1 à EC4), transmembranaires (T1 à T7) et intracellulaires (IC1 à IC4) de HnFSHR. Dans la figure (a), le codon d'initiation et le codon stop sont indiqués en gras, le peptide signal est souligné simplement, les domaines T sont dans des encadrés, les domaines IC sont doublement soulignés et les domaines EC sont délimités par des triangles noirs.

```

HnFSHR MLWVYHARQETPTMHQVWMLL--LGLL-PVLLDOKLVEAHGCFNSRNTSCSFFCLGAKIHQMPSTIPWNTSSIEFRLTQLRIFPPKAFWG 87
CcFSHR M-----TKRMVLLMMLCFSLGWL-MSHXEGMLVGSFCSFNGSTCNFFCLGNSVHEMPKHIPENTTFVEIKLTEIRVFRRAALSE 79
OmFSHR MM-----KMKKIMKMLLCLMGLCVCVSOAEVAMVNS-----GTFETYLCMGNITHTMPTTHIPKNTTDLFEKQTHIRVFPREAFITN 74
HnFSHR LTEVSRIMLSENGLEEIGPQAFYNLSKLVETITKSKHLVVIHKDAFLDLPKLEYLTMNTGLKLLPDFSKINSAAHGFLDLQDNMHI 177
CcFSHR LHELKRIVSENGALERIEPFAFNSLTELQEIITKSKNLVSLKDAFWSLPKLRYLTIINTGLKALPDFSKINSAALEFLDLQDNHI 168
OmFSHR LQQLTAVLLENGMLESIGAFANLPRLTEITITKSKHLVVIHQAFIQLPKLSHLTICNTGLRVLPNFSIHSAAALTFLLDLQDNVHI 164
HnFSHR DVIIPNAFLGLSADTIKELRLTKNGITEVSHAFNGTKMOKLSLMGNOQLRQIHRHAFMGAEGPIVLDISRTAVSTLPENMLRGIKLLTA 267
CcFSHR DKIPRNAFLGLTSATITELRLTKNGIRATESYAFNGTRTEKFLFMGNQQLSHIDRYAFKGAEGPIVLDISHAVHTLPENMLRLLKLLTA 258
OmFSHR VVIPNAFLGLTNTIDELRLTKNGISEVESHAFTGKIHKFLFMGNQLSHMHNNNSFKGAEGPGFLDISRTALSSLPESVLEVEHLSA 254
HnFSHR VGVHNLKKLPRLELFTOLIEANLTYPSHCCAFANSRKNMSVE-NSMCSLPHIOEDEPHFFLDHCWDVSKVSCFPKPAFNPCEIIMGFTY 356
CcFSHR TSVYSLKRLPNLELFTELTQANLTYPSHCCAFKNFTKHKSVK-NQMCCNSGAPS-EPVFFEDHCKDVIKVTCTYPTDAFNPCEIIMGFTF 346
OmFSHR VSVFSLRALPRLSFTKLQANLTYPSHCCAFHKHQRNRTFRMTSACFKPGAQN-NLHFFMDECLNWTSVACSPADAFNPCEIIMGSAF 343
HnFSHR LRVL IWIISVLAIAAGLLVLLVLLSSHYKLTVPFRFLMCHLAFADLCMGIYLLIAIIVDTRTRSHYYNHGIEWQTGPGCATAGFFTFVASE 446
CcFSHR LRVL IWFISILAIIVGNVLLVLLVSSRYKLTVPFRFLMCHLAFADLCMGIYLLIAAKDIHTQSRYYNYGI DWQTGPGCHVAGFFTFVASE 436
OmFSHR LRVL IWIITSVLALLGNTIVLLVLLGSRAKMTVPFRFLMCHLSFADLCMGIYLVVIAITVDVTRTRGLYYNHAISWQTGAGCDIAGFFTFVASE 433
HnFSHR LSVYTLTAVTLERWHTITFALRVDRRLRLRHACAIMAVGWLFA SLAAVLPVVGVSYSKVSICLPMDVETTGAVVYVLLLLNVLAFLA 536
CcFSHR LSVYTLTAVTLERWHTITAMOREROMRLRHACAIMAVGWLFA LTAALMPVGVSSYKTSICLPMDVETVLSQGYVLLLLLNVAFLI 526
OmFSHR LSVFTLTAITLERCHTITHALRLDRKRLRLRHACAVMAIGWAFSGLAALLPTVGVSSYSKVSICLPMDVETSLRSQVFMVFLLLLNVAFLC 523
HnFSHR VEVCYLR IYLTVRNPNFVPASADM-RVAKRMAVLI FTDFLCMAPISFFAISAAKLPLITVSHAKVLLVLFYPI NSCSNPFLYAFFTKTF 625
CcFSHR VCVCYMR IYLTVRNPTFVPANADM-RIAKRMAVLI FTDFLCMAPISFFAISAAKLPLITVSHAKVLLVLFYPI NSCSNPFLYAFFTKTF 615
OmFSHR VCVCYLS IYLSVRNSSPPASAETSMAORMAII FTDFLCMAPISFFAISAAKLPLITVSDSKLLLVLLVYPINSCANPFLYGLCTRITF 613
HnFSHR KRDFFLASRFGCFKARAQMYRTEITSSVQNGGWP-THKTSDATLYSLVPVNHVH 679
CcFSHR KRDFFLITSGFGCFKTRAHIYRTEISSGQNGAKVP-SPKTSDDGTLVSLGHITQVY 669
OmFSHR KRDFFLAARVGLFTTKAQMYRTEISFPVQDAAWIQMSPKVSHTGLC----- 659

```

Figure 12c. Alignement des séquences protéiques déduites des récepteurs de l’hormone folliculo-stimulante (FSHR) de *H. niloticus* (HnFSHR) avec les FSHR de *C. carpio* (CcFSHR) et *O. mykiss* (OmFSHR).

Sous unité β de l’hormone lutéinisante (LH β)

La sous unité β de l’hormone lutéinisante de *H. niloticus* (HnLH β) a une séquence de 423 paires de bases et code pour une protéine de 141 acides aminés (**figure 13a**). La structure secondaire (**figure 13b**) permet de distinguer un peptide signal de 24 acides aminés, trois domaines β loop 1, 2 et 3 respectivement de 26, 20 et 17 acides aminés et un « seat-belt » loop de 18 acides aminés. Comme HnFSH β , HnLH β mature compte également douze cystéines (Cys¹- Cys¹²) et la β loop 1 est située entre Cys¹- Cys⁴, la β loop 2 entre Cys⁵- Cys⁶, la β loop 3 entre Cys⁷- la Cys⁸ et le « seat-belt loop » entre Cys¹⁰- Cys¹²(**figure 13a**). Un site probable de N-glycosylation (NQTI) se situe entre Cys¹- Cys². Une comparaison des séquences de LH β (**figure 13c**) montre que HnLH β est identique à LH β de *A. gigas* (AJO68014) et qu’il partage des domaines avec LH β de *O. mykiss* (BAB17687), (79%), *S. formosus* (KPP64307) (77%), *C. carpio* (CAA42542) (74%) et *O. niloticus* (AAP49576) (68%).

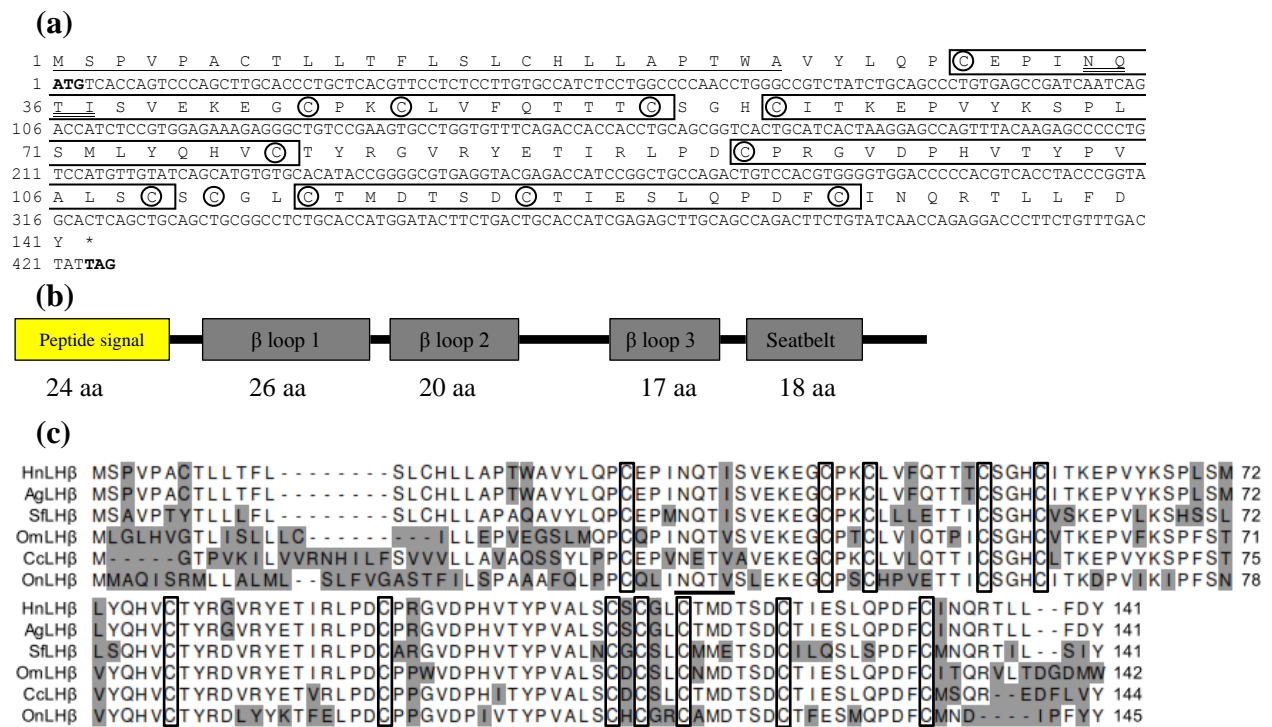


Figure 13. Séquence nucléotidique et séquence protéique déduite (a) de la sous unité bêta de l'hormone lutéinisante (LH β) de *H. niloticus* (HnLH β), modélisation en boîtes avec les différents domaines (b) et alignement (c) avec les LH β de *A. gigas* (AgLH β), *S. formosus* (SfLH β), *O. mykiss* (OmLH β), *O. niloticus* (OnLH β) et *C. carpio* (CcLH β). Dans la figure (a), le codon d'initiation et le codon stop sont indiqués en gras, le peptide signal est souligné simplement, les régions β loop 1, 2, 3 et le "Seatbelt" disposés de façon successive sont dans des encadrés. Le site prédit de N-glycosylation est doublement souligné et les cystéines conservées sont dans des cercles. Dans la figure (c), les cystéines conservées entre espèces sont dans des encadrés et les domaines peu conservés sont en gris.

Récepteur de l'hormone lutéinisante (LHR)

Le récepteur de HnLH (HnLHR) est exprimé dans l'ovaire des femelles en vitellogenèse. Il s'agit d'un transcrit de 2124 paires de bases codant pour une protéine de 708 acides aminés (**figure 14a**). HnLHR possède un peptide signal de 20 acides aminés (Met¹ – His²⁰) suivi de quatre domaines extracellulaires (EC) de 361 (EC1), 21 (EC2), 19 (EC3) et 9 (EC4) acides aminés, de sept domaines transmembranaires de 23 acides aminés chacun et quatre domaines intracellulaires (IC) de 8 (IC1), 20 (IC2), 24 (IC3) et 65 (IC4) acides aminés (**figure 14b**).

(a)

```

1 M Q I L P V F L I L Q S I L F S L T S C H ▼ F V C P G I C C C S S E T I
1 ATGCAGATTTTCCCGCTGTTCCTCATCTCCAATCGATTTTGTTCAGTTTGACCTCATGCCACTTCGTGTGCCCGGGATTGCTGCTTCTCCGAGACGATC
36 R C T E T T E R S I P G I Q I D A F K R L T V A H L S L S S I S S H A
106 CGCTGCACCGAGACTACAGAGCGATCAATTCCCGGGATCCAGATAGATGCTTTCAAGCGACTGACTGTTGCTCACCTGTCCCTGAGCAGCATCAGCAGTCATGCC
71 F S G L S G V S R I E I T Q S D T L N T I E A M A F N N L L N L S E I
211 TTCAGTGGACTCAGTGGAGTCTCAAGAATTGAAATACCAGAGTGACACCTTGAACACCATCGAGGCCATGGCCTTCAACAACCTTCTAAAACCTTTCTGAAATA
106 S I Q N T K N L V Y I N R H A F N K L P K L R Y L S I S N T G I T L I
316 TCAATACAGAACACCAAGAATTTGGTATACATCAATCGCCATGCATTCACCAAGTTCAGATATCTGAGCATTCCCAACACTGGGATAACCCGTGATC
141 P D L S S I S S L E S I F I L D I C D N L H L T T I P P N A F A G L S
421 CCAGATCTGTCATCCATTTCTTCTCTCGAATCCATTTTATCTTGTATATCTGTGACAACCTTCATCTTACCACCATTCCGCCAAATGCTTTTGTGGGTATCA
176 N E Y A S M I L N G N G F K E V Q G Y A F N G T K I H K L I L S N N K
526 AACGAATACGCATCAATGATCTTAAATGGGAACGGTTTCAAGGAAGTTCAAGGTTATGCCTTCAACGGGACCAAGATTCATAAATGATCTCAGCAACAACAAA
211 H L R I I H K D A F K G A I G P G I L D V S W T A L E M L P S Q G L Q
631 CATCTCAGAATAATCCACAAGATGCTTCAAGGAGCCATTTGACCCAGGATTTAGATGTGCTGGACCGCCCTGGAGATGCTCCCTTCCAGGATTGCG
246 S L R L L V A H G A Y N L K T L P P L G A L G S L Q E A Q L T Y P S H
736 TCCCTCCGCTCTGTGGCCATGGGCTTACAACTTAAAGACCTCCACCCTGGGGCCCTAGGCAGCTGCAGGAGGCGCAGCTCACCTACCCAGTAC
281 C C A L L A W N T G R D S S L F D G G N E S T H C K D S F S S E I P G
841 TGCTGTGCCCTGCTCGCCTGGAACACCGGCAGGGATTCTTCTTGTGTTGATGGGAAACGAATCAACACACTGAAGGACAGCTTTTTCATCGGAGATCCAGGC
316 Q V S N S T V V G P L H E L M V F E E E L D T A D H V D F Q Y L D I D
946 CAAGTGTCTAATCCACTTGTGGGGCCACTGCATGAGTAAATGGTGTGTTGAGGAGGAGCTGGACACTGCAGATCACCTGGACTTCCAGTACCTTGACATTGAC
351 F C Q N S R I S F F A I S A D A F N P C E D I A G F Q F L R V ▼ A I W F
1051 TTCTGTGAGAATCCAGAATACTGAAGTGCACCCAGAGGCAGATGCATTCAACCCCTGTGAGGACATTGCTGGCTTTCAATTTCTTGGCTGTGCCATCTGGTTT
386 I N I L A I T G N L M V L L V L V A S R H K L S V P R F L M C H L A F
1156 ATCAACATACTCGCCATCACAGGTAACCTGATGGTGTACTGGTCTTGTGTCAGCCGACCAAGCTGAGCGTCCCGCCTTCTCATGTGTACCTTGCCTTT
421 A D L C I G L Y L L L I A I V D G R T Q G S Y S Q H A I A W Q T G P G
1261 GCCGACCTCTGTATTGGCCTCTACCTCCTATTGATTGCTATTGTTGGATGGGCGCAGCAGGGCAGCTACAGCCAGCATGCCATCGCATGCCAGACAGGGCCAGGC
456 C E A A G F L S V F G G E L S V Y T L T A I T L E R W H T I S H A L Q
1366 TGTGAAGCTGCAGGCTTCCCTGTCCTGTTTGGAGGTGAGCTGTCACTACACATTGACCCCATCACTCTCGAGCGCTGGCACACCATCAGTACAGCCCTGCAA
491 P E R R L G L R H A L L A M A G V W L L C L G V A L L P L V G V ▼ S S Y
1471 CCCGAACGGCCCTGGCCCTGAGACATGCTCTGCTTGGCCATGGCCCGGCTGTGGCTGTGCTGGGAGTGGCATTGCTTCCCTCGTGGGTGTCAGCAGTTAT
526 R K V S V C L P M D I D T P L A ▼ Q A F V I L L L L L N V T T F A F L V V C
1576 AGGAAGGTGAGTGTGTGCCTGCGGATGGACATCGACACACCCCTGGCCAGGCTTTTGTATTCTCCTCCTTCTCCTCAATGTAAGTGCCTTCTGGTGTGTGT
561 G C Y V R I Y O A V R N P K F A G R S A D A R I A K R M A V L I F T D
1681 GGTGCTATGTGGGATCTACCAGGCAGTGGCAACCCCAAGTTTGGCGGGAAGAGTGGCGATGCCAGGATTGCTAAGCGCATGGCAGTGCATCTTCTACTGAT
596 F L C M A P I S F F A I S A A E R M P L I T V T N S K I L L V L F Y P
1786 TTCTCTGCATGGACCCATCTCTTTTTCGCTATCTCTGCTGCCTTCAAGTGCCTTAATTACTGTGACCAACTCGAAGATCCTGCTGGTGTCTTCTATCC
631 I N S C A N P F L Y A I C T K A F R R D V F A L A S T L A C C E S K A
1891 ATCAACTCCTGTGCCAACCCCTTCTCTATGCCATCTGTACCAAGGCTTCCGGAGAGATGTTTGGCGTTGCCAGTACGCTGGCGTGTCCGAGACCAAGGCC
666 S V Y R T K A Y C L D N S G D K T S G S V A A K K S S H V T L K T A A
1996 AGTGTGTATCGCACAAAGGCTTACTGCTGGACAACAGCGGTGACAAGCAGTGGCTCAGTAGCTGCCAAGAAGGCTCGCAGCTGACACTCAAACAGCTGCC
701 L S A S L P V E *
2101 CTCAGTGCATCATTACCAGTAGACTAA

```

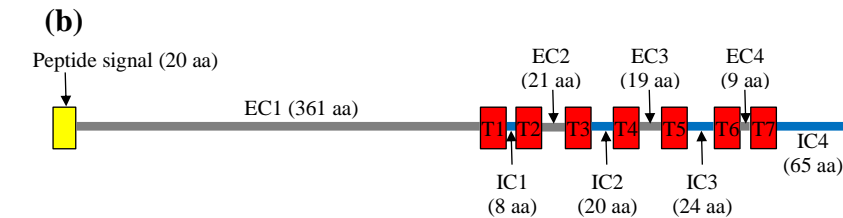


Figure 14. Séquence nucléotidique et séquence protéique déduite (a) du récepteur de l'hormone lutéinisante (LHR) de *H. niloticus* (HnLHR) et modélisation en boxes (b) avec les différents domaines extracellulaires (EC1 à EC4), transmembranaires (T1 à T7) et intracellulaires (IC1 à IC4). Dans la figure (a), le codon d'initiation et le codon stop sont indiqués en gras, le peptide signal est souligné simplement, les domaines T sont dans des encadrés, les domaines IC sont doublement soulignés et les domaines EC sont délimités par des triangles noirs.

L'alignement des séquences de HnLHR avec les LHR d'autres espèces de téléostéens (**figure 14c**) montre une identité en acides aminés de 80,37% avec *S. formosus* (XP_018593689), 65,23% avec *O. mykiss* (NP_001117798) et 62,77% avec *O. niloticus* (XP_025753045).

```

HnLHR MQILPVFLIL---QSILFSLTSC---HFVCPGICCCSSEIRCTETTERSIPGIDDAFKRLTVAHLSLSSISSHAFSGLSGVG 78
SfLHR MMLPVFLIL---PSLLFSLTSS---HFVCPGICCCSAETIRCTEATERSIPGDKDVFKRLTLTSLSSVASHSFDGLSGVL 78
OmLHR M---SISLLFLFYVYVLLFFGFGCGYTSSFVCPGICRCSANTIRCNITEKSVPTSE-RG-FRLVLKHLTMSTIASHTFDGLRRVQ 81
OnLHR MWTSPSVSL-LF---VSFF-HGC---RNFVCPRIKRCFSNAIRCNITQGSAPVMDHRD-RRLFLYHLSLQTISSHSFEGKGVQ 77

HnLHR RIEITQSDTLNTEAMAFNLLNLSEISIQNTKNLVYINRHAFNKLPKLRYSISNTGITLIPDLSSISSLE---SIFILDCDNLH 162
SfLHR RIEIAQSDTLKTEAMAFNLLPNLSEISIQNTKNLVHISORAFNNLPRLRYSISNTGITVIPDVSSIVSLE---SVFILDICDNLH 162
OmLHR HIEIGQSVALETETLAFNLLNLNEIFIKNIRSLVHIAARRTFNNLPKLRYSISNTGITVFPDMTSHSLEPWNONFVLDICDNLV 168
OnLHR RISI-----QNTRSLMHIDRGAFFNLPKLRYSISNTGITAVFPDVTSSVSSLE---SEFVLDICDNLIF 136

HnLHR LTIIPNFAFAGLSNEYASMLLNGNGFKEVQYAFNGTKIHKLILSNKHLRTHKDAFKGAIKPGILDVSWTALEMPLSQGLQSLRL 249
SfLHR LESIPANSFAGLSNEHTTMLHRRNGFKEIEDYAFNGTRIHKLILKNNKHLRTHKDAFKGAVGPGVLDVSLTALEALPSRGLQSLRL 249
OmLHR LLSIPVNAFVGMTEYTMNLFNNGIREIQDYAFNGTKINKLVKNNRNLRLVIRREAFKGAVGPRILDVSSATALETLPSHGLNSVVE 255
OnLHR LLEIPTNAFTGMSKEYVTMNLNNGIRKIHHEHAFNRKIDKLVKNNRNLRLVIRKDAFTGATGPGVLDVSAATALKLP SQGLSVLV 223

HnLHR LVAGHAYNLKTLPLPLGALGSLQEAQLTYP SHCCALLAWNTGRDSSLFDGGNES---THCKDSFSSEIPGQVS---NSTVVGPLHE 328
SfLHR LVARGTYSLKSLPPLGALGSLQEAQLTYP SHCCALLFDWNRDRSDFDGGNG---SYCEDGFSDDIP-GLAA---DSTAVPPLKD 328
OmLHR LVARTAYGLKBLPFRDLGNLQKHLTYNSHCCALLTWDTHRDSPIINAAQHNRSRPTCYCDDSPSEKFPAGMVD---SSDTSLLVE 337
OnLHR LFAISAYTLKSLPPLQGLVSLREAHLYNSHCCALLSWNTHRDLINPVMNNS---TSC---TERDPAGRVQPIVGGSDTSLLMG 304

HnLHR LVMFEE-----ELDTADHVDFQYLDLDF-CONSRILKCTPEADAFNPCEIAGFQFLRVAIWFINILAITGNLMVLLVLVASRHKLS 409
SfLHR PAMSEE-----YREALDPVDFYYPDFDF-CRSPRMLRCTPEADAFNPCEIAGFQFLRVAIWFINVLAITGNLMVLLVLVASRGKLT 409
OmLHR IHGTNED---VEDES YGGVDFQYPELGLNCTQTRPTLOCTPEADAFNPCEIAGFSFLRVAIWFINILAITGNLMVLLVLFVSRNKLT 421
OnLHR VQYFSEGDLLAEDEPYGDNVHFYPELDL-CQTRTLRVTCTPEADAFNPCEIAGFSFLRVAIWFINVLAITGNLMVLLVLFVSRNKLT 390

HnLHR VPRFLMCHLAFADLCIGLYLLLIAIVDGRTOGSYSQHAIAWQTGPGCEAAGFLSVFGGELS SVYTLTAITLERWHTISHALQPERRLG 496
SfLHR VPRFLMCHLAFADLCIGLYLLMIAIVDGRTRGSYSQHAIAWQTGPGCEAAGFLSVFGGELS SVYTLTAITLERWHTIDHALQPERRLG 496
OmLHR VPRFLMCHLAFADFCIGVYLLMIAIVDLTRGRHYSQHAIAWQTGAGCSAAGFLSVFGGELS SVYTLSTITLERWHTITHALQLEKRLG 508
OnLHR VPRFLMCHLAFADLCIGVYLLMIAIVDLTRGRYSQHAIAWQTGPGCSAAGFLSVFGGELS SVYTLSTITLERWHTITNAMQVERHLV 477

HnLHR LRRHALLAMAGVWLCLGVALLPLVGVSSYRKVSVCLPMDIETPLAQAFVILLLLNVTAFLLVVCVCYVR IYQAVRNPKFAGRSADAR 583
SfLHR LSRHALLMAGGWLCLGVALLPLVGVSSYRKVSVCLPMDIETPLAQAFVILLLLNVAFLIVCACYAR IYQAVRNPEFAGRNADAK 583
OmLHR LAQAAGIMAGGWLCLGMAMLPLVGVSSYSRVSVMCLPMDVKTPLAQAFLLLLLENVGAFLVVCVCYVLYLAVRNPKFPQRSADAK 595
OnLHR LMQAAGIMAVGWLCLGMGILPLIGVSSYTKVSMCLPMDIETPLAQAFVILLLLNVAFLIVCVCYVLYLAVRNPKDLPQRSATRA 564

HnLHR IAKRMAVLI FTDFLCMAPISFFAISAARFMPLITVTNSKILLVLFYPI INSCANPFLYAICTKAFRRDVFALASTLACCESKASVYRT 670
SfLHR IAKRMAVLI FTDFLCMAPISFFAISAARFMPLITVTNSKILLVLFYPI INSCANPFLYAICTKAFRRDVFALASTLACCESKASVYRT 670
OmLHR IAKRMAVLI FTDFLCMAPISFFAISAARFMPLITVTNSKILLVLFYPI INSCANPFLYAIFTKAFRKDVYLLLSNMGCCENKANMYRM 682
OnLHR IAKRMAVLI FTDFLCMAPISFFAISAARFMPLITVTNSKILLVLFYPI INSCANPFLYAIFTKAFRKDAKYLKLMSTIGCCGNKAAQTER 651

HnLHR KAYCLDNSGDKTSGSVAAKSSHVTLKTAALSAS-----LPVE 708
SfLHR KAYCLDNSADKPSVVAARKSSR IALRMAAFSSS-----IPAE 708
OmLHR KAYCSENLVKSSSGNGKGLTICTTLRMDPLPLQSOQTKDDGLGTI 727
OnLHR K----- 652

```

Figure 14c. Alignement des séquences protéiques déduites des récepteurs de l’hormone lutéinisante (LHR) de *H. niloticus* (HnLHR) avec les LHR de *S. formosus* (SfLHR), *O. mykiss* (OmLHR), et *O. niloticus* (OnLHR) montrant les domaines peu conservés en gris.

3.2 Détection de la Vtg dans le sang et le mucus

L’analyse en spectrométrie de masse a permis de détecter dans le sang et le mucus de femelles en vitellogenèse de *H. niloticus* la présence de Vtg (**figure 15**). Aucune Vtg ni aucun des produits issus de son clivage n’a été détecté dans le sang et le mucus des poissons mâles. Des peptides tryptiques du domaine LvI spécifiques à HnVtg1 et HnVtg2 (**figure 15a**) ont été détectés à partir d’échantillons de sang des femelles alors que seuls ceux de HnVtg1 ont été détectés dans les échantillons de mucus. La cartographie des peptides tryptiques issus des séquences N et C-terminales de HnVtg1 montre un taux de couverture de 53,2% au niveau de la protéine sanguine et 31,9% pour la protéine présente au niveau du mucus. Lorsque l’on s’intéresse aux différents domaines de la Vtg, la couverture des peptides détectés dans le sang est de 42,5% pour LvI, 0,8% pour Pv et CT, 8,2% pour LvII et 1% pour β -C. Dans le mucus,

3.3 Diffusion de la Vtg du mucus

Une expérimentation qui avait pour objectif de tester la capacité potentielle de la Vtg du mucus de *H. niloticus* à diffuser dans l'eau n'a pas permis de détecter la Vtg ou des produits de clivage. Néanmoins, 409 protéines provenant du mucus de femelles et 418 du mucus de mâles ont été identifiées dans le milieu de diffusion.

4. DISCUSSION

Pour la première fois, les Vtg et certains acteurs moléculaires intervenant dans la vitellogenèse et sa régulation ont été caractérisés à travers une combinaison d'approches « omiques » chez l'Ostéoglossiformes *H. niloticus*. Des comparaisons ont pu être réalisées dans la plupart des cas avec une espèce proche *S. formosus* et d'autres espèces de téléostéens plus éloignées phylogénétiquement de *H. niloticus*.

PRL et son récepteur

La PRL est une hormone polypeptidique sécrétée par l'hypophyse, dont l'importance dans la physiologie reproductive a été soulignée chez de nombreuses espèces de téléostéens telles que *A. gigas* (Marcos & Adalberto, 2015) et *Danio rerio* (Bu et al., 2015). Une seule PRL exprimée dans l'hypophyse de *H. niloticus* a été identifiée alors que plusieurs isoformes de PRL issues d'épissages alternatifs sont observés chez les mammifères (Freeman et al., 2000) et certaines espèces non mammaliennes incluant des poissons téléostéens qui expriment deux formes distinctes de PRL, PRL1 et PRL2 (Huang et al., 2009). Comme souligné par Whittington & Wilson (2013), l'expression du récepteur de la PRL dans l'ovaire de *H. niloticus* suggère l'implication de cette neurohormone dans la vitellogenèse et dans l'ovulation de cette espèce. La PRL de *H. niloticus* (HnPRL) comme la plupart des PRL des poissons téléostéens (Bu et al., 2015) a un peptide signal court de 25 acides aminés alors que ceux des mammifères (Skorupski & Kmiec, 2013) et oiseaux (Bu et al., 2015) peut atteindre 30 acides aminés. Les deux cystéines en position N-terminale susceptibles de former un pont disulfure dans la PRL des mammifères (Bu et al., 2015; Teilum et al., 2005), des reptiles (Yasuda, Kawauchi, & Papkoff, 1990), des Dipneustes (lungfish), des Chondrostéens (esturgeons) et des tétrapodes (Noso et al., 1993) sont absentes de HnPRL comme chez la plupart des poissons téléostéens (Bu et al., 2015; Watahiki et al., 1989). Quoique partageant une identité variable (49 à 74%)

en acides aminés avec les PRL de certains poissons (figure 8d), HnPRL partage une structure commune avec les espèces de vertébrés. Elle contient quatre hélices α majeures (hélice 1 à 4) représentant plus de 50% de l'ensemble de la protéine (Skorupski & Kmiec, 2013), deux courtes hélices α entre l'hélice 1 et l'hélice 2 formant une loop 1 (Brooks, 2012 ; Teilum et al., 2005) qui joue un rôle vital dans la stabilisation de la protéine et l'interaction ligand-récepteur (Goffin et al., 1996). Les couples hélice 1 et hélice 4, d'une part et hélice 2 et hélice 3 d'autre part forment deux paires antiparallèles (Brooks, 2012 ; Teilum et al., 2005). HnPRL contient quatre cystéines après l'hélice 1 bien conservées entre les espèces et qui sont susceptibles de former deux ponts disulfures (Brooks, 2012 ; Bu et al., 2015 ; Teilum et al., 2005) dont l'un au centre de la protéine entre Cys⁷⁰ et Cys¹⁸² et l'autre au niveau C-terminal de la protéine entre Cys¹⁹⁹ et Cys²⁰⁹. Comme chez son espèce sœur *A. gigas* où une expérience d'immunocytochimie a montré que la PRL a peu d'affinité avec l'anti sérum anti PRL des Salmonidés (Borella et al., 2009), HnPRL partage peu d'identité avec *O. mykiss* (53%).

Gonadotropines et leurs récepteurs

La FSH et la LH de *H. niloticus* exprimées dans l'hypophyse sont comme toutes les hormones gonadotropes (GTHs) des glycoprotéines hétérodimériques avec une sous unité α commune appelée hormone glycoprotéique α (GP α) et des sous unités β spécifiques (Acharjee et al., 2015). L'analyse comparative de la structure des GTHs de *H. niloticus* dans le groupe des téléostéens montre que la sous unité GP α est constituée de trois α loop et les sous unités β de trois β loop avec un « seat-belt » en position C terminale. HnGP α conserve les dix cystéines qui seraient impliquées dans la formation de 5 ponts disulfures, 4 résidus proline et deux sites de N-glycosylation au niveau de l' α loop 2 (NITS) et l' α loop 3 (NHTD). Chez le poisson chat *Heteropneustes fossilis*, les sites de N-glycosylation sont situés au niveau de la loop 1 (NITS) et de la loop 2 (NHTD) (Acharjee et al., 2015). Huit cystéines sont seulement conservées dans la GP α de la myxine (Uchida et al., 2010). GP α et LH β de *A. gigas* décrit l'une par Faria et al., (2013) et l'autre par Sevilhano et al., (2017) sont respectivement identiques à HnGP α et HnLH β identifiés dans cette étude. Ce résultat démontre à nouveau qu'il existe une grande proximité phylogénétique entre ces deux espèces d'Ostéoglossomorphes soulignée précédemment par certains auteurs (Betancur-R et al., 2017 ; Guo-Qing & Wilson, 1996 ; Hilton, 2001, 2003 ; Lavoué, 2016 ; Lavoué & Sullivan, 2004 ; Nelson, 1968, 1969) et cela vient compléter les quelques études qui ont rapporté des hypothèses phylogénétiques basées sur des données moléculaires (Kumazawa & Nishida, 2000). La présente étude a montré que HnGP α partage

une identité d'acides aminés comprise entre 61 et 82% avec certaines espèces d'Ostéoglossiformes, de Salmoniformes, de Perciformes et de Cypriniformes. GP α de *A. gigas* identique à HnGP α partage une identité d'acides aminés plus élevée (87 à 89,5%) avec les autres téléostéens (Anguilliformes et Ostariophyses) et les Chondrostéens (Acipenseriformes) (Faria et al., 2013).

La position des 12 cystéines et le seul site potentiel de N-glycosylation au niveau de la β loop 1 (NXTX) de LH β observé chez la plupart des vertébrés (Bousfield & Dias, 2011 ; So et al., 2005) est très bien conservé chez *H. niloticus*. Il a été démontré chez les poissons chats que la loop située entre les positions Cys¹⁰ et Cys¹¹ du « seat-belt » de la LH β contient les sites de liaison du récepteur de cette hormone alors que la loop correspondant aux Cys¹¹ et Cys¹² de la LH β stimule l'activité du récepteur de la FSH (Vischer et al., 2004).

Contrairement à la sous unité LH β , la sous unité FSH β est conservée à 86% entre *H. niloticus* et l'espèce sœur *A. gigas* et diverge davantage avec les autres espèces d'Ostéoglossiformes, de Perciformes, de Salmoniformes et de Cypriniformes (entre 37% 69%). Chez *A. gigas*, l'identité la plus élevée, basée sur les séquences d'acides aminés, est de 61% chez les Anguilliformes pour la FSH β et de 76% chez les Cypriniformes pour LH β (Sevilhano et al., 2017). HnFSH β conserve 12 cystéines parmi lesquelles les quatre premières sont situées dans la β loop 1 (Cys¹ à Cys⁴). Cys⁵ et Cys⁶ sont situées dans la β loop 2, Cys⁷ et Cys⁸ dans la β loop 3, Cys⁹ entre β loop 3 et le « seat-belt loop » et Cys¹⁰ à Cys¹² dans le « seat-belt loop ». Chez les Cypriniformes et les poissons chats comme *H. fossilus*, on observe une bonne conservation de la structure de la sous unité FSH β à la seule différence qu'on a une cystéine additionnelle entre le peptide signal et la β loop 1. La Cys² chez les Perciformes et la Cys³ chez les Salmonidés sont absentes mais un résidu cystéine additionnel en position N-terminale comme chez les Cypriniformes et les poissons chats permet d'obtenir 12 cystéines au total. Chez le poisson zèbre, Cys¹⁰ et Cys¹¹ supposées être la loop déterminante du « seat-belt » du FSH β (Vischer et al., 2004) sont absentes et deux cystéines additionnelles existent en position N-terminale avant la β loop 1, permettant ainsi d'avoir un nombre total de 12 cystéines (So et al., 2005). Compte tenu de l'importance de la région « seat-belt » pour l'interaction avec les récepteurs et la formation d'hétérodimères, la variation de la structure des sous-unités de FSH β parmi les espèces de poissons peut entraîner des différences considérables quant à la nature des interactions des récepteurs et éventuellement quant à la stabilité de l'hétérodimère (Acharjee et al., 2015 ; Vischer et al., 2004). Alors que les tétrapodes, les Dipneustes (lungfish), les Chondrostéens (esturgeons), les Holocéphales (éléphant shark) disposent de deux sites probables de N-

glycosylation au niveau de la β loop 1 de leur sous unité FSH β , chez *H. niloticus*, on observe un seul site de N-glycosylation (NVSI) comme chez la plupart des poissons téléostéens. La glycosylation des GTHs est essentielle pour la bioactivité, la formation de liaisons disulfures, le taux de sécrétion, la persistance circulatoire et la transduction du signal (Ulloa-Aguirre et al., 1999). Chez l'homme, le site 1 de glycosylation a été associé à la transduction du signal, tandis que le site 2 est lié à la stabilité thermique, cette dernière ayant un effet plus important sur la formation de liaisons disulfures et la sécrétion d'hormones (Feng et al., 1995). La perte de la seconde N-glycosylation du FSH β de *H. niloticus* pourrait donc affecter les interactions avec les récepteurs (Bousfield & Dias, 2011 ; Ulloa-Aguirre et al., 1999). Ainsi, l'absence d'un deuxième site de glycosylation dans la FSH β de la plupart des poissons semble constituer un écart important par rapport au modèle vertébré hautement conservé et soulève l'hypothèse de l'incidence sur la demi-vie de la molécule et, par conséquent, sur sa non-détection chez certains poissons (Acharjee et al., 2015).

Récepteurs à l'estradiol

Plusieurs auteurs s'accordent sur l'existence de trois sous types distincts de récepteurs du 17 β -estradiol (ERs) chez les poissons avec des nomenclatures assez variées (Choi & Habibi, 2003 ; Hawkins et al., 2000 ; Hawkins & Thomas, 2004; Marlatt et al., 2008 ; Métivier et al., 2002 ; Nelson & Habibi, 2013 ; Nelson & Habibi, 2010 ; Norris & Lopez, 2011 ; Sabo-Attwood et al., 2004). Ce sont les récepteurs alpha (ER α , ESR1, ER, ESR, ESRA, Era ou NR3A1), gamma ou béta 1 (ER γ , ESR2a, ER β -I, ER β a, ER β 1) et béta ou béta 2 (ER β , ESR2b, ER β -II, ER β b, ER β 2 ou NR3A2).

Dans cette étude, nous avons identifié chez des femelles de *H. niloticus* en vitellogenèse le sous-type béta du récepteur à l'estradiol (ER β) dans le foie et les sous-types béta et gamma (ER β et ER γ) dans l'ovaire. D'après les résultats obtenus dans cette étude, les trois sous-types d'ERs semblent être répartis différenciellement dans les tissus étudiés. Le sous-type alpha n'est présent dans aucun tissu, ER γ est exprimé dans l'ovaire et ER β dans le foie et l'ovaire. Les investigations sur la signification fonctionnelle des différents sous-types d'ERs chez les poissons et autres vertébrés ont montré que des profils d'expression diffèrent suivant le sexe, le stade de la gamétogenèse, l'espèce et le type de tissus (Couse et al., 1997 ; Marlatt et al., 2008 ; Nelson et al., 2007) et que les sous-types d'ERs se lient à l'E2 avec différentes affinités (Genovese et al., 2014 ; Nelson & Habibi, 2013). Par exemple, chez *Micropterus salmoides*

(Sabo-Attwood et al., 2004). Les trois sous-types d'ERs ont été détectés dans le foie, l'ovaire et l'hypophyse de femelles en début de vitellogenèse avec des niveaux d'expression plus importants dans l'ovaire. Parmi les trois sous-types d'ERs de *M. salmoides*, ER β a le niveau d'expression le plus élevé dans l'ovaire et le foie. ER γ est plus exprimé dans l'ovaire qu'ER α , alors que dans le foie on observe l'inverse. De nombreux travaux ont été consacrés à l'étude de la régulation des ERs dans le foie (Nelson & Habibi, 2013), car c'est dans ce tissu que la Vtg, précurseur des protéines du jaune de l'œuf, est principalement exprimée (Dominguez et al., 2012 ; Hara et al., 2016 ; Prat et al., 1998). La forte expression des ER β et ER γ dans l'ovaire de certaines espèces suggère que ces deux sous-types jouent un rôle plus prononcé dans la régulation des gènes dans cet organe (Sabo-Attwood et al., 2004) à travers l'expression et la stimulation de la synthèse de la Vtg chez certains poissons (Kong et al., 2014 ; Wang et al., 2005 ; Wang et al., 2010).

Deux types de récepteurs apparentés aux récepteurs à l'œstrogène (ERR α et ERR γ) ont également été identifiés dans le foie et l'ovaire de *H. niloticus*. Les ERRs sont des récepteurs orphelins pour lesquels aucun ligand endogène n'a encore été identifié et ces récepteurs n'ont donc pas reçu autant d'attention que certains récepteurs endocriniens (Audet-Walsh & Giguère, 2015 ; Giguère, 1999). Chez *H. niloticus*, les ERRs présentent une homologie significative avec les ERs, 68 à 70% d'identité en acides aminés au niveau du noyau du DBD. Cependant, ces ERRs ne se lient pas à des œstrogènes mais plutôt à des séquences d'hexanucléotides sous forme de monomères ou à des éléments composites sous forme de dimères (Giguère, 1999). De ce fait, les ERRs ne participent pas directement aux voies de signalisation classiques des œstrogènes ni aux processus biologiques (Audet-Walsh & Giguère, 2015).

Les deux sous-types d'ERs de *H. niloticus* contiennent cinq domaines comme la plupart des récepteurs nucléaires (Aranda & Pascual, 2001 ; Nelson & Habibi, 2013 ; Sabo-Attwood et al., 2004). La région N-terminale (A/B) contient la première fonction d'activation (AF-1) et la forte variation observée entre HnER β et HnER γ (58 à 68%) et entre HnER β _X3 et les autres HnER β contribue à une grande spécificité des récepteurs (Aranda & Pascual, 2001). Le noyau des DBD comprend 66 acides aminés et est de loin le domaine le plus conservé entre HnERs (89%) et HnERRs (>94%) comme chez la plupart des récepteurs nucléaires de différentes espèces (Aagaard et al., 2011). Il a été montré que chez *M. salmoides* (Sabo-Attwood et al., 2004) et *Micropogonias undulatus* (Hawkins et al., 2000), le noyau du DBD des formes β et γ des ERs partagent près de 70% d'identité et que de ce fait la séquence protéique de ER γ est probablement issue de la duplication des gènes de ER β (Hawkins et al., 2000 ; Hawkins &

Thomas, 2004). En plus du noyau du DBD, l'extension C-terminale (CTE), composée des 10 à 30 premiers résidus suivant la séquence VGM totalement conservée du noyau du DBD, constitue un déterminant important de la liaison spécifique de l'ADN pour de nombreux récepteurs nucléaires (Aagaard et al., 2011). Contrairement au noyau du DBD, CTE est plus variable entre récepteurs nucléaires (Aagaard et al., 2011).

Les acides aminés jugés essentiels pour la reconnaissance de l'estradiol chez la plupart des ERs de vertébrés (Sabo-Attwood et al., 2004) sont bien conservés au niveau de HnER β _X1, HnER β _X2, HnER β _X3 et de HnER γ , contrairement à HnER β _X4 qui ne possède que deux sites conservés.

L'analyse des séquences d'acides aminés prédites révèle que les quatre formes de HnER β ont des domaines identiques et leur divergence ne se situe qu'au niveau du domaine A/B ou LBD. Il s'agit de quatre isoformes de HnER β issues d'un épissage alternatif du gène codant pour ces récepteurs œstrogéniques puisque chez l'homme, cinq isoformes d'ER β ont été identifiées et leur divergence se situe au niveau de l'extrémité C-terminale du LBD et du domaine F (Leung et al., 2006). Il a été démontré que l'isoforme ER β 1 de l'homme qui a la plus longue séquence de LBD, contenant la totalité des hélices 11 et 12 où se trouve la seconde fonction d'activation AF-2 et quatre acides aminés impliqués dans la liaison avec E2, est la seule isoforme fonctionnelle en homodimère. Les autres isoformes ont l'extrémité C-terminale du LBD beaucoup plus courte à cause de la désorientation ou de l'absence des hélices 11 et 12. De ce fait, ils ne peuvent pas former des homodimères fonctionnels mais plutôt des hétérodimères avec l'isoforme ER β 1 dans la mesure où une seule hélice 12 fonctionnelle du dimère est suffisante (Leung et al., 2006). Dans ces conditions, HnER β _X1, HnER β _X2, HnER β _X3 et HnER γ , qui possèdent les hélices 11 et 12 avec tous les acides aminés impliqués dans la liaison avec E2, peuvent fonctionner en homodimères et HnER β _X4 qui ne possède pas d'hélice 12 et une courte hélice 11 dépourvue des quatre acides aminés impliqués dans la liaison avec E2 ne peut que former des hétérodimères fonctionnels avec les autres HnER β . La boîte D qui est impliquée dans la dimérisation des récepteurs (Aranda & Pascual, 2001) est représentée par des peptides différents, PATNQ au niveau des isoformes HnER β et PANNQ au niveau de HnER γ , ce qui suggère que ces deux types de ERs ne pourraient former des hétérodimères fonctionnels sur l'ADN (Zechel et al., 1994).

Vitellogénines et leurs récepteurs

Trois formes de Vtg identifiées chez de nombreuses espèces (Schilling et al., 2015 ; Williams et al., 2014 ; Yilmaz et al., 2015) sont réparties en deux catégories caractérisées l'une par la présence de la totalité des domaines, l'autre par l'absence d'un ou plusieurs domaines. Dans la première catégorie, les Vtg sont caractérisées par la présence du domaine phosphovitellogénine riche en sérines phosphorylées (Pv), d'une chaîne lourde de lipovitelline (LvI), d'une chaîne légère de lipovitelline (LvII), d'une composante β' -C et d'une région codante C-terminale (CT). Cette catégorie de Vtg présente deux variantes, la VtgA et la VtgB qui possèdent des masses moléculaires plus ou moins proches. Les Vtg appartenant à la seconde catégorie, les VtgC, sont dépourvues du domaine Pv (Hara et al., 2016 ; Hiramatsu et al., 2006 ; Yilmaz et al., 2015).

Dans cette étude, quatre Vtg ont été identifiées chez *H. niloticus*. De nombreuses espèces de poissons possèdent plusieurs Vtg. Chez *Larimichthys crocea* (Gao et al., 2019) et *Danio rerio* (Wang et al., 2005) par exemple, trois et sept Vtg ont été identifiées respectivement et le génome des poissons peut contenir jusqu'à 20 copies de gènes codant pour des vitellogénines comme c'est le cas chez *Oncorhynchus mykiss* (Trichet et al., 2000). HnVtg1, HnVtg2 et HnVtg4 possèdent un domaine Pv qui permet de les classer dans le groupe des Vtg A ou B alors que HnVtg3 correspond à une VtgC dépourvue des domaines Pv, β' -C et CT. Les alignements réalisés avec les variantes de Vtg A ou B d'autres espèces de poissons permettent de classer HnVtg1 et HnVtg2 parmi les VtgB. Les Vtg hépatiques de *H. niloticus* ont une identité en acides aminés élevée (>98%) et semblent être issues d'un épissage alternatif du gène codant pour cette protéine. Chez *O. mykiss*, les gènes codant pour différentes Vtg montrent 98,7% de similarité (Trichet et al., 2000) alors que la VtgC de *Morone saxatilis* partage moins de 32% d'identité avec les formes A ou B (Williams et al., 2014). L'identification de transcrits de Vtg dans le foie et l'ovaire de *H. niloticus* révèle que chez cette espèce, les Vtg sont exprimées dans ces deux organes. La Vtg est principalement exprimée dans le foie, mais son expression a été également observée dans l'ovaire de certaines espèces de poissons telles que *Danio rerio* (Wang et al., 2005), *Tanichthys albonubes* (Wang et al., 2010) et *Rhodeus uyekii* (Kong et al., 2014). La Vtg ovarienne comme la plupart des Vtg exprimées dans les organes ou tissus non hépatiques représente moins de 10% du niveau d'expression de la Vtg hépatique (Wang et al., 2005).

Les transcrits N-ter1, N-ter2 et C-ter caractéristiques de HnVtg1 et HnVtg2 n'ont pas permis d'obtenir les séquences définitives de ces protéines en raison de l'incertitude sur le nombre exact de sérines à retenir pour le domaine Pv. Les 19 et 12 sérines en fin de séquence

respectivement de N-ter1 et N-ter2 ainsi que les 20 sérines en début de séquence du C-ter sont toutes issues du même codon AGC alors que cet acide aminé est codé par cinq autres codons (TCT, TCC, TCA, TCG et AGT). Trinity n'a donc pas été capable de relier les N-ter et le C-ter. Toutefois, l'alignement avec la Vtg de *S. formosus*, un autre Ostéoglossiformes, montre que l'incertitude existe sur le nombre de sérines du domaine Pv, mais que cette incertitude est faible et correspond sans doute à une incertitude de 1 ou 2 résidus sérines, sachant qu'il peut s'agir de sérines manquantes ou surnuméraires, les transcrits étant peut-être chevauchants. Cela veut dire qu'à quelques sérines près, les séquences de HnVtg1 et HnVtg2 sont complètes. Autrement dit, soit il manque quelques sérines pour connecter les 2 N-ter avec le C-ter, ou bien les N-ter et le C-ter se chevauchent. Mais comme il a été dit précédemment, les sérines du domaine Pv des Vtg d'*Heterotis* sont codées par un codon unique qui rend l'assemblage complexe.

L'analyse MS/MS a permis de détecter la présence de Vtg dans le sang et le mucus de femelles de *H. niloticus* en vitellogenèse. Chez de nombreuses espèces, des méthodes immuno-enzymatiques (ELISA) ont été utilisées pour détecter la présence de Vtg plasmatique (Bulukin et al., 2007 ; Chu-Koo et al., 2009 ; Ndiaye et al., 2006 ; Nuñez-Rodriguez et al., 1989 ; Nunez Rodriguez et al., 1997 ; Roy et al., 2004) et de Vtg dans le mucus (Arukwe & Røe, 2008 ; Genovese et al., 2014 ; Meucci & Arukwe, 2005 ; Moncaut et al., 2003). A travers l'approche protéomique réalisée dans cette étude, les deux sexes ont pu être différenciés chez *H. niloticus* qui est une espèce dépourvue de dimorphisme sexuel. En l'absence d'observation directe de tissu gonadique, un test de sexage similaire a été réalisé sur des individus de *Epinephelus lanceolatus* à partir de prélèvements sanguins (Om et al., 2013). L'absence de détection de la Vtg dans le sang et le mucus des males de *H. niloticus* montre que les poissons échantillonnés ne sont pas soumis à une perturbation endocrinienne due aux substances mimétiques des œstrogènes naturels, appelés xénoœstrogènes contenus dans certains aliments distribués à la plupart des poissons d'élevage (Pelissero & Sumpter, 1992 ; Pelissero et al., 1989) ou dans le milieu aquatique (Arukwe & Røe, 2008 ; Dugué et al., 2008 ; Genovese et al., 2014 ; Le Menn, 1979).

S'agissant de la communication chimique, il convient de noter que plusieurs types de signaux sont impliqués dans le comportement social des poissons. De nombreux poissons utilisent des phéromones sexuelles pour attirer les membres du sexe opposé ou pour susciter un comportement de fraie (Chung-Davidson et al., 2011 ; Stacey, 2003). Le test de diffusion des protéines du mucus de *H. niloticus* a montré que la Vtg ou ses produits de clivage ne sont pas

déTECTÉS dans l'eau. Par conséquent, la Vtg du mucus des femelles de *H. niloticus* ne peut donc pas constituer un signal chimique pour les individus mâles. Chez de nombreuses espèces de poissons, l'urine est un vecteur de phéromones sexuelles dérivées de stéroïdes (Huertas et al., 2014). Par exemple, l'urine de la truite arc-en-ciel (*O. mykiss*) femelle mature attire les mâles matures (Yambe et al., 2006) et stimule chez ceux-ci la libération de LH et la stéroïdogénèse (Scott et al., 1994). Cette approche n'a pas encore été testée chez *H. niloticus*.

Concernant les récepteurs de Vtg, deux types de transcrits de récepteur de la Vtg qui semblent être issus de l'épissage alternatif du domaine O-glycosylé (Chen et al., 2016) ont été identifiés chez *H. niloticus*. Il s'agit des formes LR8 avec 8 LBR dans la LBD (Sappington & Raikhel, 1998) qui ont été longtemps considérée comme la seule VLDLR capable de se lier aux Vtg de certaines espèces ovipares (Reading et al., 2014). LR8+ avec le domaine O-glycosylé et LR8- privé de ce domaine ont été détectés respectivement dans l'ovaire et l'hypophyse de *H. niloticus*. Ces deux formes de LR8 ont également été identifiées chez des poissons téléostéens tels que *O. mykiss* (Prat et al., 1998) et *Oncorhynchus clarki* (Mizuta et al., 2013), cependant LR8- est exprimé principalement dans l'ovaire de ces espèces alors que LR8+ est exprimé aussi bien dans l'ovaire que dans les tissus non ovariens comme le cerveau, l'intestin et les branchies. La détection de LR8- dans un tissu non ovarien (hypophyse de *H. niloticus*) mérite d'être approfondie. Depuis quelques années, un nouveau VLDLR appelé LRP13 ou LR13+1 a été identifié non chez *H. niloticus*, mais chez plusieurs espèces de téléostéens comme *M. saxatilis*, *Morone americana* (Reading et al., 2014), *Cynoglossus semilaevis*, *Oryzias latipes* (Wang et al., 2017) et *O. clarki* (Mushirobira et al., 2015) avec 13 LBR dans la LBD au niveau de l'extrémité N-terminale et un LBR dans la LBD au niveau de l'extrémité C-terminale (Hiramatsu et al., 2013). Certaines espèces de poisson peuvent posséder jusqu'à quatre formes de VLDLR comme c'est le cas chez *M. Americana* (Reading et al., 2011). Dans le cerveau, les VLDLR jouent un rôle dans la transmission du signal extracellulaire, les processus de signalisation intracellulaire et le développement du système nerveux central (Trommsdorff et al., 1999).

Les LR8 sont conservés au niveau structural chez de nombreuses espèces (Dominguez et al., 2012 ; A. Li et al., 2003 ; Pousis et al., 2012 ; Prat et al., 1998) y compris *H. niloticus* qui partage plus de 84% d'identité en acides aminés avec des espèces d'Ostéoglossiformes, de Salmoniformes, de Perciformes et de Cypriniformes. Les précurseurs de HnVLDLR ont un peptide signal suivi de huit ou sept domaines respectivement pour la forme LR8+ et LR8-. Le

LBD, qui contrôle les interactions entre le récepteur et le domaine Lv de la Vtg (Hiramatsu et al., 2001), est composé de huit LBR de 40 acides aminés environ chacun riche de six cystéines (Li et al., 2003 ; Luo et al., 2013) et de résidus chargés négativement à sa surface qui contiennent la signature EDE dans la LBR3 et SDE dans les autres LBR bien conservés entre les espèces (Agulleiro et al., 2007). Trois LBR (LBR1 à LBR3) sont essentiellement impliqués dans la liaison de la Vtg au récepteur (Li et al., 2003). Chez le poulet (Bajari et al., 1998), le tripeptide EDE du LBR3 avec sa densité de charge négative plus élevée que le tripeptide SDE des autres LBR semble être déterminant pour la liaison de la Vtg au récepteur alors que chez *O. niloticus* (Li et al., 2003) son rôle dans la formation de cage de calcium semble plus probable. Les cystéines des trois domaines précurseurs du facteur de croissance épidermique (EGF) sont également bien conservées entre les espèces. Le domaine prédit pour former une structure à hélices bêta (Agulleiro et al., 2007) entre EGF2 et EGF3 est composé de cinq séquences de quatre acides aminés de type YWS(V)D et FWA(T)D bien conservées entre les espèces. Enfin, la séquence FDNPVY hautement conservée du domaine cytoplasmique, potentiellement impliquée dans l'internalisation du récepteur après la liaison du ligand (Agulleiro et al., 2007) est aussi présent dans HnVLDLR.

CONCLUSION/PERSPECTIVES

A travers cette étude, des données moléculaires relatives à la vitellogenèse et sa régulation ont été obtenues pour la première fois chez l'Ostéoglossiformes africain, *Heterotis niloticus*. Les séquences nucléotidiques et les séquences protéiques déduites de la prolactine et son récepteur, des gonadotropines (FSH et LH) et leurs récepteurs, les récepteurs bêta et gamma à l'estradiol et les vitellogénines et leurs récepteurs ont été identifiées. Aucun ER α n'a été identifié et les séquences définitives de deux Vtg hépatiques et la Vtg ovarienne sont à déterminer par des analyses complémentaires. Il a été possible de différencier les sexes chez cette espèce par la détection en spectrométrie de masse de la Vtg dans le mucus et le sang. Cette étude peut être considérée comme une étape nécessaire à la caractérisation fonctionnelle des molécules identifiées. Elle permet aussi d'envisager des études de comportement reproducteur à partir d'individus sexés pour une meilleure maîtrise de la reproduction et de l'élevage de cette espèce.

Les analyses en MS et en ELISA étant quantitatives, il est urgent d'établir une relation entre la concentration en Vtg du mucus et le stade de maturité des femelles (Baumann et al., 2013 ; Chatakondi & Kelly, 2013) pour mettre en œuvre des applications multiples en pisciculture en

conditions non invasives, ce qui permettra de préserver le bien-être des poissons d'élevage et de produire ainsi un poisson de qualité relativement épargné du stress.

Sur un plan pratique, la connaissance des séquences primaires des hormones hypophysaires permettra de réaliser avec des peptides de synthèse pour induire la gamétogenèse afin d'être en mesure de piloter la production d'alevins en continu sur l'ensemble de l'année (Bry et al., 1978 ; Mehdi & Ehsan, 2013 ; Mylonas et al., 2010), ce qui est un paramètre important pour assurer une production régulière de poissons commercialisables.

Par ailleurs, la connaissance des neurohormones hypophysaires de *H. niloticus* permettra chez cette espèce lors d'expérimentations *in vivo* qu'il reste à entreprendre, d'être en mesure de suivre les niveaux circulants avec des outils quantitatifs spécifiques tels que l'ELISA ou la spectrométrie de masse. Dans un avenir proche, il faudra chercher à caractériser l'ensemble du neuropeptidome de cette espèce et d'une façon générale l'ensemble du peptidome régulateur pour faciliter l'interprétation des études physiologiques qui permettront de totalement maîtriser l'élevage d'un poisson de grande qualité organoleptique, possédant une croissance élevée et omnivore à tendance phytophage. Comme il a été dit précédemment, un travail important reste à réaliser pour parfaitement maîtriser la reproduction, mais aussi pour formuler un aliment adapté au besoin nutritionnel de cette espèce tout en n'altérant pas la qualité de la chair. L'utilisation d'outils moléculaires pourrait faciliter la formulation d'aliments adaptés aux différentes phases d'élevage (Leduc et al., 2018) et la sélection de reproducteurs performants (Hallerman, 2006) pour le développement d'une pisciculture durable respectueuse de l'environnement.

INFORMATION SUR LES AUTEURS

Correspondant

*E-mail : joel.henry@unicaen.fr Tel : +33 (0)2 31 56 55 96

REMERCIEMENTS

Nous remercions Sabbat Affif, ex propriétaire de la ferme piscicole où les échantillons ont été collectés pour cette étude et le chef d'exploitation Jacques Manlan qui a organisé les différentes captures. Les auteurs remercient également l'IRD itrop HPC (Plateforme SouthGreen : <https://bioinfo.ird.fr/> - <http://www.southgreen.fr>) de Montpellier et la plateforme ABiMS de la

station biologique de Roscoff <http://abims.sb-roscoff.fr>) pour avoir fourni les ressources HPC ayant contribué aux résultats de la recherche rapportés dans le présent document.

REFERENCES

- Aagaard, M. M., Siersbæk, R., & Mandrup, S. (2011). Biochimica et Biophysica Acta Molecular basis for gene-specific transactivation by nuclear receptors ☆. *Biochimica et Biophysica Acta*, 1812, 824–835. <https://doi.org/10.1016/j.bbadis.2010.12.018>
- Acharjee, A., Chaube, R., & Joy, K. P. (2015). Molecular Cloning and Characterization of the Gonadotropin Subunits GP a , FSH b , and LH b Genes in the Stinging Cat fish Heteropneustes fossilis : Phylogeny , Seasonal Expression , and Pituitary Localization. *Journal of Experimental Zoology*, 323A, 567–585. <https://doi.org/10.1002/jez.1949>
- Adite, A., Winemiller, K. O., & Fiogbe, E. D. (2006). Population structure and reproduction of the African bonytongue Heterotis niloticus in the So River-floodplain system (West Africa): implications for management. *Ecology of Freshwater Fish*, 15(1), 30–39. <https://doi.org/10.1111/j.1600-0633.2005.00119.x>
- Agulleiro, M. J., André, M., Morais, S., Cerdà, J., & Babin, P. J. (2007). High Transcript Level of Fatty Acid-Binding Protein 11 but Not of Very Low-Density Lipoprotein Receptor Is Correlated to Ovarian Follicle Atresia in a Teleost Fish (Solea senegalensis)1. *Biology of Reproduction*, 77(3), 504–516. <https://doi.org/10.1095/biolreprod.107.061598>
- Aranda, A., & Pascual, A. (2001). Nuclear hormone receptors and gene expression. *Physiological Reviews*, 81(3), 1269–1304. <https://doi.org/0031-9333/01>
- Arukwe, A., & Røe, K. (2008). Molecular and cellular detection of expression of vitellogenin and zona radiata protein in liver and skin of juvenile salmon (Salmo salar) exposed to nonylphenol. *Cell and Tissue Research*, 331(3), 701–712. <https://doi.org/10.1007/s00441-007-0543-y>
- Audet-Walsh, É., & Giguère, V. (2015). The multiple universes of estrogen-related receptor α and γ in metabolic control and related diseases. *Acta Pharmacologica Sinica*, 36, 51–61. <https://doi.org/10.1038/aps.2014.121>
- Bajari, T. M., Lindstedt, K. A., Riepl, M., Mirsky, V. M., Nimpf, J., Wolfbeis, O. S., ... Schneider, W. J. (1998). A minimal binding domain of the low density lipoprotein receptor family. *Biological Chemistry*, 379(8–9), 1053–1062.
- Baudiffier, D. (2012). Modes de perturbation de la stéroïdogénèse testiculaire et de la spermatogénèse chez le poisson zèbre (Danio rerio) par des fongicides azolés. *Thèse de Doctorat. Université de Rennes 1*, 1–178.
- Baumann, L., Holbech, H., Keiter, S., Kinnberg, K. L., Knörr, S., Nagel, T., & Braunbeck, T. (2013). The maturity index as a tool to facilitate the interpretation of changes in vitellogenin production and sex ratio in the Fish Sexual Development Test. *Aquatic Toxicology*, 128–129, 34–42. <https://doi.org/10.1016/j.aquatox.2012.11.016>
- Betancur-R, R., Wiley, E. O., Arratia, G., Acero, A., Bailly, N., Miya, M., ... Ortí, G. (2017). Phylogenetic classification of bony fishes. *BMC Evolutionary Biology*, 17(1), 162. <https://doi.org/10.1186/s12862-017-0958-3>

- Bhanu, S. V., & Philip, B. (2011). Effect of ethanol on branchial adenosine triphosphatases in *Oreochromis mossambicus* (Peters). *Toxicology International*, *18*(1), 27. <https://doi.org/10.4103/0971-6580.75849>
- Borella, M. I., Venturieri, A. R., & Mancera, A. J. M. (2009). Immunocytochemical identification of adenohypophyseal cells in the pirarucu (*Arapaima gigas*), an Amazonian basal teleost. *Fish Physiology and Biochemistry*, *35*, 3–16. <https://doi.org/10.1007/s10695-008-9254-x>
- Bousfield, G. R., & Dias, J. A. (2011). Synthesis and secretion of gonadotropins including structure-function correlates. *Reviews in Endocrine and Metabolic Disorders*, (12), 289–302. <https://doi.org/10.1007/s11154-011-9191-3>
- Bray, N. L., Pimentel, H., Melsted, P., & Pachter, L. (2016). Near-optimal RNA-Seq quantification. *Nature Biotechnology*, *34*(5), 525–527.
- Brooks, C. L. (2012). Molecular Mechanisms of Prolactin and Its Receptor. *Endocrine Reviews*, *33*(4), 504–525. <https://doi.org/10.1210/er.2011-1040>
- Bry, C., Billard, R., & De Montalembert, G. (1978). Induction de la maturation ovocytaire et de l'ovulation par traitement hormonal chez le brochet (*Esox lucius*). *Bulletin Français de Pisciculture*, *271*, 21–32. <https://doi.org/10.1051/kmae:1978003>
- Bryant, D. M., Johnson, K., Di Tommaso, T., Tickle, T., Couger, B. M., Payzin-Dogru, D., ... Whited, J. L. (2017). A tissue-mapped axolotl de novo transcriptome enables identification of limb regeneration factors. *Cell Reports*, *18*(3), 762–776. <https://doi.org/10.1016/j.celrep.2016.12.063.A>
- Bu, G., Liang, X., Li, J., & Wang, Y. (2015). General and Comparative Endocrinology Extra-pituitary prolactin (PRL) and prolactin-like protein (PRL-L) in chickens and zebrafish. *General and Comparative Endocrinology*, *220*, 143–153. <https://doi.org/10.1016/j.ygcen.2015.02.001>
- Bulukin, E., Meucci, V., Minunni, M., Pretti, C., Intorre, L., Soldani, G., & Mascini, M. (2007). An optical immunosensor for rapid vitellogenin detection in plasma from carp (*Cyprinus carpio*). *Talanta*, *72*(2), 785–790. <https://doi.org/10.1016/j.talanta.2006.12.007>
- Carreiro, C. R. P., Furtado-Neto, M. A. D. A., Mesquita, P. E. C., & Bezerra, T. A. (2011). Sex determination in the Giant fish of Amazon Basin, *Arapaima gigas* (*Osteoglossiformes*, *Arapaimatidae*), using laparoscopy. *Acta Amazonica*, *41*(3), 415–419. <https://doi.org/10.1590/S0044-59672011000300012>
- Chatakondi, N. G., & Kelly, A. M. (2013). Oocyte Diameter and Plasma Vitellogenin as Predictive Factors to Identify Potential Channel Catfish, *Ictalurus punctatus*, Suitable for Induced Spawning. *Journal of the World Aquaculture Society*, *44*(1), 115–123. <https://doi.org/10.1111/jwas.12001>
- Chen, Q., Takahashi, Y., Oka, K., & Ma, J. (2016). Functional Differences of Very-Low-Density Lipoprotein Receptor Splice Variants in Regulating Wnt Signaling. *Molecular and Cellular Biology*, *36*(20), 2645–2654. <https://doi.org/10.1128/MCB.00235-16.Address>
- Choi, C. Y., & Habibi, H. R. (2003). Molecular cloning of estrogen receptor alpha and expression pattern of estrogen receptor subtypes in male and female goldfish. *Molecular and Cellular Endocrinology*, *204*(1–2), 169–177. <https://doi.org/S030372070200182X> [pii]
- Chu-Koo, F., Dugué, R., Alván Aguilar, M., Casanova Daza, A., Alcántara Bocanegra, F.,

- Chávez Veintemilla, C., ... Nuñez, J. (2009). Gender determination in the Paiche or Pirarucu (*Arapaima gigas*) using plasma vitellogenin, 17 β -estradiol, and 11-ketotestosterone levels. *Fish Physiology and Biochemistry*, 35(1), 125–136. <https://doi.org/10.1007/s10695-008-9211-8>
- Chung-Davidson, Y. W., Huertas, M., & Li, W. (2011). A Review of Research in Fish Pheromones. *Chemical Communication in Crustaceans*, 467–482. <https://doi.org/10.1007/978-0-387-77101-4>
- Couse, J. F., Lindzey, J., Grandien, K. A. J., Gustafsson, J.-åke, & Korach, K. S. (1997). Tissue Distribution and Quantitative Analysis of Estrogen Receptor- α (ER α) and Estrogen Receptor- β (ER β) Messenger Ribonucleic Acid in the Wild-Type and ER α -Knockout Mouse. *Endocrinology*, 138(11), 4613–4621.
- Devlin, R. H., & Nagahama, Y. (2002). Sex determination and sex differentiation in fish: an overview of genetic, physiological, and environmental influences. *Aquaculture*, 208(3–4), 191–364. [https://doi.org/10.1016/S0044-8486\(02\)00057-1](https://doi.org/10.1016/S0044-8486(02)00057-1)
- Dominguez, G. A., Bisesi, J. H., Kroll, K. J., Denslow, N. D., & Sabo-Attwood, T. (2014). Control of Transcriptional Repression of the Vitellogenin Receptor Gene in Largemouth Bass (*Micropterus Salmoides*) by Select Estrogen Receptors Isotypes. *Toxicological Sciences*, 141(2), 423–431. <https://doi.org/10.1093/toxsci/kfu145>
- Dominguez, G. A., Quattro, J. M., Denslow, N. D., Kroll, K. J., Prucha, M. S., Porak, W. F., ... Sabo-Attwood, T. L. (2012). Identification and Transcriptional Modulation of the Largemouth Bass, *Micropterus salmoides*, Vitellogenin Receptor During Oocyte Development by Insulin and Sex Steroids1. *Biology of Reproduction*, 87(3), 1–12. <https://doi.org/10.1095/biolreprod.112.099812>
- Dugué, R., Chu Koo, F., Alcántara Bocanegra, F., Duponchelle, F., Renno, J. F., & Nuñez, J. (2008). Purification and assay of *Arapaima gigas* vitellogenin : Potential use for sex determination by. *Cybiurn*, 32(2), 111.
- Ezekiel, E. N., & Abowei, J. F. N. (2013). Length-Weight Relationship and Condition Factor of *Heterotis niloticus* from Amassoma flood plain , Niger Delta , Nigeria . *Applied Science Report*, 4(1), 164–172.
- Faria, M. T., Carvalho, R. F., Sevilhano, T. C. A., Oliveira, N. A. J., Silva, C. F. P., Oliveira, J. E., ... Bartolini, P. (2013). Isolation of the pituitary gonadotrophic α -subunit hormone of the giant amazonian fish: Pirarucu (*Arapaima gigas*). *Fish Physiology and Biochemistry*, 39(3), 683–693. <https://doi.org/10.1007/s10695-012-9730-1>
- Feng, W., Matzuk, M. M., Mountjoy, K., Bedows, E., Ruddon, R. W., & Boime, I. (1995). The Asparagine-linked Oligosaccharides of the Human Chorionic Gonadotropin β Subunit Facilitate Correct Disulfide Bond Pairing. *Journal of Biological Chemistry*, 270(20), 11851–11859.
- Freeman, M. E., Kanyicska, B., Lerant, A., & Nagy, G. (2000). Prolactin: Structure, function, and regulation of secretion. *Physiological Reviews*, 80(4), 1523–1631. <https://doi.org/10.1016/B978-012515400-0/50037-3>
- Gao, X. M., Zhou, Y., Zhang, D. D., Hou, C. C., & Zhu, J. Q. (2019). Multiple vitellogenin genes (vtgs) in large yellow croaker (*Larimichthys crocea*): molecular characterization and expression pattern analysis during ovarian development. *Fish Physiology and Biochemistry*, 45, 829–848. <https://doi.org/10.1007/s10695-018-0569-y>
- Genovese, G., Regueira, M., Da Cuña, R. H., Ferreira, M. F., Varela, M. L., & Lo Nostro, F. L. (2014). Nonmonotonic response of vitellogenin and estrogen receptor α gene

- expression after octylphenol exposure of *Cichlasoma dimerus* (Perciformes, Cichlidae). *Aquatic Toxicology*, 156, 30–40. <https://doi.org/10.1016/j.aquatox.2014.07.019>
- Giguère, V. (1999). Orphan Nuclear Receptors : From Gene to Function *. *Endocrine Reviews*, 20(5), 689–725.
- Goffin, V., Shiverick, K. T., Kelly, P. A., & Martial, J. A. (1996). Sequence-Function Relationships Within the Expanding. *Endocrine Reviews*, 17(4), 385–410.
- Grabherr, M., Haas, B. J., Yassour, M., Levin, J. Z., Thompson, D. A., Amit, I., ... Regev, A. (2011). Trinity: reconstructing a full-length transcriptome without a genome from RNA-Seq data. *Nature Biotechnology*, 29(7), 644–652. <https://doi.org/10.1038/nbt.1883>.Trinity
- Guo-Qing, L., & Wilson, M. V. H. (1996). The discovery of Heterotidinae (Teleostei: Osteoglossidae) from the Paleocene Paskapoo Formation of Alberta, Canada. *Journal of Vertebrate Paleontology*, 16(2), 198–209. <https://doi.org/10.1080/02724634.1996.10011308>
- Haas, B. J., Papanicolaou, A., Yassour, M., Grabherr, M., Blood, P. D., Bowden, J., ... Regev, A. (2013). De novo transcript sequence reconstruction from RNA-Seq: reference generation and analysis with Trinity. In *Nature Protocols* (Vol. 8). <https://doi.org/10.1038/nprot.2013.084>.De
- Hallerman, E. M. (2006). Use of Molecular Tools for Research and Improvement of Aquaculture Stocks. *Aquaculture*, 58(4), 286–296.
- Hara, A., Hiramatsu, N., & Fujita, T. (2016). Vitellogenesis and choriogenesis in fishes. *Fisheries Science*, 82(2), 187–202. <https://doi.org/10.1007/s12562-015-0957-5>
- Hawkins, M. B., & Thomas, P. (2004). The unusual binding properties of the third distinct teleost estrogen receptor subtype ER β are accompanied by highly conserved amino acid changes in the ligand binding domain. *Endocrinology*, 145(6), 2968–2977. <https://doi.org/10.1210/en.2003-0806>
- Hawkins, M. B., Thornton, J. W., Crews, D., Skipper, J. K., Dotte, A., & Thomas, P. (2000). Identification of a third distinct estrogen receptor and reclassification of estrogen receptors in teleosts. *Proceedings of the National Academy of Sciences*, 97(20), 10751–10756. <https://doi.org/10.1073/pnas.97.20.10751>
- Hilton, E. J. (2001). Tongue Bite Apparatus of Osteoglossomorph Fishes: Variation of a Character Complex. *Copeia*, 2001(2), 372–381.
- Hilton, E. J. (2003). Comparative osteology and phylogenetic systematics of fossil and living bony-tongue fishes (Actinopterygii, Teleostei, Osteoglossomorpha). *Zoological Journal of the Linnean Society*, 137(1), 1–100. <https://doi.org/10.1046/j.1096-3642.2003.00032.x>
- Hiramatsu, N., Fukadal, H., Sullivan, C. V., & Hara, A. (2001). Simple and Sensitive Detection of Vitellogenin Receptor (s) in Sakhalin Taimen (*Hucho perryi*). *Bull. Fish Sci. Hokkaido Univ.*, 52(1), 5–9.
- Hiramatsu, N., Luo, W., Reading, B. J., Sullivan, C. V., Mizuta, H., Ryu, Y.-W., ... Hara, A. (2013). Multiple ovarian lipoprotein receptors in teleosts. *Fish Physiol Biochem*, 39, 29–32. <https://doi.org/10.1007/s10695-012-9612-6>
- Hiramatsu, N., Matsubara, T., Fujita, T., Sullivan, C. V., & Hara, A. (2006). Multiple piscine vitellogenins: Biomarkers of fish exposure to estrogenic endocrine disruptors in aquatic environments. *Marine Biology*, 149(1), 35–47. <https://doi.org/10.1007/s00227-005->

- Huang, X., Hui, M. N. Y., Liu, Y., Yuen, D. S. H., Zhang, Y., Chan, W. Y., ... Cheng, C. H. K. (2009). Discovery of a Novel Prolactin in Non-Mammalian Vertebrates : Evolutionary Perspectives and Its Involvement in Teleost Retina Development. *PLoS ONE*, 4(7), e6163. <https://doi.org/10.1371/journal.pone.0006163>
- Huertas, M., Almeida, O. G., Canário, A. V. M., & Hubbard, P. C. (2014). Tilapia male urinary pheromone stimulates female reproductive axis. *General and Comparative Endocrinology*, 196, 106–111. <https://doi.org/10.1016/j.ygcen.2013.11.024>
- IRD. (2008). Vers la domestication du plus grand poisson de l'Amazonie. *Actualité Scientifiques*, 306, 1–2.
- Kato, S., Endoh, H., Masuhiro, Y., Kitamoto, T., Uchiyama, S., Sasaki, H., ... Chambon, P. (1995). Activation of the Estrogen Receptor Through γ -phosphorylation by Mitogen-Activated Protein Kinase. *Science*, 270, 1491–1494. <https://doi.org/10.16377/j.cnki.issn1007-7731.2011.17.025>
- Kong, H. J., Kim, J. L., Moon, J. Y., Kim, W. J., Kim, H. S., Park, J. Y., ... An, C. M. (2014). Characterization, expression profile, and promoter analysis of the *Rhodeus uyekii* vitellogenin Ao1 gene. *International Journal of Molecular Sciences*, 15(10), 18804–18818. <https://doi.org/10.3390/ijms151018804>
- Kopylova, E., Noé, L., & Touzet, H. (2012). SortMeRNA : Fast and accurate filtering of BIOINFORMATICS SortMeRNA : Fast and accurate filtering of ribosomal RNAs in metatranscriptomic data. *Bioinformatics*, 28(24), 3211–3217. <https://doi.org/10.1093/bioinformatics/bts611>
- Krogh, A., Larsson, B., Von Heijne, G., & Sonnhammer, E. L. L. (2001). Predicting transmembrane protein topology with a hidden Markov model: Application to complete genomes. *Journal of Molecular Biology*, 305(3), 567–580. <https://doi.org/10.1006/jmbi.2000.4315>
- Kumar, R., Zakharov, M. N., Khan, S. H., Miki, R., Jang, H., Toraldo, G., ... Jasuja, R. (2011). The Dynamic Structure of the Estrogen Receptor. *Journal of Amino Acids*, 2011, 1–7. <https://doi.org/10.4061/2011/812540>
- Kumazawa, Y., & Nishida, M. (2000). Molecular Phylogeny of Osteoglossoids : A New Model for Gondwanian Origin and Plate Tectonic Transportation of the Asian Arowana. *Molecular Biology and Evolution*, 17(12), 1869–1878.
- Lavoué, S. (2016). Was Gondwanan breakup the cause of the intercontinental distribution of Osteoglossiformes? A time-calibrated phylogenetic test combining molecular, morphological, and paleontological evidence. *Molecular Phylogenetics and Evolution*, 99, 34–43. <https://doi.org/10.1016/j.ympev.2016.03.008>
- Lavoué, S., & Sullivan, J. P. (2004). Simultaneous analysis of five molecular markers provides a well-supported phylogenetic hypothesis for the living bony-tongue fishes (Osteoglossomorpha: Teleostei). *Molecular Phylogenetics and Evolution*, 33(1), 171–185. <https://doi.org/10.1016/j.ympev.2004.04.021>
- Lazard, J. (1990). Transferts de poissons et développement de la production piscicole. *Revue Hydrobiologie Tropicale*, 23(3), 251–265.
- Le Menn, F. (1979). Induction of vitellogenin by estradiol and androgens in a teleostean fish: *Gobius niger* L. *Comptes Rendus Des Seances de l'Academie Des Sciences*, 289(4), 413–416. Retrieved from <http://www.ncbi.nlm.nih.gov/pubmed/117947>

- Leduc, A., Zatylny-Gaudin, C., Robert, M., Corre, E., Corguille, G. Le, Castel, H., ... Henry, J. (2018). Dietary aquaculture by-product hydrolysates: Impact on the transcriptomic response of the intestinal mucosa of European seabass (*Dicentrarchus labrax*) fed low fish meal diets. *BMC Genomics*, *19*(1), 1–20. <https://doi.org/10.1186/s12864-018-4780-0>
- Leung, Y.-K., Mak, P., Hassan, S., & Ho, S. (2006). Estrogen receptor (ER) beta isoforms : A key to understanding ER beta signaling. *PNAS*, *103*(35), 13162–13167.
- Li, A., Sadasivam, M., & Ding, J. L. (2003). Receptor-ligand interaction between vitellogenin receptor (VtgR) and vitellogenin (Vtg), implications on low density lipoprotein receptor and apolipoprotein B/E. The first three ligand-binding repeats of VtgR interact with the amino-terminal region of Vtg. *Journal of Biological Chemistry*, *278*(5), 2799–2806. <https://doi.org/10.1074/jbc.M205067200>
- Luo, W., Ito, Y., Mizuta, H., Massaki, K., Hiramatsu, N., Todo, T., ... Hara, A. (2013). Molecular cloning and partial characterization of an ovarian receptor with seven ligand binding repeats, an orthologue of low-density lipoprotein receptor, in the cutthroat trout (*Oncorhynchus clarki*). *Comparative Biochemistry and Physiology - A Molecular and Integrative Physiology*, *166*(2), 263–271. <https://doi.org/10.1016/j.cbpa.2013.06.026>
- Mañanós, E., Núñez-Rodríguez, J., Le Menn, F., Zanuy, S., & Carrillo, M. (2007). Identification of vitellogenin receptors in the ovary of a teleost fish, the Mediterranean sea bass (*Dicentrarchus labrax*). *Reproduction Nutrition Development*, *37*, 51–61. <https://doi.org/10.1051/rnd:19970106>
- Manzon, L. A. (2002). The Role of Prolactin in Fish Osmoregulation : A Review. *General and Comparative Endocrinology*, *125*, 291–310. <https://doi.org/10.1006/gcen.2001.7746>
- Marcos, P. L., & Adalberto, L. V. (2015). Differentially expressed genes in the pituitary of the Amazonian fish *Arapaima gigas*. *International Journal of Fisheries and Aquaculture*, *7*(8), 132–141. <https://doi.org/10.5897/IJFA15.0473>
- Marlatt, V. L., Martyniuk, C. J., Zhang, D., Xiong, H., Watt, J., Xia, X., ... Trudeau, V. L. (2008). Auto-regulation of estrogen receptor subtypes and gene expression profiling of 17 β -estradiol action in the neuroendocrine axis of male goldfish. *Molecular and Cellular Endocrinology*, *283*(1–2), 38–48. <https://doi.org/10.1016/j.mce.2007.10.013>
- Maruska, K. P., & Fernald, R. D. (2011). Social Regulation of Gene Expression in the Hypothalamic-Pituitary-Gonadal Axis. *Physiology*, *26*(6), 412–423. <https://doi.org/10.1152/physiol.00032.2011>
- Mehdi, Y., & Ehsan, S. (2013). A review of the control of reproduction and hormonal manipulations in finfish species. *International Journal of Agricultural Research*, *1*(1), 15–21.
- Meier, F., Beck, S., Grassl, N., Lubeck, M., Park, M. A., Raether, O., & Mann, M. (2015). Parallel Accumulation–Serial Fragmentation (PASEF): Multiplying Sequencing Speed and Sensitivity by Synchronized Scans in a Trapped Ion Mobility Device. *Journal of Proteome Research*, *14*(12), 5378–5387. <https://doi.org/10.1021/acs.jproteome.5b00932>
- Métivier, R., Stark, A., Flouriot, G., Hübner, M. R., Brand, H., Penot, G., ... Gannon, F. (2002). A Dynamic Structural Model for Estrogen Receptor alpha Activation by Ligands , Emphasizing the Role of Interactions between Distant A and E Domains. *Molecular Cell*, *10*, 1019–1032.
- Meucci, V., & Arukwe, A. (2005). Detection of vitellogenin and zona radiata protein expressions in surface mucus of immature juvenile Atlantic salmon (*Salmo salar*)

- exposed to waterborne nonylphenol. *Aquatic Toxicology (Amsterdam, Netherlands)*, 73(1), 1–10. <https://doi.org/10.1016/j.aquatox.2005.03.021>
- Mizuta, H., Luo, W., Ito, Y., Mushiobira, Y., Todo, T., Hara, A., ... Hiramatsu, N. (2013). Ovarian expression and localization of a vitellogenin receptor with eight ligand binding repeats in the cutthroat trout (*Oncorhynchus clarki*). *Comparative Biochemistry and Physiology. Part B, Biochemistry & Molecular Biology*, 166(1), 81–90. <https://doi.org/10.1016/j.cbpb.2013.07.005>
- Moncaut, N., Nostro, F. Lo, & Maggese, M. C. (2003). Vitellogenin detection in surface mucus of the South American cichlid fish *Cichlasoma dimerus* (Heckel, 1840) induced by estradiol-17beta. Effects on liver and gonads. *Aquatic Toxicology (Amsterdam, Netherlands)*, 63(2), 127–137. [https://doi.org/10.1016/S0166-445X\(02\)00175-3](https://doi.org/10.1016/S0166-445X(02)00175-3)
- Moreau, J. (1982). Exposé synoptique des données biologiques sur *Heterotis niloticus* (Cuvier, 1829). *FAO Synop. Pêches*, 131, 1–45.
- Mushiobira, Y., Mizuta, H., Luo, W., Todo, T., Hara, A., Reading, B. J., ... Hiramatsu, N. (2015). Molecular cloning and partial characterization of a low-density lipoprotein receptor-related protein 13 (Lrp13) involved in vitellogenin uptake in the cutthroat trout (*Oncorhynchus clarki*). *Molecular Reproduction and Development*, 82(12), 986–1000. <https://doi.org/10.1002/mrd.22579>
- Mylonas, C. C., Fostier, A., & Zanuy, S. (2010). Reproduction and Broodstock Management General and Comparative Endocrinology Broodstock management and hormonal manipulations of fish reproduction. *General and Comparative Endocrinology*, 165, 516–534. <https://doi.org/10.1002/9781444392210.ch4>
- Ndiaye, P., Forgue, J., Lamothe, V., Cauty, C., Tacon, P., Lafon, P., ... Núñez, J. (2006). Tilapia (*Oreochromis niloticus*) vitellogenins: development of homologous and heterologous ELISAs and analysis of vitellogenin pathway through the ovarian follicle. *Journal of Experimental Zoology Part A: Comparative Experimental Biology*, 305A(7), 576–593. <https://doi.org/10.1002/jez.a.290>
- Nelson, E. R., & Habibi, H. R. (2010). Functional significance of nuclear estrogen receptor subtypes in the liver of goldfish. *Endocrinology*, 151(4), 1668–1676. <https://doi.org/10.1210/en.2009-1447>
- Nelson, E. R., & Habibi, H. R. (2013). Estrogen receptor function and regulation in fish and other vertebrates. *General and Comparative Endocrinology*, 192, 15–24. <https://doi.org/10.1016/j.ygcen.2013.03.032>
- Nelson, E. R., Wiehler, W. B., Cole, W. C., & Habibi, H. R. (2007). Homologous Regulation of Estrogen Receptor Subtypes in Goldfish (*Carassius auratus*). *Molecular Reproduction and Development*, 74(1), 1105–1112. <https://doi.org/10.1002/mrd>
- Nelson, G. J. (1968). Gill arches of teleostean fishes of the division Osteoglossomorpha. *Journal of the Linnean Society of London, Zoology*, 47(312), 261–277. <https://doi.org/10.1111/j.1096-3642.1968.tb00511.x>
- Nelson, G. J. (1969). Infraorbital bones and their bearing on the phylogeny and geography of Osteoglossomorph fishc. *American Museum Novitates*, 2394, 1–37.
- Norris, D. O., & Lopez, K. H. (2011). Hormones and reproduction of vertebrates, Volume 1 - Fishes. In *Saudi Med J* (Vol. 1).
- Noso, T., Nicoll, C. S., Polenov, A. L., & Kawauchi, H. (1993). The primary structure of sturgeon prolactin: Phylogenetic implication. *General and Comparative Endocrinology*, Vol. 91, pp. 90–95. <https://doi.org/10.1006/gcen.1993.1108>

- Núñez-Rodríguez, J., Bon, E., & Le Menn, F. (1996). Vitellogenin receptors during Vitellogenesis in the rainbow trout *Oncorhynchus mykiss*. *The Journal of Experimental Zoology*, 274, 163–170. [https://doi.org/10.1002/\(sici\)1097-010x\(19960215\)274:3<163::aid-jez3>3.0.co;2-m](https://doi.org/10.1002/(sici)1097-010x(19960215)274:3<163::aid-jez3>3.0.co;2-m)
- Núñez-Rodríguez, J., Kah, O., Geffard, M., & Le Menn, F. (1989). Enzyme Linked Immunosorbent Assay (ELISA) for sole (*Solea vulgaris*) vitellogenin. *Comparative Biochemistry and Physiology*, 92B(4), 741–746.
- Núñez, J. (2008). Arapaima gigas se dévoile. *Science Au Sud*, 47, 1.
- Nunez Rodriguez, J., Dugue, R., Oteme, Z. J., Hem, S., & Le Menn, F. (1997). Vitellogenin plasma levels in two cultured African catfish species, *Chrysichthys nigrodigitatus* (Claroteidae) and *Heterobranchus longifilis* (Clariidae). *Aquat. Living Resources*, 10, 231–238.
- Odo, G., Nwamba, H., & Eyo, J. (2009). Aspects Of The Biology Of *Heterotis niloticus* Cuvier 1829 (Osteoglossiformes: Osteoglossidae) In The Anambra Flood River System, Nigeria. *Animal Research International*, 6(2), 994–1002. <https://doi.org/10.4314/ari.v6i2.48131>
- Oladosu, G. A., Obi, A., & Oladosu, O. O. (2007). Sex determination in *Heterotis niloticus* (Cuvier 1829) Based on morphometric features. *ASSET Series B*, 6(1), 22–30.
- Om, A. D., Jasmani, S., Ismail, N., Yeong, S. Y., & Abol-Munafi, A. B. (2013). Application MALDI TOF on protein identification of vitellogenin in giant grouper (*Epinephelus lanceolatus*). *Fish Physiology and Biochemistry*, 39(5), 1277–1286. <https://doi.org/10.1007/s10695-013-9782-x>
- Pelissero, C., Cuisset, B., & Le Menn, F. (1989). The influence of sex steroids in commercial meals and fish diets on plasma concentration of estrogens and vitellogenin in cultured Siberian sturgeon *Acipense baeri*. *Aquatic Living Resources*, 2, 161–168. <https://doi.org/10.1051/alr>
- Pelissero, C., & Sumpter, J. P. (1992). Steroids and “steroid-like” substances in fish diets. *Aquaculture*, 107, 283–301. [https://doi.org/10.1016/0044-8486\(92\)90078-Y](https://doi.org/10.1016/0044-8486(92)90078-Y)
- Petersen, T. N., Brunak, S., von Heijne, G., & Nielsen, H. (2011). SignalP 4.0: discriminating signal peptides from transmembrane regions. *Nature Methods*, 8(10), 785–786. <https://doi.org/10.1038/nmeth.1701>
- Plant, T. M. (2015). The hypothalamo-pituitary-gonadal axis. *Journal of Endocrinology*, 226(2), T41–T54. <https://doi.org/10.1530/JOE-15-0113>
- Pousis, C., Santamaria, N., Zupa, R., De Giorgi, C., Mylonas, C. C., Bridges, C. R., ... Corriero, A. (2012). Expression of vitellogenin receptor gene in the ovary of wild and captive Atlantic bluefin tuna (*Thunnus thynnus*). *Animal Reproduction Science*, 132, 101–110. <https://doi.org/10.1016/j.anireprosci.2012.03.014>
- Prat, F., Coward, K., Sumpter, J. P., & Tyler, C. R. (1998). Molecular Characterization and Expression of two Ovarian Lipoprotein Receptors in the Rainbow Trout, *Oncorhynchus mykiss* 1. *Biology of Reproduction*, 58(5), 1146–1153. <https://doi.org/10.1095/biolreprod58.5.1146>
- Reading, B. J., Hiramatsu, N., Schilling, J., Molloy, K. T., Glassbrook, N., Mizuta, H., ... Sullivan, C. V. (2014). Lrp13 is a novel vertebrate lipoprotein receptor that binds vitellogenins in teleost fishes. *Journal of Lipid Research*, 55(11), 2287–2295. <https://doi.org/10.1194/jlr.M050286>

- Reading, B. J., Hiramatsu, N., & Sullivan, C. V. (2011). Disparate Binding of Three Types of Vitellogenin to Multiple Forms of Vitellogenin Receptor in White Perch 1. *Biology of Reproduction*, *84*, 392–399. <https://doi.org/10.1095/biolreprod.110.087981>
- Roy, R. L., Morin, Y., Courtenay, S. C., & Robichaud, P. (2004). Purification of vitellogenin from smooth flounder (*Pleuronectes putnami*) and measurement in plasma by homologous ELISA. *Comparative Biochemistry and Physiology - B Biochemistry and Molecular Biology*, *139*(2), 235–244. <https://doi.org/10.1016/j.cbpc.2004.07.006>
- Sabo-Attwood, T., Kroll, K. J., & Denslow, N. D. (2004). Differential expression of largemouth bass (*Micropterus salmoides*) estrogen receptor isotypes alpha, beta, and gamma by estradiol. *Molecular and Cellular Endocrinology*, *218*(1–2), 107–118. <https://doi.org/10.1016/j.mce.2003.12.007>
- Sappington, T. W., & Raikhel, A. S. (1998). Ligand-binding domains in vitellogenin receptors and other LDL-receptor family members share a common ancestral ordering of cysteine-rich repeats. *Journal of Molecular Evolution*, *46*(4), 476–487. <https://doi.org/10.1007/PL00006328>
- Schilling, J., Loziuk, P. L., Muddiman, D. C., Daniels, H. V., & Reading, B. J. (2015). Mechanisms of egg yolk formation and implications on early life history of white perch (*Morone americana*). *PLoS ONE*, *10*(11), 1–20. <https://doi.org/10.1371/journal.pone.0143225>
- Scott, A. P., Liley, N. R., & Vermeirssen, E. L. M. (1994). Urine of reproductively mature female rainbow trout, *Oncorhynchus mykiss* (Walbaum), contains a priming pheromone which enhances plasma levels of sex steroids and gonadotrophin II in males. *Journal of Fish Biology*, *44*, 13.
- Sevilhano, T., Carvalho, R. F. De, Oliveira, N. A. D. J., Oliveira, J. E., Maltarollo, V. G., Trossini, G., ... Bartolini, P. (2017). Molecular cloning and characterization of pirarucu (*Arapaima gigas*) follicle-stimulating hormone and luteinizing hormone β -subunit cDNAs. *PLoS ONE*, *12*(8), e0183545.
- Skorupski, J., & Kmieć, M. (2013). Structural and functional characteristics of prolactin and its gene in the American mink (*Neovison vison* Schreb., 1777). A review / Charakterystyka strukturalna i funkcjonalna prolaktyny i jej genu u norki amerykańskiej (*Neovison vison* schreb., 1777). *Pra. Annales UMCS, Zootechnica*, *30*(4). <https://doi.org/10.2478/v10083-012-0035-8>
- Šlechtová, T., Gilar, M., Kalíková, K., & Tesařová, E. (2015). Insight into Trypsin Miscleavage: Comparison of Kinetic Constants of Problematic Peptide Sequences. *Analytical Chemistry*, *87*(15), 7636–7643. <https://doi.org/10.1021/acs.analchem.5b00866>
- So, W., Kwok, H., & Ge, W. (2005). Zebrafish Gonadotropins and Their Receptors : II . Cloning and Characterization of Zebrafish Follicle-Stimulating Hormone and Luteinizing Hormone Subunits — Their Spatial-Temporal Expression Patterns and Receptor Specificity. *Biology of Reproduction*, *72*, 1382–1396. <https://doi.org/10.1095/biolreprod.104.038216>
- Stacey, N. (2003). Hormones, pheromones and reproductive behavior. *Fish Physiology and Biochemistry*, *28*(1–4), 229–235. <https://doi.org/10.1023/B:FISH.0000030540.99732.2c>
- Stifani, S., Le Menn, F., Nunez Rodriguez, J., & Schneider, W. J. (1990). Regulation of oogenesis: The piscine receptor for vitellogenin. *Biochimica et Biophysica Acta (BBA) - Lipids and Lipid Metabolism*, *1045*, 271–279. <https://doi.org/10.1016/0005->

- Takahashi, A., Kanda, S., Abe, T., & Oka, Y. (2016). Evolution of the hypothalamic-pituitary-gonadal axis regulation in vertebrates revealed by knockout medaka. *Endocrinology*, *157*(10), 3994–4002. <https://doi.org/10.1210/en.2016-1356>
- Taranger, G. L., Carrillo, M., Schulz, R. W., Fontaine, P., Zanuy, S., Felip, A., ... Hansen, T. (2010). Control of puberty in farmed fish. *General and Comparative Endocrinology*, *165*(3), 483–515. <https://doi.org/10.1016/j.ygcen.2009.05.004>
- Teilum, K., Hoch, J. C., Goffin, V., Kinet, S., Martial, J. A., & Kragelund, B. B. (2005). Solution Structure of Human Prolactin. *Journal of Molecular Biology*, *351*, 810–823. <https://doi.org/10.1016/j.jmb.2005.06.042>
- Trichet, V., Buisine, N., Mouchel, N., Morán, P., Pendás, A. M., Le Pennec, J. P., & Wolff, J. (2000). Genomic analysis of the vitellogenin locus in rainbow trout (*Oncorhynchus mykiss*) reveals a complex history of gene amplification and retroposon activity. *Molecular and General Genetics*, *263*(5), 828–837. <https://doi.org/10.1007/s004380000247>
- Trommsdorff, M., Gotthardt, M., Hiesberger, T., Shelton, J., Stockinger, W., Nimpf, J., ... Herz, J. (1999). Reeler/disabled-like disruption of neuronal migration in knockout mice lacking the VLDL receptor and ApoE receptor 2. *Cell*, *97*(6), 689–701. [https://doi.org/10.1016/S0092-8674\(00\)80782-5](https://doi.org/10.1016/S0092-8674(00)80782-5)
- Uchida, K., Moriyama, S., Chiba, H., Shimotani, T., Honda, K., Miki, M., ... Nozaki, M. (2010). Evolutionary origin of a functional gonadotropin in the pituitary of the most primitive vertebrate, hagfish. *PNAS*, *107*(36), 15832–15837. <https://doi.org/10.1073/pnas.1002208107>
- Ulloa-Aguirre, A., Timossi, C., Damián-matsumura, P., & Dias, J. A. (1999). Role of Glycosylation in Function of Follicle-Stimulating Hormone. *Endocrine*, *11*, 205–215. <https://doi.org/10.1385/ENDO>
- Unal, G., Marquez, E. C., Feld, M., Stavropoulos, P., & Callard, I. P. (2014). Isolation of estrogen receptor subtypes and vitellogenin genes: Expression in female *Chalcalburnus tarichi*. *Comparative Biochemistry and Physiology Part - B: Biochemistry and Molecular Biology*, *172–173*(1), 67–73. <https://doi.org/10.1016/j.cbpb.2014.04.002>
- Vischer, H. F., Marques, R. B., Granneman, J. C. M., Linskens, M. H. K., Schulz, R. W., & Bogerd, J. (2004). Receptor-selective determinants in catfish gonadotropin seat-belt loops. *Molecular and Cellular Endocrinology*, *224*, 55–63. <https://doi.org/10.1016/j.mce.2004.06.011>
- Wallace, R. A., Hoch, K. L., & Carnevali, O. (1990). Placement of small lipovitellin subunits within the vitellogenin precursor in *Xenopus laevis*. *Journal of Molecular Biology*, *213*(3), 407–409. [https://doi.org/10.1016/S0022-2836\(05\)80203-7](https://doi.org/10.1016/S0022-2836(05)80203-7)
- Wang, H., Tan, J. T. T., Emelyanov, A., Korzh, V., & Gong, Z. (2005). Hepatic and extrahepatic expression of vitellogenin genes in the zebrafish, *Danio rerio*. *Gene*, *356*(1–2), 91–100. <https://doi.org/10.1016/j.gene.2005.03.041>
- Wang, N., Wang, R., Hu, Q., Xu, W., Zhu, Y., Yan, F., & Chen, S. (2017). Characterization of a low-density lipoprotein receptor, Lrp13, in Chinese tongue sole (*Cynoglossus semilaevis*) and medaka (*Oryzias latipes*). *Fish Physiology and Biochemistry*, *43*(5), 1289–1298. <https://doi.org/10.1007/s10695-017-0372-1>
- Wang, R., Gao, Y., Zhang, L., Zhang, Y., Fang, Z., He, J., ... Ma, G. (2010). Cloning, expression, and induction by 17- β estradiol (E2) of a vitellogenin gene in the white

- cloud mountain minnow *Tanichthys albonubes*. *Fish Physiology and Biochemistry*, 36(2), 157–164. <https://doi.org/10.1007/s10695-008-9222-5>
- Watahiki, M., Yamamoto, M., Yamakawa, M., Tanaka, M., & Nakashima, K. (1989). Conserved and Unique Amino Acid Residues in the Domains of the Growth Hormones. *Journal of Biological Chemistry*, 264(1), 312–316.
- Whittington, C. M., & Wilson, A. B. (2013). General and Comparative Endocrinology The role of prolactin in fish reproduction. *General and Comparative Endocrinology*, 191, 123–136. <https://doi.org/10.1016/j.ygcen.2013.05.027>
- Williams, V. N., Reading, B. J., Hiramatsu, N., Amano, H., Glassbrook, N., Hara, A., & Sullivan, C. V. (2014). Multiple vitellogenins and product yolk proteins in striped bass, *Morone saxatilis*: molecular characterization and processing during oocyte growth and maturation. *Fish Physiology and Biochemistry*, 40(2), 395–415. <https://doi.org/10.1007/s10695-013-9852-0>
- Yambe, H., Kitamura, S., Kamio, M., Yamada, M., Matsunaga, S., Fusetani, N., & Yamazaki, F. (2006). L-Kynurenine, an amino acid identified as a sex pheromone in the urine of ovulated female masu salmon. *Proceedings of the National Academy of Sciences*, 103(42), 15370–15374. <https://doi.org/10.1073/pnas.0604340103>
- Yang, H. M., Wang, Y., Wang, Z. Y., & Wang, X. X. (2017). Seasonal and photoperiodic regulation of reproductive hormones and related genes in Yangzhou geese. *Poultry Science*, 96(2), 486–490. <https://doi.org/10.3382/ps/pew340>
- Yasuda, A., Kawauchi, H., & Papkoff, H. (1990). The complete amino acid sequence of prolactin from the sea turtle (*Chelonia mydas*). *General and Comparative Endocrinology*, 80(3), 363–371. [https://doi.org/10.1016/0016-6480\(90\)90185-O](https://doi.org/10.1016/0016-6480(90)90185-O)
- Yilmaz, O., Prat, F., Ibañez, A. J., Amano, H., Koksoy, S., & Sullivan, C. V. (2015). Estrogen-induced yolk precursors in European sea bass, *Dicentrarchus labrax*: Status and perspectives on multiplicity and functioning of vitellogenins. *General and Comparative Endocrinology*, 221, 16–22. <https://doi.org/10.1016/j.ygcen.2015.01.018>
- Zatylny-Gaudin, C., Cornet, V., Leduc, A., Zanuttini, B., Corre, E., Le Corguillé, G., ... Henry, J. (2016). Neuropeptidome of the Cephalopod *Sepia officinalis* : Identification, Tissue Mapping, and Expression Pattern of Neuropeptides and Neurohormones during Egg Laying. *Journal of Proteome Research*, 15, 48–67. <https://doi.org/10.1021/acs.jproteome.5b00463>
- Zechel, C., Shen, X., Chen, J., Chen, Z., Chambon, P., & Gronemeyer, H. (1994). The dimerization interfaces formed between the DNA binding domains of RXR , RAR and TR determine the binding specificity and polarity of the full-length receptors to direct repeats. *The EMBO Journal*, 13(6), 1425–1433.
- Zhang, S., Dong, Y., & Cui, P. (2015). Vitellogenin is an immunocompetent molecule for mother and offspring in fish. *Fish & Shellfish Immunology*, 46(2), 710–715. <https://doi.org/10.1016/j.fsi.2015.08.011>
- Zhong, L., Yuan, L., Rao, Y., Li, Z., Zhang, X., Liao, T., ... Dai, H. (2014). Distribution of vitellogenin in zebrafish (*Danio rerio*) tissues for biomarker analysis. *Aquatic Toxicology (Amsterdam, Netherlands)*, 149, 1–7. <https://doi.org/10.1016/j.aquatox.2014.01.022>
- Zohar, Y., Muñoz-Cueto, J. A., Elizur, A., & Kah, O. (2010). Neuroendocrinology of reproduction in teleost fish. *General and Comparative Endocrinology*, 165(3), 438–455. <https://doi.org/10.1016/j.ygcen.2009.04.017>

4 Proximité phylogénétique de *A. gigas* et *H. niloticus* basée sur les aspects moléculaires de la vitellogenèse et sa régulation

4.1 Les séquences utilisées

Les séquences de *H. niloticus* utilisées ici sont décrites dans l'article en cours de publication intitulé « Identification et caractérisation structurale des acteurs impliqués dans la vitellogenèse et sa régulation chez l'Osteoglossiforme d'intérêt aquacole, *Heterotis niloticus* (Cuvier, 1829) » de la présente thèse.

Chez *A. gigas*, la sous unité alpha commune à la FSH et la LH (G α) (Faria et al., 2013) et leur sous unités spécifique bêta, FSH β et LH β (Sevilhano et al., 2017) ont déjà été caractérisées et les séquences protéiques sont accessibles sur le site de NCBI, respectivement avec les codes AIG51239, AIA09918 et AJO68014. Les analyses *in silico*, telles que décrites dans le chapitre Matériel et Méthodes, ont permis d'identifier et de caractériser à partir des transcriptomes de foie, d'ovaire et d'hypophyse de *A. gigas*, d'autres molécules impliquées dans la vitellogenèse de cette espèce.

Les séquences protéiques déduites des séquences nucléotidiques de *A. gigas* et *H. niloticus* ont été alignées avec CLC Sequence viewer et les arbres phylogénétiques incluant d'autres espèces de poissons ont été réalisés sous Mega 7.

4.2 Identification des acteurs moléculaires chez *A. gigas* et comparaison avec *H. niloticus*

4.2.1 Les vitellogénines et leur récepteur

Les analyses *in silico* des transcriptomes de foie et d'ovaire de *A. gigas* n'ont pas permis d'identifier les séquences des Vtg et leur récepteur contrairement à *H. niloticus* où trois Vtg hépatiques, une Vtg ovarienne partielle et deux VLDLR (ovarien et hypophysaire) ont été identifiés et caractérisés. Il n'a donc pas été possible de comparer ces deux espèces sur la base des séquences protéiques déduites de ces molécules.

4.2.2 Récepteurs du 17 β -estradiol

L'analyse *in silico* a permis d'identifier chez *A. gigas* les transcrits de deux ER β , AgER β _X1 de 1677 paires de bases dans le foie et AgER β _X2 de 1047 paires de bases dans l'ovaire codant pour des séquences protéiques respectives de 559 et 349 acides aminés (**Figure 43**). Chez *H. niloticus* quatre formes d'ER β (HnER β _X1, HnER β _X2, HnER β _X3 et HnER β _X) et un ER γ ont été identifiés. Le sous-type ER α n'a pas été identifié chez les deux espèces, le sous-type ER γ et les récepteurs apparentés aux récepteurs d'œstrogènes (**Annexe 7**) identifiés chez *H. niloticus* n'ont pas été identifiés chez *A. gigas*.

AgER β _X1 et AgER β _X2 sont composés de cinq domaines comme les ERs de *H. niloticus* et la plupart des récepteurs nucléaires. Il s'agit du domaine N-terminal (A/B), le domaine de liaison à l'ADN (DBD), la séquence flanquante D, le domaine de liaison au ligand (LBD) et la région C-terminale F.

ERβ_X1

```
1 M A S S S P G S D L P L L Q F Q E V G S S K T G D C S T P G P L P G V Y
1 ATGGCTAGTTCCTCCAGGAAGTACCTGCCACTTTTGCAGTTCAGGAAGTGGGCTCCAGCAAGACAGGGGACTGCAGCACCCAGGACCCCTCCCTGGTGTATTAT
36 A G P V P G L A M D S R A V C I P S P Y A D S S N D Y A T L S F Y N P
106 GCTGGACCCGTACCAAGTCTGGCCATGGACAGCCGGGCAAGTGTATCCCTCACCCATGCGGACAGCAGCAATGACTATGCTACTCTCAGCTTCTACAACCCCT
71 S V L G Y P G S S V S D S P S V R P P L S P A I Y W S P H G H P G Q L
211 TCCGTGCTGGGCTACCCGGGCTCTCTGTCTGTACAGCCCTCTGTACGGCCACCCCTAAGCCCTGCATTTACTGGTCACCACATGGCCATCCTGGCCAGTTG
106 P P L T L H C Q Q P L V Y S E P P R T P W V E P K V Q D H A L V E S S
316 CCCCCACTCACCTGCACTGTACAGCCCTGGTGTACAGTGAAGCCCGAGGACCCCATGGGTGGAGCCCAAGTCCAGGACCACCCCTGGTTGAGAGCAGT
141 K L V G R R P L E G D E A L S S S A A C L T A K G D M H F C A V C H D
421 AACTGGTGGGACGCGCCGCTGGAAGGAGACGAGGCACTCAGTTCTTGCAGCCCTGCTTAACAGCGAAGGGCGATATGCATTTCTGCGCCGTCTGCCACGAC
176 Y A S G Y H Y G V W S C E G C K A F F K R S I Q G H N D Y I C P A T N
526 TACGCCCTGGGCTATCACTATGGCGTCTGGTCTGTGAGGGCTGCAAGGCCCTCTTTAAGAGGAGCATCCAAGGCCAATGACTACATCTGCCAGCGACCAAC
211 Q C T I D K N R R K S C Q A C R L R K C Y E V G M M K C G V R R E R C
631 CAGTGCACCATCGACAAAAACCGCCGCAAAAGCTGCCAGGCTGCGCCCTGCGGAAGTGTACGAAGTGGGCATGATGAAGTCCGGAGTGAGACGTGAGCGCTGT
246 S Y R G V R H R R V P Q I R E V V L G P G S R T Q R R L E S N L P P M
736 AGCTACCGTGGGTCGACACCCGGCTGTACCACAGATCCGGGAAGTGGTGTGGGACCAGGCTCCAGGACCCAGAGAAGACTGGAGAGCAACTGCCCCCTATG
281 K N F Q P L S L T P E Q L V L R I M E A E P P E I Y L M K D M K K P F
841 AAGAACTTCCAGCCCTGCTGCTGACCCCGAACAGCTGGTCTTGGCATAATGGAGGACAGCCCGGAGATCTACTTGATGAAGACATGAAGAAGCCGTTT
316 T E S S M M M S L T N L A D K E L V L M I S W A K K I P G F V E L S L
946 ACTGAGAGCAGTATGATGATGCTCTCACTAACCTGGCTGACAAGGAGCTGGTCTCATGATCAGCTGGGCCAAGAAGTCCCGGGTTCGTGGAGCTCAGCCGTG
351 S D Q V H L L E C C W L E V L M L G L M W E S V D H P G K L I F S P D
1051 TCAGATCAGGTGCACCTGCTGGAGTGTGCTGGCTGGAGGTGCTGATGCTGGGCTGATGTGGAGTCCGTCGACCCCGGGAAGTCTATCTTCCCCCGAC
386 L K L N R D E G N C V E G I M E I F D M L L A A T A R F R E L K L Q R
1156 CTTAAGCTCAATAGGGATGAAGCAACTGCGTGGAGGGGATCATGGAGATCTTGGACATGTTGACATGTTGCTGGCGCCACCGCCGATTCGCGGAGCTGAAGCTGCAGAGG
421 E E Y V C L K A L I L L N S N M C V S S P E T P E E L E S R A K L L R
1261 GAAGAGTACGCTGCTCAAGGGCGTGTCTGCTCAACTCCAACATGTGCGTGAAGTCCCGGAAACCGCCGAGGAGCTGGAGAGCCGTGCCAAGCTGTGCGG
456 L L D A V T D A L V W A I S R K G L T F Q Q Q S A R L A H L L L L S
1366 CTGCTGGACCCGCTGACGGACCCGCTGGTGTGGGCTATCTCCAGGAAGGGCTCACCTTCCAGCAACAGTCCGCTGCGCTCGCTCATCTGCTGCTGCTGCTGCA
491 H I R H L S N K E M E H L S N M K M K N V V P L Y D L L L E M L D A N
1471 CACATCCGCCATCTCAGTAACAGGGAATGGAGCACCTGTCCAACATGAAGATGAAGAACGTTGGTCCCGCTGTACGACCTGCTCCGAGATGCTGGATGCAAC
526 T M H S T R V H R C P P P R E A S P Q E P S P H H T M E N K S L Q Q *
1576 ACCATGCACAGACCCGTGTGCATCGTGTCCCCCCACCCAGGAGCCAGTCCCCAGGACCTTCGCCCATCACACAATGGAAACAAAGTCCCTGCAGCAGTAG
```

ERβ_X2

```
1 M A S S S P G S D L P L L Q F Q E V G S S K T G D C S T P G P L P G V Y
1 ATGGCTAGTTCCTCCAGGAAGTACCTGCCACTTTTGCAGTTCAGGAAGTGGGCTCCAGCAAGACAGGGGACTGCAGCACCCAGGACCCCTCCCTGGTGTATTAT
36 A G P V P G L A M D S R A V C I P S P Y A D S S N D Y A T L S F Y N P
106 GCTGGACCCGTACCAAGTCTGGCCATGGACAGCCGGGCAAGTGTATCCCTCACCCATGCGGACAGCAGCAATGACTATGCTACTCTCAGCTTCTACAACCCCT
71 S V L G Y P G S S V S D S P S V R P P L S P A I Y W S P H G H P G Q L
211 TCCGTGCTGGGCTACCCGGGCTCTCTGTCTGTACAGCCCTCTGTACGGCCACCCCTAAGCCCTGCATTTACTGGTCACCACATGGCCATCCTGGCCAGTTG
106 P P L T L H C Q Q P L V Y S E P P R T P W V E P K V Q D H A L V E S S
316 CCCCCACTCACCTGCACTGTACAGCCCTGGTGTACAGTGAAGCCCGAGGACCCCATGGGTGGAGCCCAAGTCCAGGACCACCCCTGGTTGAGAGCAGT
141 K L V G R R P L E G D E A L S S S A A C L T A K G D M H F C A V C H D
421 AACTGGTGGGACGCGCCGCTGGAAGGAGACGAGGCACTCAGTTCTTGCAGCCCTGCTTAACAGCGAAGGGCGATATGCATTTCTGCGCCGTCTGCCACGAC
176 Y A S G Y H Y G V W S C E G C K A F F K R S I Q G H N D Y I C P A T N
526 TACGCCCTGGGCTATCACTATGGCGTCTGGTCTGTGAGGGCTGCAAGGCCCTCTTTAAGAGGAGCATCCAAGGCCAATGACTACATCTGCCAGCGACCAAC
211 Q C T I D K N R R K S C Q A C R L R K C Y E V G M M K C G V R R E R C
631 CAGTGCACCATCGACAAAAACCGCCGCAAAAGCTGCCAGGCTGCGCCCTGCGGAAGTGTACGAAGTGGGCATGATGAAGTCCGGAGTGAGACGTGAGCGCTGT
246 S Y R G V R H R R V P Q I R E V V L G P G S R T Q R R L E S N L P P M
736 AGCTACCGTGGGTCGACACCCGGCTGTACCACAGATCCGGGAAGTGGTGTGGGACCAGGCTCCAGGACCCAGAGAAGACTGGAGAGCAACTGCCCCCTATG
281 K N F Q P L S L T P E Q L V L R I M E A E P P E I Y L M K D M K K P F
841 AAGAACTTCCAGCCCTGCTGCTGACCCCGAACAGCTGGTCTTGGCATAATGGAGGACAGCCCGGAGATCTACTTGATGAAGACATGAAGAAGCCGTTT
316 T E S S M M M S L T N L A D K E L V L M I S W A K K I P G N S T H V *
946 ACTGAGAGCAGTATGATGATGCTCTCACTAACCTGGCTGACAAGGAGCTGGTCTCATGATCAGCTGGGCCAAGAAGTCCCGGGTAACTCCACACATGTGTA
```

Figure 43 : Séquences nucléotidiques et séquences protéiques déduites des récepteurs œstrogéniques bêta (ERβ_X1 et ERβ_X2) de *A. gigas* (Ag). Le codon d'initiation et le codon stop sont en gras. La région A/B en position N-terminale suivie du domaine de liaison à l'ADN (DBD) situé dans les encadrés et contenant la boîte P (double soulignement) et la boîte D (soulignement simple). Le domaine de liaison au ligand (LBD) (soulignement simple) est suivi du domaine F en position C terminale. Les acides aminés impliqués dans la liaison avec l'estradiol sont entourés.

Les deux formes de AgERβ ont les domaines A/B, DBD et D identiques, le LBD et le domaine F étant variables (**Figure 44a**). Il s'agit de deux isoformes dues à un épissage alternatif du gène codant pour ces récepteurs œstrogéniques dans les mêmes conditions que les quatre isoformes ERβ de *H. niloticus*.

La comparaison des HnERβ_X1 et AgERβ_X1 (**Figure 44b**) montre une identité en acides aminés de 92,49% avec un DBD conservé contenant la boîte P (EGCKA) intervenant dans la reconnaissance de l'ADN et la boîte D (PATNQ) impliquée dans la dimérisation des récepteurs (Aranda & Pascual, 2001). Leurs LBD partagent 97,89% d'identité alors que les autres domaines sont les plus variables.



Figure 44 : Alignement des séquences protéiques déduites des deux récepteurs œstrogéniques béta de *A. gigas* (AgERβ_X1 et AgERβ_X2) (a) et comparaison de AgERβ_X1 avec HnERβ_X1 de *H. niloticus* (b). Le domaine de liaison à l'ADN (DBD) est situé dans les encadrés. Les acides aminés impliqués dans la liaison avec le 17β-estradiol sont indiqués par des triangles noirs. Les domaines peu conservés sont en gris.

Comme HnER β _X1, HnER β _X2, HnER β _X3 et HnER γ , les six acides aminés impliqués dans la liaison avec l'E2 (Sabo-Attwood et al., 2004) sont présents au niveau de AgER β _X1 (Glu³³¹, Arg³⁷², Gly⁴⁹⁹, His⁵⁰², Leu⁵⁰³ et Met⁵⁰⁶) alors que AgER β _X2 et HnER β _X4 ne conservent respectivement qu'un seul (Glu³³¹ et deux (Glu³³⁰, Arg³⁷¹) de ces acides aminés. Le LBD de AgER β _X2 est très réduit et ne contient que deux hélices α alors que AgER β _X1 contient la totalité des 12 hélices α (**Figure 45**). L'absence de l'hélice 12, contenant la deuxième fonction d'activation (AF-2), au niveau du LBD de AgER β _X2 comme c'est le cas de HnER β _X4, ne favorise pas la formation d'homodimères fonctionnels mais plutôt des hétérodimères avec AgER β _X1 (Leung et al., 2006).

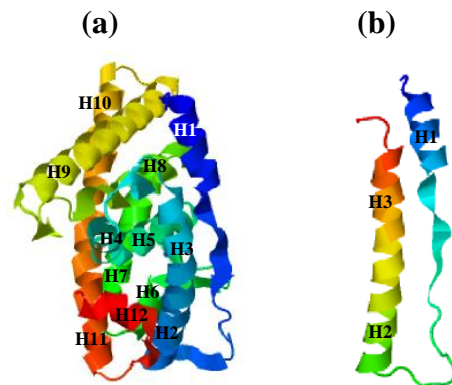


Figure 45 : Structure en hélice α (H) des LBD des récepteurs œstrogéniques beta de *A. gigas* obtenue avec I-TASSER (<https://zhanglab.ccmb.med.umich.edu/I-TASSER/>). Le LBD de AgER β _X1 (a) possède 12 hélices α (H1 à H12) alors que le LBD de AgER β _X2 (b) n'a que trois hélices α (H1 à H3).

4.2.3 La Prolactine et son récepteur

La prolactine exprimée par l'adénohypophyse de *A. gigas* (AgPRL) a été identifiée grâce à un transcrit de 633 paires de bases codant pour 211 acides aminés (**Figure 46a**).

Le précurseur protéique de AgPRL possède un peptide signal de 24 acides aminés (Met¹ - Ser²⁴), quatre hélices α majeures représentant environ 57% de l'ensemble de la protéine : hélice 1 (Ile²⁷ - His⁵⁷), hélice 2 (Glu⁹¹ - Pro¹¹⁷), hélice 3 (Asn¹²⁴ - Ile¹⁵²) et hélice 4 (Lys¹⁷¹ - Val²⁰³) et deux courtes hélices α entre l'hélice 1 et l'hélice 2 : hélice 1' (Gly⁶² - Met⁶⁴) et hélice 1'' (Asp⁸⁴ - Arg⁸⁸) (**Figure 46a**). La structure tertiaire de AgPRL (**Figure 46b**) réalisée sous I-TASSER (<https://zhanglab.ccmb.med.umich.edu/I-TASSER/>) montre que les quatre hélices majeures forment deux paires antiparallèles, hélice 1 / hélice 4 et hélice 2 / hélice 3. La AgPRL mature contient quatre cystéines dont une entre l'hélice 1' et l'hélice 1'' (Cys⁷²), deux dans l'hélice 4 (Cys¹⁸⁴ et Cys²⁰¹) et une en fin de séquence (Cys²¹¹). HnPRL et AgPRL partagent 53,3% d'identité en acides aminés (**Figure 46c**).

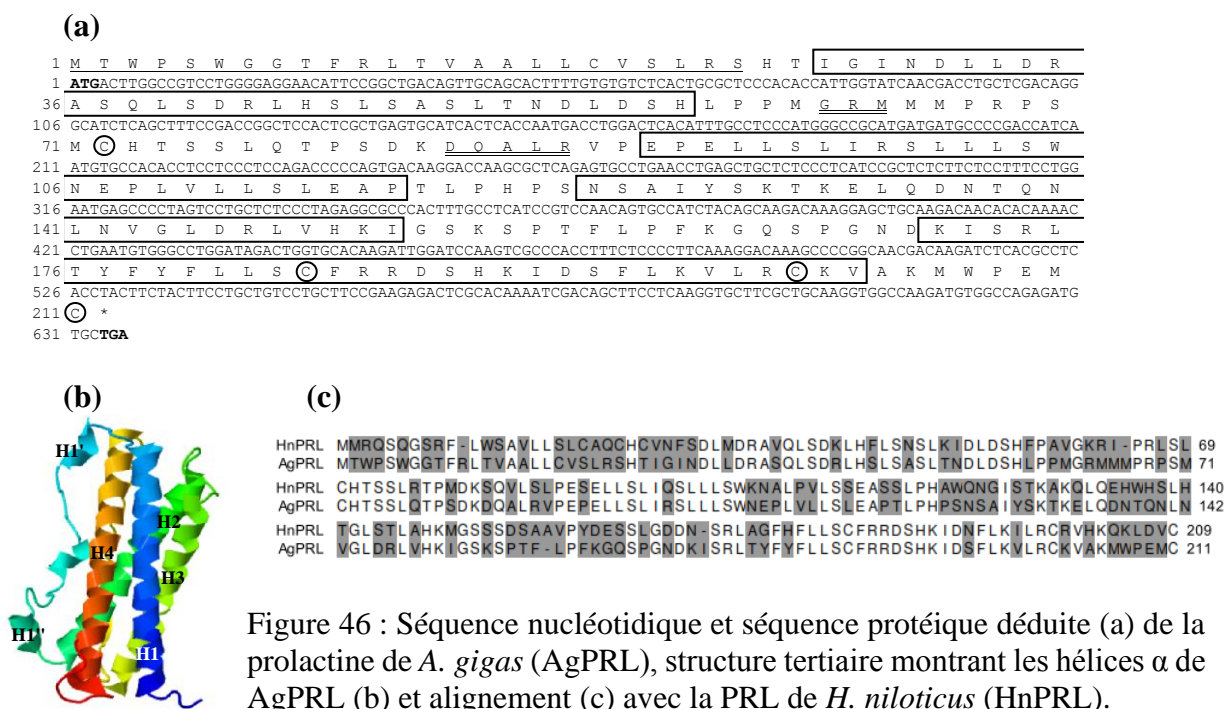


Figure 46 : Séquence nucléotidique et séquence protéique déduite (a) de la prolactine de *A. gigas* (AgPRL), structure tertiaire montrant les hélices α de AgPRL (b) et alignement (c) avec la PRL de *H. niloticus* (HnPRL).

Dans la figure (a), le codon d'initiation et le codon stop sont en gras, le peptide signal est en souligné simple, les quatre hélices majeures (H1, H2, H3 et H4) disposées de façon successive sont dans des encadrés et les courtes hélices 1' (GRM) et 1'' (DQALR) sont en souligné double. Dans la figure (c), les domaines peu conservés sont en gris.

Un transcrit de 423 paires de bases codant pour une protéine partielle de récepteur à la prolactine de 142 acides aminés a été identifié dans l'ovaire de *A. gigas* (**Figure 47a**). La PRLR partielle de *A. gigas* (AgPRLR) dépourvue du domaine transmembranaire (TM) et du domaine intracellulaire (IC) possède un peptide signal de 23 acides aminés et une séquence partielle du domaine extracellulaire (EC) de 118 acides aminés. Chez *H. niloticus* le transcrit complet de la PRLR de 1767 paires de bases codant pour une protéine de 589 acides aminés a été identifié et possède un peptide signal de 25 acides aminés suivi du domaine extracellulaire (EC) de 207 acides aminés, du domaine transmembranaire (TM) de 23 acides aminés et du domaine intracellulaire (IC) de 334 acides aminés. La séquence partielle AgPRLR a été alignée avec l'extrémité N-terminale de HnPRLR (**Figure 47b**) et leur identité en acides aminés est de 90,24%.

(a)

```

1 M W K H P G A L L I L S L L A F V V L C C S C L S P P G K P R L T S C
1 ATGTGGAAACACCCCTGGAGCCCTACTGATACTCTCGTGTGCTTGCCTTTGTGGTCTGTGCTGTTCTTGTCTGTCTCCCCAGGGAAGCCTCGGCTCACCAGCTGC
36 R S P E K E T F T C W W E P G S D G G L P T N F S L F Y R K E N S D T
106 CGATCTCCTGAGAAAGAGACCTTACCTGTTGGTGGGAGCCGGGCTCAGATGGTGGCCTGCCACCAACTTCTCTCTTCTACC GCAAAGAGAATTCTGATACT
71 V F E C P D Y H T A G K N S C F F S K N D T S I W V N Y N I T V V A T
211 GTCCTTGGAGTGTCCAGACTATCACACTGCAGAAAGAACTCCTGCTTTTTTCAGCAAGAATGACACTTCAATTGGGTTAATTATAACATCACTGTGGTGGCAACC
106 N A L G S N F S D P V D V D V V Y I G E L L L S C S P A H S A A I F N
316 AATGCCCTTGGGAGCAACTTCTCAGACCCCTGGATGTGGATGTTGTGTACATGGTGAGCTTCTGCTCAGCTGCTCTCTGCTCATTCTGCAGCAATATTAAT
141 H
421 CAC

```

(b)

```

HnPRLR MMWKDSGA L I L S L L V S V V L D S A C L S P P G K P R L T S C R S P E K E T F T C W W E P G L D G G L P T N Y S L F Y R K E N S D S V 72
AgPRLR M-WKHPGA L I L S L L A F V V L C C S C L S P P G K P R L T S C R S P E K E T F T C W W E P G S D G G L P T N F S L F Y R K E N S D T V 71
HnPRLR Y E C P D Y H T A G K N S C F F S K N D T S I W V N Y N I T V V A T N A L G S N F S D P V D V D V V Y I V Q - - - P H T P E N L T V V L E G E E 141
AgPRLR F E C P D Y H T A G K N S C F F S K N D T S I W V N Y N I T V V A T N A L G S N F S D P V D V D V V Y I G E L L L S C S P A H S A A I F N - - H 141

```

Figure 47 : Séquence nucléotidique partielle et séquence protéique déduite (a) du récepteur à la prolactine de *A. gigas* (AgPRLR) avec le codon d'initiation en gras, le peptide signal souligné suivi de la séquence partielle du domaine extracellulaire et alignement (b) avec l'extrémité N-terminale de la PRLR de *H. niloticus* (HnPRLR). Les domaines peu conservés sont en gris.

4.2.4 Les gonadotropines et leurs récepteurs

La comparaison des gonadotropines de *A. gigas* déjà décrites par Faria et al., (2013) et Sevilhano et al., (2017) avec celles de *H. niloticus* identifiées au cours de cette thèse montre que ces deux espèces ont une GP α (**Figure 48a**) et une LH β (**Figure 48b**) identiques et leurs FSH β (**Figure 48c**) partagent 85,6% d'identité en acides aminés. Les analyses *in silico* du transcriptome d'ovaire de *A. gigas* n'ont pas permis d'identifier les récepteurs de la FSH et de la LH.

(a)

```
AgGP $\alpha$  MSYTGKLTIASVLALLAILHI VDSNFNVGCEECKLKENKYFSRLGAPIFQCMGCCFSRAYPTPLRSKKTMLVPKNI TSEATCCVAKEVKR 90
HnGP $\alpha$  MSYTGKLTIASVLALLAILHI VDSNFNVGCEECKLKENKYFSRLGAPIFQCMGCCFSRAYPTPLRSKKTMLVPKNI TSEATCCVAKEVKR 90
AgGP $\alpha$  LITLNNVRLNHTDCHCNTCYHHKS 115
HnGP $\alpha$  LITLNNVRLNHTDCHCNTCYHHKS 115
```

(b)

```
HnLH $\beta$  MSPVPACTLLTFLSLCHLLAPT WAVYLQPCPEINQTSI SVEKEGCPKCLVFQTTTCSGHCITKEPVYKSPLSMLYQHVCTYRGRVYETIRL 90
AgLH $\beta$  MSPVPACTLLTFLSLCHLLAPT WAVYLQPCPEINQTSI SVEKEGCPKCLVFQTTTCSGHCITKEPVYKSPLSMLYQHVCTYRGRVYETIRL 90
HnLH $\beta$  PDCPRGVDPHVTYPVALSCSCGLCTMDTSDCTIESLQPDFCINQRTLLFDY 141
AgLH $\beta$  PDCPRGVDPHVTYPVALSCSCGLCTMDTSDCTIESLQPDFCINQRTLLFDY 141
```

(c)

```
HnFSH $\beta$  MMACVLLL VVTM VLVGAGPYCDL TNVSI SLENEECGKCI TITTTCTGWCFTQDPVYKSSLAPYIQHTCNFKEVTHE SAVLP GCEPEGV 90
AgFSH $\beta$  MTCMLLL VVTMAWPLVGAGPHCDLNNITIPLENEECKCI TITTTCTGWCFTQDPVYKSSLAPYIQHTCNFKEVAYESAFLPDCEPEGV 89
HnFSH $\beta$  DPHFSYPVALSCECSRNTD TDCGALNE D VSGCLGL 127
AgFSH $\beta$  DPHFTYPVALSCECSRNTD TDCGALSEE VSGCGH 126
```

Figure 48 : Alignement des séquences protéiques déduites des sous unités alpha de l'hormone glycoprotéique (GP α) (a), sous unités bêta de la LH (b) et sous unité bêta de la FSH (c) de *H. niloticus* (HnGP α , HnFSH β et HnLH β) et *A. gigas* (AgGP α , AgFSH β et AgLH β), les domaines peu conservés sont en gris.

La **Figure 49** présente la structure secondaire avec les différents domaines et les identités en acides aminés des séquences complètes identifiées à la fois chez *H. niloticus* et *A. gigas*.

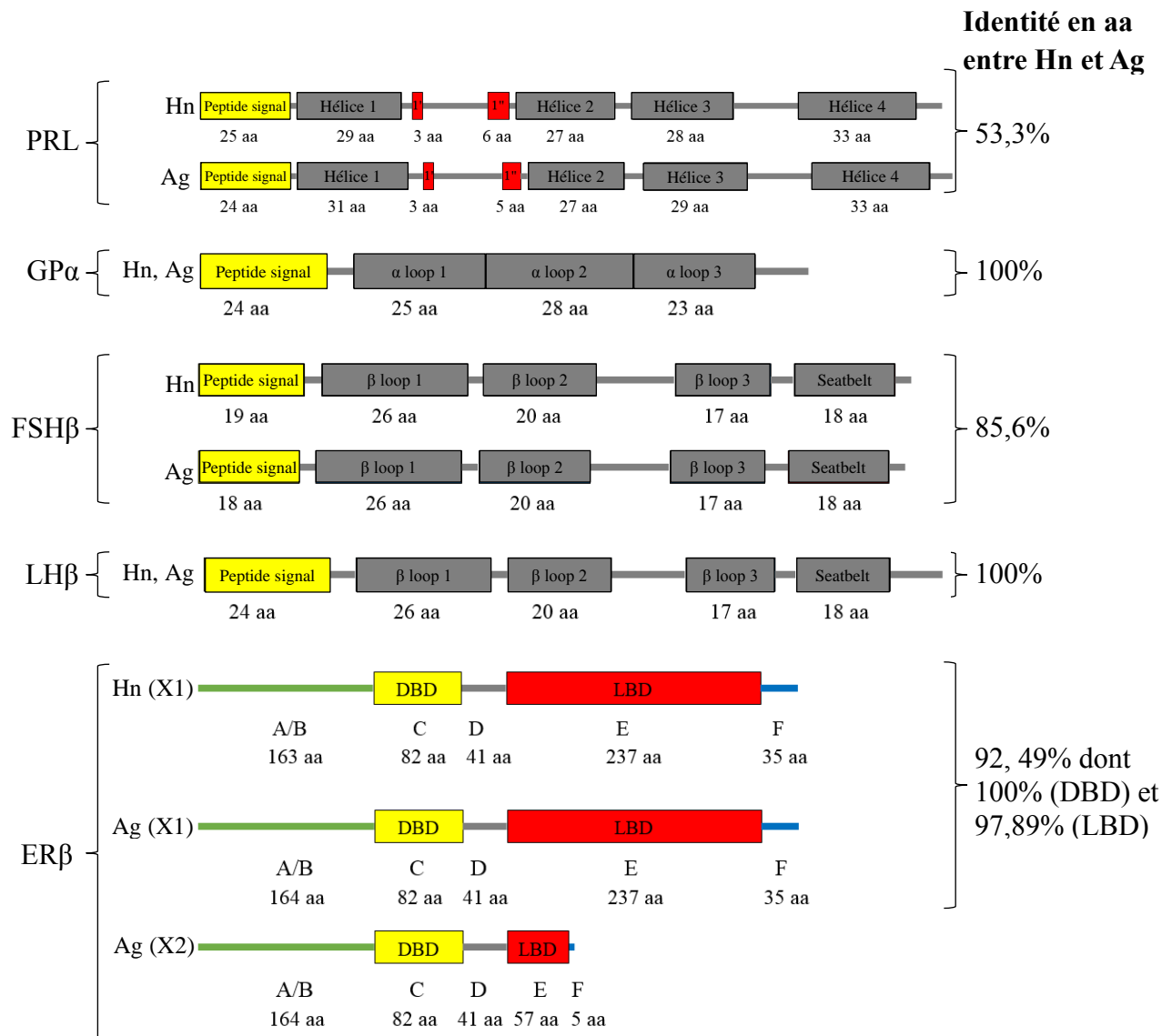


Figure 49 : Comparaison des structures secondaires avec les différents domaines et les identités en acides aminés (aa) de la prolactine (PRL), de la sous unité alpha de l'hormone glycoprotéique (GPα), de la sous unité bêta de la FSHβ, de la LHβ et des récepteurs œstrogéniques bêta (ERβ) de *H. niloticus* (Hn) et de *A. gigas* (Ag). Les ERβ ont un domaine N-terminal A/B qui contient la première fonction d'activation AF-1, un domaine de liaison à l'ADN (DBD) ou domaine C, un domaine D de liaison aux corépresseurs, un domaine de liaison au ligand (LBD) ou domaine E et un domaine F en position C-terminale.

4.3 Phylogénie des acteurs impliqués dans la vitellogenèse et sa régulation chez *H. niloticus* et *A. gigas*

Les arbres phylogénétiques ont été construits pour les séquences décrites de *H. niloticus* et *A. gigas* avec d'autres espèces de poissons. Les études réalisées par Faria et al., (2013) et Sevilhano et al., (2017) présentent des arbres phylogénétiques des sous unités α et β de la LH

de *A. gigas* qui sont identiques à celles de *H. niloticus*. Cependant, aucune autre espèce d'Ostéoglossiformes n'a été prise en compte. De nouveaux arbres phylogénétiques, intégrant l'Ostéoglossiformes *S. formosus* pour lequel les séquences des sous unités α et β de la LH et de la FSH sont disponibles sur le site de NCBI, ont donc été réalisés.

4.3.1 Sous unité commune α de la LH et la FSH (GP α)

L'arbre phylogénétique des séquences de GP α construit selon la méthode de Neighbor-Joining est présenté dans la **Figure 50**. *H. niloticus* et *A. gigas* sont liés à *S. formosus* par un nœud fort (bootstrap = 96%). Ces Ostéoglossiformes apparaissent comme un groupe basal pour les autres espèces de téléostéens analysés.

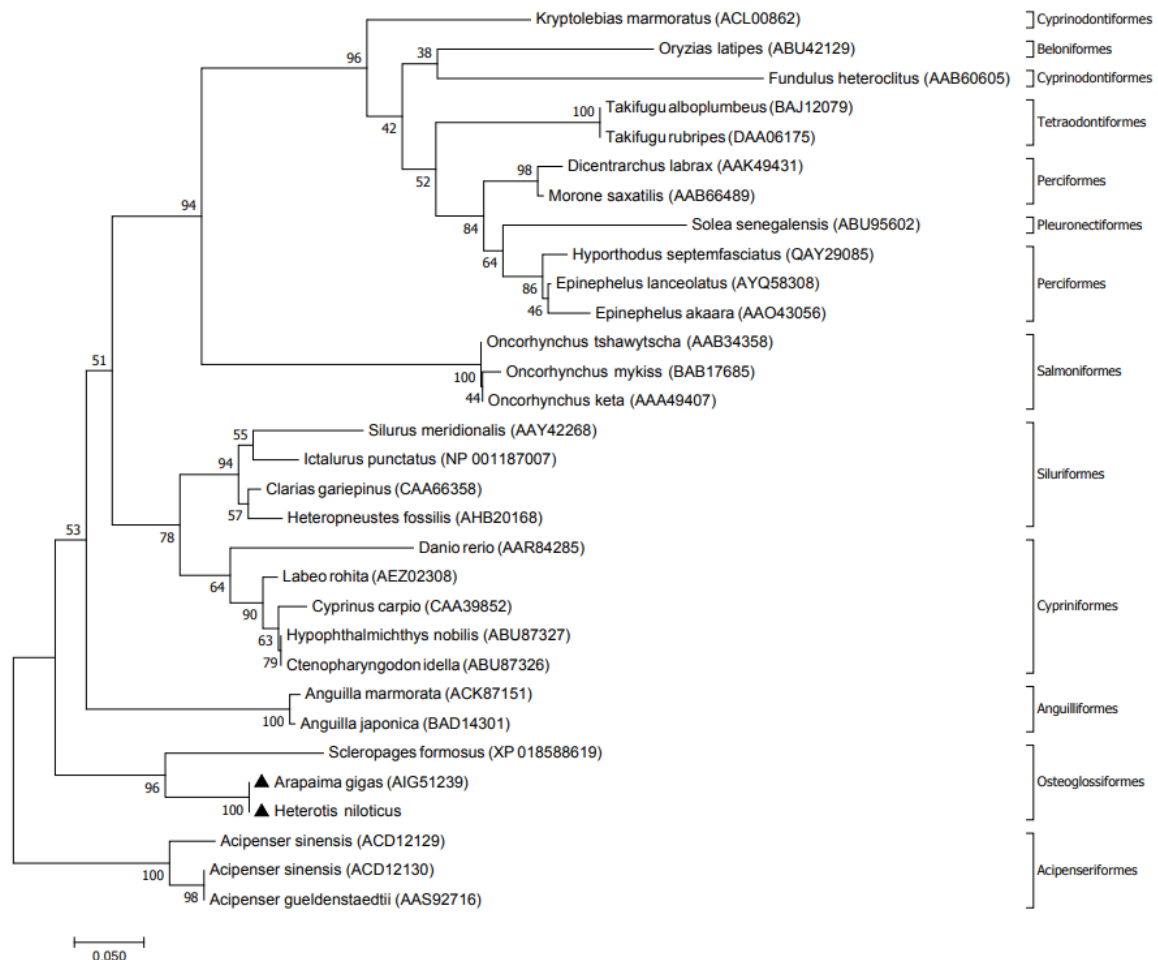


Figure 50 : Arbre phylogénétique de la sous unité alpha commune à la LH et la FSH (GP α) de 11 ordres et 30 espèces de poissons, basé sur les identités en acides aminés. L'arbre a été construit avec Mega 7 selon la méthode de Neighbor-Joining basée sur le modèle JTT avec deux espèces non téléostéens de l'ordre des Acipenseriformes. Les chiffres indiquent la robustesse du bootstrap avec 1 000 répliques. Les positions des GP α de *H. niloticus* et *A. gigas* sont identifiées par des triangles.

4.3.2 Sous unité β de la LH

L'arbre phylogénétique des séquences de LH β construit selon la méthode de Neighbor-Joining est présenté dans la **Figure 51**. *H. niloticus* et *A. gigas* sont liés à *S. formosus* par un nœud fort (bootstrap = 86%).

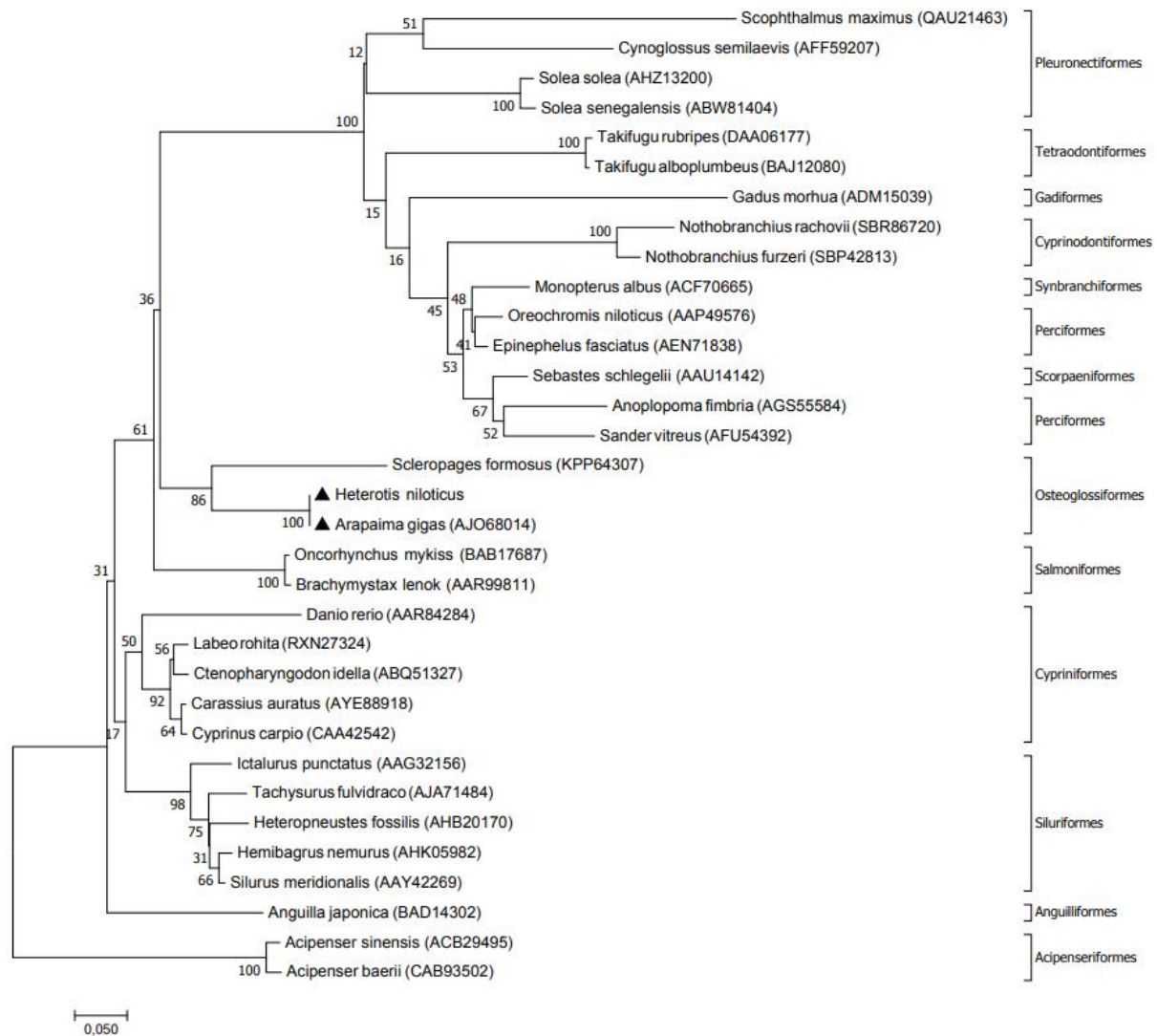


Figure 51 : Arbre phylogénétique de la sous unité bêta de la LH de 13 ordres et 33 espèces de poissons, basé sur les identités en acides aminés. L'arbre a été construit avec Mega 7 selon la méthode de Neighbor-Joining basée sur le modèle JTT avec deux espèces non téléostéens de l'ordre des Acipenseriformes. Les chiffres indiquent la robustesse du bootstrap avec 1 000 répliques. Les positions des FSH β de *H. niloticus* et *A. gigas* sont identifiées par des triangles.

4.3.3 Sous unité β de la FSH

L'arbre phylogénétique des séquences de FSH β construit selon la méthode de Neighbor-Joining est présenté dans la **Figure 52**. *H. niloticus* et *A. gigas* forment un groupe fortement soutenu (bootstrap = 97%) liés à *S. formosus* par un nœud fort (bootstrap = 99%). Ces Ostéoglossiformes apparaissent comme un groupe basal pour les autres espèces de téléostéens analysés.

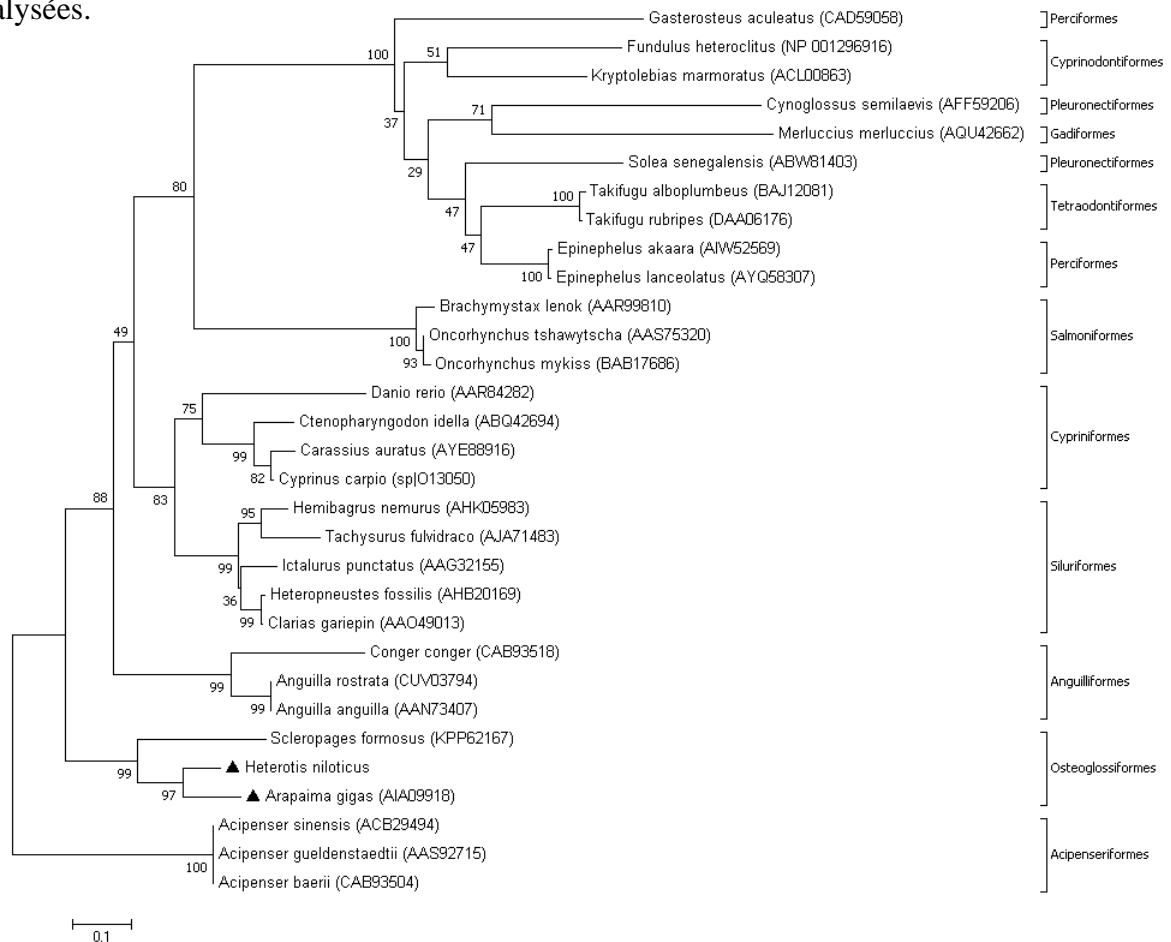


Figure 52 : Arbre phylogénétique de la sous unité bêta de la FSH de 11 ordres et 31 espèces de poissons, basé sur les identités en acides aminés. L'arbre a été construit avec Mega 7 selon la méthode de Neighbor-Joining basée sur le modèle JTT avec trois espèces non téléostéens de l'ordre des Acipenseriformes. Les chiffres indiquent la robustesse du bootstrap avec 1 000 répliques. Les positions des FSH β de *H. niloticus* et *A. gigas* sont identifiées par des triangles.

4.3.4 Récepteur de la FSH

L'arbre phylogénétique des séquences de FSHR construit selon la méthode de Neighbor-Joining est présenté dans la **Figure 53**. *H. niloticus* et une autre espèce d'Ostéoglossiformes (*Paramormyrops kingsleyi*) forment un groupe fortement soutenu (bootstrap = 97%). Cet arbre ne prend pas en compte le FSHR de *A. gigas* qui n'a pas encore été décrit.

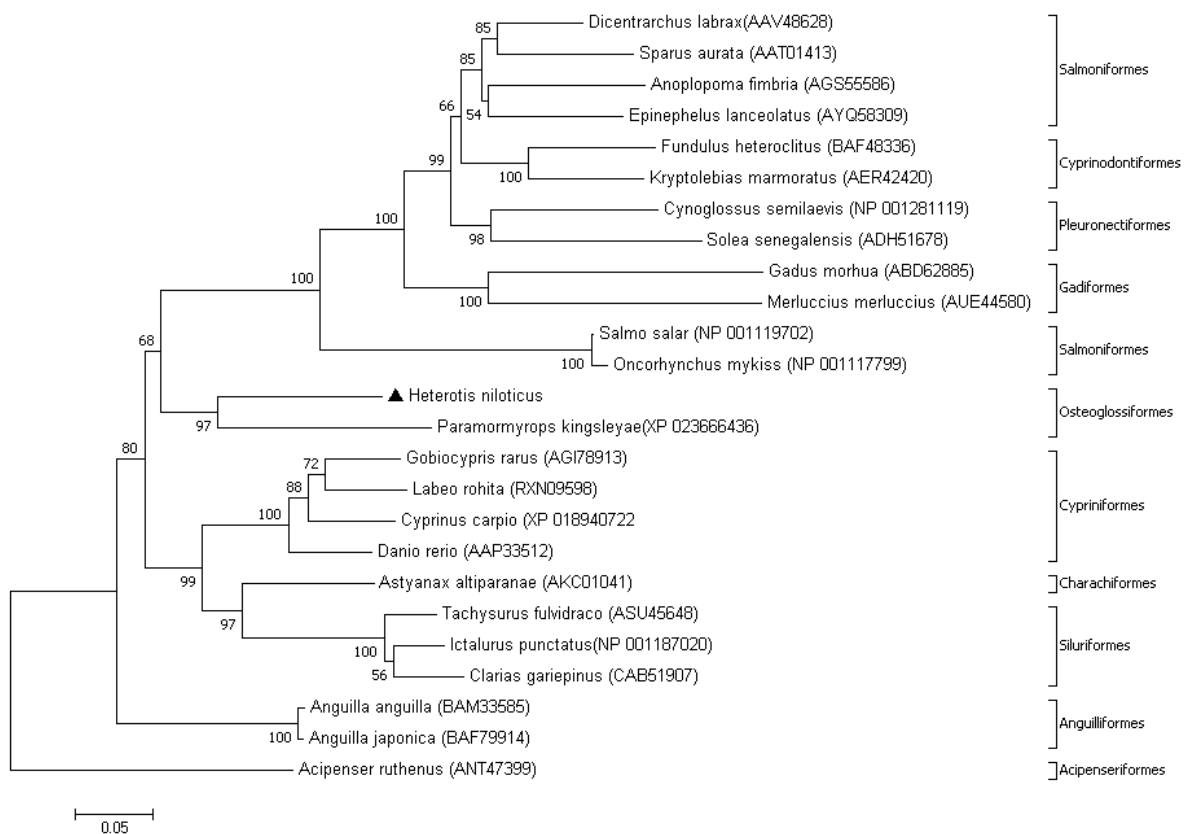


Figure 53 : Arbre phylogénétique du récepteur de la FSH (FSHR) de 10 ordres et 25 espèces de poissons basé sur les identités en acides aminés. L'arbre a été construit avec Mega 7 selon la méthode de Neighbor-Joining basée sur le modèle JTT avec trois espèces non téléostéens de l'ordre des Acipenseriformes. Les chiffres indiquent la robustesse du bootstrap avec 1 000 répliques. La position de FSHR de *H. niloticus* est identifiée par un triangle.

4.3.5 Récepteur de la LH

L'arbre phylogénétique des séquences de LHR construit selon la méthode de Neighbor-Joining est présenté dans la **Figure 54**. *H. niloticus* et *S. formosus* forment un groupe fortement soutenu (bootstrap = 100%) au sein des Ostéoglossiformes. Cet arbre ne prend pas en compte le LHR de *A. gigas* qui n'a pas encore été décrit.

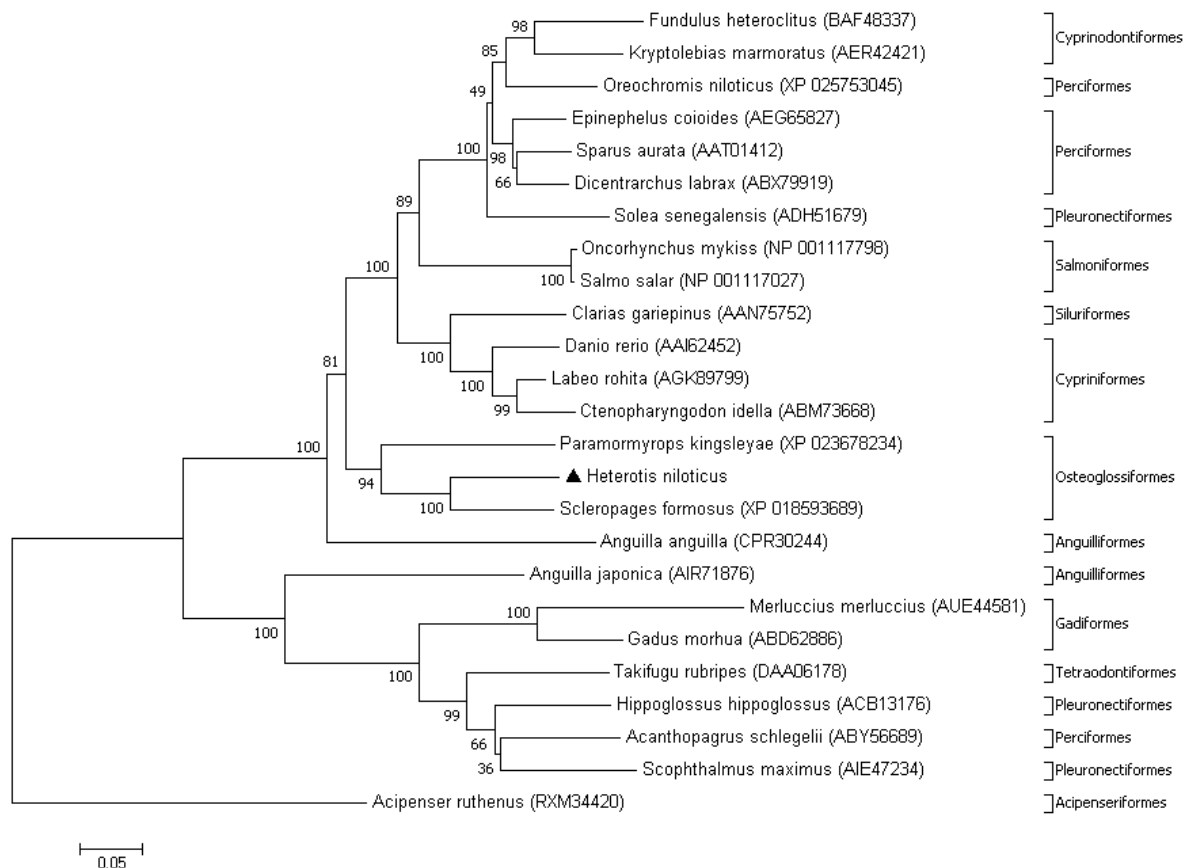


Figure 54 : Arbre phylogénétique du récepteur de la LH (LHR) de 11 ordres et 25 espèces de poissons basé sur les identités en acides aminés. L'arbre a été construit avec Mega 7 selon la méthode de Neighbor-Joining basée sur le modèle JTT avec une espèce non téléostéen de l'ordre des Acipenseriformes. Les chiffres indiquent la robustesse du bootstrap avec 1 000 répliques. La position de LHR de *H. niloticus* est identifiée par un triangle.

4.3.6 Prolactine

L'arbre phylogénétique des séquences de PRL construit selon la méthode de Neighbor-Joining est présenté dans la **Figure 55**. *A. gigas* et deux espèces d'Anguilliformes forment un groupe fortement soutenu (bootstrap = 70%). *H. niloticus* et *S. formosus* forment un autre groupe fortement soutenu (bootstrap = 100%) qui apparait comme un groupe basal pour les autres espèces de téléostéens analysés.

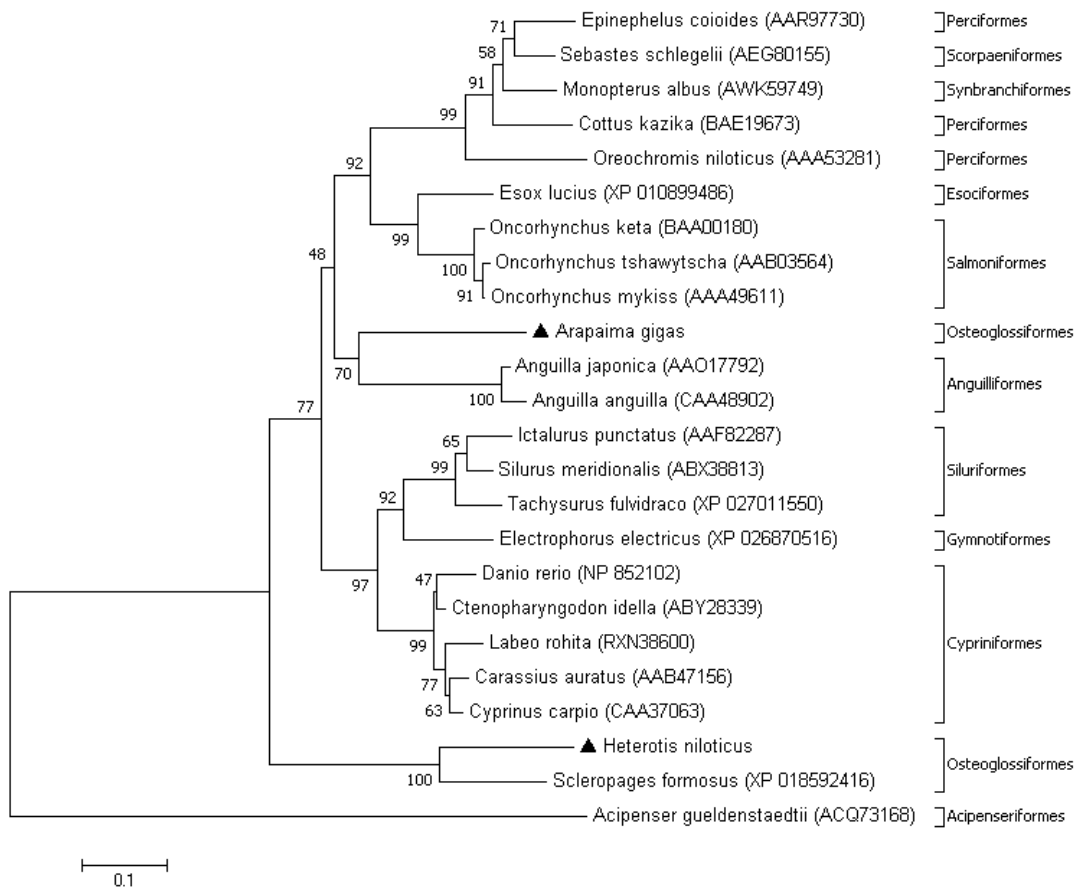


Figure 55 : Arbre phylogénétique de prolactine (PRL) de 12 ordres de poissons et 25 espèces basé sur les identités en acides aminés. L'arbre a été construit selon la méthode de Neighbor-Joining basée sur le modèle JTT avec trois espèces non téléostéens de l'ordre des Acipenseriformes avec Mega 7. Les chiffres indiquent la robustesse du bootstrap avec 1 000 répliques. Les positions des PRL de *H. niloticus* et *A. gigas* sont identifiées par des triangles.

4.3.7 Récepteur de la PRL

L'arbre phylogénétique des séquences de PRLR construit selon la méthode de Neighbor-Joining est présenté dans la **Figure 56**. *H. niloticus* et *S. formosus* forment un groupe fortement soutenu (bootstrap = 100%). Les Ostéoglossiformes sont liés par un nœud fort (bootstrap = 97%) à une espèce d'Anguilliformes (*Anguilla japonica*). Cet arbre ne prend pas en compte le PRLR de *A. gigas* qui n'a pas encore été décrit.

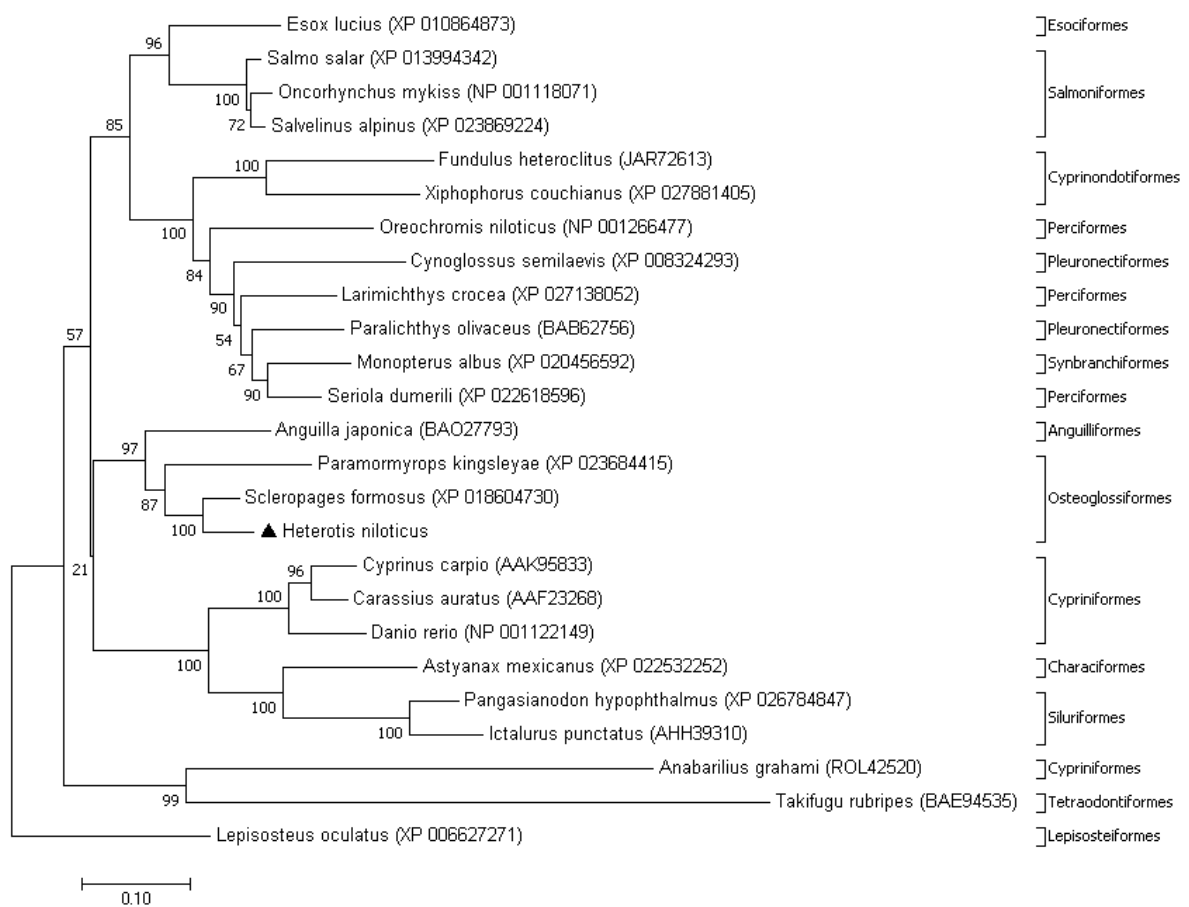


Figure 56 : Arbre phylogénétique de récepteurs de la prolactine (PRLR) de 13 ordres et 25 espèces de poissons basé sur les identités en acides aminés. L'arbre a été construit selon la méthode de Neighbor-Joining basée sur le modèle JTT avec une espèce non téléostéen de l'ordre des Lepisosteiformes avec Mega 7. Les chiffres indiquent la robustesse du bootstrap avec 1 000 répliques. La position du PRLR de *H. niloticus* est signalée par un triangle.

4.3.8 Récepteur du 17 β -estradiol

L'arbre phylogénétique des séquences des ERs construit selon la méthode de Neighbor-Joining est présenté dans la **Figure 57**. Les ER β de *H. niloticus* et *A. gigas* forment un groupe fortement soutenu (bootstrap = 76%) et sont liés à deux autres espèces d'Ostéoglossiformes (*S. formosus* et *O. bicirrhosum*) par un nœud fort (bootstrap = 76%). HnER β a une longueur de branche plus importante que AgER β . Le groupe auquel appartiennent les ER β de *H. niloticus* et *A. gigas* est lié au groupe auquel appartient HnER γ par un nœud moyen (bootstrap = 47%).

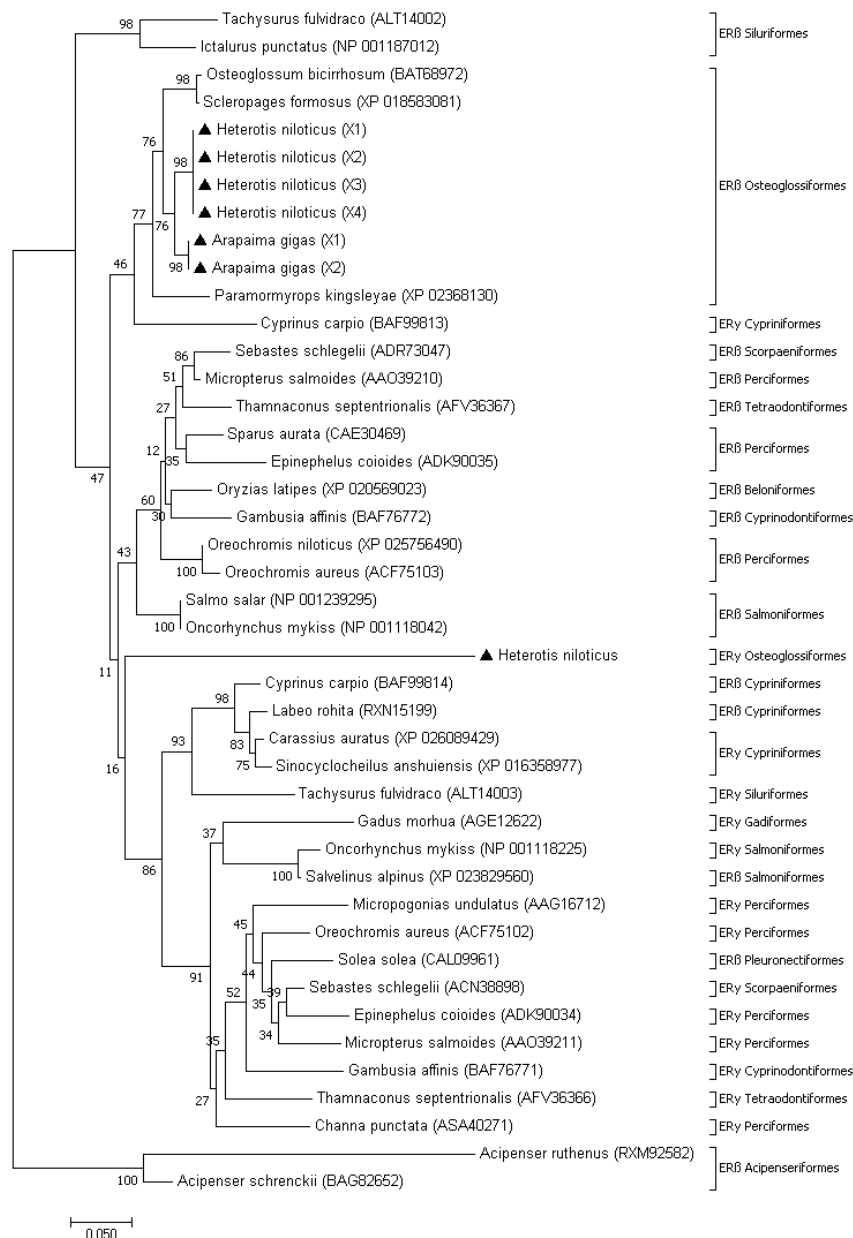


Figure 57 : Arbre phylogénétique de récepteurs œstrogéniques beta (ER β) et gamma (ER γ) de 13 ordres et 31 espèces de poissons basé sur les identités en acides aminés. L'arbre a été construit selon la méthode de Neighbor-Joining basée sur le modèle JTT avec deux espèces non téléostéens de l'ordre des Acipenseriformes avec Mega 7. Les chiffres indiquent la robustesse du bootstrap avec 1 000 répliques. Les positions des ER de *H. niloticus* et *A. gigas* sont identifiées par des triangles.

4.3.9 Vitellogénine

L'arbre phylogénétique des séquences des récepteurs de la Vtg construit selon la méthode de Neighbor-Joining est présenté dans la **Figure 58**. VtgB1 et VtgC de *H. niloticus* forment un sous-groupe fortement soutenu (bootstrap = 100%) au sein des trois Vtg hépatiques identifiées chez cette espèce. *H. niloticus* est lié par un nœud fort (bootstrap = 100%) à deux autres espèces d'Ostéoglossiformes (*S. formosus* et *O. bicirrhosum*). Cet arbre ne prend pas en compte les Vtg de *A. gigas* qui n'ont pas encore été décrites.

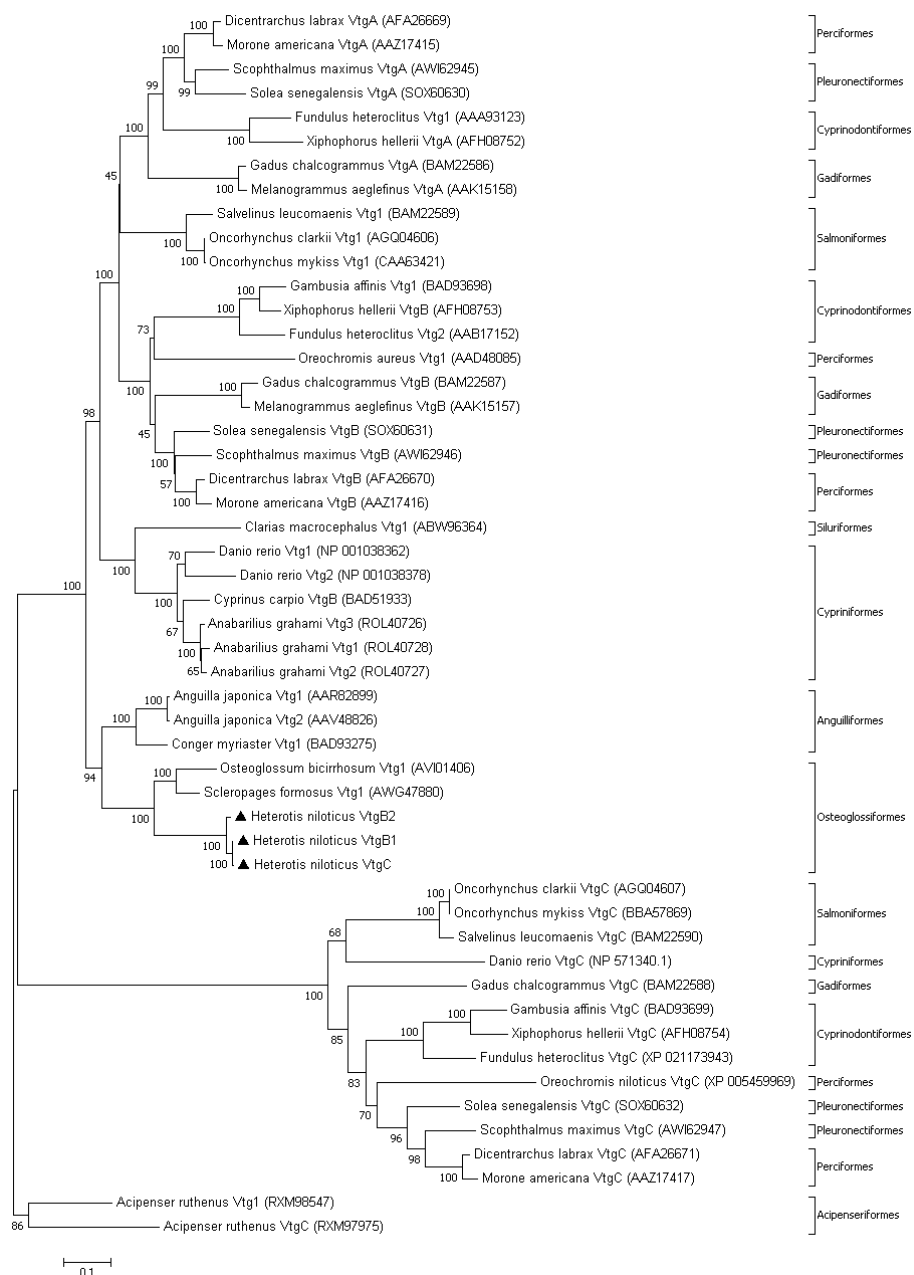


Figure 58 : Arbre phylogénétique de la vitellogénine (Vtg) de 10 ordres et 24 espèces de poissons basé sur les identités en acides aminés. L'arbre a été construit selon la méthode de Neighbor-Joining basée sur le modèle JTT avec deux espèces non téléostéens de l'ordre des Acipenseriformes avec Mega 7. Les chiffres indiquent la robustesse du bootstrap avec 1 000 répliques. Les positions des Vtg de *H. niloticus* sont signalées par des triangles.

4.3.10 Récepteur de la Vtg

L'arbre phylogénétique des séquences des récepteurs de la Vtg construit selon la méthode de Neighbor-Joining est présenté dans la **Figure 59**. *H. niloticus* et deux autres espèces d'Ostéoglossiformes (*S. formosus* et *O. bicirrhosum*) forment un groupe fortement soutenu (bootstrap = 99%). Cet arbre ne prend pas en compte le VLDLR de *A. gigas* qui n'a pas encore été décrit.

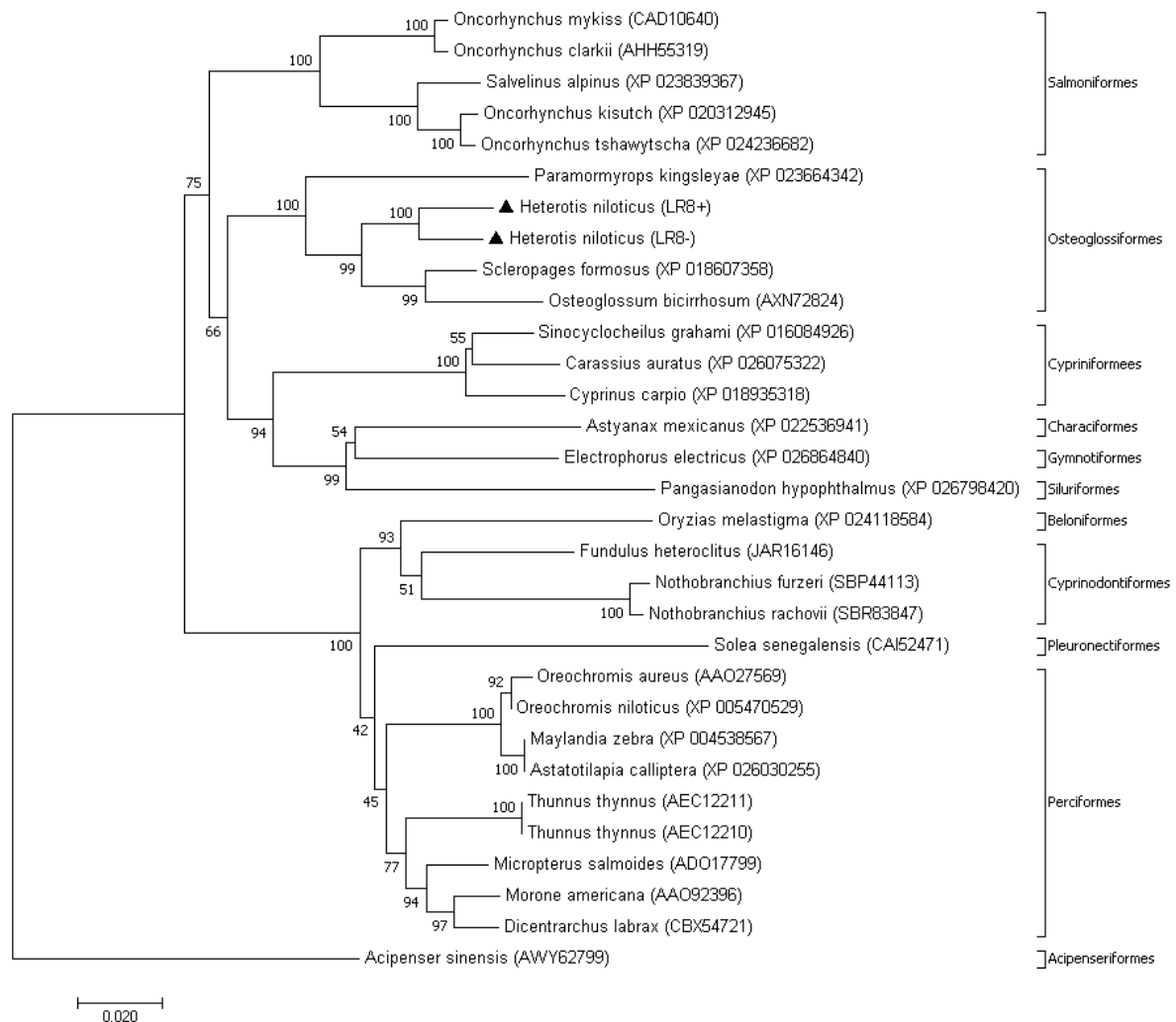


Figure 59 : Arbre phylogénétique de récepteurs de la vitellogénine (VtgR) ou lipovitelline de très basse densité (VLDLR) de 11 ordres et 19 espèces de poissons basé sur les identités en acides aminés. L'arbre a été construit selon la méthode de Neighbor-Joining basée sur le modèle JTT avec une espèce non téléostéenne de l'ordre des Acipenseriformes avec Mega 7. Les chiffres indiquent la robustesse du bootstrap avec 1 000 répliques. Les positions des LR8+ et LR8- de *H. niloticus* sont identifiées par des triangles.

4.4 Discussion

Cette étude est la première à analyser la proximité phylogénétique de *H. niloticus* et *A. gigas* sur la base de données moléculaires impliqués dans la vitellogenèse et sa régulation. Des études antérieures (Betancur-R et al., 2017 ; Guo-Qing & Wilson, 1996 ; Hilton, 2001, 2003 ; Lavoué, 2016 ; Lavoué & Sullivan, 2004 ; Nelson, 1968, 1969) se sont appuyées sur d'autres types de caractères et des marqueurs moléculaires tels que les gènes mitochondriaux.

Les transcriptomes créés à partir de l'hypophyse, du foie et de l'ovaire n'ont pas permis d'identifier à la fois chez les deux espèces étudiées tous les acteurs moléculaires de la vitellogenèse et de sa régulation, limitant ainsi les comparaisons aux récepteurs œstrogéniques bêta (ER β), à la prolactine (PRL) et aux sous unités alpha et bêta de la FSH et de la LH. Il est donc nécessaire de réaliser des études complémentaires pour identifier le reste des marqueurs moléculaires. Pour *H. niloticus*, il s'agit de ER α et la séquence complète de la Vtg ovarienne. Quant à *A. gigas*, les informations à rechercher portent sur les récepteurs des hormones hypophysaires (PLRR, FSHR et LHR), ER α , ER γ , les Vtg et leur récepteur. De nouveaux transcriptomes de foie et d'ovaire devront être réalisés chez *A. gigas* afin de disposer de données plus complètes. Ces tissus sont connus pour générer des échantillons d'ARN de qualité médiocre. Une attention particulière devra être appliquée aux prochaines extractions. Par ailleurs, la densité d'échantillons par ligne de séquençage devra être réduite afin d'obtenir une profondeur de séquençage aussi importante que possible.

Il a été démontré que la sous unité alpha commune à la FSH et à la LH (GP α) et la sous unité spécifique beta de la LH (LH β) de *H. niloticus* et *A. gigas* sont identiques et leurs FSH β partagent 85,6% d'identité en acides aminés. Ces résultats viennent confirmer la proximité phylogénétique de ces deux espèces d'Ostéoglossiformes qui se distinguent de *S. formosus*. Les gonadotropines étant utilisées en aquaculture comme inducteurs pour améliorer la reproduction de certaines espèces de poissons (Mehdi & Ehsan, 2013 ; Mylonas et al., 2010), cela suggère que la LH de l'une ou l'autre espèce est probablement capable d'induire une réponse fonctionnelle chez les 2 espèces étudiées.

On observe également que les ER β de *H. niloticus* et *A. gigas* partagent une forte identité en acides aminés (> 92%) et ont une DBD entièrement conservée (100% d'identité en acide aminés).

Contrairement aux marqueurs moléculaires précédents, la PRL de *H. niloticus* et *A. gigas* partagent une identité en acides aminés moyenne (53,3%). Cette hormone hypophysaire qui participe à plusieurs processus physiologiques incluant la croissance, la reproduction et l'osmorégulation (Bu et al., 2015 ; Freeman et al., 2000 ; Manzon, 2002 ; Whittington & Wilson, 2013) peut être considérée comme l'un des biomarqueurs moléculaires pour différencier les deux espèces sœurs.

Sur la base des gonadotropines et des ER β , *H. niloticus* et *A. gigas* affichent une forte proximité phylogénétique. Avec la PRL, *A. gigas* est plus proche phylogéniquement des Anguilliformes que de *H. niloticus* qui forme un groupe soutenu avec une autre espèce d'Ostéoglossiformes, *S. formosus*.

5. Conclusion

De nouvelles données moléculaires sur la vitellogenèse et sa régulation ont été obtenues pour *A. gigas* (les sous unités α et β de la FSH et la LH étant déjà décrites) mais demeurent non exhaustives. Il s'agit de la PRL, d'un transcrit partiel de PRLR et deux ER β . Chez l'Ostéoglossiformes africain, *H. niloticus*, ces données sont décrites pour la première fois. Elles portent sur les hormones hypophysaires (PRL, FSH et LH) et leurs récepteurs ovariens (PRLR, FSHR et LHR), les récepteurs à l'estradiol α et γ , les vitellogénines de type B et C et leurs récepteurs. Il a été possible de définir la Vtg comme biomarqueur de sexage de *H. niloticus* à partir d'analyse en spectrométrie de masse d'extraits protéiques de sang et de mucus.

Ces résultats ont également permis de réaffirmer la proximité phylogénétique de ces deux espèces sœurs d'Ostéoglossiformes, mais également d'identifier des traits divergents marqués par leur PRL notamment.

Ces travaux peuvent être considérés comme une étape indispensable pour permettre une caractérisation fonctionnelle des molécules identifiées et pour une meilleure compréhension des caractéristiques partagées ou différenciées entre *H. niloticus* et *A. gigas* en vue de maîtriser leur reproduction et leur élevage.

Cinquième partie

**Sexage des individus matures de *H.*
niloticus et suivi télémétrique du
comportement reproducteur de *A. gigas***

1. Introduction

H. niloticus et *A. gigas* sont deux espèces d'Ostéoglossiformes qui ont une importance économique et socioculturelle dans leurs zones de distribution respectives (Adite et al., 2006 ; Ezekiel & Abowei, 2013 ; Odo et al., 2009 ; Santos et al., 2014 ; Schaefer et al., 2012). Cependant, depuis quelques années, leurs pêcheries sont surexploitées ; ce qui entraîne un appauvrissement des populations sauvages (Bauchot et al., 1993 ; Castello et al., 2015 ; Oladosu et al., 2007). Pour faire face au déclin de ces espèces dans le milieu naturel, leur élevage en étang de pisciculture a été initié au cours des dernières décennies et l'on a même tenté des réintroduction dans leur habitat traditionnel (Kimou et al., 2016 ; Nuñez et al., 2011 ; Valladão et al., 2016 ; Yao et al., 2017).

Les difficultés rencontrées sont le faible taux de reproduction en captivité dues aux particularités anatomiques de l'appareil reproducteur et au comportement complexe des deux espèces sœurs (Carreiro et al., 2011 ; Chu-Koo et al., 2009). La reproduction est réalisée de façon spontanée dans des étangs en terre à la suite de la formation de couples. Chez ces espèces dépourvues de dimorphisme sexuel excepté en période de reproduction où une coloration plus importante est observée chez les mâles de *A. gigas* notamment en milieu naturel. La compréhension du comportement reproducteur en captivité nécessite au préalable un sexage des reproducteurs. Chez *H. niloticus*, il n'existe aucune méthode de sexage fiable (Oladosu et al., 2007) alors que pour *A. gigas*, un kit de sexage est disponible et un anticorps anti Vtg a été développé pour sexer par ELISA les individus en vitellogenèse (Chu-Koo et al., 2009 ; Dugué et al., 2008 ; Núñez & Duponchelle, 2009 ; Nuñez et al., 2011). Malgré cet outil de sexage, le faible nombre de couples de reproducteurs obtenus en captivité ne permet pas une production importante et prévisible d'alevins d'*Arapaima*.

Le but de ce travail était de mettre au point une méthode de sexage peu invasive pour *H. niloticus* avant d'envisager une étude du comportement reproducteur. Pour *A. gigas*, qui dispose déjà de méthodes de sexage fiables, il s'agit de mieux comprendre les interactions mâles-femelles au sein de couples en captivité pour améliorer le succès de la reproduction.

2. Démarche expérimentale

La détermination du sexe chez les poissons d'élevage est une étape importante pour constituer les stocks de reproducteurs nécessaires à la production d'alevins (Chu-Koo et al., 2009). Pour mettre au point, une méthode de sexage des individus matures de *H. niloticus*, des techniques peu invasives ont été testées (**Figure 60**). Ces techniques privilégient le prélèvement de sang ou de mucus pour réaliser :

- un test du kit de sexage de *A. gigas* ;
- un test de l'anticorps anti Vtg de *A. gigas* et *O. bicirrhosum* ;
- un test d'anticorps anti Vtg de *H. niloticus* produit dans le cadre de cette thèse ;
- une analyse en spectrométrie de masse pour détecter la présence de Vtg ou ses produits de clivage.

L'une des méthodes a été finalement utilisée pour sexer et constituer deux lots de reproducteurs de *H. niloticus* en vue d'une étude du comportement reproducteur.

Le travail réalisé chez *A. gigas* (**Figure 60**) a consisté à suivre par télémétrie acoustique le comportement reproducteur d'un lot de 10 femelles et 10 mâles qui ont pu être sexés suivant la technique définie par Chu-Koo et al. (2009). Le système de télémétrie utilisé est celui de Lotek MAP et le positionnement UMAP, Lotek Wireless Inc. qui utilise le code CDMA (code accès multiple par répartition), codage numérique qui permet la détection simultanée et le décodage de plusieurs émetteurs co-localisés.

Comme la turbidité de l'eau ne permet en général aucune observation directe ou les enregistrements vidéo pour leur localisation, le positionnement précis grâce au système ultrasonique permet de suivre au jour le jour les déplacements de chaque individu. Ce type de suivi à échelle précise permet de générer des informations, à des plages spatiales et temporelles détaillées, sur le comportement simultané de tous les poissons dans l'étang et leurs interactions (Baktoft et al., 2015 ; Cooke et al., 2013 ; Pincock et al., 2010).

Les reproducteurs (mâles et femelles) ont été équipés d'émetteurs ultrasoniques permettant d'enregistrer leurs mouvements (Farmer *et al.*, 2013 ; Pursche *et al.*, 2013 ; Villegas-Ríos *et al.*, 2013) grâce à un réseau de 8 hydrophones (WHS 3250D, LOTEK Inc.) installés dans l'étang expérimental. Au moins trois hydrophones sont nécessaires pour traiter le signal par une routine de triangulation hyperbolique (Begout & Lagardere, 1995). Ainsi, grâce aux coordonnées géographiques enregistrées, le suivi du comportement est réalisé.

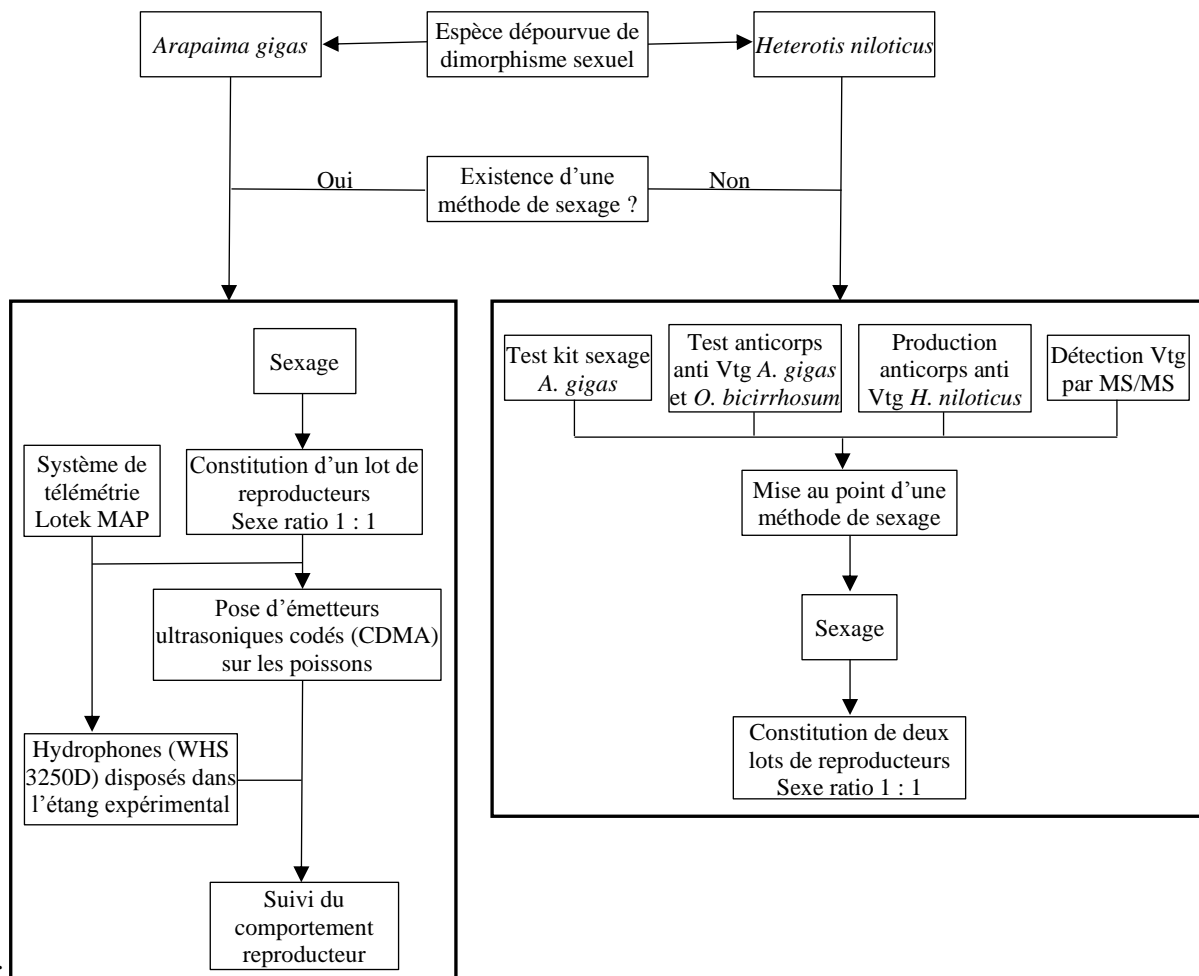
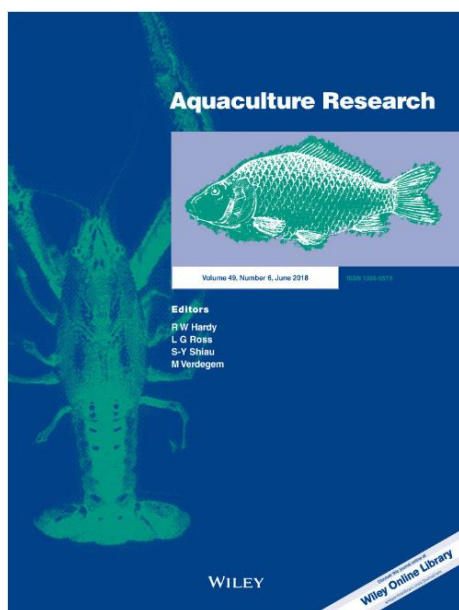


Figure 60 : Démarche suivie pour mettre au point une méthode de sexage de *H. niloticus* et réaliser une étude des interactions mâle-femelle de *A. gigas* par télémétrie ultrasonique.

3. Utilisation d'un réseau de télémétrie acoustique pour suivre le comportement reproducteur de *A. gigas* en captivité



L'étude du comportement reproducteur de *A. gigas* en captivité a fait l'objet d'un article publié dans la revue *Aquaculture Research* en 2018 intitulé « Use of an acoustic telemetry array for fine scale fish behaviour assessment of captive Paiche, *Arapaima gigas*, breeders ».

Cet article décrit :

- la méthodologie de télémétrie Lotek (**Figure 61**) utilisée ;
- les données sur un couple formé, en guise d'exemple de l'adéquation de cette technique pour le suivi

du comportement des poissons dans des environnements où la turbidité de l'eau ne favorise pas des observations directes ou des enregistrements vidéo.

La méthodologie Lotek est basée sur l'équipement de reproducteurs mâles et femelles (10 de chaque sexe) d'émetteurs ultrasoniques codés et sur leur suivi dans un étang contenant des hydrophones fixés sur des supports.

Les 20 poissons ont survécu et ont été suivis avec succès pendant une période de 6 mois, 24 heures par jour. Les données ont été téléchargées une fois par semaine à partir des huit hydrophones. En moyenne, un nombre maximum possible de 17 280 enregistrements par individu et par jour correspondant à une détection toutes les 5 s est obtenu, soit l'intervalle des impulsions des émetteurs.

Un seul émetteur positionné approximativement au centre de l'étang, qui est théoriquement la meilleure position de détection par le réseau d'hydrophones, a été utilisé pour tester la précision des positions calculées par le package U-Map.

La détection de l'efficacité du réseau d'hydrophones a été analysée à l'aide du logiciel Qgis 2.12 (Equipe de développement QGIS, 2016. Système d'information géographique QGIS. Projet Open Source Geospatial Foundation. [Http://www.qgis.org/](http://www.qgis.org/)) en traçant les positions non filtrées calculés par U-Map puis filtrées suivant la forme de l'étang. Toutes les positions figurant hors de l'étang ont été éliminés. Un autre filtre a ensuite été appliqué pour éliminer les points successifs séparés par une distance supérieure à celle obtenue avec une vitesse de déplacement $> 5 \text{ km / h}$, soit la vitesse moyenne maximale observée lors des tests précédents.

Les données filtrées avec le logiciel QGIS ont été traitées à l'aide de macros R afin de générer par interpolation les positions manquantes et de définir une séquence de données synchronisées dans le temps pour les déplacements mâle et femelle. Le pas de temps retenu entre deux positions successives a été fixé à 30 s afin de réduire le nombre de données pour chaque calcul.

Les données synchronisées dans le temps obtenues avec le logiciel R sont formatées pour être analysées avec OpenJump. L'interaction des poissons mâles et femelles a été déterminée en utilisant la méthodologie du domaine vital (Vokoun, 2003 ; Worton, 1989). Les calculs du domaine vital ont été effectués à l'aide du progiciel Horae (Steiniger & Hunter, 2012) pour OpenJump (Steiniger & Bocher, 2009). Le processus de réduction des données (toutes les 30 s) n'a pas sensiblement altéré la précision. L'estimation de la densité du noyau (KDE) est déterminée avec une probabilité de 95%. Cela signifie que 95% des positions se situent dans la zone de couverture d'origine calculée.

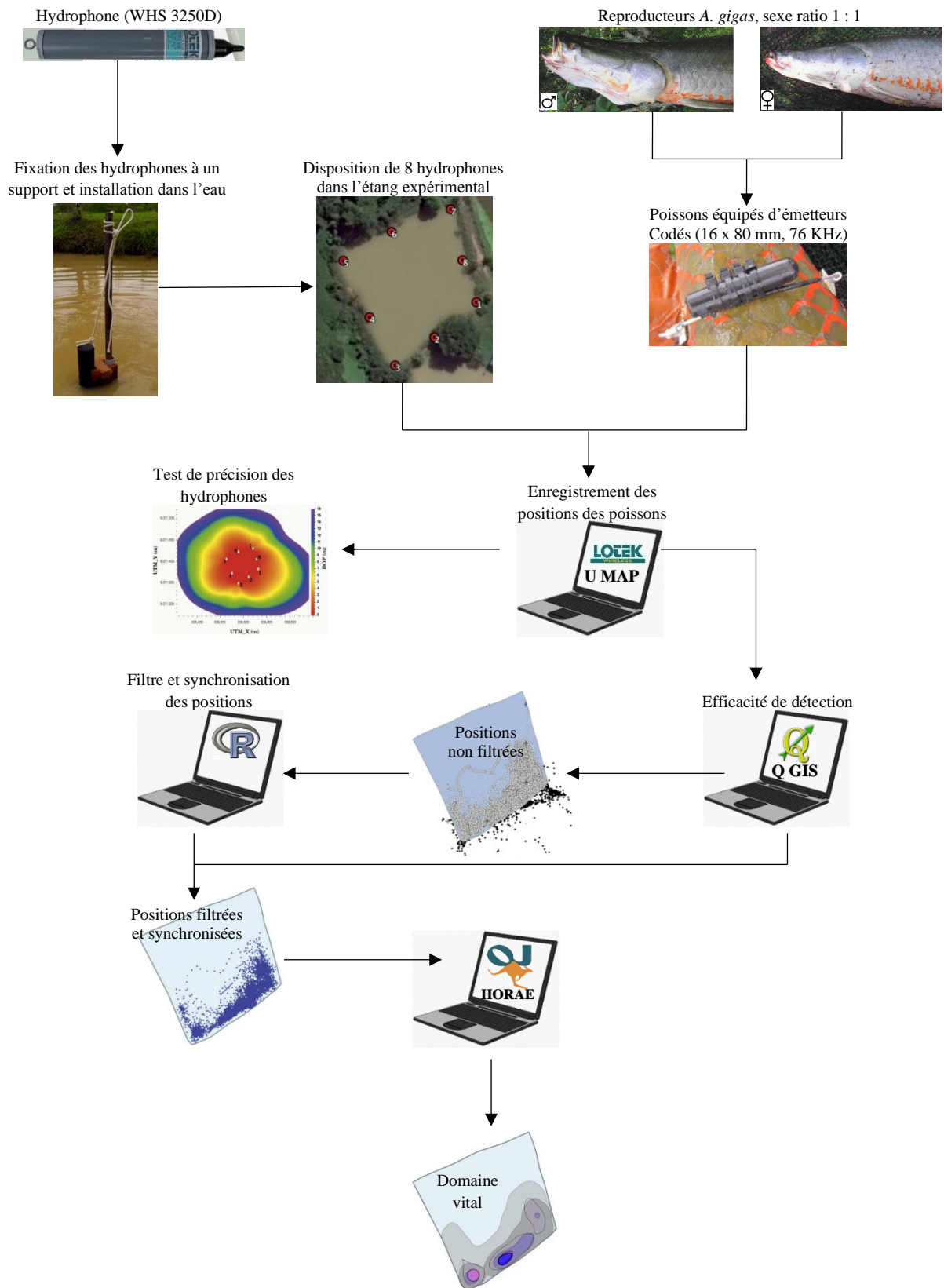


Figure 61 : Méthodologie de télémétrie Lotek utilisée pour étudier le comportement reproducteur de *A. gigas*.

Use of an acoustic telemetry array for fine scale fish behaviour assessment of captive Paiche, *Arapaima gigas*, breeders

Jesús Núñez-Rodríguez^{1,2}  | Antonia Vela Díaz³ | Roger Bazan-Albitez³ | Carmela Rebaza Alfaro³ | Daniel Koua¹ | Lucie Núñez² | Baptiste Testi⁴ | Jean-François Renno^{1,2} | Fabrice Duponchelle^{1,2} | Hervé Pella⁵

¹Institut de Recherche pour le Développement (IRD), Unité Mixte de Recherche Biologie des Organismes et Ecosystèmes Aquatiques (UMR BOREA - MNHN, CNRS-7208, UPMC, UCBN, IRD-207), Montpellier, France

²Laboratoire Mixte International - Evolution et Domestication de l'Ichtyofaune Amazonienne (LMI - EDIA), Montpellier, France

³Instituto de Investigaciones de la Amazonía Peruana (IIAP), Pucallpa, Perú

⁴DYNAM, IRSTEA, Villeurbanne, France

⁵RECOVER, IRSTEA, Aix-en-Provence, France

Correspondence

Jesús Núñez-Rodríguez, Institut de Recherche pour le Développement (IRD), Unité Mixte de Recherche Biologie des Organismes et Ecosystèmes Aquatiques (UMR BOREA - MNHN, CNRS-7208, UPMC, UCBN, IRD-207), Montpellier, France.
Emails: Jesus.Nunez@ird.fr and nunez@ird.fr

Funding information

Programa Nacional de Innovación para la Competitividad y Productividad, Innóvate-Perú; Institut de Recherche pour le Développement (IRD)

Abstract

As *Arapaima gigas* is one of the most valuable species for the growing production of Amazonian aquaculture, knowledge of its reproductive behaviour and its application to increase reproduction success in captivity is of great importance as no hormonal spawning induction technique exists for this species. An acoustic positioning system (LOTEK Inc.) was used to observe the interactions of adult fish to better understand the formation of mating pairs. Fish were placed in a 4,500 m² aquaculture pond over a 6-month period in the IIAP field station of Pucallpa, Perú. This paper describes the methodological protocols used to set up and test the hydrophone array and presents the methodology used for the analysis of the huge amount of collected data. This methodology is illustrated by the analysis of a 6-day period for a mating pair that showed a spawning event. The results indicated that male and female occupied mostly one preferential area in one pond edge where the nesting area is located. Different activity patterns were observed during the spawning event, with male and female being closer during the spawning day. The results also showed that male travelled less distance than female during the studied period. Finally these results demonstrated the suitability of such equipment to monitor fish interactions at fine spatial (sub meter) and temporal (5 s) scales in confined environments like aquaculture ponds.

KEYWORDS

acoustic telemetry, *Arapaima*, fine scale positioning, paiche, reproductive behaviour

1 | INTRODUCTION

Arapaima gigas is an air-breathing, giant fish of the Amazon basin and the largest scaled freshwater fish in the neotropics with over 3.5 m and 250 kg. In spite of the tremendous economic and cultural importance of this species in the Amazon region, behavioural studies of this species are scarce. As *A. gigas* has been over-exploited for decades (Castello, Arantes, McGrath, Stewart, & Sousa, 2015), the natural populations are now seriously depleted and the species is

listed in CITES Appendix II as an endangered species (CITES, 2018) and IUCN Red List of Threatened Species as a data deficient species (IUCN, 2017). This situation has led to introduce in many areas *A. gigas* into lagoons and ponds for aquaculture purposes to face the decline of wild populations and it was hoped that it would adapt to pond culture environment. One of the first difficulties encountered was the low reproduction rate in captivity as there was no artificial propagation technique for this species because of its complex behaviour and anatomical characteristics of the reproductive system

(Chu-Koo et al., 2009). Fry production relies only on spontaneous reproduction in earthen ponds after one or more pairs have formed. Under these conditions, the current production of fry remains low because of the few number of pairs formed in captivity. The purpose of our work is to better understand male–female interactions in captive pairs to improve reproductive success. Direct observation or video recordings are not possible in this earthen pond environment, the transparency of which rarely exceeds 20 cm, so we looked for other indirect means, like ultrasonic telemetry, that nevertheless allowed a precise spatiotemporal follow-up of several individuals at the same time.

Remote tracking of mobile aquatic animals in water bodies with limited visibility is the best technique to study individual movements or behaviour, social interactions and territory extension of each individual or group using generally the home range proxy (Vokoun, 2003; Worton, 1989). It is critical to know the locations of individuals over a significant period of time with the greatest possible accuracy when studying interactions between individuals, habitat preferences or reproductive behaviour. Such studies are generally based on radio telemetry (Baras, 1998; Koehn et al., 2009; Núñez-Rodríguez et al., 2015; Økland, Thorstad, Hay, Næsje, & Chanda, 2005). With manual positioning, animal detection is performed with the aid of a receiver and a “Yagi”-type antenna in the case of radio transmitters or with a hydrophone operated from a boat. Once located, coordinates of a transmitter are registered using a GPS receiver. With automatic positioning systems, the detection of transmitters is performed automatically with a few antennas or hydrophones strategically positioned and connected to data loggers, which record time and transmitter code detected by antenna or hydrophone. The manual methods are used mainly when continuous monitoring and high accuracy or resolution of the position of more than one individual at a time is not required.

In studies that require precise positioning (at meter range or less) an array of several transmitters is necessary to obtain a coarse detection network associated with calculation systems by triangulation. In aquatic environments, this can only be done with a system of ultrasonic coded transmitters and a network of hydrophones.

Technical and miniaturization improvements have permitted the development of ultrasonic telemetry equipment in aquatic environments (Crossin et al., 2017; Hussey et al., 2015) or GPS system in aerial or terrestrial studies, which allow a much higher positioning frequency (Abecasis, Bentes, Lino, Santos, & Erzini, 2013; Bellquist, Lowe, & Caselle, 2008; Binder, Holbrook, Hayden, & Krueger, 2016; Binder et al., 2017; Espinoza, Farrugia, Webber, Smith, & Lowe, 2011; Espinoza, Heupel, Tobin, & Simpfendorfer, 2016; Farmer, Ault, Smith, & Franklin, 2013; Lowe, Topping, Cartamil, & Papastamatiou, 2003; Martins et al., 2014; Mason & Lowe, 2010; Pursche, Suthers, & Taylor, 2013; Semmens, 2008; Simpfendorfer, Heupel, & Hueter, 2002; Topping, Lowe, & Caselle, 2006; Villegas-Ríos et al., 2013).

In aquatic environments this technology is based on sound speed propagation in water (approx. 1,500 m/s at 25°C) where 1 m corresponds to 0.6 millisecond transmission delay.

At least three hydrophones are necessary to process the signal by an hyperbolic triangulation routine (Bégout & Lagardère, 1995). The best accuracy is obtained when the transmitter is equidistant from three hydrophones. Due to these characteristics, the design of the hydrophone network will depend mainly on the size and shape of the water body in which the fish movements are studied. Reception strength will also depend on some parameters such as soil type and vegetation, water stratification and acoustic noise that can generate reverberations of ultrasonic waves (Pincock & Johnston, 2012). Distance between hydrophones will depend on the hydrophone characteristics and the power of the transmitters used. An approximate range of 100–200 m to several kilometres depending on the chosen systems and topography of the water body is generally admitted.

This type of fine scale monitoring is expected to generate information, at detailed spatial and temporal ranges, on simultaneous behaviour of all fish in the pond and their interactions (Baktoft et al., 2015; Cooke et al., 2013; Pincock, Welch, McKinley, & Jackson, 2010). This paper describes the methodology used and the positioning accuracy within the hydrophones array as well as some data on a specific pair as an example of the suitability of this technique for monitoring fish behaviour in such environments. We expect that the information collected with this system will allow a better understanding of *A. gigas* reproductive ethology, which can contribute to improve management of captive breeding stocks.

2 | MATERIALS AND METHODS

2.1 | Study area

All individuals were placed together the same day in a sub-square 4,500 m² and 1 m average depth aquaculture earthen pond at the IIAP research station of Pucallpa, Peru (Figure 1). These ponds represent the typical breeding environments used by local fish farmers to manage *A. gigas* reproduction in captivity.

2.2 | Fish

Twenty adult *A. gigas* specimens, 10 females and 10 males of 5–6 year-old, born in captivity were selected for this study and gender was determined using the specific *Arapaima* sexing technique (Chu-Koo et al., 2009). At the same time each fish was permanently identified by an 11 mm Pit Tag injected with an appropriate syringe in the medio-anterdorsal musculature for posterior identification. All fish used were sexually mature and size and weight ranged from 144 to 188 cm TL and 26 to 65 kg respectively.

2.3 | Fish transmitter implantation

Transmitters (16 × 80 mm, 76 KHz) weighing 35 g (MM-M- 16-50-PM, LOTEK Inc.) were attached externally according to the technique described previously for radio transmitters of similar size and weight (Núñez-Rodríguez et al., 2015). Briefly, a stainless steel



FIGURE 1 Aerial view (Google © DigitalGlobe 2016) of the zone where the experimental pond (8°24'02"S–74°38'26"W) is situated and positions of the eight hydrophones (numbered circles) forming the array inside the pond

plastic coated cable was inserted using an adapted needle near the dorsal fin after local anaesthesia with 0.5% lidocaine (0.5 ml on each side), and transmitter were fixed to the cable with plastic clamps. The needles and cables were previously sterilized with 70% ethanol and an anti-bacterial solution (10% Povidone) was applied on the injection sites. The whole tagging procedure lasted less than 2 min. The manipulation did not alter fish behaviour notably since fish recovered a normal quiet swimming immediately after their release in the experimental pond.

2.4 | Hydrophones array geometry

Eight hydrophones (WHS 3250D, LOTEK Inc.) have been immersed at the periphery of the 4500 m² square-shaped pond (Figure 1), fixed on metal poles (3 cm in diameter, 2 m long) placed approximately every 25 m and 1 m away from the shoreline. The average depth of the pond varied from 0.8 m at the shoreline to 1.20 m in the central area with a relatively smooth muddy bottom. Hydrophone antennas were placed approximately 50 cm above the bottom of the pond and 30–50 cm from the water surface depending on water depth at each location. The exact coordinates of each hydrophone and pond-shoreline were determined using a sub meter GPS (Trimble GeoExplorer 6000 XH 3.5G) giving a position accuracy of approximately 30 cm according to manufacturer's indications.

3 | RESULTS

All 20 adult fish implanted with acoustic transmitters survived and were tracked successfully for a 6 month-period, 24 hr a day. Data

were downloaded from the eight receivers located at the periphery of the pond (Figure 1) on a weekly basis. In average, from a maximum possible number of 17,280 bearings per individual and per day corresponding to one detection every 5 s which was the pulse interval of transmitters, 11,500 ± 2,800 bearings were recorded, representing a detection efficiency of 66.55%. Over the 6 months monitoring, an average of 2,070,000 ± 504,000 bearings were recorded for each individual. The data processing methodology is described hereafter to illustrate the behavioural assessment of the single mating pair that showed a spawning event during this period (data correspond to a 6-day period from which only 2.5 days were analysed in detail).

3.1 | Array accuracy

A single transmitter positioned approximately in the centre of the pond, which is theoretically the best detection position by the array (Figure 2), was used to test the precision of the positions calculated by the U-Map package. The transmitter was maintained 50 cm above the bottom of the pond and approximately 40 cm from the water surface. Bearings calculations were possible only when at least three hydrophones received the tag signal. The positions were recorded every minute for 1,378 successive positions (Figure 3). The results showed that bearings were not exactly randomly distributed around the mean position of the transmitter as standard deviations on both axes, calculated on average position, were slightly different (x axis ± 0.65 cm SD; y axis ± 0.56 cm SD). A preferential distribution in the W-SW to E-NE direction was observed ($r^2 = .13$, $n = 1378$).

3.2 | Detection efficiency

Detection of hydrophone array efficiency was analysed using Qgis 2.12 package (QGIS Development Team, 2016. QGIS Geographic

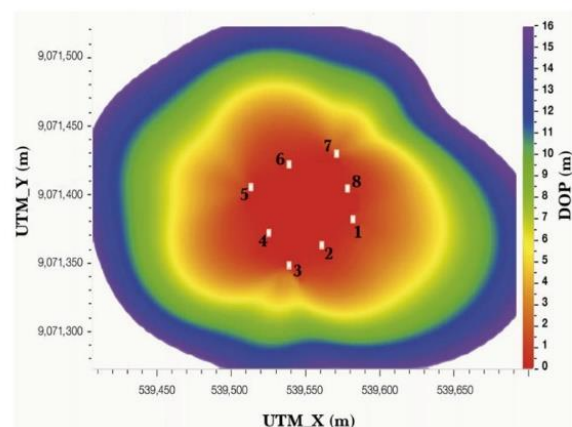


FIGURE 2 Dilution of precision (DOP) of the hydrophone array as calculated by Lotek's U-Map software (right axis). Hydrophone positions are given in UTM (Universal Transverse Mercator) system (in meters). Numbers correspond to the location of the eight hydrophones of the array. Pond limit is indicated by a solid line

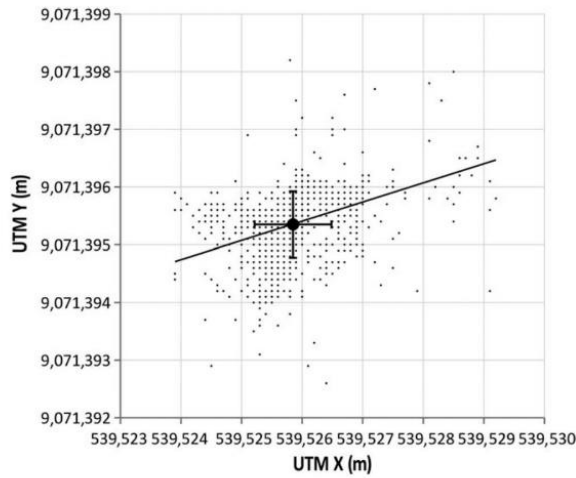


FIGURE 3 Precision of acoustic telemetry array. Data represent the coordinates recorded every minute ($n = 1,378$) of a single transmitter (not all points are visible due to overlapping) positioned approximately at the middle of the pond, 50 cm above the bottom. Solid black circle corresponds to the average position (\pm standard deviation error bars) and black line represents the linear regression over all bearings ($y = 0.33X + 8.89 \cdot 10E6$, $R^2 = .14$). Axes values are expressed in meters using UTM system.

Information System. Open Source Geospatial Foundation Project. <http://www.qgis.org/>) by plotting unfiltered bearings calculated by U-Map and then filtered by pond shape. All bearings falling out of the pond area were discarded (Figure 4). Another filter was then applied to eliminate successive points that were separated by a distance higher than that obtained with a displacement speed >5 km/hr which was the maximum average speed observed in previous tests. During this 2.5-day monitoring period, from a total of 38,558 bearings recorded, 6.4% (pond shape filter) and 1.1% (speed filter) of the calculated positions were discarded for this male. Similar procedure applied to six other fish bearings allowed us to calculate that

recorded bearings represented more than 90% of real positions ($90.3 \pm 2.8\%$). Please note that due to overlapping specially in the pond area all points are not visible.

3.3 | Space occupation and activity

Interaction of male and female fish was first determined using the home range methodology. The filtered data by pond shape and speed filter (Figure 5a,b) were processed using a R macro to set a time-synchronized data sequence for male and female bearings and then formatted for OpenJump import filter. The fixed time here between two successive positions was set at 30 s in order to lower the number of data for each calculation run. Home range calculations (Figure 5c,d) have been performed using Horae (Steiniger & Hunter, 2012) package for OpenJump (Steiniger & Bocher, 2009). The data reduction process (one bearing per 30 s) did not significantly alter the accuracy (results not shown). In Figure 5c,d grey shaded areas represent the Kernel density estimation (KDE) at 95% of probability. This means that 95% of the bearings fall into the calculated home range area. In this particular case the two fish (male and female) were mostly present only in one edge of the pond, the female showing a higher displacement activity than the male. The same technique was applied for 50% and 10% probabilities of presence (Figure 6). Both fish spent most of their time on two specific areas in one edge of the pond where two nests were detected. But in only one occasion during the 2.5 day period, male and female travelled simultaneously all around half of the pond area very closely (Video S1) and then returned to the nesting zone (Figure 7). We do not know if spawning took place before or after this particular behavior observed only once during this survey. The straight travelling line for the female corresponded to interpolated trajectories for the time where no detections were received by hydrophones. The travelled distance during the 6-day period was higher for female (22,813 m) than for male (12,804 m) indicating that male spent more time around the nesting area than the female (Figure 7).

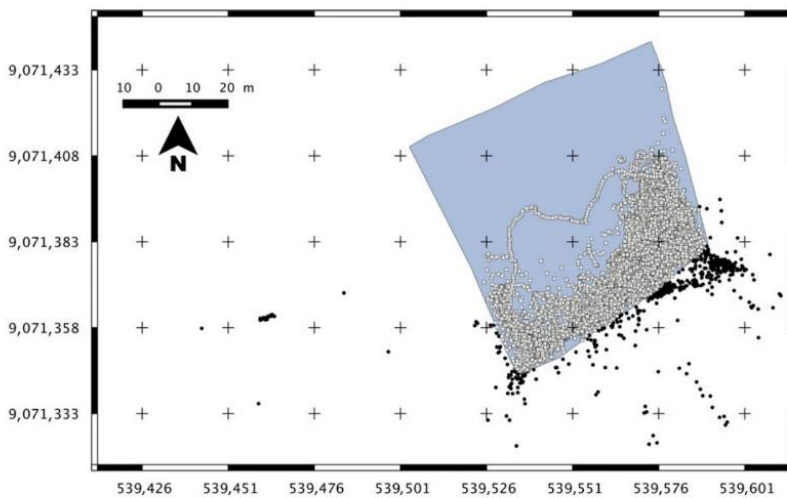


FIGURE 4 Detection efficiency of the 8-hydrophone array. Coordinates are expressed in meters using the UTM system. Data correspond to the bearings of a male *Arapaima gigas*. Black dots represent unfiltered bearings ($n = 30,558$); grey squares represent filtered bearings ($n = 28,603$) by pond shape (blue background). Out of pond points ($n = 1,955$) represented 6.4% of total bearings. Not all points are visible due to overlapping

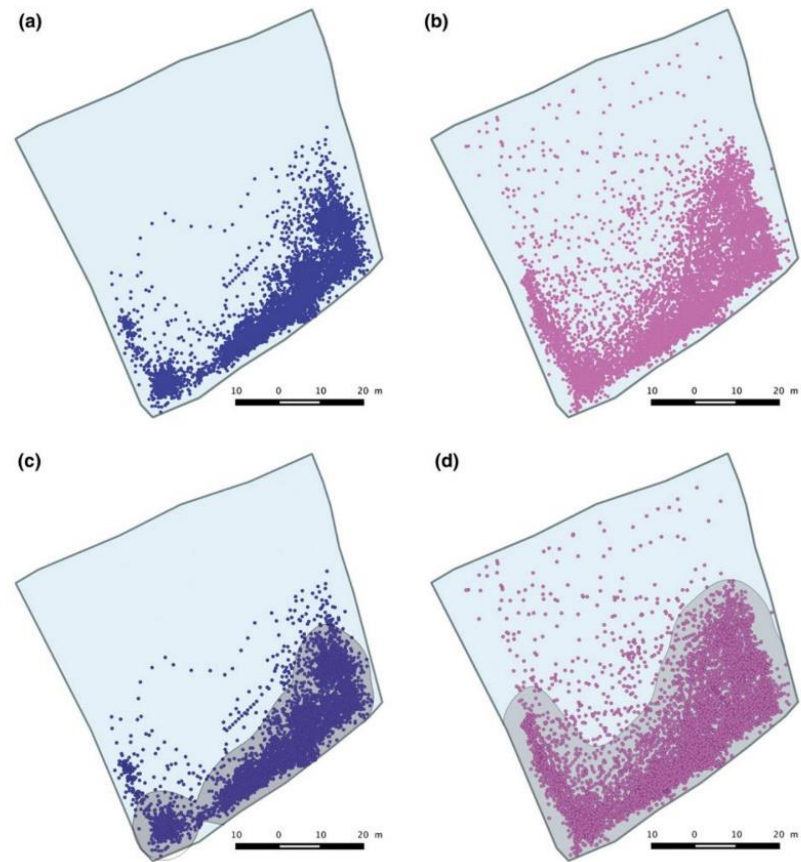


FIGURE 5 Space occupation of a mating pair of *Arapaima gigas* in the pond (2.5 days of survey). Points represent calculated positions every 30 s. (a) Male bearings (blue dots); (b) Female bearings (purple dots). (c, d) grey shaded area corresponds to 95% KDE (Kernel Density estimation) of male (c) and female (d)

The distance between both fish was calculated during a 6-day period including the 2.5 days of detailed survey where the spawning day occurred. Male–female distance varied from less than a meter to 45 m (results not shown), but the mean daily distance reached a minimum of 4.71 ± 0.15 m SE the day of spawning (Figure 8). During the three previous days the distance progressively decreased significantly ($p < .01$) from 13.14 ± 0.34 m SEM to 4.71 ± 0.15 m SEM and then significantly ($p < .01$) increased during the following days to reach 14.82 ± 0.33 m SEM and 13.14 ± 0.42 m SEM on day 1 and 2 respectively (Figure 8).

4 | DISCUSSION

4.1 | Accuracy

Array accuracy has been determined using a fixed transmitter at known coordinates in the geometric centre of the detectors array. As described in another study (James, Fischer, Laube, & Spindler, 2014) we were expecting an homogeneous distribution on all directions as the test transmitter was placed approximately at the centre of the array. Nevertheless as previously mentioned (Bergé et al., 2012; Binder et al., 2016) this finding showing an oriented distribution could be attributed to sound wave reflection on the

pond shoreline, which slope is not perfectly similar on all its length. But if we consider the observed accuracy (<1 m) we still have highly reliable position accuracy as fish average size was 1.67 ± 0.15 m. This accuracy around the meter range is similar to that obtained with Chinook salmon in similar 4,000 m² enclosure using a 9-hydrophone array (Semmens, 2008) and an 8-hydrophone array in a 10,000 m² natural lake (Baktoft et al., 2015). Although this technique gives the best accuracy over all other telemetry techniques in turbid environment, the underwater video observation would be of great interest to get complementary and detailed data on fish behaviour as reported for other aquatic animals (Ebner, Clear, Godschalx, & Beitzel, 2009; Fatsini, Rey, Ibarra-Zatarain, Mackenzie, & Duncan, 2017; Mills, Verdouw, & Frusher, 2005; Struthers, Danylchuk, Wilson, & Cooke, 2015). Nevertheless in turbid environments the video option is not possible.

4.2 | Detection efficiency

Theoretical detection distance (few-hundred meters) was virtually higher than the largest possible distance (diagonal) of the pond used in this study, which corresponded to 102 m. Nevertheless the effective average detection rate reached only 66.55%. The reason, as mentioned in other studies (Binder et al., 2016; Hartill,

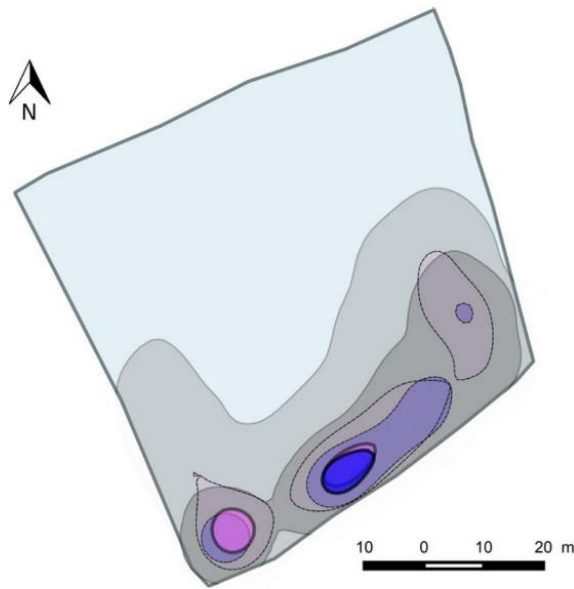


FIGURE 6 Home range areas of male and female *Arapaima gigas* using KDE at 95% (light grey: female; dark grey: male), KDE50% (dotted line shaded purple: female; shaded blue: male) and KDE10% (solid purple: female; solid blue: male). Each position is calculated every 30 s for a 2.5 days period

Morrison, Smith, Boubée, & Parsons, 2003), is probably due to fish orientation or position close to the shore inducing signal absorption, background noise or signal collisions when numerous

transmitters are present that did not allow a valid calculation position by the LOTEK's U-Map software. A small percentage of detections corresponded to out of pond bearings (6.4%) and some in-pond wrong bearings too (1.1%) identified by the speed filter. Finally the corrected detection rate reached around 50%, which means a valid detection every 10 s in average which is of the same order of magnitude reported for 0.01 km² natural lake with similar equipment using an array of eight hydrophones (Baktoft et al., 2015). Nevertheless this detection rate allowed to monitor fish movements and interactions quite precisely as showed by the male-female interaction during a spawning event.

4.3 | Space occupation and activity

Fish were most of the time close to the shore probably because of nest building and cleaning activity in the pre-spawning period as the male and female observed showed a spawning event during the studied period and generally nests are built in the vicinity of the shore area where the water depth is smaller (Bard & Imbiriba, 1986; Imbiriba, 1991). The short distance between male and female might be a good indicator of mating behaviour and proximity of a spawning event. In this pair, the lower distance between male and female and the duration of the period when both fish were closer coincided with an effective spawning. We will apply this parameter to all fish present in the pond to detect potential mating pairs during the 6 month-period of survey and look to the permanency of these pairs. In previous observations on reproductive behaviour of *A. gigas*, it was thought that only one nest was built by male and female (Bard & Imbiriba, 1986; Imbiriba, 1991) but for this particular pair

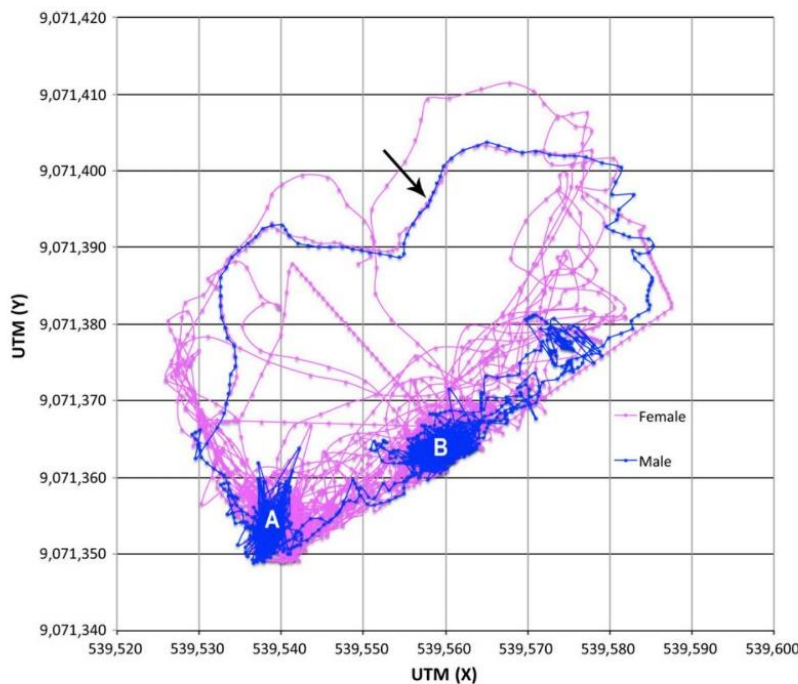


FIGURE 7 Visualization of the positions and trajectories of two paiches, Male (blue) and Female (purple) during 9.5 hr (from 0:00 to 9:30 a.m.) corresponding to the period of spawning. Each position is determined every 10 s. The arrow indicates a very peculiar trajectory where both male and female are travelling together towards the middle of the pond and then coming back to the nesting areas (here two areas labelled A and B)

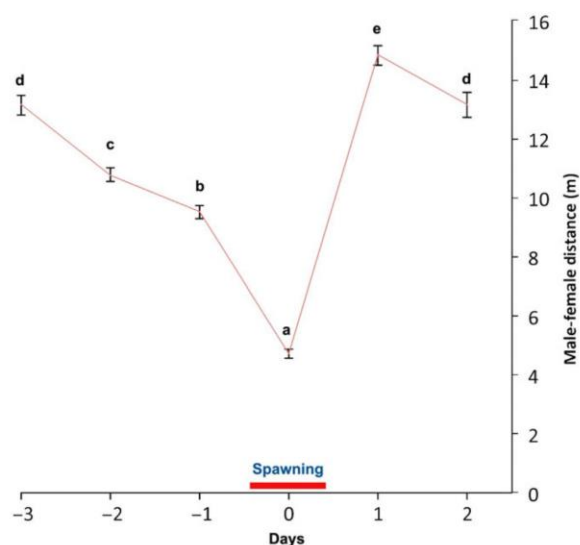


FIGURE 8 Male-Female *Arapaima gigas* proximity for a mating pair during a 6-day period (-3, -2, -1, 0, 1, 2) in the course of a spawning event (which occurred the fourth day of this follow-up, noted 0 in X graph axis and indicated by the red line). Data represent averaged distances in meters between male and female, calculated every minute, for an entire day (0:00–24:00 hr). Error bars represent standard error of the means and different superscript letters indicate significant differences between means at $p < .001$, using Tambane's T2 post hoc test for unequal variance samples

we observed during the survey period that two different nests were built although only one was used for egg deposition.

5 | CONCLUSION

The results obtained with the acoustic telemetry array deployed in this study establish the suitability of such ultrasonic telemetry equipment to monitor, at fine spatial and temporal scales, multiple fish interactions in confined turbid environments like aquaculture ponds. The first results presented here in *A. gigas*, provides new information on fish movements, space occupation, male-female interactions and reproductive behaviour in an earthen pond. This preliminary work will be extended to the analysis of all data collected on the survey of 20 *A. gigas* individuals (10 males and 10 females) during a 6-month period.

ACKNOWLEDGMENTS

Special thanks to all the technical staff of the IIAP-Pucallpa for their help during the handling and follow-up of the arapaïmas. This work was funded in the framework of the Peruvian project 192-FINCYT-IA-201 (Programa Nacional de Innovación para la Competitividad y Productividad, Innóvate-Perú) and the IRD, International Joint

Laboratory "Evolution and Domestication of the Amazonian Ichthyofauna" (LMI EDIA) as part of the scientific collaborations between IRD and IIAP, both members of the Research Network on Amazonian Ichthyofauna (Red de Investigación sobre la Ictiofauna Amazónica, RIIA). Thanks to Mitch Sisak from LOTEK for ultrasonic telemetry material deployment and testing.

ORCID

Jesús Núñez-Rodríguez  <http://orcid.org/0000-0003-3668-5446>

REFERENCES

- Abecasis, D., Bentes, L., Lino, P. G., Santos, M. N., & Erzini, K. (2013). Residency, movements and habitat use of adult white seabream (*Diplodus sargus*) between natural and artificial reefs. *Estuarine, Coastal and Shelf Science*, 118, 80–85. <https://doi.org/doi: 10.1016/j.ecss.2012.12.014>
- Baktoft, H., Zajicek, P., Klefoth, T., Svendsen, J. C., Jacobsen, L., Pedersen, M. W., ... Arlinghaus, R. (2015). Performance assessment of two whole-lake acoustic positional telemetry systems - is reality mining of free-ranging aquatic animals technologically possible? *PLoS ONE*, 10, e0126534. <https://doi.org/10.1371/journal.pone.0126534>
- Baras, E. (1998). Selection of optimal positioning intervals in fish tracking: An experimental study on *Barbus barbus*. *Hydrobiologia*, 371–372, 19–28. <https://doi.org/doi: 10.1023/A:1017026127846>
- Bard, J., & Imbiriba, E. P. (1986). *Piscicultura de pirarucu, Arapaima gigas* EMBRAPA-CPATU N° 52 (Vol. 52, p. 52). Belém, Brazil: EMBRAPA-CPATU.
- Bégout, M.-L., & Lagardère, J.-P. (1995). An acoustic telemetry study of seabream (*Sparus aurata* L.): First results on activity rhythm, effects of environmental variables and space utilization. *Hydrobiologia*, 300, 417–423. <https://doi.org/10.1007/BF00024483>
- Bellquist, L. F., Lowe, C. G., & Caselle, J. E. (2008). Fine-scale movement patterns, site fidelity, and habitat selection of ocean whitefish (*Caulolatilus princeps*). *Fisheries Research*, 91, 325–335. <https://doi.org/doi: 10.1016/j.fishres.2007.12.011>
- Bergé, J., Capra, H., Pella, H., Steig, T., Ovidio, M., Bultel, E., & Lamouroux, N. (2012). Probability of detection and positioning error of a hydro acoustic telemetry system in a fast-flowing river: Intrinsic and environmental determinants. *Fisheries Research*, 125–126, 1–13. <https://doi.org/doi: 10.1016/j.fishres.2012.02.008>
- Binder, T., Farha, S., Thompson, H., Holbrook, C., Bergstedt, R., Riley, S., ... Krueger, C. (2017). Fine-scale acoustic telemetry reveals unexpected lake trout, *Salvelinus namaycush*, spawning habitats in northern Lake Huron, North America. *Ecology of Freshwater Fish*, 1–12. <https://doi.org/doi: 10.1111/eff.12373>
- Binder, T., Holbrook, C., Hayden, T. A., & Krueger, C. C. (2016). Spatial and temporal variation in positioning probability of acoustic telemetry arrays: Fine-scale variability and complex interactions. *Animal Biotelemetry*, 4, 1–15. <https://doi.org/doi: 10.1186/s40317-016-0097-4>
- Castello, L., Arantes, C. C., McGrath, D. G., Stewart, D. J., & Sousa, F. S. D. (2015). Understanding fishing-induced extinctions in the Amazon. *Aquatic Conservation: Marine and Freshwater Ecosystems*, 25, 587–598. <https://doi.org/10.1002/aqc.2491>
- Chu-Koo, F., Dugué, R., Alván Aguilar, M., Casanova Daza, A., Alcántara Bocanegra, F., Chávez Veintemilla, C., ... Nuñez, J. (2009). Gender determination in the Paiche or Pirarucu (*Arapaima gigas*) using plasma

- vitellogenin, 17 β -estradiol, and 11-ketotestosterone levels. *Fish Physiology and Biochemistry*, 35, 125–136. <https://doi.org/doi:10.1007/s10695-008-9211-8>
- CITES. (2018). Retrieved from http://www.cites.org/eng/gallery/species/fish/arapaima_gigas.html Downloaded on 08/03/2018.
- Cooke, S. J., Midwood, J. D., Thiem, J. D., Klimley, P., Lucas, M. C., Thorstad, E. B., ... Ebner, B. C. (2013). Tracking animals in freshwater with electronic tags: Past, present and future. *Animal Biotelemetry*, 1, 5. <https://doi.org/10.1186/2050-3385-1-5>
- Crossin, G. T., Heupel, M. R., Holbrook, C. M., Hussey, N. E., Lowerre-Barbieri, S. K., Nguyen, V. M., ... Cooke, S. J. (2017). Acoustic telemetry and fisheries management. *Ecological Applications*, 27, 1031–1049. <https://doi.org/10.1002/eap.1533>
- Ebner, B., Clear, R., Godschal, S., & Beitzel, M. (2009). In-stream behaviour of threatened fishes and their food organisms based on remote video monitoring. *Aquatic Ecology*, 43, 569–576. <https://doi.org/10.1007/s10452-008-9192-9>
- Espinoza, M., Farrugia, T. J., Webber, D. M., Smith, F., & Lowe, C. G. (2011). Testing a new acoustic telemetry technique to quantify long-term, fine-scale movements of aquatic animals. *Fisheries Research*, 108, 364–371. <https://doi.org/doi:10.1016/j.fishres.2011.01.011>
- Espinoza, M., Heupel, M. R., Tobin, A. J., & Simpfendorfer, C. A. (2016). Evidence of partial migration in a large coastal predator: Opportunistic foraging and reproduction as key drivers? *PLoS ONE*, 11, e0147608. <https://doi.org/10.1371/journal.pone.0147608>
- Farmer, N. A., Ault, J. S., Smith, S. G., & Franklin, E. C. (2013). Methods for assessment of short-term coral reef fish movements within an acoustic array. *Movement Ecology*, 1, 1–13. <https://doi.org/doi:10.1186/2051-3933-1-7>
- Fatsini, E., Rey, S., Ibarra-Zatarain, Z., Mackenzie, S., & Duncan, N. J. (2017). Dominance behaviour in a non-aggressive flatfish, Senegalese sole (*Solea senegalensis*) and brain mRNA abundance of selected transcripts. *PLoS ONE*, 12, e0184283. <https://doi.org/10.1371/journal.pone.0184283>
- Hartill, B. W., Morrison, M. A., Smith, M. D., Boubée, J., & Parsons, D. M. (2003). Diurnal and tidal movements of snapper (<emph type="2">Pagrus auratus,</emph> Sparidae) in an estuarine environment. *Marine and Freshwater Research*, 54, 931–940. <https://doi.org/doi:10.1071/MF02095>
- Hussey, N. E., Kessel, S. T., Aarestrup, K., Cooke, S. J., Cowley, P. D., Fisk, A. T., ... Whoriskey, F. G. (2015). Aquatic animal telemetry: A panoramic window into the underwater world. *Science*, 348, 1255–1262. <https://doi.org/10.1126/science.1255642>
- Imbiriba, E. P. (1991). Produção e manjo de alevinos de pirarucu, *Arapaima gigas* (Cuvier). Technical Report EMBRAPA-CPATU, 57, 19 p.
- IUCN. (2017). The IUCN Red List of Threatened Species. Version 2017-3. Retrieved from <http://www.iucnredlist.org> Downloaded on 08 March 2018.
- James, D. A., Fischer, J. L., Laube, J. D., & Spindler, M. E. (2014). An accuracy assessment of ultrasonic transmitter locations determined by mobile telemetry in aquatic systems. *Fisheries Management and Ecology*, 21, 421–425. <https://doi.org/doi:10.1111/fme.12089>
- Koehn, J. D., McKenzie, J. A., O'Mahony, D. J., Nicol, S. J., O'Connor, J. P., & O'Connor, W. G. (2009). Movements of Murray cod (*Maccullochella peelii peelii*) in a large Australian lowland river. *Ecology of Freshwater Fish*, 18, 594–602. <https://doi.org/doi:10.1111/j.1600-0633.2009.00375.x>
- Lowe, C. G., Topping, D. T., Cartamil, D. P., & Papastamatiou, Y. P. (2003). Movement patterns, home range, and habitat utilization of adult kelp bass *Paralabrax clathratus* in a temperate no-take marine reserve. *Marine Ecology Progress Series*, 256, 205–216. <https://doi.org/10.3354/meps256205>
- Martins, E., Gutowsky, L. F., Harrison, P., Flemming, J. E., Jonsen, I., Zhu, D., ... Cooke, S. (2014). Behavioral attributes of turbine entrainment risk for adult resident fish revealed by acoustic telemetry and state-space modeling. *Animal Biotelemetry*, 2, 13. <https://doi.org/10.1186/2050-3385-2-13>
- Mason, T. J., & Lowe, C. G. (2010). Home range, habitat use, and site fidelity of barred sand bass within a southern California marine protected area. *Fisheries Research*, 106, 93–101. <https://doi.org/doi:10.1016/j.fishres.2010.07.008>
- Mills, D. J., Verdouw, G., & Frusher, S. D. (2005). Remote multi-camera system for in situ observations of behaviour and predator/prey interactions of marine benthic macrofauna. *New Zealand Journal of Marine and Freshwater Research*, 39, 347–352. <https://doi.org/10.1080/00288330.2005.9517315>
- Núñez-Rodríguez, J., Duponchelle, F., Cotrina-Doria, M., Renno, J. F., Chavez-Ventimilla, C., Rebaza, C., ... Baras, E. (2015). Movement patterns and home range of wild and re-stocked *Arapaima gigas* (Schinz, 1822) monitored by radio-telemetry in Lake Imiria, Peru. *Journal of Applied Ichthyology*, 31, 10–18. <https://doi.org/doi:10.1111/jai.12972>
- Økland, F., Thorstad, E. B., Hay, C. J., Næsje, T. F., & Chanda, B. (2005). Patterns of movement and habitat use by tigerfish (*Hydrocynus vittatus*) in the Upper Zambezi River (Namibia). *Ecology of Freshwater Fish*, 14, 79–86. <https://doi.org/doi:10.1111/j.1600-0633.2004.00080.x>
- Pincock, D. G., & Johnston, S. V. (2012). Acoustic telemetry overview. In J. W. B. Noah, S. Adams, & J. H. Eiler (Eds.), *Telemetry techniques: A user guide for fisheries research* (p. 543). Bethesda, MD: American Fisheries Society.
- Pincock, D., Welch, D., McKinley, S., & Jackson, G. (2010). Acoustic telemetry for studying migration movements of small fish in rivers and the ocean—current capabilities and future possibilities. PNAMP Special Publication: Tagging, Telemetry and Marking Measures for Monitoring Fish Populations—A Compendium of New and Recent Science For Use in Informing Technique and Decision Modalities: Pacific Northwest Aquatic Monitoring Partnership Special Publication, 2, 105–118.
- Pursche, A. R., Suthers, I. M., & Taylor, M. D. (2013). Post-release monitoring of site and group fidelity in acoustically tagged stocked fish. *Fisheries Management and Ecology*, 20, 445–453. <https://doi.org/doi:10.1111/fme.12031>
- Semmens, B. X. X. (2008). Acoustically derived fine-scale behaviors of juvenile Chinook salmon (*Oncorhynchus tshawytscha*) associated with intertidal benthic habitats in an estuary. *Canadian Journal of Fisheries and Aquatic Sciences*, 65, 2053–2062. <https://doi.org/10.1139/f08-107>
- Simpfendorfer, C. A., Heupel, M. R., & Hueter, R. E. (2002). Estimation of short-term centers of activity from an array of omnidirectional hydrophones and its use in studying animal movements. *Canadian Journal of Fisheries and Aquatic Sciences*, 59, 23–32. <https://doi.org/10.1139/f01-191>
- Steiniger, S., & Bocher, E. (2009). An overview on current free and open source desktop GIS developments. *International Journal of Geographical Information Science*, 23, 1345–1370. <https://doi.org/doi:10.1080/13658810802634956>
- Steiniger, S., & Hunter, A. J. S. (2012). OpenJUMP HoRAE—A free GIS and toolbox for home-range analysis. *Wildlife Society Bulletin*, 36, 600–608. <https://doi.org/doi:10.1002/wsb.168>
- Struthers, D. P., Danylchuk, A. J., Wilson, A. D. M., & Cooke, S. J. (2015). Action cameras: Bringing aquatic and fisheries research into view. *Fisheries*, 40, 502–512. <https://doi.org/10.1080/03632415.2015.1082472>
- Topping, D. T., Lowe, C. G., & Caselle, J. E. (2006). Site fidelity and seasonal movement patterns of adult California sheephead *Semicossyphus pulcher* (Labridae): An acoustic monitoring study. *Marine Ecology*

- Progress Series*, 326, 257–267. <https://doi.org/doi:10.3354/leps326257>
- Villegas-Ríos, D., Alós, J., March, D., Palmer, M., Mucientes, G., & Saborido-Rey, F. (2013). Home range and diel behavior of the ballan wrasse, *Labrus bergylta*, determined by acoustic telemetry. *Journal of Sea Research*, 80, 61–71. <https://doi.org/doi:10.1016/j.seares.2013.02.009>
- Vokoun, J. C. (2003). Kernel density estimates of linear home ranges for stream fishes: Advantages and data requirements. *North American Journal of Fisheries Management*, 23, 1020–1029. <https://doi.org/10.1577/M02-141>
- Worton, B. J. (1989). Kernel methods for estimating the utilization distribution in home-range studies. *Ecology*, 70, 164–168. <https://doi.org/doi:10.2307/1938423>

SUPPORTING INFORMATION

Additional Supporting Information may be found online in the supporting information section at the end of the article.

How to cite this article: Núñez-Rodríguez J, Vela Díaz A, Bazan-Albitez R, et al. Use of an acoustic telemetry array for fine scale fish behaviour assessment of captive Paiche, *Arapaima gigas*, breeders. *Aquac Res*. 2018;00:1–9. <https://doi.org/10.1111/are.13692>

4. Sexage de reproducteurs de *H. niloticus* pour suivre leur comportement reproducteur en étang de pisciculture

4.1 Résultats avec le test du kit de sexage de *A. gigas*

Le kit de sexage mis au point pour *A. gigas* (Chu-Koo et al., 2009 ; Nuñez, 2008) a été testé sur 24 individus mâtures de *H. niloticus* en période de reproduction. L'apparition des spots de contrôle négatif (**Figure 62**) a permis de valider tous les tests réalisés. Le spot de contrôle positif indiquant la détection de la Vtg a été observé chez un seul individu avec une coloration moins marquée que le spot de contrôle négatif (**Figure 62**). Après avoir sacrifié tous les poissons testés, on a constaté que ce lot comprend 10 femelles dont le poisson contrôlé positif à la Vtg, soit un taux de succès du kit de sexage de *A. gigas* de 10% sur *H. niloticus*.

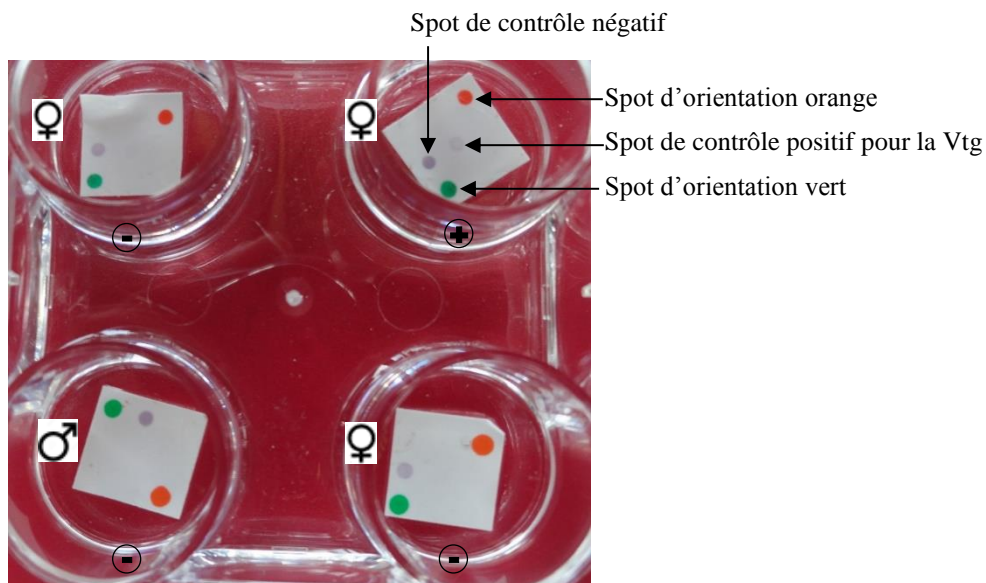


Figure 62 : Test du kit de sexage de *A. gigas* réalisé sur quatre individus en vitellogenèse de *H. niloticus* dont trois femelles. Le spot de contrôle positif de détection à la Vtg est observé chez une seule femelle. Les deux autres femelles ont été anormalement contrôlées négatives comme le mâle.

4.2 Résultats avec l'anticorps anti Vtg de *A. gigas* et de *O. bicirrhosum*

Des échantillons de plasma de *H. niloticus* et *A. gigas* prélevés sur des individus mâles et femelles matures en période de reproduction ont été testés par la méthode ELISA avec les anticorps anti Vtg1 de *A. gigas* (**Figure 63a**) et anti Vtg de *O. bicirrhosum* (**Figure 64a**) dans des conditions optimales pour éviter les liaisons non spécifiques.

Avec l'anticorps anti Vtg1 de *A. gigas* (**Figure 63b**), les individus mâles affichent une DO inférieure à 0,206 pour une liaison non spécifique moyenne de 0,123. Les femelles de *H. niloticus* et *A. gigas* affichent des DO comprises respectivement entre 0,268 et 0,449 (dilution de plasma du 1000^e au 10000^e) et entre 0,383 et 1,433 (dilution de plasma du 1000^e au 80000^e).

Avec l'anticorps anti Vtg de *O. bicirrhosum*, quel que soit le sexe de *H. niloticus* et *A. gigas*, la valeur de DO moyenne qui est de 0,086 est similaire à celle de la liaison non spécifique (**Figure 64b**).

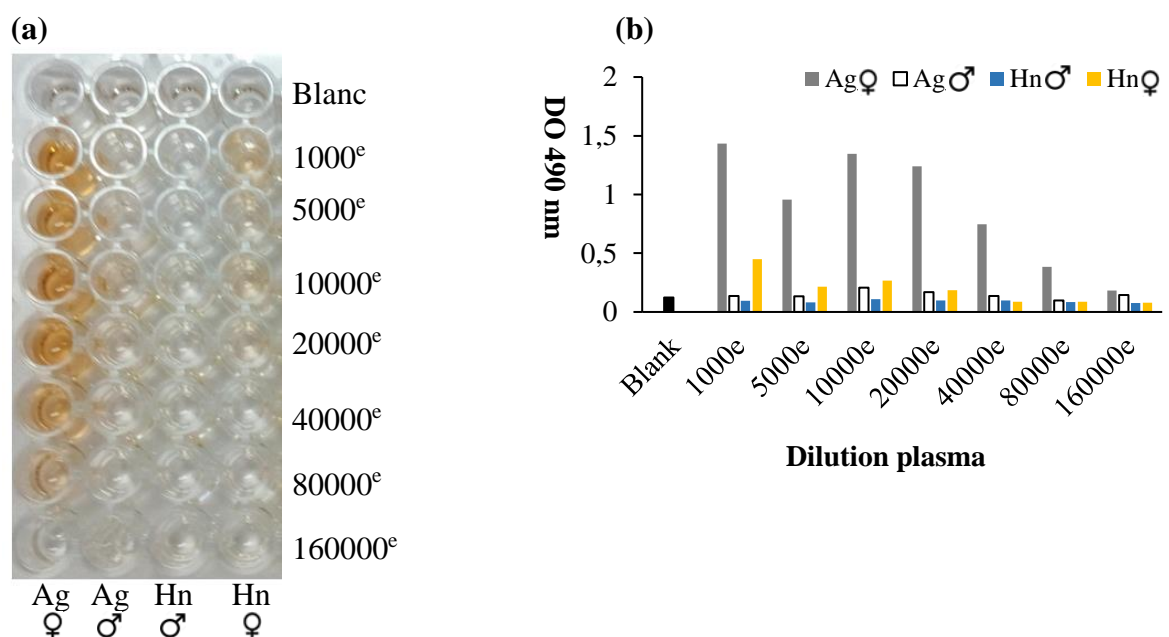


Figure 63 : Révélation de la série de dilution de plasmas mâles et femelles de *A. gigas* et *H. niloticus* incubés avec l'anticorps anti Vtg1 de *A. gigas* dans des puits de plaque ELISA (a). Les valeurs de la DO 490 nm de chaque puits sont représentées graphiquement (b).

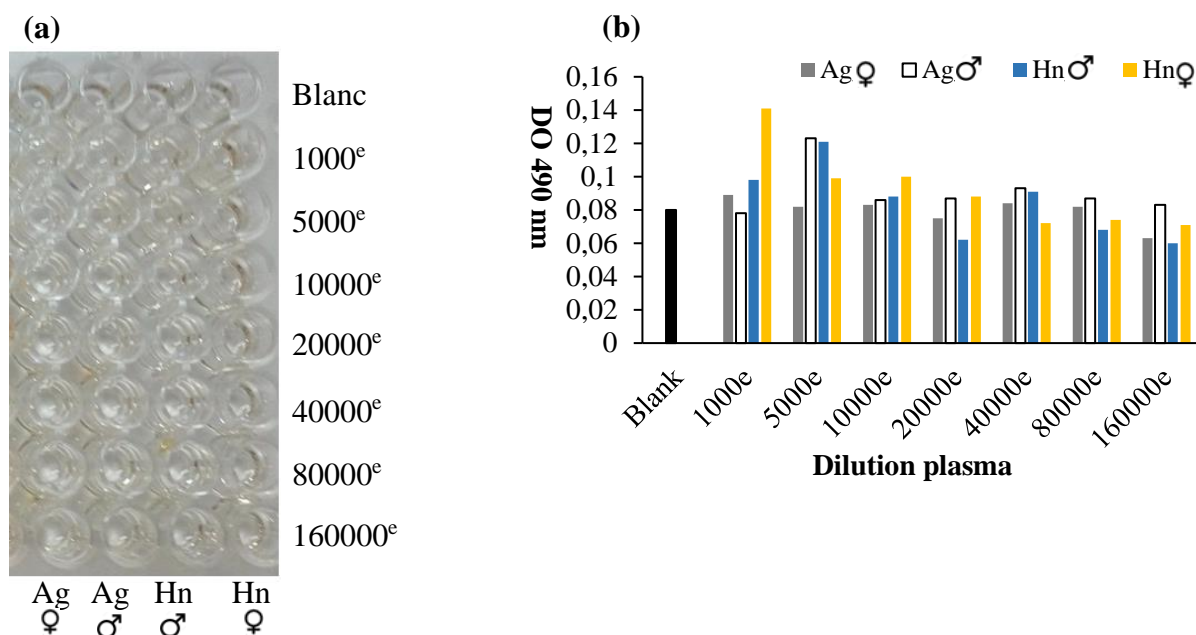


Figure 64 : Révélation de la série de dilutions de plasmas mâles et femelles de *A. gigas* et *H. niloticus* incubés avec l'anticorps anti Vtg de *O. bicirrhosum* dans des puits de plaque ELISA (a). Les valeurs de la DO 490 nm de chaque puits sont représentées graphiquement (b).

4.3 Résultats avec l'anticorps anti Vtg de *H. niloticus*

4.3.1 Purification de la Vtg et production d'anticorps anti Vtg de *H. niloticus*

Le traitement de 12 poissons immatures de *H. niloticus* au 17β -estradiol a induit la sécrétion de Vtg dans le sang qui a été révélée par SDS-PAGE avec une bande majeure absente des plasmas non induits (**Figure 65**).

L'anticorps anti Vtg de *H. niloticus* produit par l'un des deux lapins a été retenu car il présentait les meilleures réactions avec la Vtg plasmatique et une plus faible liaison non spécifique avec le plasma des individus mâles.

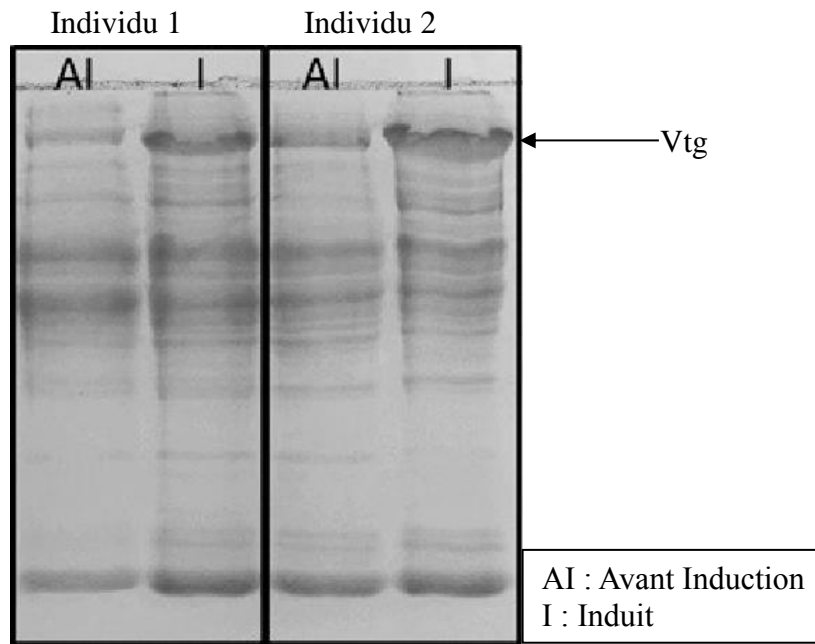


Figure 65 : SDS-PAGE de plasma de *H. niloticus* d'individus avant induction et induits au 17β -estradiol. Les bandes indiquant la présence de Vtg sont observées dans les plasmas de poisson induits.

4.3.2 Test de l'anticorps anti Vtg de *H. niloticus*

L'anticorps anti Vtg de *H. niloticus* dilué au 10000° a été testé sur des plasmas mâles et femelles d'individus matures de *H. niloticus* et *A. gigas* en période de reproduction. Les résultats de l'ELISA sur une série de dilutions des plasmas sont présentés dans la **Figure 66a**.

Les mesures de l'absorbance de chaque puits (**Figure 66a**) montrent que les femelles de *A. gigas* et les individus mâles des deux espèces affichent une DO inférieure à 0,21 pour une liaison non spécifique moyenne de 0,075. Pour les femelles de *H. niloticus* les DO sont comprises entre 0,336 et 0,565 (dilution de plasma du 1000° au 10000°) au-dessus des valeurs obtenues avec l'anticorps anti Vtg1 de *A. gigas*.

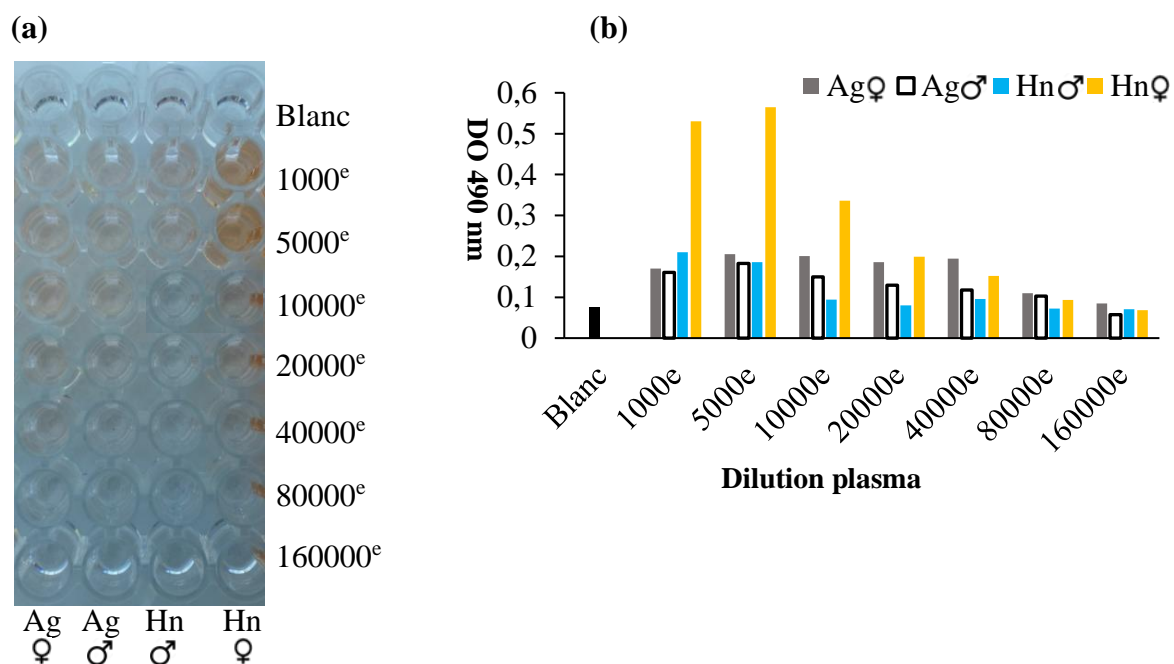


Figure 66 : Révélation de la série de dilution de plasmas mâles et femelles de *A. gigas* et *H. niloticus* incubés avec l'anticorps anti Vtg de *H. niloticus* dans des puits de plaque ELISA (a). Les valeurs de la DO 490 nm de chaque puits sont représentées graphiquement (b).

4.4 Résultats de l'analyse en spectrométrie de masse

Pour tester la possibilité de déterminer le sexe d'individus matures en vitellogenèse de *H. niloticus* par une analyse en spectrométrie de masse, la Vtg ou ses produits de clivage ont été recherchés dans des extraits protéiques de sang et de mucus d'individus mâles et femelles. Cette analyse a permis de détecter dans le mucus de quatre femelles la présence de Vtg avec des scores de Mascot compris entre 96 et 2050 (**Figure 67**). Dans le mucus de trois poissons mâles, aucune Vtg ni aucun produit de clivage n'a été détecté (scores de Mascot nul). Chez un poisson mâle, le score de Mascot de la Vtg est de 29,309.

Le score de Mascot pour une protéine est le score total des peptides individuels, par exemple masses peptidiques et masses ioniques des fragments peptidiques, pour tous les peptides correspondant à une protéine donnée. Pour une identification de protéine positive, le score de Mascot doit être supérieur au niveau de confiance de 95%. Pour une recherche dans la base de données de protéines nrbd de NCBI contenant 18 millions de séquences protéiques connues, le

niveau de confiance de 95% se situe autour d'un score de 90 (Hamidi et al., 2017 ; <http://www.matrixscience.com/>).

C'est ce seuil qui a été utilisé comme critère de détermination du sexe. Les individus ayant un score de détection de Vtg supérieur à 90 sont considérés comme des femelles et ceux ayant des scores inférieurs à 90 sont considérés comme des mâles. Quatre poissons ont été sacrifiés pour confirmer la détermination du sexe par la détection de la Vtg en MS/MS et 100% des poissons ont été correctement sexés (2 mâles et 2 femelles).

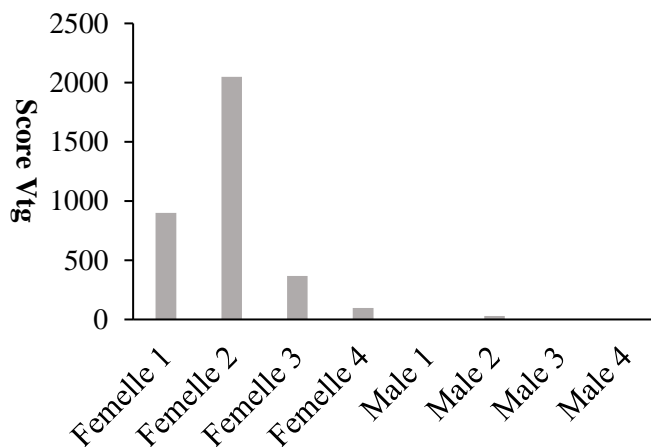


Figure 67 : Niveau de détection de la Vtg ou ses produits de clivages par spectrométrie de masse dans le mucus d'individus mâles et femelles de *H. niloticus* en vitellogenèse. Les individus mâles ont des scores < 50 et les individus femelles ont des scores > 96.

Par la suite, l'analyse en MS/MS d'extraits protéiques de sang a été utilisée pour sexer deux lots de poissons matures (59 individus) destinés à la réalisation d'une étude du comportement reproducteur.

Dans le lot de reproducteurs stockés dans une ferme piscicole de Daloa (centre-ouest de la Côte d'Ivoire), 18 individus sur 31 ont montré une forte réaction positive à la détection de Vtg ou ses produits de clivages, indiquant que ce sont des femelles et les 13 autres reproducteurs sont considérés comme des mâles (**Figure 68a**).

Pour le lot de reproducteurs stockés dans une ferme piscicole de Yamoussoukro (centre de la Côte d'Ivoire), ce sont 20 individus sur 28 considérés comme des femelles qui ont été détectés positifs à la présence de Vtg ou ses produits de clivage ; les 8 autres reproducteurs sont considérés comme des mâles (**Figure 68b**).

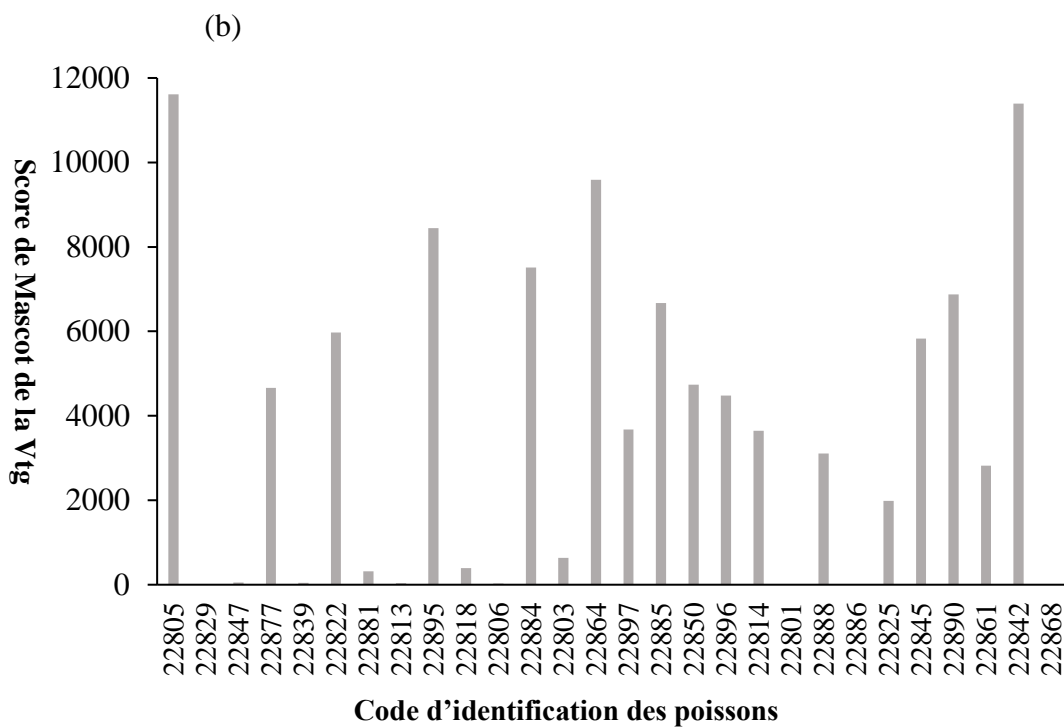
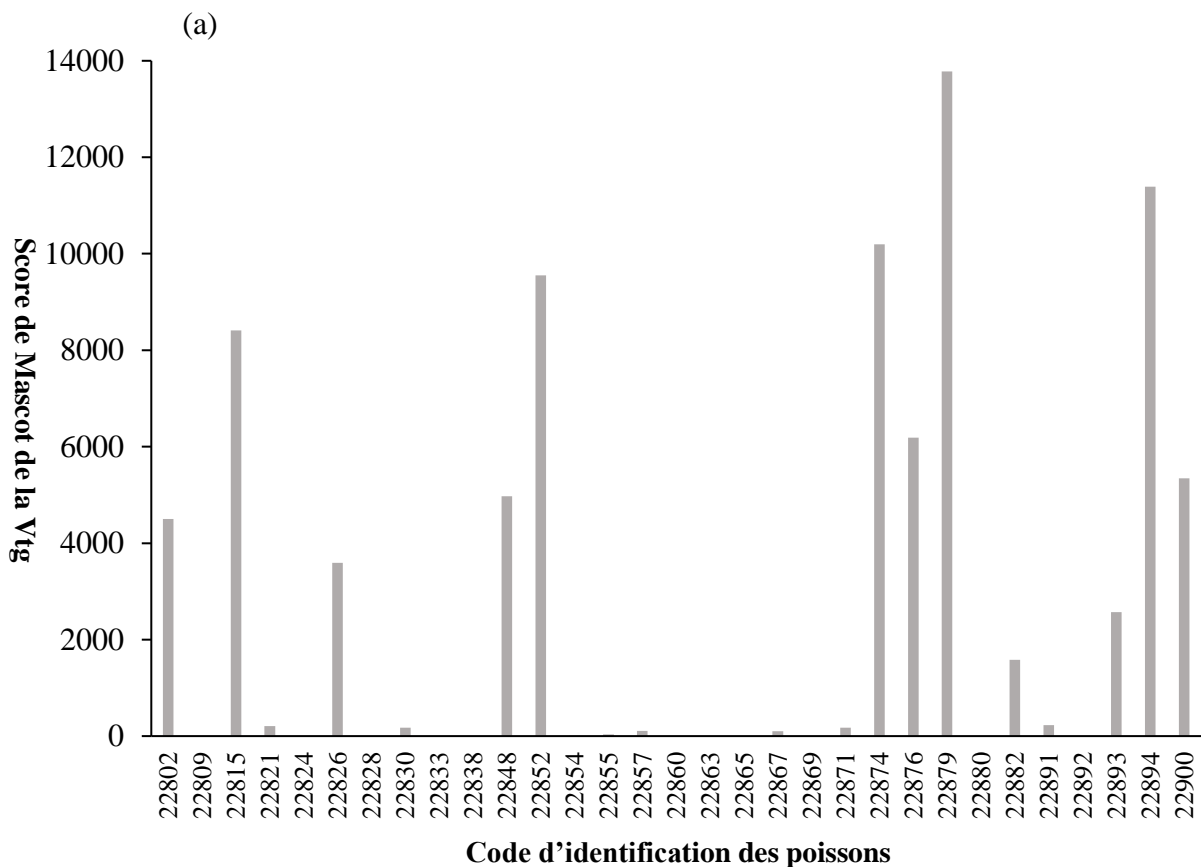


Figure 68 : Détermination du sexe par analyse en spectrométrie de masse de deux lots de reproducteurs stockés dans des fermes piscicoles à Daloa (a) et Yamoussoukro (b), deux localités de la Côte d'Ivoire. Les poissons ayant un score de détection de $Vtg > 90$ considérés comme des femelles sont indiqués par des bandes grise, les autres individus considérés comme des mâles ont un score de détection de $Vtg < 90$.

4.5 Discussion

Au cours de cette étude, cinq méthodes de sexage peu invasives et basées sur la détection de la Vtg ont été testées pour la première fois sur des individus matures de *H. niloticus*. La Vtg a été utilisée comme marqueur de sexage chez de nombreuses espèces telles que l'esturgeon de Sibérie (Ceapa et al., 2002), l'albacore (Takemura & Oka, 1998) et les truites de mer (Pottinger et al., 2005).

Chez *H. niloticus*, aucun caractère sexuel externe n'est disponible pour distinguer le sexe alors que l'identification du sexe des individus matures de la plupart des espèces se fait par l'observation de caractères externes. Dans certains cas, le recours à des biopsies ou des endoscopies sur des animaux anesthésiés a permis l'identification du sexe, même en dehors de la saison de reproduction ou même chez des poissons immatures (Bryan et al., 2007 ; Carreiro et al., 2011 ; Kynard & Kieffer, 2002 ; Swenson et al., 2007). Chez le bonytongue africain, du fait de sa respiration aérienne obligatoire, un risque très élevé de mortalité est possible en cas d'anesthésie. Les lamelles ovariennes nues et exposées dans la cavité générale du poisson ne favorisent pas la canulation (Adite et al., 2006 ; Bard & Imbiriba, 1986 ; Chu-Koo et al., 2009 ; Godinho et al., 2005 ; Moreau, 1982 ; Oladosu et al., 2007). De plus, une technique de sexage basée sur des données morphométriques a donné des résultats peu fiables (Oladosu et al., 2007).

Les tests du kit de sexage de *A. gigas* sur des femelles de *H. niloticus* s'est avéré positif à seulement 10%. Avec l'anticorps anti Vtg de *A. gigas* dilué au 10000^e, les résultats de l'ELISA ont permis de confirmer son efficacité pour le sexage de *A. gigas* avec une $DO > 0,25$ pour les femelles et une $DO < 0,25$ pour les mâles tels que rapportés par Chu-Koo et al. (2009). Le test a été également concluant pour les individus mâles de *H. niloticus* ($DO < 0,25$) quel que soit le niveau de dilution de plasma alors que pour les femelles, seules les dilutions au 1000^e, 5000^e et 10000^e ont permis de les identifier correctement ($DO > 0,25$). Toutefois, les valeurs de DO de femelles de *H. niloticus* ($0,268 < DO < 0,449$) sont inférieures à celles de *A. gigas* obtenues dans cette étude ($0,383 < DO < 1,43$) et par Chu-Koo et al. (2009) pour une dilution de plasma au 80000^e et de l'anticorps au 10000^e ($1,4 < DO < 2,95$). Ces résultats montrent une certaine affinité de la Vtg de *H. niloticus* pour l'anticorps anti Vtg de *A. gigas*, due probablement à la proximité phylogénétique de ces deux espèces démontrée dans cette thèse et signalée par d'autres auteurs (Betancur-R et al., 2017 ; Guo-Qing & Wilson, 1996 ; Hilton, 2001, 2003 ;

Lavoué, 2016 ; Lavoué & Sullivan, 2004 ; Nelson, 1968, 1969). En vue du sexage d'individus matures de *H. niloticus*, le test sur plaque ELISA avec l'anticorps anti Vtg de *A. gigas* contenu dans le plasma de lapins immunisés semble plus sensible et recommandable que le kit de sexage de *A. gigas* dans lequel cet anticorps est incorporé aux membranes Mini Array. Une technique d'immuno diffusion basé sur la détection de la Vtg pour sexer l'albacore (Takemura & Oka, 1998) s'avère également moins sensible que le test direct avec le protocole ELISA (Chu-Koo et al., 2009).

Contrairement aux méthodes de sexage développées pour *A. gigas* qui ont donné dans une certaine mesure des résultats positifs sur *H. niloticus*, le test de l'anticorps anti Vtg de *O. bicirrhosum*, une autre espèce d'Ostéoglossiformes, a fourni des valeurs de DO similaires à la liaison non spécifique ($DO < 0,141$) pour *H. niloticus* et *A. gigas*. Cette méthode qui n'a pas permis de différencier les deux sexes chez *H. niloticus* ne peut donc être recommandée pour sexer des individus mâtures. On peut donc également faire l'hypothèse que compte tenu de la plus grande distance phylogénétique entre *A. gigas* et *O. bicirrhosum*, leurs vitellogénines sont sans doute plus dissemblables entraînant une non reconnaissance de la Vtg d'*O. bicirrhosum* par l'anticorps anti Vtg de *A. gigas*.

L'anticorps anti Vtg de *H. niloticus* mis au point dans le cadre de cette thèse a montré une liaison non spécifique ($DO < 0,21$) avec le plasma des individus mâles de *H. niloticus* et *A. gigas*. Alors qu'on s'attendait à avoir une réaction positive de cet anticorps avec le plasma de femelles de *A. gigas*, comme ce fut le cas de *H. niloticus* avec l'anticorps anti Vtg1 de *A. gigas*, le résultat obtenu s'est avéré similaire à celui des individus mâles ($DO < 0,205$), donc non spécifique. Pour les femelles de *H. niloticus*, avec des dilutions au 1000^e, 5000^e, et 10000^e, les valeurs de DO sont supérieures à 0,25 ($0,336 < DO < 0,565$) traduisant que le test est positif si on tient compte du seuil défini par Chu-Koo et al. (2009). On peut conclure que l'anticorps développé au cours de ces travaux de thèse est spécifique à *H. niloticus* et peut être utilisé pour sexer les individus matures de cette espèce, par contre le non croisement avec la Vtg d'*A. gigas* est plus surprenant.

Les analyses en spectrométrie de masse d'extraits protéiques de plasma et de mucus a permis d'obtenir chez des femelles matures de *H. niloticus* des scores Mascot de détection de la Vtg supérieurs à 90. Chez les mâles, les scores sont inférieurs à 90. Ce seuil de score au-delà duquel on a une identification positive de la Vtg (Hamidi et al., 2017 ; <http://www.matrixscience.com/>) a été utilisé pour sexer deux lots de 59 reproducteurs. Le sacrifice de quatre d'entre eux a

confirmé à 100% les sexes préalablement définis (deux femelles et deux mâles). Les analyses protéomiques sont de plus en plus utilisées pour identifier des protéines/peptides d'intérêt (López et al., 2002 ; Sun et al., 2003) qui sont impliquées dans divers processus. Par exemple, un test de sexage similaire à celui de *H. niloticus* a été réalisé sur des individus de *Epinephelus lanceolatus* à partir de prélèvement sanguin et s'est révélé également efficace (Om et al., 2013). A travers des études protéomiques, le statut de reproduction et le degré de maturation sexuelle de plusieurs espèces ovipares ont été évalués en fonction des taux plasmatiques de Vtg (Cohen & Banoub, 2011). Non seulement l'analyse en spectrométrie de masse constitue une approche efficace pour sexer les individus matures de *H. niloticus*, mais aussi les variations de score de Mascot pourraient traduire le degré de maturation des femelles sexées dans la mesure où la Vtg est corrélée au développement de l'ovocyte chez les poissons au cours du cycle de reproduction (Ndiaye et al., 2006 ; Nuñez-Rodríguez et al., 1989 ; Nunez Rodriguez et al., 1997).

5. Conclusion

Les résultats obtenus avec le réseau de télémétrie acoustique utilisé dans cette étude établissent la pertinence d'un tel équipement de télémétrie à ultrasons pour suivre, à des échelles spatiales et temporelles fines, de multiples interactions de poissons dans des environnements confinés et turbides tels que des étangs d'aquaculture. Les premiers résultats présentés ici pour un couple de *A. gigas* fournissent de nouvelles informations sur les mouvements des poissons, l'occupation de l'espace, les interactions mâle-femelle et le comportement reproducteur dans un étang en terre. Ce travail préliminaire sera étendu à l'analyse de toutes les données recueillies sur les 20 poissons (10 mâles et 10 femelles) présents dans l'étang expérimental au cours d'une période de 6 mois.

Il a été démontré que désormais des méthodes peu invasives (à partir de prélèvement sanguin) basées sur la détection de Vtg plasmatique sont disponibles pour sexer des individus matures de *H. niloticus*. Le test du Kit de sexage de *A. gigas* a donné des résultats mitigés et l'anticorps anti Vtg de *O. bicirrhosum* n'est pas adapté non plus. L'anticorps anti Vtg de *A. gigas*, l'anticorps anti Vtg de *H. niloticus* et l'approche protéomique ont permis de déterminer avec succès le sexe de *H. niloticus*. Deux lots de reproducteurs de sexe connu ont pu être constitués ; ce qui permet d'envisager une étude du comportement reproducteur de *H. niloticus* par télémétrie ultrasonique dans les mêmes conditions que celle de *A. gigas*. Le matériel nécessaire à la réalisation de cette expérimentation est en cours d'acquisition en attendant que les poissons sexés atteignent une taille suffisante (>3kg) pour espérer avoir une meilleure résistance à la pose des émetteurs.

Sixième partie

Conclusion générale et perspectives

Conclusion générale et perspectives

Plusieurs approches existent pour étudier les paramètres de reproduction des poissons. Certaines analyses nécessitent le sacrifice pour la dissection des poissons, l'utilisation d'anesthésie souvent préjudiciable à la survie du poisson, ou au contraire l'utilisation de méthodes peu invasives qui préservent la vie des individus. Nous avons privilégié dans le cas de nos travaux, les méthodes peu invasives, basées sur (i) des prélèvements sanguins et de mucus pour la détermination des sexes, (ii) la collecte d'échantillons de nageoires pour des analyses de génétique des populations et (iii) l'étude du comportement de reproducteurs équipés d'émetteurs ultrasoniques. Néanmoins, certaines actions de recherche ont nécessité le sacrifice d'individus, notamment celles qui concernent l'étude des aspects transcriptomiques et protéomiques. Les études réalisées au cours de cette thèse dont l'objectif général est de contribuer à la domestication de *H. niloticus* et *A. gigas* sont résumés dans la **Figure 69**. L'identification et la comparaison des acteurs moléculaires impliqués dans la vitellogenèse et sa régulation a été réalisée chez les 2 espèces sœurs. Le comportement reproducteur de *A. gigas* en captivité a été étudié et chez *H. niloticus* la caractérisation génétique des populations et la mise au point de méthodes de sexage ont été réalisées.

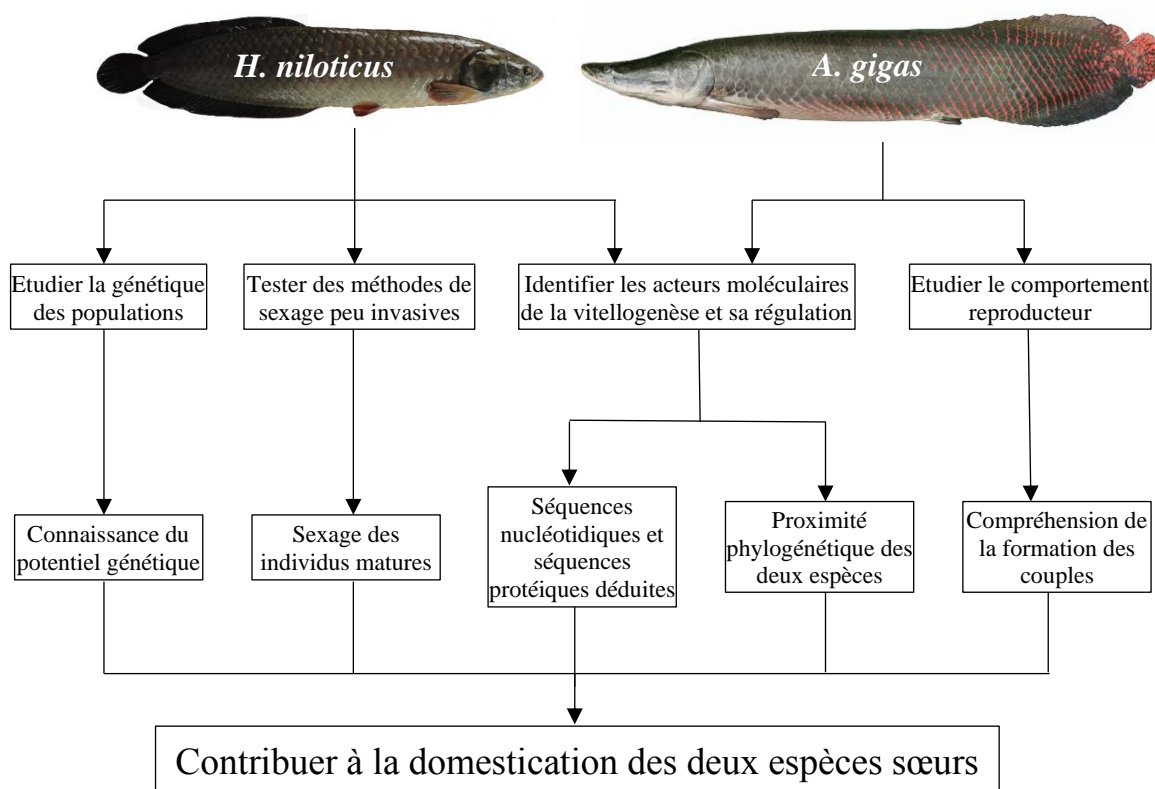


Figure 69 : Etudes réalisées au cours de cette thèse qui contribuent à la domestication de *H. niloticus* et *A. gigas*.

1. *H. niloticus* en Côte d'Ivoire, un poisson d'origine « camerounaise » à faible variabilité génétique ?

Le maintien de ressources génétiques est un gage pour un développement durable des pêcheries et de l'aquaculture des espèces de poissons. La domestication des espèces passe nécessairement par la connaissance du potentiel génétique des populations sauvages et stocks d'élevage présents dans une zone ichthyologique donnée. En Côte d'Ivoire par exemple, *H. niloticus* a été introduit entre 1957 et 1960 et depuis ces introductions, aucune étude n'a été réalisée sur la génétique des populations de poissons sauvages et de pisciculture. Cette thèse s'est alors intéressée à la caractérisation des ressources génétiques d'*Heterotis* qui constitue la deuxième espèce de pisciculture en Côte d'Ivoire et dont les pêcheries sont surexploitées.

Des marqueurs mitochondriaux ont été utilisés pour analyser des échantillons prélevés dans des cours d'eaux et des fermes piscicoles de Côte d'Ivoire, de la Guinée et du Cameroun.

Les résultats ont permis d'identifier 6 haplotypes du gène Cyt b et 2 haplotypes du segment NADH1 (rRNA 16S+tRNA-Leu+NADH1+tRNA-Ile). Malgré l'absence de partage de même haplotype entre le Cameroun et la Côte d'Ivoire, on a pu établir que certains haplotypes observés en Côte d'Ivoire dérivent des haplotypes du Cameroun, traduisant ainsi que l'*Heterotis* de Côte d'Ivoire pourrait avoir une origine « camerounaise ». Il n'est pas aussi exclu qu'un échantillonnage plus important permette de retrouver au Cameroun, les haplotypes observés uniquement en Côte d'Ivoire. Dans le cas contraire, les *Heterotis* de Côte d'Ivoire auraient de multiple origine géographique qu'il faudra rechercher à partir d'échantillonnage dans d'autres bassins versants de l'aire de distribution de l'espèce. Dans l'immédiat, on pourra s'intéresser à l'échantillonnage des *Heterotis* natifs présents dans les bassins versants de pays limitrophes de la Côte d'Ivoire tel que le Burkina Faso qui d'ailleurs a fourni par le passé des alevins aux chercheurs ivoiriens pour ensemercer les cours d'eaux et les piscicultures.

Concernant le niveau de diversité génétique, les analyses des échantillons de Côte d'Ivoire ont montré généralement une absence de différenciation haplotypique entre les stocks de pisciculture et les populations sauvages d'un même bassin. Il pourrait donc avoir des transferts de poissons entre ces deux milieux dans le but d'assurer une production halieutique et aquacole

de cette espèce dont la reproduction n'est pas encore maîtrisée. Entre bassin versant, la différenciation haplotypique est plutôt importante.

Les indices de diversité d'*Heterotis* déterminés pour les échantillons collectés demeurent faibles pour les gènes examinés. Une question mérite donc d'être posée :

Est-ce que l'échantillonnage réalisé est suffisamment représentatif pour conclure que *H. niloticus* constitue une ressource génétiquement faible non seulement en Côte d'Ivoire, mais également dans les stocks d'élevage de la Guinée et dans le bassin du Nyong au Cameroun ?

Il apparaît donc nécessaire d'utiliser un échantillonnage plus important, étendu à d'autres zones pour établir si oui ou non la faible diversité génétique est une caractéristique de *H. niloticus* en Côte d'Ivoire et dans d'autres pays de sa zone de distribution. L'utilisation d'autres marqueurs mitochondriaux telle que la région de contrôle combinés aux microsatellites peut être envisager pour obtenir des informations complémentaires et tenter de mieux connaître les ressources génétiques d'*Heterotis*.

2. Caractérisation et identification des acteurs moléculaires de la vitellogenèse, une étape pour comprendre la physiologie de la reproduction des *Arapaimidae*

La vitellogenèse est un processus important dans la physiologie de la reproduction des espèces ovipares. Elle permet l'incorporation de la Vtg sous formes de protéines vitellines dans les ovocytes pour le développement de l'embryon. Elle fait intervenir l'axe hypothalamo-hypophyso-ovarien ainsi que des organes comme le foie.

Chez les deux espèces étudiées dans cette thèse, les données moléculaires liées à la vitellogenèse et à sa régulation étaient très peu abondantes chez *A. gigas* et totalement inexistantes chez *H. niloticus*. Une combinaison d'approches « omiques » a donc été mise en

œuvre pour caractériser et identifier les neuropeptides régulateurs issus de l'axe hypothalamo-hypophyso-ovarien ainsi que leurs récepteurs au niveau de l'ovaire, les récepteurs du 17 β -estradiol, les différentes Vtg et leur récepteur ovarien.

C'est par une approche basée sur la construction de transcriptomes tissulaires spécifiques, ici l'hypophyse, l'ovaire et le foie, associée à une analyse *in silico* approfondie grâce à divers outils du web et surtout au logiciel Peptraq, que les transcrits ont été extraits. Le logiciel Peptraq a permis la traduction et la filtration des données sur des critères structuraux. Les résultats obtenus sont compilés dans le **Tableau 33**.

Tableau 33 : Acteurs moléculaires de la vitellogenèse et sa régulation identifiés chez *H. niloticus* et *A. gigas*. Les molécules suivies d'un astérisque ont été décrites dans des études antérieures pour *A. gigas*. Les croix, les tirets et les points d'interrogation indiquent respectivement l'identification de la séquence complète, la non identification et l'identification de la séquence incomplète.

	<i>H. niloticus</i>	<i>A. gigas</i>
GP α *	X	X
FSH β *	X	X
FSHR	X	-
LH β *	X	X
LHR	X	-
PRL	X	X
PRLR	X	?
ER α	-	-
ER β	X	X
ER γ	X	-
Vtg hépatique	?	-
Vtg ovarienne	?	-
VLDLR	X	-

Si la plupart des transcrits identifiés ont permis d'obtenir des produits d'expression complets, certains, minoritaires, présentent des séquences partielles ou incomplètement assemblées. Dans ce dernier cas citons la Vtg hépatique d'*Heterotis* dont le domaine phosphatidyl est constitué

d'une série de sérines que l'assembleur TRINITY peine à assembler compte tenu de la répétition du codon AGC. Par ailleurs, il semble que l'ARNm des Vtg ait tendance à se fragmenter au niveau du domaine polysérine de la phosphovitine ; ce qui rend difficile l'assemblage à ce niveau.

Il a été également réalisé une analyse fonctionnelle sur la Vtg présente dans le mucus dont il était suspecté qu'elle puisse jouer un rôle dans la détection olfactive des femelles matures par les mâles. Les tests réalisés sur le mucus en spectrométrie de masse n'ont pas permis de mettre en évidence la capacité de la Vtg ou de ses produits de clivage à diffuser dans le milieu aquatique. Ce qui signifie que le signal chimique qui est suspecté de jouer un rôle dans la formation des couples est sans doute d'une autre nature.

Chez les Cichlides où ces mécanismes ont été bien décrits (Maruska & Fernald, 2012), les mâles libèrent avec l'urine des phéromones sexuelles de structure complexes qui permettent de synchroniser la ponte de 2 ou 3 femelles.

Les résultats obtenus au cours de cette thèse ouvrent des perspectives d'investigation importantes chez les Ostéoglossiformes et permettent désormais d'envisager une exploration fonctionnelle constituée d'approches *in vitro* et *in vivo*, ces dernières étant fondamentales dans un contexte qui s'inscrit dans le développement d'une pisciculture durable et respectueuse de l'environnement. Il s'agira par exemple :

- de suivre les niveaux circulants des neurohormones hypophysaires avec des outils quantitatifs spécifiques tels que l'ELISA ou la spectrométrie de masse ;
- de caractériser l'ensemble du neuropeptidome et d'une façon générale l'ensemble du peptidome régulateur pour faciliter l'interprétation des études physiologiques ;
- d'utiliser des outils moléculaires pour faciliter la formulation d'aliments adaptés aux différentes phases d'élevage.

3. Trois méthodes pour sexer *H. niloticus*, un poisson dépourvu de dimorphisme sexuel

Depuis les premiers essais du développement de la pisciculture de *H. niloticus* en 1955, constituer des couples de reproducteurs pour la production d'alevins est rendu difficile à cause de l'absence de dimorphisme sexuel et de techniques de sexage fiables.

A partir de ces travaux de thèse, le sexe d'individus matures de *H. niloticus* peut être déterminé selon trois techniques mises au point. On a le choix entre l'analyse en spectrométrie de masse et l'utilisation de tests ELISA de l'anticorps anti Vtg de *A. gigas* et de l'anticorps anti Vtg de *H. niloticus*. Le kit de sexage de *A. gigas* et l'anticorps anti Vtg de *O. bicirrhosum* n'ont pas donné de résultats satisfaisants et ne peuvent être recommandés pour sexer des individus matures de *H. niloticus*.

Détection de la Vtg par spectrométrie de masse. Les analyses protéomiques apparaissent de plus en plus comme de puissants outils pour identifier des protéines d'intérêt impliquées dans les processus physiologiques comme la vitellogenèse. Dans un environnement non exposé aux substances mimétiques des œstrogènes naturels, appelés xénoestrogènes, le précurseur des protéines vitellines (la Vtg) sont présents uniquement chez les femelles matures des poissons qui y vivent. Cette caractéristique a été utilisée pour rechercher la Vtg ou ses produits de clivage dans le plasma et le mucus de reproducteurs de *H. niloticus*. Les bases de données transcriptomiques et protéomiques ont donc permis de valider chez *H. niloticus* le sexage des géniteurs par la détection en spectrométrie de masse de Vtg dans le sang et le mucus de femelles matures ou en gamétogenèse. Ces analyses à la fois qualitatives et quantitatives révèlent en outre des niveaux très variables de concentrations en Vtg dans le mucus. On peut donc se poser la question de l'existence d'une corrélation entre la concentration détectée dans le mucus et le stade de maturité. Si cette corrélation est avérée, le stade de maturité pourrait ainsi être déterminé par une méthode non invasive grâce à un simple prélèvement de mucus. De nouvelles investigations sont prévues pour vérifier cette hypothèse chez les 2 espèces étudiées. La Vtg est un biomarqueur intéressant pour le sexage d'espèces ne présentant pas de dimorphismes sexuels évidents.

Anticorps anti Vtg de *A. gigas* / anticorps anti Vtg de *H. niloticus*. Le sexage de *H. niloticus* peut aussi être réalisé en effectuant un dosage plasmatique par ELISA comme celui développé par (Chu-Koo et al., 2009) pour *A. gigas*. L'anticorps anti Vtg de *A. gigas* a été produit spécialement pour sexer des individus matures de cette espèce qui ne présentent pas de dimorphisme sexuel en dehors de la saison de reproduction. En raison de la proximité phylogénétique des deux espèces d'*Arapaimidae*, cet anticorps a été testé sur *H. niloticus* et les résultats obtenus ont permis de différencier les deux sexes pour une dilution au 10000^e de l'anticorps et des dilutions au 1000^e, 5000^e et 10000^e du plasma de *H. niloticus*.

Quant à l'anticorps anti Vtg de *H. niloticus*, il a été produit au cours de cette thèse et a permis de différencier également les deux sexes de *H. niloticus* et non ceux de *A. gigas* malgré leur proximité phylogénétique. Les résultats satisfaisants ont été observés dans les mêmes conditions de dilution que celles de l'anticorps anti Vtg de *A. gigas*. L'anticorps anti Vtg de *H. niloticus* peut être considéré comme très spécifique en attendant que des expérimentations montrent son éventuelle réaction positive avec d'autres Vtg.

Le protocole pour produire ces deux anticorps est facile à mettre en place et l'utilisation de lapins immunisés avec des solutions émulsifiées de Vtg purifiée est autorisée dans les pays de leurs zones de distribution. Les équipements de laboratoire utilisés sont très courants ce qui permet de développer un anticorps spécifique en quelques mois seulement. L'appartenance des deux espèces sœurs à des bassins hydrographiques transcontinentaux (Afrique et Amérique du Sud) milite en faveur de l'anti corps anti Vtg de *H. niloticus* à cause de la disponibilité de plasma sur place pour le produire. En plus, la Vtg de *H. niloticus* semble plus sensible à cet anticorps que ne l'est l'anticorps anti Vtg de *A. gigas*.

Les deux approches – spectrométrie de masse et ELISA – sont complémentaires avec un avantage pour l'ELISA qui est pour l'instant la seule à être adaptée sur le terrain, ce qui n'est évidemment pas possible avec l'autre technique. La spectrométrie de masse possède par contre une sensibilité plus élevée que l'ELISA et permet de facilement discriminer les différentes Vtg quand elles existent, même si elles possèdent certains domaines en commun. Par contre, la mise en œuvre est beaucoup plus lourde avec une préparation d'échantillon plus complexe.

4. Comprendre le comportement reproducteur des *Arapaimidae* en étang de pisciculture, c'est désormais possible

Le développement de l'élevage des espèces de poissons passe par une maîtrise de leur reproduction. Chez *A. gigas*, depuis quelques années, l'absence de dimorphisme sexuel ne constitue plus un obstacle pour différencier les sexes grâce à des méthodes de sexages fiables mises au point. La possibilité de distinguer les individus mâles des femelles en dehors de la saison de reproduction permet de constituer des lots de reproducteurs de sexe ratio 1 : 1 pour étudier le comportement reproducteur. La particularité de cette espèce est que sa reproduction n'est possible pour l'instant que dans des étangs en terre où la turbidité de l'eau ne permet pas des observations directes ou des enregistrements vidéo. A la suite de l'analyse de données préliminaires enregistrées chez un couple formé, une méthodologie de télémétrie acoustique mise en œuvre a montré son efficacité pour suivre le comportement reproducteur de *A. gigas*. Cette méthodologie est maîtrisée et peut être transférée à *H. niloticus* qui se reproduit dans les conditions similaires à celles de *A. gigas*. Le suivi du comportement reproducteur de *H. niloticus* se fera avec des poissons choisis parmi les 59 individus mâtures qui ont pu être sexés par une analyse en spectrométrie de masse. Les équipements nécessaires à la réalisation de cette expérimentation sont en cours d'acquisition.

Septième partie

Références bibliographiques

Références bibliographiques

- Aagaard, M. M., Siersbæk, R., & Mandrup, S. (2011). Biochimica et Biophysica Acta Molecular basis for gene-specific transactivation by nuclear receptors ☆. *Biochimica et Biophysica Acta*, 1812, 824–835. <https://doi.org/10.1016/j.bbadis.2010.12.018>
- Acharjee, A., Chaube, R., & Joy, K. P. (2015). Molecular Cloning and Characterization of the Gonadotropin Subunits GP α , FSH β , and LH β Genes in the Stinging Catfish *Heteropneustes fossilis*: Phylogeny, Seasonal Expression, and Pituitary Localization. *Journal of Experimental Zoology*, 323A, 567–585. <https://doi.org/10.1002/jez.1949>
- Adeyemo, A. O. (2013). Estimation of fillet yield for four tropical freshwater fish species. *Merit Research Journal of Environmental Science and Toxicology*, 1(2), 12–15.
- Adite, A., Winemiller, K. O., & Fiogbe, E. D. (2005). Ontogenetic, seasonal, and spatial variation in the diet of *Heterotis niloticus* (Osteoglossiformes: Osteoglossidae) in the Sô River and Lake Hlan, Benin, West Africa. *Environmental Biology of Fishes*, 73, 367–378. <https://doi.org/10.1007/s10641-004-5563-9>
- Adite, A., Winemiller, K. O., & Fiogbe, E. D. (2006). Population structure and reproduction of the African bonytongue *Heterotis niloticus* in the So River-floodplain system (West Africa): implications for management. *Ecology of Freshwater Fish*, 15(1), 30–39. <https://doi.org/10.1111/j.1600-0633.2005.00119.x>
- Agulleiro, M. J., André, M., Morais, S., Cerdà, J., & Babin, P. J. (2007). High Transcript Level of Fatty Acid-Binding Protein 11 but Not of Very Low-Density Lipoprotein Receptor Is Correlated to Ovarian Follicle Atresia in a Teleost Fish (*Solea senegalensis*). *Biology of Reproduction*, 77(3), 504–516. <https://doi.org/10.1095/biolreprod.107.061598>
- Akinneye, J. O., Amoo, I. A., & Arannilewa, S. T. (2007). Effect of Drying Methods on the Nutritional Composition of Three Species of Fish (*Bonga* sp. *Sardinella* sp. and *Heterotis niloticus*). *Journal of Fisheries International*, 2(1), 99–103. <https://doi.org/jfish.2007.99.103>
- Alarcón, J. A., Magoulas, A., Georgakopoulos, T., Zouros, E., & Alvarez, M. C. (2004).

- Genetic comparison of wild and cultivated European populations of the gilthead sea bream (*Sparus aurata*). *Aquaculture*, 230(1–4), 65–80. [https://doi.org/10.1016/S0044-8486\(03\)00434-4](https://doi.org/10.1016/S0044-8486(03)00434-4)
- An, H. S., Hong, S. W., Lee, J. U., Park, J. Y., & Kim, K.-K. (2010). Genetic diversity of wild and farmed black sea bream populations in Jeju. *Animal Cells and Systems*, 14(1), 37–44. <https://doi.org/10.1080/19768351003765020>
- Aquadro, C., & Greenberg, B. D. (1983). Human mitochondrial DNA variation and evolution : analysis of nucleotide sequences from seven individuals. *Genetics*, 103, 287–312.
- Aranda, A., & Pascual, A. (2001). Nuclear hormone receptors and gene expression. *Physiological Reviews*, 81(3), 1269–1304. <https://doi.org/0031-9333/01>
- Arantes, C. C., Castello, L., Cetra, M., & Schilling, A. (2013). Environmental influences on the distribution of arapaima in Amazon floodplains. *Environmental Biology of Fishes*, 96(10–11), 1257–1267. <https://doi.org/10.1007/s10641-011-9917-9>
- Arantes, C. C., Castello, L., Stewart, D. J., Cetra, M., & Queiroz, H. L. (2010). Population density, growth and reproduction of arapaima in an Amazonian river-floodplain. *Ecology of Freshwater Fish*, 19(3), 455–465. <https://doi.org/10.1111/j.1600-0633.2010.00431.x>
- Arao, Y., & Korach, K. S. (2008). The F domain of estrogen receptor alpha is involved in species-specific , tamoxifen-mediated transactivation. *Molecular and Cellular Endocrinology*, 195(1–2), 94–100. <https://doi.org/10.1074/jbc.RA117.001212>
- Araripe, J., Rêgo, P. S. do, Queiroz, H., Sampaio, I., & Schneider, H. (2013). Dispersal Capacity and Genetic Structure of *Arapaima gigas* on Different Geographic Scales Using Microsatellite Markers. *PLoS ONE*, 8(1), e54470. <https://doi.org/10.1371/journal.pone.0054470>
- Arthofer, W., Heussler, C., Krapf, P., Schlick-Steiner, B. C., & Steiner, F. M. (2018). Identifying the minimum number of microsatellite loci needed to assess population genetic structure: A case study in fly culturing. *Fly*, 12(1), 13–22. <https://doi.org/10.1080/19336934.2017.1396400>

- Arukwe, A., & Røe, K. (2008). Molecular and cellular detection of expression of vitellogenin and zona radiata protein in liver and skin of juvenile salmon (*Salmo salar*) exposed to nonylphenol. *Cell and Tissue Research*, *331*(3), 701–712.
<https://doi.org/10.1007/s00441-007-0543-y>
- Audet-Walsh, É., & Giguère, V. (2015). The multiple universes of estrogen-related receptor α and γ in metabolic control and related diseases. *Acta Pharmacologica Sinica*, *36*, 51–61.
<https://doi.org/10.1038/aps.2014.121>
- Avarre, J. C., Lubzens, E., & Babin, P. J. (2007). Apolipoprotein, formerly vitellogenin, is the major egg yolk precursor protein in decapod crustaceans and is homologous to insect apolipoprotein II/I and vertebrate apolipoprotein B. *BMC Evolutionary Biology*, *7*, 1–10.
<https://doi.org/10.1186/1471-2148-7-3>
- Avise, J. C. (2009). Phylogeography: Retrospect and prospect. *Journal of Biogeography*, *36*(1), 3–15. <https://doi.org/10.1111/j.1365-2699.2008.02032.x>
- Avise, J. C. (2010). Perspective : conservation genetics enters the genomics era. *Conservation Genetics*, *11*, 665–669. <https://doi.org/10.1007/s10592-009-0006-y>
- Avise, J. C., Arnold, J., Ball, R. M., Bermingham, E., Lamb, T., Neigel, J. E., ... Saunders, N. C. (1987). Intraspecific Phylogeography: The Mitochondrial DNA Bridge Between Population Genetics and Systematics. *Annual Review of Ecology and Systematics*, *18*(1), 489–522. <https://doi.org/10.1146/annurev.es.18.110187.002421>
- Avise, J. C., Arnold, J., Ball, R. M., Bermingham, E., Neigel, J. E., Reeb, C. A., & Saunders, N. C. (2008). Intraspecific Phylogeography : The Mitochondrial DNA Bridge Between Population Genetics and Systematics. *Annual Review of Ecology and Systematics*, *18*(1987), 489–522.
- Baillard, J. W. O., & Whitlock, M. C. (2004). The incomplete natural history of mitochondria. *Molecular Ecology*, *13*, 729–744. <https://doi.org/10.1046/j.1365-294X.2003.02063.x>
- Bajari, T. M., Lindstedt, K. A., Riepl, M., Mirsky, V. M., Nimpf, J., Wolfbeis, O. S., ... Schneider, W. J. (1998). A minimal binding domain of the low density lipoprotein receptor family. *Biological Chemistry*, *379*(8–9), 1053–1062.

- Baker, A. J., Piersma, T., & Rosenmeier, L. (1994). Unraveling the Intraspecific Phylogeography of Knots *Calidris canutus* : a Progress Report on the Search for Genetic Markers. *Journal of Ornithology*, *135*, 599–608.
- Baktoft, H., Zajicek, P., Klefoth, T., Svendsen, J. C., Jacobsen, L., Pedersen, M. W., ... Arlinghaus, R. (2015). Performance Assessment of Two Whole-Lake Acoustic Positional Telemetry Systems - Is Reality Mining of Free-Ranging Aquatic Animals Technologically Possible ? *PLoS ONE*, *10*, e0126534.
<https://doi.org/10.5061/dryad.24bg4>
- Balland, P., & Roux, A. (2005). Pêche et gestion piscicole en Guyane. *Ministère de L'écologie et Du Développement Durable. Rapport de L'inspection Générale de L'environnement*, 1–55.
- Bandelt, H.-J., Forster, P., & Rohlf, A. (1999). Median-Joining Networks for Inferring Intraspecific Phylogenies. *Molecular Biology*, *16*(1), 37–48.
<https://doi.org/10.1093/oxfordjournals.molbev.a026036>
- Bard, J. (1973). Les poissons de la famille des osteoglossidae et la pisciculture. *Revue Bois et Forêts Des Tropiques*, *147*, 63–73.
- Bard, J., & Imbiriba, E. P. (1985). Pisciculture du Pirarucu. *Bois et Forêts Des Tropiques*, *209*, 83–89.
- Bard, J., & Imbiriba, E. P. (1986). Piscicultura do pirarucu, *Arapaima gigas*. *Series Documentos - Circular Técnica*, *52*, 17.
- Bauchot, R., Ridet, J.-M., & Diagne, M. (1993). The epibranchial organ, its innervations and its probable functioning in *Heterotis niloticus* (Pisces, Teleostei, Osteoglossidae). *Environmental Biology of Fishes*, *37*, 307–315.
- Baudiffier, D. (2012). Modes de perturbation de la stéroïdogénèse testiculaire et de la spermatogénèse chez le poisson zèbre (*Danio rerio*) par des fongicides azolés. *Thèse de Doctorat. Université de Rennes 1*, 1–178.
- Baumann, L., Holbech, H., Keiter, S., Kinnberg, K. L., Knörr, S., Nagel, T., & Braunbeck, T. (2013). The maturity index as a tool to facilitate the interpretation of changes in vitellogenin production and sex ratio in the Fish Sexual Development Test. *Aquatic*

Toxicology, 128–129, 34–42. <https://doi.org/10.1016/j.aquatox.2012.11.016>

- Begout, M., & Lagardere, J. (1995). An acoustic telemetry study of seabream (*Sparus aurata* L.): first results on activity rhythm, effects of environmental variables and space utilization. *Hydrobiologia*, 300/301, 417–423.
- Bennetau-Pelissero, C., Latonnelle, K. G., Lamothe, V., Shinkaruk-Poix, S., & Kaushik, S. J. (2004). Screening for oestrogenic activity of plant and food extracts using in vitro trout hepatocyte cultures. *Phytochemical Analysis*, 15(1), 40–45.
<https://doi.org/10.1002/pca.741>
- Bernacsek, G. M., & Powles, H. (1992). Potentialités piscicoles des écosystèmes fluvio-lacustres de la Côte d’Ivoire. *Centre de Recherche Pour Le Développement International*, 1–426.
- Betancur-R, R., Wiley, E. O., Arratia, G., Acero, A., Bailly, N., Miya, M., ... Ortí, G. (2017). Phylogenetic classification of bony fishes. *BMC Evolutionary Biology*, 17(1), 162.
<https://doi.org/10.1186/s12862-017-0958-3>
- Bhanu, S. V., & Philip, B. (2011). Effect of ethanol on branchial adenosine triphosphatases in *Oreochromis mossambicus* (Peters). *Toxicology International*, 18(1), 27.
<https://doi.org/10.4103/0971-6580.75849>
- Birky, C. W., Fuerst, P., & Maruyamat, T. (1989). Organelle Gene Diversity Under Migration, Mutation, and Drift: Equilibrium Expectations, Approach to Equilibrium, Effects of Heteroplasmic Cells, and Comparison to Nuclear Gen. *Genetics*, 121, 613–627.
- Birky, C. W., Maruyama, T., & Fuerst, P. (1983). An approach to population and evolutionary genetic theory for genes in mitochondria and chloroplasts, and some results. *Genetics*, 103(3), 513–527.
- Boettcher, P. J., Tixier-Boichard, M., Toro, M. A., Simianer, H., Eding, H., Gandini, G., ... Ajmone-Marsan, P. (2010). Objectives, criteria and methods for using molecular genetic data in priority setting for conservation of animal genetic resources. *Animal Genetics*, 41(SUPPL. 1), 64–77. <https://doi.org/10.1111/j.1365-2052.2010.02050.x>
- Bony, K. Y., Avit, J.-B. L. F., Gouan, C., Konan, K. F., Kouadio, K. C., & Yté, W. (2015).

- Environmental parameters for the production of juveniles African bonytongue, *Heterotis niloticus* (Cuvier, 1829) in rice-fish pond. *European Journal of Zoological Research*, 4(1), 12–18.
- Boore, J. L. (1999). Animal mitochondrial genomes. *Nucleic Acids Research*, 27(8), 1767–1780.
- Borella, M. I., Venturieri, A. R., & Mancera, A. J. M. (2009). Immunocytochemical identification of adenohypophyseal cells in the pirarucu (*Arapaima gigas*), an Amazonian basal teleost. *Fish Physiology and Biochemistry*, 35, 3–16. <https://doi.org/10.1007/s10695-008-9254-x>
- Boursot, P., & Bonhomme, F. (1986). Génétique et évolution du génome mitochondrial des Métazoaires. *Génétique, Sélection, Evolution*, 18(1), 73–98. <https://doi.org/10.1186/1297-9686-18-1-73>
- Bousfield, G. R., & Dias, J. A. (2011). Synthesis and secretion of gonadotropins including structure-function correlates. *Reviews in Endocrine and Metabolic Disorders*, (12), 289–302. <https://doi.org/10.1007/s11154-011-9191-3>
- Braford, M. R. (1986). De Gustibus Non Est Disputandum: A Spiral Center for Taste in the Brain of the Teleost Fish, *Heterotis niloticus*. *Science (New York, N.Y.)*, 232(4749), 489–491. <https://doi.org/10.1126/science.232.4749.489>
- Brander, S. M., Cole, B. J., & Cherr, G. N. (2012). An approach to detecting estrogenic endocrine disruption via choriogenin expression in an estuarine model fish species. *Ecotoxicology*, 21(4), 1272–1280. <https://doi.org/10.1007/s10646-012-0879-2>
- Brauner, C. J., Matey, V., Wilson, J. M., Bernier, N. J., & Val, A. L. (2004). Transition in organ function during the evolution of air-breathing; insights from *Arapaima gigas*, an obligate air-breathing teleost from the Amazon. *Journal of Experimental Biology*, 207(9), 1433–1438. <https://doi.org/10.1242/jeb.00887>
- Bray, N. L., Pimentel, H., Melsted, P., & Pachter, L. (2016). Near-optimal RNA-Seq quantification. *Nature Biotechnology*, 34(5), 525–527.
- Brooks, C. L. (2012). Molecular Mechanisms of Prolactin and Its Receptor. *Endocrine Reviews*, 33(4), 504–525. <https://doi.org/10.1210/er.2011-1040>

- Brummett, R. E., Lazard, J., & Moehl, J. (2008). African aquaculture: Realizing the potential. *Food Policy*, *33*(5), 371–385. <https://doi.org/10.1016/j.foodpol.2008.01.005>
- Bry, C., Billard, R., & De Montalembert, G. (1978). Induction de la maturation ovocytaire et de l'ovulation par traitement hormonal chez le brochet (*Esox lucius*). *Bulletin Français de Pisciculture*, *271*, 21–32. <https://doi.org/10.1051/kmae:1978003>
- Bryan, J. L., Wildhaber, M. L., Papoulias, D. M., Delonay, A. J., Tillitt, D. E., & Annis, M. L. (2007). Estimation of gonad volume, fecundity, and reproductive stage of shovelnose sturgeon using sonography and endoscopy with application to the endangered pallid sturgeon. *Journal of Applied Ichthyology*, *23*(4), 411–419. <https://doi.org/10.1111/j.1439-0426.2007.00889.x>
- Bryant, D. M., Johnson, K., Di Tommaso, T., Tickle, T., Couger, B. M., Payzin-Dogru, D., ... Whited, J. L. (2017). A tissue-mapped axolotl de novo transcriptome enables identification of limb regeneration factors. *Cell Reports*, *18*(3), 762–776. <https://doi.org/10.1016/j.celrep.2016.12.063.A>
- Bu, G., Liang, X., Li, J., & Wang, Y. (2015). General and Comparative Endocrinology Extra-pituitary prolactin (PRL) and prolactin-like protein (PRL-L) in chickens and zebrafish. *General and Comparative Endocrinology*, *220*, 143–153. <https://doi.org/10.1016/j.ygcen.2015.02.001>
- Buathong, S., Leelayoova, S., Mungthin, M., Naaglor, T., Taamasri, P., Suwannahitatorn, P., & Tan-ariya, P. (2015). Development and evaluation of PCR methods based on cytochrome c oxidase subunit one (cox1) and NADH dehydrogenase subunit one gene (nad1) to detect *Opisthorchis viverrini* in human fecal samples. *Parasitology Research*, *114*(9), 3547–3549. <https://doi.org/10.1007/s00436-015-4640-7>
- Bulukin, E., Meucci, V., Minunni, M., Pretti, C., Intorre, L., Soldani, G., & Mascini, M. (2007). An optical immunosensor for rapid vitellogenin detection in plasma from carp (*Cyprinus carpio*). *Talanta*, *72*(2), 785–790. <https://doi.org/10.1016/j.talanta.2006.12.007>
- Carreiro, C. R. P., Furtado-Neto, M. A. D. A., Mesquita, P. E. C., & Bezerra, T. A. (2011). Sex determination in the Giant fish of Amazon Basin, *Arapaima gigas* (Osteoglossiformes, Arapaimatidae), using laparoscopy. *Acta Amazonica*, *41*(3), 415–

419. <https://doi.org/10.1590/S0044-59672011000300012>

- Carrera, E., Renshaw, M. A., Winemiller, K. O., & Hurtado, L. A. (2011). Isolation and characterization of nuclear-encoded microsatellite DNA primers for the African bonytongue, *Heterotis niloticus*. *Conservation Genetics Resources*, 3(3), 537–539. <https://doi.org/10.1007/s12686-011-9398-3>
- Carvajal-Vallejos, F. M., Van Damme, P. A., Cordova, L., & Coca, C. (2011). La introducción de *Arapaima gigas* (paiche) en la amazonía boliviana. In *Los peces y delfines de la Amazonía boliviana: hábitats, potencialidades y amenazas* (pp. 367–396).
- Carvalho, F. R., Casatti, L., Manzotti, A. R., & Ravazzi, D. C. W. (2015). First record of *Arapaima gigas* (Schinz, 1822) (teleostei: Osteoglossomorpha), the “pirarucu”, in the upper paraná river basin, southeast Brazil. *Check List*, 11(5), 9–12. <https://doi.org/10.15560/11.5.1729>
- Castellanos-Gell, J. (2012). Structure génétique des populations de trois espèces de poissons de récifs cubains : *Stegastes partitus*, *Haemulon flavolineatum* et *Acanthurus tractus*. *Thèse de Doctorat. Université Paris-Sud 11*, 1–138.
- Castellanos-Gell, J., Robainas-Barcia, A., Casane, D., Chevalier-Monteagudo, P., Pina-Amargós, F., & García-Machado, E. (2012). The surgeonfish, *Acanthurus bahianus*, has crossed the Amazon-Orinoco outflow barrier. *Marine Biology*, 159(7), 1561–1565. <https://doi.org/10.1007/s00227-012-1942-5>
- Castello, L. (2004). A Method to Count Pirarucu *Arapaima gigas* : Fishers, Assessment, and Management. *North American Journal of Fisheries Management*, 24(2), 379–389. <https://doi.org/10.1577/M02-024.1>
- Castello, L. (2008a). Lateral migration of *Arapaima gigas* in floodplains of the Amazon. *Ecology of Freshwater Fish*, 17(1), 38–46. <https://doi.org/10.1111/j.1600-0633.2007.00255.x>
- Castello, L. (2008b). Nesting habitat of *Arapaima gigas* (Schinz) in Amazonian floodplains. *Journal of Fish Biology*, 72(6), 1520–1528. <https://doi.org/10.1111/j.1095-8649.2007.01778.x>
- Castello, L., Arantes, C. C., Mcgrath, D. G., Stewart, D. J., & De Sousa, F. S. (2015).

- Understanding fishing-induced extinctions in the Amazon. *Aquatic Conservation: Marine and Freshwater Ecosystems*, 25(5), 447–458. <https://doi.org/10.1002/aqc.2491>
- Castello, L., & Stewart, D. J. (2010). Assessing CITES non-detriment findings procedures for Arapaima in Brazil. *Journal of Applied Ichthyology*, 26(1), 49–56. <https://doi.org/10.1111/j.1439-0426.2009.01355.x>
- Ceapa, C., Williot, P., Le Menn, F., & Davail-Cuisset, B. (2002). Plasma sex steroids and vitellogenin levels in stellate sturgeon (*acipenser stellatus* Pallas) during spawning migration in the Danube River. *Journal of Applied Ichthyology*, 18(4–6), 391–396. <https://doi.org/10.1046/j.1439-0426.2002.00370.x>
- Celius, T., & Walther, B. T. (1998). Oogenesis in Atlantic salmon (*Salmo salar* L.) occurs by zonagenesis preceding vitellogenesis in vivo and in vitro. *Journal of Endocrinology*, 158(2), 259–266. <https://doi.org/10.1677/joe.0.1580259>
- Chang, D. D., & Clayton, D. A. (1986). Identification of primary transcriptional start sites of mouse mitochondrial DNA: accurate in vitro initiation of both heavy- and light-strand transcripts. *Molecular and Cellular Biology*, 6(5), 1446–1453. <https://doi.org/10.1128/MCB.6.5.1446.Updated>
- Chatakondi, N. G., & Kelly, A. M. (2013). Oocyte Diameter and Plasma Vitellogenin as Predictive Factors to Identify Potential Channel Catfish, *Ictalurus punctatus*, Suitable for Induced Spawning. *Journal of the World Aquaculture Society*, 44(1), 115–123. <https://doi.org/10.1111/jwas.12001>
- Chen, Q., Takahashi, Y., Oka, K., & Ma, J. (2016). Functional Differences of Very-Low-Density Lipoprotein Receptor Splice Variants in Regulating Wnt Signaling. *Molecular and Cellular Biology*, 36(20), 2645–2654. <https://doi.org/10.1128/MCB.00235-16.Address>
- Choi, C. Y., & Habibi, H. R. (2003). Molecular cloning of estrogen receptor alpha and expression pattern of estrogen receptor subtypes in male and female goldfish. *Molecular and Cellular Endocrinology*, 204(1–2), 169–177. <https://doi.org/S030372070200182X> [pii]
- Chu-Koo, F., Dugué, R., Alván Aguilar, M., Casanova Daza, A., Alcántara Bocanegra, F., Chávez Veintemilla, C., ... Nuñez, J. (2009). Gender determination in the Paiche or

- Pirarucu (*Arapaima gigas*) using plasma vitellogenin, 17 β -estradiol, and 11-ketotestosterone levels. *Fish Physiology and Biochemistry*, 35(1), 125–136.
<https://doi.org/10.1007/s10695-008-9211-8>
- Chung-Davidson, Y. W., Huertas, M., & Li, W. (2011). A Review of Research in Fish Pheromones. *Chemical Communication in Crustaceans*, 467–482.
<https://doi.org/10.1007/978-0-387-77101-4>
- CITES. (2018). *Arapaima gigas*. Retrieved March 8, 2018, from
https://www.cites.org/eng/gallery/species/fish/arapaima_gigas.html
- Cohen, A. M., & Banoub, J. H. (2011). Detection of Biological Agents for the Prevention of Bioterrorism. In J. Banoub (Ed.), *Detection of biological agents for the prevention of bioterrorism* (pp. 301–318). <https://doi.org/10.1007/978-90-481-9815-3>
- Cooke, S. J., Midwood, J. D., Thiem, J. D., Klimley, P., Lucas, M. C., Thorstad, E. B., ... Ebner, B. C. (2013). Tracking animals in freshwater with electronic tags : past , present and future. *Animal Biotelemetry*, 1, 5.
- Couse, J. F., Lindzey, J., Grandien, K. A. J., Gustafsson, J.-åke, & Korach, K. S. (1997). Tissue Distribution and Quantitative Analysis of Estrogen Receptor- α (ER α) and Estrogen Receptor- β (ER β) Messenger Ribonucleic Acid in the Wild-Type and ER α -Knockout Mouse. *Endocrinology*, 138(11), 4613–4621.
- Cowley, S. M., Hoare, S., Mosselman, S., & Parker, M. G. (1997). Estrogen Receptors alpha and beta Form Heterodimers on DNA *. *Journal of Biological Chemistry*, 272(32), 19858–19862.
- Cox, C. B. (1974). Vertebrate palaeodistributional patterns and continental drift. *Journal of Biogeography*, 1(2), 75–94.
- Da Costa, K. S., Gourène, G., Tito De Morais, L., & Van Den Audenaerde, D. F. E. T. (2000). Caractérisation des peuplements ichtyologiques de deux fleuves cotiers Ouest-Africains soumis a des aménagements hydroagricoles et hydroélectriques. *Vie et Milieu*, 50(2), 65–77.
- Da Costa, K. S., Traoré, K., & Tito De Morais, L. (1998). Effort de pêche et production exploitée dans les petites retenues du Nord de la Côte d’Ivoire. *Bull. Fr. Pêche Piscic*,

348, 65–78.

- Dabbadie, L. (2002). Le pirarucu *Arapaima gigas* (Pisces, Osteoglossidae) : biologie, écologie et exploitation. *Formation CIRAD*, 1–12.
- DAP. (2016a). Suivi des débarquements de la pêche continentale et lagunaire en Côte d'Ivoire. *Bulletin Statistique de La Direction de l'Aquaculture et Des Pêches*, 2, 1–24.
- DAP. (2016b). Suivi des débarquements de la pêche continentale et lagunaire en Côte d'Ivoire. *Bulletin Statistique de La Direction de l'Aquaculture et Des Pêches*, 4, 1–24.
- DAP. (2016c). Suivi des débarquements de la pêche continentale et lagunaire en Côte d'Ivoire. *Bulletin Statistique de La Direction de l'Aquaculture et Des Pêches*, 3, 1–24.
- DAP. (2016d). Suivi des débarquements de la pêche continentale et lagunaire en Côte d'Ivoire. *Bulletin Statistique de La Direction de l'Aquaculture et Des Pêches*, 5, 1–24.
- DCH. (1979). *Annuaire hydrographique de Côte d'ivoire* (Ministère). Abidjan, Côte d'Ivoire.
- Depierre, D., & Vivien, J. (1977). Une réussite du service forestier du Cameroun: L'introduction d'*Heterotis niloticus* dans le Nyong. *Bois et Forêts Des Tropiques*, 173, 59–68.
- Dettai, A., Gallut, C., Brouillet, S., Pothier, J., Lecointre, G., & Debruyne, R. (2012). Conveniently Pre-Tagged and Pre-Packaged: Extended Molecular Identification and Metagenomics Using Complete Metazoan Mitochondrial Genomes. *PLoS ONE*, 7(12), e51263. <https://doi.org/10.1371/journal.pone.0051263>
- Devlin, R. H., & Nagahama, Y. (2002). Sex determination and sex differentiation in fish: an overview of genetic, physiological, and environmental influences. *Aquaculture*, 208(3–4), 191–364. [https://doi.org/10.1016/S0044-8486\(02\)00057-1](https://doi.org/10.1016/S0044-8486(02)00057-1)
- DeWoody, J. A., & Avise, J. C. (2000). Microsatellite variation in marine, freshwater and anadromous fishes compared with other animals. *Journal of Fish Biology*, 56, 461–473. <https://doi.org/10.1006/jfbi.1999.1210>
- Dominguez, G. A., Bisesi, J. H., Kroll, K. J., Denslow, N. D., & Sabo-Attwood, T. (2014).

- Control of Transcriptional Repression of the Vitellogenin Receptor Gene in Largemouth Bass (*Micropterus Salmoides*) by Select Estrogen Receptors Isotypes. *Toxicological Sciences*, *141*(2), 423–431. <https://doi.org/10.1093/toxsci/kfu145>
- Dominguez, G. A., Quattro, J. M., Denslow, N. D., Kroll, K. J., Prucha, M. S., Porak, W. F., ... Sabo-Attwood, T. L. (2012). Identification and Transcriptional Modulation of the Largemouth Bass, *Micropterus salmoides*, Vitellogenin Receptor During Oocyte Development by Insulin and Sex Steroids¹. *Biology of Reproduction*, *87*(3), 1–12. <https://doi.org/10.1095/biolreprod.112.099812>
- Doudet, T. (1979). La Pêche artisanale dans la retenue artificielle d’Ayamé (Côte-d’Ivoire). *Bois et Forêts Des Tropiques*, *185*, 57–70.
- Doyle, J., & Doyle, J. (1987). A rapid DNA isolation procedure for small quantities of fresh leaf tissue. *Phytochem Bull*, *19*, 11–15. Retrieved from <https://ci.nii.ac.jp/naid/10021087108>
- Dugué, R., Chu Koo, F., Alcántara Bocanegra, F., Duponchelle, F., Renno, J. F., & Nuñez, J. (2008). Purification and assay of *Arapaima gigas* vitellogenin : Potential use for sex determination by. *Cybium*, *32*(2), 111.
- Duvernell, D. D., Lindmeier, J. B., Faust, K. E., & Whitehead, A. (2008). Relative influences of historical and contemporary forces shaping the distribution of genetic variation in the Atlantic killifish , *Fundulus heteroclitus*. *Molecular Ecology*, *17*, 1344–1360. <https://doi.org/10.1111/j.1365-294X.2007.03648.x>
- Edoghotu, A. J., & Hart, I. A. (2014). Feeding Habit of *Heterotis niloticus* of Kugbo Creek in Niger Delta, Nigeria. *IOSR Journal of Environmental Science, Toxicology and Food Technology (IOSR-JESTFT)*, *8*(10), 26–29. Retrieved from www.iosrjournals.org
- Edwards, A. L., Hammond, H. A., Jin, L., Caskey, T., & Chakraborty, R. (1992). Genetic Variation at Five Trimeric and Tetrameric Tandem Repeat Loci in Four Human Population Groups chromosomes. *Genomics*, *12*, 241–253.
- Edwards, C. E., Soltis, D. E., & Soltis, P. S. (2008). Using patterns of genetic structure based on microsatellite loci to test hypotheses of current hybridization , ancient hybridization and incomplete lineage sorting in *Conradina* (*Lamiaceae*). *Molecular Ecology*, *17*, 5157–5174. <https://doi.org/10.1111/j.1365-294X.2008.03985.x>

- Ekanem, A. P., Ndome, C. B., & Osuagwu, M. N. (2010). Techniques in the improvement of consumers' taste of *Heterotis niloticus*. *African Journal of Food Science*, 4(10), 676–678.
- Excoffier, L., & Lischer, H. E. L. (2010). Arlequin suite ver 3.5: a new series of programs to perform population genetics analyses under Linux and Windows. *Molecular Ecology Resources*, 10(3), 564–567. <https://doi.org/10.1111/j.1755-0998.2010.02847.x>
- Excoffier, L., & Slatkin, M. (1995). Maximum-likelihood estimation of molecular haplotype frequencies in a diploid population. *Molecular Biology and Evolution*, 12(5), 921–927. <https://doi.org/10.1093/oxfordjournals.molbev.a040269>
- Ezekiel, E. N., & Abowei, J. F. N. (2013). Length-Weight Relationship and Condition Factor of *Heterotis niloticus* from Amassoma flood plain , Niger Delta , Nigeria . *Applied Science Report*, 4(1), 164–172.
- Faria, M. T., Carvalho, R. F., Sevilhano, T. C. A., Oliveira, N. A. J., Silva, C. F. P., Oliveira, J. E., ... Bartolini, P. (2013). Isolation of the pituitary gonadotrophic α -subunit hormone of the giant amazonian fish: Pirarucu (*Arapaima gigas*). *Fish Physiology and Biochemistry*, 39(3), 683–693. <https://doi.org/10.1007/s10695-012-9730-1>
- Farias, I. P., Hrbek, T., Brinkmann, H., Sampaio, I., & Meyer, A. (2003). Characterization and isolation of DNA microsatellite primers for *Arapaima gigas* , an economically important but severely over-exploited fish species of the Amazon basin. *Molecular Ecology Notes*, 3, 128–130. <https://doi.org/10.1046/j.1471-8286>
- Farias, I. P., Leão, A., Almeida, Y. S., Verba, J. T., Crossa M., M., Honczaryk, A., & Hrbek, T. (2015). Evidence of polygamy in the socially monogamous Amazonian fish *Arapaima gigas* (Schinz, 1822) (Osteoglossiformes, Arapaimidae). *Neotropical Ichthyology*, 13(1), 195–204. <https://doi.org/10.1590/1982-0224-20140010>
- Feng, W., Matzuk, M. M., Mountjoy, K., Bedows, E., Ruddon, R. W., & Boime, I. (1995). Ethe Asparagine-linked Oligosaccharides of the Human Chorionic Gonadotropin β Subunit Facilitate Correct Disulfide Bond Pairing. *Journal of Biological Chemistry*, 270(20), 11851–11859.
- Finn, R. N. (2007). Vertebrate Yolk Complexes and the Functional Implications of Phosvitins and Other Subdomains in Vitellogenins1. *Biology of Reproduction*, 76(6), 926–935.

<https://doi.org/10.1095/biolreprod.106.059766>

- Finn, R. N., & Kristoffersen, B. A. (2007). Vertebrate vitellogenin gene duplication in relation to the “3R hypothesis”: Correlation to the pelagic egg and the oceanic radiation of teleosts. *PLoS ONE*, 2(1), e169. <https://doi.org/10.1371/journal.pone.0000169>
- Flores, H. G. (1980). Desarrollo sexual del paiche (*Arapaima gigas*) en mas zonas reservadas del estado (ríos Pacaya y Samiria) 1971-1975. *Inf. Inst. Mar*, 67, 1–14.
- Ford, P. (2017). Les Pirarucus de Mamirauá. *Voyages de Pêche*, 54–62.
- Fox, J. (2005). The R Commander. *Journal of Statistical Software*, 14(9), 1–42.
- Freeman, M. E., Kanyicska, B., Lerant, A., & Nagy, G. (2000). Prolactin: Structure, function, and regulation of secretion. *Physiological Reviews*, 80(4), 1523–1631. <https://doi.org/10.1016/B978-012515400-0/50037-3>
- Fujita, T., Scott, A. P., Katsiadaki, Ioanna, Amano, H., Hong, L., Hiramatsu, N., ... Hara, A. (2009). Purification of Multiple Precursors for Egg Chorion Proteins in Atlantic Cod (*Gadus morhua*). *Zoological Science*, 26(12), 870–877. <https://doi.org/10.2108/zsj.26.870>
- Fujita, T., Shimizu, M., Hiramatsu, N., Fukada, H., & Hara, A. (2002). Purification of serum precursor proteins to vitelline envelope (choriogenins) in masu salmon, *Oncorhynchus masou*. *Comparative Biochemistry and Physiology - B Biochemistry and Molecular Biology*, 132(3), 599–610. [https://doi.org/10.1016/S1096-4959\(02\)00075-1](https://doi.org/10.1016/S1096-4959(02)00075-1)
- Galdames-portus, M. I., Noble, R. W., Farmer, M., Powers, D. A., Riggs, A., Brunori, M., ... Fyhn, U. E. H. (1978). Studies of the functional properties of the hemoglobins of *Osteoglossum bicirrhosum* an *Arapaima gigas*. *Comparative Biochemistry and Physiology*, 62A, 145–154. Retrieved from http://ac.els-cdn.com/0300962979907473/1-s2.0-0300962979907473-main.pdf?_tid=935954a8-937b-11e7-a459-00000aab0f27&acdnat=1504754642_b84e6a73670ba375b84b8c2272586223
- Gao, X. M., Zhou, Y., Zhang, D. D., Hou, C. C., & Zhu, J. Q. (2019). Multiple vitellogenin genes (vtgs) in large yellow croaker (*Larimichthys crocea*): molecular characterization and expression pattern analysis during ovarian development. *Fish Physiology and Biochemistry*, 45, 829–848. <https://doi.org/10.1007/s10695-018-0569-y>

- Garcia-Davila, C., Castro-Ruiz, D., Chota-Macuyama, W., Biffi, C., Deza, S., Bazan, R., ... Renno, J.-F. (2011). Caracterización genética de ejemplares de paiche *Arapaima gigas* (cuvier, 1829) utilizados en el repoblamiento del lago Imiria (cuenca del río Ucayali). *Folia Amazónica*, 20(1–2), 67–75.
- Genovese, G., Regueira, M., Da Cuña, R. H., Ferreira, M. F., Varela, M. L., & Lo Nostro, F. L. (2014). Nonmonotonic response of vitellogenin and estrogen receptor α gene expression after octylphenol exposure of *Cichlasoma dimerus* (Perciformes, Cichlidae). *Aquatic Toxicology*, 156, 30–40. <https://doi.org/10.1016/j.aquatox.2014.07.019>
- Giguère, V. (1999). Orphan Nuclear Receptors : From Gene to Function *. *Endocrine Reviews*, 20(5), 689–725.
- Girard, G., Sircoulon, J., & Touchebeuf, P. (1970). *Aperçu sur les régimes hydrologiques de Côte d'Ivoire*. 1–60.
- Glover, K. A., Dahle, G., & Jørstad, K. E. (2011). Genetic identification of farmed and wild Atlantic cod, *Gadus morhua*, in coastal Norway. *ICES Journal of Marine Science*, 68(5), 901–910. <https://doi.org/10.1093/icesjms/fsr048>
- Glover, K. A., Dahle, G., Westgaard, J. I., Johansen, T., Knutsen, H., & Jørstad, K. E. (2010). Genetic diversity within and among Atlantic cod (*Gadus morhua*) farmed in marine cages: A proof-of-concept study for the identification of escapees. *Animal Genetics*, 41(5), 515–522. <https://doi.org/10.1111/j.1365-2052.2010.02025.x>
- Godinho, H. P., Santos, J. E., Formagio, P. S., & Guimarães-cruz, R. J. (2005). Gonadal morphology and reproductive traits of the Amazonian fish *Rapaima gigas* (Scinz, 1822). *Acta Zoologica*, 86, 289–294.
- Godinho, R., Crespo, G., & Ferrand, N. (2008). The limits of mtDNA phylogeography : complex patterns of population history in a highly structured Iberian lizard are only revealed by the use of nuclear markers. *Molecular Ecology*, 17, 4670–4683. <https://doi.org/10.1111/j.1365-294X.2008.03929.x>
- Goffin, V., Shiverick, K. T., Kelly, P. A., & Martial, J. A. (1996). Sequence-Function Relationships Within the Expanding. *Endocrine Reviews*, 17(4), 385–410.

- Gontier-Latonnelle, K., Cravedi, J. P., Laurentie, M., Perdu, E., Lamothe, V., Le Menn, F., & Bennetau-Pelissero, C. (2007). Disposition of genistein in rainbow trout (*Oncorhynchus mykiss*) and siberian sturgeon (*Acipenser baeri*). *General and Comparative Endocrinology*, *150*(2), 298–308. <https://doi.org/10.1016/j.ygcen.2006.10.001>
- Gourène, G., Teugels, G. G., & Van Den Audenaerde, D. F. E. T. (1995). Manuel pratique d'identification des poissons du lac d'Ayamé (Rivière Bia, Côte-d'Ivoire). *Centre de Recherche Océanographique, Archives Scientifiques*, *XIV*(1), 1–41.
- Grabherr, M., Haas, B. J., Yassour, M., Levin, J. Z., Thompson, D. A., Amit, I., ... Regev, A. (2011). Trinity: reconstructing a full-length transcriptome without a genome from RNA-Seq data. *Nature Biotechnology*, *29*(7), 644–652. <https://doi.org/10.1038/nbt.1883.Trinity>
- Grant, W. S., & Bowen, B. W. (1998). Shallow Population Histories in Deep Evolutionary Lineages of Marine Fishes: Insights From Sardines and Anchovies and Lessons for Conservation. *The American Genetic Association*, *89*, 415–426. Retrieved from <https://pdfs.semanticscholar.org/7a16/7f39e62354c15e9f243398891c9a615d5bfc.pdf>
- Guo-Qing, L., & Wilson, M. V. H. (1996). The discovery of Heterotidinae (Teleostei: Osteoglossidae) from the Paleocene Paskapoo Formation of Alberta, Canada. *Journal of Vertebrate Paleontology*, *16*(2), 198–209. <https://doi.org/10.1080/02724634.1996.10011308>
- Haas, B. J., Papanicolaou, A., Yassour, M., Grabherr, M., Blood, P. D., Bowden, J., ... Regev, A. (2013). De novo transcript sequence reconstruction from RNA-Seq: reference generation and analysis with Trinity. In *Nature Protocols* (Vol. 8). <https://doi.org/10.1038/nprot.2013.084.De>
- Hallerman, E. M. (2006). Use of Molecular Tools for Research and Improvement of Aquaculture Stocks. *Aquaculture*, *58*(4), 286–296.
- Hamidi, Z., Tejero, E., Schmidt, R., Tucker, R., & Pedro, A. (2017). Identification of potential blood-derived extracellular vesicles biomarkers to diagnose and predict distant metastases in ER+ breast cancer patients. *bioRxiv*, 202291. <https://doi.org/10.1101/202291>

- Hamoy, I. G., Santos, E. J. M., & Santos, S. E. B. (2008). Rapid and inexpensive analysis of genetic variability in *Arapaima gigas* by PCR multiplex panel of eight microsatellites. *Genetics and Molecular Research*, 7(1), 29–32. <https://doi.org/10.4238/vol7-1gmr394>
- Hara, A., Hiramatsu, N., & Fujita, T. (2016). Vitellogenesis and choriogenesis in fishes. *Fisheries Science*, 82(2), 187–202. <https://doi.org/10.1007/s12562-015-0957-5>
- Hare, M. P., Nunney, L., Schwartz, M. K., Ruzzante, D. E., Burford, M., Waples, R. S., ... Palstra, F. (2011). Understanding and Estimating Effective Population Size for Practical Application in Marine Species Management. *Conservation Biology*, 25(3), 438–449. <https://doi.org/10.1111/j.1523-1739.2010.01637.x>
- Hartl, D. L., & Clark, A. G. (2007). *Principles of population genetics*. 4th editio, 1–652. [https://doi.org/10.1016/0378-1119\(90\)90076-4](https://doi.org/10.1016/0378-1119(90)90076-4)
- Hawkins, M. B., & Thomas, P. (2004). The unusual binding properties of the third distinct teleost estrogen receptor subtype ER β a are accompanied by highly conserved amino acid changes in the ligand binding domain. *Endocrinology*, 145(6), 2968–2977. <https://doi.org/10.1210/en.2003-0806>
- Hawkins, M. B., Thornton, J. W., Crews, D., Skipper, J. K., Dotte, A., & Thomas, P. (2000). Identification of a third distinct estrogen receptor and reclassification of estrogen receptors in teleosts. *Proceedings of the National Academy of Sciences*, 97(20), 10751–10756. <https://doi.org/10.1073/pnas.97.20.10751>
- Hellberg, M. E., Burton, R. S., Neigel, J. E., & Palumbi, S. R. (2002). Genetic assessment of connectivity among marine populations. *Bulletin of Marine Science*, 70(1), 273–290.
- Hilton, E. J. (2001). Tongue Bite Apparatus of Osteoglossomorph Fishes: Variation of a Character Complex. *Copeia*, 2001(2), 372–381.
- Hilton, E. J. (2003). Comparative osteology and phylogenetic systematics of fossil and living bony-tongue fishes (Actinopterygii, Teleostei, Osteoglossomorpha). *Zoological Journal of the Linnean Society*, 137(1), 1–100. <https://doi.org/10.1046/j.1096-3642.2003.00032.x>
- Hiramatsu, N., Fukadal, H., Sullivan, C. V, & Hara, A. (2001). Simple and Sensitive Detection of Vitellogenin Receptor (s) in Sakhalin Taimen (*Hucho perryi*). *Bull. Fish*

Sci. Hokkaido Univ., 52(1), 5–9.

- Hiramatsu, N., Luo, W., Reading, B. J., Sullivan, C. V., Mizuta, H., Ryu, Y.-W., ... Hara, A. (2013). Multiple ovarian lipoprotein receptors in teleosts. *Fish Physiol Biochem*, 39, 29–32. <https://doi.org/10.1007/s10695-012-9612-6>
- Hiramatsu, N., Matsubara, T., Fujita, T., Sullivan, C. V., & Hara, A. (2006). Multiple piscine vitellogenins: Biomarkers of fish exposure to estrogenic endocrine disruptors in aquatic environments. *Marine Biology*, 149(1), 35–47. <https://doi.org/10.1007/s00227-005-0214-z>
- Honeycutt, R. L., Nedbal, M. A., Adkins, R. M., & Janecek, L. L. (1995). Mammalian Mitochondrial DNA Evolution : A Comparison of the Cytochrome b and Cytochrome c Oxidase II Genes. *Journal of Molecular Evolution*, 40, 260–272.
- Hrbek, T., Crossa, M., & Farias, I. P. (2007). Conservation strategies for *Arapaima gigas* (Schinz, 1822) and the Amazonian várzea ecosystem. *Brazilian Journal of Biology*, 67(4 suppl), 909–917. <https://doi.org/10.1590/S1519-69842007000500015>
- Hrbek, T., & Farias, I. P. (2008). The complete mitochondrial genome of the pirarucu (*Arapaima gigas*, Arapaimidae, Osteoglossiformes). *Genetics and Molecular Biology*, 31(1 suppl), 293–302. <https://doi.org/10.1590/S1415-47572008000200024>
- Hrbek, T., Farias, I. P., Crossa, M., Sampaio, I., Porto, J. I. R., & Meyer, A. (2005). Population genetic analysis of *Arapaima gigas*, one of the largest freshwater fishes of the Amazon basin: implications for its conservation. *Animal Conservation*, 8(3), 297–308. <https://doi.org/10.1017/S1367943005002210>
- Hrbek, T., & Meyer, A. (2003). Closing of the Tethys Sea and the phylogeny of Eurasian killifishes (Cyprinodontiformes: Cyprinodontidae). Department of Biology, University of Konstanz, Konstanz, Germany. *Journal of Evolutionary Biology*, 16, 17–36. <https://doi.org/10.1046/j.1420-9101.2003.00475.x>
- Huang, X., Hui, M. N. Y., Liu, Y., Yuen, D. S. H., Zhang, Y., Chan, W. Y., ... Cheng, C. H. K. (2009). Discovery of a Novel Prolactin in Non-Mammalian Vertebrates : Evolutionary Perspectives and Its Involvement in Teleost Retina Development. *PLoS ONE*, 4(7), e6163. <https://doi.org/10.1371/journal.pone.0006163>

- Huertas, M., Almeida, O. G., Canário, A. V. M., & Hubbard, P. C. (2014). Tilapia male urinary pheromone stimulates female reproductive axis. *General and Comparative Endocrinology*, *196*, 106–111. <https://doi.org/10.1016/j.ygcen.2013.11.024>
- Hurtado, L. A., Carrera, E., Adite, A., & Winemiller, K. O. (2013). Genetic differentiation of a primitive teleost, the African bonytongue *Heterotis niloticus*, among river basins and within a floodplain river system in Benin, West Africa. *Journal of Fish Biology*, *83*(3), 682–690. <https://doi.org/10.1111/jfb.12198>
- Inoue, J. G., Kumazawa, Y., Miya, M., & Nishida, M. (2009). The historical biogeography of the freshwater knifefishes using mitogenomic approaches : A Mesozoic origin of the Asian notopterids (Actinopterygii : Osteoglossomorpha) African notopterids Asian notopterids. *Molecular Phylogenetics and Evolution*, *51*(3), 486–499. <https://doi.org/10.1016/j.ympev.2009.01.020>
- IRD. (2008). Vers la domestication du plus grand poisson de l'Amazone. *Actualité Scientifiques*, *306*, 1–2.
- Ishibashi, H., Uchida, M., Koyanagi, A., Kagami, Y., Kusano, T., Nakao, A., ... Arizono, K. (2016). Gene expression analyses of vitellogenin, choriogenin and estrogen receptor subtypes in the livers of male medaka (*Oryzias latipes*) exposed to equine estrogens. *Journal of Applied Toxicology*, *36*(11), 1392–1400. <https://doi.org/10.1002/jat.3292>
- IUCN. (2017). The IUCN Red List of Threatened Species. version 2017-3. Retrieved March 8, 2018, from <https://www.iucnredlist.org/species/1991/9110195>
- Kashi, Y., King, D., & Soller, M. (1997). Simple sequence repeats as a source of quantitative genetic variation. *Trends in Genetics*, *13*(2), 74–78.
- Kato, S., Endoh, H., Masuhiro, Y., Kitamoto, T., Uchiyama, S., Sasaki, H., ... Chambon, P. (1995). Activation of the Estrogen Receptor Through γ -phosphorylation by Mitogen-Activated Protein Kinase. *Science*, *270*, 1491–1494. <https://doi.org/10.16377/j.cnki.issn1007-7731.2011.17.025>
- Kawaguchi, M., Yasumasu, S., Shimizu, A., Sano, K., Iuchi, I., & Nishida, M. (2010). Conservation of the egg envelope digestion mechanism of hatching enzyme in euteleostean fishes. *FEBS Journal*, *277*(23), 4973–4987. <https://doi.org/10.1111/j.1742-4658.2010.07907.x>

- Kimou, N. B., Koumi, R. A., Koffi, M. K., Atsé, C. B., Ouattara, I. N., & Kouamé, P. L. (2016). Utilisation des sous-produits agroalimentaires dans l'alimentation des poissons d'élevage en Côte d'Ivoire. *Cahiers Agricultures*, 25(2).
<https://doi.org/10.1051/cagri/2016012>
- Koide, A., Zhao, C., Naganuma, M., Abrams, J., Deighton-Collins, S., Skafar, D. F., & Koide, S. (2007). Identification of Regions within the F Domain of the Modulating Transactivation and Protein-Protein Interactions. *Molecular Endocrinology*, 21(4), 829–842. <https://doi.org/10.1210/me.2006-0203>
- Kong, H. J., Kim, J. L., Moon, J. Y., Kim, W. J., Kim, H. S., Park, J. Y., ... An, C. M. (2014). Characterization, expression profile, and promoter analysis of the *Rhodeus uyekii* vitellogenin Ao1 gene. *International Journal of Molecular Sciences*, 15(10), 18804–18818. <https://doi.org/10.3390/ijms151018804>
- Kopylova, E., Noé, L., & Touzet, H. (2012). SortMeRNA : Fast and accurate filtering of BIOINFORMATICS SortMeRNA : Fast and accurate filtering of ribosomal RNAs in metatranscriptomic data. *Bioinformatics*, 28(24), 3211–3217.
<https://doi.org/10.1093/bioinformatics/bts611>
- Koshi, Y., & King, D. G. (2006). Simple sequence repeats as advantageous molecular markers –mutations in evolution. *Trends in Genetics* ., 22(5), 252–259.
- Kottelat, M. (2013). The fishes of the inland waters of Southeast Asia: A catalogue and core bibliography of the fishes known to occur in freshwaters, mangroves and estuaries. *Raffles Bulletin of Zoology*, (SUPPL.27), 1–663.
- Kouakou, F. K. I., Koné, T., Agnissan, A. J.-P., Soro, Y., & N'Da, K. (2016). Régime et éthologie alimentaires de *Heterotis niloticus* (Cuvier, 1829) dans la rivière Agnéby. *International Journal of Innovation and Applied Studies*, 14(3), 721–732.
- Kouakou, F. K. I., Koné, T., Soro, Y., N'Da, K., & Ouattara, M. (2016). Reproduction De *Heterotis Niloticus* (Cuvier, 1829) De La Riviere Agneby (Cote d'Ivoire). *European Scientific Journal*, 12(6), 83–96. <https://doi.org/10.19044/esj.2016.v12n6p83>
- Krogh, A., Larsson, B., Von Heijne, G., & Sonnhammer, E. L. L. (2001). Predicting transmembrane protein topology with a hidden Markov model: Application to complete genomes. *Journal of Molecular Biology*, 305(3), 567–580.

<https://doi.org/10.1006/jmbi.2000.4315>

- Kumar, R., Zakharov, M. N., Khan, S. H., Miki, R., Jang, H., Toraldo, G., ... Jasuja, R. (2011). The Dynamic Structure of the Estrogen Receptor. *Journal of Amino Acids*, 2011, 1–7. <https://doi.org/10.4061/2011/812540>
- Kumar, S., Stecher, G., & Tamura, K. (2016). MEGA7: Molecular Evolutionary Genetics Analysis Version 7.0 for Bigger Datasets. *Molecular Biology and Evolution*, 33(7), 1870–1874. <https://doi.org/10.1093/molbev/msw054>
- Kumazawa, Y., & Nishida, M. (2000). Molecular Phylogeny of Osteoglossoids : A New Model for Gondwanian Origin and Plate Tectonic Transportation of the Asian Arowana. *Molecular Biology and Evolution*, 17(12), 1869–1878.
- Kynard, B., & Kieffer, M. (2002). Use of a borescope to determine the sex and egg maturity stage of sturgeons and the effect of borescope use on reproductive structures. *Journal of Applied Ichthyology*, 18(4–6), 505–508. <https://doi.org/10.1046/j.1439-0426.2002.00388.x>
- Labadie, P. (2004). *Détermination des stéorides hormonaux dans l'environnement : développements analytiques et applications*. Université de Bordeaux I.
- Ladoukakis, E. D., & Zouros, E. (2001). Direct Evidence for Homologous Recombination in Mussel (*Mytilus galloprovincialis*) Mitochondrial DNA. *Molecular Biology*, 18(7), 1168–1175.
- Lavoué, S. (2016). Was Gondwanan breakup the cause of the intercontinental distribution of Osteoglossiformes? A time-calibrated phylogenetic test combining molecular, morphological, and paleontological evidence. *Molecular Phylogenetics and Evolution*, 99, 34–43. <https://doi.org/10.1016/j.ympev.2016.03.008>
- Lavoué, S., Miya, M., Arnegard, M. E., McIntyre, P. B., Mamonekene, V., & Nishida, M. (2011). Remarkable morphological stasis in an extant vertebrate despite tens of millions of years of divergence. *Proceedings of the Royal Society B: Biological Sciences*, 278(1708), 1003–1008. <https://doi.org/10.1098/rspb.2010.1639>
- Lavoué, S., & Sullivan, J. P. (2004). Simultaneous analysis of five molecular markers provides a well-supported phylogenetic hypothesis for the living bony-tongue fishes

- (Osteoglossomorpha: Teleostei). *Molecular Phylogenetics and Evolution*, 33(1), 171–185. <https://doi.org/10.1016/j.ympev.2004.04.021>
- Lazard, J. (1990). Transferts de poissons et développement de la production piscicole. *Revue Hydrobiologie Tropicale*, 23(3), 251–265.
- Le Menn, F. (1979). Induction of vitellogenin by estradiol and androgens in a teleostean fish: *Gobius niger* L. *Comptes Rendus Des Seances de l'Academie Des Sciences*, 289(4), 413–416. Retrieved from <http://www.ncbi.nlm.nih.gov/pubmed/117947>
- Le Menn, F. (1979). Some aspects of vitellogenesis in a teleostean fish: *Gobius niger* L. *Comparative Biochemistry and Physiology*, 62(2), 495–499. [https://doi.org/10.1016/0300-9629\(79\)90092-6](https://doi.org/10.1016/0300-9629(79)90092-6)
- Leduc, A., Zatylny-Gaudin, C., Robert, M., Corre, E., Corguille, G. Le, Castel, H., ... Henry, J. (2018). Dietary aquaculture by-product hydrolysates: Impact on the transcriptomic response of the intestinal mucosa of European seabass (*Dicentrarchus labrax*) fed low fish meal diets. *BMC Genomics*, 19(1), 1–20. <https://doi.org/10.1186/s12864-018-4780-0>
- Lee, C., Jeon, S. H., Na, J.-G., Choi, Y.-J., & Park, K. (2002). Sensitivities of mRNA Expression of Vitellogenin, Choriogenin and Estrogen Receptor by Estrogenic Chemicals in Medaka, *Oryzias latipes*. *Journal of Health Science*, 48(5), 441–445. <https://doi.org/10.1248/jhs.48.441>
- Lee, C., Jeon, S. H., Na, J. G., & Park, K. (2002). Sequence analysis of choriogenin H gene of medaka (*Oryzias latipes*) and mRNA expression. *Environmental Toxicology and Chemistry*, 21(8), 1709–1714. <https://doi.org/10.1002/etc.5620210824>
- Lemasson, L. (1957). Chronique piscicole. *Bois et Forêts Des Tropiques*, 54, 53–55.
- Leung, Y.-K., Mak, P., Hassan, S., & Ho, S. (2006). Estrogen receptor (ER) beta isoforms : A key to understanding ER beta signaling. *PNAS*, 103(35), 13162–13167.
- Lévêque, C., & Paugy, D. (1999). *Les poissons des eaux continentales africaines: Diversité, écologie, utilisation par l'homme*.
- Lévêque, C., & Paugy, D. (2006). Distribution géographique et affinités des poissons d'eau douce africains. In C. Lévêque & D. Paugy (Eds.), *Les poissons des eaux continentales*

- africaines: Diversité, écologie, utilisation par l'homme* (IRD, pp. 59–74). Paris.
- Lévêque, C., Paugy, D., & Teugels, G. G. (1990). Faune des poissons d'eaux douces et saumâtres de l'Afrique de l'Ouest Tome 1. *Faune Tropicale*, XXVIII, 1–384.
- Li, A., Sadasivam, M., & Ding, J. L. (2003). Receptor-ligand interaction between vitellogenin receptor (VtgR) and vitellogenin (Vtg), implications on low density lipoprotein receptor and apolipoprotein B/E. The first three ligand-binding repeats of VtgR interact with the amino-terminal region of Vtg. *Journal of Biological Chemistry*, 278(5), 2799–2806. <https://doi.org/10.1074/jbc.M205067200>
- Li, Z., Chen, F., Huang, C., Zheng, W., Yu, C., Cheng, H., & Zhou, R. (2017). Genome-wide mapping and characterization of microsatellites in the swamp eel genome. *Scientific Reports*, 7(1), 1–9. <https://doi.org/10.1038/s41598-017-03330-7>
- López, J. L., Marina, A., Álvarez, G., & Vázquez, J. (2002). Application of proteomics for fast identification of species-specific peptides from marine species. *Proteomics*, 2(12), 1658–1665. [https://doi.org/10.1002/1615-9861\(200212\)2:12<1658::AID-PROT1658>3.0.CO;2-4](https://doi.org/10.1002/1615-9861(200212)2:12<1658::AID-PROT1658>3.0.CO;2-4)
- Lüling, K. H. (1964). Zur biologie und ökologie von *Arapaima gigas* (Pisces; Lüling; Osteoglossidae). *Zeitschrift Für Morphologie Und Ökologie Der Tiere*, 54, 436–530.
- Lundrigan, T. A., Reist, J. D., & Ferguson, M. M. (2005). Microsatellite genetic variation within and among Arctic charr (*Salvelinus alpinus*) from aquaculture and natural populations in North America. *Aquaculture*, 244(1–4), 63–75. <https://doi.org/10.1016/j.aquaculture.2004.11.027>
- Luo, W., Ito, Y., Mizuta, H., Massaki, K., Hiramatsu, N., Todo, T., ... Hara, A. (2013). Molecular cloning and partial characterization of an ovarian receptor with seven ligand binding repeats, an orthologue of low-density lipoprotein receptor, in the cutthroat trout (*Oncorhynchus clarki*). *Comparative Biochemistry and Physiology - A Molecular and Integrative Physiology*, 166(2), 263–271. <https://doi.org/10.1016/j.cbpa.2013.06.026>
- Lynch, M., & Crease, T. J. (1990). The analysis of population survey data on DNA sequence variation. *Molecular Biology and Evolution*, 7(4), 377–394. <https://doi.org/10.1093/oxfordjournals.molbev.a040607>

- Macnaughton, A. E. A. E., Carvajal-Vallejos, F. M. F. M., Argote, A., Rainville, T. K. T. K., Van Damme, P. A. P. A., & Carolsfeld, J. (2015). "Paiche reigns!" species introduction and indigenous fisheries in the Bolivian Amazon. *Maritime Studies*, 14(1), 11. <https://doi.org/10.1186/s40152-015-0030-0>
- Magrané, J., Casaroli-Marano, R. P., Reina, M., Gafvels, M., & Vilaro, S. (1999). The role of O-linked sugars in determining the very low density lipoprotein receptor stability or release from the cell. *FEBS Letters*, 451, 56–62.
- Mañanós, E., Núñez-Rodríguez, J., Le Menn, F., Zanuy, S., & Carrillo, M. (2007). Identification of vitellogenin receptors in the ovary of a teleost fish, the Mediterranean sea bass (*Dicentrarchus labrax*). *Reproduction Nutrition Development*, 37, 51–61. <https://doi.org/10.1051/rnd:19970106>
- Manzon, L. A. (2002). The Role of Prolactin in Fish Osmoregulation : A Review. *General and Comparative Endocrinology*, 125, 291–310. <https://doi.org/10.1006/gcen.2001.7746>
- Marcos, P. L., & Adalberto, L. V. (2015). Differentially expressed genes in the pituitary of the Amazonian fish *Arapaima gigas*. *International Journal of Fisheries and Aquaculture*, 7(8), 132–141. <https://doi.org/10.5897/IJFA15.0473>
- Marlatt, V. L., Martyniuk, C. J., Zhang, D., Xiong, H., Watt, J., Xia, X., ... Trudeau, V. L. (2008). Auto-regulation of estrogen receptor subtypes and gene expression profiling of 17 β -estradiol action in the neuroendocrine axis of male goldfish. *Molecular and Cellular Endocrinology*, 283(1–2), 38–48. <https://doi.org/10.1016/j.mce.2007.10.013>
- Marre, P. (2011). Arapaima, roi de l'Amazonie. *Produits de La Mer*, 128, 70–71.
- Maruska, K. P., & Fernald, R. D. (2011). Social Regulation of Gene Expression in the Hypothalamic-Pituitary-Gonadal Axis. *Physiology*, 26(6), 412–423. <https://doi.org/10.1152/physiol.00032.2011>
- Maruska, K. P., & Fernald, R. D. (2012). Contextual chemosensory urine signaling in an African cichlid fish. *Journal of Experimental Biology*, 215(1), 68–74. <https://doi.org/10.1242/jeb.062794>
- McMillan, W. O., & Palumbi, S. R. (1997). Rapid Rate of Control-Region Evolution in Pacific Butterflyfishes (Chaetodontidae). *Journal of Molecular Evolution*, 45, 473–484.

- Mehdi, Y., & Ehsan, S. (2013). A review of the control of reproduction and hormonal manipulations in finfish species. *International Journal of Agricultural Research*, *1*(1), 15–21.
- Meier, F., Beck, S., Grassl, N., Lubeck, M., Park, M. A., Raether, O., & Mann, M. (2015). Parallel Accumulation–Serial Fragmentation (PASEF): Multiplying Sequencing Speed and Sensitivity by Synchronized Scans in a Trapped Ion Mobility Device. *Journal of Proteome Research*, *14*(12), 5378–5387. <https://doi.org/10.1021/acs.jproteome.5b00932>
- Meisner, J. D., & Shuter, B. J. (1992). Assessing potential effects of global climate change on tropical freshwater fishes. *GeoJournal*, *28*(1), 21–27. <https://doi.org/10.1007/BF00216403>
- Métivier, R., Stark, A., Flouriot, G., Hübner, M. R., Brand, H., Penot, G., ... Gannon, F. (2002). A Dynamic Structural Model for Estrogen Receptor alpha Activation by Ligands, Emphasizing the Role of Interactions between Distant A and E Domains. *Molecular Cell*, *10*, 1019–1032.
- Meucci, V., & Arukwe, A. (2005). Detection of vitellogenin and zona radiata protein expressions in surface mucus of immature juvenile Atlantic salmon (*Salmo salar*) exposed to waterborne nonylphenol. *Aquatic Toxicology (Amsterdam, Netherlands)*, *73*(1), 1–10. <https://doi.org/10.1016/j.aquatox.2005.03.021>
- Miranda-Chumacero, G., Wallace, R., Calderón, H., Calderón, G., Willink, P., Guerrero, M., ... Chuqui, D. (2012). Distribution of arapaima (*Arapaima gigas*) (Pisces: Arapaimatidae) in Bolivia: implications in the control and management of a non-native population. *BioInvasions Records*, *1*(2), 129–138. <https://doi.org/10.3391/bir.2012.1.2.09>
- Mizuta, H., Luo, W., Ito, Y., Mushirobira, Y., Todo, T., Hara, A., ... Hiramatsu, N. (2013). Ovarian expression and localization of a vitellogenin receptor with eight ligand binding repeats in the cutthroat trout (*Oncorhynchus clarki*). *Comparative Biochemistry and Physiology. Part B, Biochemistry & Molecular Biology*, *166*(1), 81–90. <https://doi.org/10.1016/j.cbpb.2013.07.005>
- Molnar, R. I., Witte, H., Dinkelacker, I., Villate, L., & Sommer, R. J. (2012). Tandem-Repeat Patterns and Mutation Rates in Microsatellites of the Nematode Model Organism

- Pristionchus pacificus*. *G3 & Genes/Genomes/Genetics*, 2(9), 1027–1034.
<https://doi.org/10.1534/g3.112.003129>
- Moncaut, N., Nostro, F. Lo, & Maggese, M. C. (2003). Vitellogenin detection in surface mucus of the South American cichlid fish *Cichlasoma dimerus* (Heckel, 1840) induced by estradiol-17beta. Effects on liver and gonads. *Aquatic Toxicology (Amsterdam, Netherlands)*, 63(2), 127–137. [https://doi.org/10.1016/S0166-445X\(02\)00175-3](https://doi.org/10.1016/S0166-445X(02)00175-3)
- Monentcham, S.-E., Whatelet, B., Pouomogne, V., & Kestemont, P. (2010). Egg and whole-body amino acid profile of African bonytongue (*Heterotis niloticus*) with an estimation of their dietary indispensable amino acids requirements. *Fish Physiology and Biochemistry*, 36(3), 531–538. <https://doi.org/10.1007/s10695-009-9323-9>
- Monentcham, S. E., Kouam, J., Pouomogne, V., & Kestemont, P. (2009). Biology and prospect for aquaculture of African bonytongue, *Heterotis niloticus* (Cuvier, 1829): A review. *Aquaculture*, 289(3–4), 191–198.
<https://doi.org/10.1016/j.aquaculture.2009.01.019>
- Monentcham, S. E., Pouomogne, V., & Kestemont, P. (2010). Growth, feed utilization and body composition of African bonytongue, *Heterotis niloticus*, fingerlings fed diets containing various protein and lipid levels. *Aquaculture Research*, 41(10), 438–445.
<https://doi.org/10.1111/j.1365-2109.2010.02480.x>
- Moreau, J. (1982). Exposé synoptique des données biologiques sur *Heterotis niloticus* (Cuvier, 1829). *FAO Synop. Pêches*, 131, 1–45.
- Moreau, J., & Moreau, I. (1982). Étude du cycle annuel de la gamétogenèse chez *Heterotis niloticus* au lac Ivakoina (zone des Pangalanes) Madagascar. *Rev. Hydrobiol. Trop*, 15(3), 271–280.
- Moreau, J., Palomares, M. L. D., Torres Jr., F. S. B., & Pauly, D. (1995). Atlas démographique des populations de poissons d'eau douce d'Afrique. *ICLARM Rapp. Tech.*, 45, 1–140.
- Mu, X., Wang, X., Song, H., Yang, Y., Luo, D., Gu, D., ... Hu, Y. (2012). Mitochondrial DNA as effective molecular markers for the genetic variation and phylogeny of the family Osteoglossidae. *Gene*, 511(2), 320–325.
<https://doi.org/10.1016/j.gene.2012.09.087>

- Murata, K., Conte, F. S., McInnis, E., Fong, T. H., & Cherr, G. N. (2014). Identification of the Origin and Localization of Chorion (Egg Envelope) Proteins in an Ancient Fish, the White Sturgeon, *Acipenser transmontanus*1. *Biology of Reproduction*, *90*(6), 1–12. <https://doi.org/10.1095/biolreprod.113.116194>
- Mushirobira, Y., Mizuta, H., Luo, W., Todo, T., Hara, A., Reading, B. J., ... Hiramatsu, N. (2015). Molecular cloning and partial characterization of a low-density lipoprotein receptor-related protein 13 (Lrp13) involved in vitellogenin uptake in the cutthroat trout (*Oncorhynchus clarki*). *Molecular Reproduction and Development*, *82*(12), 986–1000. <https://doi.org/10.1002/mrd.22579>
- Mylonas, C. C., Fostier, A., & Zanuy, S. (2010). Reproduction and Broodstock Management General and Comparative Endocrinology Broodstock management and hormonal manipulations of fish reproduction. *General and Comparative Endocrinology*, *165*, 516–534. <https://doi.org/10.1002/9781444392210.ch4>
- Nagler, J. J., Cavileer, T., Sullivan, J., Cyr, D. G., & Rexroad, C. (2007). The complete nuclear estrogen receptor family in the rainbow trout: Discovery of the novel ER α 2 and both ER β isoforms. *Gene*, *392*(1–2), 164–173. <https://doi.org/10.1016/j.gene.2006.12.030>
- Ndiaye, P., Forgue, J., Lamothe, V., Cauty, C., Tacon, P., Lafon, P., ... Núñez, J. (2006). Tilapia (*Oreochromis niloticus*) vitellogenins: development of homologous and heterologous ELISAs and analysis of vitellogenin pathway through the ovarian follicle. *Journal of Experimental Zoology Part A: Comparative Experimental Biology*, *305A*(7), 576–593. <https://doi.org/10.1002/jez.a.290>
- Nei, M. *Molecular evolutionary genetics.* , (1987).
- Nelson, E. R., & Habibi, H. R. (2010). Functional significance of nuclear estrogen receptor subtypes in the liver of goldfish. *Endocrinology*, *151*(4), 1668–1676. <https://doi.org/10.1210/en.2009-1447>
- Nelson, E. R., & Habibi, H. R. (2013). Estrogen receptor function and regulation in fish and other vertebrates. *General and Comparative Endocrinology*, *192*, 15–24. <https://doi.org/10.1016/j.ygcen.2013.03.032>

- Nelson, E. R., Wiehler, W. B., Cole, W. C., & Habibi, H. R. (2007). Homologous Regulation of Estrogen Receptor Subtypes in Goldfish (*Carassius auratus*). *Molecular Reproduction and Development*, 74(1), 1105–1112. <https://doi.org/10.1002/mrd>
- Nelson, G. J. (1968). Gill arches of teleostean fishes of the division Osteoglossomorpha. *Journal of the Linnean Society of London, Zoology*, 47(312), 261–277. <https://doi.org/10.1111/j.1096-3642.1968.tb00511.x>
- Nelson, G. J. (1969). Infraorbital bones and their bearing on the phylogeny and geography of Osteoglossomorph fishc. *American Museum Novitates*, 2394, 1–37.
- Nikolic, N. (2009). *Diversité génétique et taille efficace chez les populations de poissons sauvages: le cas du saumon atlantique un poisson migrateur amphihaline menacé*. Université de Toulouse III.
- Norris, D. O., & Lopez, K. H. (2011). Hormones and reproduction of vertebrates, Volume 1 - Fishes. In *Saudi Med J* (Vol. 1).
- Noso, T., Nicoll, C. S., Polenov, A. L., & Kawauchi, H. (1993). The primary structure of sturgeon prolactin: Phylogenetic implication. *General and Comparative Endocrinology*, Vol. 91, pp. 90–95. <https://doi.org/10.1006/gcen.1993.1108>
- Núñez-Rodríguez, J., Bon, E., & Le Menn, F. (1996). Vitellogenin receptors during Vitellogenesis in the rainbow trout *Oncorhynchus mykiss*. *The Journal of Experimental Zoology*, 274, 163–170. [https://doi.org/10.1002/\(sici\)1097-010x\(19960215\)274:3<163::aid-jez3>3.0.co;2-m](https://doi.org/10.1002/(sici)1097-010x(19960215)274:3<163::aid-jez3>3.0.co;2-m)
- Núñez-Rodríguez, J., Duponchelle, F., Cotrina-Doria, M., Renno, J. F., Chavez-Veintimilla, C., Rebaza, C., ... Baras, E. (2015). Movement patterns and home range of wild and restocked *Arapaima gigas* (Schinz, 1822) monitored by radio-telemetry in Lake Imiria, Peru. *Journal of Applied Ichthyology*, 31, 10–18. <https://doi.org/10.1111/jai.12972>
- Núñez-Rodríguez, J., Kah, O., Geffard, M., & Le Menn, F. (1989). Enzyme Linked Immunosorbent Assay (ELISA) for sole (*Solea vulgaris*) vitellogenin. *Comparative Biochemistry and Physiology*, 92B(4), 741–746.
- Núñez, J. (2008). *Arapaima gigas* se dévoile. *Science Au Sud*, 47, 1.

- Núñez, J., Chu-Koo, F., Berland, M., Arévalo, L., Ribeyro, O., Duponchelle, F., & Renno, J. F. (2011). Reproductive success and fry production of the paiche or pirarucu, *Arapaima gigas* (Schinz), in the region of Iquitos, Perou. *Aquaculture Research*, *42*(6), 815–822. <https://doi.org/10.1111/j.1365-2109.2011.02886.x>
- Núñez, J., & Duponchelle, F. (2009). Towards a universal scale to assess sexual maturation and related life history traits in oviparous teleost fishes. *Fish Physiology and Biochemistry*, *35*(1), 167–180. <https://doi.org/10.1007/s10695-008-9241-2>
- Nunez Rodriguez, J., Dugue, R., Oteme, Z. J., Hem, S., & Le Menn, F. (1997). Vitellogenin plasma levels in two cultured African catfish species, *Chrysichthys nigrodigitatus* (Claroteidae) and *Heterobranchus longifilis* (Clariidae). *Aquat. Living Resources*, *10*, 231–238.
- Odo, G., Nwamba, H., & Eyo, J. (2009). Aspects Of The Biology Of *Heterotis niloticus* Cuvier 1829 (Osteoglossiformes: Osteoglossidae) In The Anambra Flood River System, Nigeria. *Animal Research International*, *6*(2), 994–1002. <https://doi.org/10.4314/ari.v6i2.48131>
- Oladosu, G. A., Obi, A., & Oladosu, O. O. (2007). Sex determination in *Heterotis niloticus* (Cuvier 1829) Based on morphometric features. *ASSET Series B*, *6*(1), 22–30.
- Olivares, A. M., Hrbek, T., Escobar, M. D., & Caballero, S. (2013). Population structure of the black arowana (*Osteoglossum ferreirai*) in Brazil and Colombia: Implications for its management. *Conservation Genetics*, *14*(3), 695–703. <https://doi.org/10.1007/s10592-013-0463-1>
- Oliveira, R. C., Santos, M. da C. F., Bernardino, G., Hrbek, T., & Farias, I. P. (2017). From river to farm: an evaluation of genetic diversity in wild and aquaculture stocks of *Brycon amazonicus* (Spix & Agassiz, 1829), Characidae, Bryconinae. *Hydrobiologia*, *805*(1), 75–88. <https://doi.org/10.1007/s10750-017-3278-0>
- Oliveira, V. De, Poletto, S. L., & Venere, P. C. (2005). Feeding of juvenile pirarucu (*Arapaima gigas*, Arapaimidae) in their natural environment, lago Quatro Bocas, Araguaiana-MT, Brazil. *Neotropical Ichthyology*, *3*(2), 312–314. <https://doi.org/10.1590/S1679-62252005000200010>

- Om, A. D., Jasmani, S., Ismail, N., Yeong, S. Y., & Abol-Munafi, A. B. (2013). Application MALDI TOF on protein identification of vitellogenin in giant grouper (*Epinephelus lanceolatus*). *Fish Physiology and Biochemistry*, 39(5), 1277–1286.
<https://doi.org/10.1007/s10695-013-9782-x>
- Padilla, P. P., Ismiño, R. O., Alcántara, F. B., & Tello, S. M. (2004). Efecto de la tasa de alimentación en el crecimiento del paiche, *Arapaima gigas*. *Memorias: Manejo de Fauna Silvestre En Amazonía Y Latinoamérica*, 3, 59–62.
- Page, T. J., & Hughes, J. M. (2010). Comparing the performance of multiple mitochondrial genes in the analysis of Australian freshwater fishes. *Journal of Fish Biology*, 77(9), 2093–2122. <https://doi.org/10.1111/j.1095-8649.2010.02821.x>
- Papetti, C., Liò, P., Rüber, L., Patarnello, T., & Zardoya, R. (2007). Antarctic Fish Mitochondrial Genomes Lack ND6 Gene. *Journal of Molecular Evolution*, 65(5), 519–528. <https://doi.org/10.1007/s00239-007-9030-z>
- Pelissero, C., Cuisset, B., & Le Menn, F. (1989). The influence of sex steroids in commercial meals and fish diets on plasma concentration of estrogens and vitellogenin in cultured Siberian sturgeon *Acipense baeri*. *Aquatic Living Resources*, 2, 161–168.
<https://doi.org/10.1051/alr>
- Pelissero, C., & Sumpter, J. P. (1992). Steroids and “steroid-like” substances in fish diets. *Aquaculture*, 107, 283–301. [https://doi.org/10.1016/0044-8486\(92\)90078-Y](https://doi.org/10.1016/0044-8486(92)90078-Y)
- Pereira, S. L. (2000). Mitochondrial genome organization and vertebrate phylogenetics. *Genetics and Molecular Biology*, 23(4), 745–752. <https://doi.org/10.1590/S1415-47572000000400008>
- Petersen, T. N., Brunak, S., von Heijne, G., & Nielsen, H. (2011). SignalP 4.0: discriminating signal peptides from transmembrane regions. *Nature Methods*, 8(10), 785–786.
<https://doi.org/10.1038/nmeth.1701>
- Pincock, D., Welch, D., Mckinley, S., & Jackson, G. (2010). *Acoustic Telemetry for Studying Migration Movements of Small Fish in Rivers and the Ocean — Current Capabilities and Future Possibilities. PNAMP Special Publication: Tagging, Telemetry, and Marking Measures for Monitoring Fish Populations-A Compendium of*. 2, 105–118.

- Plant, T. M. (2015). The hypothalamo-pituitary-gonadal axis. *Journal of Endocrinology*, 226(2), T41–T54. <https://doi.org/10.1530/JOE-15-0113>
- Pomacentridae, P., Chen, C. A., Carmen, M., Ablan, A., McManus, J. W., Bell, D., ... Bell, J. D. (2004). Population structure and genetic variability of six bar wrasse (*Thalassoma hardwicki*) in Northern South China Sea revealed by mitochondrial control region sequences. *Marine Biotechnology (New York, N.Y.)*, 6(4), 312–326. <https://doi.org/10.1007/s10126-003-0028-2>
- Pottinger, T. G., Pulman, K. G. T., Carrick, T. R., & Scott, A. P. (2005). Evaluation of biochemical methods for the non-destructive identification of sex in upstream migrating salmon and sea trout. *Journal of Fish Biology*, 67(6), 1514–1533. <https://doi.org/10.1111/j.1095-8649.2005.00853.x>
- Pousis, C., Santamaria, N., Zupa, R., De Giorgi, C., Mylonas, C. C., Bridges, C. R., ... Corriero, A. (2012). Expression of vitellogenin receptor gene in the ovary of wild and captive Atlantic bluefin tuna (*Thunnus thynnus*). *Animal Reproduction Science*, 132, 101–110. <https://doi.org/10.1016/j.anireprosci.2012.03.014>
- Prat, F., Coward, K., Sumpter, J. P., & Tyler, C. R. (1998). Molecular Characterization and Expression of two Ovarian Lipoprotein Receptors in the Rainbow Trout, *Oncorhynchus mykiss* 1. *Biology of Reproduction*, 58(5), 1146–1153. <https://doi.org/10.1095/biolreprod58.5.1146>
- Ramos, T. P. A., Ramos, R. T. C., & Ramos, S. A. Q. A. (2014). Ichthyofauna of the Parnaíba river Basin, Northeastern Brazil. *Biota Neotropica*, 14(1), 1–8. <https://doi.org/10.1590/S1676-06032014003913>
- Reading, B. J., Hiramatsu, N., Schilling, J., Molloy, K. T., Glassbrook, N., Mizuta, H., ... Sullivan, C. V. (2014). Lrp13 is a novel vertebrate lipoprotein receptor that binds vitellogenins in teleost fishes. *Journal of Lipid Research*, 55(11), 2287–2295. <https://doi.org/10.1194/jlr.M050286>
- Reading, B. J., Hiramatsu, N., & Sullivan, C. V. (2011). Disparate Binding of Three Types of Vitellogenin to Multiple Forms of Vitellogenin Receptor in White Perch 1. *Biology of Reproduction*, 84, 392–399. <https://doi.org/10.1095/biolreprod.110.087981>

- Rebaza Alfaro, M., Rebaza Alfaro, C., & Deza Tabeada, S. (2003). Observaciones de la reproducción de paiche *Arapaima gigas* (Cuvier) en ambientes controlados en el IIAP Ucayali. In F. Alcantara Bocanegra & V. Montreuil Frias (Eds.), *Seminario taller internacional de manejo de paiche o pirarucu* (pp. 111–123).
<https://doi.org/10.1364/AO.7.002246>
- Reizer, C. (1964). Comportement et reproduction d'*Heterotis niloticus* en petits étangs. *Bois et Forêts Des Tropiques*, 95, 49–60.
- Rezaei, A. (2015). Phylogenetic analysis of NADH dehydrogenase subunit 1(NADH 1) gene in *Salmo trutta caspius*. *Journal of Entomology and Zoology Studies*, 3(2), 185–193.
- Rojas, H. H. F. (2005). *Contribucion al conocimiento de la reproduccion del Pirarucu Arapaima gigas 'Cuvier, 1817) (Pisces : Arapaimidae) en cautiverio*. Universidad de la amazonia.
- Rojas Ríos, G. (2003). Experiencias en el aprovechamiento de *Arapaima gigas* “ paiche ” en la cocha El Dorado , Cuenca Yanayacu Pucate - Reserva Nacional Pacaya Samiria – 2003. *MEMORIAS: Manejo de Fauna Silvestre En Amazonia Y Latinoamérica*, 280–287.
- Roy, R. L., Morin, Y., Courtenay, S. C., & Robichaud, P. (2004). Purification of vitellogenin from smooth flounder (*Pleuronectes putnami*) and measurement in plasma by homologous ELISA. *Comparative Biochemistry and Physiology - B Biochemistry and Molecular Biology*, 139(2), 235–244. <https://doi.org/10.1016/j.cbpc.2004.07.006>
- Rozas, J., Ferrer-Mata, A., Sanchez-DelBarrio, J. C., Guirao-Rico, S., Librado, P., Ramos-Onsins, S. E., & Sanchez-Gracia, A. (2017). DnaSP 6: DNA sequence polymorphism analysis of large data sets. *Molecular Biology and Evolution*, 34(12), 3299–3302.
<https://doi.org/10.1093/molbev/msx248>
- Sabo-Attwood, T., Kroll, K. J., & Denslow, N. D. (2004). Differential expression of largemouth bass (*Micropterus salmoides*) estrogen receptor isotypes alpha, beta, and gamma by estradiol. *Molecular and Cellular Endocrinology*, 218(1–2), 107–118.
<https://doi.org/10.1016/j.mce.2003.12.007>
- Sánchez, P., Viñas, J., Alvarado Bremer, J. R., Ambrosio, P. P., & Flos, R. (2012). Loss of genetic variability in a hatchery strain of Senegalese sole (*Solea senegalensis*) revealed

- by sequence data of the mitochondrial DNA control region and microsatellite markers. *Scientia Marina*, 76(2), 225–235. <https://doi.org/10.3989/scimar.03232.07E>
- Sanger, F., Nicklen, S., & Coulson, A. R. (1977). DNA sequencing with chain-terminating inhibitors. *Proc. Natl. Acad. Sci. USA*, 74(12), 5463–5467. <https://doi.org/10.1093/annonc/mdp039>
- Santos, C. H. A., de Sá Leitão, C. S., Paula e Silva, M. de N., & e Val, V. M. F. de A. (2014). Genetic relationships between captive and wild subpopulations of *Arapaima gigas* (Schinz, in Cuvier, 1822). *International Journal of Fisheries and Aquaculture*, 6(10), 108–123. <https://doi.org/10.5897/IJFA14.0415>
- Sappington, T. W., & Raikhel, A. S. (1998). Ligand-binding domains in vitellogenin receptors and other LDL-receptor family members share a common ancestral ordering of cysteine-rich repeats. *Journal of Molecular Evolution*, 46(4), 476–487. <https://doi.org/10.1007/PL00006328>
- Schaefer, F., Kloas, W., & Würtz, S. (2012). Arapaima : Candidate For Intensive Freshwater Culture. *Global Aquaculture Advocate*, 50–51.
- Schiffer, M., Kennington, W. J., Hoffmann, A. A., & Blacket, M. J. (2007). Lack of genetic structure among ecologically adapted populations of an Australian rainforest *Drosophila* species as indicated by microsatellite markers and mitochondrial DNA sequences. *Molecular Ecology*, 16, 1687–1700. <https://doi.org/10.1111/j.1365-294X.2006.03200.x>
- Schilling, J., Loziuk, P. L., Muddiman, D. C., Daniels, H. V., & Reading, B. J. (2015). Mechanisms of egg yolk formation and implications on early life history of white perch (*Morone americana*). *PLoS ONE*, 10(11), 1–20. <https://doi.org/10.1371/journal.pone.0143225>
- Schultz, J. K., Feldheim, K. A., Gruber, S. H., Ashley, M. V, Mcgovern, T. M., & Bowen, B. W. (2008). Global phylogeography and seascape genetics of the lemon sharks (genus *Negaprion*). *Molecular Ecology*, 17, 5336–5348. <https://doi.org/10.1111/j.1365-294X.2008.04000.x>
- Schulz, R. W., de França, L. R., Lareyre, J. J., LeGac, F., Chiarini-Garcia, H., Nobrega, R. H., & Miura, T. (2010). Spermatogenesis in fish. *General and Comparative Endocrinology*, 165(3), 390–411. <https://doi.org/10.1016/j.ygcen.2009.02.013>

- Scott, A. P., Liley, N. R., & Vermeirssen, E. L. M. (1994). Urine of reproductively mature female rainbow trout, *Oncorhynchus mykiss* (Walbaun), contains a priming pheromone which enhances plasma levels of sex steroids and gonadotrophin II in males. *Journal of Fish Biology*, *44*, 13.
- Sekino, M., Hara, M., & Taniguchi, N. (2002). Loss of microsatellite and mitochondrial DNA variation in hatchery strains of Japanese flounder *Paralichthys olivaceus*. *Aquaculture*, *213*(1–4), 101–122. [https://doi.org/10.1016/S0044-8486\(01\)00885-7](https://doi.org/10.1016/S0044-8486(01)00885-7)
- Sevilhano, T., Carvalho, R. F. De, Oliveira, N. A. D. J., Oliveira, J. E., Maltarollo, V. G., Trossini, G., ... Bartolini, P. (2017). Molecular cloning and characterization of pirarucu (*Arapaima gigas*) follicle-stimulating hormone and luteinizing hormone β -subunit cDNAs. *PLoS ONE*, *12*(8), e0183545.
- Shen, Y., Li, J., & Feng, B. (2009). Genetic Analysis of Cultured and Wild Populations of *Mytilus coruscus* Based on Mitochondrial DNA. *Zoological Research*, *30*(3), 240–246. <https://doi.org/10.3724/SP.J.1141.2009.03240>
- Skaala, Ø., Wennevik, V., & Glover, K. A. (2006). Evidence of temporal genetic change in wild Atlantic salmon, *Salmo salar* L., populations affected by farm escapees. *ICES Journal of Marine Science*, *63*(7), 1224–1233. <https://doi.org/10.1016/j.icesjms.2006.04.005>
- Skibinski, D. O. F. (2000). DNA tests of neutral theory : applications in marine genetics. *Hydrobiologia*, *420*, 137–152.
- Skorupski, J., & Kmiec, M. (2013). Structural and functional characteristics of prolactin and its gene in the American mink (*Neovison vison* Schreb., 1777). A review / Charakterystyka strukturalna i funkcjonalna prolaktyny i jej genu u norki amerykańskiej (*Neovison vison* schreb., 1777). Pra. *Annales UMCS, Zootechnica*, *30*(4). <https://doi.org/10.2478/v10083-012-0035-8>
- Šlechtová, T., Gilar, M., Kalíková, K., & Tesařová, E. (2015). Insight into Trypsin Miscleavage: Comparison of Kinetic Constants of Problematic Peptide Sequences. *Analytical Chemistry*, *87*(15), 7636–7643. <https://doi.org/10.1021/acs.analchem.5b00866>

- So, W., Kwok, H., & Ge, W. (2005). Zebrafish Gonadotropins and Their Receptors : II . Cloning and Characterization of Zebrafish Follicle-Stimulating Hormone and Luteinizing Hormone Subunits — Their Spatial-Temporal Expression Patterns and Receptor Specificity. *Biology of Reproduction*, 72, 1382–1396.
<https://doi.org/10.1095/biolreprod.104.038216>
- Stacey, N. (2003). Hormones, pheromones and reproductive behavior. *Fish Physiology and Biochemistry*, 28(1–4), 229–235. <https://doi.org/10.1023/B:FISH.0000030540.99732.2c>
- Steiniger, S., & Bocher, E. (2009). An overview on current free and open source desktop GIS developments. *International Journal of Geographical Information Science*, 23(10), 1345–1370. <https://doi.org/10.1080/13658810802634956>
- Steiniger, S., & Hunter, A. J. S. (2012). OpenJUMP HoRAE — A Free GIS and Toolbox for Home-Range Analysis. *Wildlife Society Bulletin*, 36(3), 600–608.
<https://doi.org/10.1002/wsb.168>
- Stewart, D. J. (2013). A New Species of *Arapaima* (Osteoglossomorpha: Osteoglossidae) from the Solimões River, Amazonas State, Brazil. *Copeia*, 3, 470–476.
<https://doi.org/10.1643/CI-12-017>
- Stiassny, M. L. J., Teugels, G. G., & Hopkins, C. D. (2007). Poissons d’“ eaux douces et saumâtres de basse Guinée , ouest de l’Afrique centrale. *Faune et Flore Tropicale*, 1, 30–45.
- Stifani, S., Le Menn, F., Nunez Rodriguez, J., & Schneider, W. J. (1990). Regulation of oogenesis: The piscine receptor for vitellogenin. *Biochimica et Biophysica Acta (BBA) - Lipids and Lipid Metabolism*, 1045, 271–279. [https://doi.org/10.1016/0005-2760\(90\)90130-P](https://doi.org/10.1016/0005-2760(90)90130-P)
- Sun, B., Pankhurst, N. W., & Watts, M. (2003). Development of an enzyme-linked immunosorbent assay (ELISA) for vitellogenin measurement in greenback flounder *Rhombosolea tapirina*. *Fish Physiology and Biochemistry*, 29(1), 13–21.
<https://doi.org/10.1023/B:FISH.0000035890.17372.75>
- Swenson, E. A., Rosenberger, A. E., & Howell, P. J. (2007). Validation of Endoscopy for Determination of Maturity in Small Salmonids and Sex of Mature Individuals. *Transactions of the American Fisheries Society*, 136(4), 994–998.

<https://doi.org/10.1577/t06-193.1>

- Tah, L., Da Costa, K. S., Kouassi, J. N., & Moreau, J. (2009). Effort de pêche et production piscicole au lac d'Ayamé 1 (bassin de la Bia; Côte d'Ivoire) après le départ des pêcheurs «bozos». *Agronomie Africaine*, 21(1), 103–115.
- Takahashi, A., Kanda, S., Abe, T., & Oka, Y. (2016). Evolution of the hypothalamic-pituitary-gonadal axis regulation in vertebrates revealed by knockout medaka. *Endocrinology*, 157(10), 3994–4002. <https://doi.org/10.1210/en.2016-1356>
- Takemura, A., & Oka, M. (1998). Immunochemical sexing of living yellowfin tuna, *Thunnus albacares* (Bonnaterre), using a vitellogenin-like protein. *Aquaculture Research*, 29, 245–249.
- Tamura, K., Dudley, J., Nei, M., & Kumar, S. (2007). MEGA4: Molecular Evolutionary Genetics Analysis (MEGA) software version 4.0. *Molecular Biology and Evolution*, 24(8), 1596–1599. <https://doi.org/10.1093/molbev/msm092>
- Taranger, G. L., Carrillo, M., Schulz, R. W., Fontaine, P., Zanuy, S., Felip, A., ... Hansen, T. (2010). Control of puberty in farmed fish. *General and Comparative Endocrinology*, 165(3), 483–515. <https://doi.org/10.1016/j.ygcen.2009.05.004>
- Teilum, K., Hoch, J. C., Goffin, V., Kinet, S., Martial, J. A., & Kragelund, B. B. (2005). Solution Structure of Human Prolactin. *Journal of Molecular Biology*, 351, 810–823. <https://doi.org/10.1016/j.jmb.2005.06.042>
- Tillon, R. (1959). Elevage de l'*Heterotis niloticus* en station de pisciculture. *Bois et Forêts Des Tropiques*, 64, 13–18.
- Tito De Morais, L., Da Costa, K., Raffray, J., & Traoré, K. (2007). *Pêches artisanales dans les petits barrages. L'eau en partage : les petits barrages de Côte d'Ivoire*. 215–227. Retrieved from <http://linkinghub.elsevier.com/retrieve/pii/S014765131500233X>
- Treangen, T. J., & Salzberg, S. L. (2013). Repetitive DNA and next-generation sequencing: computational challenges and solutions. *Nat Rev Genet.*, 13(1), 36–46. <https://doi.org/10.1038/nrg3117>.Repetitive
- Trichet, V., Buisine, N., Mouchel, N., Morán, P., Pendás, A. M., Le Pennec, J. P., & Wolff, J. (2000). Genomic analysis of the vitellogenin locus in rainbow trout (*Oncorhynchus*

- mykiss) reveals a complex history of gene amplification and retroposon activity. *Molecular and General Genetics*, 263(5), 828–837.
<https://doi.org/10.1007/s004380000247>
- Trommsdorff, M., Gotthardt, M., Hiesberger, T., Shelton, J., Stockinger, W., Nimpf, J., ... Herz, J. (1999). Reeler/disabled-like disruption of neuronal migration in knockout mice lacking the VLDL receptor and ApoE receptor 2. *Cell*, 97(6), 689–701.
[https://doi.org/10.1016/S0092-8674\(00\)80782-5](https://doi.org/10.1016/S0092-8674(00)80782-5)
- Uchida, K., Moriyama, S., Chiba, H., Shimotani, T., Honda, K., Miki, M., ... Nozaki, M. (2010). Evolutionary origin of a functional gonadotropin in the pituitary of the most primitive vertebrate, hagfish. *PNAS*, 107(36), 15832–15837.
<https://doi.org/10.1073/pnas.1002208107>
- Ugwumba, A. A. A. (1993). Carbohydrases in the digestive tract of the African bony-tongue *Heterotis niloticus* (Pisces: Osteoglossidae). *Hydrobiologia*, 257(2), 95–100.
<https://doi.org/10.1007/BF00005949>
- Ugwumba, A. A. A. (1996). Absorption of food in *Heterotis niloticus* (Cuvier) (Pisces: Osteoglossidae) from a small tropical man-made lake in Ibadan, Nigeria. *Hydrobiologia*, 330, 55–58.
- Ulloa-Aguirre, A., Timossi, C., Damián-matsumura, P., & Dias, J. A. (1999). Role of Glycosylation in Function of Follicle-Stimulating Hormone. *Endocrine*, 11, 205–215.
<https://doi.org/10.1385/ENDO>
- Unal, G., Marquez, E. C., Feld, M., Stavropoulos, P., & Callard, I. P. (2014). Isolation of estrogen receptor subtypes and vitellogenin genes: Expression in female *Chalcalburnus tarichi*. *Comparative Biochemistry and Physiology Part - B: Biochemistry and Molecular Biology*, 172–173(1), 67–73. <https://doi.org/10.1016/j.cbpb.2014.04.002>
- Urquhart, A., Kimpton, C. P., Downes, T. J., & Gill, P. (1994). Variation in Short Tandem Repeat sequences- a survey of twelve microsatellite loci for use as forensic identification markers. *International Journal of Legal Medicine*, 107, 13–20.
- Väli, Ü., Einarsson, A., Waits, L., & Ellegren, H. (2008). To what extent do microsatellite markers reflect genome-wide genetic diversity in natural populations? *Molecular Ecology*, 17, 3808–3817. <https://doi.org/10.1111/j.1365-294X.2008.03876.x>

- Valladão, G. M. R., Gallani, S. U., & Pilarski, F. (2016). South American fish for continental aquaculture. *Reviews in Aquaculture*, 0, 1–19. <https://doi.org/10.1111/raq.12164>
- Van Damme, P. A., Coca Méndez, C., Zapata, M., Carvajal-Vallejos, F. M., Carolsfeld, J., & Olden, J. D. (2015). The expansion of *Arapaima cf. gigas* (Osteoglossiformes: Arapaimidae) in the Bolivian Amazon as informed by citizen and formal science. *Management of Biological Invasions*, 6(4), 375–383. <https://doi.org/10.3391/mbi.2015.6.4.06>
- Vialle, R. A., de Souza, J. E. S., de Paiva Lopes, K., Teixeira, D. G., de Azevedo Alves Sobrinho, P., Ribeiro-dos-Santos, A. M., ... Santos, S. (2018). Whole genome sequencing of the Pirarucu (*Arapaima gigas*) supports independent emergence of major teleost clades. *Genome Biology and Evolution*, 10(9), 2366–2379. <https://doi.org/10.1093/gbe/evy130>
- Vigilant, L., Pennington, R., Harpending, H., Kocher, T. D., & Wilson, A. C. (1989). Mitochondrial DNA sequences in single hairs from a southern African population. *Proceedings of the National Academy of Sciences*, 86(December), 9350–9354.
- Vischer, H. F., Marques, R. B., Granneman, J. C. M., Linskens, M. H. K., Schulz, R. W., & Bogerd, J. (2004). Receptor-selective determinants in catfish gonadotropin seat-belt loops. *Molecular and Cellular Endocrinology*, 224, 55–63. <https://doi.org/10.1016/j.mce.2004.06.011>
- Vitorino, C. A., Oliveira, R. C. C., Margarido, V. P., & Venere, P. C. (2015). Genetic diversity of *Arapaima gigas* (Schinz, 1822) (Osteoglossiformes: Arapaimidae) in the Araguaia-Tocantins basin estimated by ISSR marker. *Neotropical Ichthyology*, 13(3), 557–568. <https://doi.org/10.1590/1982-0224-20150037>
- Vokoun, J. C. (2003). Kernel Density Estimates of Linear Home Ranges for Stream Fishes : Advantages and Data Requirements. *North American Journal of Fisheries Management*, 23, 1020–1029. <https://doi.org/10.1577/M02-141>
- Walker, D., Moler, P. E., Buhlmann, K. A., & Avise, J. C. (1998). Phylogeographic uniformity in mitochondrial DNA of the snappin turtle (*Chelydra serpentina*). *Animal Conservation*, 1, 55–60.

- Wallace, R. A., Hoch, K. L., & Carnevali, O. (1990). Placement of small lipovitellin subunits within the vitellogenin precursor in *Xenopus laevis*. *Journal of Molecular Biology*, *213*(3), 407–409. [https://doi.org/10.1016/S0022-2836\(05\)80203-7](https://doi.org/10.1016/S0022-2836(05)80203-7)
- Wang, H., Tan, J. T. T., Emelyanov, A., Korzh, V., & Gong, Z. (2005). Hepatic and extrahepatic expression of vitellogenin genes in the zebrafish, *Danio rerio*. *Gene*, *356*(1–2), 91–100. <https://doi.org/10.1016/j.gene.2005.03.041>
- Wang, L., Shi, X., Su, Y., Meng, Z., & Lin, H. (2012). Loss of Genetic Diversity in the Cultured Stocks of the Large Yellow Croaker, *Larimichthys crocea*, Revealed by Microsatellites. *International Journal of Molecular Sciences*, *13*(12), 5584–5597. <https://doi.org/10.3390/ijms13055584>
- Wang, N., Wang, R., Hu, Q., Xu, W., Zhu, Y., Yan, F., & Chen, S. (2017). Characterization of a low-density lipoprotein receptor, Lrp13, in Chinese tongue sole (*Cynoglossus semilaevis*) and medaka (*Oryzias latipes*). *Fish Physiology and Biochemistry*, *43*(5), 1289–1298. <https://doi.org/10.1007/s10695-017-0372-1>
- Wang, R., Gao, Y., Zhang, L., Zhang, Y., Fang, Z., He, J., ... Ma, G. (2010). Cloning, expression, and induction by 17- β estradiol (E2) of a vitellogenin gene in the white cloud mountain minnow *Tanichthys albonubes*. *Fish Physiology and Biochemistry*, *36*(2), 157–164. <https://doi.org/10.1007/s10695-008-9222-5>
- Wang, S., Wang, Y., Ma, J., Ding, Y., & Zhang, S. (2011). Phosvitin plays a critical role in the immunity of zebrafish embryos via acting as a pattern recognition receptor and an antimicrobial effector. *The Journal of Biological Chemistry*, *286*(25), 22653–22664. <https://doi.org/10.1074/jbc.M111.247635>
- Ward, R. H., Redd, A., Valencia, D., Frazier, B., & Pääbo, S. (1993). Genetic and linguistic differentiation in the Americas. *Proceedings of the National Academy of Science*, *90*, 10663–10667.
- Watahiki, M., Yamamoto, M., Yamakawa, M., Tanaka, M., & Nakashima, K. (1989). Conserved and Unique Amino Acid Residues in the Domains of the Growth Hormones. *Journal of Biological Chemistry*, *264*(1), 312–316.
- Watkins, J. C. (2007). Microsatellite evolution : Markov transition functions for a suite of models. *Theoretical Population Biology*, *71*, 147–159.

<https://doi.org/10.1016/j.tpb.2006.10.001>

- Watson, L. C., Stewart, D. J., & Kretzer, A. M. (2016). Genetic Diversity and Population Structure of the Threatened Giant Arapaima in Southwestern Guyana: Implications for Their Conservation . *Copeia*, *104*(4), 864–872. <https://doi.org/10.1643/cg-15-293>
- Weber, J. L., & Wong, C. (1993). Mutation of human short tandem repeats. *Human Molecular Genetics*, *2*(8), 1123–1128. <https://doi.org/Doi.10.1093/Hmg/2.8.1123>
- Welcomme, R. L. (1992). A history of international introduction of inland aquatic species. *ICES Marine Science Symposium*, *194*, 3–14. <https://doi.org/10.2307/1445460>
- Whittington, C. M., & Wilson, A. B. (2013). General and Comparative Endocrinology The role of prolactin in fish reproduction. *General and Comparative Endocrinology*, *191*, 123–136. <https://doi.org/10.1016/j.ygcen.2013.05.027>
- Williams, V. N., Reading, B. J., Hiramatsu, N., Amano, H., Glassbrook, N., Hara, A., & Sullivan, C. V. (2014). Multiple vitellogenins and product yolk proteins in striped bass, *Morone saxatilis*: molecular characterization and processing during oocyte growth and maturation. *Fish Physiology and Biochemistry*, *40*(2), 395–415. <https://doi.org/10.1007/s10695-013-9852-0>
- Worton, B. J. (1989). Kernel Methods for Estimating the Utilization Distribution in Home-Range Studies. *Ecology*, *70*(1), 164–168.
- Wright, S. (1978). *Evolution and the genetics of populations*. Chicago, University of Chicago Press, v. 4. *Variability within and among natural populations*. Retrieved from https://books.google.ci/books/about/Evolution_and_the_Genetics_of_Population.html?id=q0RDJf3K_aUC&redir_esc=y
- Xu, C. (2016). Gene expression of the vitellogenins and the receptors in Atlantic salmon (*Salmo salar*) during the annual reproductive cycle. *Masters's Thesis*. Norwegian University of Life Sciences, 1–41.
- Yamaguchi, A., Kato, K., Arizono, K., & Tominaga, N. (2015). Induction of the estrogen-responsive genes encoding choriogenin H and L in the liver of male medaka (*Oryzias latipes*) upon exposure to estrogen receptor subtype-selective ligands. *Journal of Applied Toxicology*, *35*(7), 752–758. <https://doi.org/10.1002/jat.3063>

- Yambe, H., Kitamura, S., Kamio, M., Yamada, M., Matsunaga, S., Fusetani, N., & Yamazaki, F. (2006). L-Kynurenine, an amino acid identified as a sex pheromone in the urine of ovulated female masu salmon. *Proceedings of the National Academy of Sciences*, *103*(42), 15370–15374. <https://doi.org/10.1073/pnas.0604340103>
- Yang, H. M., Wang, Y., Wang, Z. Y., & Wang, X. X. (2017). Seasonal and photoperiodic regulation of reproductive hormones and related genes in Yangzhou geese. *Poultry Science*, *96*(2), 486–490. <https://doi.org/10.3382/ps/pew340>
- Yao, A. H., Koumi, A. R., Atse, B. C., & Kouamelan, E. P. (2017). Etat de connaissance dur la pisciculture en Côte d'Ivoire. *Agronomie Africaine*, *29*(3), 227–244.
- Yasuda, A., Kawauchi, H., & Papkoff, H. (1990). The complete amino acid sequence of prolactin from the sea turtle (*Chelonia mydas*). *General and Comparative Endocrinology*, *80*(3), 363–371. [https://doi.org/10.1016/0016-6480\(90\)90185-O](https://doi.org/10.1016/0016-6480(90)90185-O)
- Yilmaz, O., Prat, F., Ibañez, A. J., Amano, H., Koksoy, S., & Sullivan, C. V. (2015). Estrogen-induced yolk precursors in European sea bass, *Dicentrarchus labrax*: Status and perspectives on multiplicity and functioning of vitellogenins. *General and Comparative Endocrinology*, *221*, 16–22. <https://doi.org/10.1016/j.yggen.2015.01.018>
- Yilmaz, O., Prat, F., Ibañez, A. J., Köksoy, S., Amano, H., & Sullivan, C. V. (2016). Multiple vitellogenins and product yolk proteins in European sea bass (*Dicentrarchus labrax*): Molecular characterization, quantification in plasma, liver and ovary, and maturational proteolysis. *Comparative Biochemistry and Physiology Part B*, *194–195*, 71–86. <https://doi.org/10.1016/j.cbpb.2015.11.010>
- Yu, R. M. K., Wong, M. M. L., Kong, R. Y. C., Wu, R. S. S., & Cheng, S. H. (2006). Induction of hepatic choriogenin mRNA expression in male marine medaka: A highly sensitive biomarker for environmental estrogens. *Aquatic Toxicology*, *77*(4), 348–358. <https://doi.org/10.1016/j.aquatox.2006.01.003>
- Yue, G. H., Liew, W. C., & Orban, L. (2006). The complete mitochondrial genome of a basal teleost, the Asian arowana (*Scleropages formosus*, Osteoglossidae). *BMC Genomics*, *7*(7), 242. <https://doi.org/10.1186/1471-2164-7-242>
- Zatylny-Gaudin, C., Cornet, V., Leduc, A., Zanuttini, B., Corre, E., Le Corguillé, G., ... Henry, J. (2016). Neuropeptidome of the Cephalopod *Sepia officinalis* : Identification,

Tissue Mapping, and Expression Pattern of Neuropeptides and Neurohormones during Egg Laying. *Journal of Proteome Research*, 15, 48–67.

<https://doi.org/10.1021/acs.jproteome.5b00463>

Zechel, C., Shen, X., Chen, J., Chen, Z., Chambon, P., & Gronemeyer, H. (1994). The dimerization interfaces formed between the DNA binding domains of RXR, RAR and TR determine the binding specificity and polarity of the full-length receptors to direct repeats. *The EMBO Journal*, 13(6), 1425–1433.

Zhang, S., Dong, Y., & Cui, P. (2015). Vitellogenin is an immunocompetent molecule for mother and offspring in fish. *Fish & Shellfish Immunology*, 46(2), 710–715.

<https://doi.org/10.1016/j.fsi.2015.08.011>

Zhong, L., Yuan, L., Rao, Y., Li, Z., Zhang, X., Liao, T., ... Dai, H. (2014). Distribution of vitellogenin in zebrafish (*Danio rerio*) tissues for biomarker analysis. *Aquatic Toxicology (Amsterdam, Netherlands)*, 149, 1–7.

<https://doi.org/10.1016/j.aquatox.2014.01.022>

Zohar, Y., Muñoz-Cueto, J. A., Elizur, A., & Kah, O. (2010). Neuroendocrinology of reproduction in teleost fish. *General and Comparative Endocrinology*, 165(3), 438–455.

<https://doi.org/10.1016/j.ygcen.2009.04.017>

Annexes

Loci	Séquence de l'amorce (5' -3')	GenBank	Répétition	T (°C)	Taille (pb)
<i>Hni94</i>	F-GCCACCGTTTGAGTGAATTT ^{-HEX} R-TCTGAGAACACGGTAGGATGC	JF279686	(GT)13	55.0	166-174
<i>Hni67</i>	F-CGCCTGTAAGCAATGAATGA ^{-6-FAM} R-TGCCATGGATGTCACAAGTT	JF279687	(CA)16	55.0	307-315
<i>Hni19</i>	F-GGCTGTGCAATTTGACATGA ^{-HEX} R-GTGCCTACAGCCATTTACCC	JF279688	(GT)17	55.8	119-123
<i>Hni61</i>	F-AGCTTGCATCTGGAAGCATT ^{-6-FAM} R-GTATCCACCTGGACCCACAG	JF279689	(CA)12	55.0	327-352
<i>Hni62</i>	F-CCTGGCTTTAGAGGCAGTTG ^{-6-FAM} R-CAGCTGTAGCAGGTTTGCTG	JF279690	(CA)11	55.0	276-294
<i>Hni14</i>	F-CAACCACTGCCATAGGAGGT ^{-HEX} R-GAACCAAGTCGAGCCATCAT	JF279691	(GT)27	55.8	125-152
<i>Hni52</i>	F-AAGGGGACCCTTGCAGTAGT ^{-HEX} R-GATGCAACATGCACTGCTCT	JF279692	(CA)16	55.0	267-279
<i>Hni47</i>	F-AACACATTACGCCCTTGGAG ^{-6-FAM} R-CAGCCCTGTGTACACTTCCA	JF279693	(CA)16	55.8	270-279
<i>Hni37</i>	F-CCACTTCAGAAAAAGCCATTG ^{-HEX} R-CAGGACCATAACACAACACCTG	JF279694	(CA)27	52.1	234-239
<i>Hni5</i>	F-CAGGAAGATTTGCACCACCT ^{-6-FAM} R- TGCCATTCTGGAAAAAGGAG	-	-	60	-
<i>HNi28</i>	F- TCCCTGCAGTCTGA AACACA ^{-6-FAM} R- AGACCCACAAGATCCAGGTG	-	-	60	-

D'après Carrera et al. (2011) ; Hurtado et al. (2013)

Annexe 1 : Amorces microsatellites développées pour *H. niloticus*

	Panel						
	1	2	3	4	5	6	7
Marqueurs microsatellites	Hni94/ Hni67	Hni52/ Hni62	Hni14/ Hni47	Hni19/ Hni61	Hni37	Hni5	Hni28
1 ^{ère} dénaturalisation	95°C 2min.	95°C 2min.	95°C 2min.	95°C 2min.	95°C 2min.	95°C 2min.	95°C 2min.
2 ^e dénaturalisation	95°C 30s	95°C 30s	95°C 30s	95°C 30s	95°C 30s	95°C 30s	95°C 30s
Hybridation	55°C 30s	55°C 30s	55,8°C 30s	55,4°C 35s	52,1°C 35s	54,2°C 30s	56,5°C 50s
Polymérisation	72°C 50s	72°C 50s	72°C 50s	72°C 50s	72°C 50s	72°C 50s	72°C 50s
Rénaturalisation	72°C 5min	72°C 5min	72°C 5min	72°C 5min	72°C 5min	72°C 5min	72°C 5min
Extension finale	10°C	10°C	10°C	10°C	10°C	10°C	10°C
Nombres de cycles	38	38	38	35	35	35	35
Produit final PCR Panel 1 à 4 (15 µl)	1,5 µl de Buffer 10x + 0,3 µl de dNTP 2 mM + 0,3 µl de MgCl ₂ + 0,75 µl de Primer F de chaque marqueur + 0,75 µl de Primer R de chaque marqueur + 0,1 µl de Taq + 1,5 µl d'ADN + 8,3 µl de H ₂ O pure						
Produit final PCR Panel 5 à 7 (15 µl)	1,5 µl de Buffer 10x + 0,3 µl de dNTP 2 mM + 0,3 µl de MgCl ₂ + 0,75 µl de Primer F + 0,75 µl de Primer R + 0,1 µl de Taq + 1,5 µl d'ADN + 9,8 µl de H ₂ O pure						

Annexe 2 : Panels microsatellites définis pour *H. niloticus*

Gène	Séquence de l'amorce (5' -3')	Références
NADH1 L3002 amp F	TACGACCTCGATGTTGGATCAGG	
NADH1 H4419 amp R	AAGCTTTYGGGCCCATACC	
NADH1 L3079 seq F	ACGTGATCTGAGTTCAGACCG	
NADH1 H4364 seq R	GGAAGCACTARGAGTTTTGA	
ATPase L8106 amp F	TGGGTGTAAAATAGATG	(Tomas Hrbek et al., 2005)
ATPase H9264 amp R	GAGGAGAGCRGCRGATGCCCC	
ATPase L8537 seq F	TGAAACTGACCATGACACTAAG	
ATPase H8516 seq R	CTTAGTGTCATGGTCAGTTTCA	
Cyt b L15930 F	CTTCGATCTTCGrTTTACAAG	(Lavoué & Sullivan, 2004)
Cyt b H14724 R	TGATATGAAAAACCATCGTTG	

amp : amplification, seq : séquençage,

Annexe 3 : Amorces mitochondriales développées pour *A. gigas*

HpA AGGTTTCGTTTGTTCACAGGATTAAGTCCCTACGTGATCTGAGTTCAGACCGGAGCAATCCAGGTCGGTTTCTATCTATGATTGACTCTTCCAG 95
 HpB AGGTTTCGTTTGTTCACAGGATTAAGTCCCTACGTGATCTGAGTTCAGACCGGAGCAATCCAGGTCGGTTTCTATCTATGATTGACTCTTCCAG 95
 HpC AGGTTTCGTTTGTTCACAGGATTAAGTCCCTACGTGATCTGAGTTCAGACCGGAGCAATCCAGGTCGGTTTCTATCTATGATTGACTCTTCCAG 95
 HpD AGGTTTCGTTTGTTCACAGGATTAAGTCCCTACGTGATCTGAGTTCAGACCGGAGCAATCCAGGTCGGTTTCTATCTATGATTGACTCTTCCAG 95
 HpA TACGAAAGGACCGGAAGAGGTAAGTCCATGCTTAAAGCATCTTACCTTATTTGATGAATACAACATAAATCAACAAAAGGGGCATCTAACCA 190
 HpB TACGAAAGGACCGGAAGAGGTAAGTCCATGCTTAAAGCATCTTACCTTATTTGATGAATACAACATAAATCAACAAAAGGGGCATCTAACCA 190
 HpC TACGAAAGGACCGGAAGAGGTAAGTCCATGCTTAAAGCATCTTACCTTATTTGATGAATACAACATAAATCAACAAAAGGGGCATCTAACCA 190
 HpD TACGAAAGGACCGGAAGAGGTAAGTCCATGCTTAAAGCATCTTACCTTATTTGATGAATACAACATAAATCAACAAAAGGGGCATCTAACCA 190
 HpA GCCAAAGACTATGGCAACTAAGGTGGCAGAGCCGTGGCAATGCAAGAGACCTAAGCCCTCTTACCCAGAGTTCAAATCCCTCTCCTTAGTAAACAT 285
 HpB GCCAAAGACTATGGCAACTAAGGTGGCAGAGCCGTGGCAATGCAAGAGACCTAAGCCCTCTTACCCAGAGTTCAAATCCCTCTCCTTAGTAAACAT 285
 HpC GCCAAAGACTATGGCAACTAAGGTGGCAGAGCCGTGGCAATGCAAGAGACCTAAGCCCTCTTACCCAGAGTTCAAATCCCTCTCCTTAGTAAACAT 285
 HpD GCCAAAGACTATGGCAACTAAGGTGGCAGAGCCGTGGCAATGCAAGAGACCTAAGCCCTCTTACCCAGAGTTCAAATCCCTCTCCTTAGTAAACAT 285
 HpA GCACAAATGAATATCTCCACAATCAATCCCTTACTTTACATTTCCAGTCCACTGCGGGTTGCCCTCCCTAACCTCTCCTAGAACGCAAAAATTT 380
 HpB GCACAAATGAATATCTCCACAATCAATCCCTTACTTTACATTTCCAGTCCACTGCGGGTTGCCCTCCCTAACCTCTCCTAGAACGCAAAAATTT 380
 HpC GCACAAATGAATATCTCCACAATCAATCCCTTACTTTACATTTCCAGTCCACTGCGGGTTGCCCTCCCTAACCTCTCCTAGAACGCAAAAATTT 380
 HpD GCACAAATGAATATCTCCACAATCAATCCCTTACTTTACATTTCCAGTCCACTGCGGGTTGCCCTCCCTAACCTCTCCTAGAACGCAAAAATTT 380
 HpA TAGGATATATACAACCTCCGAAAAGGCCAAACATTTGAGGACCTATGGCTTACTACAACCTTCGCGAGACGGAGTTAAACTTCTTATTAAGAA 475
 HpB TAGGATATATACAACCTCCGAAAAGGCCAAACATTTGAGGACCTATGGCTTACTACAACCTTCGCGAGACGGAGTTAAACTTCTTATTAAGAA 475
 HpC TAGGATATATACAACCTCCGAAAAGGCCAAACATTTGAGGACCTATGGCTTACTACAACCTTCGCGAGACGGAGTTAAACTTCTTATTAAGAA 475
 HpD TAGGATATATACAACCTCCGAAAAGGCCAAACATTTGAGGACCTATGGCTTACTACAACCTTCGCGAGACGGAGTTAAACTTCTTATTAAGAA 475
 HpA CCAATCCGACCCACACAGCCCTCCCATTTTTATCTCCAGCAGCCCTGCACTAGCTTTTATCTTAGCTTATCCCTTGAGCCCAATGCCACT 570
 HpB CCAATCCGACCCACACAGCCCTCCCATTTTTATCTCCAGCAGCCCTGCACTAGCTTTTATCTTAGCTTATCCCTTGAGCCCAATGCCACT 570
 HpC CCAATCCGACCCACACAGCCCTCCCATTTTTATCTCCAGCAGCCCTGCACTAGCTTTTATCTTAGCTTATCCCTTGAGCCCAATGCCACT 570
 HpD CCAATCCGACCCACACAGCCCTCCCATTTTTATCTCCAGCAGCCCTGCACTAGCTTTTATCTTAGCTTATCCCTTGAGCCCAATGCCACT 570
 HpA TCCATACCCAATCGCAAAACATAAACCTAGGAATTTTTATCTCCAGTCTAGCTTTTCTAGCCCTCTCAGTATACACAATCTTAGGCTCGGGATGAGCAT 665
 HpB TCCATACCCAATCGCAAAACATAAACCTAGGAATTTTTATCTCCAGTCTAGCTTTTCTAGCCCTCTCAGTATACACAATCTTAGGCTCGGGATGAGCAT 665
 HpC TCCATACCCAATCGCAAAACATAAACCTAGGAATTTTTATCTCCAGTCTAGCTTTTCTAGCCCTCTCAGTATACACAATCTTAGGCTCGGGATGAGCAT 665
 HpD TCCATACCCAATCGCAAAACATAAACCTAGGAATTTTTATCTCCAGTCTAGCTTTTCTAGCCCTCTCAGTATACACAATCTTAGGCTCGGGATGAGCAT 665
 HpA CCAACTCCAACCTAGCCCTTAATGGGGCATTACGAGCCGTAGCTCAGACCATTTTCATATGAAGTTAGCCAGCCTAATCCCTCTATCAACAATC 760
 HpB CCAACTCCAACCTAGCCCTTAATGGGGCATTACGAGCCGTAGCTCAGACCATTTTCATATGAAGTTAGCCAGCCTAATCCCTCTATCAACAATC 760
 HpC CCAACTCCAACCTAGCCCTTAATGGGGCATTACGAGCCGTAGCTCAGACCATTTTCATATGAAGTTAGCCAGCCTAATCCCTCTATCAACAATC 760
 HpD CCAACTCCAACCTAGCCCTTAATGGGGCATTACGAGCCGTAGCTCAGACCATTTTCATATGAAGTTAGCCAGCCTAATCCCTCTATCAACAATC 760
 HpA ATATTCACAGGAGGCTTCGCCCTCCAACCTTTAAACAACACTCAAGAAGACTGACCTCAATTCAGCCGAGCCACCTCGCCGCAATATGATA 855
 HpB ATATTCACAGGAGGCTTCGCCCTCCAACCTTTAAACAACACTCAAGAAGACTGACCTCAATTCAGCCGAGCCACCTCGCCGCAATATGATA 855
 HpC ATATTCACAGGAGGCTTCGCCCTCCAACCTTTAAACAACACTCAAGAAGACTGACCTCAATTCAGCCGAGCCACCTCGCCGCAATATGATA 855
 HpD ATATTCACAGGAGGCTTCGCCCTCCAACCTTTAAACAACACTCAAGAAGACTGACCTCAATTCAGCCGAGCCACCTCGCCGCAATATGATA 855
 HpA TATTTCAACACTAGCAGAAACCAACCGAGCCCTTTTGACCTTACAGAAGGAGAAATCCGAATTTGTCAGAGCTTCAACCTCGAATATGCGAGGG 950
 HpB TATTTCAACACTAGCAGAAACCAACCGAGCCCTTTTGACCTTACAGAAGGAGAAATCCGAATTTGTCAGAGCTTCAACCTCGAATATGCGAGGG 950
 HpC TATTTCAACACTAGCAGAAACCAACCGAGCCCTTTTGACCTTACAGAAGGAGAAATCCGAATTTGTCAGAGCTTCAACCTCGAATATGCGAGGG 950
 HpD TATTTCAACACTAGCAGAAACCAACCGAGCCCTTTTGACCTTACAGAAGGAGAAATCCGAATTTGTCAGAGCTTCAACCTCGAATATGCGAGGG 950
 HpA GACCCTTCGTGCTATTTTCCCTTGGCGAATACGCTAACCTCCTCTTAAATAACTCCCTATCCGCGGATTTTCTTAGGGCCTACTACAGCCCT 1045
 HpB GACCCTTCGTGCTATTTTCCCTTGGCGAATACGCTAACCTCCTCTTAAATAACTCCCTATCCGCGGATTTTCTTAGGGCCTACTACAGCCCT 1045
 HpC GACCCTTCGTGCTATTTTCCCTTGGCGAATACGCTAACCTCCTCTTAAATAACTCCCTATCCGCGGATTTTCTTAGGGCCTACTACAGCCCT 1045
 HpD GACCCTTCGTGCTATTTTCCCTTGGCGAATACGCTAACCTCCTCTTAAATAACTCCCTATCCGCGGATTTTCTTAGGGCCTACTACAGCCCT 1045
 HpA ATACTCCGAAACCCACCTTCAGCCCTCAATAAAAAGCCCTCCCTGCTCTCAGTATGCAATCCCTTGAAGTGGCAGCCCTCTATCCCGATTCG 1140
 HpB ATACTCCGAAACCCACCTTCAGCCCTCAATAAAAAGCCCTCCCTGCTCTCAGTATGCAATCCCTTGAAGTGGCAGCCCTCTATCCCGATTCG 1140
 HpC ATACTCCGAAACCCACCTTCAGCCCTCAATAAAAAGCCCTCCCTGCTCTCAGTATGCAATCCCTTGAAGTGGCAGCCCTCTATCCCGATTCG 1140
 HpD ATACTCCGAAACCCACCTTCAGCCCTCAATAAAAAGCCCTCCCTGCTCTCAGTATGCAATCCCTTGAAGTGGCAGCCCTCTATCCCGATTCG 1140
 HpA GTACGCAACCTAATGCACTAGTATGAAAAAATCTTCCCTCCATCACAATAAGCCCTTATTAATCTGACACACCCTCCCTACCTAGCAATAGCA 1235
 HpB GTACGCAACCTAATGCACTAGTATGAAAAAATCTTCCCTCCATCACAATAAGCCCTTATTAATCTGACACACCCTCCCTACCTAGCAATAGCA 1235
 HpC GTACGCAACCTAATGCACTAGTATGAAAAAATCTTCCCTCCATCACAATAAGCCCTTATTAATCTGACACACCCTCCCTACCTAGCAATAGCA 1235
 HpD GTACGCAACCTAATGCACTAGTATGAAAAAATCTTCCCTCCATCACAATAAGCCCTTATTAATCTGACACACCCTCCCTACCTAGCAATAGCA 1235
 HpA GCGTCGCCCCACAAACCTAAAGGAAGTGTGCGTGAAGAGCCAAAGACTCTTGTAGAGTATACCAATGGGGGTTAAATCCGCCCCACACCCCT 1330
 HpB GCGTCGCCCCACAAACCTAAAGGAAGTGTGCGTGAAGAGCCAAAGACTCTTGTAGAGTATACCAATGGGGGTTAAATCCGCCCCACACCCCT 1330
 HpC GCGTCGCCCCACAAACCTAAAGGAAGTGTGCGTGAAGAGCCAAAGACTCTTGTAGAGTATACCAATGGGGGTTAAATCCGCCCCACACCCCT 1330
 HpD GCGTCGCCCCACAAACCTAAAGGAAGTGTGCGTGAAGAGCCAAAGACTCTTGTAGAGTATACCAATGGGGGTTAAATCCGCCCCACACCCCT 1330
 HpA CAAGTATCTCCACATGATGAAACTTTGGCTCCCTCCTATGCTCTGTTTAGCCGTCCAAACTCAACCGGCTATTCTTCTAGCTATACATTACC 1425
 HpB CAAGTATCTCCACATGATGAAACTTTGGCTCCCTCCTATGCTCTGTTTAGCCGTCCAAACTCAACCGGCTATTCTTCTAGCTATACATTACC 1425
 HpC CAAGTATCTCCACATGATGAAACTTTGGCTCCCTCCTATGCTCTGTTTAGCCGTCCAAACTCAACCGGCTATTCTTCTAGCTATACATTACC 1425
 HpD CAAGTATCTCCACATGATGAAACTTTGGCTCCCTCCTATGCTCTGTTTAGCCGTCCAAACTCAACCGGCTATTCTTCTAGCTATACATTACC 1425
 HpA TCAGACATCTCAACCGGCTTTCTCTCTGTGCGCCACATCTCAGGAGAGCTCAACTATGGTTGACTAATCCCGAGCCCTCAATGCAAAAGGGCGCT 1520
 HpB TCAGACATCTCAACCGGCTTTCTCTCTGTGCGCCACATCTCAGGAGAGCTCAACTATGGTTGACTAATCCCGAGCCCTCAATGCAAAAGGGCGCT 1520
 HpC TCAGACATCTCAACCGGCTTTCTCTCTGTGCGCCACATCTCAGGAGAGCTCAACTATGGTTGACTAATCCCGAGCCCTCAATGCAAAAGGGCGCT 1520
 HpD TCAGACATCTCAACCGGCTTTCTCTCTGTGCGCCACATCTCAGGAGAGCTCAACTATGGTTGACTAATCCCGAGCCCTCAATGCAAAAGGGCGCT 1520
 HpA ATTTCTTCTGATCTGCACTACTCCCTATGAGCCGAGGCGCTTACTATGGCTCTACACCTATAAAGAAACATGAAACATGGAGTAGTACT 1615
 HpB ATTTCTTCTGATCTGCACTACTCCCTATGAGCCGAGGCGCTTACTATGGCTCTACACCTATAAAGAAACATGAAACATGGAGTAGTACT 1615
 HpC ATTTCTTCTGATCTGCACTACTCCCTATGAGCCGAGGCGCTTACTATGGCTCTACACCTATAAAGAAACATGAAACATGGAGTAGTACT 1615
 HpD ATTTCTTCTGATCTGCACTACTCCCTATGAGCCGAGGCGCTTACTATGGCTCTACACCTATAAAGAAACATGAAACATGGAGTAGTACT 1615
 HpA TACTCTAGTAAATAAAGAGCCTTTGTAGGATATGCTCTTCCGAGGACAATAATCATTCTGAGGCGCTACAGTTATACCAATCTTCTATC 1710
 HpB TACTCTAGTAAATAAAGAGCCTTTGTAGGATATGCTCTTCCGAGGACAATAATCATTCTGAGGCGCTACAGTTATACCAATCTTCTATC 1710
 HpC TACTCTAGTAAATAAAGAGCCTTTGTAGGATATGCTCTTCCGAGGACAATAATCATTCTGAGGCGCTACAGTTATACCAATCTTCTATC 1710
 HpD TACTCTAGTAAATAAAGAGCCTTTGTAGGATATGCTCTTCCGAGGACAATAATCATTCTGAGGCGCTACAGTTATACCAATCTTCTATC 1710
 HpA GCTATCCCCTATATCGGAAATGACTTGTACAATGAATCTGAGGTGGCTCTCAGTAAGCAATGCAACCTTAAACCGAATTTTTGGCATTCCACT 1805
 HpB GCTATCCCCTATATCGGAAATGACTTGTACAATGAATCTGAGGTGGCTCTCAGTAAGCAATGCAACCTTAAACCGAATTTTTGGCATTCCACT 1805
 HpC GCTATCCCCTATATCGGAAATGACTTGTACAATGAATCTGAGGTGGCTCTCAGTAAGCAATGCAACCTTAAACCGAATTTTTGGCATTCCACT 1805
 HpD GCTATCCCCTATATCGGAAATGACTTGTACAATGAATCTGAGGTGGCTCTCAGTAAGCAATGCAACCTTAAACCGAATTTTTGGCATTCCACT 1805
 HpA CCTACTTCCATTCGCCATTGCTGCTGCAATCCCTCCAGCTATTTACTTCCATGAAACAGGATCCAAATATCCCGAGCCCTAAACTCCCAAG 1900
 HpB CCTACTTCCATTCGCCATTGCTGCTGCAATCCCTCCAGCTATTTACTTCCATGAAACAGGATCCAAATATCCCGAGCCCTAAACTCCCAAG 1900
 HpC CCTACTTCCATTCGCCATTGCTGCTGCAATCCCTCCAGCTATTTACTTCCATGAAACAGGATCCAAATATCCCGAGCCCTAAACTCCCAAG 1900
 HpD CCTACTTCCATTCGCCATTGCTGCTGCAATCCCTCCAGCTATTTACTTCCATGAAACAGGATCCAAATATCCCGAGCCCTAAACTCCCAAG 1900
 HpA CAGACAAAATCCACTTCCACCCATCTTTACAAAATAAGACTTACTTGGTTTCCCTAATATACTACTAGCCTAATTTCCCTAGCCCTTTTCCTCC 1995
 HpB CAGACAAAATCCACTTCCACCCATCTTTACAAAATAAGACTTACTTGGTTTCCCTAATATACTACTAGCCTAATTTCCCTAGCCCTTTTCCTCC 1995
 HpC CAGACAAAATCCACTTCCACCCATCTTTACAAAATAAGACTTACTTGGTTTCCCTAATATACTACTAGCCTAATTTCCCTAGCCCTTTTCCTCC 1995
 HpD CAGACAAAATCCACTTCCACCCATCTTTACAAAATAAGACTTACTTGGTTTCCCTAATATACTACTAGCCTAATTTCCCTAGCCCTTTTCCTCC 1995
 HpA CCAACCTGCTAGGAGACCCAGAAAACCTTCATCCAGCCAACTCACTAGTCACCCCTCCACATATTAACCGAATGGTACTTCTATTCGCATA 2090
 HpB CCAACCTGCTAGGAGACCCAGAAAACCTTCATCCAGCCAACTCACTAGTCACCCCTCCACATATTAACCGAATGGTACTTCTATTCGCATA 2090
 HpC CCAACCTGCTAGGAGACCCAGAAAACCTTCATCCAGCCAACTCACTAGTCACCCCTCCACATATTAACCGAATGGTACTTCTATTCGCATA 2090
 HpD CCAACCTGCTAGGAGACCCAGAAAACCTTCATCCAGCCAACTCACTAGTCACCCCTCCACATATTAACCGAATGGTACTTCTATTCGCATA 2090
 HpA CGCTATCTACGATCTATCCAAAATAAAGCTTGGAGGGCTCTAGCCCTTATTTCTCAATCCCTATCTTAATAATGTCCCAATCTCCACACCT 2185
 HpB CGCTATCTACGATCTATCCAAAATAAAGCTTGGAGGGCTCTAGCCCTTATTTCTCAATCCCTATCTTAATAATGTCCCAATCTCCACACCT 2185
 HpC CGCTATCTACGATCTATCCAAAATAAAGCTTGGAGGGCTCTAGCCCTTATTTCTCAATCCCTATCTTAATAATGTCCCAATCTCCACACCT 2185
 HpD CGCTATCTACGATCTATCCAAAATAAAGCTTGGAGGGCTCTAGCCCTTATTTCTCAATCCCTATCTTAATAATGTCCCAATCTCCACACCT 2185
 HpA CAAAAACAAGCCCTAACATCCGCCACTATCACAATAACCTTATTCAGCCCTGGCAGCAGACATATTTACTCCTACCTGAACTGGAGGGATA 2280
 HpB CAAAAACAAGCCCTAACATCCGCCACTATCACAATAACCTTATTCAGCCCTGGCAGCAGACATATTTACTCCTACCTGAACTGGAGGGATA 2280
 HpC CAAAAACAAGCCCTAACATCCGCCACTATCACAATAACCTTATTCAGCCCTGGCAGCAGACATATTTACTCCTACCTGAACTGGAGGGATA 2280
 HpD CAAAAACAAGCCCTAACATCCGCCACTATCACAATAACCTTATTCAGCCCTGGCAGCAGACATATTTACTCCTACCTGAACTGGAGGGATA 2280
 HpA CCAAGTAAATACCCATTTATACCATTGGACAAATGCAATCAACTTACTTCACTACTATTCTCCTACTCGCCCACTAACAGGCTTTTGA 2374
 HpB CCAAGTAAATACCCATTTATACCATTGGACAAATGCAATCAACTTACTTCACTACTATTCTCCTACTCGCCCACTAACAGGCTTTTGA 2374
 HpC CCAAGTAAATACCCATTTATACCATTGGACAAATGCAATCAACTTACTTCACTACTATTCTCCTACTCGCCCACTAACAGGCTTTTGA 2375
 HpD CCAAGTAAATACCCATTTATACCATTGGACAAATGCAATCAACTTACTTCACTACTATTCTCCTACTCGCCCACTAACAGGCTTTTGA 2375
 HpA AAACAAAAT 2383
 HpB AAACAAAAT 2383
 HpC AAACAAAAT 2384
 HpD AAACAAAAT 2384

Annexe 4 : Aligement des séquences nucléotidiques des quatre haplotypes HpA, HpB, HpC et HpD des gènes mitochondriaux concaténés (Cytochrome b et segment NADH1) de *H. niloticus* avec les sites polymorphiques en bleu

Hp1 ACCCCATCAAGTATCTCCACATGATGAAACTTTGGCTCCCTCCTATGTCTCTGTTTAGCCGTCCAAATCCTAACCGGCTATTCCTAGCTATACA 95
 Hp6 ACCCCATCAAGTATCTCCACATGATGAAACTTTGGCTCCCTCCTATGTCTCTGTTTAGCCGTCCAAATCCTAACCGGCTATTCCTAGCTATACA 95
 Hp3 ACCCCATCAAGTATCTCCACATGATGAAACTTTGGCTCCCTCCTATGTCTCTGTTTAGCCGTCCAAATCCTAACCGGCTATTCCTAGCTATACA 95
 Hp4 ACCCCATCAAGTATCTCCACATGATGAAACTTTGGCTCCCTCCTATGTCTCTGTTTAGCCGTCCAAATCCTAACCGGCTATTCCTAGCTATACA 95
 Hp5 ACCCCATCAAGTATCTCCACATGATGAAACTTTGGCTCCCTCCTATGTCTCTGTTTAGCCGTCCAAATCCTAACCGGCTATTCCTAGCTATACA 95
 Hp2 ACCCCATCAAGTATCTCCACATGATGAAACTTTGGCTCCCTCCTATGTCTCTGTTTAGCCGTCCAAATCCTAACCGGCTATTCCTAGCTATACA 95
 Hp1 TTAACCCTCAGACATCTCAACGGCTTTCTCTTCTGTGCGCCACATCTCACGAGAGCGTCAACTATGGATGACTAATCCCGCAGGCTCCATGCAAAACG 190
 Hp6 TTAACCCTCAGACATCTCAACGGCTTTCTCTTCTGTGCGCCACATCTCACGAGAGCGTCAACTATGGATGACTAATCCCGCAGGCTCCATGCAAAACG 190
 Hp3 TTAACCCTCAGACATCTCAACGGCTTTCTCTTCTGTGCGCCACATCTCACGAGAGCGTCAACTATGGATGACTAATCCCGCAGGCTCCATGCAAAACG 190
 Hp4 TTAACCCTCAGACATCTCAACGGCTTTCTCTTCTGTGCGCCACATCTCACGAGAGCGTCAACTATGGATGACTAATCCCGCAGGCTCCATGCAAAACG 190
 Hp5 TTAACCCTCAGACATCTCAACGGCTTTCTCTTCTGTGCGCCACATCTCACGAGAGCGTCAACTATGGATGACTAATCCCGCAGGCTCCATGCAAAACG 190
 Hp2 TTAACCCTCAGACATCTCAACGGCTTTCTCTTCTGTGCGCCACATCTCACGAGAGCGTCAACTATGGATGACTAATCCCGCAGGCTCCATGCAAAACG 190
 Hp1 GCGCCTCATTCTTCTCATCTGCATCTACCTCCATGTAGCCCGAGGGCTTTACTATGGCTCTTACACCTATAAAGAAACATGAAACATTGGAGTA 285
 Hp6 GCGCCTCATTCTTCTCATCTGCATCTACCTCCATGTAGCCCGAGGGCTTTACTATGGCTCTTACACCTATAAAGAAACATGAAACATTGGAGTA 285
 Hp3 GCGCCTCATTCTTCTCATCTGCATCTACCTCCATGTAGCCCGAGGGCTTTACTATGGCTCTTACACCTATAAAGAAACATGAAACATTGGAGTA 285
 Hp4 GCGCCTCATTCTTCTCATCTGCATCTACCTCCATGTAGCCCGAGGGCTTTACTATGGCTCTTACACCTATAAAGAAACATGAAACATTGGAGTA 285
 Hp5 GCGCCTCATTCTTCTCATCTGCATCTACCTCCATGTAGCCCGAGGGCTTTACTATGGCTCTTACACCTATAAAGAAACATGAAACATTGGAGTA 285
 Hp2 GCGCCTCATTCTTCTCATCTGCATCTACCTCCATGTAGCCCGAGGGCTTTACTATGGCTCTTACACCTATAAAGAAACATGAAACATTGGAGTA 285
 Hp1 GTACTATTACTCCTAGTAATAAATACAGCCCTTTGTAGGATATGTCCCTTCCGTGAGGACAAATATCATTCTGAGGGCGCTACAGTTATCACC AATCT 380
 Hp6 GTACTATTACTCCTAGTAATAAATACAGCCCTTTGTAGGATATGTCCCTTCCGTGAGGACAAATATCATTCTGAGGGCGCTACAGTTATCACC AATCT 380
 Hp3 GTACTATTACTCCTAGTAATAAATACAGCCCTTTGTAGGATATGTCCCTTCCGTGAGGACAAATATCATTCTGAGGGCGCTACAGTTATCACC AATCT 380
 Hp4 GTACTATTACTCCTAGTAATAAATACAGCCCTTTGTAGGATATGTCCCTTCCGTGAGGACAAATATCATTCTGAGGGCGCTACAGTTATCACC AATCT 380
 Hp5 GTACTATTACTCCTAGTAATAAATACAGCCCTTTGTAGGATATGTCCCTTCCGTGAGGACAAATATCATTCTGAGGGCGCTACAGTTATCACC AATCT 380
 Hp2 GTACTATTACTCCTAGTAATAAATACAGCCCTTTGTAGGATATGTCCCTTCCGTGAGGACAAATATCATTCTGAGGGCGCTACAGTTATCACC AATCT 380
 Hp1 TCTATCCGCTATCCCTTATATCGGAAATGACCTGTACAATGAATCTGAGGTGGCTTCTCAGTAAGCAATGCTACCCTAACACGATTTTTTGGCAT 475
 Hp6 TCTATCCGCTATCCCTTATATCGGAAATGACCTGTACAATGAATCTGAGGTGGCTTCTCAGTAAGCAATGCTACCCTAACACGATTTTTTGGCAT 475
 Hp3 TCTATCCGCTATCCCTTATATCGGAAATGACCTGTACAATGAATCTGAGGTGGCTTCTCAGTAAGCAATGCTACCCTAACACGATTTTTTGGCAT 475
 Hp4 TCTATCCGCTATCCCTTATATCGGAAATGACCTGTACAATGAATCTGAGGTGGCTTCTCAGTAAGCAATGCTACCCTAACACGATTTTTTGGCAT 475
 Hp5 TCTATCCGCTATCCCTTATATCGGAAATGACCTGTACAATGAATCTGAGGTGGCTTCTCAGTAAGCAATGCTACCCTAACACGATTTTTTGGCAT 475
 Hp2 TCTATCCGCTATCCCTTATATCGGAAATGACCTGTACAATGAATCTGAGGTGGCTTCTCAGTAAGCAATGCTACCCTAACACGATTTTTTGGCAT 475
 Hp1 TCCACTTCCCTACTTCCATTCGCCATTGCTGCTGCAATCCTCCCTCCACGTATTATTCTCCATGAAACAGGATCCCAATATCCCGCAGGCTTAAAC 570
 Hp6 TCCACTTCCCTACTTCCATTCGCCATTGCTGCTGCAATCCTCCCTCCACGTATTATTCTCCATGAAACAGGATCCCAATATCCCGCAGGCTTAAAC 570
 Hp3 TCCACTTCCCTACTTCCATTCGCCATTGCTGCTGCAATCCTCCCTCCACGTATTATTCTCCATGAAACAGGATCCCAATATCCCGCAGGCTTAAAC 570
 Hp4 TCCACTTCCCTACTTCCATTCGCCATTGCTGCTGCAATCCTCCCTCCACGTATTATTCTCCATGAAACAGGATCCCAATATCCCGCAGGCTTAAAC 570
 Hp5 TCCACTTCCCTACTTCCATTCGCCATTGCTGCTGCAATCCTCCCTCCACGTATTATTCTCCATGAAACAGGATCCCAATATCCCGCAGGCTTAAAC 570
 Hp2 TCCACTTCCCTACTTCCATTCGCCATTGCTGCTGCAATCCTCCCTCCACGTATTATTCTCCATGAAACAGGATCCCAATATCCCGCAGGCTTAAAC 570
 Hp1 TCCAACGAGACAAAATCCACTTCCACCCATACCTTTACAATAAAGACTTACTTGGTTTCCCTAATTATACACTAGCCTAATTTCCCTAGCCCT 665
 Hp6 TCCAACGAGACAAAATCCACTTCCACCCATACCTTTACAATAAAGACTTACTTGGTTTCCCTAATTATACACTAGCCTAATTTCCCTAGCCCT 665
 Hp3 TCCAACGAGACAAAATCCACTTCCACCCATACCTTTACAATAAAGACTTACTTGGTTTCCCTAATTATACACTAGCCTAATTTCCCTAGCCCT 665
 Hp4 TCCAACGAGACAAAATCCACTTCCACCCATACCTTTACAATAAAGACTTACTTGGTTTCCCTAATTATACACTAGCCTAATTTCCCTAGCCCT 665
 Hp5 TCCAACGAGACAAAATCCACTTCCACCCATACCTTTACAATAAAGACTTACTTGGTTTCCCTAATTATACACTAGCCTAATTTCCCTAGCCCT 665
 Hp2 TCCAACGAGACAAAATCCACTTCCACCCATACCTTTACAATAAAGACTTACTTGGTTTCCCTAATTATACACTAGCCTAATTTCCCTAGCCCT 665
 Hp1 TTTCTCCCCAAACCTGCTAGGAGACCCAGAAAACCTTCAATCCAGCCAACTCACTAGTCAACCCCTCCACATATAAACCAGAATGGTACTTCCCTAT 760
 Hp6 TTTCTCCCCAAACCTGCTAGGAGACCCAGAAAACCTTCAATCCAGCCAACTCACTAGTCAACCCCTCCACATATAAACCAGAATGGTACTTCCCTAT 760
 Hp3 TTTCTCCCCAAACCTGCTAGGAGACCCAGAAAACCTTCAATCCAGCCAACTCACTAGTCAACCCCTCCACATATAAACCAGAATGGTACTTCCCTAT 760
 Hp4 TTTCTCCCCAAACCTGCTAGGAGACCCAGAAAACCTTCAATCCAGCCAACTCACTAGTCAACCCCTCCACATATAAACCAGAATGGTACTTCCCTAT 760
 Hp5 TTTCTCCCCAAACCTGCTAGGAGACCCAGAAAACCTTCAATCCAGCCAACTCACTAGTCAACCCCTCCACATATAAACCAGAATGGTACTTCCCTAT 760
 Hp2 TTTCTCCCCAAACCTGCTAGGAGACCCAGAAAACCTTCAATCCAGCCAACTCACTAGTCAACCCCTCCACATATAAACCAGAATGGTACTTCCCTAT 760
 Hp1 TCGCATACGCTATTCTACGATCTATTCCAAAATAAAGCTTGGAGGGCTCCTAGCCCTCTTATTCTCAATCCTCATTTCAATAATTGTCCCAATACTC 855
 Hp6 TCGCATACGCTATTCTACGATCTATTCCAAAATAAAGCTTGGAGGGCTCCTAGCCCTCTTATTCTCAATCCTCATTTCAATAATTGTCCCAATACTC 855
 Hp3 TCGCATACGCTATTCTACGATCTATTCCAAAATAAAGCTTGGAGGGCTCCTAGCCCTCTTATTCTCAATCCTCATTTCAATAATTGTCCCAATACTC 855
 Hp4 TCGCATACGCTATTCTACGATCTATTCCAAAATAAAGCTTGGAGGGCTCCTAGCCCTCTTATTCTCAATCCTCATTTCAATAATTGTCCCAATACTC 855
 Hp5 TCGCATACGCTATTCTACGATCTATTCCAAAATAAAGCTTGGAGGGCTCCTAGCCCTCTTATTCTCAATCCTCATTTCAATAATTGTCCCAATACTC 855
 Hp2 TCGCATACGCTATTCTACGATCTATTCCAAAATAAAGCTTGGAGGGCTCCTAGCCCTCTTATTCTCAATCCTCATTTCAATAATTGTCCCAATACTC 855
 Hp1 CACACCTCAAAAATACAAGCCCTAACATTCGGCCCACTATCACAAATCCTATTCTGAGCCCTGGCAGCAGACATATTTATTCACCTGAATCGG 950
 Hp6 CACACCTCAAAAATACAAGCCCTAACATTCGGCCCACTATCACAAATCCTATTCTGAGCCCTGGCAGCAGACATATTTATTCACCTGAATCGG 950
 Hp3 CACACCTCAAAAATACAAGCCCTAACATTCGGCCCACTATCACAAATCCTATTCTGAGCCCTGGCAGCAGACATATTTATTCACCTGAATCGG 950
 Hp4 CACACCTCAAAAATACAAGCCCTAACATTCGGCCCACTATCACAAATCCTATTCTGAGCCCTGGCAGCAGACATATTTATTCACCTGAATCGG 950
 Hp5 CACACCTCAAAAATACAAGCCCTAACATTCGGCCCACTATCACAAATCCTATTCTGAGCCCTGGCAGCAGACATATTTATTCACCTGAATCGG 950
 Hp2 CACACCTCAAAAATACAAGCCCTAACATTCGGCCCACTATCACAAATCCTATTCTGAGCCCTGGCAGCAGACATATTTATTCACCTGAATCGG 950
 Hp1 AGGGATACCAGTAGAATACCCATTTATTACCATTGGACAAATGTCATCAATCTTACTTTCATACTATTTCTCCTACTCGCCCACTAACAAAGCC 1045
 Hp6 AGGGATACCAGTAGAATACCCATTTATTACCATTGGACAAATGTCATCAATCTTACTTTCATACTATTTCTCCTACTCGCCCACTAACAAAGCC 1045
 Hp3 AGGGATACCAGTAGAATACCCATTTATTACCATTGGACAAATGTCATCAATCTTACTTTCATACTATTTCTCCTACTCGCCCACTAACAAAGCC 1045
 Hp4 AGGGATACCAGTAGAATACCCATTTATTACCATTGGACAAATGTCATCAATCTTACTTTCATACTATTTCTCCTACTCGCCCACTAACAAAGCC 1045
 Hp5 AGGGATACCAGTAGAATACCCATTTATTACCATTGGACAAATGTCATCAATCTTACTTTCATACTATTTCTCCTACTCGCCCACTAACAAAGCC 1045
 Hp2 AGGGATACCAGTAGAATACCCATTTATTACCATTGGACAAATGTCATCAATCTTACTTTCATACTATTTCTCCTACTCGCCCACTAACAAAGCC 1045
 Hp1 TATTGAAAAACAAAAT 1060
 Hp6 TATTGAAAAACAAAAT 1061
 Hp3 TATTGAAAAACAAAAT 1061
 Hp4 TATTGAAAAACAAAAT 1060
 Hp5 TGTGAAAAACAAAAT 1061
 Hp2 TACTGAAAAACAAAAT 1061

Annexe 5 : Alignement des séquences nucléotidiques des six haplotypes Hp1, Hp2, Hp3, Hp4, Hp5 et Hp6 d'un fragment du gène mitochondrial Cyt b de *H. niloticus* avec les sites polymorphiques en bleu.

Hpl AGGGTTCGTTTGTTCACGATTAAGTCCACGTGATCTGAGTTCAGACCGGAGCAATCCAGGTCGGTTTCTATCTATGTATTGACTCTTCC TAG 95
 Hpll AGGGTTCGTTTGTTCACGATTAAGTCCACGTGATCTGAGTTCAGACCGGAGCAATCCAGGTCGGTTTCTATCTATGTATTGACTCTTCC TAG 95
 Hpl TACGAAAGGACCGGAAGAGGTAAGTCCATGCTTAAAGCATACTTTACCCCTTATTTGATGAATACAACATAAATCAACAAAAGGGCATACTAACCA 190
 Hpll TACGAAAGGACCGGAAGAGGTAAGTCCATGCTTAAAGCATACTTTACCCCTTATTTGATGAATACAACATAAATCAACAAAAGGGCATACTAACCA 190
 Hpl GCCAAAGACTATGGCAACTAAGGTGGCAGAGCCTGGCAATGCAAGAGACCTAAGCCCTCTTACCCGAGGTTCAAAATCCTCTCCTTAGTAAACAT 285
 Hpll GCCAAAGACTATGGCAACTAAGGTGGCAGAGCCTGGCAATGCAAGAGACCTAAGCCCTCTTACCCGAGGTTCAAAATCCTCTCCTTAGTAAACAT 285
 Hpl GCACAAATGAATTATCCTCACAATCAATCCCTTACTTTACATTATTCAGTCCCTACTGGCGGTTGCCTTCTAACTCTCCTAGAACGCAAAATTT 380
 Hpll GCACAAATGAATTATCCTCACAATCAATCCCTTACTTTACATTATTCAGTCCCTACTGGCGGTTGCCTTCTAACTCTCCTAGAACGCAAAATTT 380
 Hpl TAGGATATATAACAACCCGAAAAGGCCAAACATTGTAGGACCCCTATGGCTTACTACAACCCCTTCGCAGACGGAGTTAAACTTCTTATTAAAGAA 475
 Hpll TAGGATATATAACAACCCGAAAAGGCCAAACATTGTAGGACCCCTATGGCTTACTACAACCCCTTCGCAGACGGAGTTAAACTTCTTATTAAAGAA 475
 Hpl CCAATCCGACCCACACAGCCTCCCCATTTTTATTCCTAGCAGCCCTGCCTAGCTTTTATCTTAGCTCTATCCCTTTGAGCACCAATGCCACT 570
 Hpll CCAATCCGACCCACACAGCCTCCCCATTTTTATTCCTAGCAGCCCTGCCTAGCTTTTATCTTAGCTCTATCCCTTTGAGCACCAATGCCACT 570
 Hpl TCCATACCCAATCGCAAAACATAAACCTAGGAATTTTATTCATCCTAGCTATTTCTAGCCCTCAGTATACACAATCTTAGGCTCGGGATGAGCAT 665
 Hpll TCCATACCCAATCGCAAAACATAAACCTAGGAATTTTATTCATCCTAGCTATTTCTAGCCCTCAGTATACACAATCTTAGGCTCGGGATGAGCAT 665
 Hpl CCAACTCCAACACGCCCTAATTGGGGCATTACGAGCCGTAGCTCAGACCATTTTCATATGAAGTTAGCCTAGCACTAATCCTTCTATCAACAATC 760
 Hpll CCAACTCCAACACGCCCTAATTGGGGCATTACGAGCCGTAGCTCAGACCATTTTCATATGAAGTTAGCCTAGCACTAATCCTTCTATCAACAATC 760
 Hpl ATATTACAGGAGGCTTCGCCCTCCAACTTTTAAACACTCACTCAAGAAAAGCATCTGACTCCTCATTCCAGCCGACCACTCGCCGCCATATGATA 855
 Hpll ATATTACAGGAGGCTTCGCCCTCCAACTTTTAAACACTCACTCAAGAAAAGCATCTGACTCCTCATTCCAGCCGACCACTCGCCGCCATATGATA 855
 Hpl TATTTCAACACACAGCAGAAACCAACCGAGCCCTTTTGACCTTACAGAAGGAGAATCCGAACCTTGCTCAGGCTTCAACGTCGAATATGCAGGGG 950
 Hpll TATTTCAACACACAGCAGAAACCAACCGAGCCCTTTTGACCTTACAGAAGGAGAATCCGAACCTTGCTCAGGCTTCAACGTCGAATATGCAGGGG 950
 Hpl GACCCCTCGTGCTATTTTTCTTCCGGAATACGCTAACATCCCTAATAAATACCCATCCGCGGTATTTCTAGGCGCACTACACAGCCCC 1045
 Hpll GACCCCTCGTGCTATTTTTCTTCCGGAATACGCTAACATCCCTAATAAATACCCATCCGCGGTATTTCTAGGCGCACTACACAGCCCC 1045
 Hpl ATACTCCCAGAAACCACCTTCAGCCTCATAATAAAGCCCTCCCTGCTCTCAGTAGCATTCCCTTTGAGTGCGAGCCTCCTATCCCCGATTCCG 1140
 Hpll ATACTCCCAGAAACCACCTTCAGCCTCATAATAAAGCCCTCCCTGCTCTCAGTAGCATTCCCTTTGAGTGCGAGCCTCCTATCCCCGATTCCG 1140
 Hpl GTAGCACAAC TAATGCACCTAGTATGAAAAAATTCCTCCCATCACAATAGCCTTATTACTCTGACACACCGCCCTACCCTAGCAATAGCAG 1235
 Hpll GTAGCACAAC TAATGCACCTAGTATGAAAAAATTCCTCCCATCACAATAGCCTTATTACTCTGACACACCGCCCTACCCTAGCAATAGCAG 1235
 Hpl GCCTCCCCCACAAACCTAAAGGAAGTGTGCCGAAAGACCAAGGACTACTTTGATAGAGTATACCATGGGGTTAAAAATCCCCCCAC 1323
 Hpll GCCTCCCCCACAAACCTAAAGGAAGTGTGCCGAAAGACCAAGGACTACTTTGATAGAGTATACCATGGGGTTAAAAATCCCCCCAC 1323

Annexe 6 : Alignement des séquences nucléotidiques des deux haplotypes (HpI et HpII) du segment NADH1 de *H. niloticus* avec les sites polymorphiques en bleu.

(ERR α)

1 M S S R D R R F N I Y I K A E P S S P E G G R D G R T S P G G A S S D
1 **ATG**TCTTCCCAGGATCGACGCTTCAATATTTACATTAAGGCTGAGCCAGCAGTCCAGAGGGAGAGAGATGGGAGAACCAGCCCTGGAGGGGCATCTCCGAT
36 S S H S A V G V N G G R S T E R Y S P P L C T P T L H C P F K E E G D
106 TCGTCCACAGTCTGTGGGGTAAATGGAGGCAGGAGCAGAGCGGTACTCCCTCCCTCTGCACACCAACCCTGCATTCGCCCTTTAAAGAGAGGGGGCAT
71 G E E G S A G S G G G R C K Y A L S **F L P K R L C L V C G D V A S G Y**
211 GGAGAGGGGATCTGCAGGCAGCGGAGCGGCAAGTACGCCCTTAGCACACTCCCAAGCGCTGTGTCTCGTGTGGGGATGGGCATCAGGCTAC
106 H Y G V A S C **E A C K A F F K R T I Q G N I E Y S C P A S N E C E I T**
316 **C A C T A C G C G T G C C T C T G T G A G C C T T C A G A G G C C A T T C A G G G A A C A T T G A A T A C A G T G C C C A G C A T C C A C A G T G C G A A A T C A C C**
141 K R R R K A C Q A C R F T K C L K V G M L K E G V R L D R V R G G R Q
421 AAGCGGCGAGGAAGGCTGCCAAGCTTGCTCCACCAAGTGCCTCAAGTGGGAATGCTGAAGAGGGTGTTCGCTGGATCGAGTGAGAGGAGGAAGACAG
176 K Y K R R R P E V E S **T T Y Q S P T N Q P S G K E V D K G P S N V I V S**
526 AAGTACAAAAGACGGCCAGAGGTGGAGAGCACCACATCCAAGTCTACGAATCAGCCTCAGGAAGGAAGTTGATAAAGTCCCCTCAATGTCTGTCTCC
211 H L L V A K H I P G F L S L A D Q M S V L Q S V W L E V L
631 CATCTGCTGGTGGTGGAGCAGAGAAGCTTTGACCATGCCAGCCCTGCAGTCCAGACACCACCCCTGCCACCCCTCACCACCCCTTTGTGACTGGCTGATCGC
246 E L V V I I G W A K H I P G F L S L A D Q M S V L Q S V W L E V L
736 GAGCTGTGTGATCATTGGCTGGGTGAGCATTCCCGCTCTCTGCTGCTTCTCTGCGGACAGAGTGTGAGTGTTCAGTGTTCGCTGGCTGGCTGAGGTTGCTC
281 V L G V A F R S L S C E D E V F A E D F V L D E E L S R I A G L G E
841 GTACTCGGTGTTCGGTCTCGAGTTCGAGGAGGAGGTGGTGTTCGCGAGGACTTGTTCGAGTGGAGGAGTCCCGTATTCGTTGGCTGGGCGGAG
316 L S A A I C S Q L A R R Y R A L Q L T D Q E E F V M L K A I A L T N S D S
946 TTAAGTGCAGCATTACCAACTGGCCCGCGATACCGTGCCTTCAACTAGACAGGAGGAGTGTTCATGTTGAAGGCTATTGCAGTCAACAACCTGTGATTCT
351 V Y I E D M E A V Q K L R D L L H Q A L L E L E S Q R R P E D P R R A
1051 GTGTACATTGAGACATGGAGGCTGTGCAGAAGCTACGAGACCTCTACACCAGGCCCTGTAGAGCTGGAAGCCAGCGTAGGCAGAAACCCCGGAGGGCA
386 G R L L L T L P L L R Q T A S R A L S T F Y N I K T R G G V P M H K L
1156 GCGCGGCTCTGCTCACCCCTGCCCTGCTCAGCGAGCTGCCAGCGTGCCTTTCCACCTTCTACAACATCAAGACCCCTGGTGGTGTGCCATGCACAACCT
421 F L E M L E A M M D S P *
1261 TTTTCGAGATGCTGGAGGCCATGATGGACTCGCCGTAA

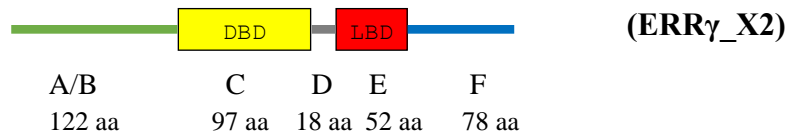
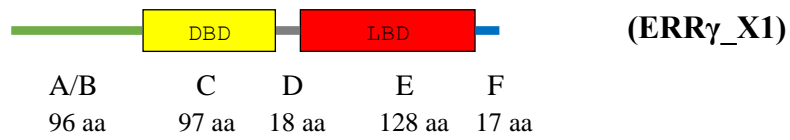
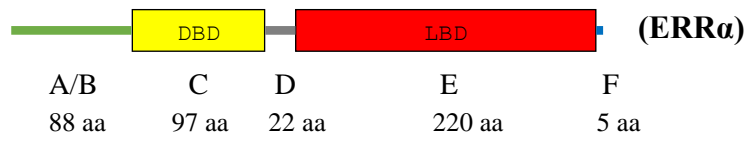
(ERR γ _X1)

1 M A A D D R H L P S S C G S Y I K T E P S S P S S V I D T V S H H S P
1 **ATG**GCTGCAGATGACCGGCACCTGCCCTCCAGTGTGGTCTCATACAAAGCAGGACATCGAGCCCTCATCGGTCATCGACACAGTCCAGCCACATAGCC
36 S G N S D A S G G Y V S A M N S H S N G L D S P P M F T P S G L G G G
106 AGTGGCAACTCGGACCGCGTGGCTCAGCTCAGCGACTGAACAGCAGCTCCTCAAGTGGGAATGCTGAAGAGGGTGTTCGCTGGATCGAGTGAGAGGAGGAAGACAG
71 A C R K R Y D D C S S T I M E D S P I K C E Y M L N **S I P K R L C L V**
211 **G C C T G C C C A A G C G C T A T G A T G A C T G C C A G C A C C A T T A T G G A G G A C T G C C C A T T A A G T G C G A A T A T A T G T T G A A C T C C A T C C C A A G A G G C T G T G C C T A G T C**
106 C G D I A S G Y H Y G V A S C **E A C K A F F K R T I Q G N I E Y S C P**
316 **T G T G A G A C A T T G C C T C A G G A T A C C A C T A C G A G G T G C C T C C T G T G A G G C T G C A A G C C T T T T T A A A G G A C A A T A C A A G G C A C A T C G A G T A C A G C T G C C C**
421 **A T N E C E I T K R R R K S C Q A C R F M K C L K V G M L K E G V R L**
141 **G T C A A A C G A G T G T G A G A T C A C C A A G C G A A G C C T G C C C A A G T G T C T C A A A G T G G G G A T G C T G A A G G A A G G T G T G C C T G T C**
176 D R V R G G R Q K Y K R R M D A E N **N A Y L G L T L P P P A K K P L T**
526 GACCGTGTGGTGGCGCGGAGGAGTACAAAGAGGAGGATGGATGCCGAAAACAAGCCCTATCTTTGGCCCTCACACTACCACCCCTGCCAAAAGCCATTTGACA
211 K I V S H L L V A E P E K I Y A M P D P T M P E S D I K A L T T L C D
631 AAGATTGTTGCCATTGCTGGTGGCAGAGCAAGATCTACGGCATCCAGCAGCCCAACCTGCTGAGAGTGACATCAAGGCCCTAACCACTTGTGGGAC
246 L A D R E L V I I G W A K H I P G F S S L S L L G D Q M S L A G
736 TTGGCTGACCCAGAGCTGTTGTCTATCATCGGCTGGGCAAGCATATCCAGGCTTCTCCAGTCTGTCTTTAGGAGACAGATGAGTCTACTGCAGAGCGCTTGG
281 M E I L I L R V V Y R S L P F E D K L V Y A E D Y I M D E D Q S K L A
841 ATGGAGATCTTGATCTGCGGGTGGTGTACCGATCATTGCCCTCGAGGCAAGCTGGTGTATGCTGAGGACTACATCATGGACAGGACAGTCCGAAACTCGCC
316 G L L D L N N A I L Q L V K K Y K S M K L E K E S L S P S K Q L R S Q
946 GGTTGCTGGACCTCAACATGCCATCTCGAGCTGGTGAAGAAATAAAGAGCATGAAGTTGGAGAAGGAGAGTTTTCACCCCTCAAAGCAATTCGCTCGCAA
351 I Q T P C T *
1051 ATTCAGACTCCATGCACATAG

(ERR γ _X2)

1 M D S V L E L S L P E F F S F H S E Q E L L C R M S S K E R R I E S S C
1 **ATG**GATTCTGTAGAACTTTCCCTGCCTGAGTCTTCTCCCTTCACTCTGAACAAGAGTCTGCTGAGGATGCTCAAGCAAGGAGCGGCGATTGAGTCCAGTTCG
36 P S Y I K T E P S S P A S L A D S V N H H S P G G S S D A S G S Y S S
106 CCCTCATACATAAGACAGAACCGTCCAGTCTGCTCCCTCCCTGACAGCTGAACCACACAGCCCGGTGGGTCTCAGAGCCAGTGGCAGCTACGCTCA
71 A T N G H P N G L D S P T L Y G Q A G S L G P N V A G A T A C R Y E A D C
211 GCCAACAACGGCCACCCCAACGGCTAGACTCCCCACGCTGTATGGTCCAGGACGCTTAGGCCCAATGTGGCGGGGCCACCAAGCGCTACGAGGACTGC
106 S S T M A E D S Q I K C E Y M L N **S M P K R L C L V C G D V A S G Y H**
316 ICTAGACCATTGGCTGAAGACTCACAGATCAAGTGGAGTACATGCTCAACTCCATGCCCAAGGCTGTGCTGGTGTGGCGGATGTGGGCTGTGGCTACACC
141 Y G V A S C **E A C K A F F K R T I Q G N I E Y S C P A T N E C E I T K**
421 **T A C G G A T G G C C T T G T G A A G C C T G C A A G G C C T T C T C A A G G C C A C C A A A A A C C A T C G A G T A C A G T G C C C G G C C A C C A C A G T G T G A G A T C A C T A A G**
176 R R R K S C Q A C R F M K C L T V G M L R E G V R L D R V R G G R Q K
526 **A G G A G A C G G A A G T C C T G C C A G C C T G C C C T T C A T G A A G T G T T A C T G T G G A A T G C T G C G G G A G G T G T C C G C T G C A C A G A G T C G T G C C G C C G G C A A G**
211 Y K R R I D A E N **S P Y L N P Q L A L P P K K P Y N K V V S H L L V A**
631 TACAAGCCCGGATAGACCGCGGAAAGCCCTTACCTGAACCCACAGCTGGCCCTGCCACTAAAAAACATACAAACAAGTGGTGTCCACCTCTGGTGGCA
246 E P E K I Y A M P D P T V P D S D I K A L T T L C D L A D R E L V V N
736 GAACCTGAGAAGATCTATGCCATGCCTGATCCCCTGTTCCCGACAGCAGATCAAGGCGCTGACCACTCTGCGACCTGGCTGACCCGAGCTGGTGGTCAAC
281 I G W A K H I P G R S L P S T L E K A V D P S P W P H L V N Y G G A P
841 ATCGGCTGGCCAAACATCCAGGTAGGAGCCTTCCAGTACCCTTGAGAAAGCAGTGGACCCCTCACCCTGGCCACATCTGGTAAACTATGGAGAGCTCCA
316 N R H W S N S G I V K L V A L L C Y R I L V L F L F N L C I S L H V
946 AACAGACACTGGTCTAACAGTGGCATAGTAAAGCTGGTGTGGCTGTGGCTACAGGATCTCGCTTATTTCTTTTAAATCTCGCATTCTTTCATATGTC
351 R I F C R V C L Y I V N L G A V S *
1051 AGAATTTTTTCAGAGTCTGCCCTATATAGTTAACTTGGGAGCAGTAACTAG

Annexe 7a : Séquences nucléotidiques et séquences protéiques déduites des récepteurs apparentés aux récepteurs œstrogéniques alpha (ERR α) et gamma (ERR γ) de *H. niloticus* (HnERR α , HnERR γ _X1 et HnER γ _X2). Le codon d'initiation et le codon stop sont indiqués en gras. La région A/B en position N-terminale est suivie du domaine de liaison à l'ADN (DBD) situé dans les encadrés et contenant la boîte P soulignée doublement et la boîte D en souligné simple. Le domaine de liaison au ligand (LBD) est souligné simplement suivi du domaine F en position C-terminale.



Annexe7b : Structure secondaire des récepteurs apparentés aux récepteurs œstrogéniques (ERR α , ERR γ _X1 et ER γ _X2) de *H. niloticus* avec les cinq domaines caractéristiques et le nombre d'acides aminés (aa) correspondant.

Comparaison des traits de reproduction de deux espèces phylogénétiquement sœurs du groupe des Ostéoglossiformes : *Heterotis niloticus* en Afrique et *Arapaima gigas* en Amérique du Sud

Heterotis niloticus originaire du bassin hydrographique de l'Afrique tropicale et *Arapaima gigas* du bassin amazonien sont deux espèces phylogénétiquement sœurs qui possèdent des performances de croissance exceptionnelles, ce qui leur confère un intérêt économique majeur. Cependant, la reproduction en captivité de ces deux espèces se heurte encore à des difficultés en raison de l'absence de dimorphisme sexuel. La formation des couples de reproducteurs est donc problématique et leur comportement reproducteur est peu connu, et donc peu maîtrisé. Par ailleurs, les données moléculaires disponibles dans le domaine de la reproduction sont inexistantes chez *Heterotis niloticus* ainsi que les données de génétique des populations. Cette étude a donc pour objectif d'évaluer les ressources génétiques des populations d'*Heterotis*, de mettre au point des techniques de sexage, de suivre le comportement reproducteur de *A. gigas* en étang et de caractériser chez ces deux espèces les acteurs moléculaires de la vitellogénèse et sa régulation. A partir d'échantillons collectés au Cameroun, en Guinée et principalement en Côte d'Ivoire, l'analyse des gènes mitochondriaux a permis d'identifier six haplotypes du gène Cyt b et deux haplotypes d'un segment contenant le gène NADH1. Ces résultats montrent l'absence de différenciation haplotypique entre les stocks de pisciculture et les populations sauvages d'un même bassin et une différenciation haplotypique entre bassins versants. Ils corroborent l'origine camerounaise des *Heterotis* sauvages et de pisciculture présents en Côte d'Ivoire sans toutefois apporter la preuve du partage de mêmes haplotypes entre ces deux pays. Concernant les acteurs moléculaires, c'est grâce à une approche transcriptomique basée sur un séquençage en RNAseq *de novo* suivi d'analyses *in silico* qu'ont pu être identifiés, chez l'une et l'autre des deux espèces d'*Arapaimidae*, les hormones hypophysaires (PRL, FSH et LH) et leurs récepteurs ovariens, les récepteurs oestrogéniques (ERs) bêta et gamma, les vitellogénines (Vtg) et leur récepteur ovarien. La proximité phylogénétique des deux espèces a pu être confirmée sur la base des molécules identifiées. Pour le sexage des individus matures de *H. niloticus*, les tests ELISA se sont révélés positifs avec l'anti corps anti Vtg de *A. gigas* déjà disponible et l'anticorps anti Vtg de *H. niloticus* mis au point dans cette étude. Une approche protéomique en spectrométrie de masse ciblant la Vtg a également permis de différencier les deux sexes chez *H. niloticus*. Enfin, l'utilisation de la télémétrie ultrasonique a montré que cette technique est adaptée au suivi du comportement de *A. gigas* et de ce fait de l'espèce sœur *H. niloticus* dans un environnement où la turbidité de l'eau ne favorise pas des observations directes des couples ou des enregistrements vidéo.

Mots-clés : *Heterotis niloticus*, *Arapaima gigas*, Cyt b, NADH1, Ressources génétiques, Reproduction, Vitellogénine, Neurohormones, Récepteurs à l'estradiol, Télémétrie acoustique, Comportement reproducteur

Comparison of the reproductive traits of two phylogenetic sister species of the group Osteoglossomorpha : *Heterotis niloticus* in Africa and *Arapaima gigas* in South America

Heterotis niloticus – from the tropical Africa watershed – and *Arapaima gigas* – from the Amazon Basin – are two phylogenetic sister species that display exceptional growth performances; consequently, they may soon become of a major economic interest. However, the reproduction of these two species in captivity still faces difficulties because they have no sexual dimorphism. Reproductive pairing is therefore problematic, their reproductive behavior is poorly known and therefore poorly controlled. Moreover, molecular data in the field of reproduction are missing for *Heterotis niloticus*, and so are data about population genetics. This study aims to evaluate the genetic resources of populations of *Heterotis*, develop sexing techniques, monitor the reproductive behavior of *A. gigas* in ponds, and characterize the molecular actors of vitellogenesis and its regulation in these two species. Using samples collected in Cameroon, Guinea and mainly Côte d'Ivoire, mitochondrial gene analysis identified six haplotypes of the Cyt b gene and two haplotypes of a segment containing the NADH1 gene. The results showed no haplotypic differentiation between fish stocks and wild populations belonging to a same basin, but haplotype differentiation between watersheds. They corroborate that the wild and farmed *Heterotis* of Côte d'Ivoire first came from Cameroon, but do not bring evidence of a same haplotype shared between these two countries. Concerning the molecular actors, using a transcriptomic approach based on *de novo* RNAseq sequencing followed by *in silico* analyses, the pituitary hormones (PRL, FSH and LH) and their ovarian receptors, beta and gamma estrogen receptors (ERs), vitellogenins (Vtg) and their ovarian receptor were identified in both species of *Arapaimidae*. The phylogenetic proximity of the two species could be confirmed on the basis of these molecules. For the sexing of mature *H. niloticus* individuals, ELISA tests were positive with available *A. gigas* anti Vtg antibodies and with *H. niloticus* anti Vtg antibodies developed for this study. A proteomic approach in mass spectrometry targeting Vtg also differentiated the two sexes in *H. niloticus*. Finally, the use of ultrasonic telemetry showed that this technique is suitable for monitoring the behavior of *A. gigas* and thus of the sister species *H. niloticus* in an environment where the water turbidity does not favor direct observations of couples or video recordings.

Keywords :

Heterotis niloticus, *Arapaima gigas*, Cyt b, NADH1, Genetic resources, Reproduction, Vitellogenin, Neurohormones, Estradiol receptors, Acoustic telemetry, Reproductive behavior